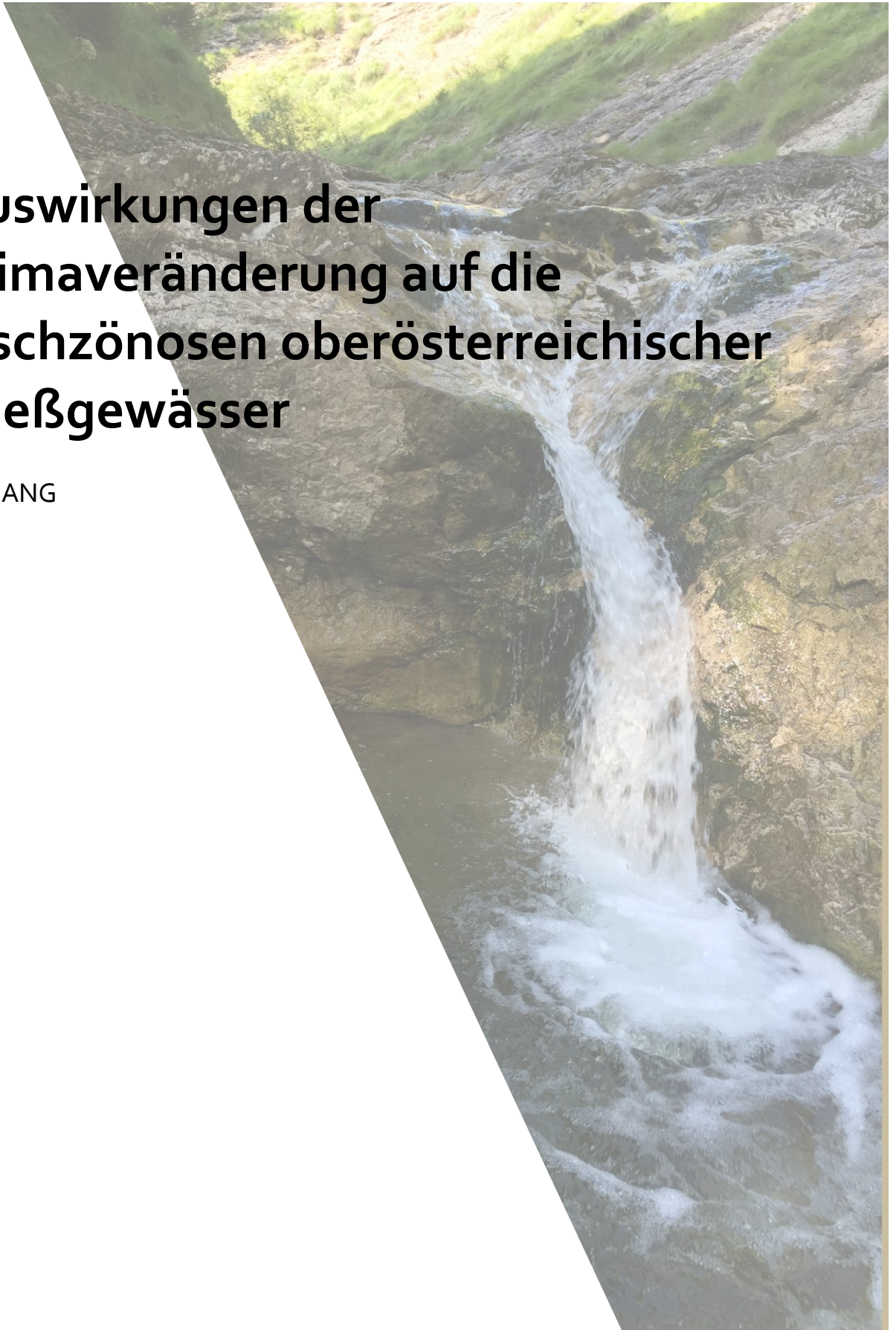


Auswirkungen der Klimaveränderung auf die Fischzönosen oberösterreichischer Fließgewässer

ANHANG



Impressum

Autorinnen und Autoren:

Florian KEIL*, Reinhard HAUNSCHMID*, Haimo PRINZ*, Brigitte SASANO*, Lukas HUNDRITSCH*

Auftragnehmer:

*Bundesamt für Wasserwirtschaft

Institut für Gewässerökologie und Fischereiwirtschaft

Scharfling 18, 5310 Mondsee

Auftraggeber:

Amt der Oö. Landesregierung

Direktion Umwelt und Wasserwirtschaft

Abteilung Wasserwirtschaft / Wasserwirtschaftliche Planung

Kärntnerstraße 10-12, 4021 Linz

Titelfoto: Florian KEIL

Scharfling, 2018

Inhalt

Graphen-Erläuterungen.....	5
Ach – Mamling	15
Ager – Dürnau.....	19
Ager – Fischerau	24
Ager – Raudaschlsäge.....	29
Ager – Schalchham.....	34
Alm – Friedlmühle	39
Alm – Grünau.....	43
Alm – Penningersteg	47
Antiesen – Haging.....	51
Aschach – Kropfmühle.....	56
Aurach – Aurachkirchen.....	61
Diestlbach – Zwettl an der Rodl.....	66
Enknach – Osterlehen.....	71
Enns – Jägerberg.....	76
Enns – Steyr (Ortskai).....	80
Feldaist – Kefermarkt	84
Große Gusen – Engerwitzdorf	89
Große Mühl – Teufelmühle.....	94
Große Naarn – Königswiesen (Ort)	99
Große Rodl – Rottenegg	104
Große Rodl – Zwettl an der Rodl.....	109
Großer Haselbach – Asberg.....	114
Grünbach – Baumgarting	119
Gusen – St. Georgen an der Gusen	124
Hinterer Rettenbach – Roßleithen (Klammstein)	129

Inn – Schärding (Schreibpegel)	134
Ischl – Bad Ischl (Giselabrücke)	138
Kleine Mühl – Koblmühle	143
Kleine Mühl – Obermühl	148
Krems – Kremsdorf.....	153
Krems – Kremsmünster (Ort)	158
Mattig – Jahrsdorf	163
Mattig – Laimhausmühle	168
Naarn – Haid.....	173
Pram – Pram.....	177
Pram – Pramerdorf.....	182
Pram – Wintersham (Steg).....	187
Ranna – Oberkappel	192
Raichramingbach – Reichraming	197
Salzach – Ach.....	201
Salzach – Ettenau	205
Sarmingbach – Waldhausen (Seeausfluß)	209
Schalchener Brunnbach – Furth (Ort)	214
Schwemmbach – Furth (Bundesstraße).....	218
Seeache – See am Mondsee (Au)	223
Steinerne Mühl – Hartmannsdorf	228
Steyr – Dietlgut	233
Steyr – Klaus an der Pyhrnbahn.....	237
Steyr – Pergern	241
Sulzbach – Unterrohr.....	245
Teichl – Teichlbrücke<	250
Trattnach – Grieskirchen.....	254

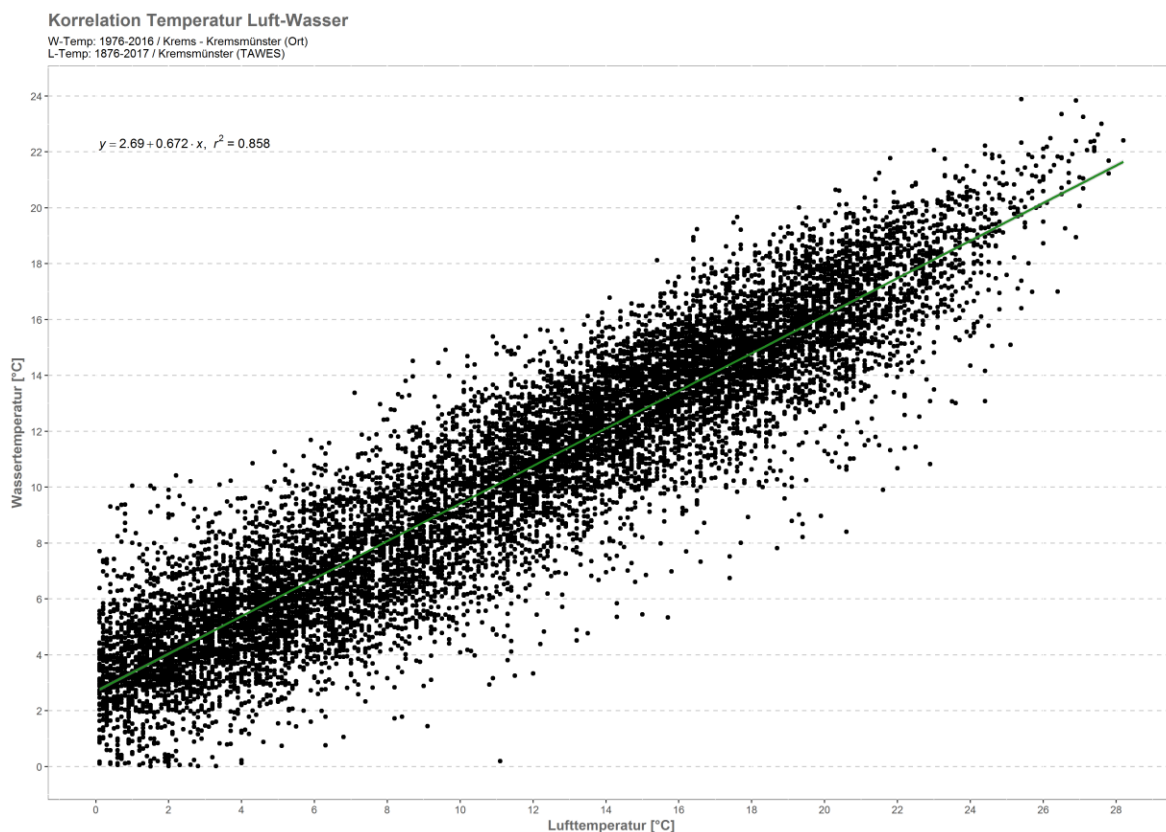
Trattnach – HWR-Becken Leithen (Ausfluß)	259
Trattnach – Strötting	264
Traun – Bad Ischl (Maxquelle).....	269
Traun – Ebelsberg	273
Traun – Ebensee.....	277
Traun – Obertraun.....	282
Traun – Steeg (Seeausfluss)	286
Traun – Wels-Lichtenegg	290
Vöckla – Timelkam	294
Wald-(Schwarze) Aist – Weitersfelden	299
Waldaist – Pfahnmühle.....	304

Graphen-Erläuterungen

Im Zuge des Projektes wurden zahlreiche Analysen und Graphen erstellt. Im Folgenden werden für jede der 63 herangezogenen Wassertemperaturmessstellen Graphen angeführt, wobei der Aufbau der einzelnen Graphen im Folgenden kurz erläutert wird.

1. Korrelation Temperatur Luft-Wasser

Luft- und Wassertemperatur wurden korreliert. Dazu wurden in einem ersten Schritt über eine „Nearest-Neighbour-Analyse“ jeder Wassertemperatur-Messstelle die geographisch nächstgelegenen drei Lufttemperatur-Messstellen zugeordnet. So sollen auch kleinräumige klimatische Bedingungen auf regionaler Ebene bestmöglich in die Analysen mitaufgenommen werden. Aus den nächstgelegenen drei Lufttemperatur-Messstellen wurde schließlich jene in den weiteren Korrelationsanalysen verwendet, welche den längsten Messzeitraum aufweist.

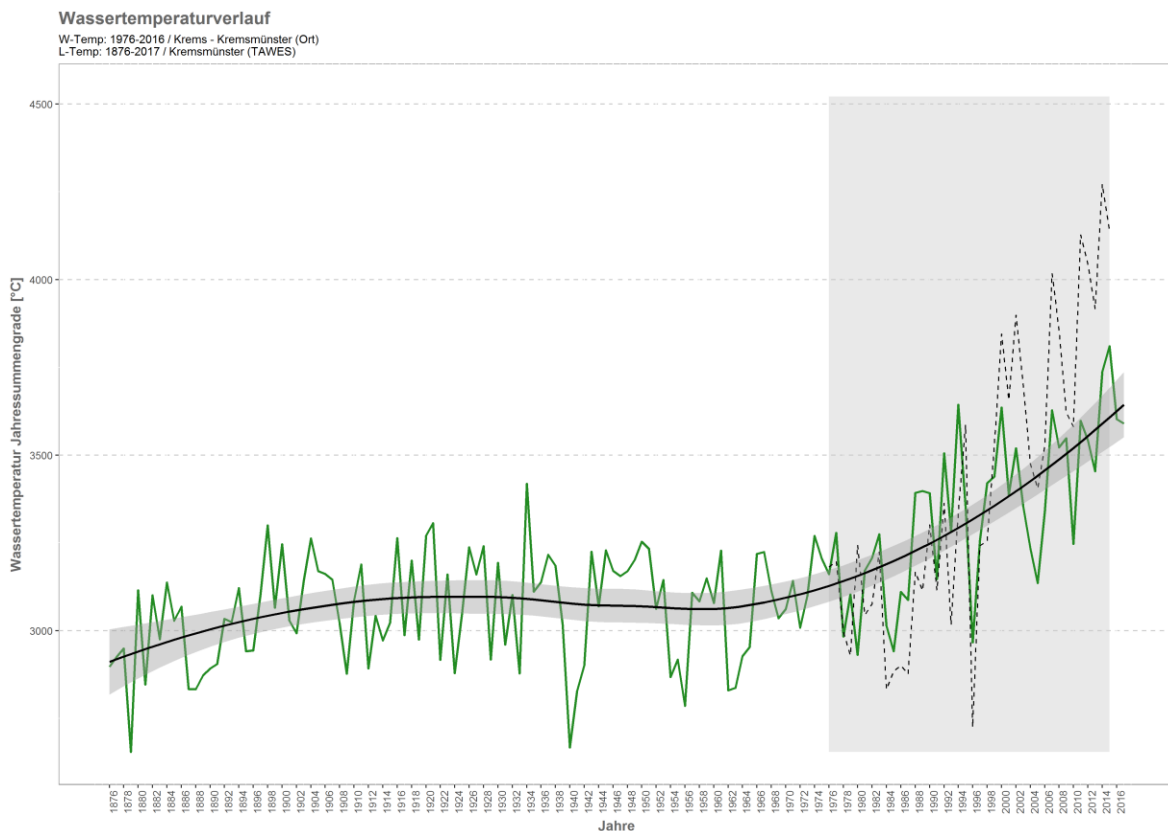


Auf der x-Achse ist also die Lufttemperatur-Tagesmittelwerte [°C] der als Best-Geeignetste Lufttemperaturmessstelle (Datenquelle: ZAMG), auf der y-Achse die Wassertemperaturen-

Tagesmittelwerte [°C] der Wassertemperaturmessstelle (Datenquelle: Hydrographischer Dienst OÖ) aufgetragen. Für die lineare Korrelationsanalyse zwischen Luft- und Wassertemperaturen wurden in dieser Studie die Messreihen auf Luft-Tagesmittelwerte >0°C beschränkt. Näheres siehe Bericht „Auswirkungen der Klimaveränderung auf die Fischzönosen oberösterreichischer Fließgewässer“ im Kapitel „Material und Methoden“. Die jeweiligen Messzeiträume der Luft- und Wassertemperaturstation (L-Temp und W-Temp) sind im Kopf, die Korrelationsgleichung der linearen Korrelation (grüne Linie) ist im Graph angeführt.

2. Wassertemperaturverlauf

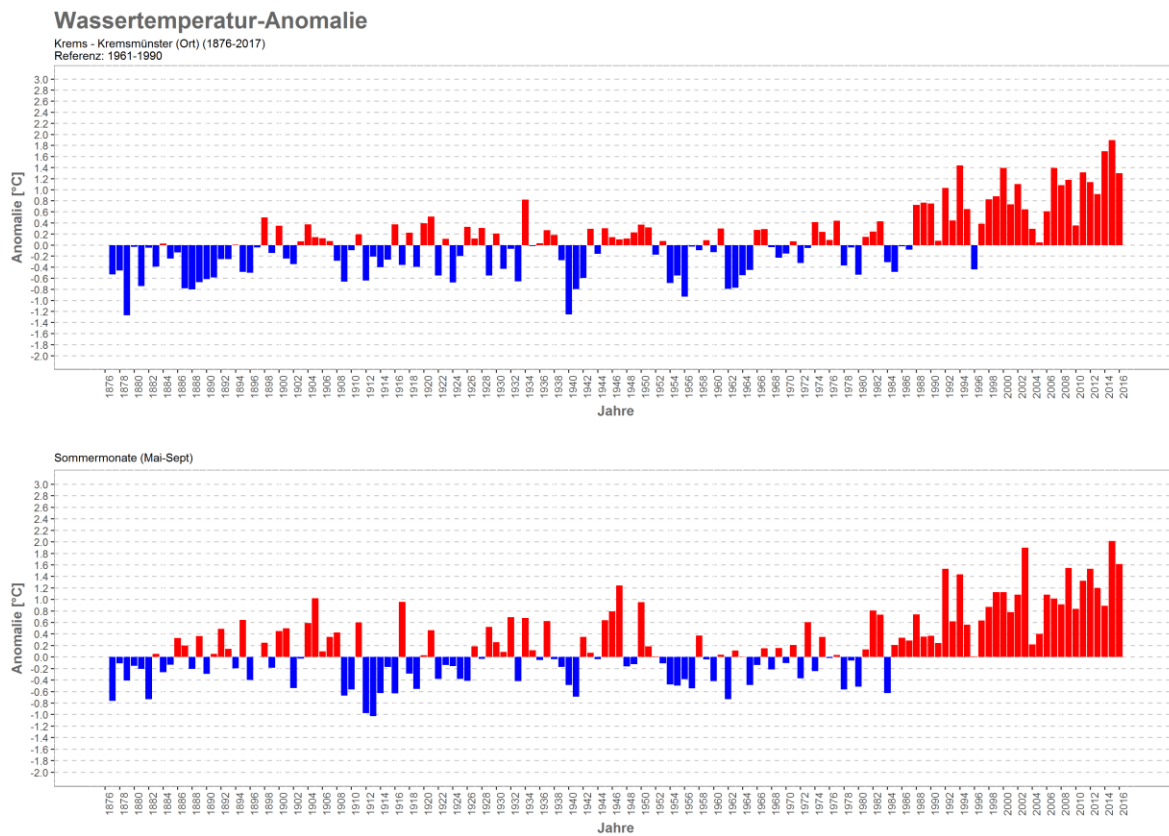
Auf Basis der Korrelationsanalysen können anhand der Geradengleichung über die Lufttemperatur die Wassertemperatur retrospektiv errechnet werden. Für jede Wassertemperaturmessstelle wurde basierend auf den gemessenen Originaldaten sowie den errechneten Wassertemperaturdaten eine graphische Darstellung der Temperaturentwicklung über den maximal zur Verfügung stehenden Messzeitraum (bestimmt durch die gewählte Lufttemperaturmessstelle) erstellt. Hierbei wurden (um kurzfristige Temperaturschwankungen zu glätten) die Jahressummengrade der tatsächlich gemessenen sowie der errechneten Wassertemperatur-Tagesmittelwerte sowie ein gleitender Mittelwert verwendet.



Im Abbildungskopf sind die Messzeiträume der Luft- und Wassertemperatur-Messstellen angeführt. Die grüne Linie bildet die aus der Lufttemperatur errechnete Wassertemperatur-Jahressummengrade (x-Achse) über die Zeit (y-Achse) ab. Der graue rechteckige Bereich entspricht jenem Zeitraum, in dem gemessene Wassertemperaturdaten vorliegen, die strichlierte Linie bildet die tatsächlich gemessenen Wassertemperatur-Jahressummengrade ab. Die schwarze Linie beschreibt eine Trendlinie nach Loess mit 95%-igen Konfidenzlimits in grau.

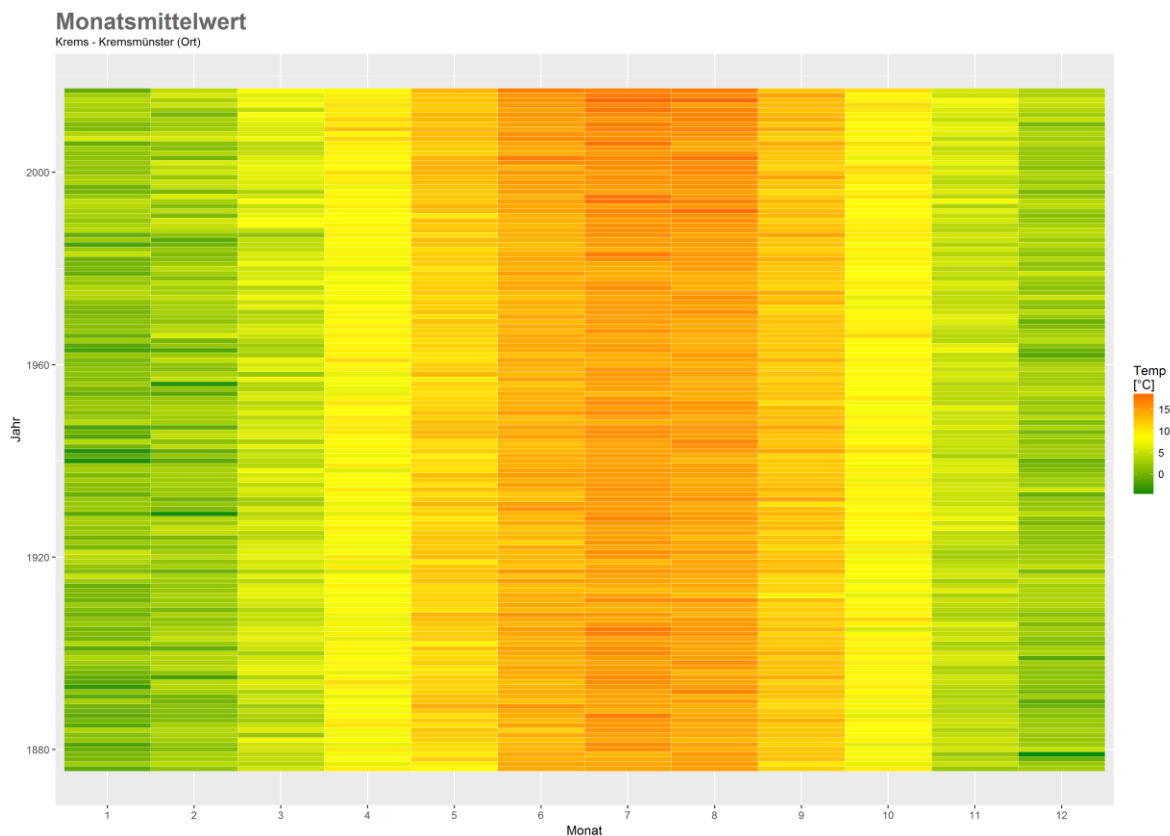
3. Anomalie-Graphen

Basierend auf den rückgerechneten Wassertemperaturdaten wurden Anomalie-Graphen generiert, also eine graphische Darstellung der Abweichung der Jahresmittelwerte von einer langjährigen Referenz (oberer Graph). Selbige Vorgehensweise wurde für eine detailliertere Betrachtung der Sommermonate (Mai-September) gewählt (unterer Graph). Auf der x-Achse ist die Zeitachse (in Jahren) aufgetragen, auf der y-Achse die Anomalie, also die Abweichung der einzelnen Jahre vom langjährigen Mittel. Rot gefärbte Balken signalisieren optisch eine Überschreitung (i.e. höhere Temperatur) des langjährigen Mittels, blau eine Unterschreitung (i.e. tiefere Temperatur). Im Abbildungskopf des Graphen sind die Wassertemperatur-Mesststelle und der Betrachtungszeitraum angeführt.



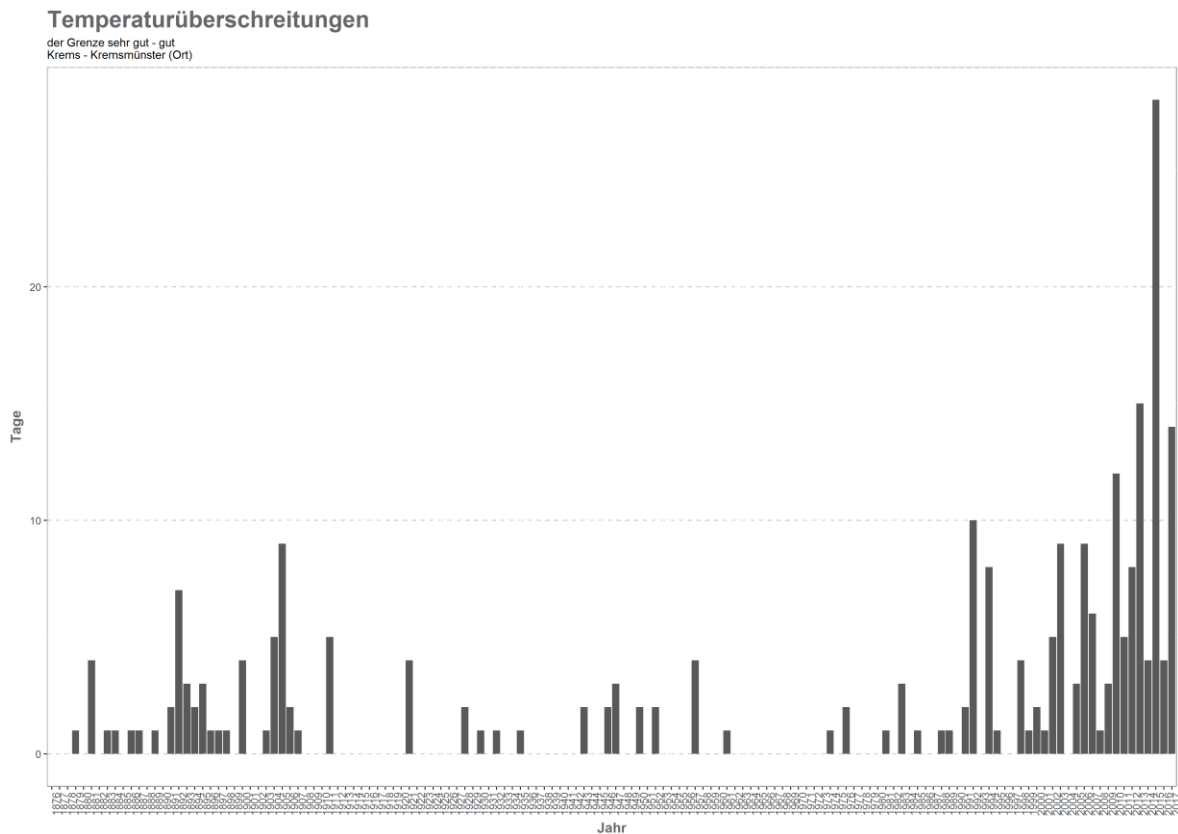
4. Heatmap-Graph

Im Bericht selbst nicht angeführt, der Vollständigkeit halber aber im Anhang angeführt sind Heatmap-Graphen für jede Messstelle. Auf der x-Achse sind die einzelnen Monate, auf der y-Achse die Jahre der jeweiligen Messreihen (i.e. Wassertemperaturdaten errechnet aus Lufttemperaturdaten) angeführt. Je höher der Monatsmittelwert ist, desto mehr rot wird die Farbgebung, je kälter der Monatsmittelwert ist, desto mehr grün wird die Farbgebung.



5. Temperaturüberschreitungen

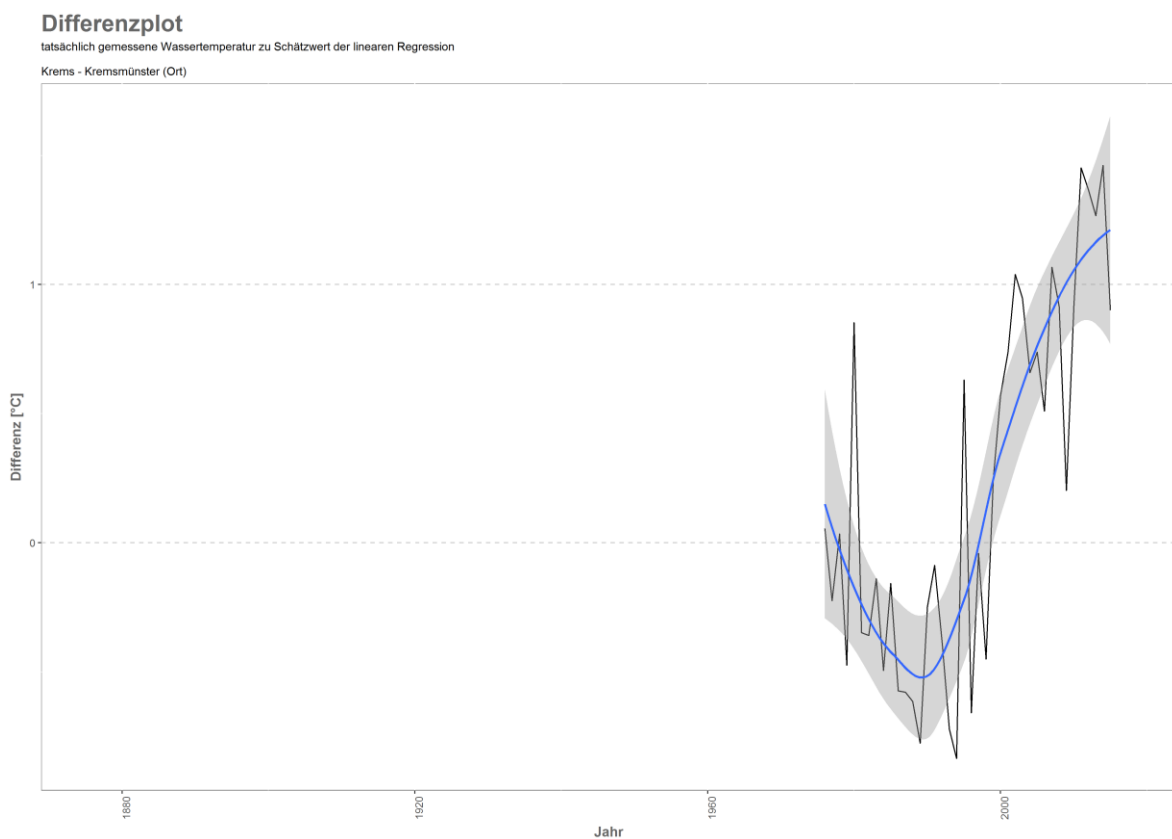
Dieser Graph zeigt die Häufigkeit (in Tagen) einer Grenzwertüberschreitung zwischen den Grenzen sehr gut – gut für die jeweilige, im Abbildungskopf angeführte Wassertemperaturmessstelle auf. Datengrundlage sind wieder die aus den Lufttemperaturen rückgerechneten Wassertemperaturen (um die maximale zeitliche Auflösung abbilden zu können). Die y-Achse zeigt die Anzahl der Tage mit Überschreitung an, die x-Achse bildet die Zeitachse (in Jahren) ab. Die Grenzwerte sind je nach Messstelle und somit je nach Fischregion unterschiedlich errechnet, richten sich also nach den Temperaturgrenze gemäß „Leitfaden zur typspezifischen Bewertung gemäß WRRL – Allgemein physikalisch-chemische Parameter in Fließgewässern“ (Deutsch et al., 2015). Liegen für die Messstelle keine Überschreitungstage im Betrachtungszeitraum vor, so wird auf den leeren Graph im Anhang verzichtet.



6. Differenzplot

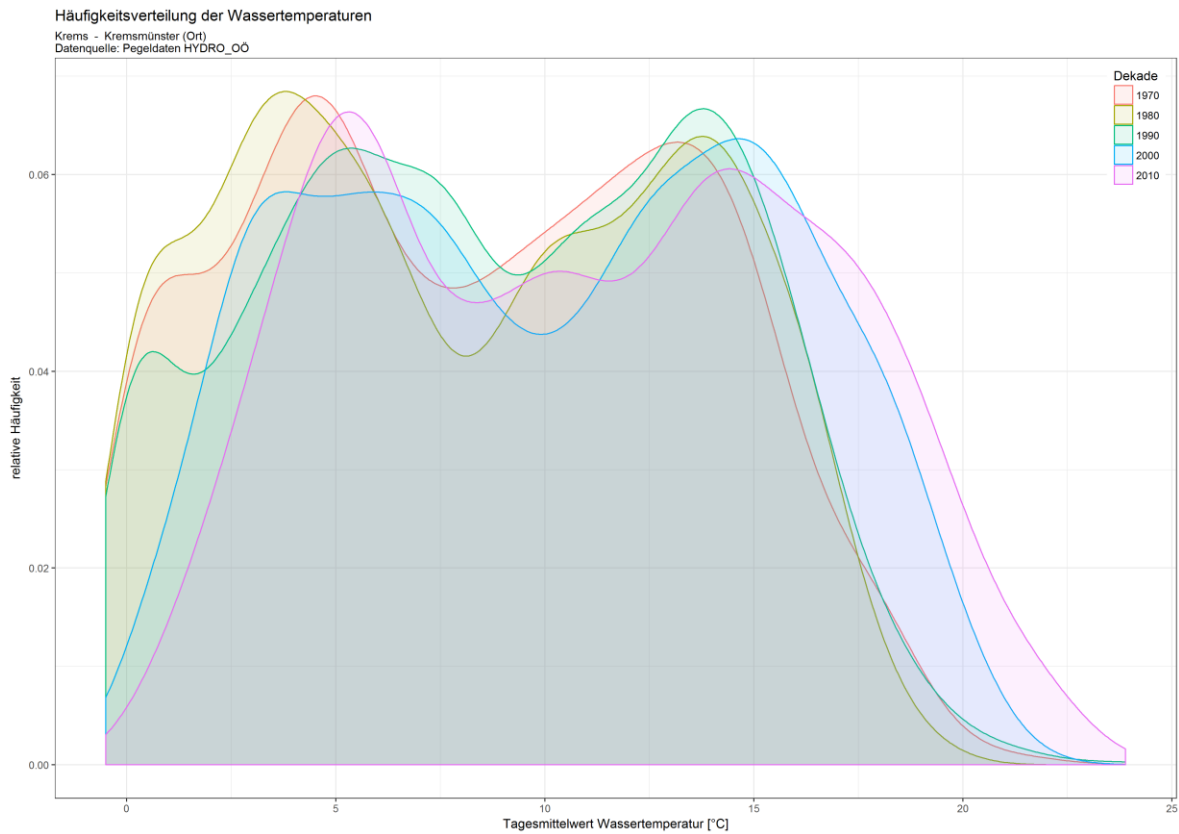
Trotz guter Korrelation zwischen Wasser- und Lufttemperaturen kommt es bei jeder Berechnung zu leichten Abweichungen zwischen errechnetem und tatsächlich gemessenem Wassertemperatur-Wert, in unserem Fall zwischen „aus Lufttemperatur- errechneten Wassertemperaturtagesmittelwerten“ und den tatsächlich gemessenen. Datengrundlage für diese Plots ist die Differenz ebendieser beiden Werte, die Zeitreihen beschränken sich somit auf den Zeitraum der jeweiligen Wassertemperatur-Messstelle.

Ein positiver Wert bedeutet, dass die tatsächlich gemessene Wassertemperatur höher als die errechnete Wassertemperatur war. Auf der x-Achse ist die Zeitachse in Jahren abgebildet, auf der y-Achse die Differenz aus „gemessener Wassertemperatur“ minus „errechneter Wassertemperatur“. Die blaue Kurve stellt ein gleitendes Mittel samt 95%-igen Konfidenzlimits (grau) dar. Die schwarze Kurve stellt die Differenzwerte dar.



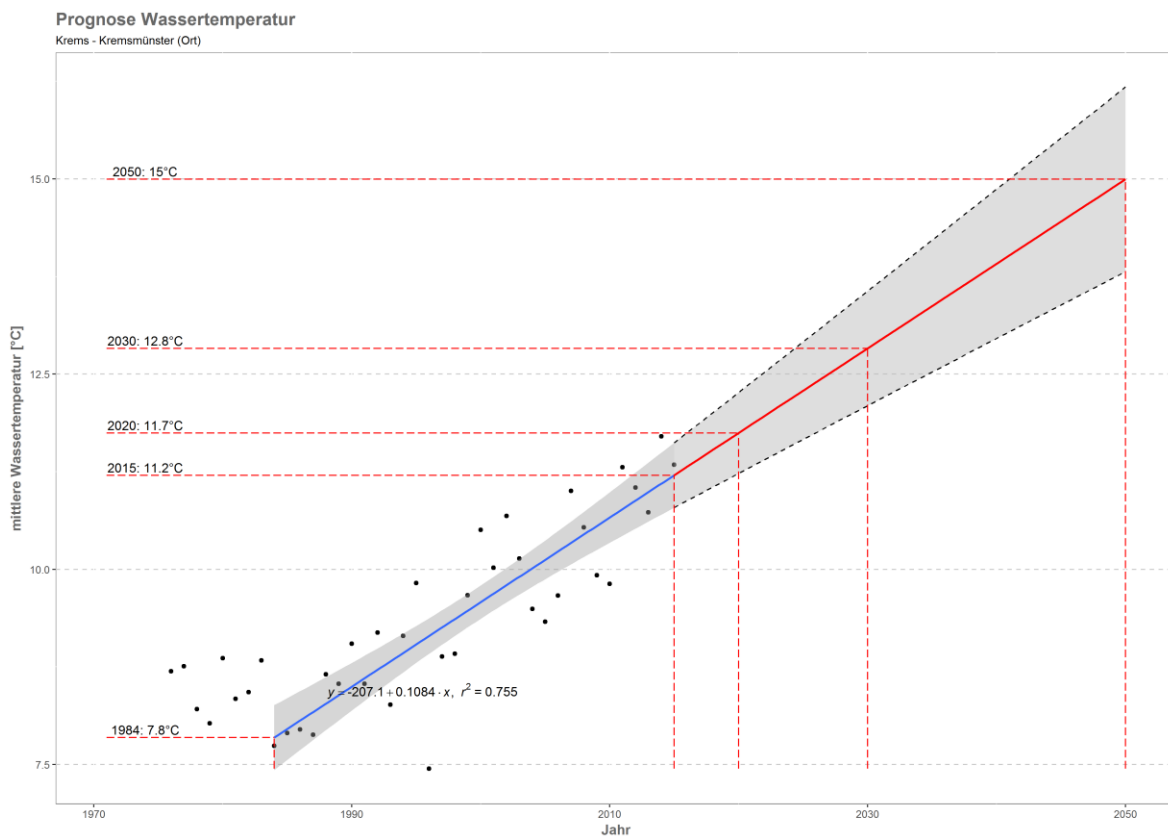
7. Temperatur-Häufigkeitsverteilung

Auf der y-Achse ist die relative Häufigkeit der auf der x-Achse aufgetragenen Wassertemperatur-Tagesmittelwerte [°C] aufgetragen. Als Datengrundlage dienen die tatsächlich gemessenen Wassertemperaturdaten des Hydrographischen Dienst OÖ, im Abbildungskopf ist die jeweilige Temperaturmessstelle angeführt. Die Häufigkeitsverteilungen wurden nach Dekaden unterschieden. Die Dekade 1980 umfasst also alle Tagesmittelwerte der Messstelle zwischen 01.01.1980 und 31.12.1989. Dementsprechend geringere Gesamtanzahl an Tagesmittelwerte haben die erste und letzte Dekade, so reicht die Dekade 2010 nur von 01.01.2010 bis zum Ende der vorliegenden Datenreihen, in den meisten Fällen 31.12.2015.



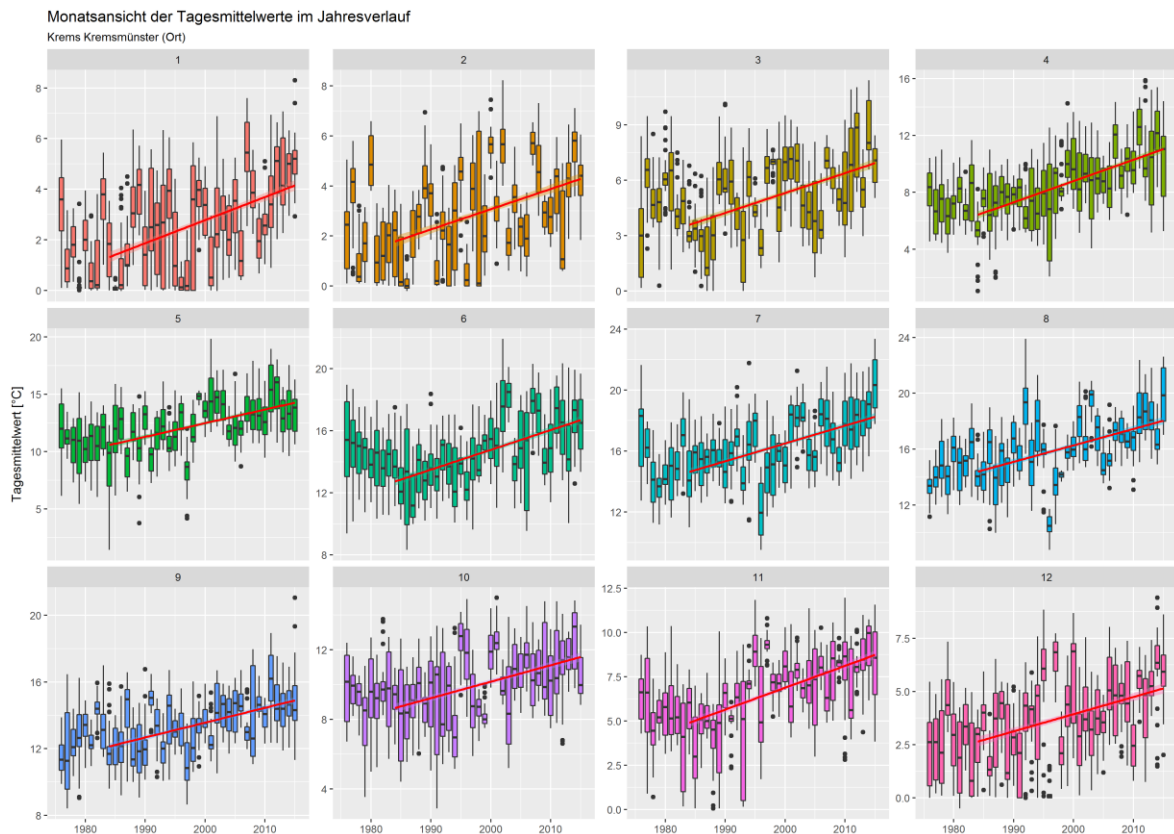
8. Temperaturprognose

Basierend auf den Wassertemperatur-Messdaten der einzelnen Messstellen des Hydrographischen Dienst OÖ wurden Prognosen über die zukünftige Temperaturentwicklung erstellt. Dabei wurde nach dem „pessimistischen“ Prognosemodell der Studie Prinz et al. (2009) vorgegangen. Basierend auf den Zeitreihen 1984-2015 wurden lineare Regressionen erstellt und diese bis in die Jahre 2020, 2030 und 2050 extrapoliert. Klar ist, dass ein Schluss auf die zukünftigen Wassertemperaturen basierend auf den bisherigen Messreihen nicht eine mögliche und notwendige Änderung globalen anthropogenen Verhaltens (z.B. Umsetzung ambitionierter Klimastrategien, ...) mitberücksichtigen kann, ebenso wie Klimaphänomene hier keine Berücksichtigung finden (z.B. Änderung hydrologischer Regime, ...). Auf der x-Achse ist das Jahr, auf der y-Achse die mittlere jährliche Wassertemperatur (basierend auf Tagesmittelwerten) in °C aufgetragen. Die blaue Linie bildet die lineare Regression zwischen 1984 – 2015 ab, die schwarzen Punkte symbolisieren den Jahresmittelwert der einzelnen Jahre, grau sind die 95%-igen Konfidenzlimits. Die rote Linie bildet die Extrapolation über 2015 hinaus ab, rot-strichlierte Linien sind Hilfslinien und markieren einzelne Jahre und die aus der Regression errechnete mittlere Jahrestemperatur [°C].



9. Monatsmittelwerte

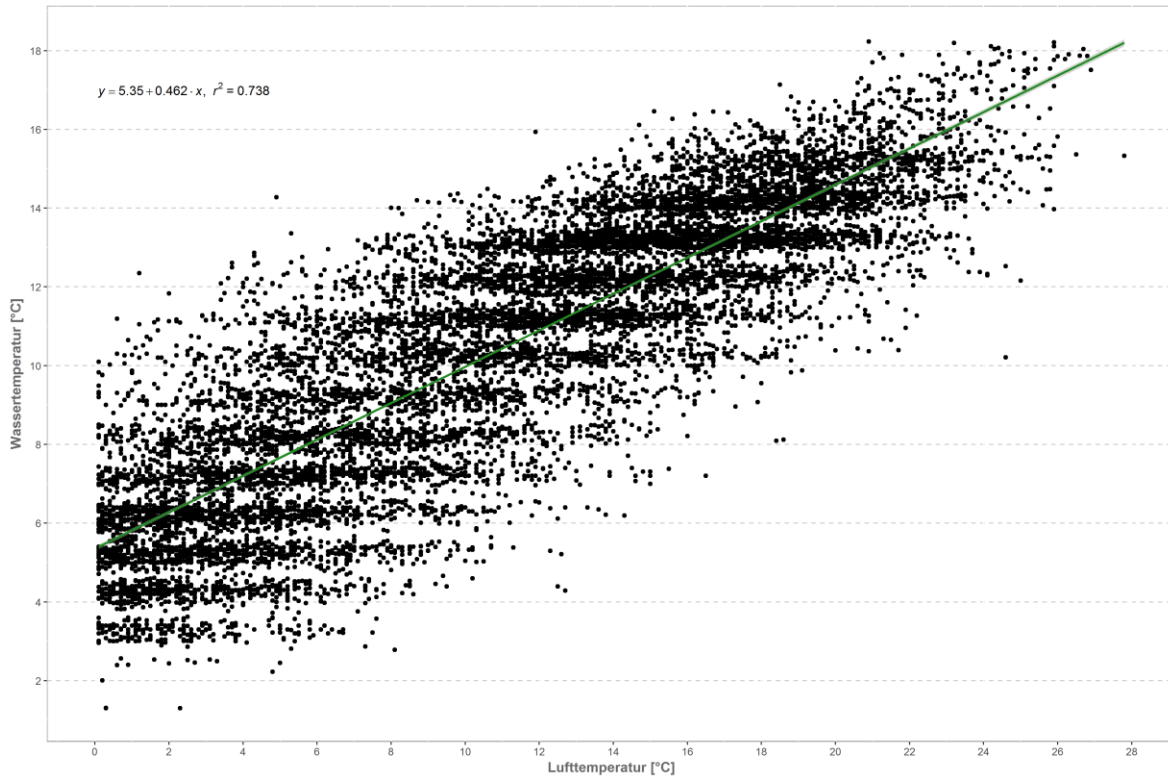
Der Box-Whisker-Plot beschreibt (basierend auf den Wassertemperaturdaten der Messstellen des Hydrographischen Dienst OÖ) die Tagesmittelwerte eines jeden Monats (Jänner bis Dezember) im Verlauf der Jahre. Jeder Plot entspricht jeweils einem Monat (1... Jänner, 12... Dezember). Auf der x-Achse sind die Jahre, auf der y-Achse die Tagesmittelwerte [°C] aufgetragen. Die rote Linie entspricht einer linearen Regression für jeden Monat und umfasst jeweils den Zeitraum 1984-2015.



Ach – Mamling

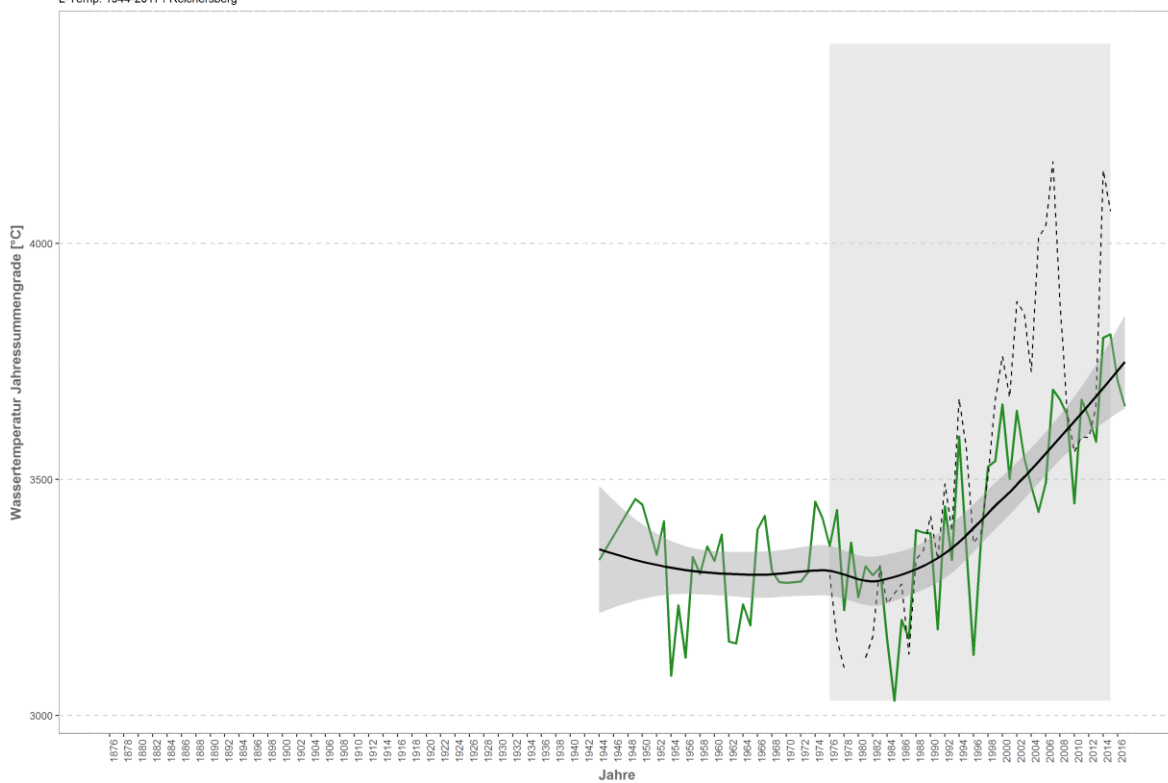
Korrelation Temperatur Luft-Wasser

W-Temp: 1976-2016 / Ach - Mamling
L-Temp: 1944-2017 / Reichersberg



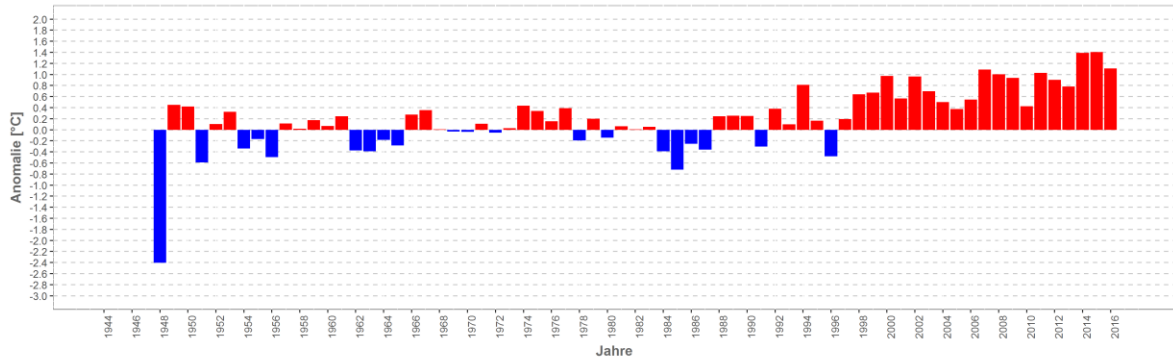
Wassertemperaturverlauf

W-Temp: 1976-2016 / Ach - Mamling
L-Temp: 1944-2017 / Reichersberg

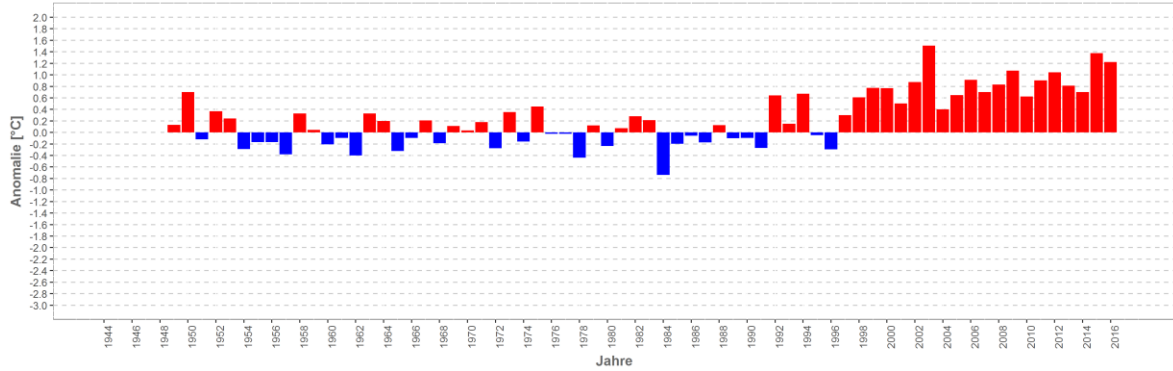


Wassertemperatur-Anomalie

Ach - Maimling (1944-2017)
Referenz: 1961-1990

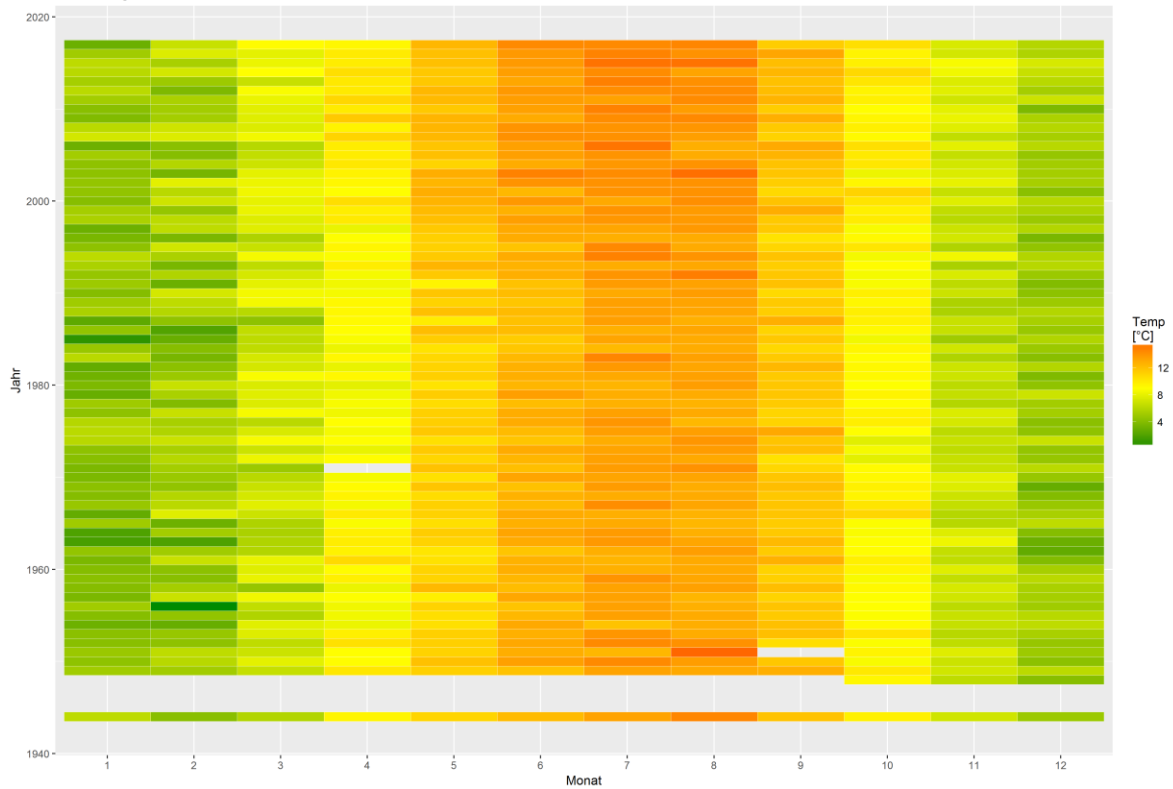


Sommermonate (Mai-Sept)



Monatsmittelwert

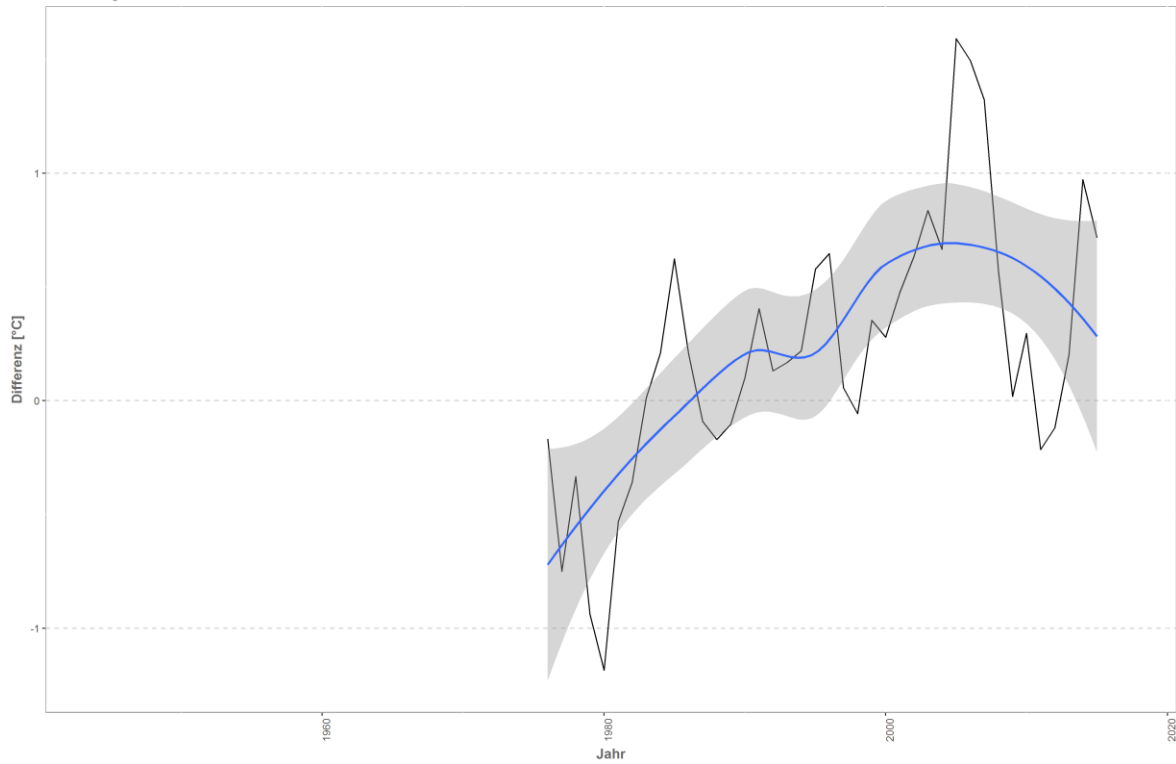
Ach - Maimling



Differenzplot

tatsächlich gemessene Wassertemperatur zu Schätzwert der linearen Regression

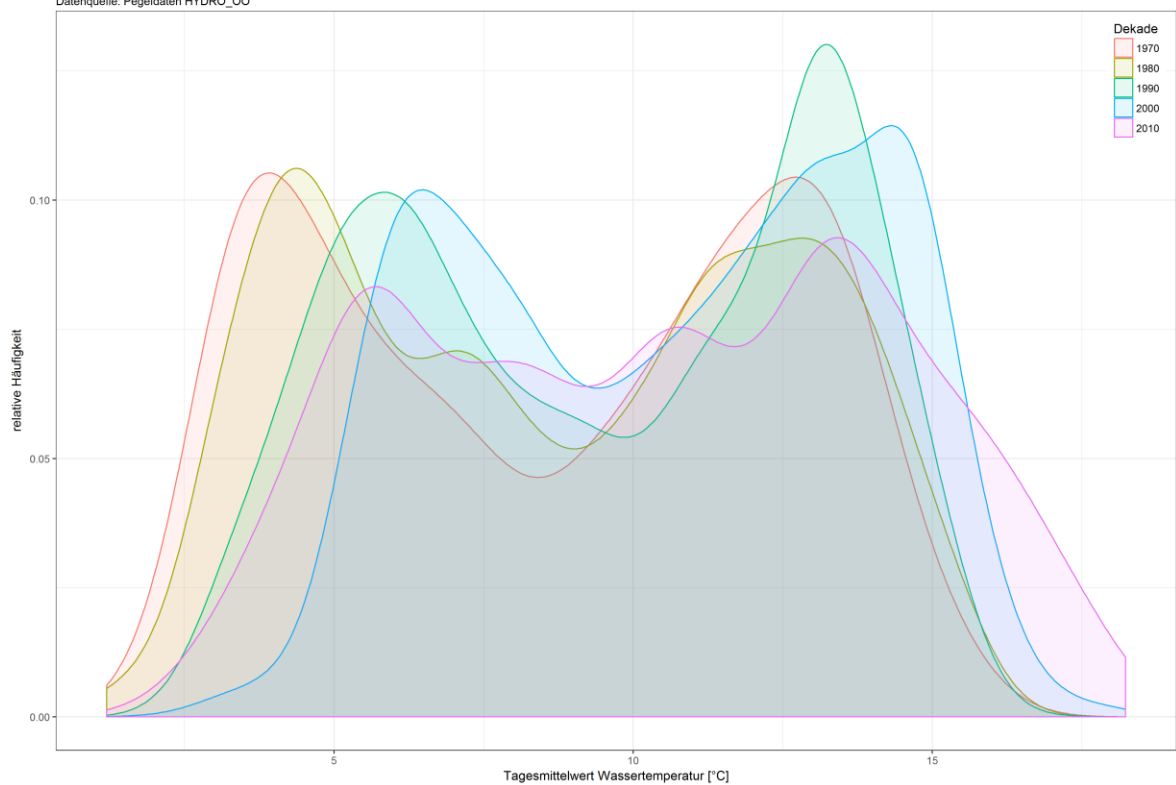
Ach - Maming



Häufigkeitsverteilung der Wassertemperaturen

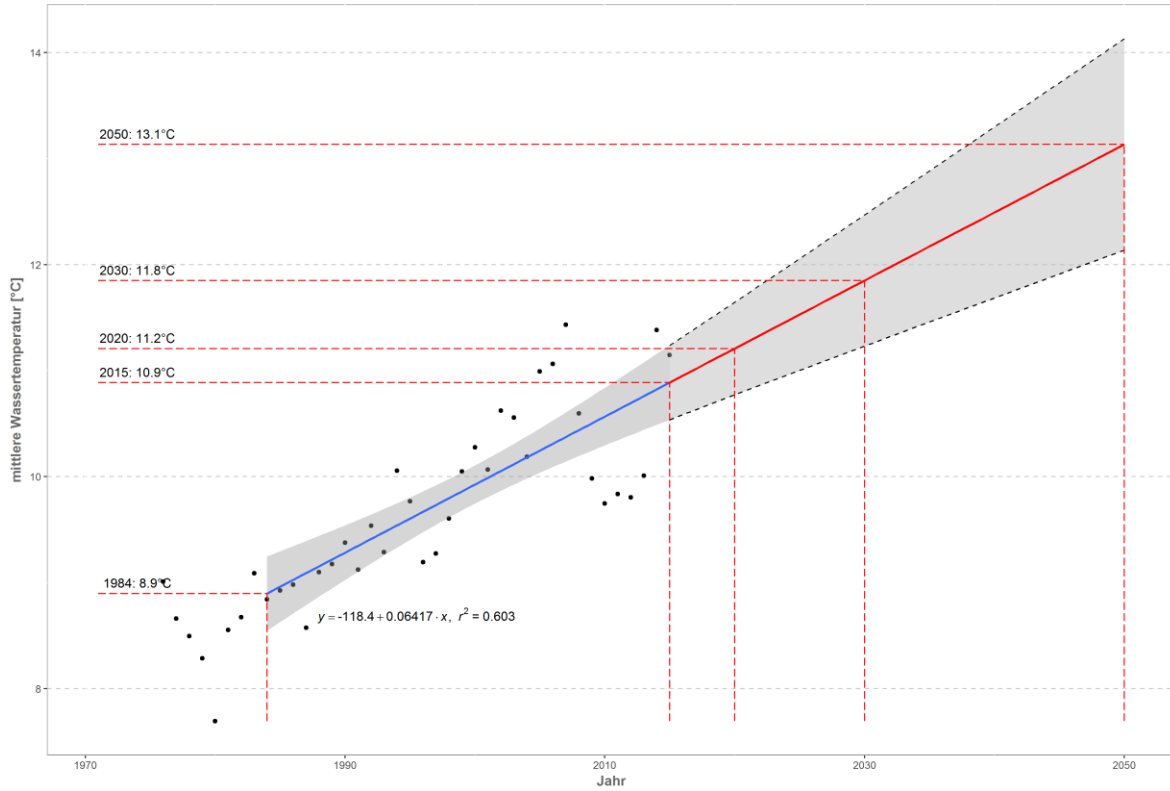
Ach - Maming

Datenquelle: Pegeldaten HYDRO_OO



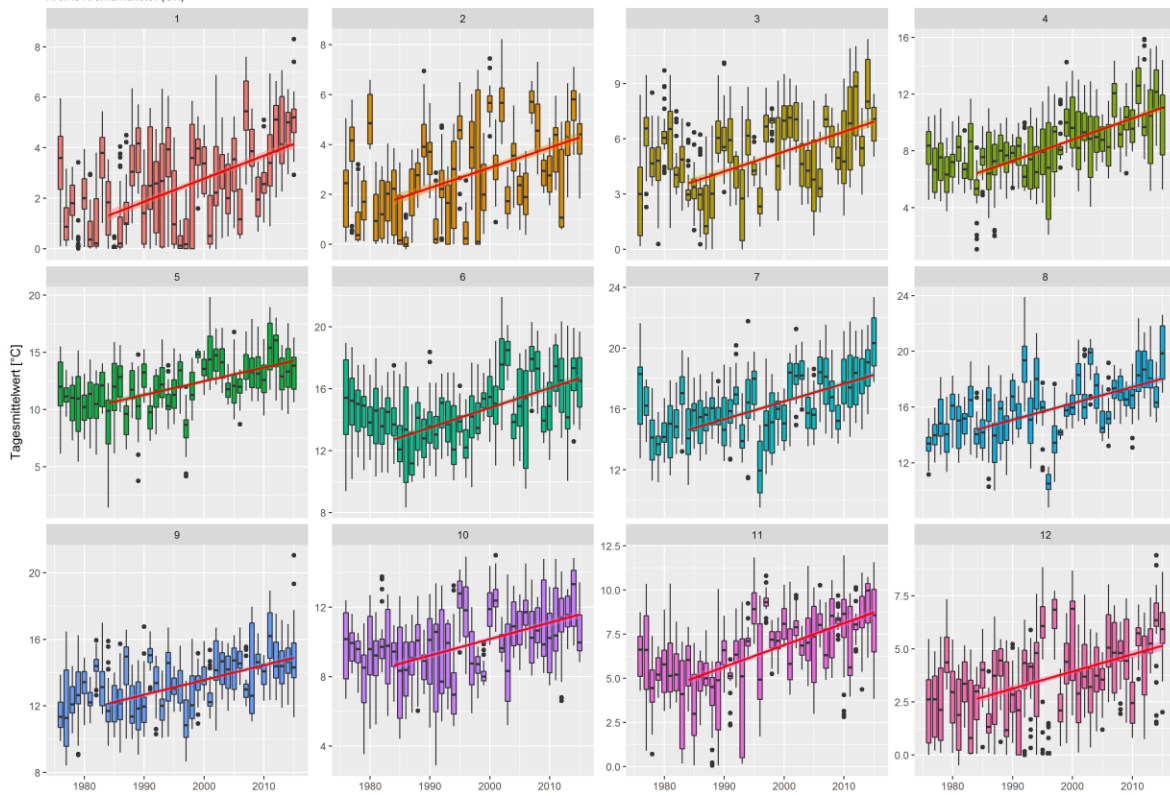
Prognose Wassertemperatur

Ach - Mamling

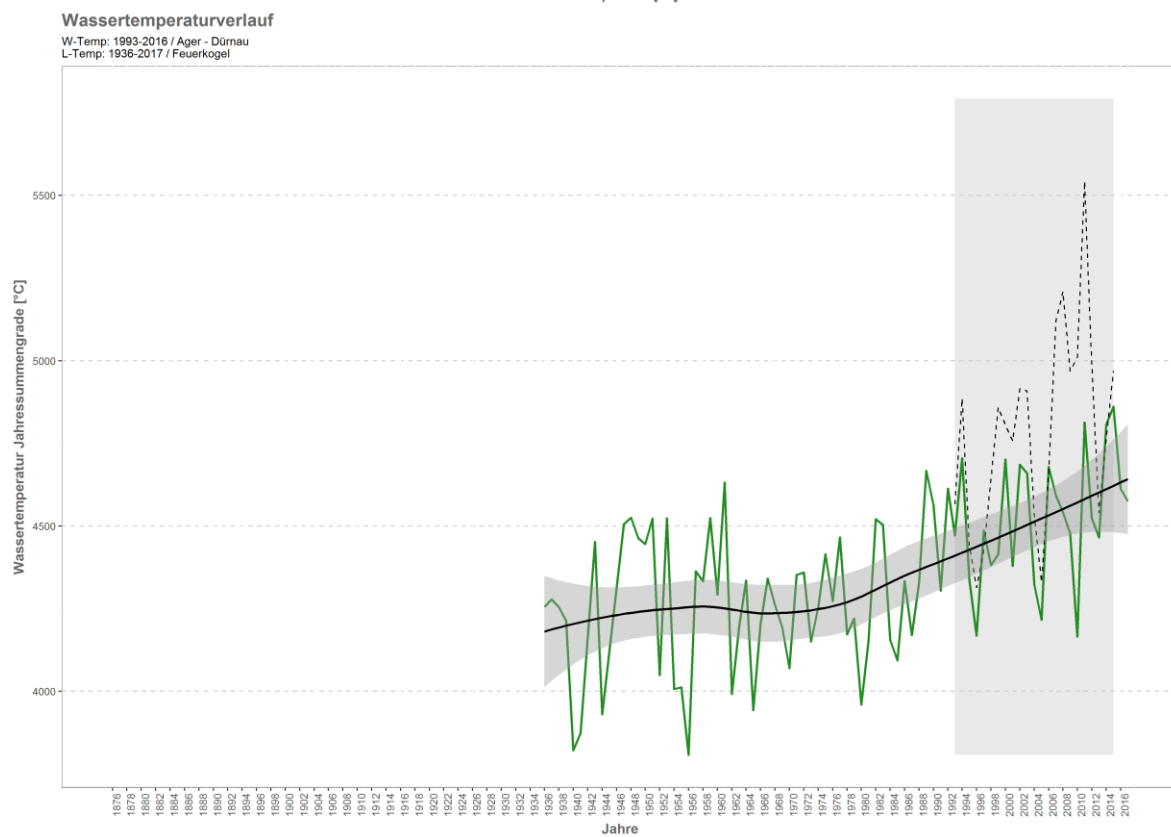
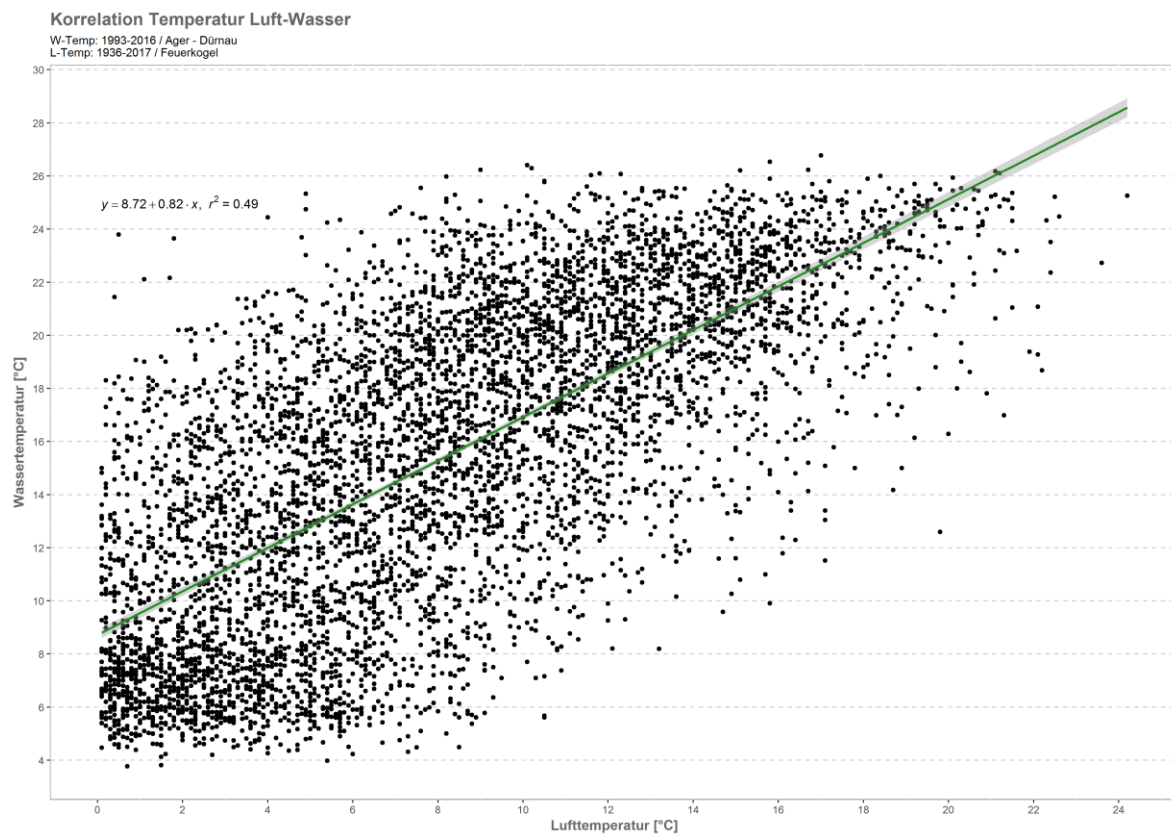


Monatsansicht der Tagesmittelwerte im Jahresverlauf

Krems Kremsmünster (Ort)

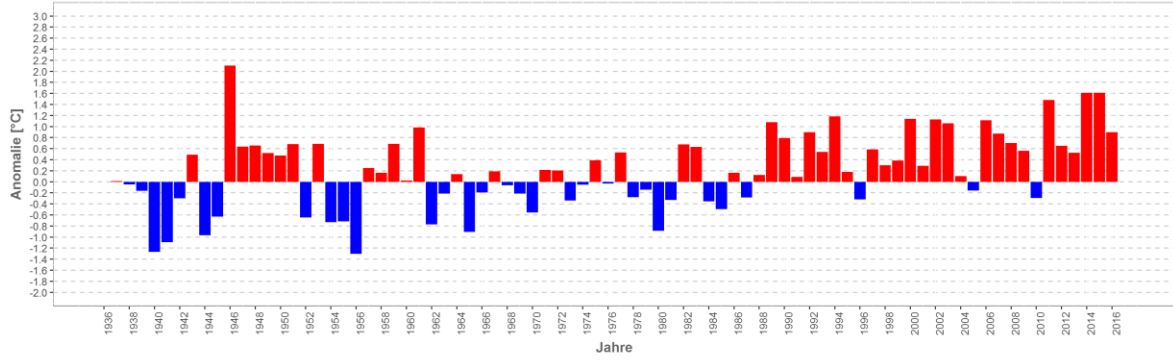


Ager – Dürnau

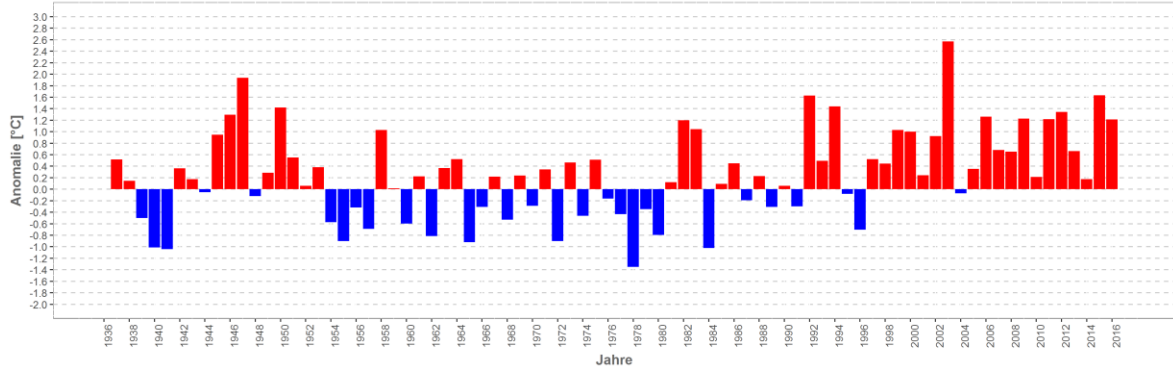


Wassertemperatur-Anomalie

Ager - Dürnau (1936-2017)
Referenz: 1961-1990

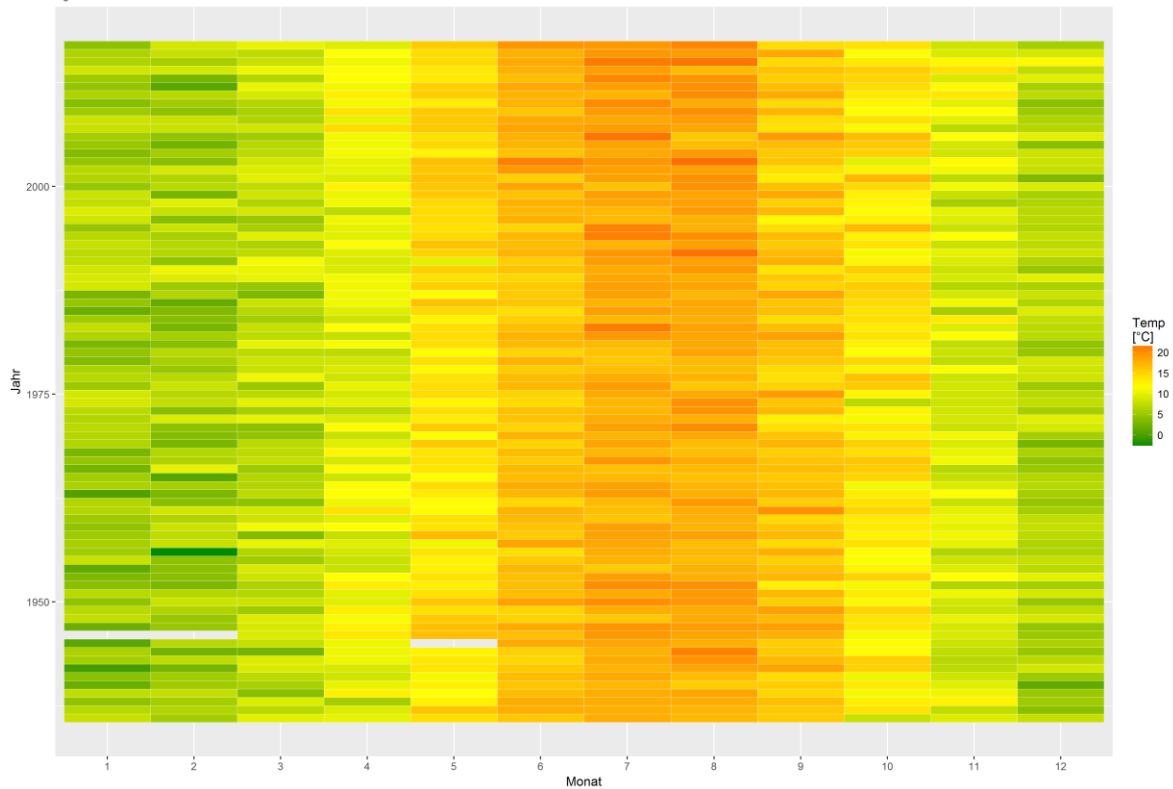


Sommermonate (Mai-Sept)



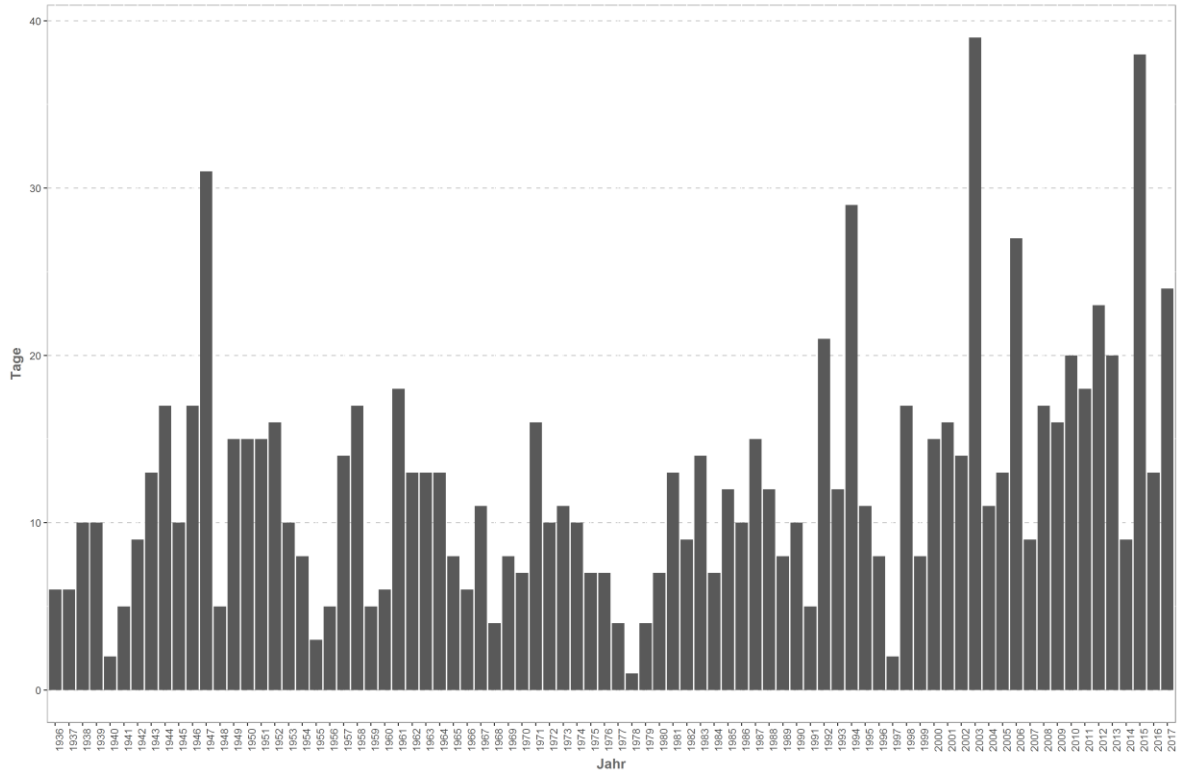
Monatsmittelwert

Ager - Dürnau



Temperaturüberschreitungen

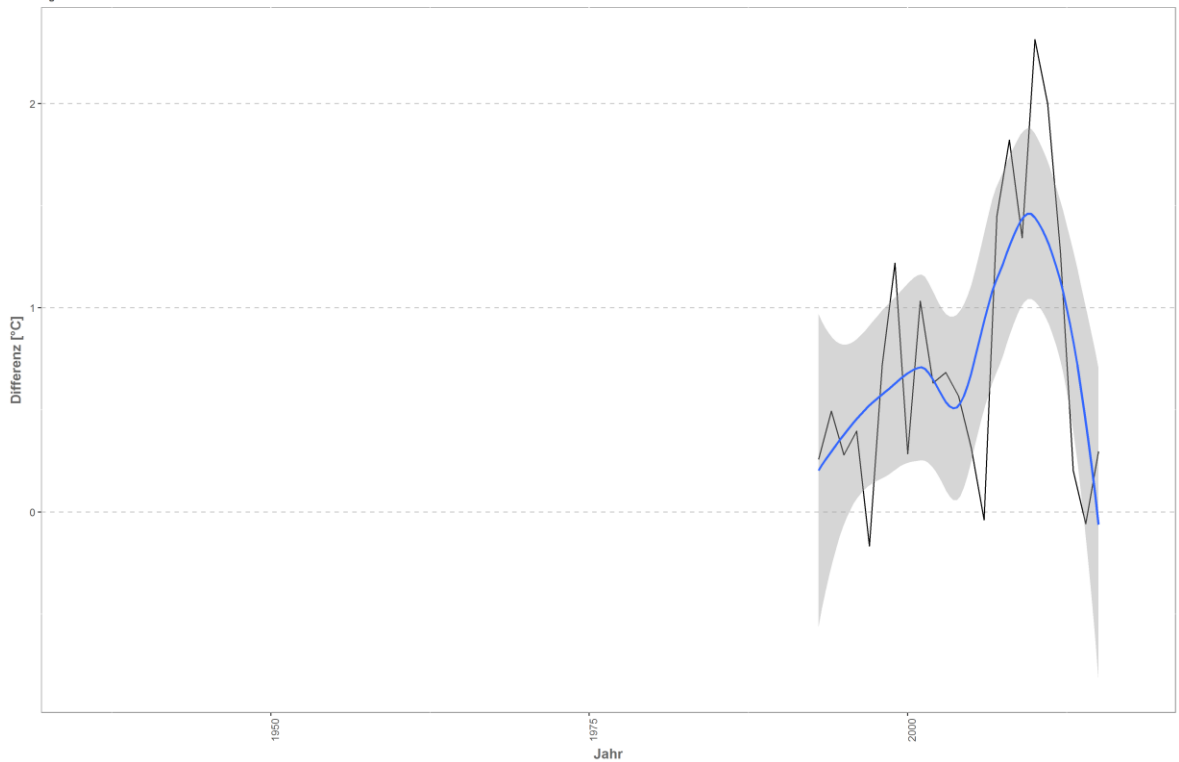
der Grenze sehr gut - gut
Ager - Dürnau



Differenzplot

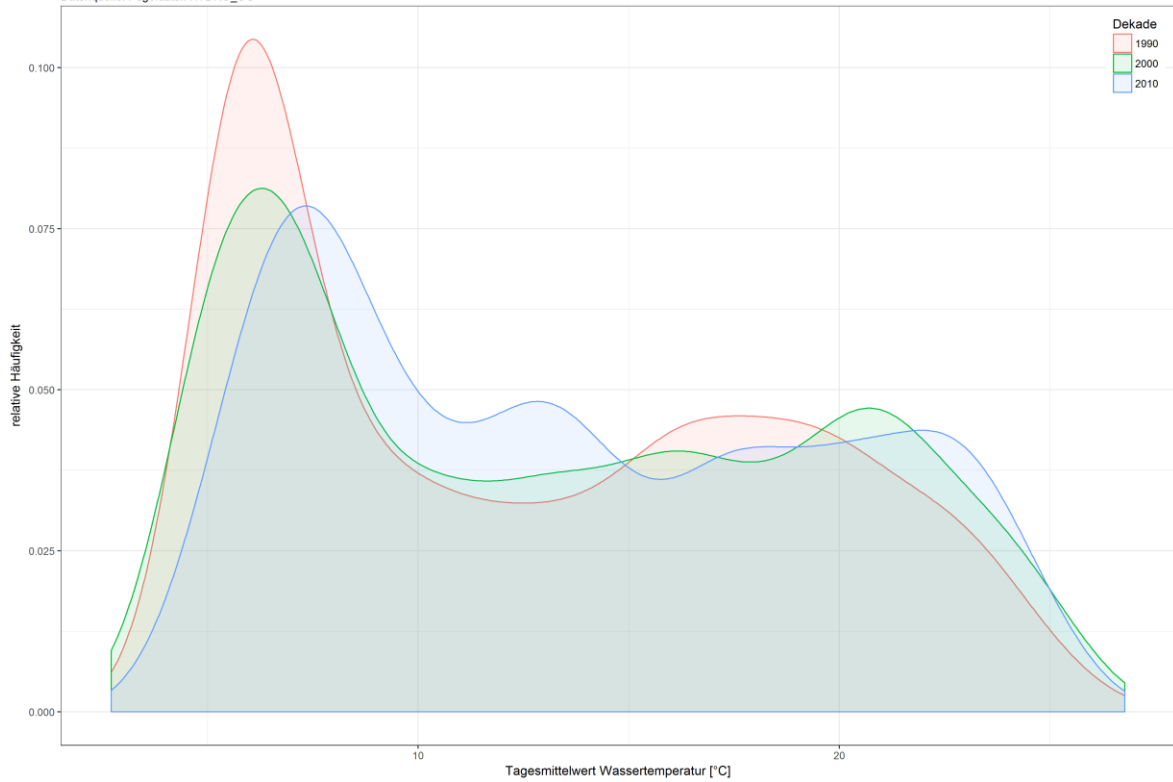
tatsächlich gemessene Wassertemperatur zu Schätzwert der linearen Regression

Ager - Dürnau



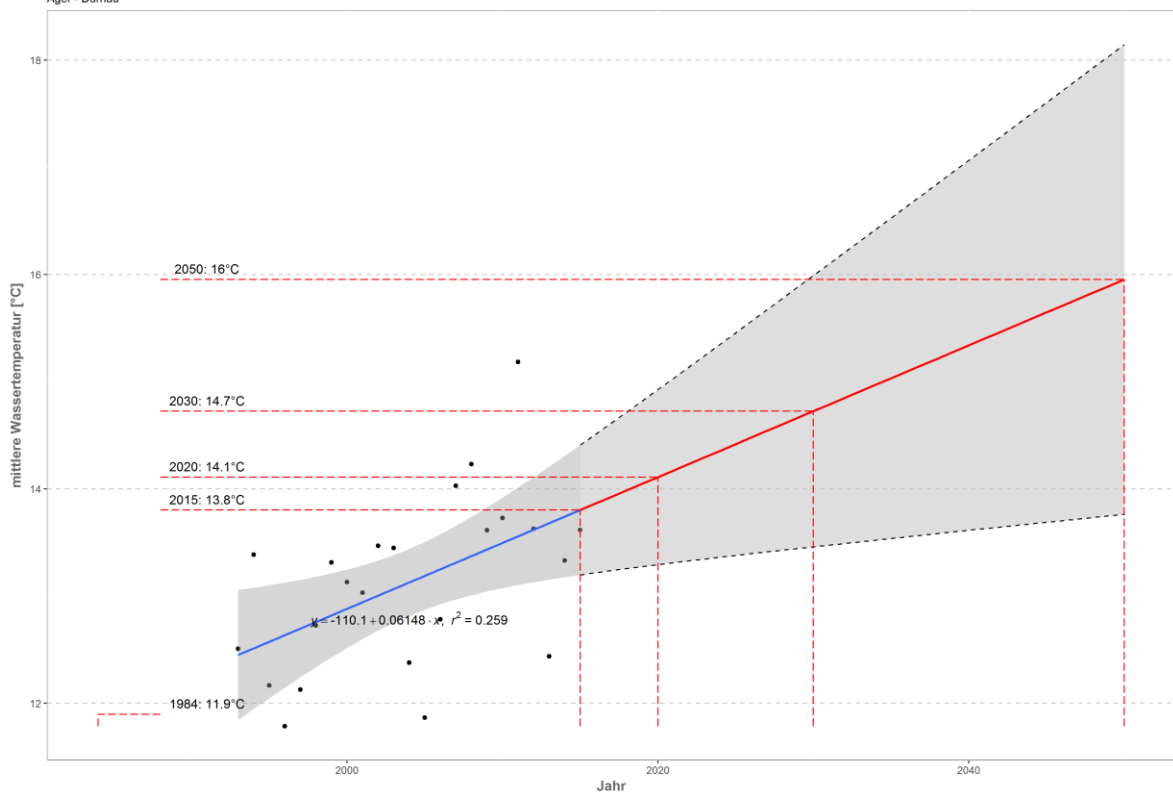
Häufigkeitsverteilung der Wassertemperaturen

Ager - Dürnau
 Datenquelle: Pegeldaten HYDRO_OO



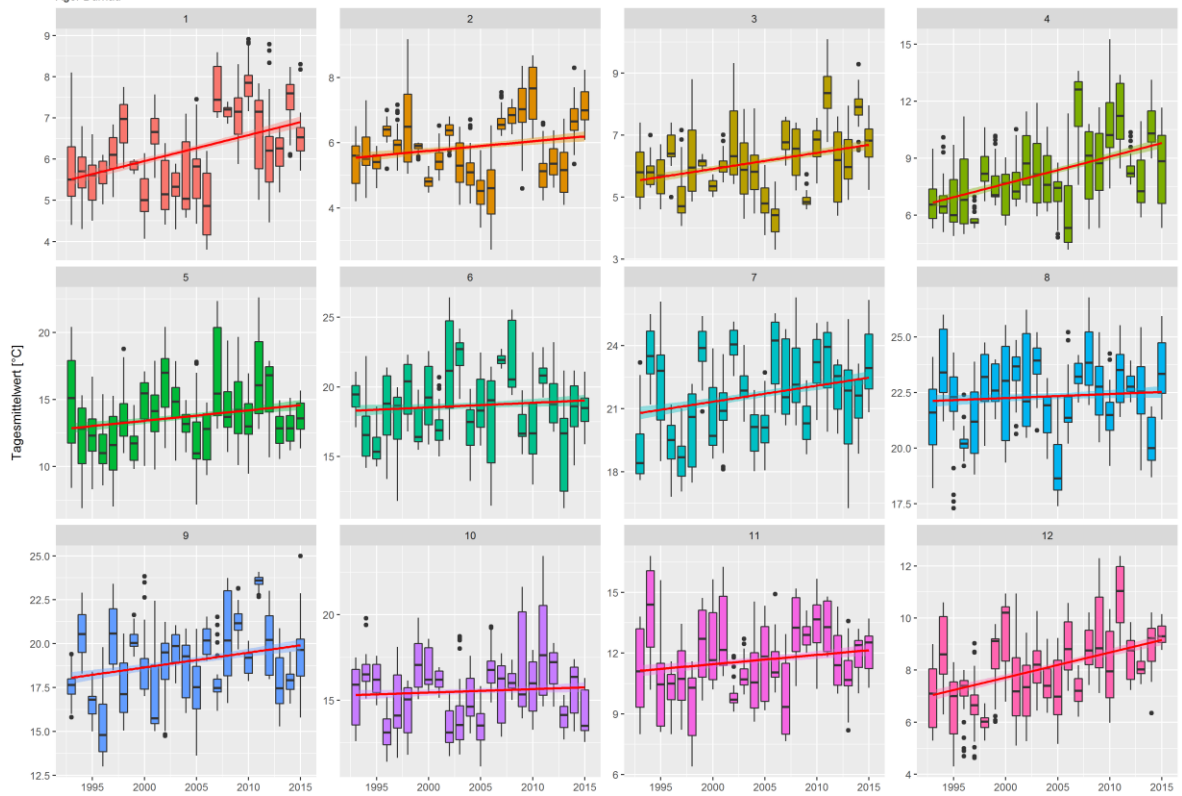
Prognose Wassertemperatur

Ager - Dürnau



Monatsansicht der Tagesmittelwerte im Jahresverlauf

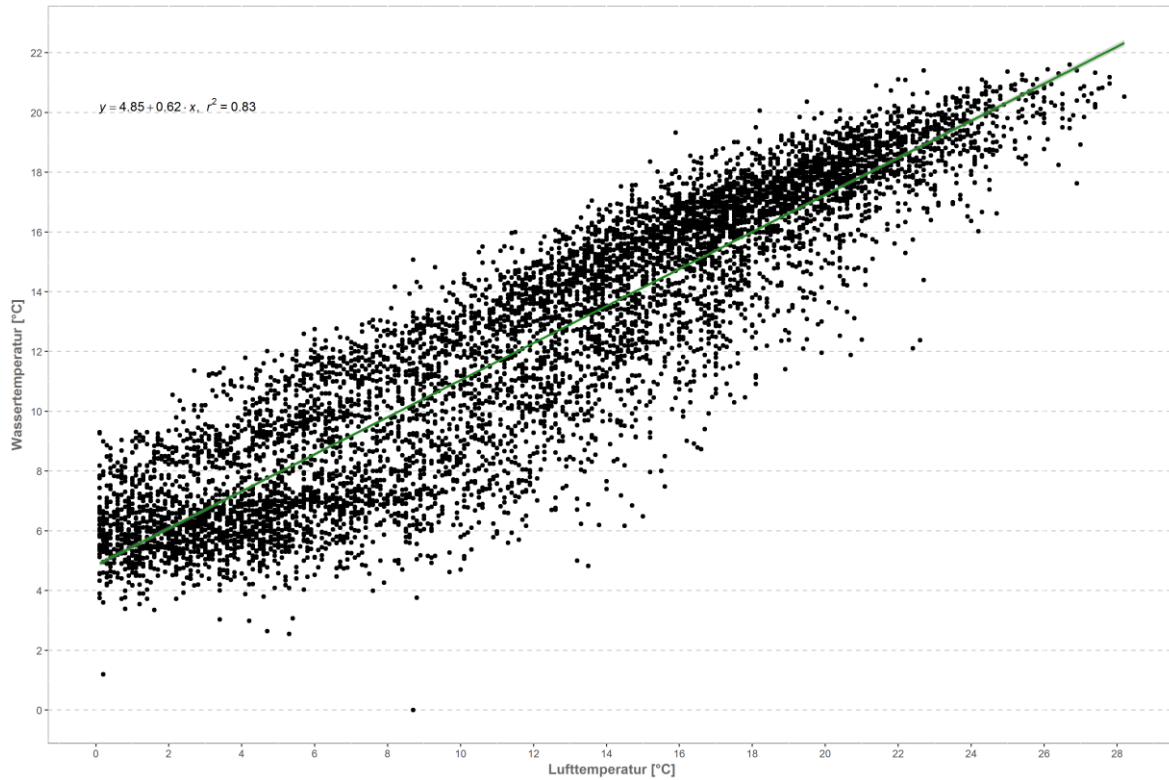
Ager Dürnau



Ager – Fischerau

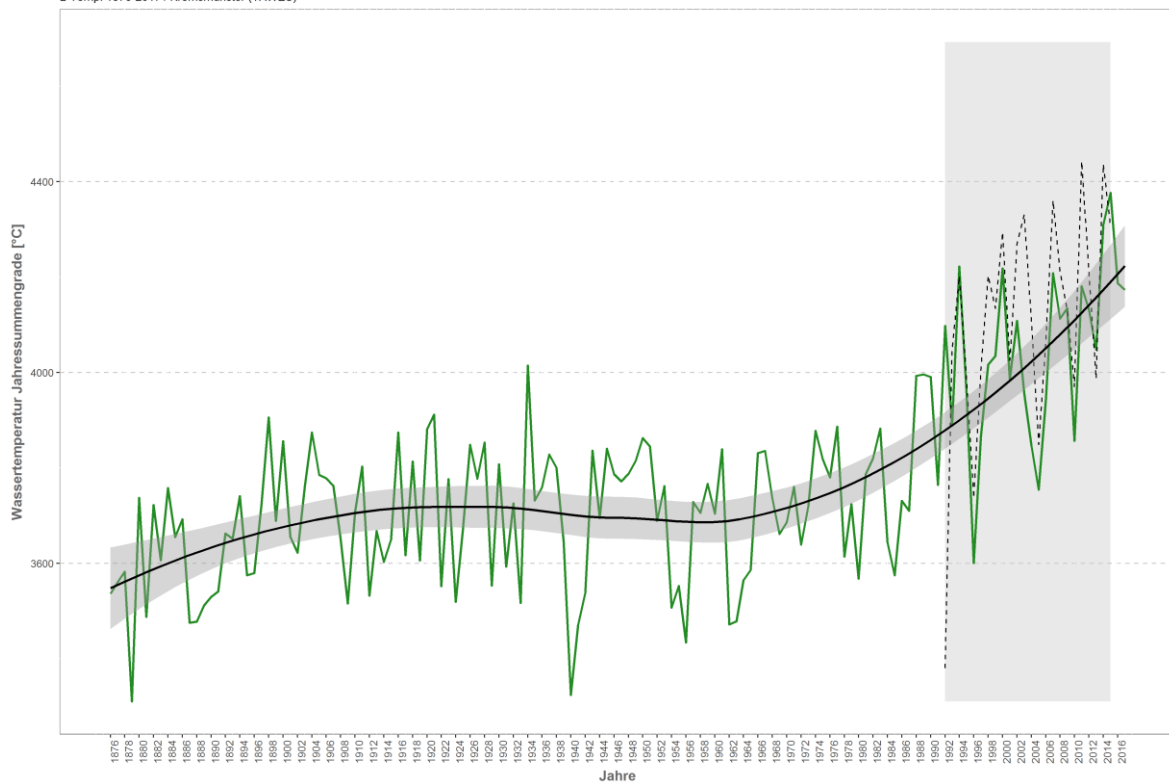
Korrelation Temperatur Luft-Wasser

W-Temp: 1992-2016 / Ager - Fischerau
L-Temp: 1876-2017 / Kremsmünster (TAWES)



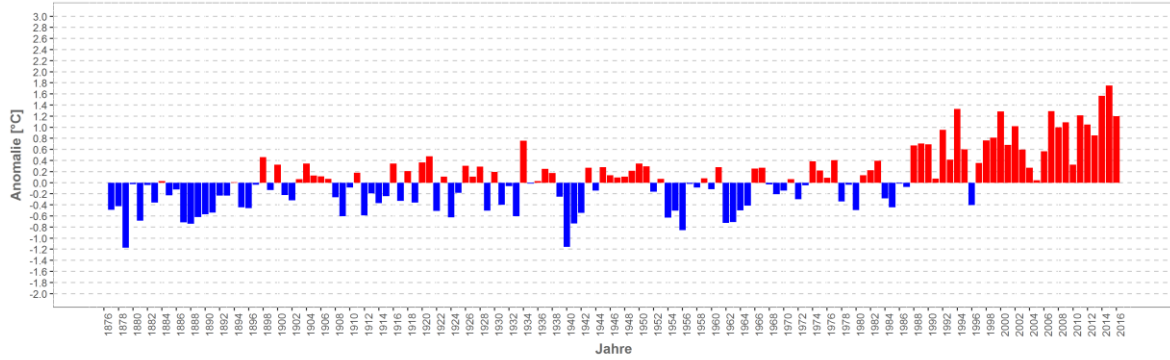
Wassertemperaturverlauf

W-Temp: 1992-2016 / Ager - Fischerau
L-Temp: 1876-2017 / Kremsmünster (TAWES)

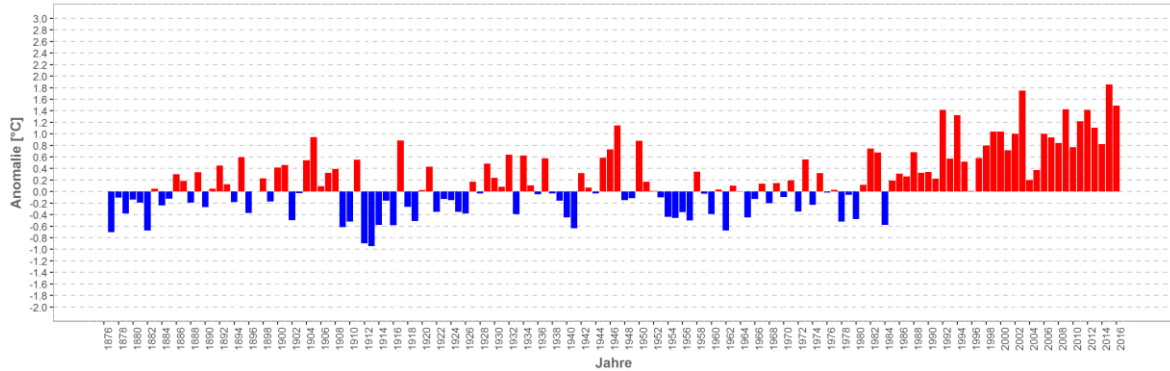


Wassertemperatur-Anomalie

Ager - Fischerau (1876-2017)
 Referenz: 1961-1990

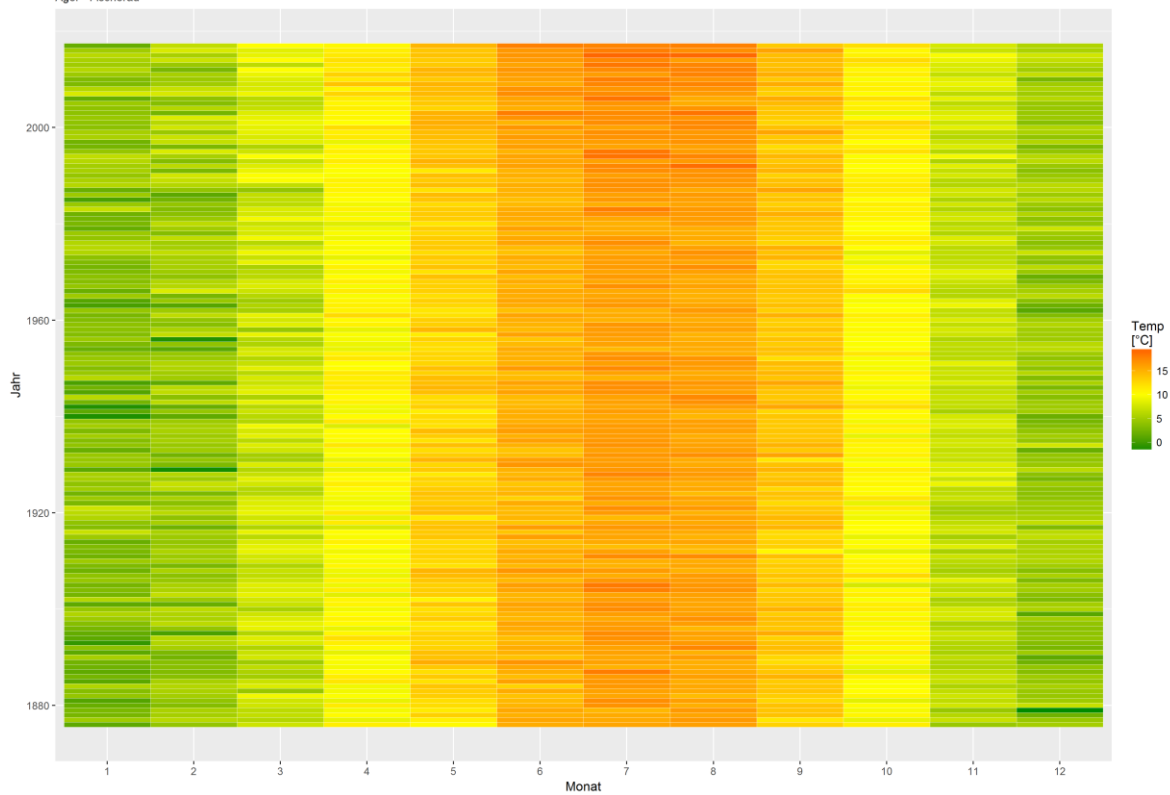


Sommermonate (Mai-Sept)



Monatsmittelwert

Ager - Fischerau



Temperaturüberschreitungen

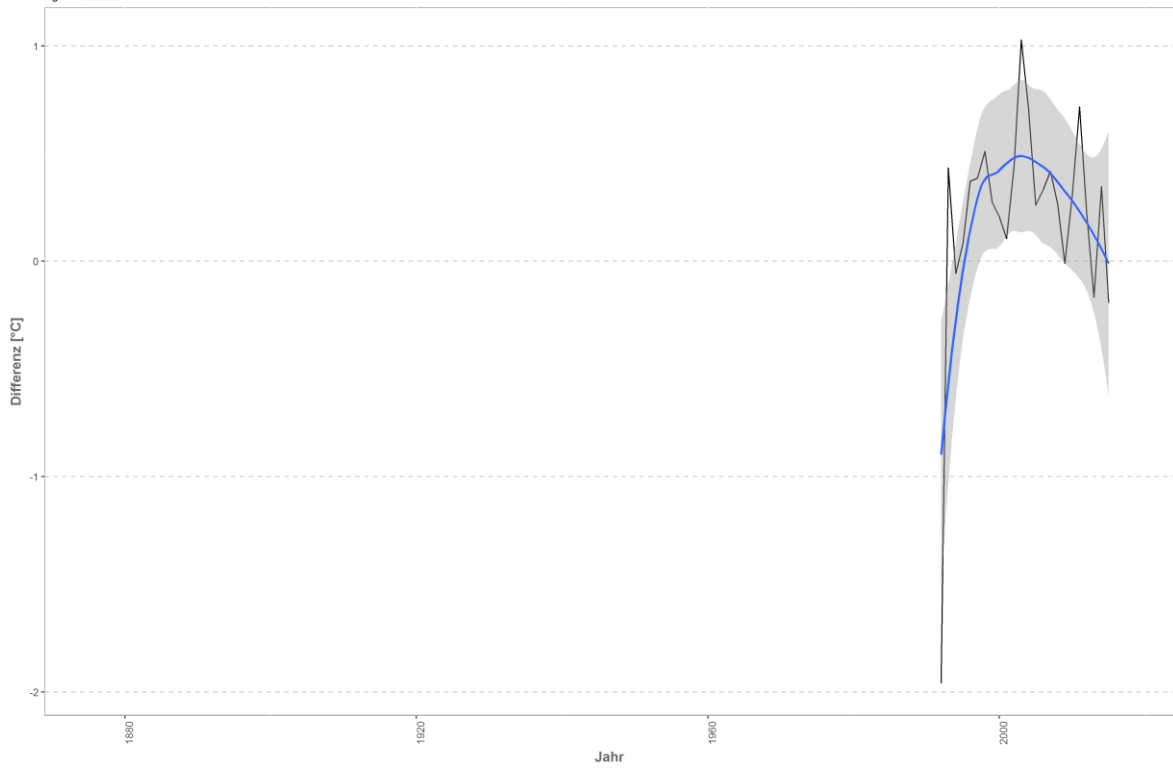
der Grenze sehr gut - gut
Ager - Fischerau



Differenzplot

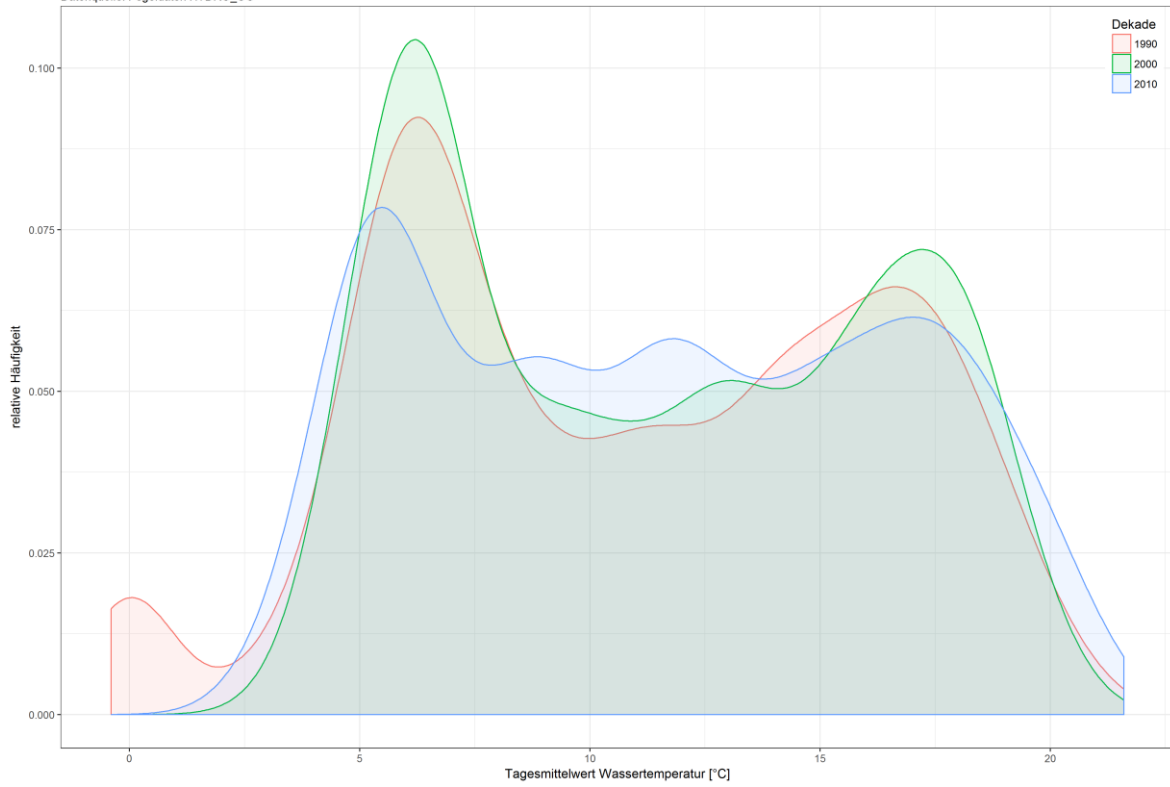
tatsächlich gemessene Wassertemperatur zu Schätzwert der linearen Regression

Ager - Fischerau



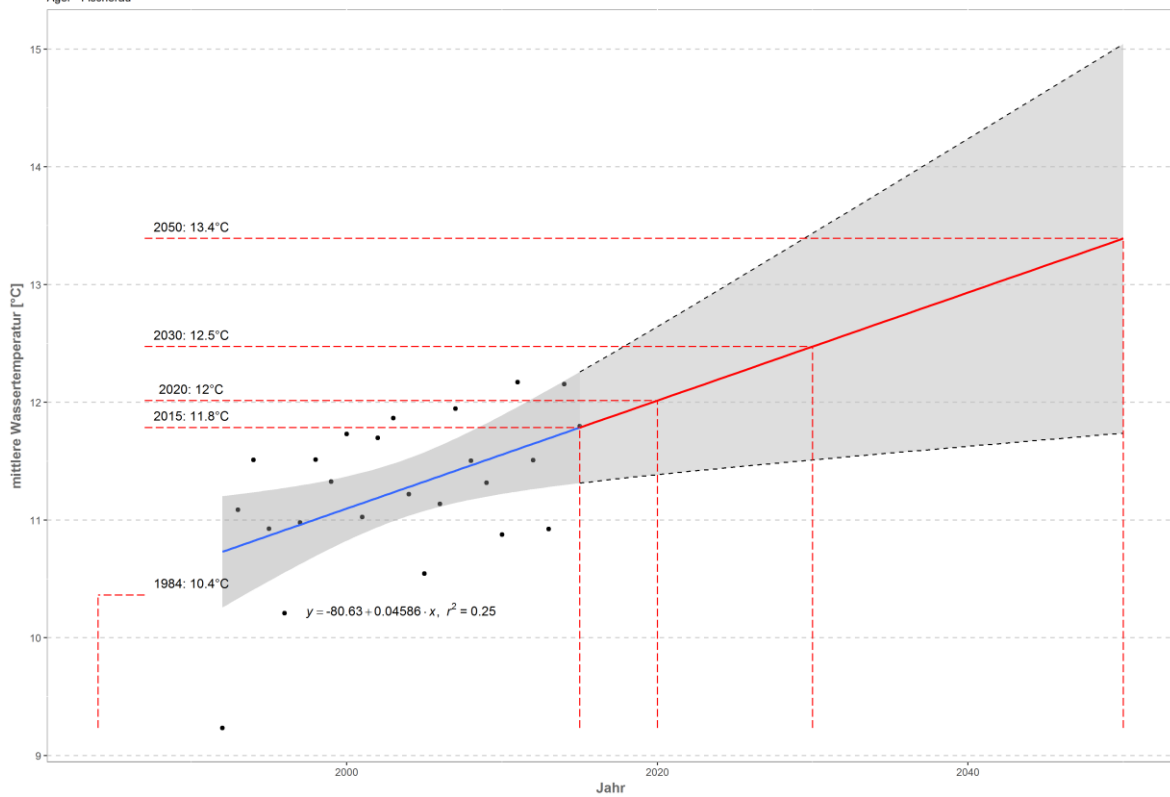
Häufigkeitsverteilung der Wassertemperaturen

Ager - Fischerau
 Datenquelle: Pegeldaten HYDRO_OO



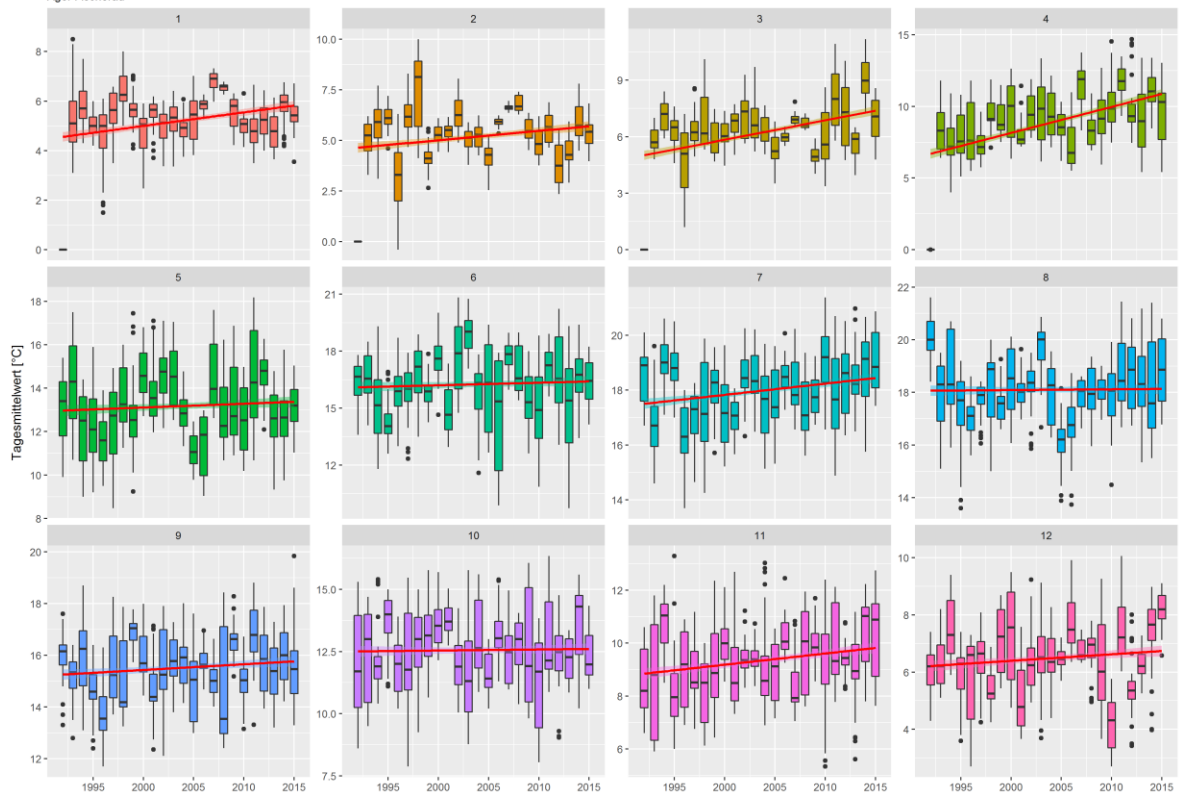
Prognose Wassertemperatur

Ager - Fischerau



Monatsansicht der Tagesmittelwerte im Jahresverlauf

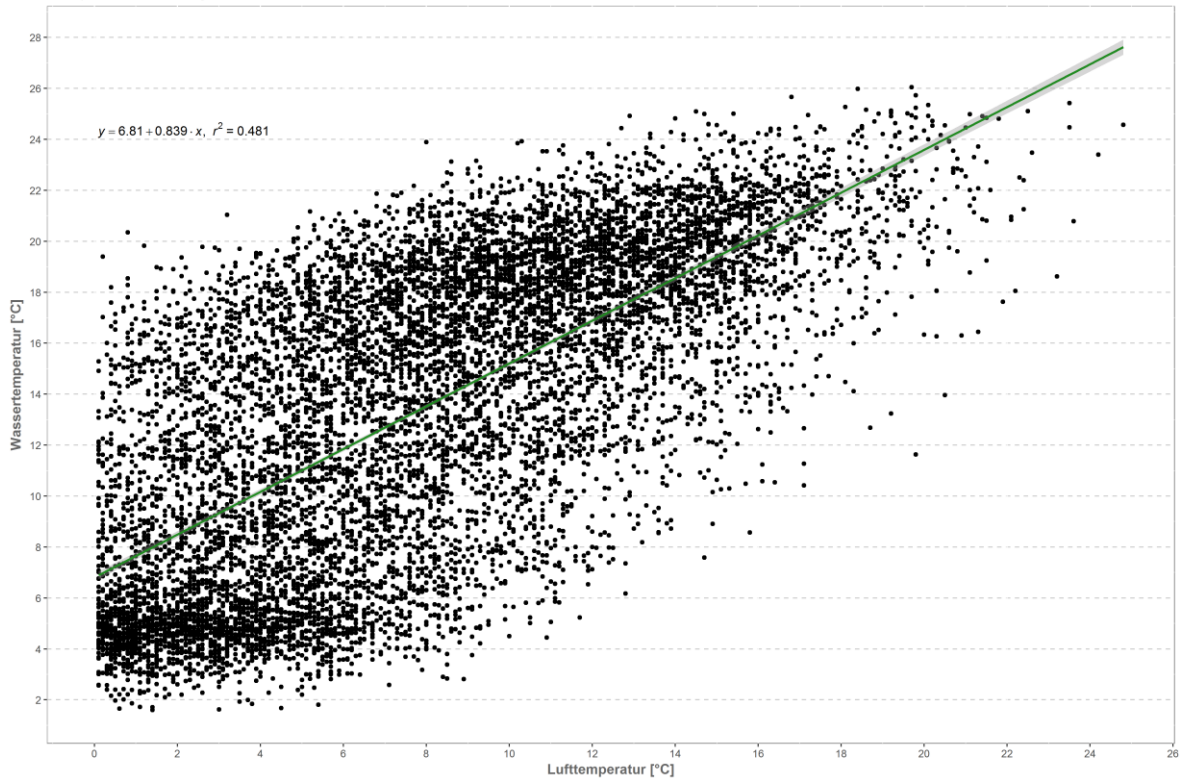
Ager Fischerau



Ager – Raudaschlsäge

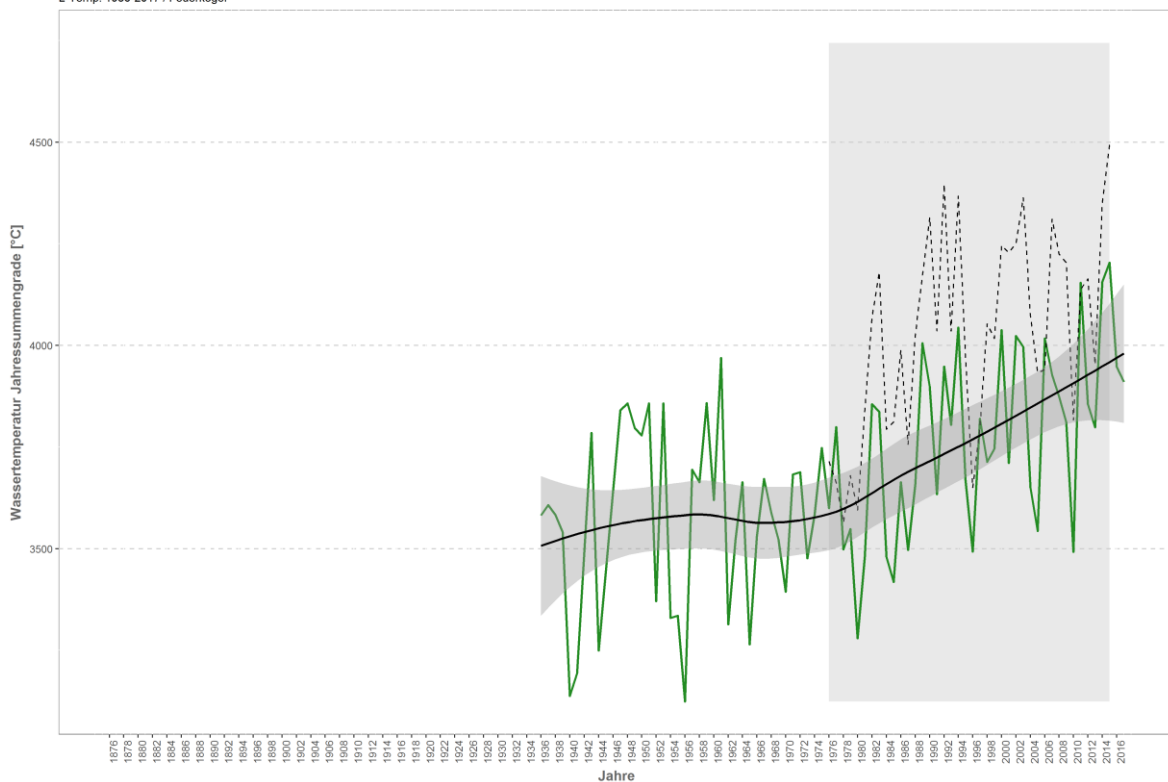
Korrelation Temperatur Luft-Wasser

W-Temp: 1976-2016 / Ager - Raudaschlsäge
L-Temp: 1936-2017 / Feuerkogel



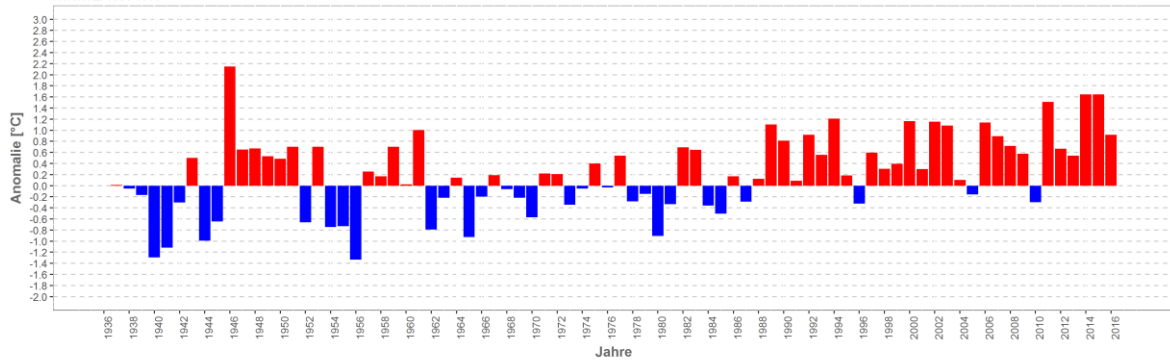
Wassertemperaturverlauf

W-Temp: 1976-2016 / Ager - Raudaschlsäge
L-Temp: 1936-2017 / Feuerkogel

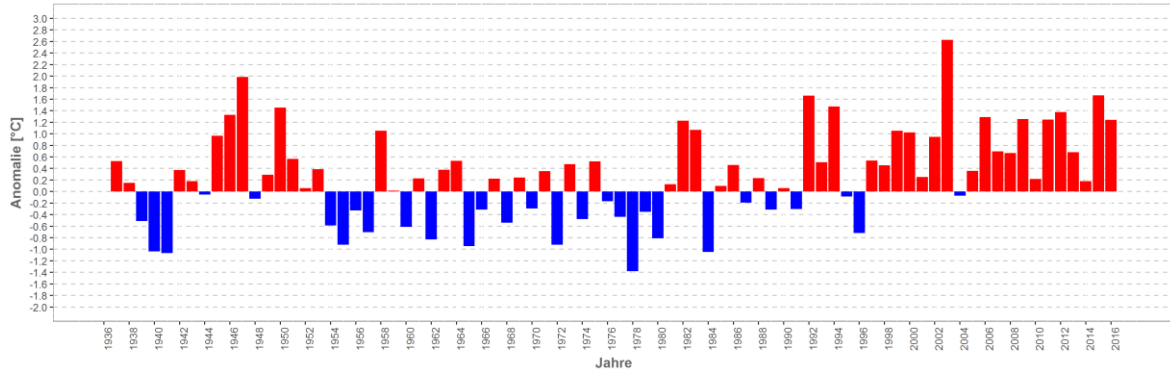


Wassertemperatur-Anomalie

Ager - Raudaschisäge (1936-2017)
Referenz: 1961-1990

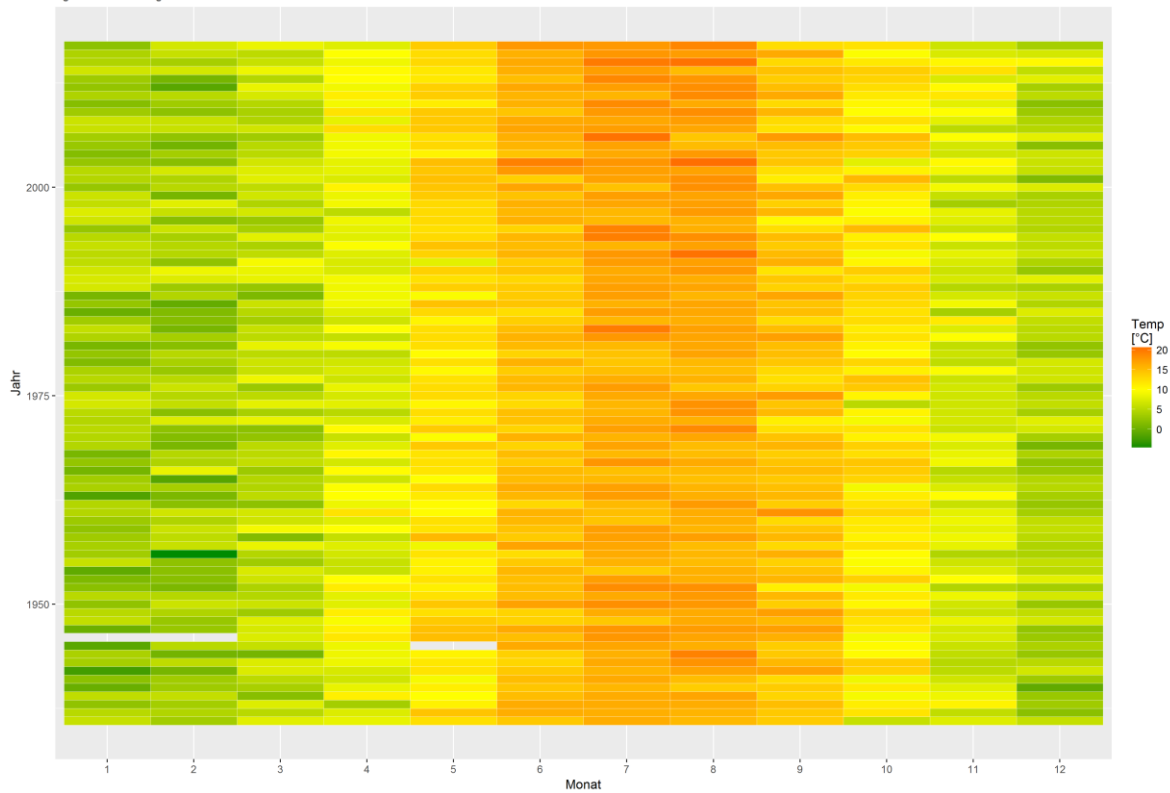


Sommermonate (Mai-Sept)



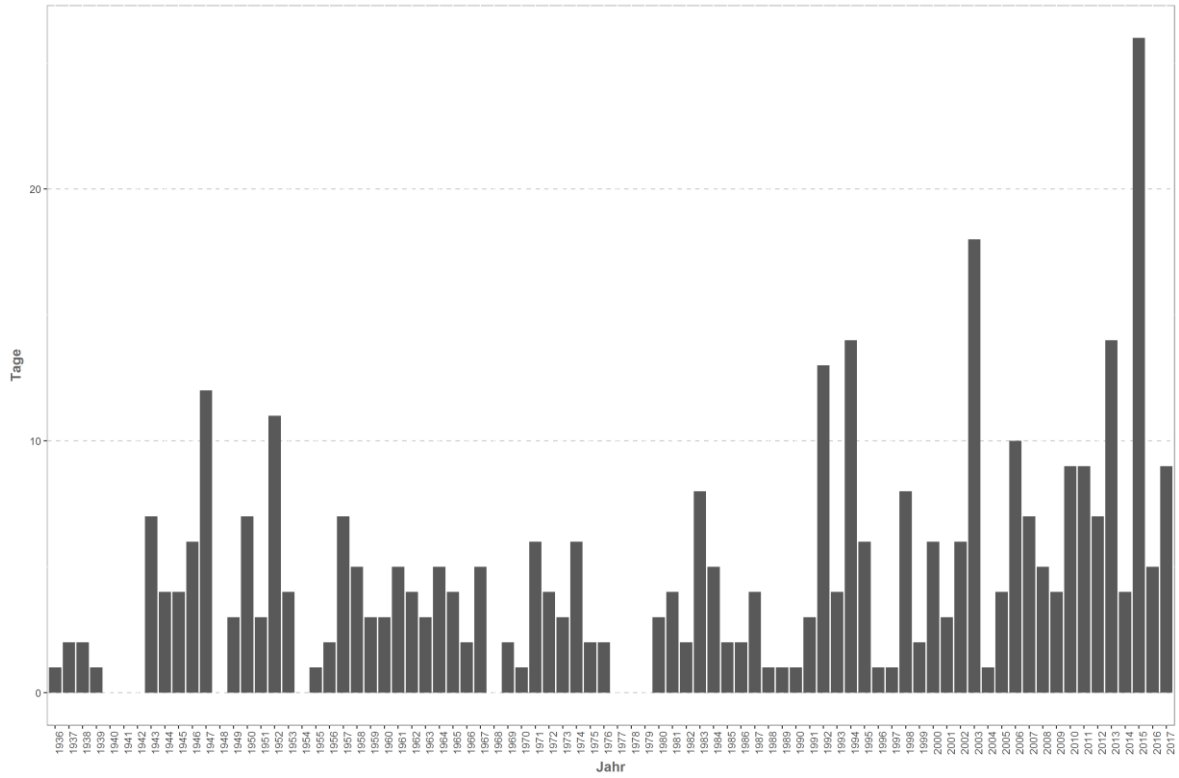
Monatsmittelwert

Ager - Raudaschisäge



Temperaturüberschreitungen

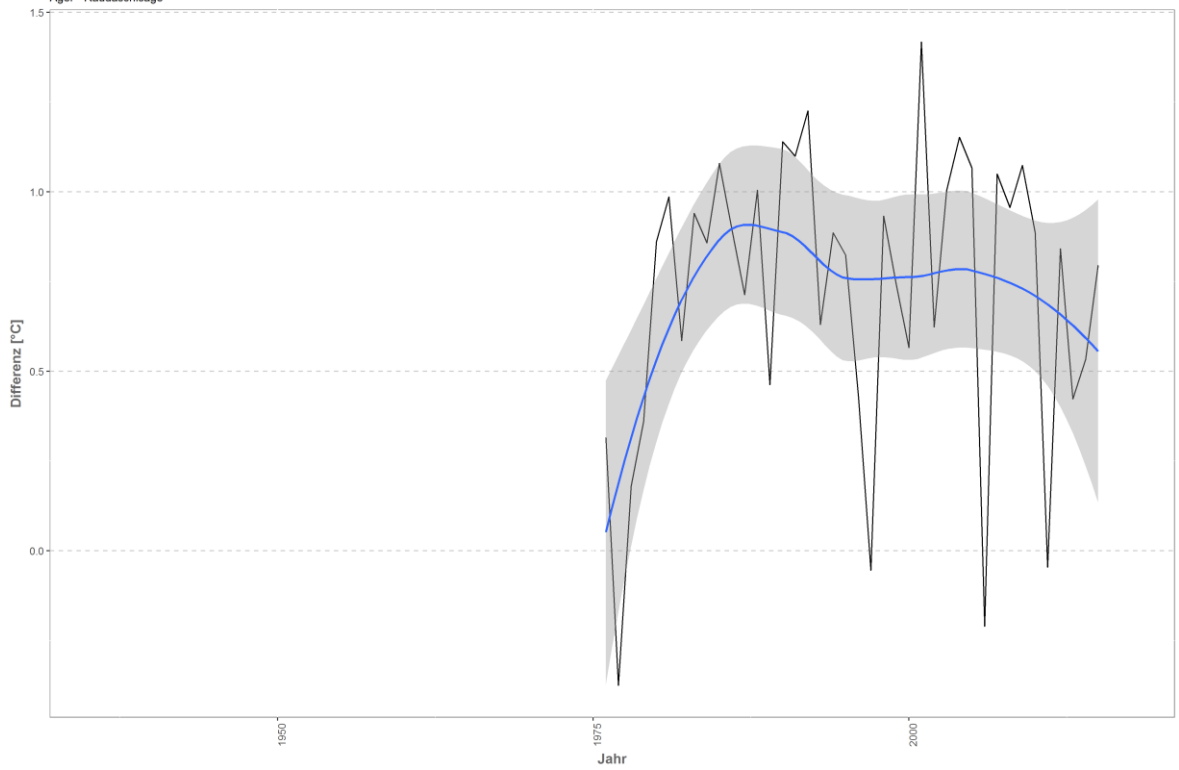
der Grenze sehr gut - gut
Ager - Raudaschlsäge



Differenzplot

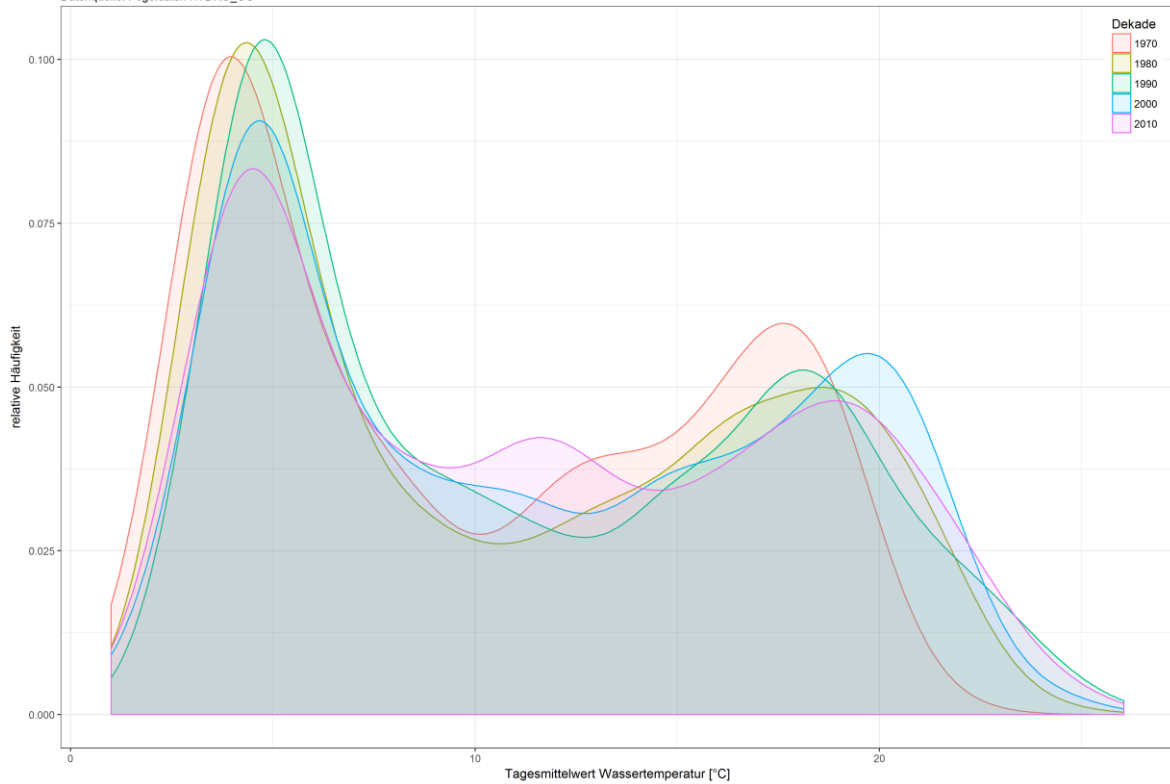
tatsächlich gemessene Wassertemperatur zu Schätzwert der linearen Regression

Ager - Raudaschlsäge



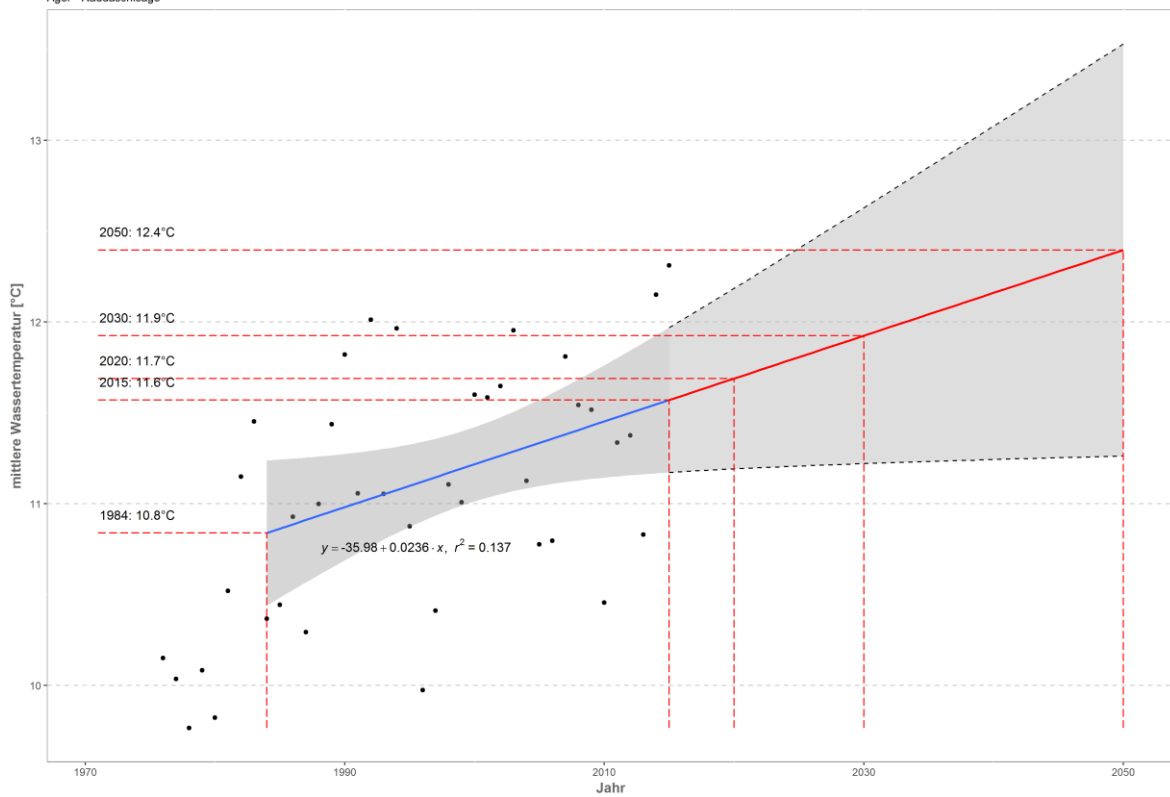
Häufigkeitsverteilung der Wassertemperaturen

Ager - Raudaschlsäge
 Datenquelle: Pegeldaten HYDRO_OO



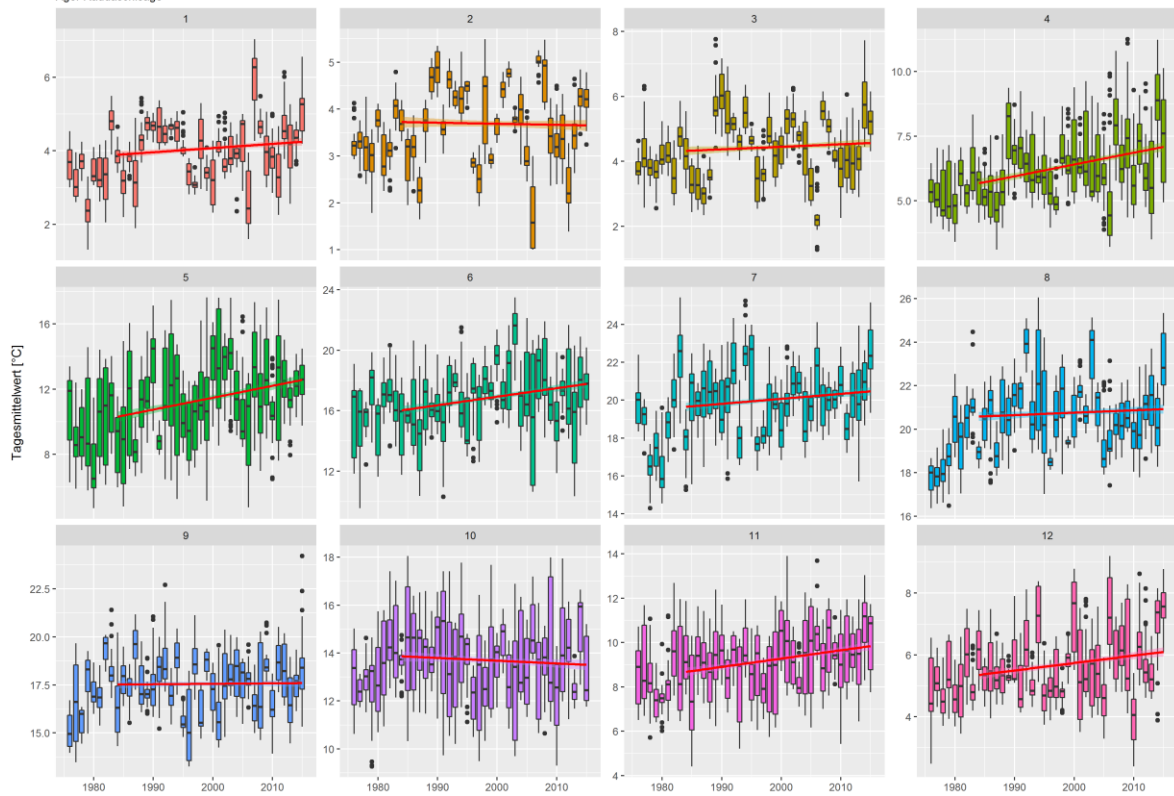
Prognose Wassertemperatur

Ager - Raudaschlsäge

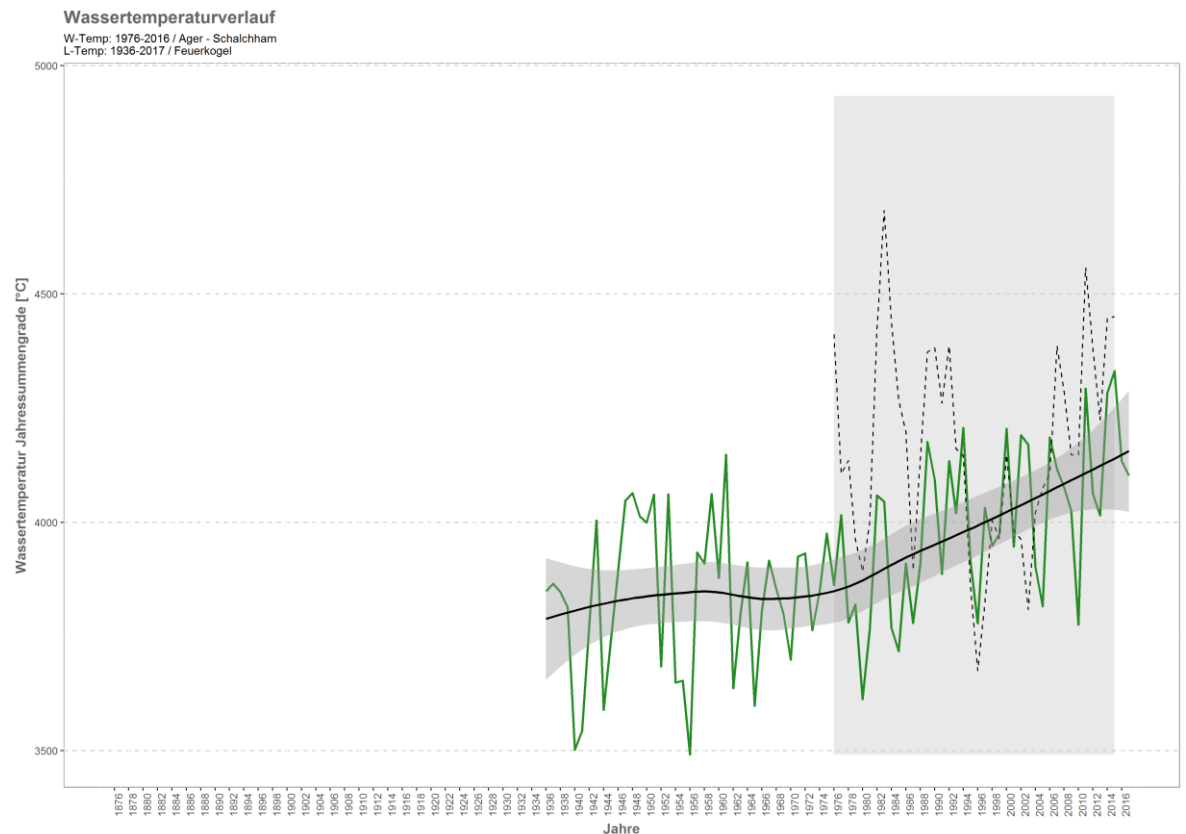
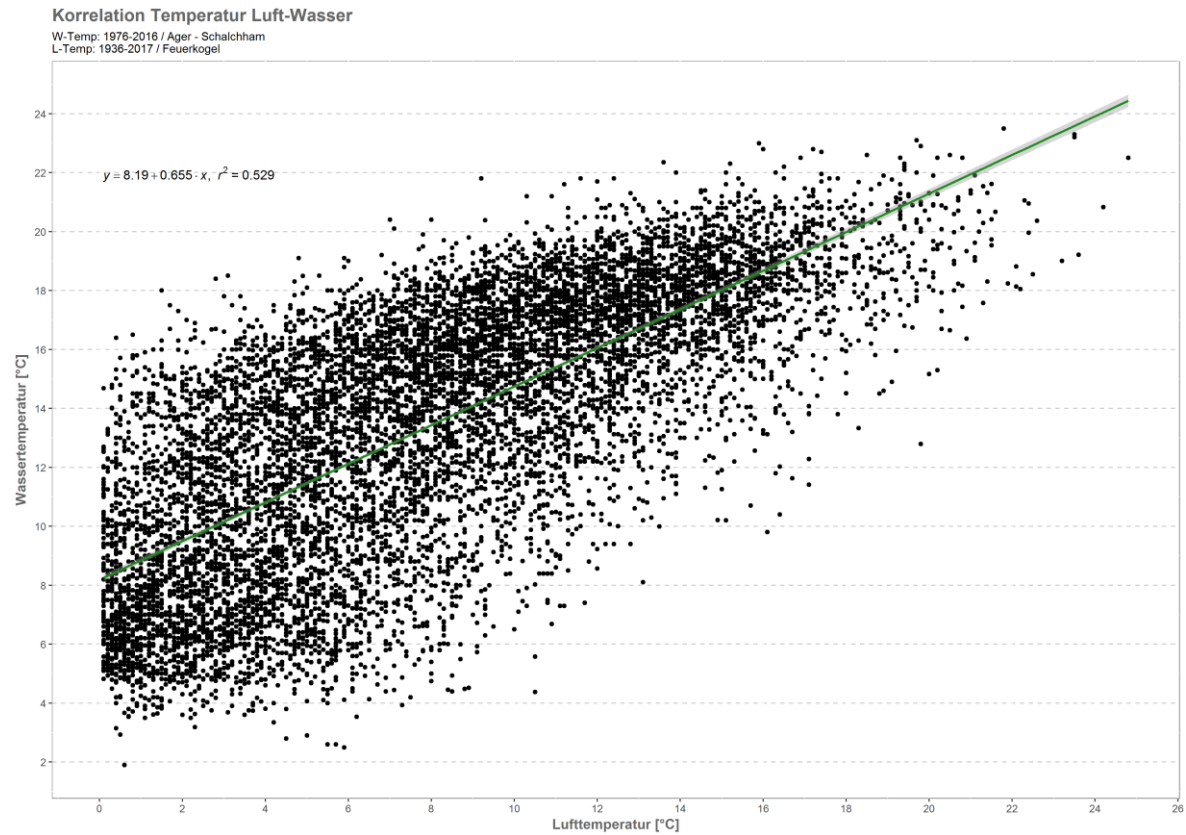


Monatsansicht der Tagesmittelwerte im Jahresverlauf

Ager Raudaschläge

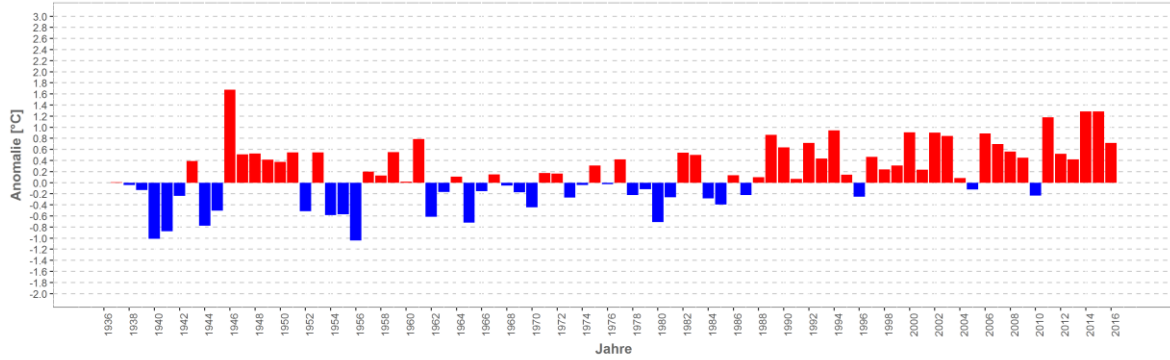


Ager – Schalchham

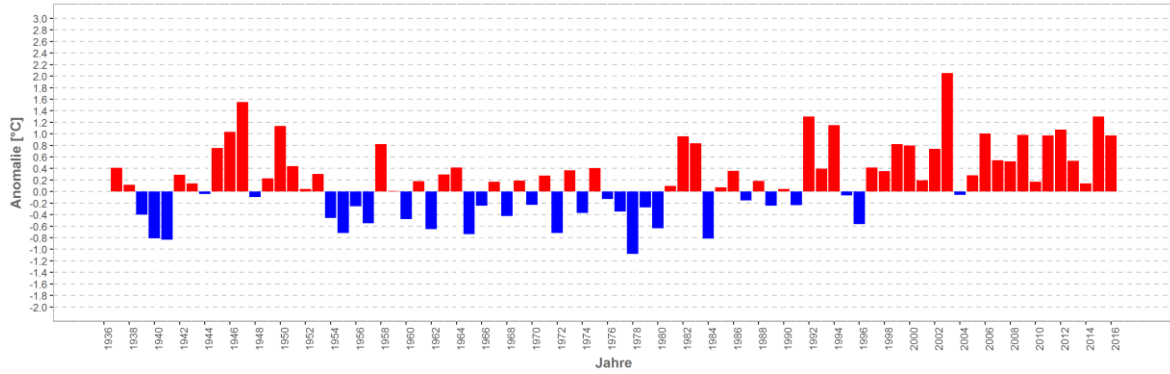


Wassertemperatur-Anomalie

Ager - Schalchham (1936-2017)
Referenz: 1961-1990

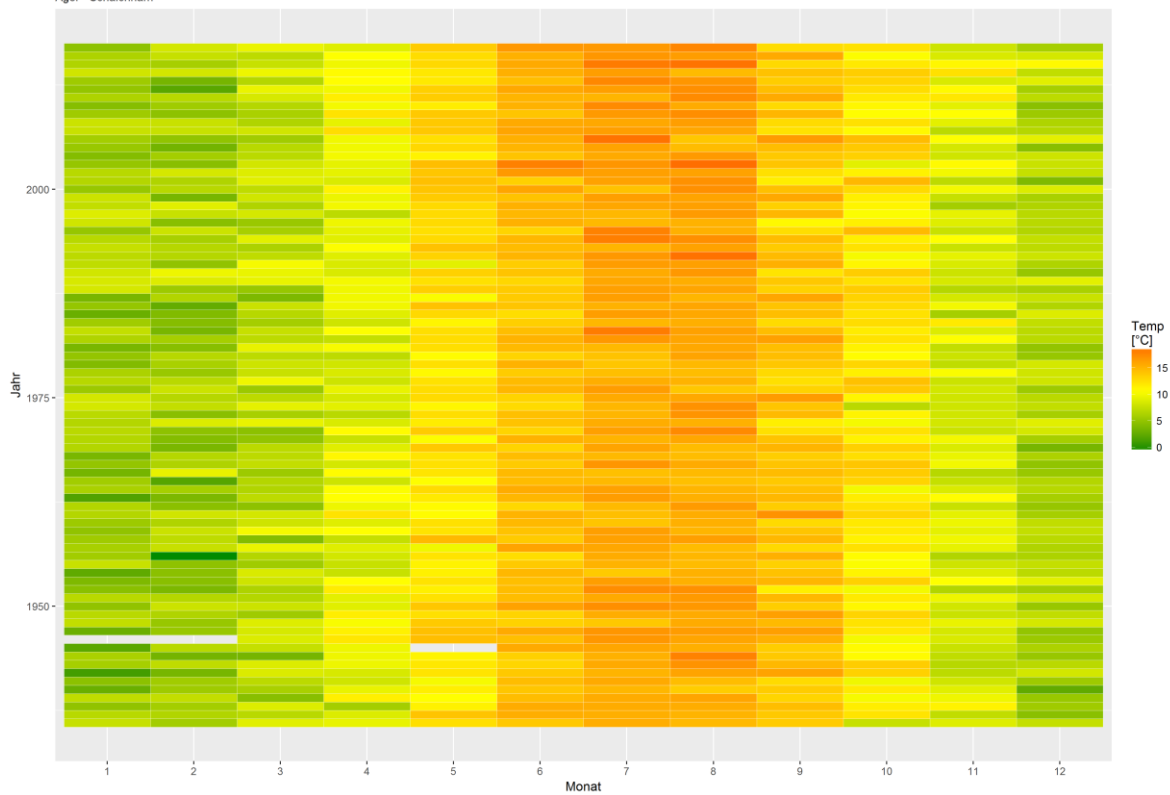


Sommermonate (Mai-Sept)



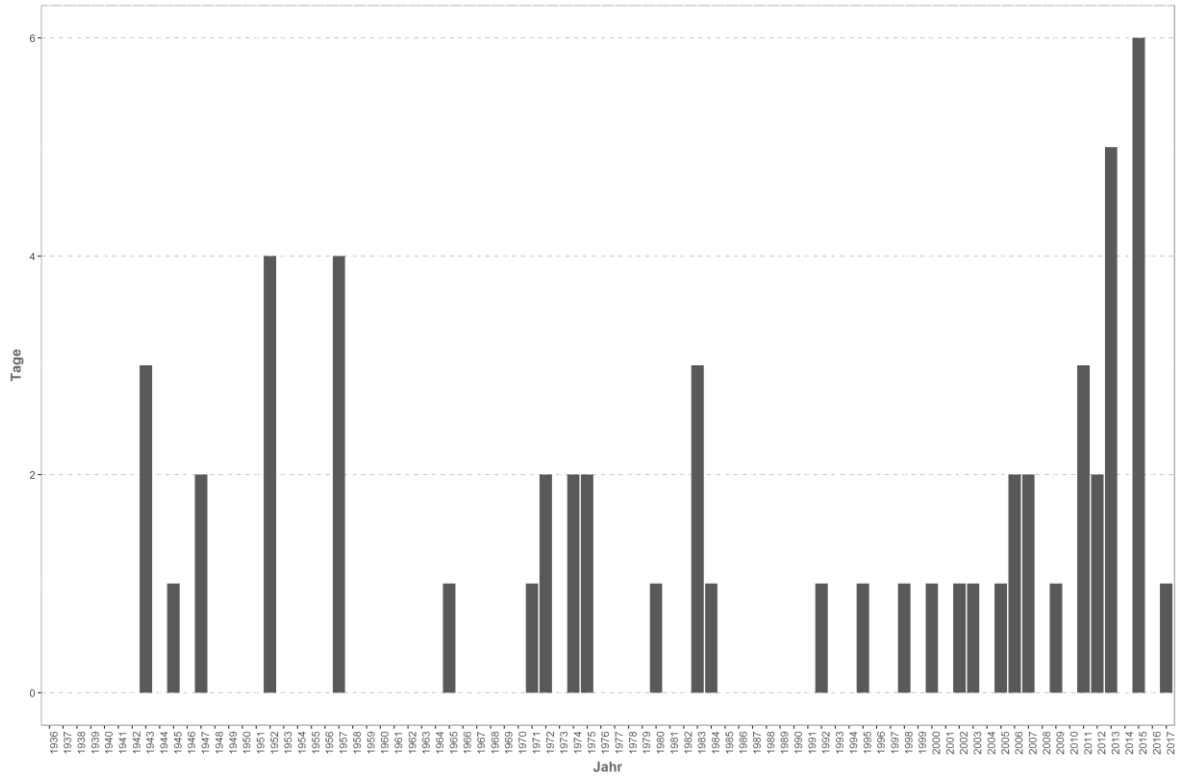
Monatsmittelwert

Ager - Schalchham



Temperaturüberschreitungen

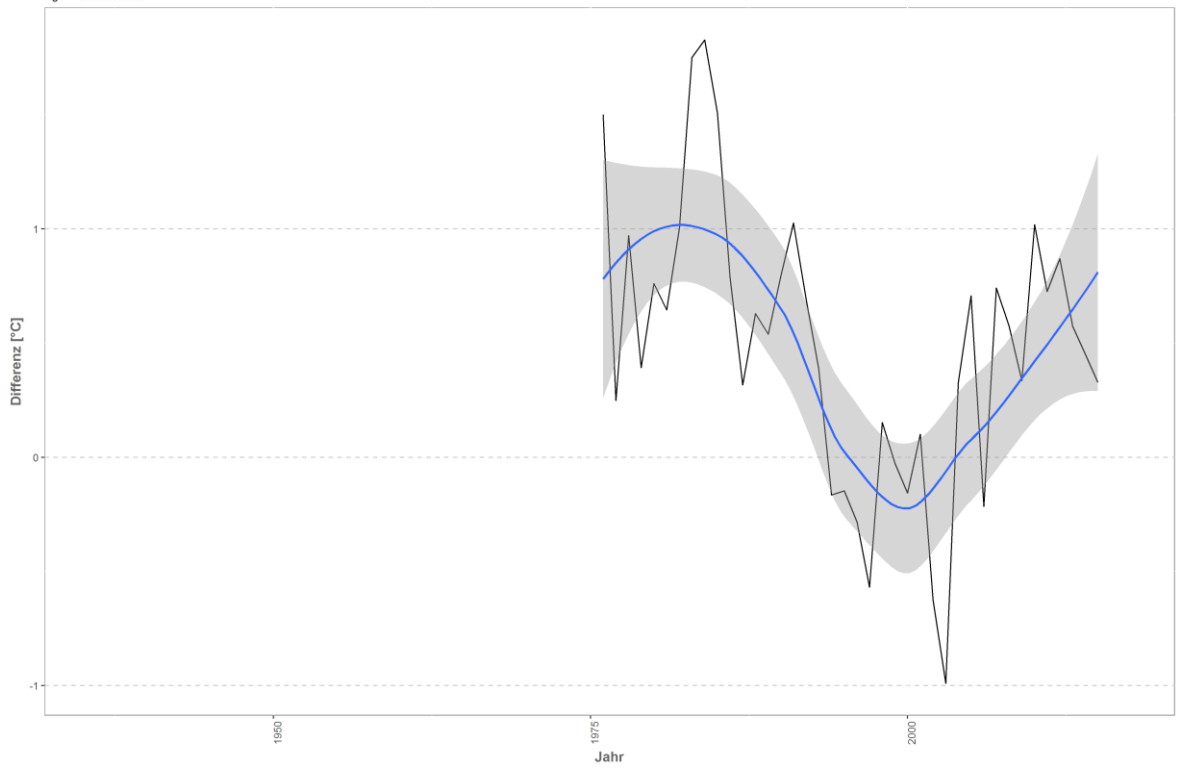
der Grenze sehr gut - gut
Ager - Schalchham



Differenzplot

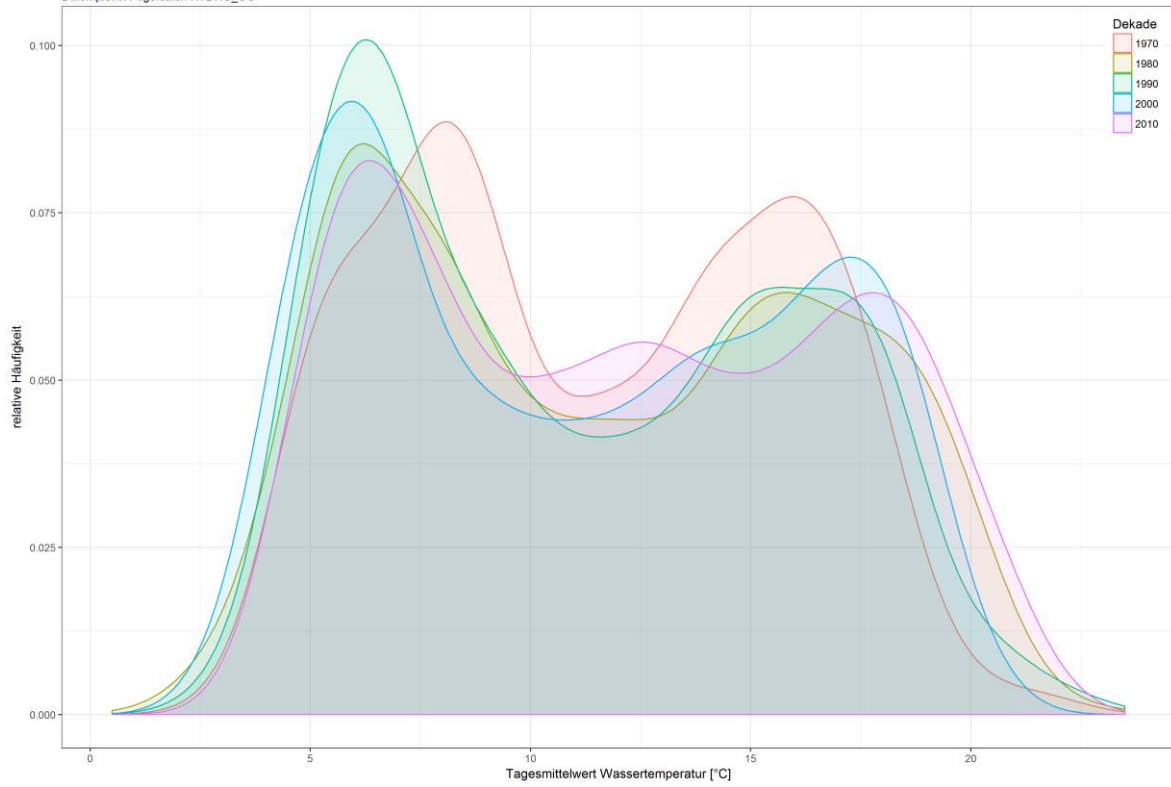
tatsächlich gemessene Wassertemperatur zu Schätzwert der linearen Regression

Ager - Schalchham



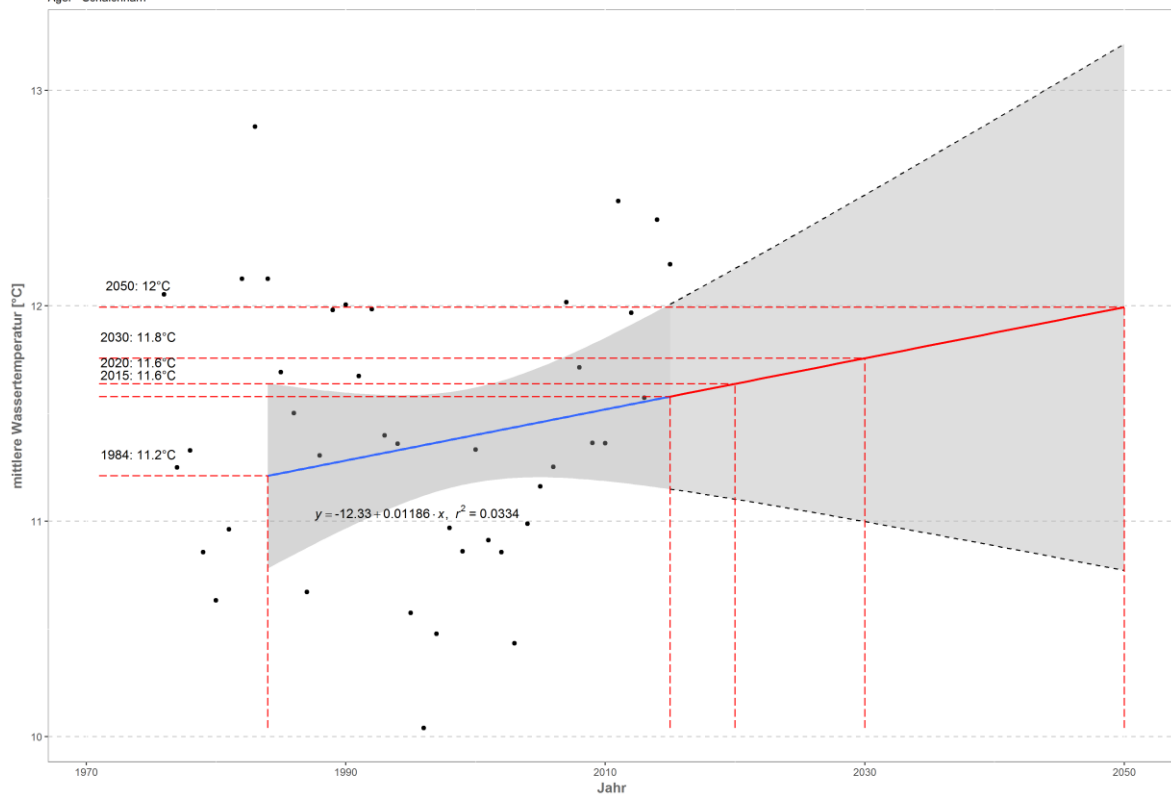
Häufigkeitsverteilung der Wassertemperaturen

Ager - Schalchham
Datenquelle: Pegeldaten HYDRO_OO



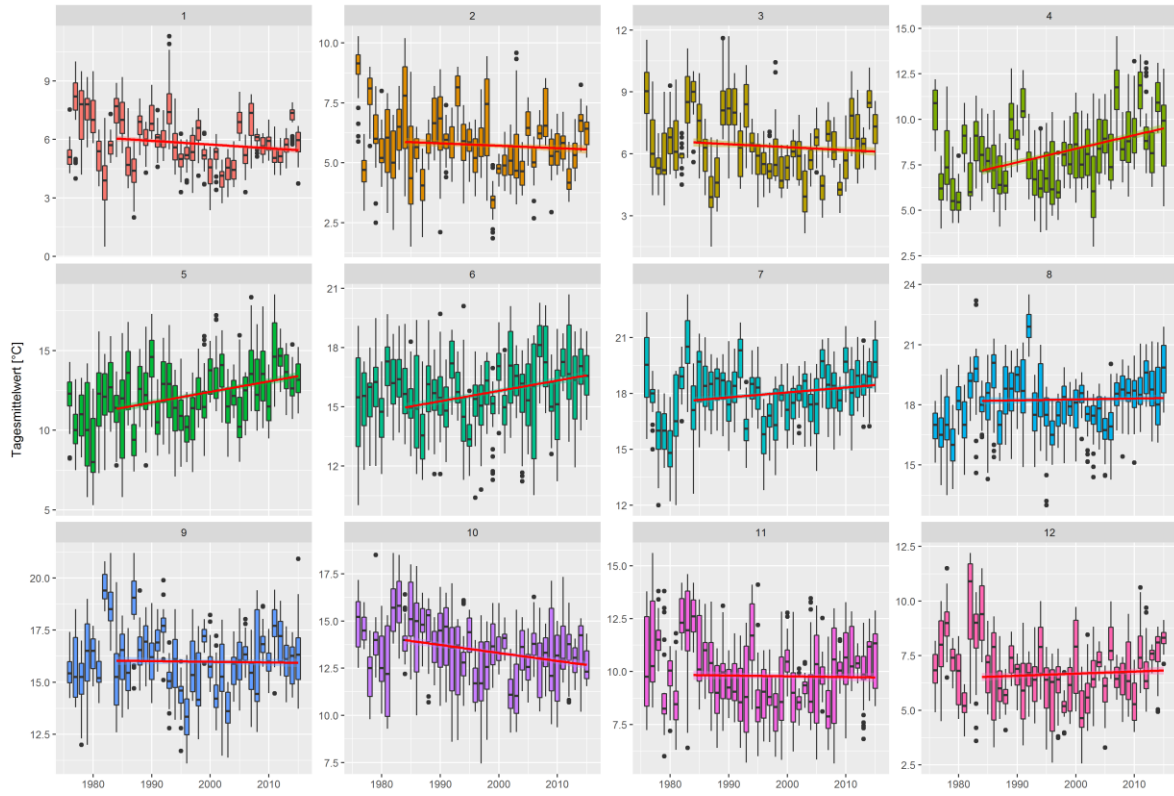
Prognose Wassertemperatur

Ager - Schalchham



Monatsansicht der Tagesmittelwerte im Jahresverlauf

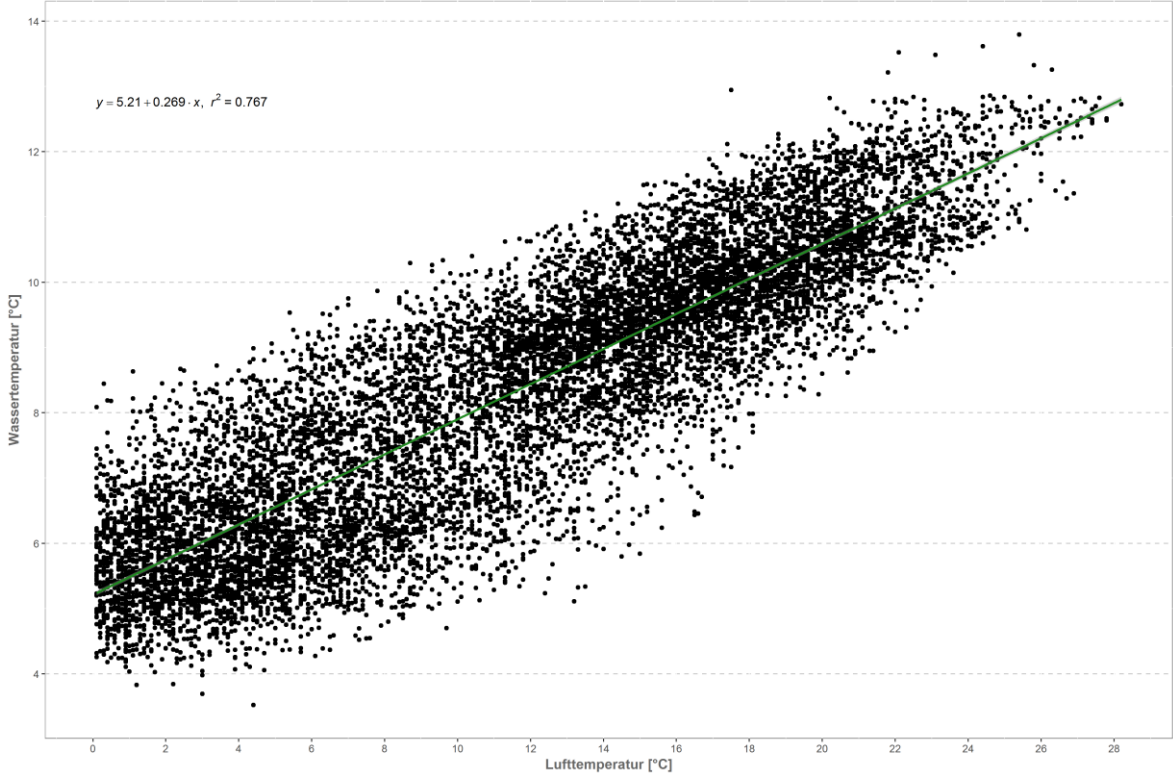
Ager Schalchham



Alm – Friedlmühle

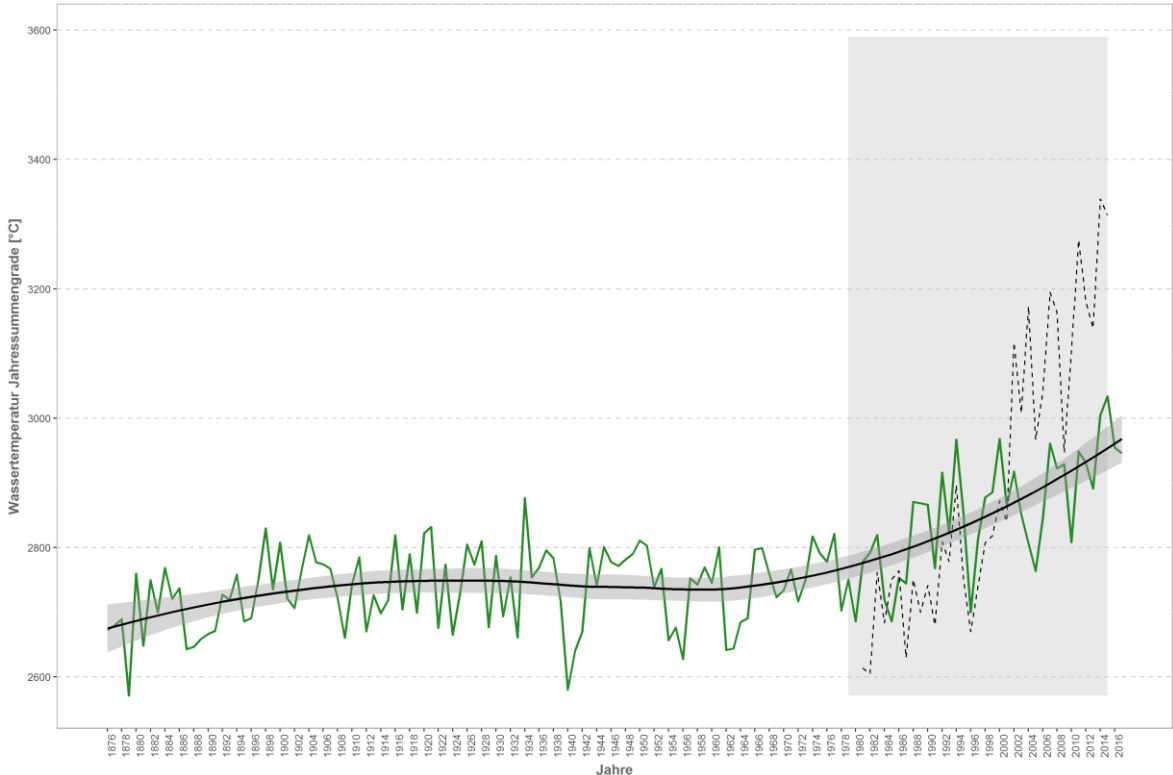
Korrelation Temperatur Luft-Wasser

W-Temp: 1979-2016 / Alm - Friedlmühle
L-Temp: 1876-2017 / Kremsmünster (TAWES)



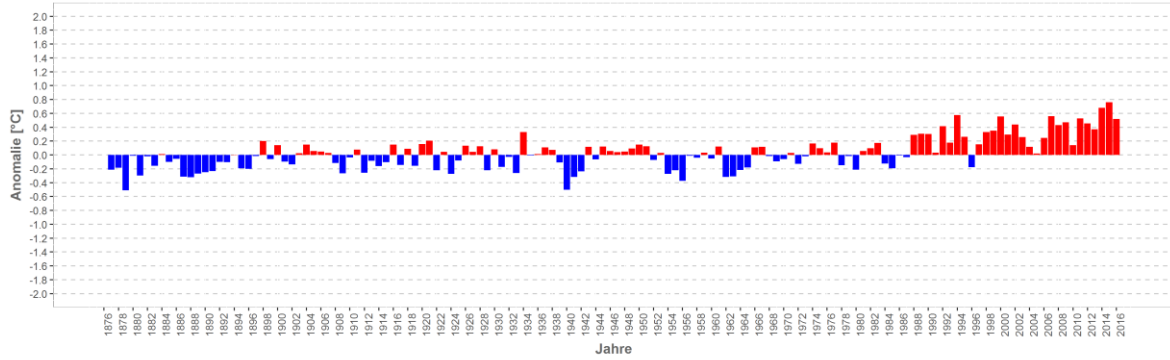
Wassertemperaturverlauf

W-Temp: 1979-2016 / Alm - Friedlmühle
L-Temp: 1876-2017 / Kremsmünster (TAWES)

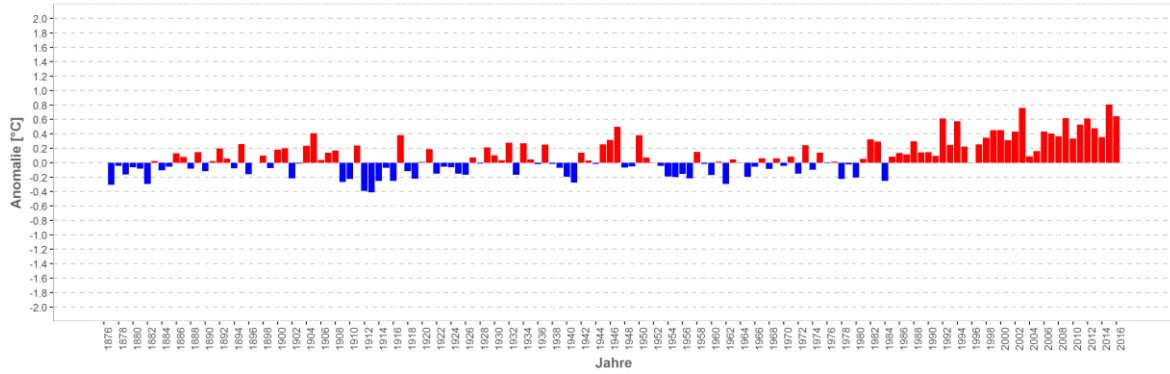


Wassertemperatur-Anomalie

Alm - Friedmühle (1876-2017)
Referenz: 1961-1990

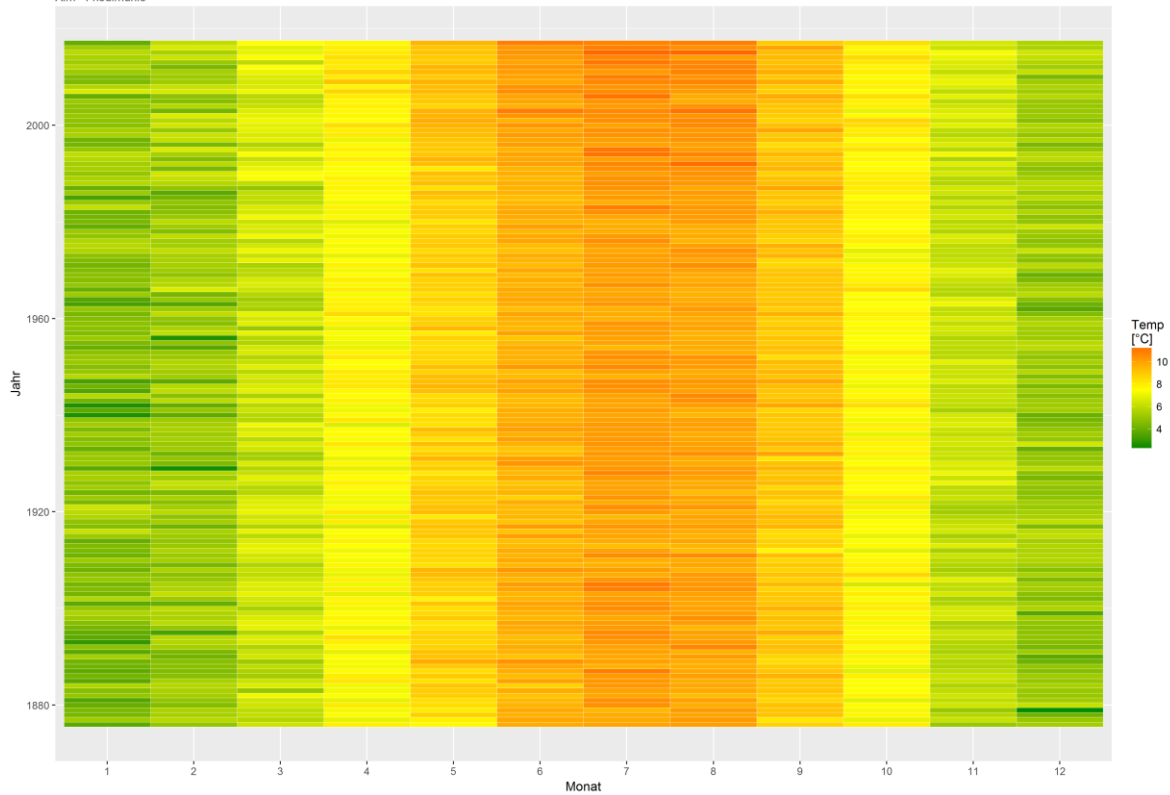


Sommermonate (Mai-Sept)



Monatsmittelwert

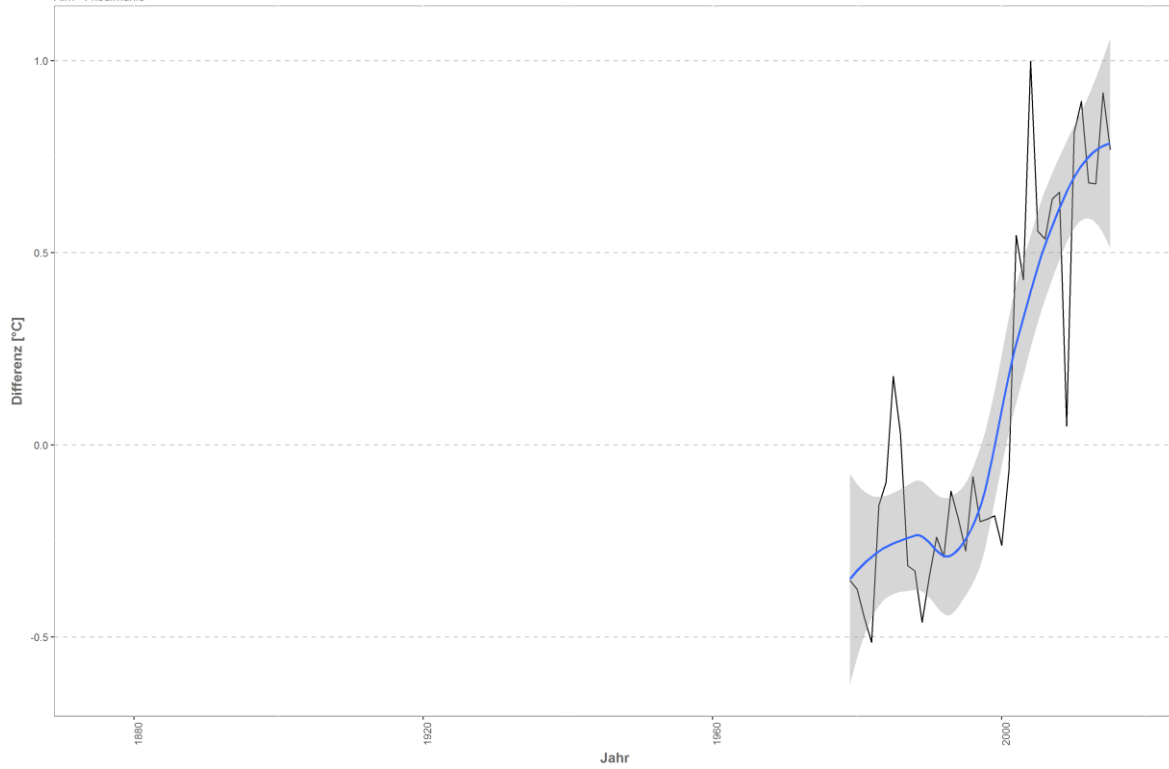
Alm - Friedmühle



Differenzplot

tatsächlich gemessene Wassertemperatur zu Schätzwert der linearen Regression

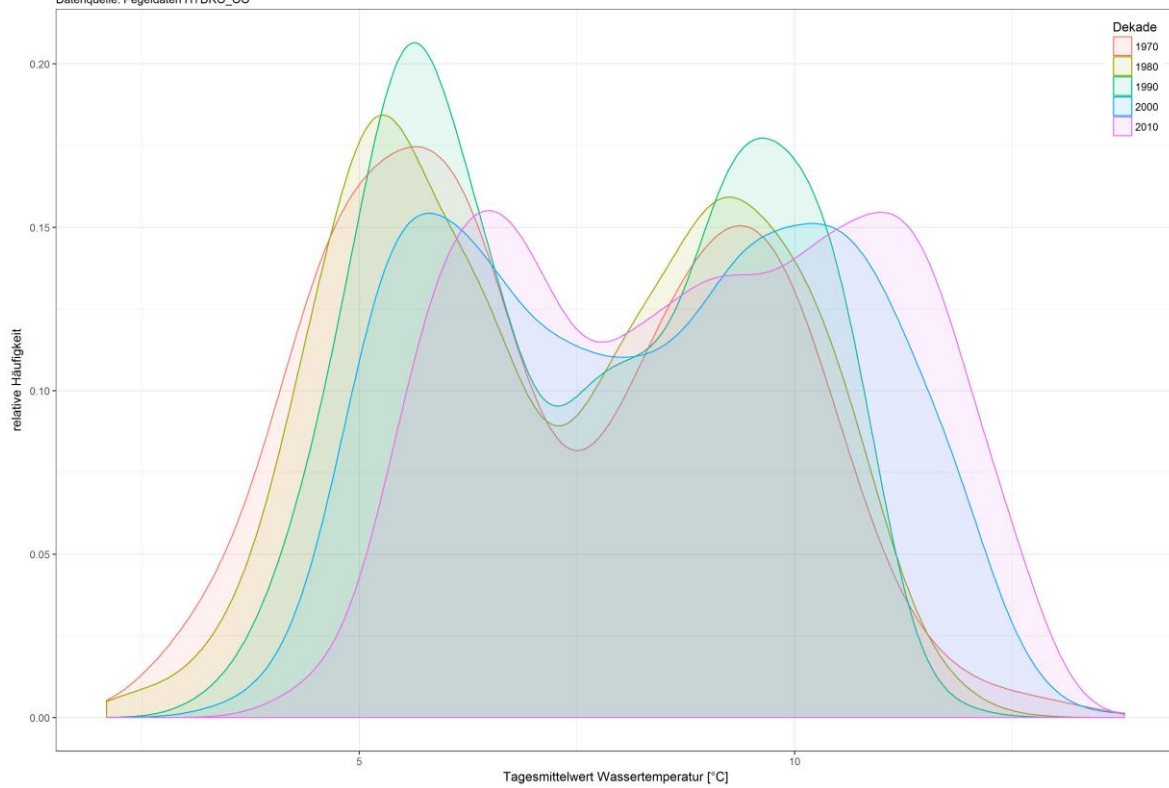
Alm - Friedlmühle



Häufigkeitsverteilung der Wassertemperaturen

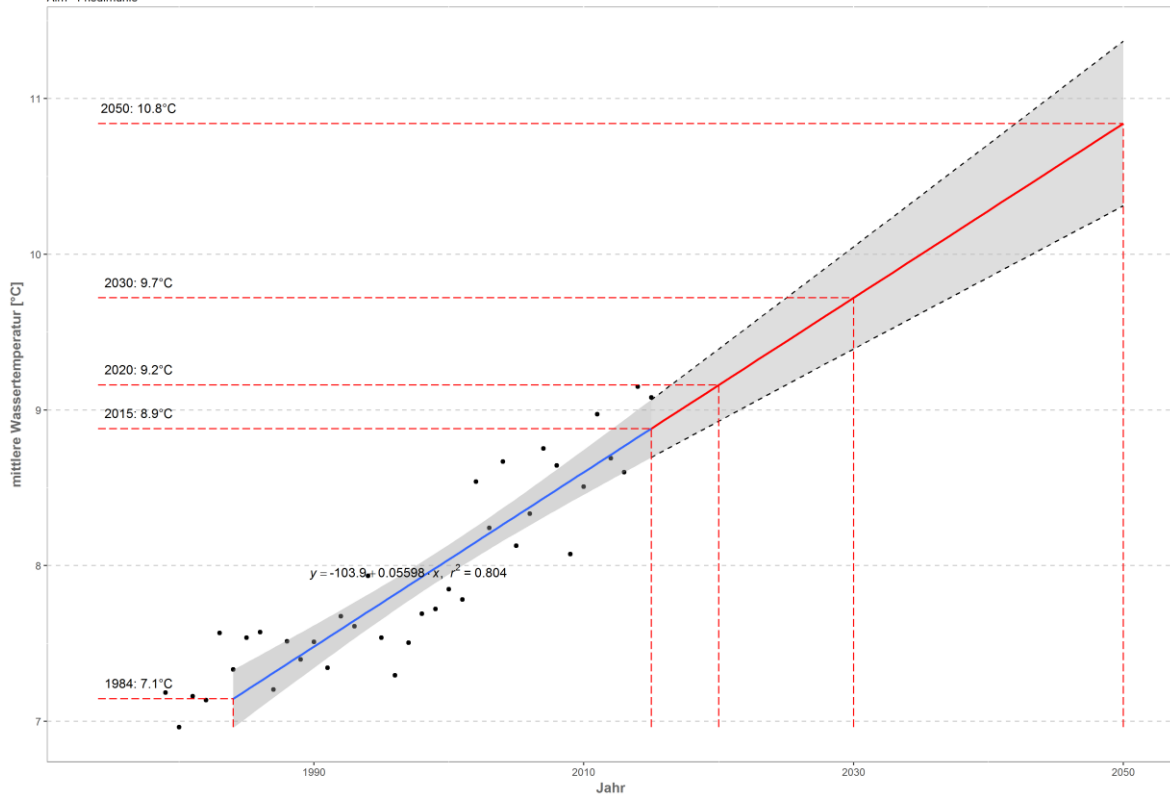
Alm - Friedlmühle

Datenquelle: Pegeldaten HYDRO_OO



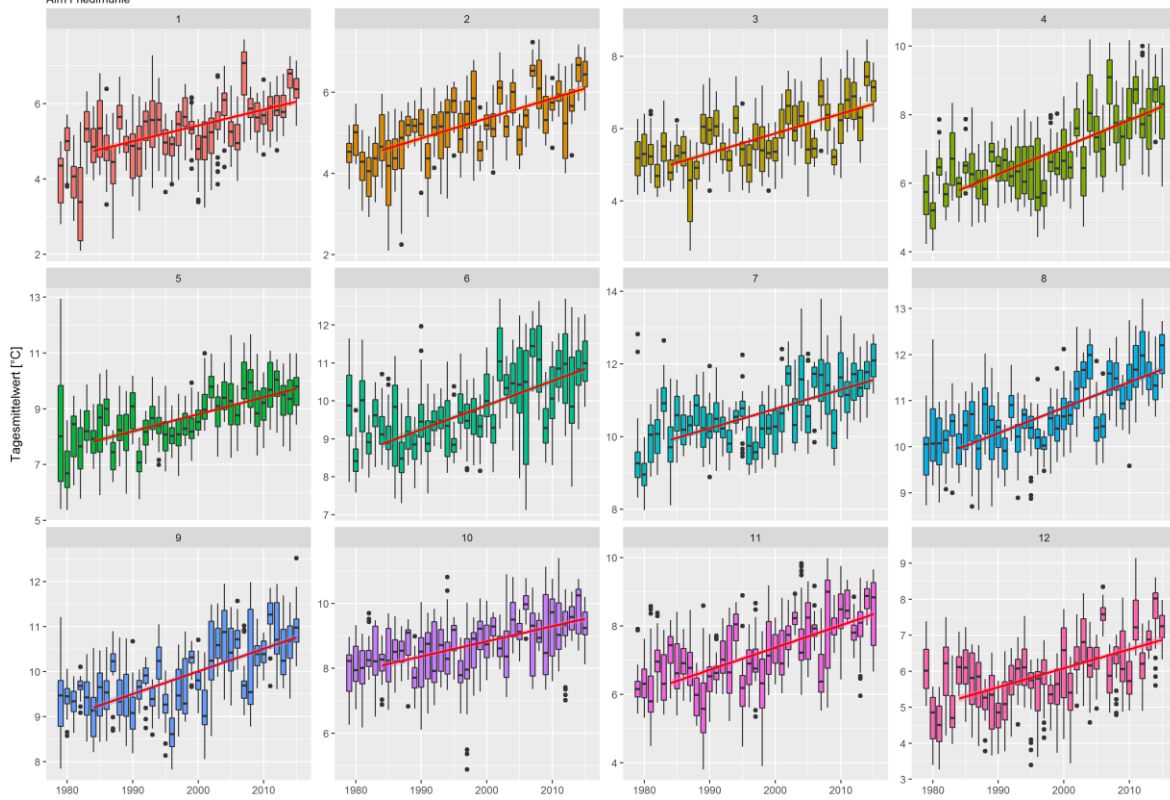
Prognose Wassertemperatur

Alm - Friedlmühle



Monatsansicht der Tagesmittelwerte im Jahresverlauf

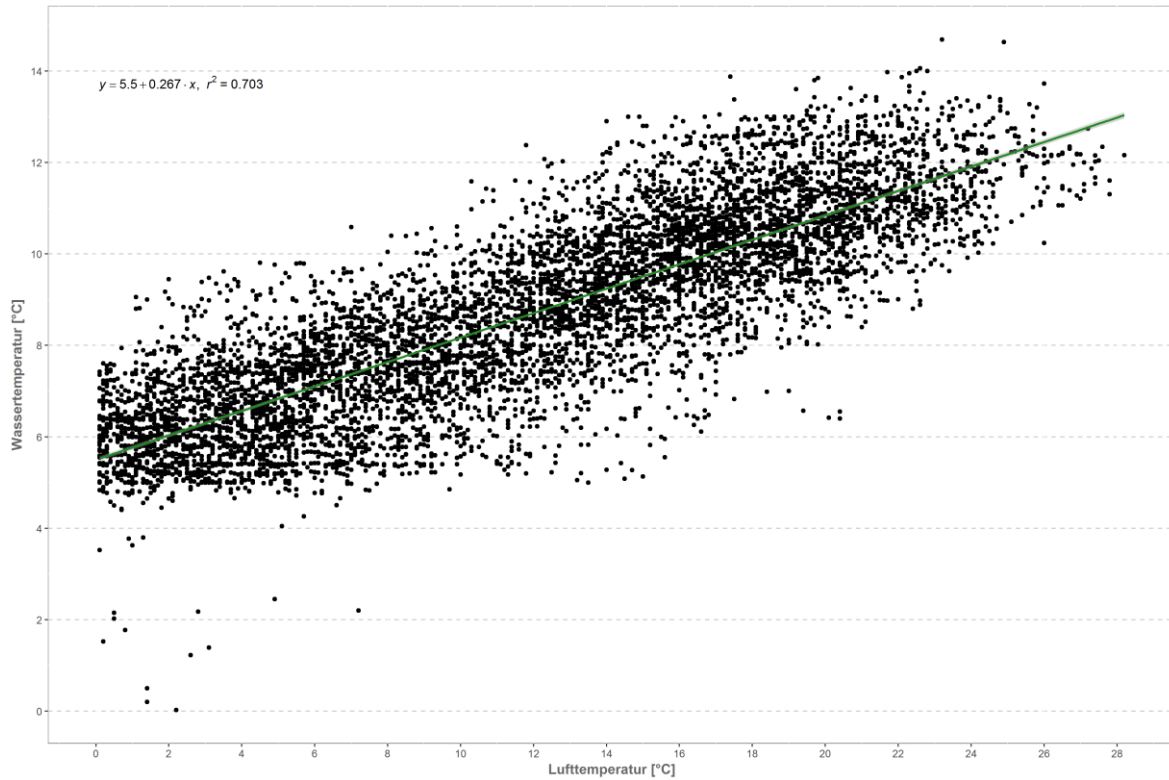
Alm Friedlmühle



Alm – Grünau

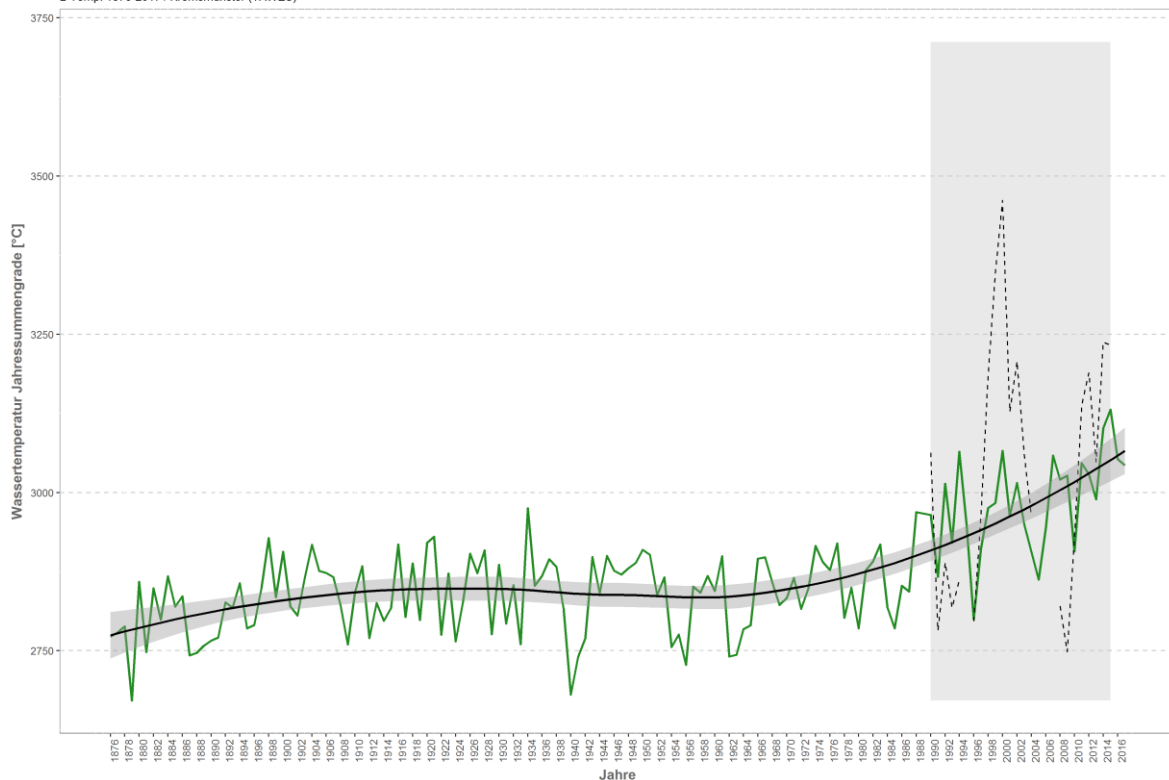
Korrelation Temperatur Luft-Wasser

W-Temp: 1990-2016 / Alm - Grünau
L-Temp: 1876-2017 / Kremsmünster (TAWES)



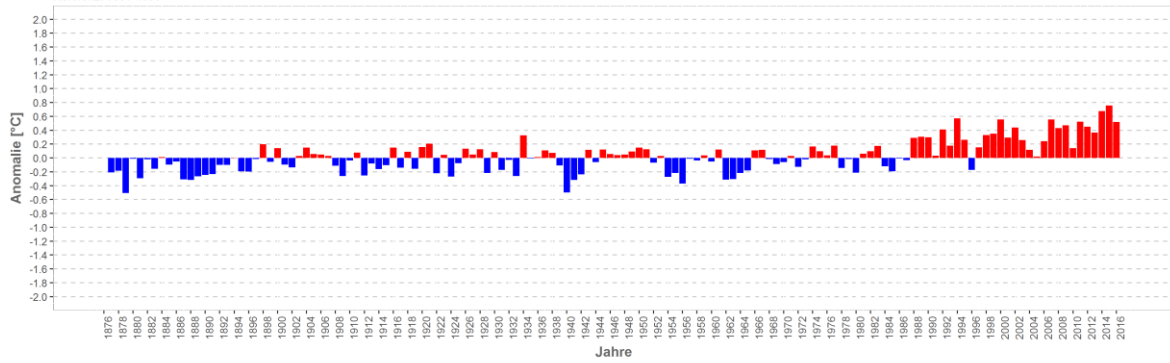
Wassertemperaturverlauf

W-Temp: 1990-2016 / Alm - Grünau
L-Temp: 1876-2017 / Kremsmünster (TAWES)

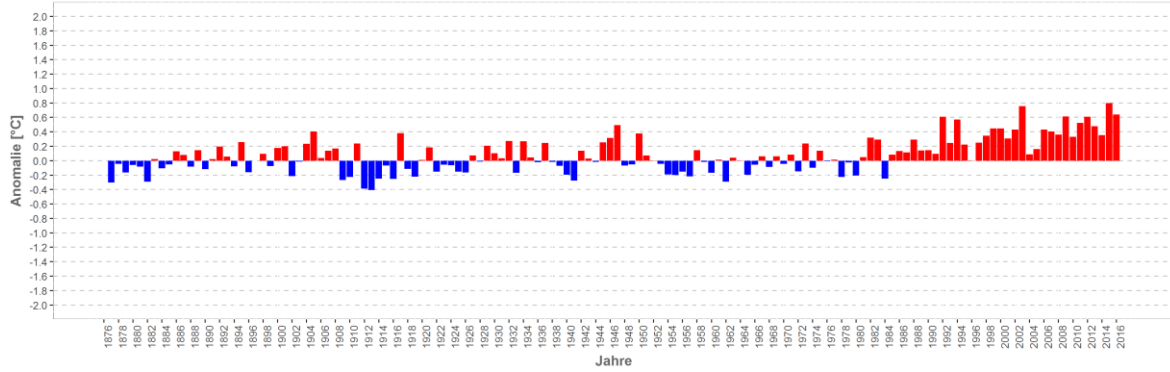


Wassertemperatur-Anomalie

Alm - Grünau (1876-2017)
Referenz: 1961-1990

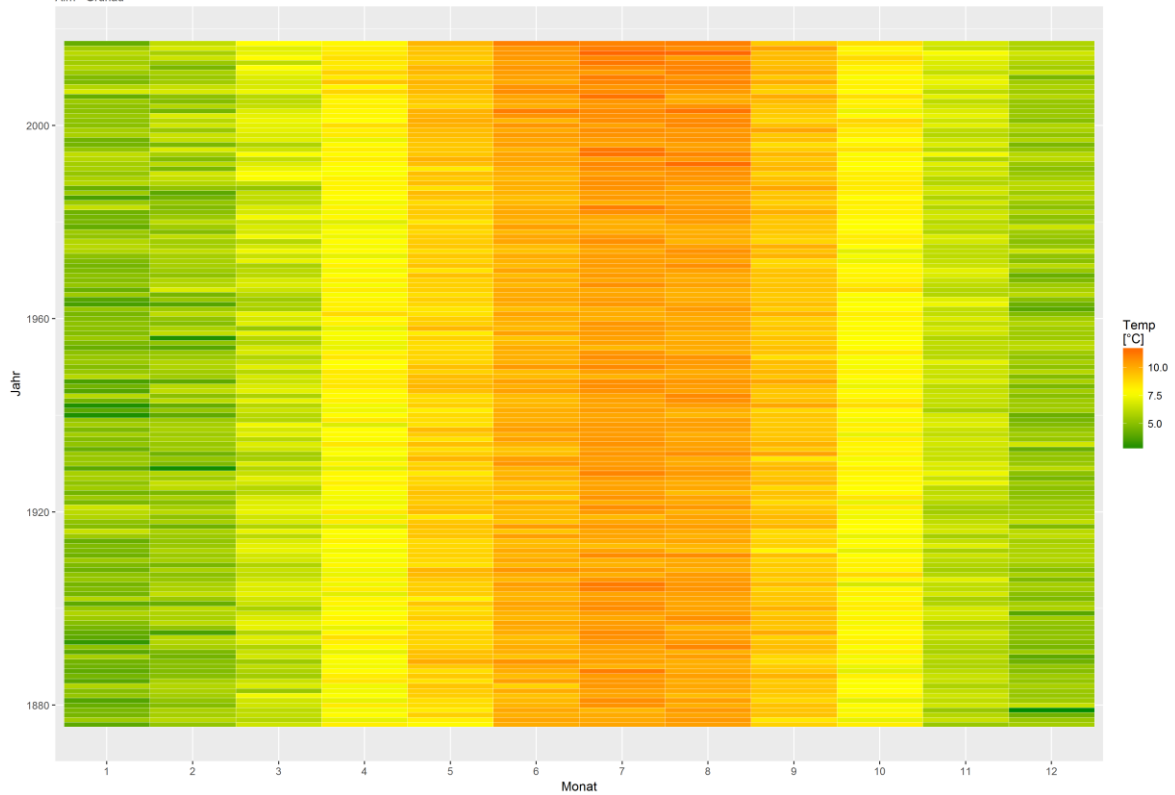


Sommermonate (Mai-Sept)



Monatsmittelwert

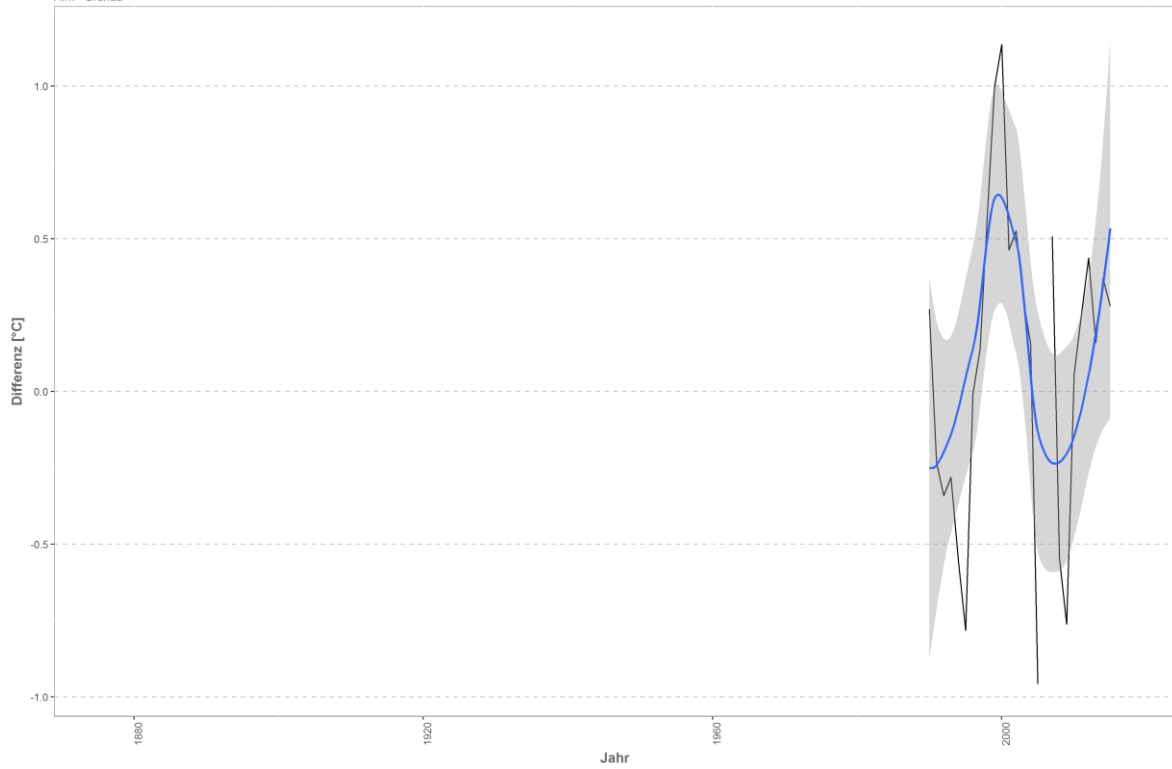
Alm - Grünau



Differenzplot

tatsächlich gemessene Wassertemperatur zu Schätzwert der linearen Regression

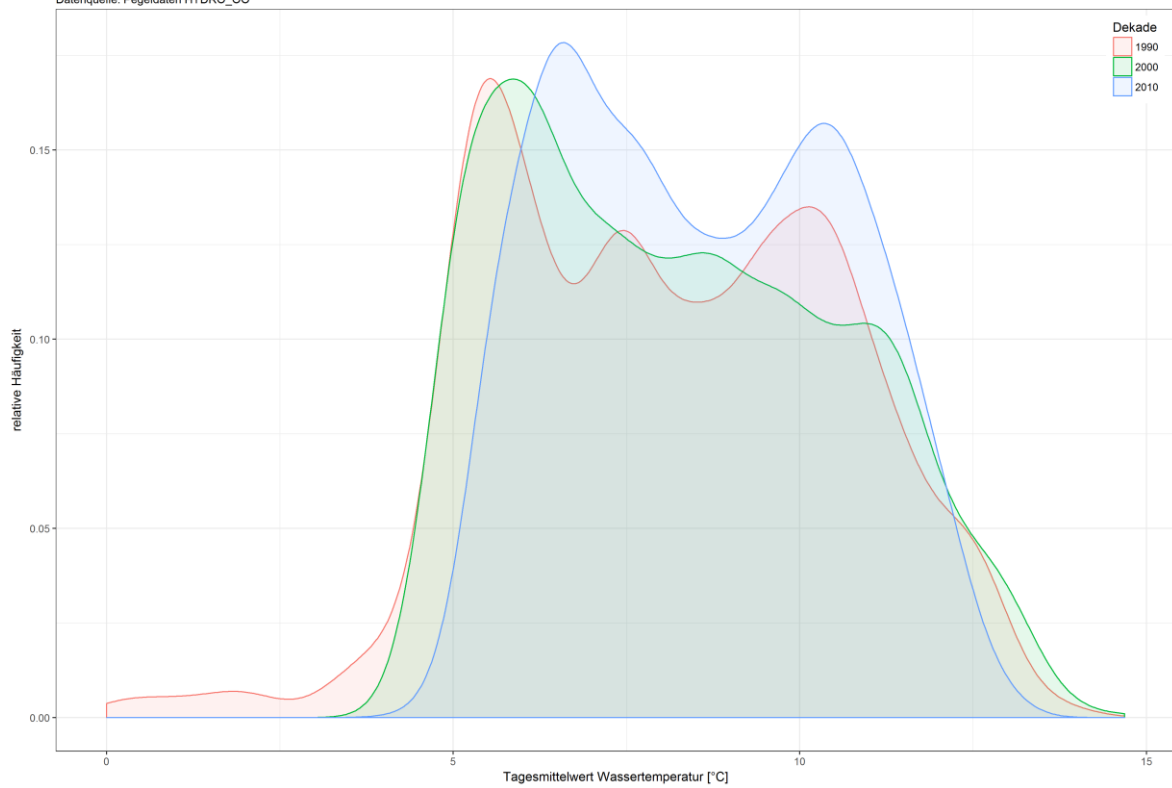
Alm - Grünau



Häufigkeitsverteilung der Wassertemperaturen

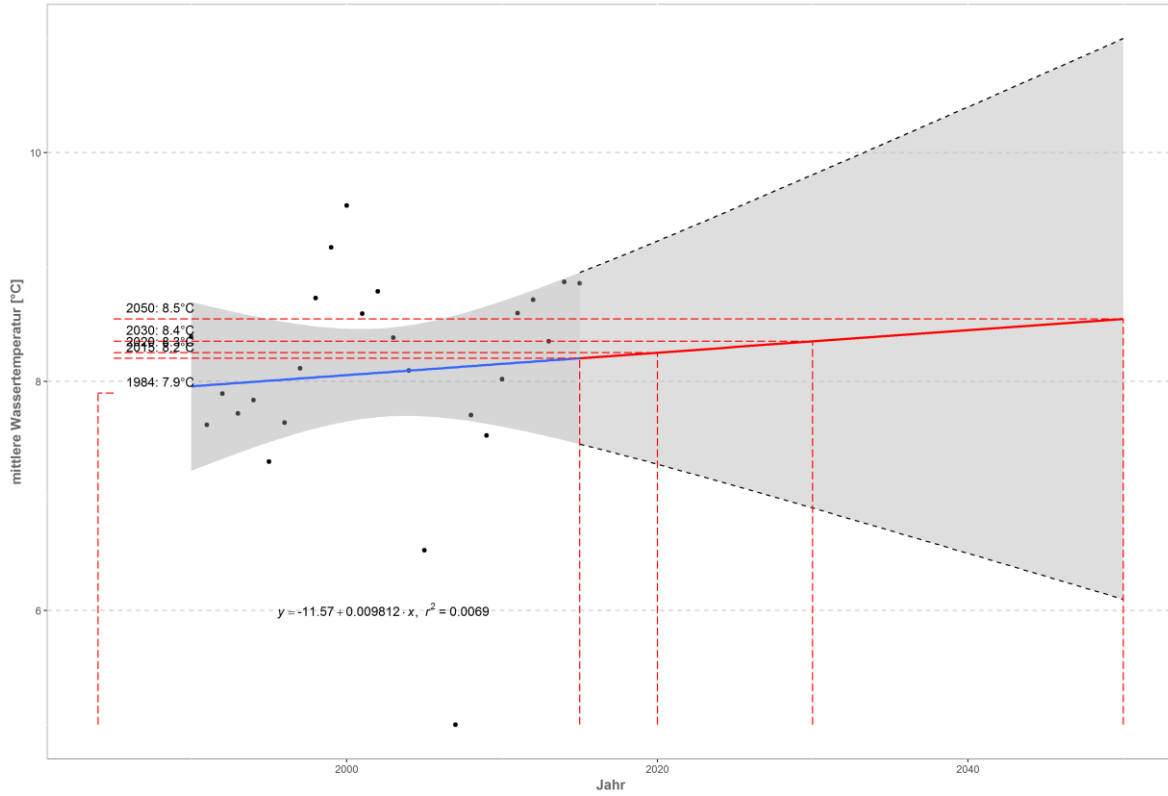
Alm - Grünau

Datenquelle: Pegeldata HYDRO_OO



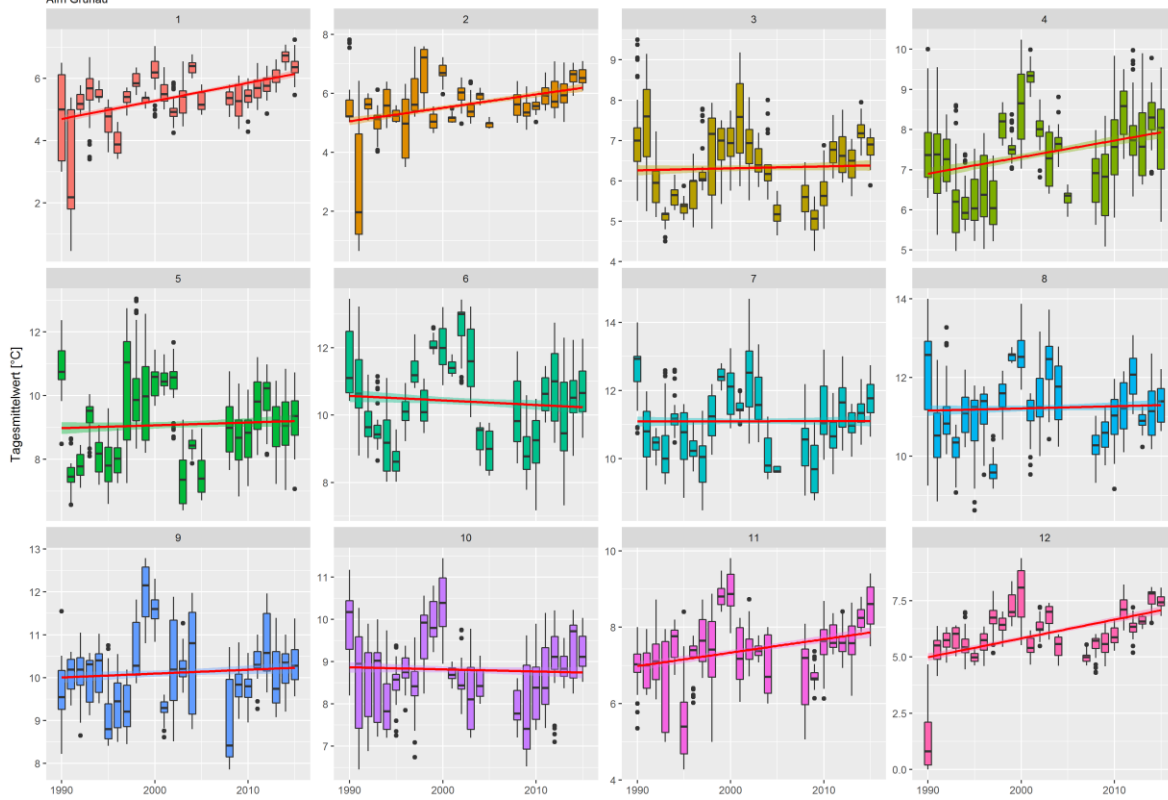
Prognose Wassertemperatur

Alm - Grünau



Monatsansicht der Tagesmittelwerte im Jahresverlauf

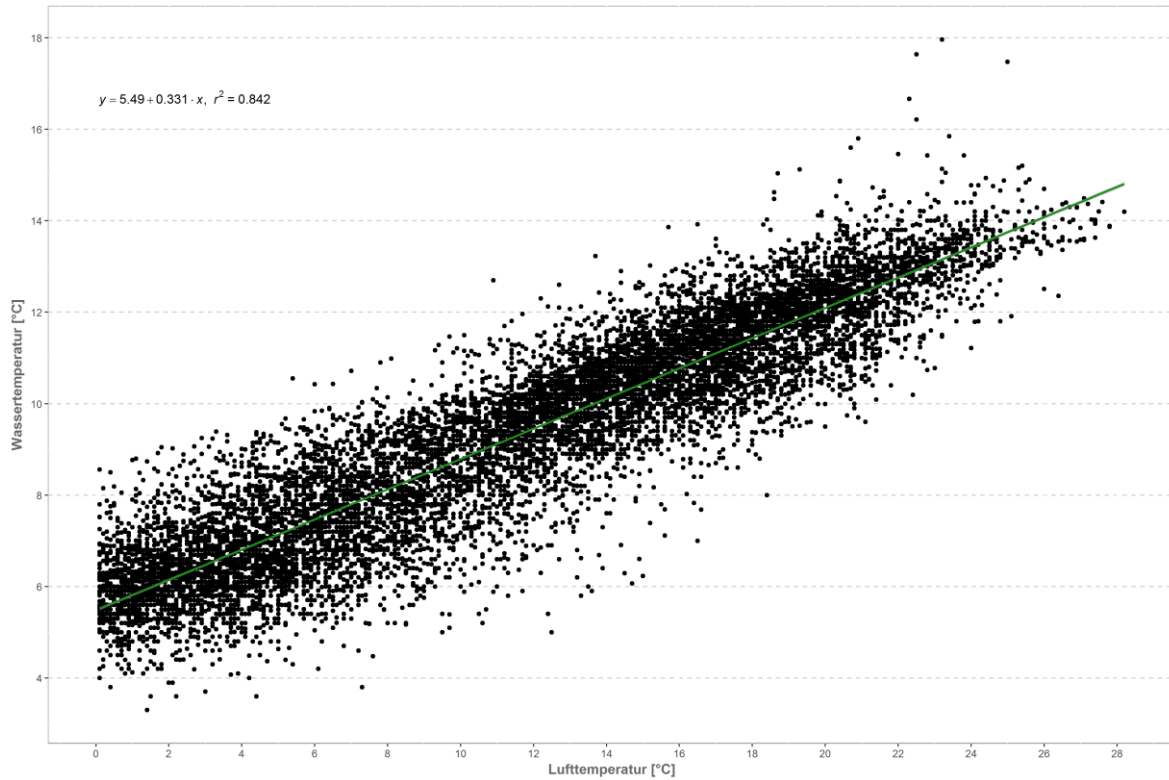
Alm Grünau



Alm – Penningersteg

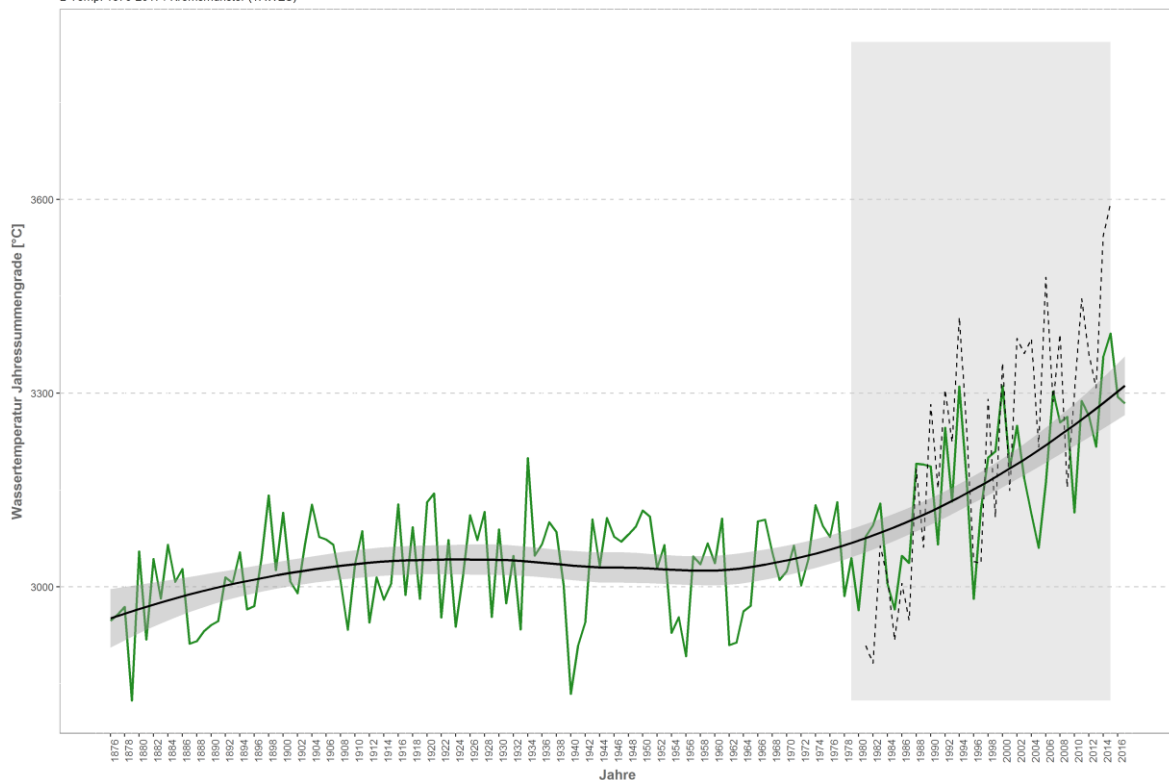
Korrelation Temperatur Luft-Wasser

W-Temp: 1979-2016 / Alm - Penningersteg
L-Temp: 1876-2017 / Kremsmünster (TAWES)



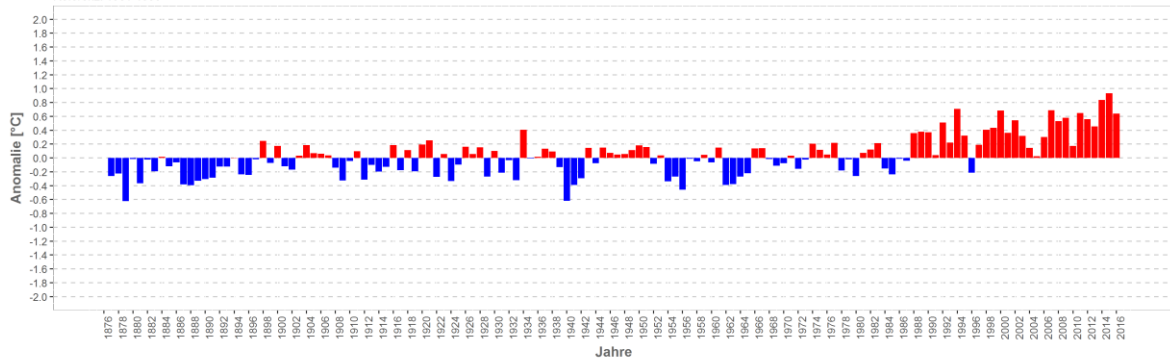
Wassertemperaturverlauf

W-Temp: 1979-2016 / Alm - Penningersteg
L-Temp: 1876-2017 / Kremsmünster (TAWES)

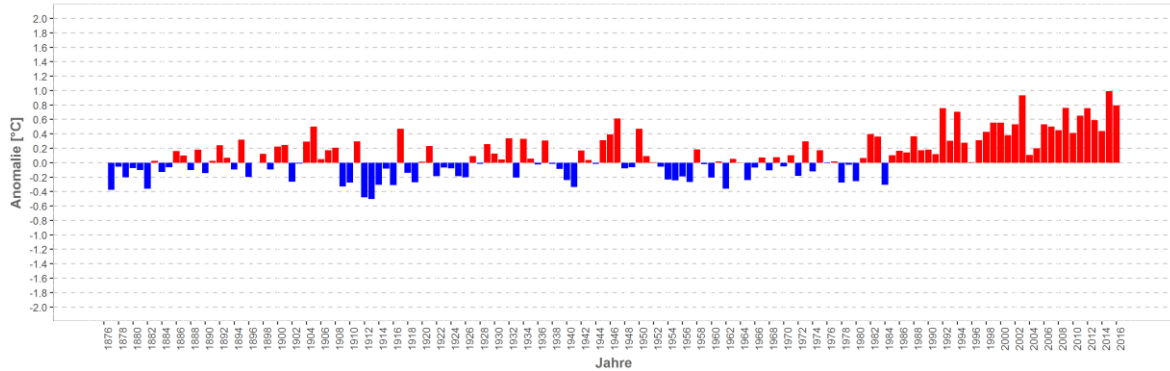


Wassertemperatur-Anomalie

Alm - Penningersteg (1876-2017)
Referenz: 1961-1990

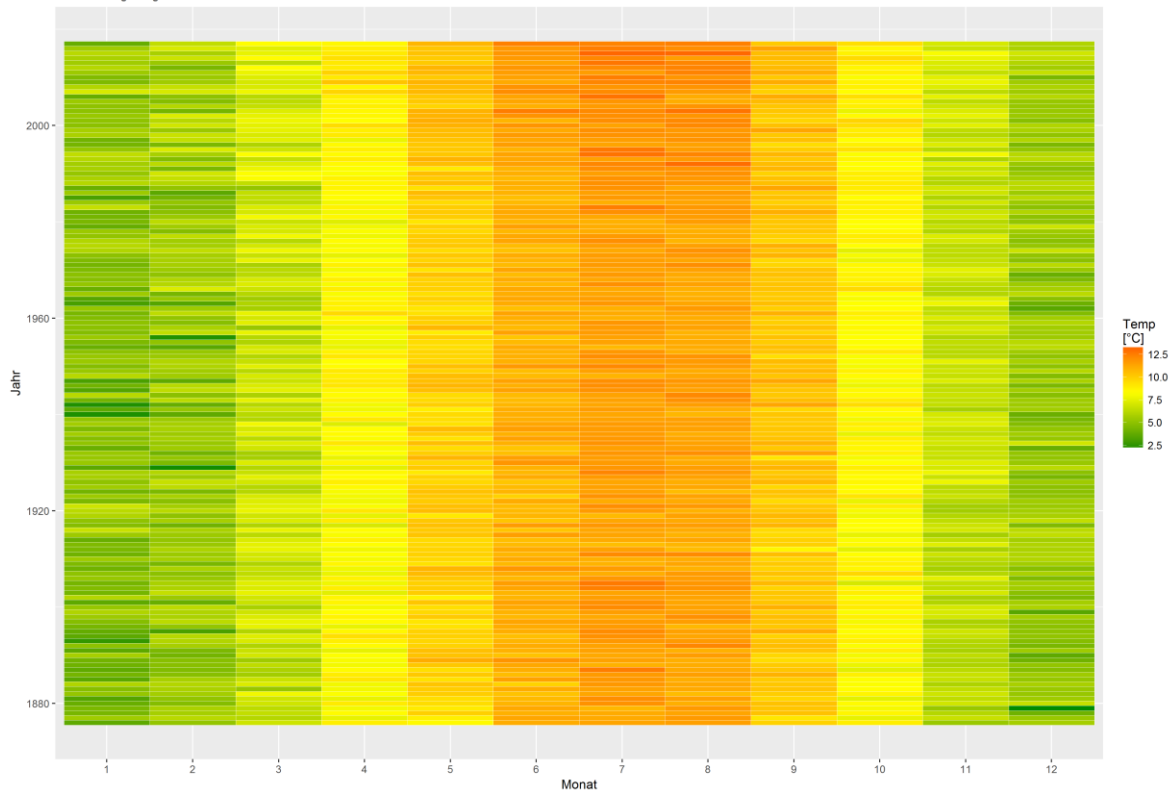


Sommermonate (Mai-Sept)



Monatsmittelwert

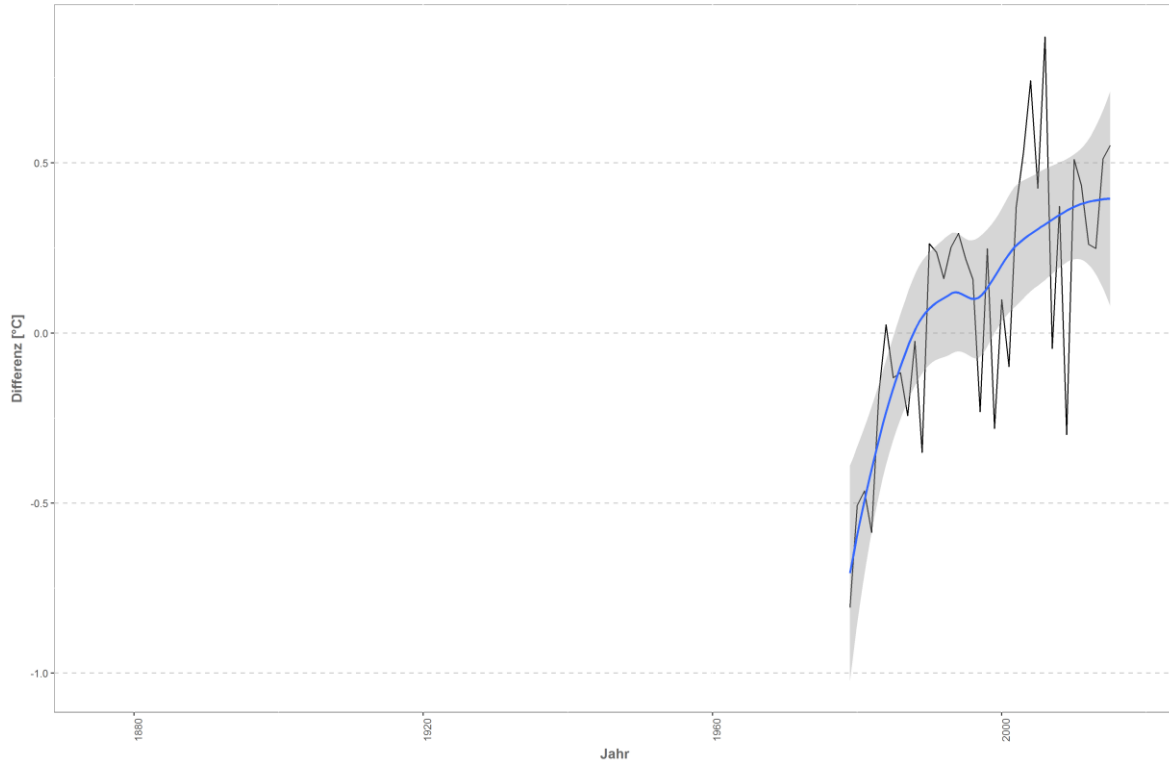
Alm - Penningersteg



Differenzplot

tatsächlich gemessene Wassertemperatur zu Schätzwert der linearen Regression

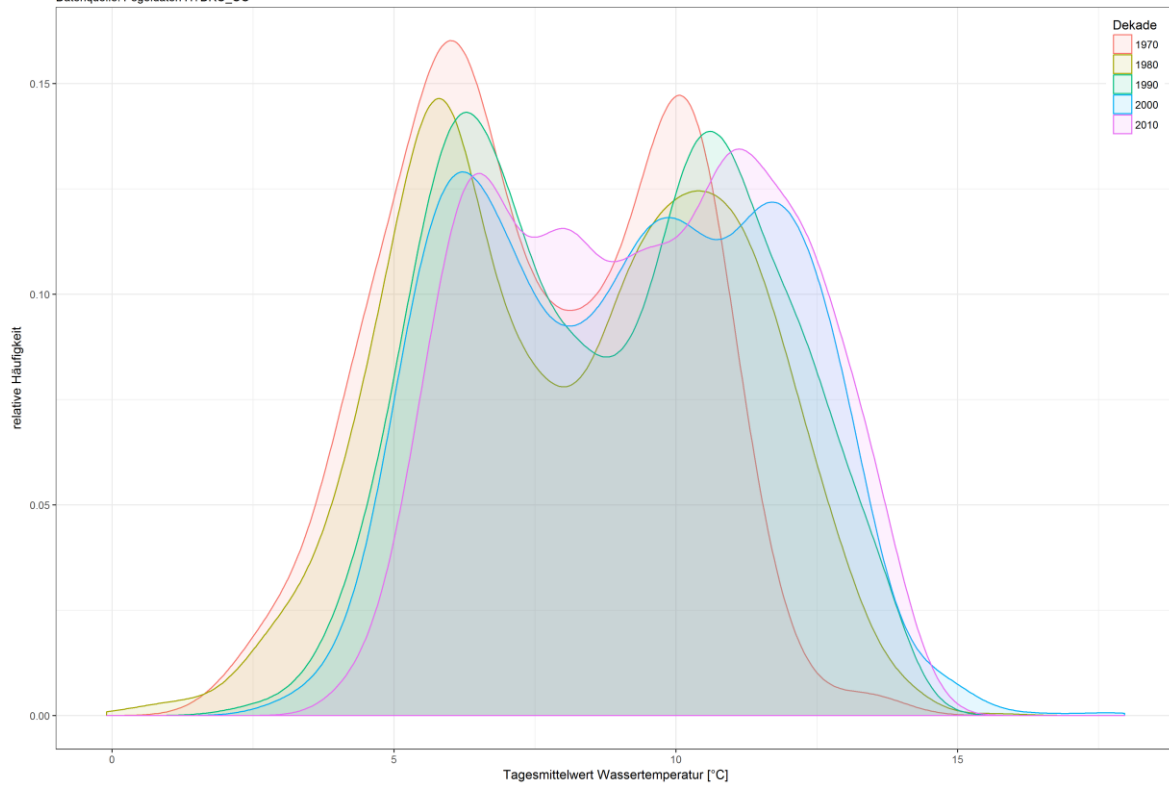
Alm - Penningersteg



Häufigkeitsverteilung der Wassertemperaturen

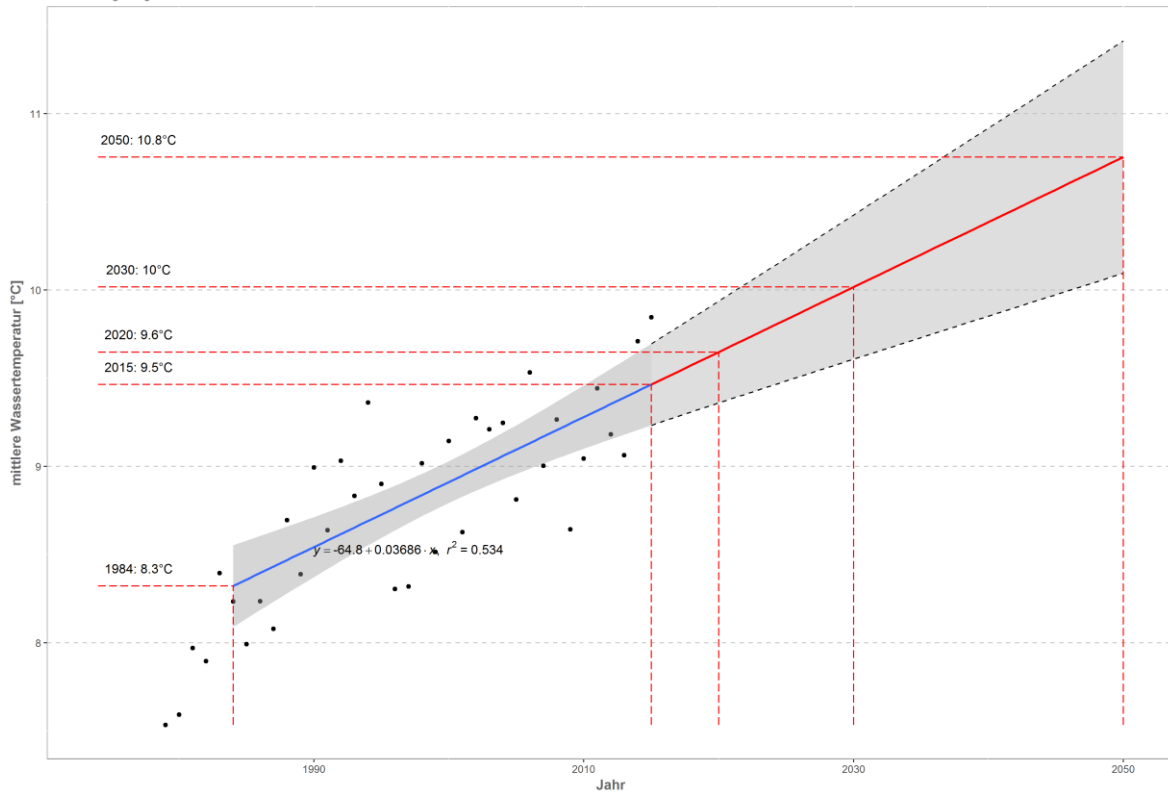
Alm - Penningersteg

Datenquelle: Pegeldaten HYDRO_OO



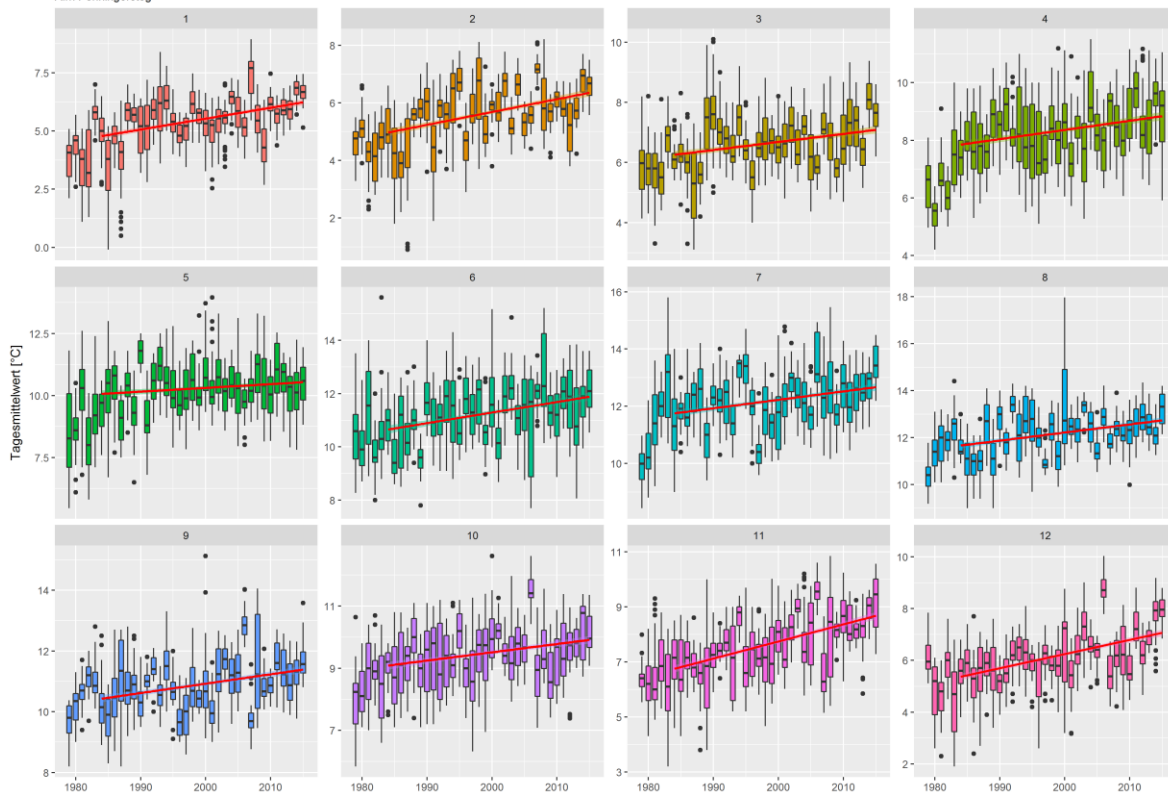
Prognose Wassertemperatur

Alm - Penningersteg



Monatsansicht der Tagesmittelwerte im Jahresverlauf

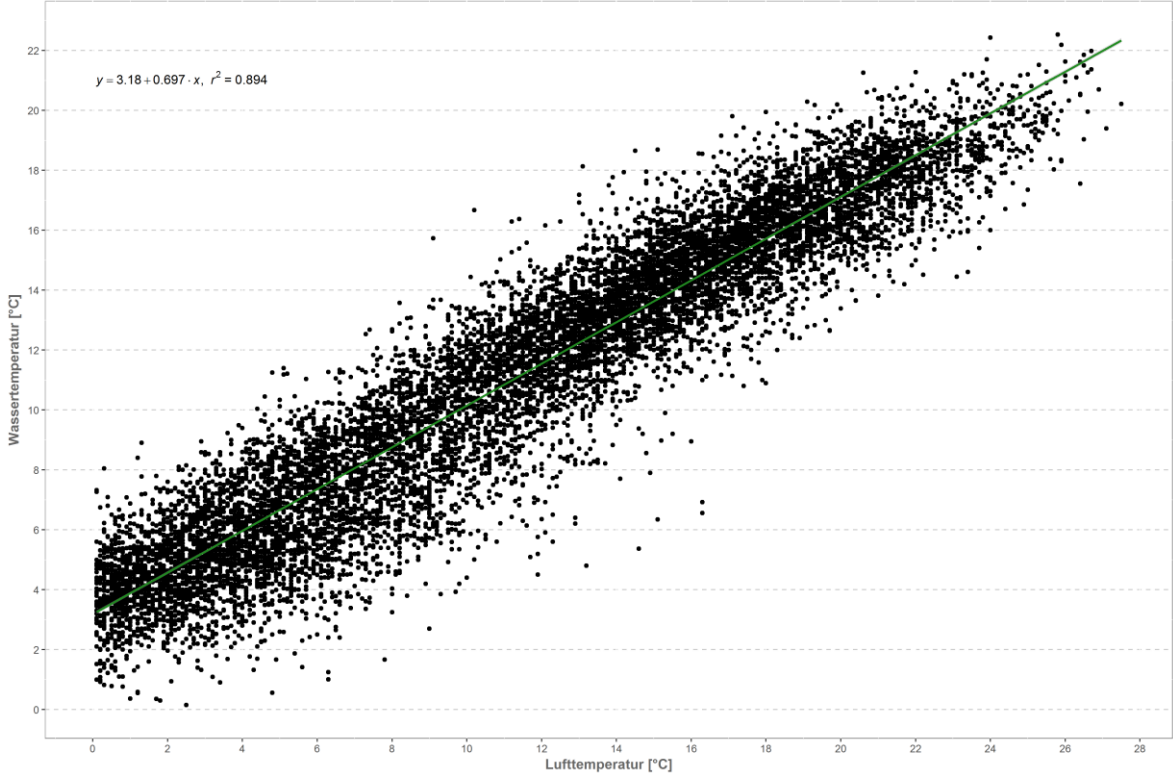
Alm Penningersteg



Antiesen – Haging

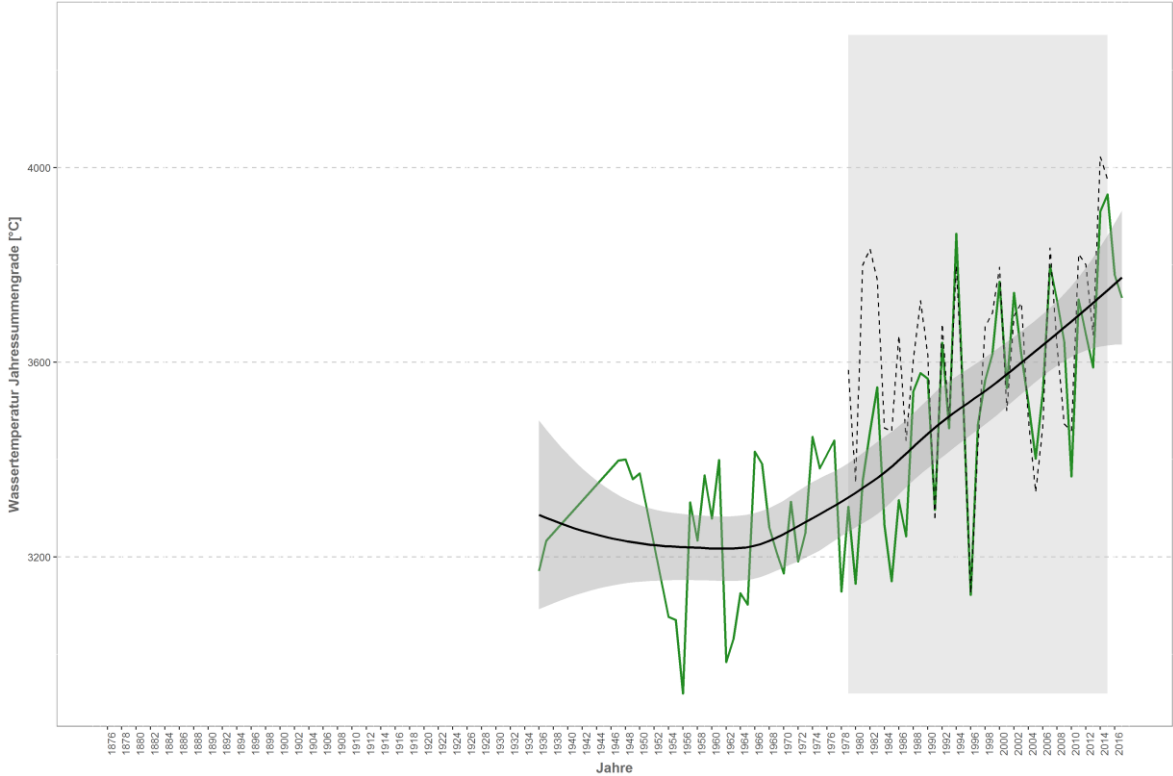
Korrelation Temperatur Luft-Wasser

W-Temp: 1979-2016 / Antiesen - Haging
L-Temp: 1936-2017 / Ried im Innkreis



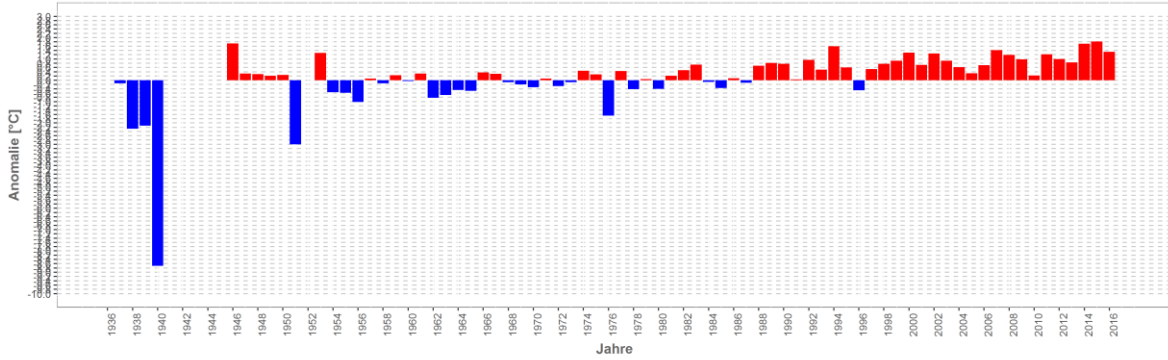
Wassertemperaturverlauf

W-Temp: 1979-2016 / Antiesen - Haging
L-Temp: 1936-2017 / Ried im Innkreis

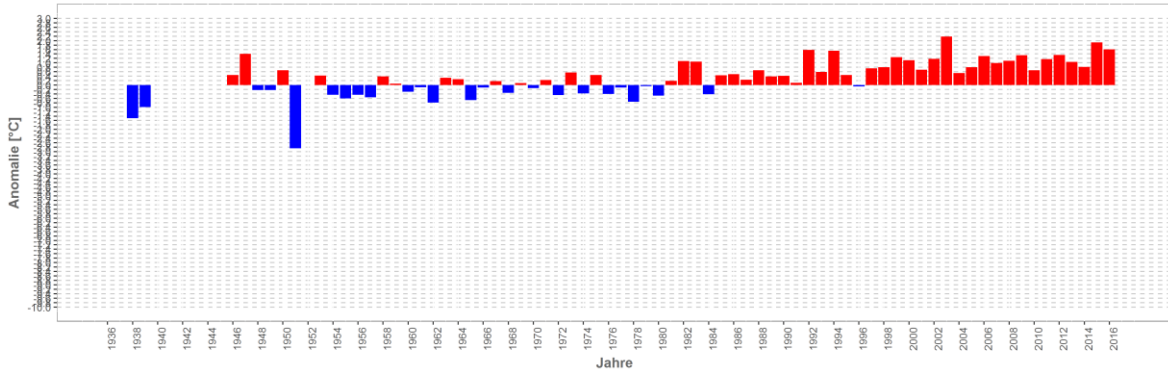


Wassertemperatur-Anomalie

Antiesen - Haging (1936-2017)
Referenz: 1961-1990

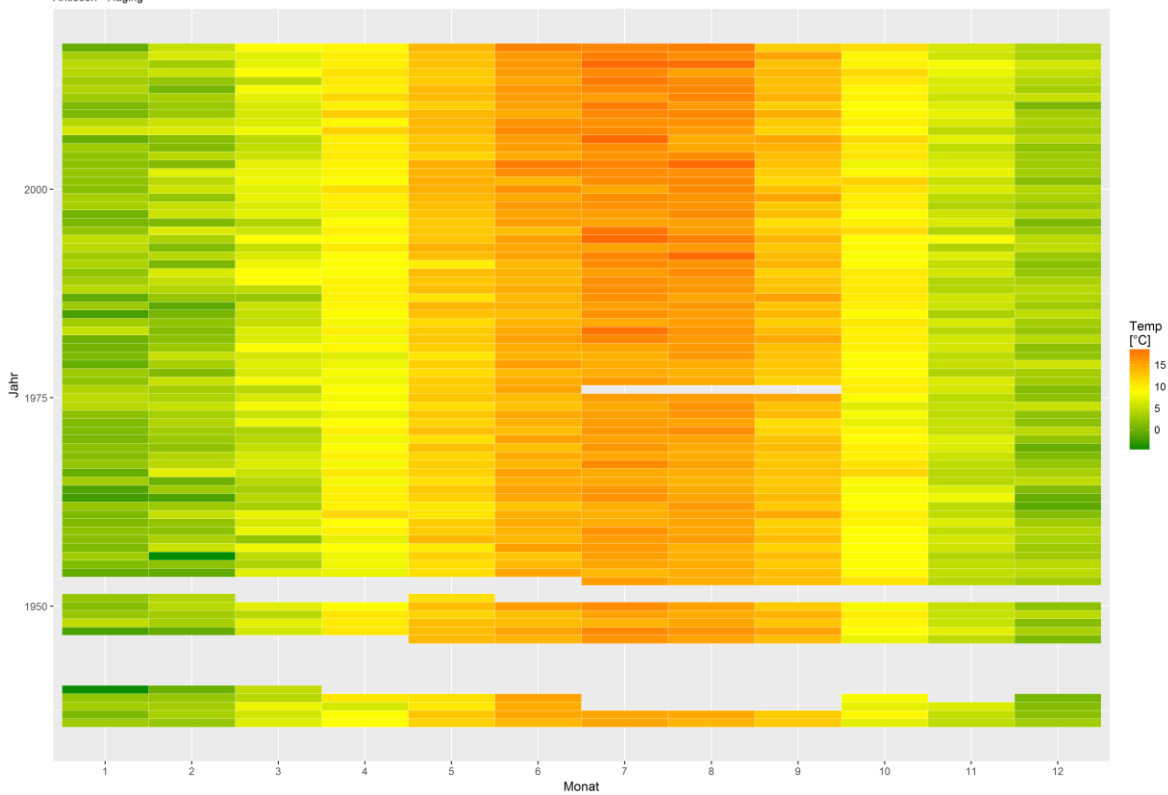


Sommermonate (Mai-Sept)



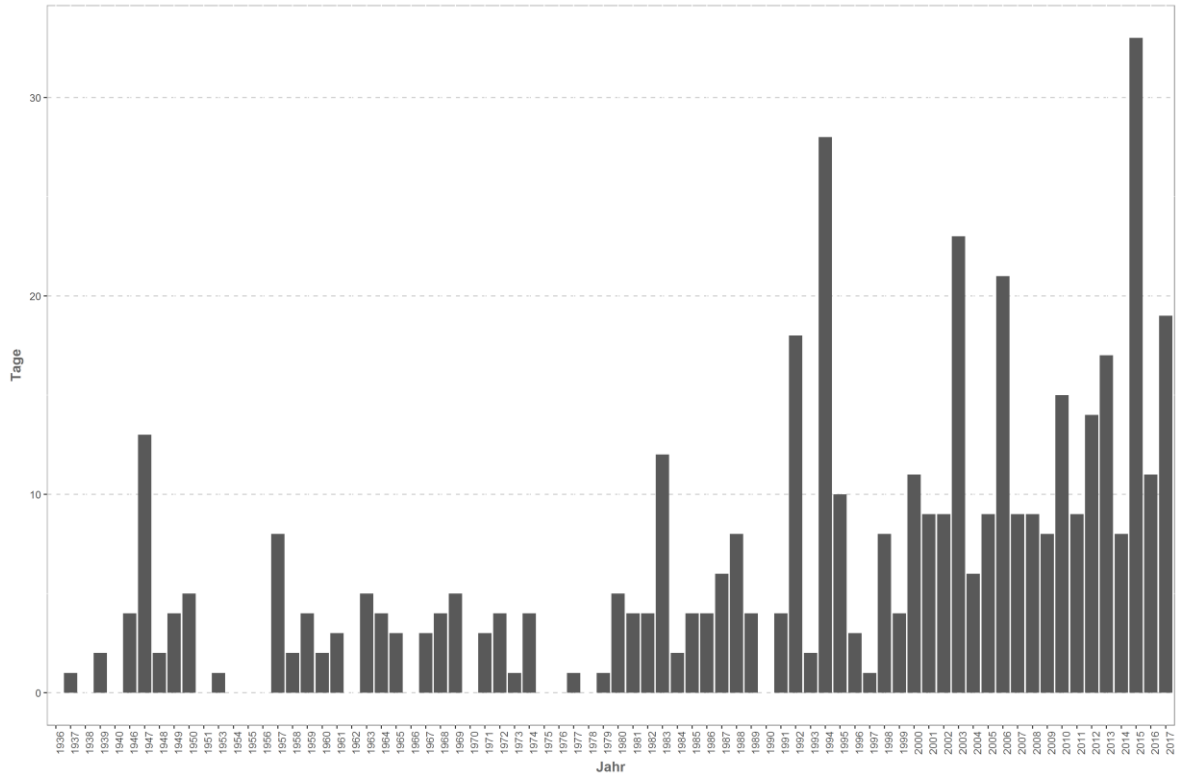
Monatsmittelwert

Antiesen - Haging



Temperaturüberschreitungen

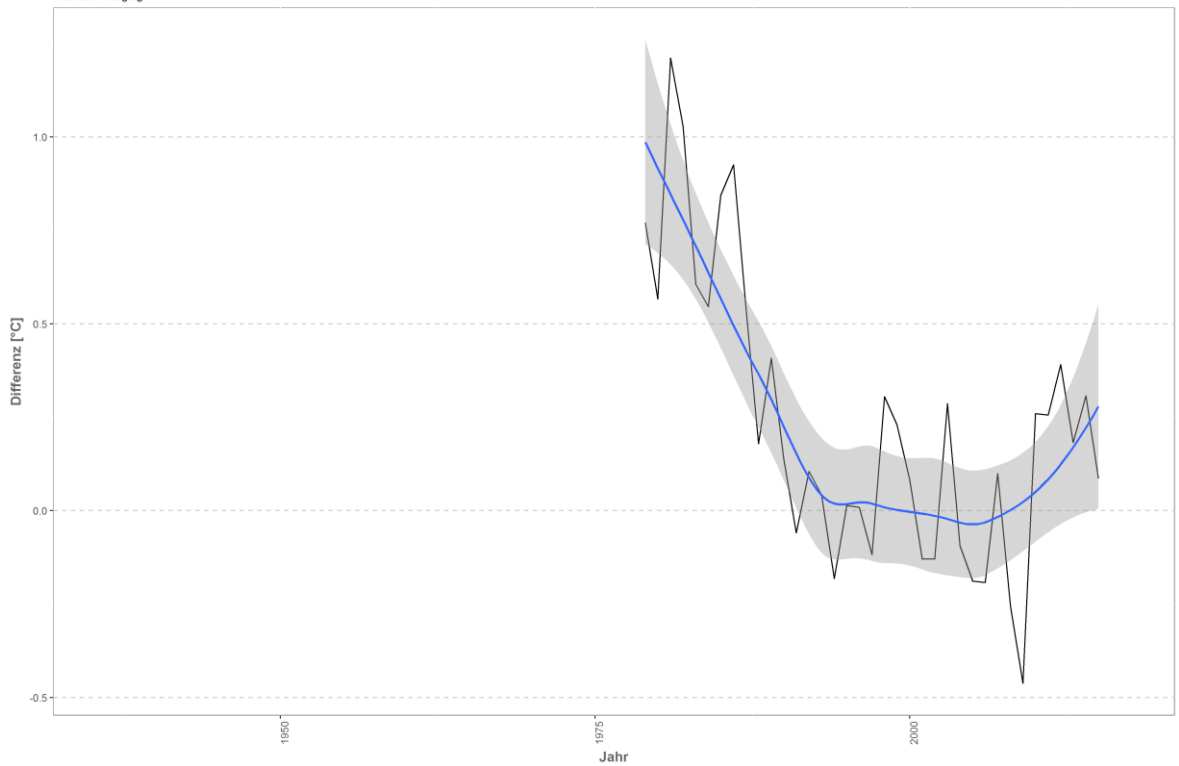
der Grenze sehr gut - gut
Antiesen - Haging



Differenzplot

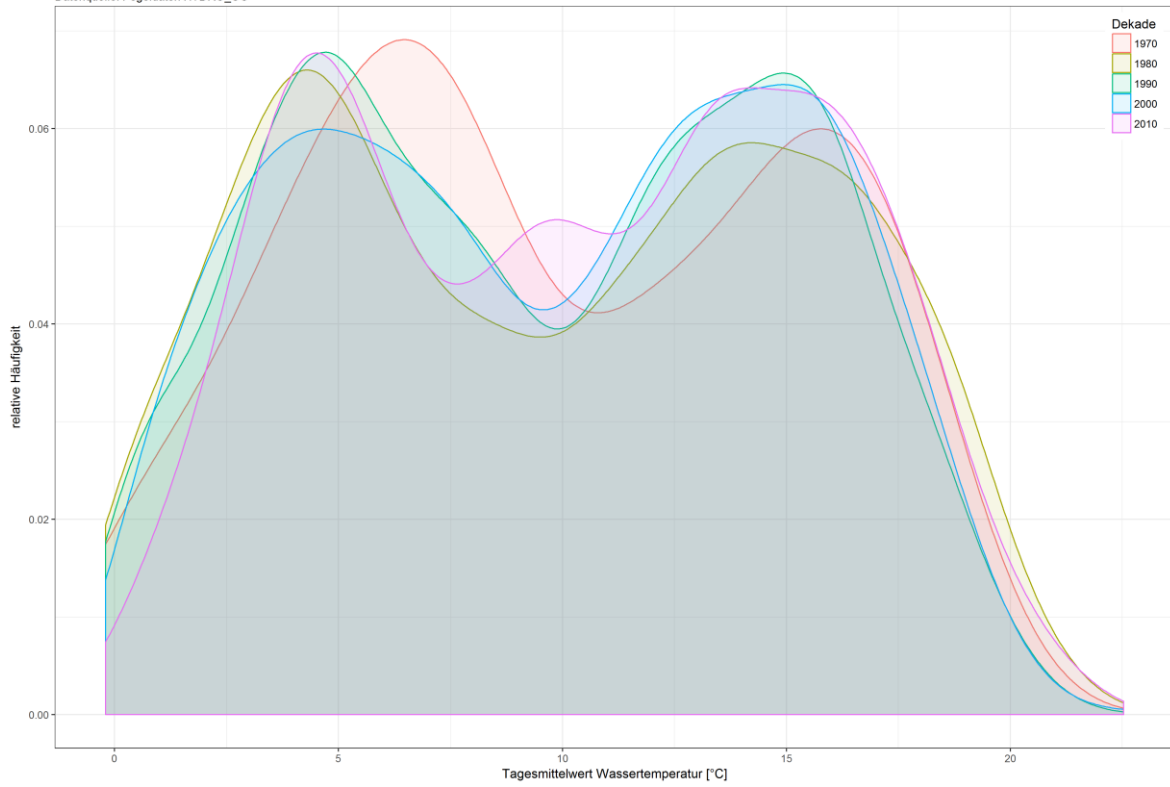
tatsächlich gemessene Wassertemperatur zu Schätzwert der linearen Regression

Antiesen - Haging



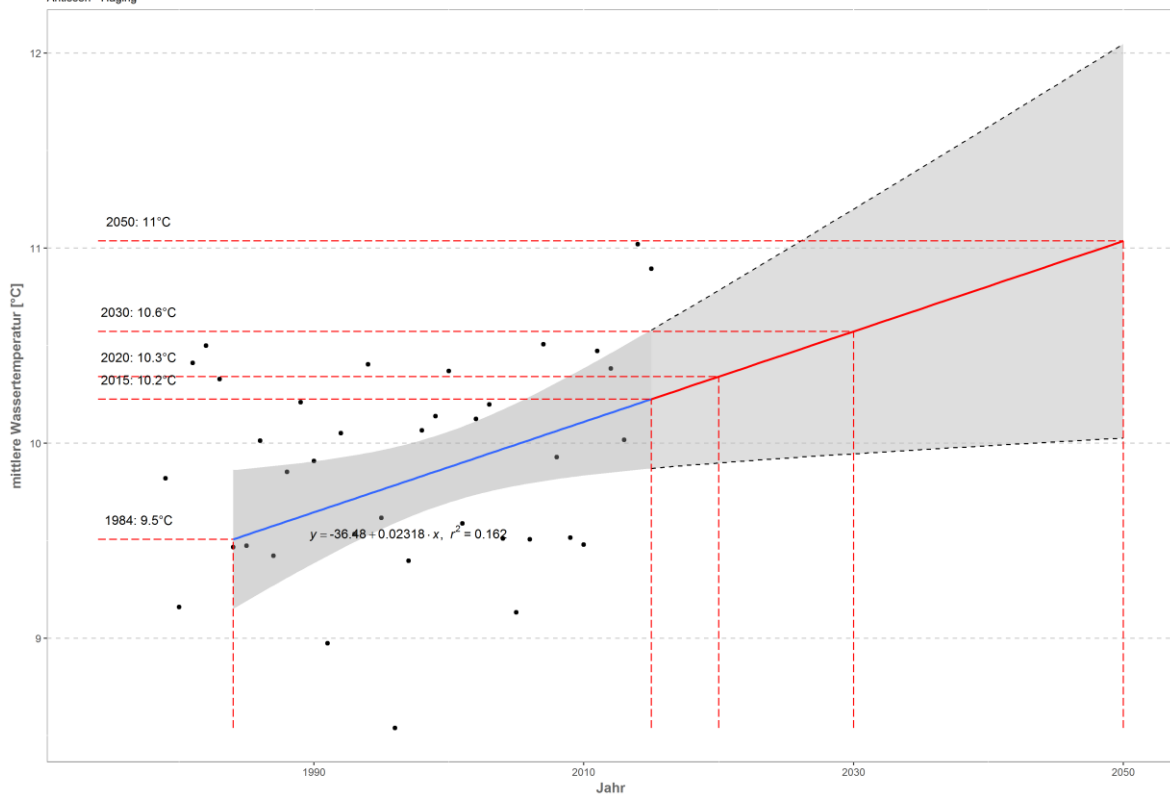
Häufigkeitsverteilung der Wassertemperaturen

Antiesen - Haging
Datenquelle: Pegeldaten HYDRO_OO

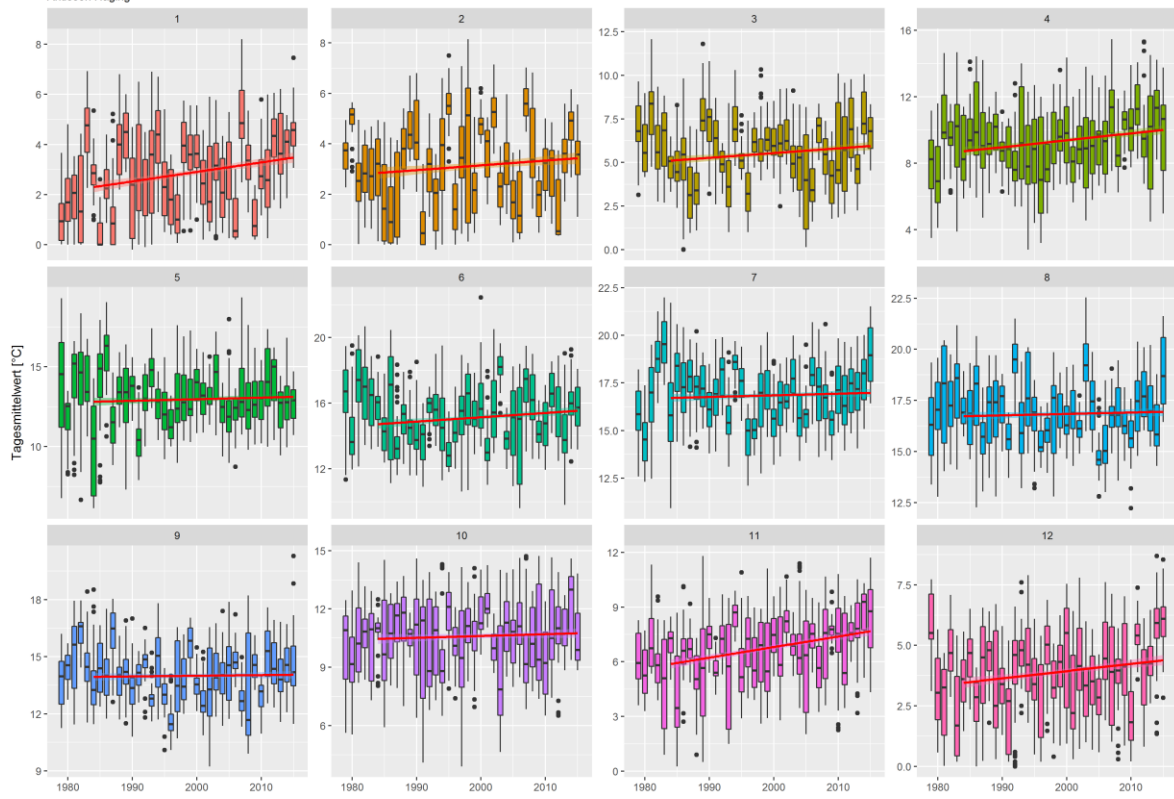


Prognose Wassertemperatur

Antiesen - Haging



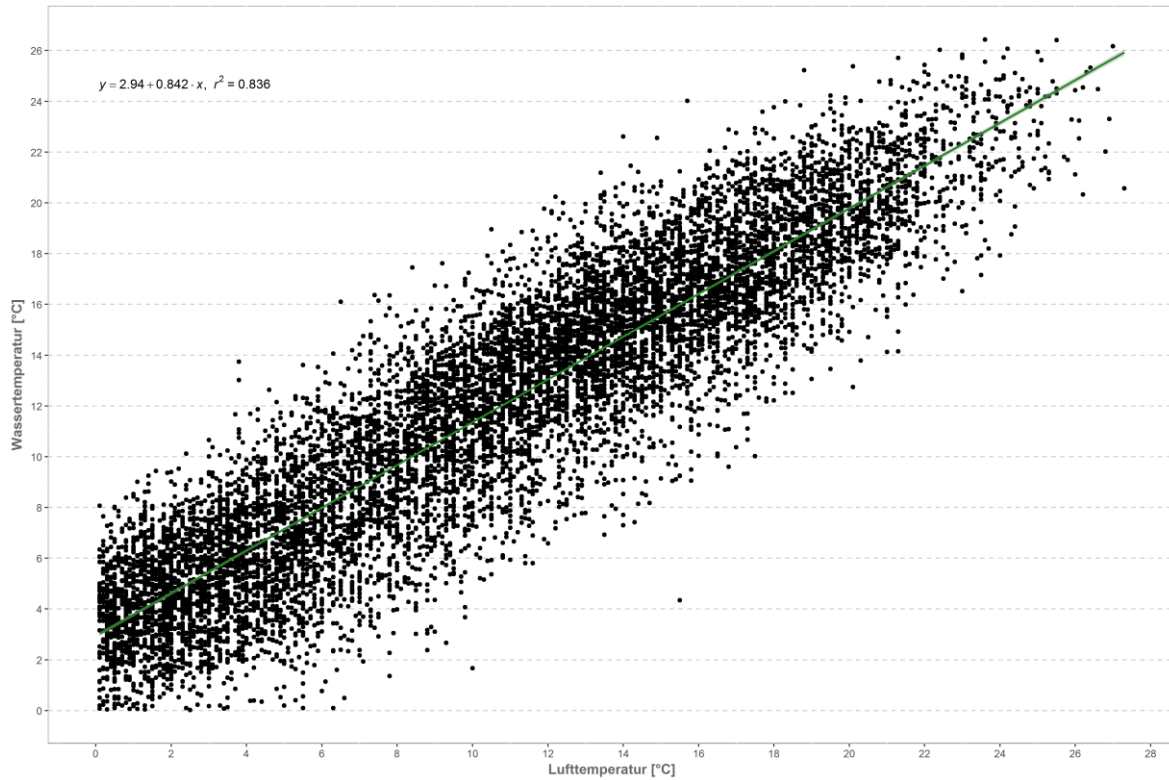
Monatsansicht der Tagesmittelwerte im Jahresverlauf
Antiesen Haging



Aschach – Kropfmühle

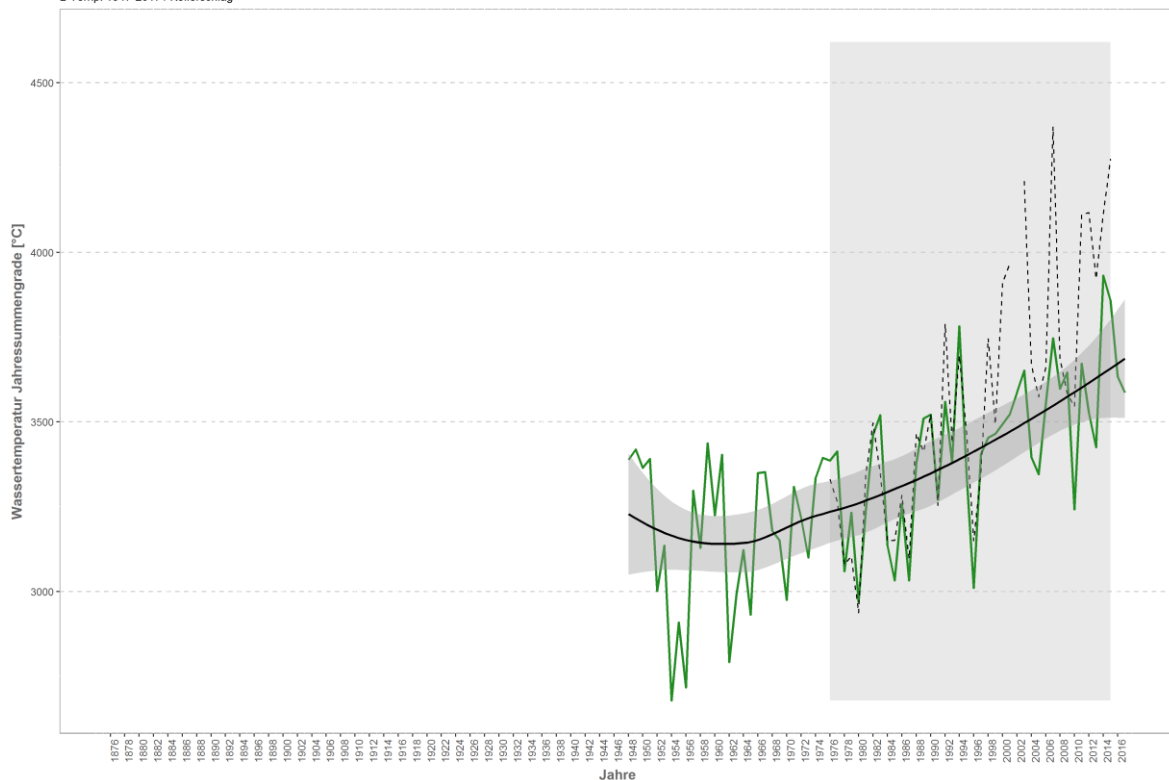
Korrelation Temperatur Luft-Wasser

W-Temp: 1976-2016 / Aschach - Kropfmühle
L-Temp: 1947-2017 / Kollerschlag



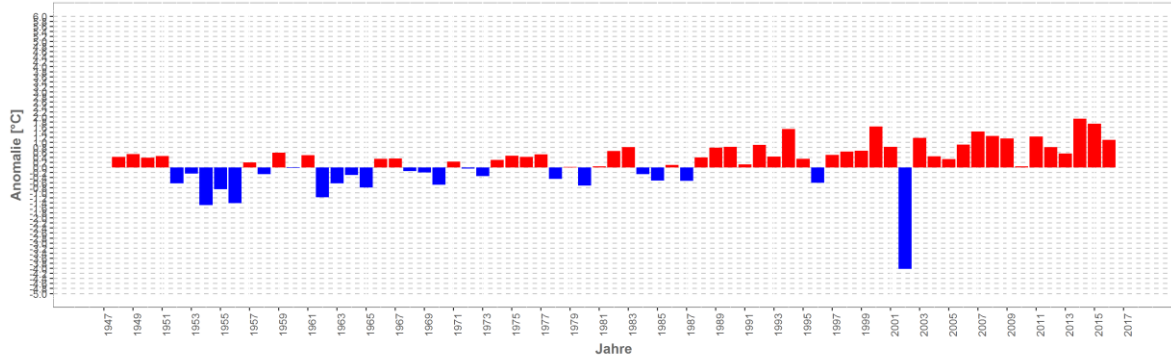
Wassertemperaturverlauf

W-Temp: 1976-2016 / Aschach - Kropfmühle
L-Temp: 1947-2017 / Kollerschlag

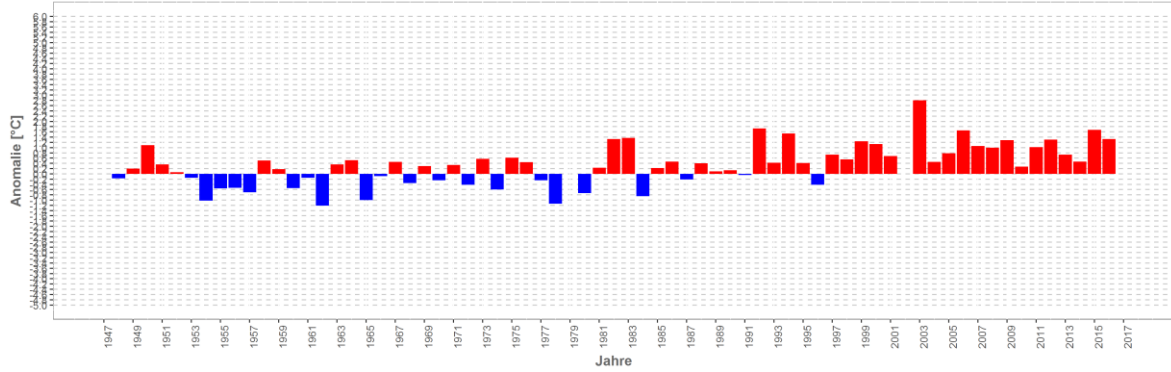


Wassertemperatur-Anomalie

Aschach - Kropfmühle (1947-2017)
Referenz: 1961-1990

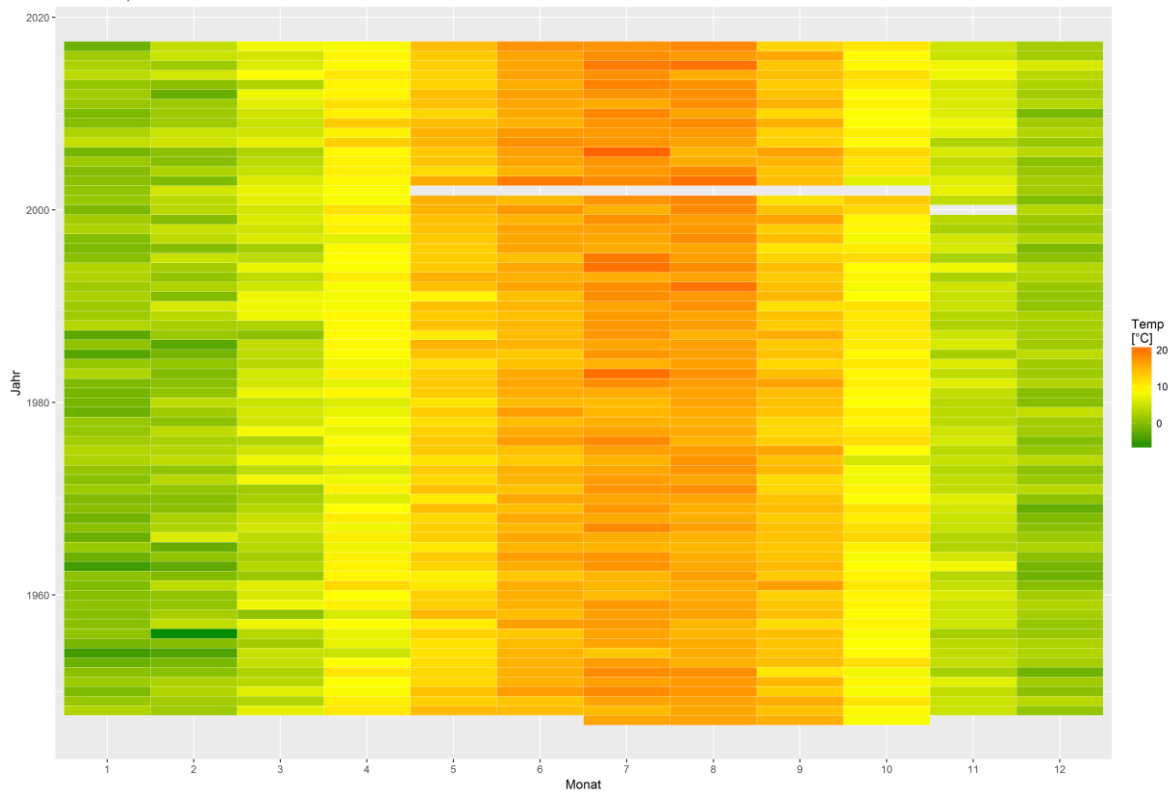


Sommermonate (Mai-Sept)



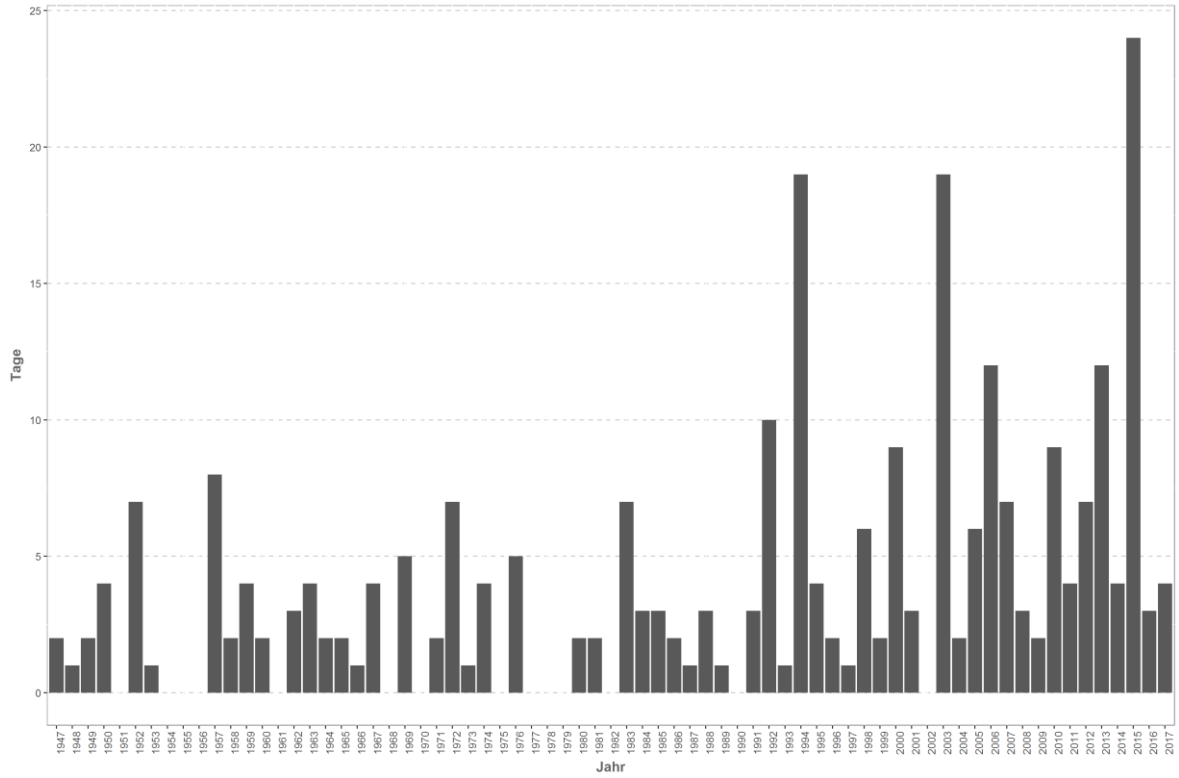
Monatsmittelwert

Aschach - Kropfmühle



Temperaturüberschreitungen

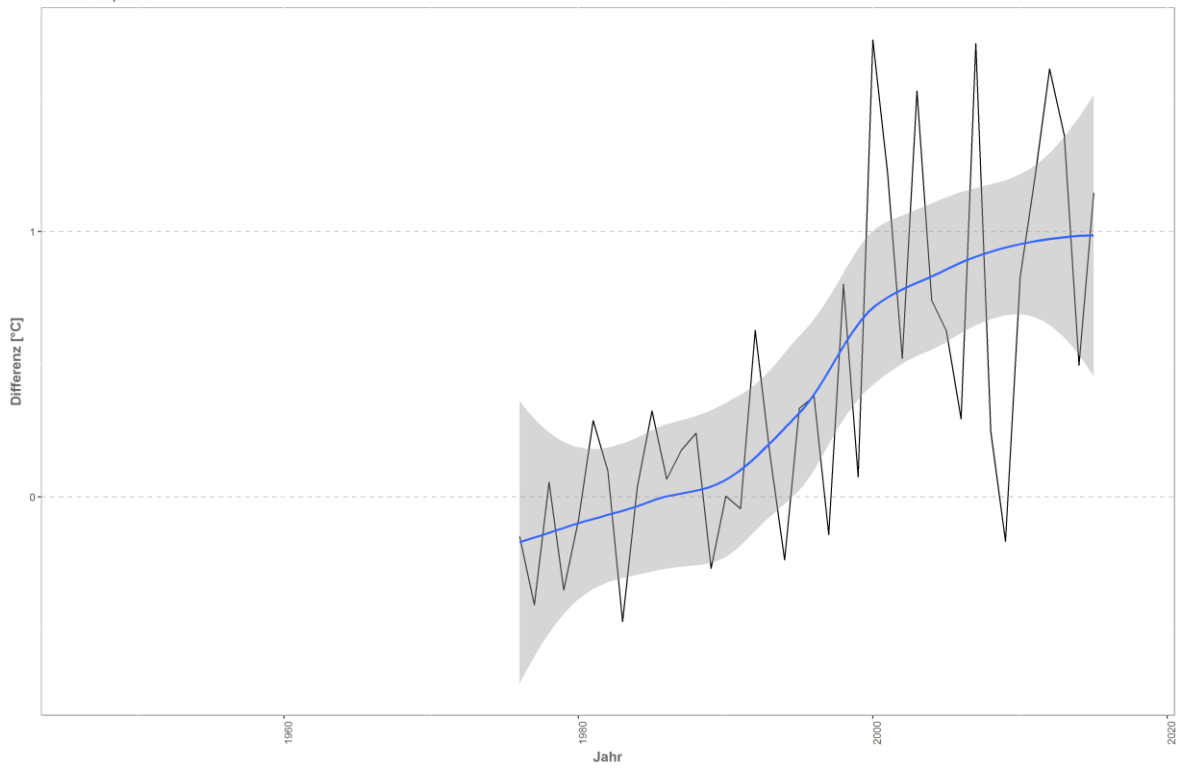
der Grenze sehr gut - gut
Aschach - Kropfmühle



Differenzplot

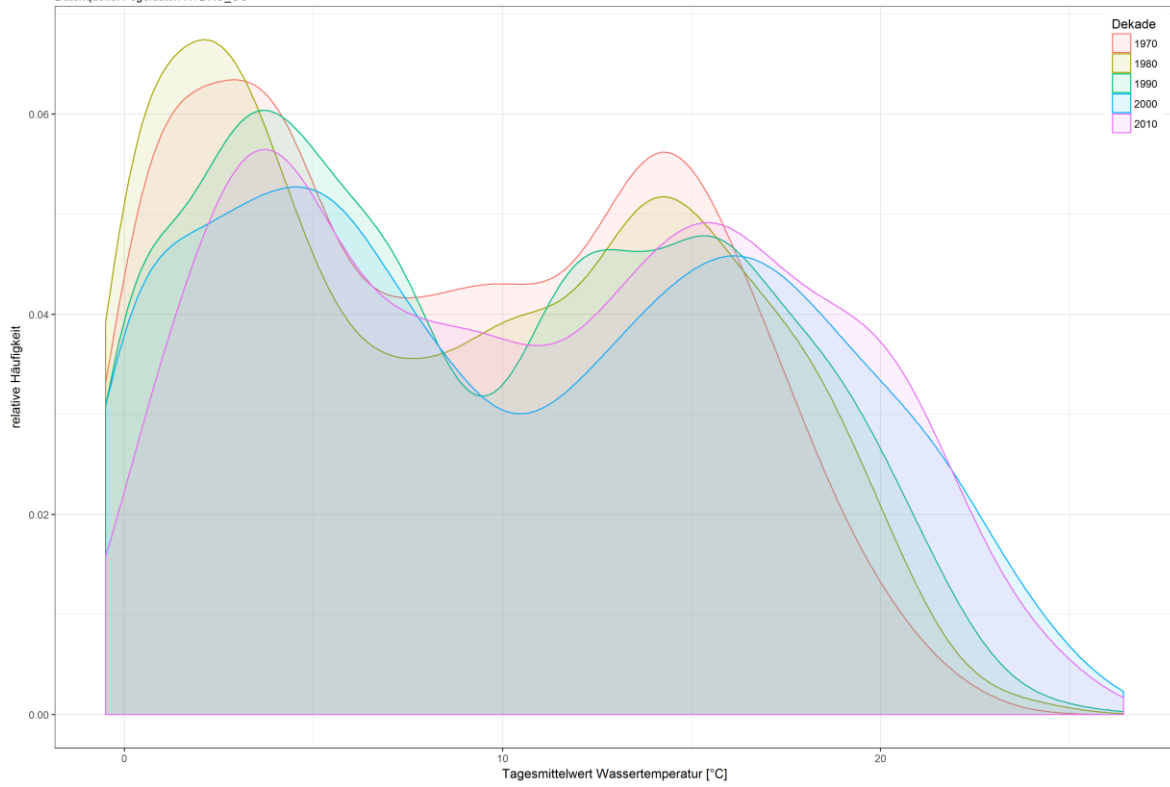
tatsächlich gemessene Wassertemperatur zu Schätzwert der linearen Regression

Aschach - Kropfmühle



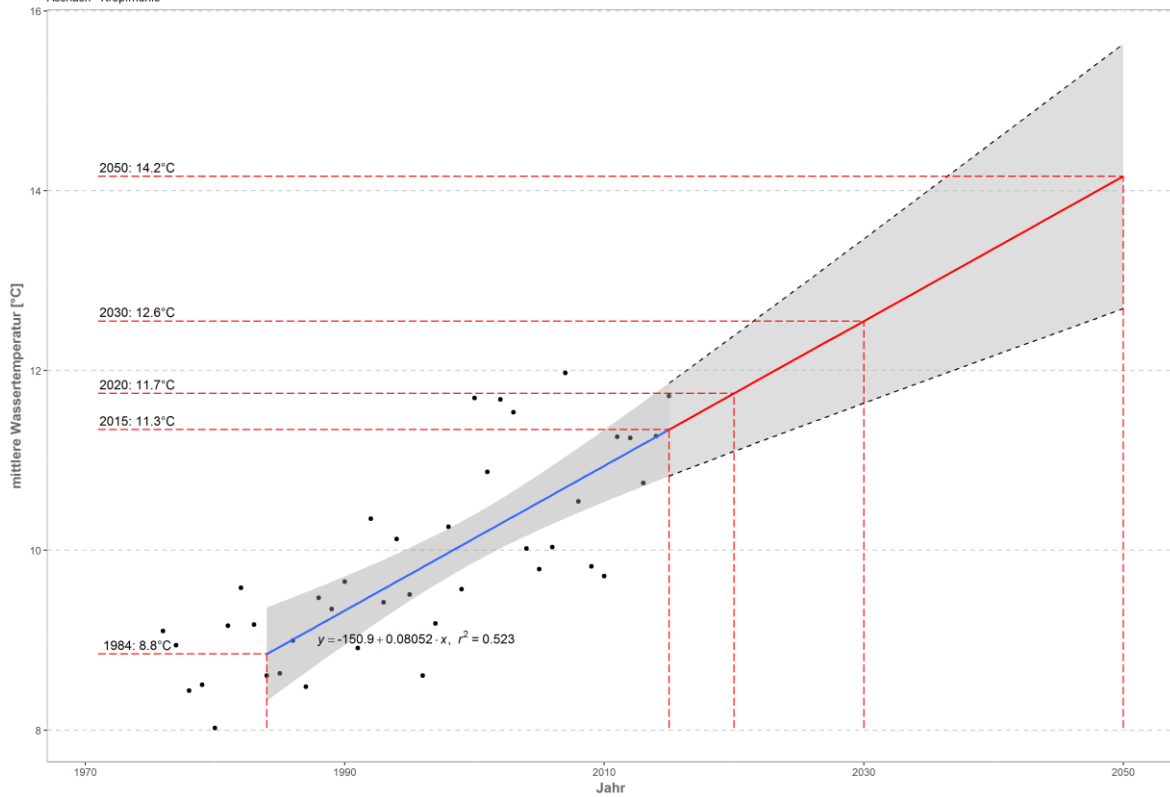
Häufigkeitsverteilung der Wassertemperaturen

Aschach - Kropfmühle
Datenquelle: Pegeldaten HYDRO_OO



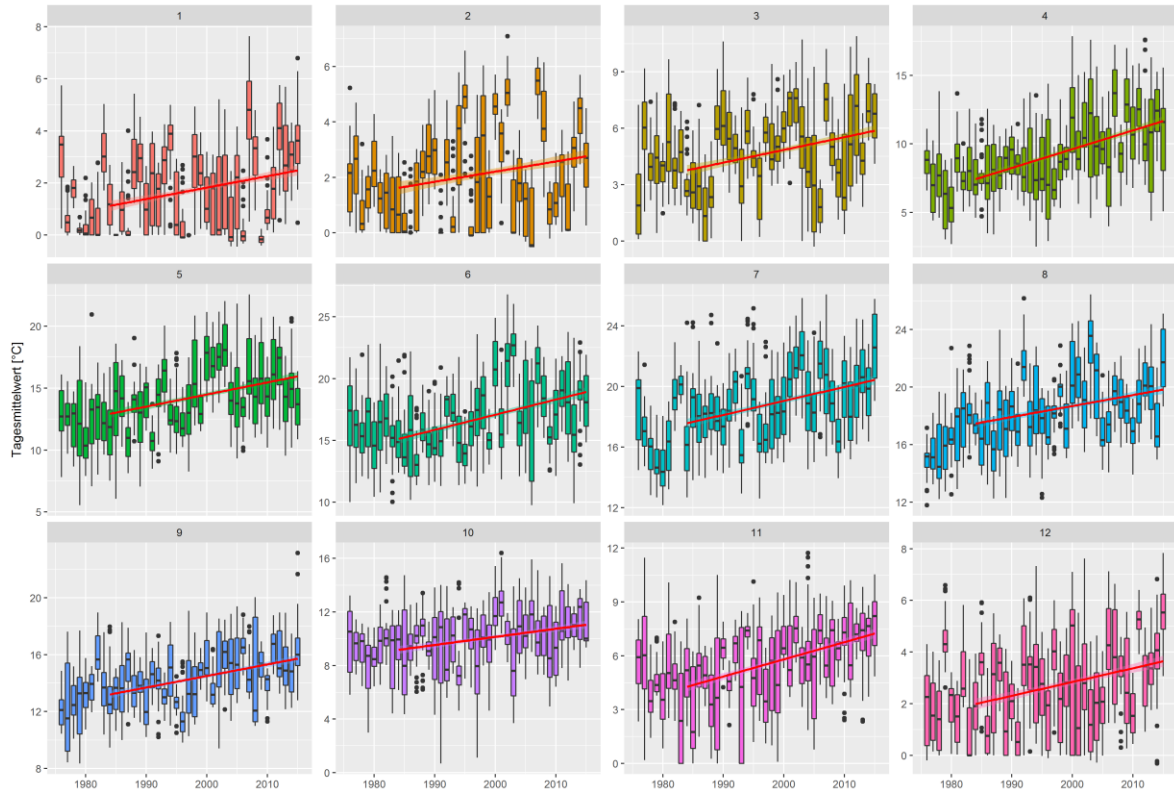
Prognose Wassertemperatur

Aschach - Kropfmühle

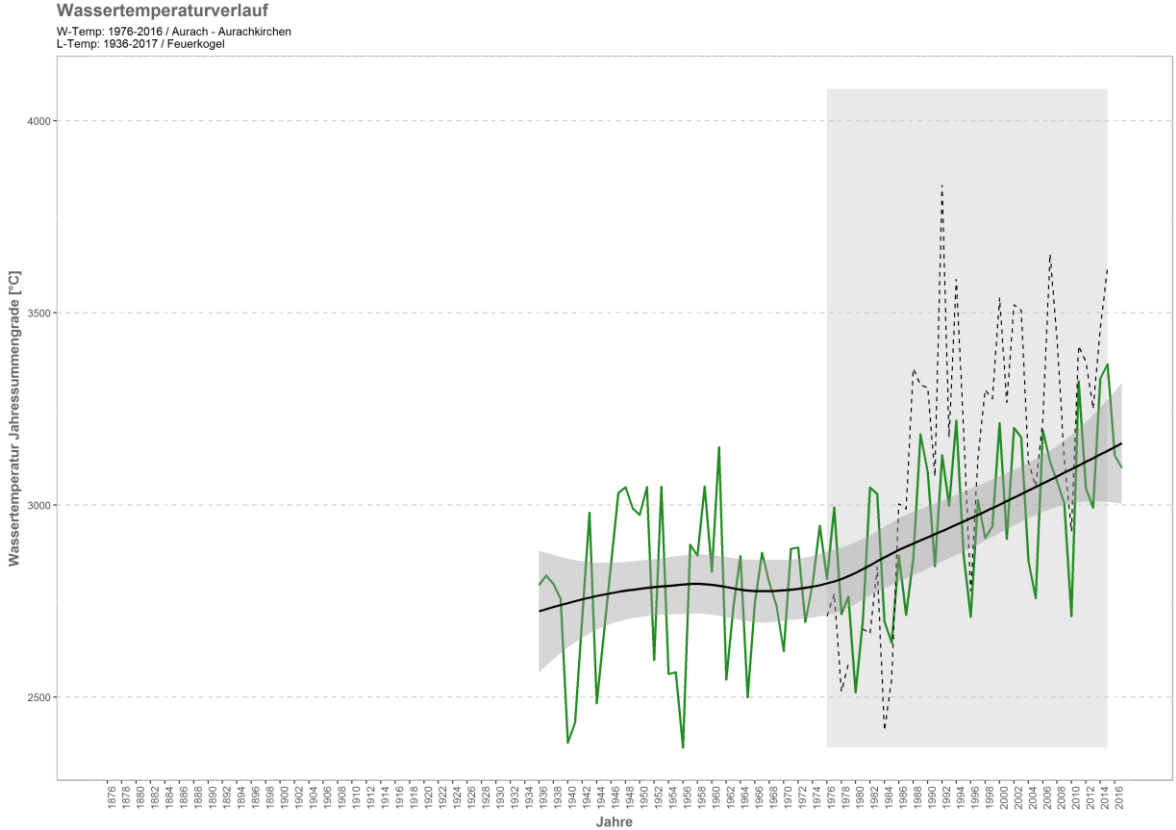
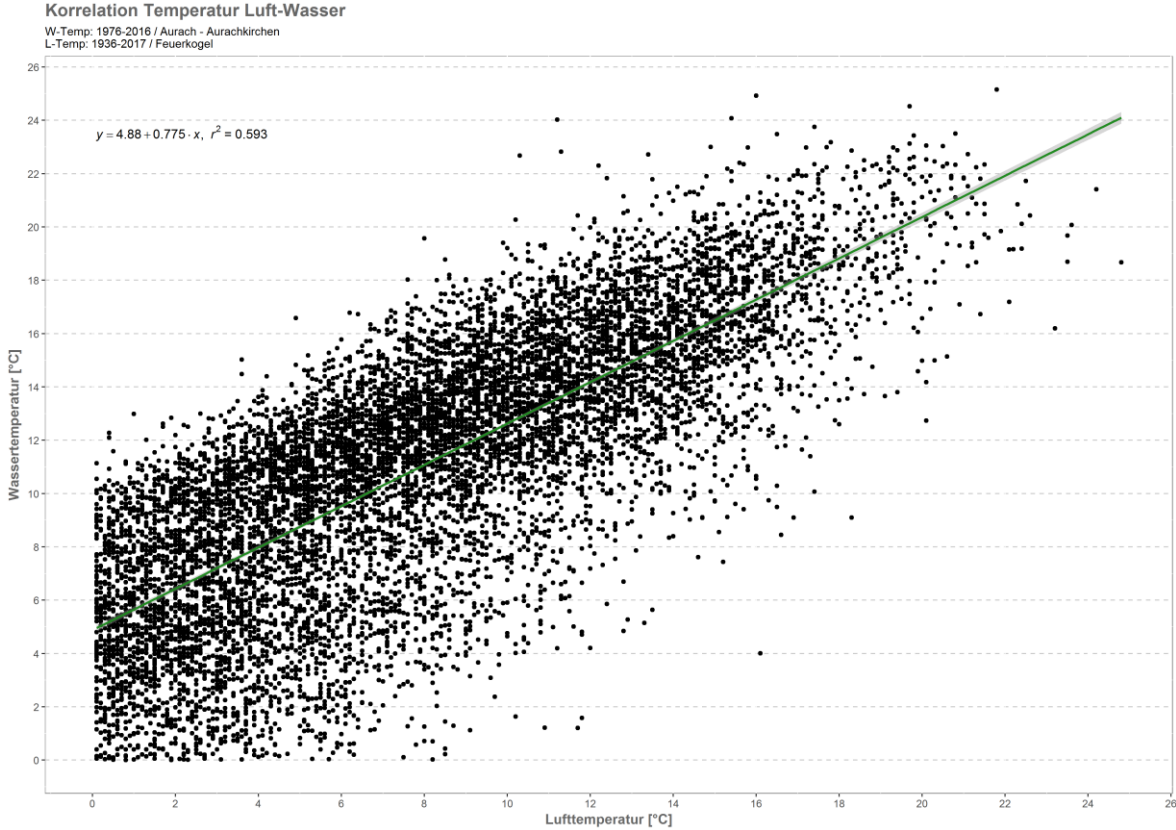


Monatsansicht der Tagesmittelwerte im Jahresverlauf

Aschach Kropfmühle

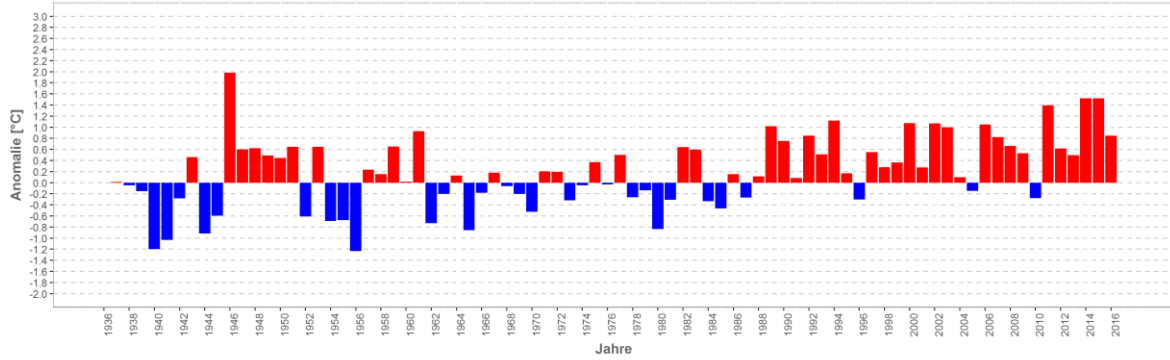


Aurach – Aurachkirchen

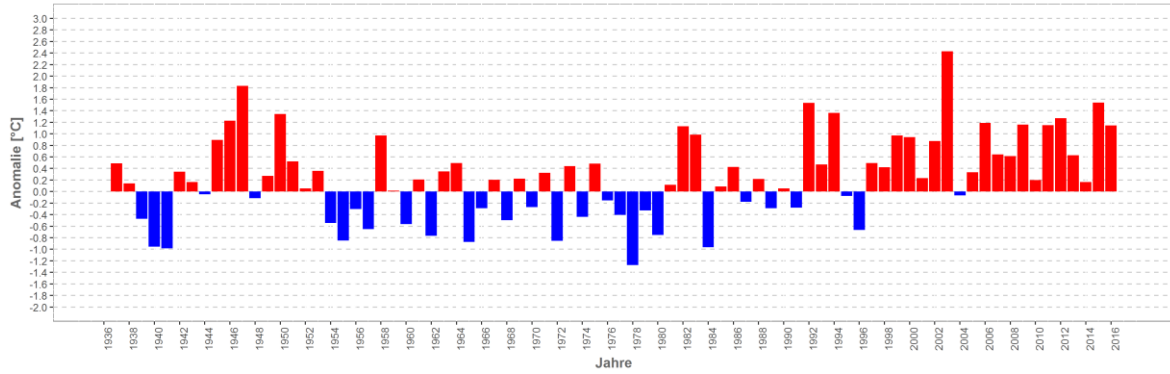


Wassertemperatur-Anomalie

Aurach - Aurachkirchen (1936-2017)
Referenz: 1961-1990

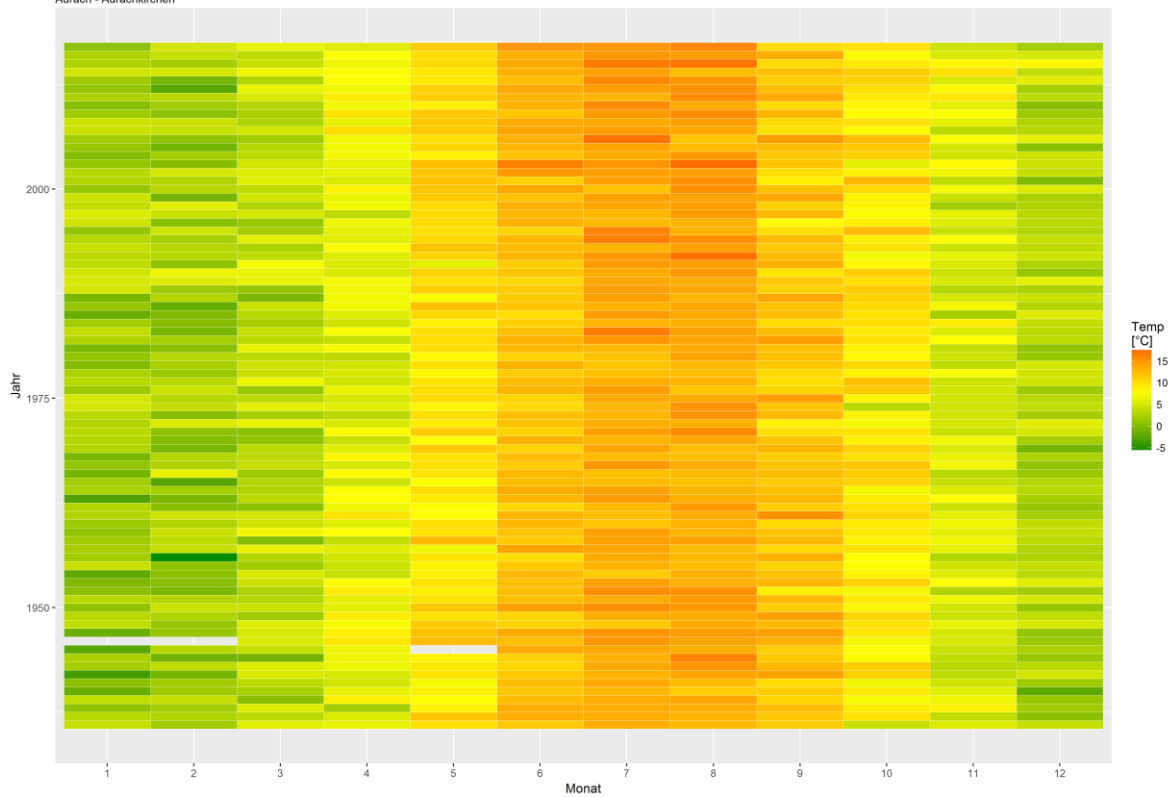


Sommermonate (Mai-Sept)



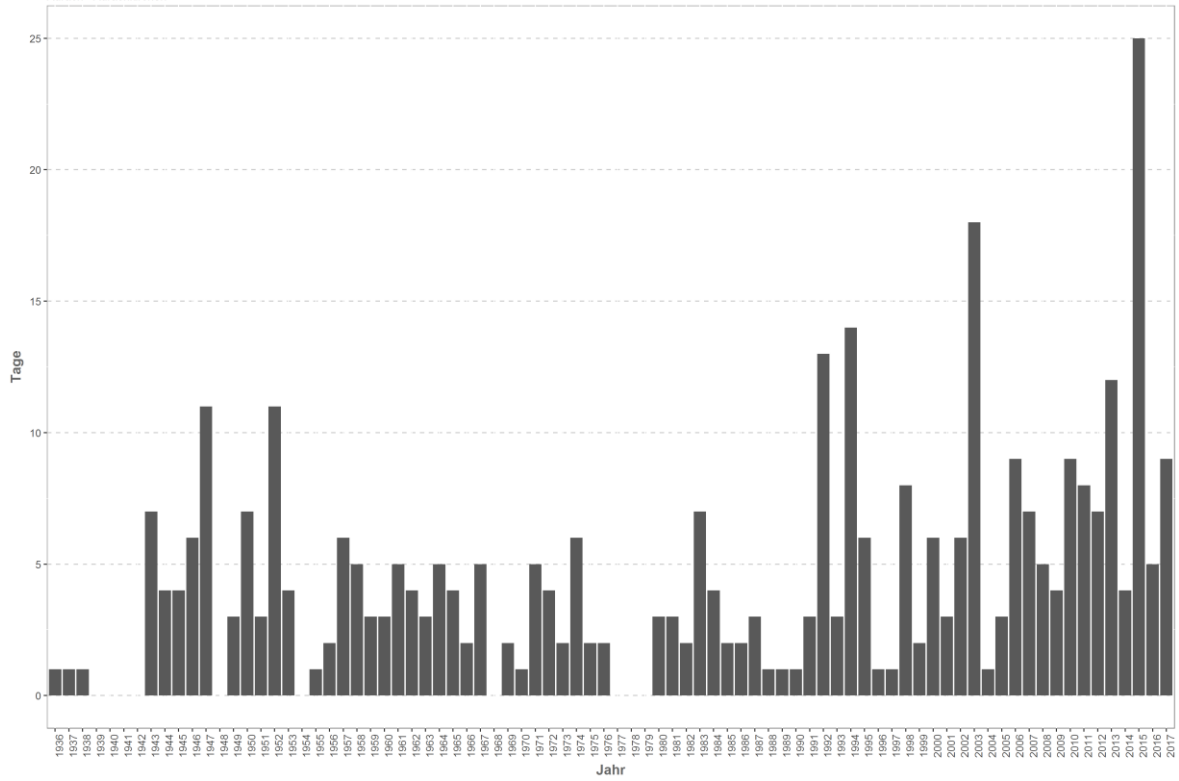
Monatsmittelwert

Aurach - Aurachkirchen



Temperaturüberschreitungen

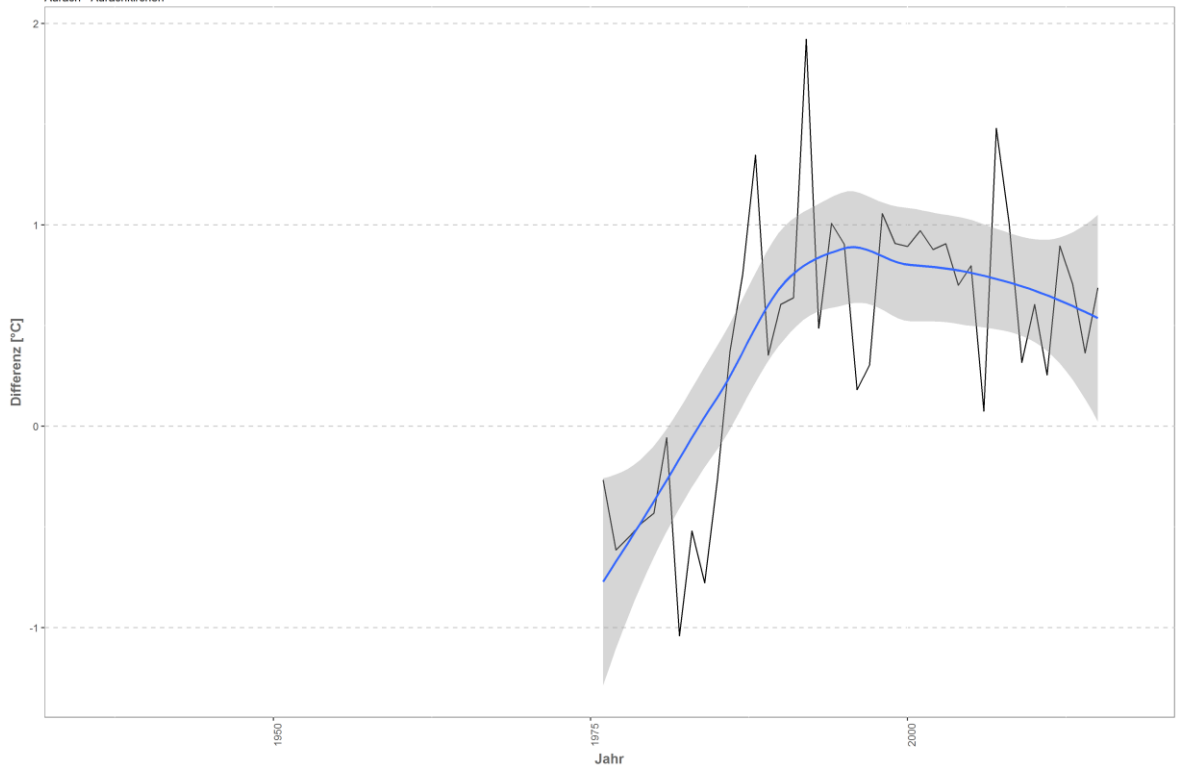
der Grenze sehr gut - gut
Aurach - Aurachkirchen



Differenzplot

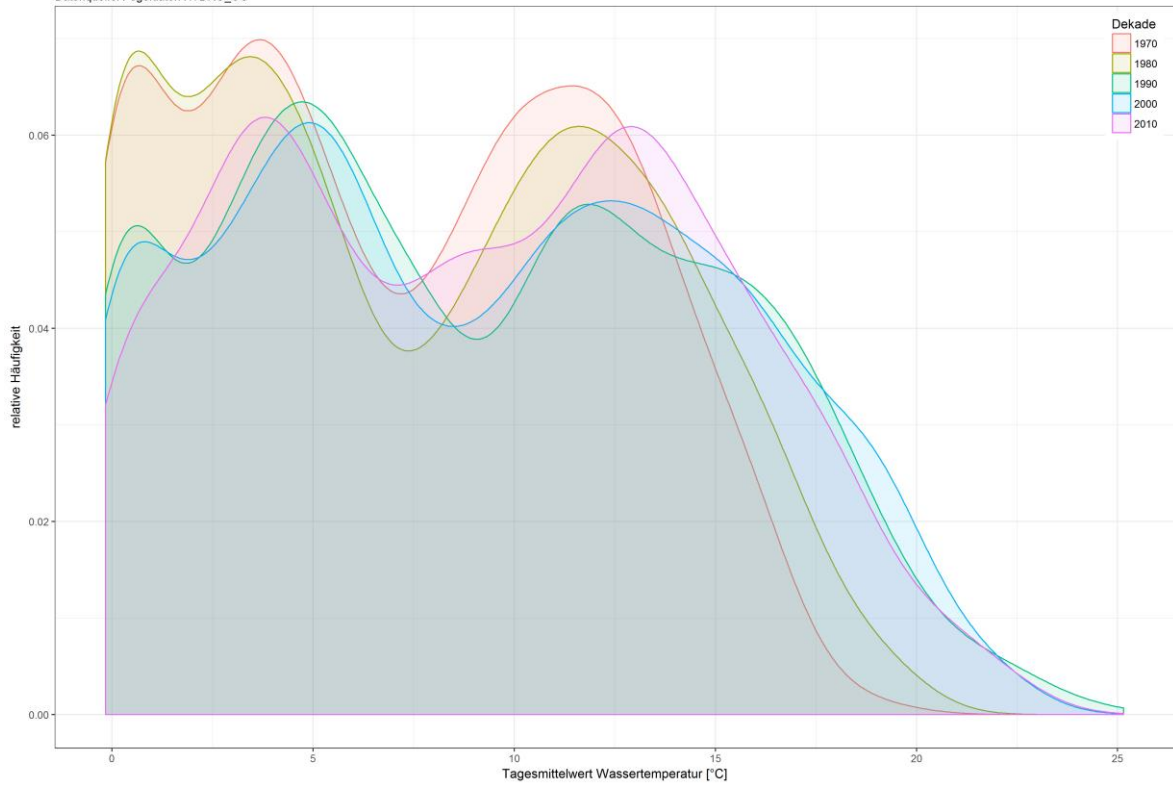
tatsächlich gemessene Wassertemperatur zu Schätzwert der linearen Regression

Aurach - Aurachkirchen



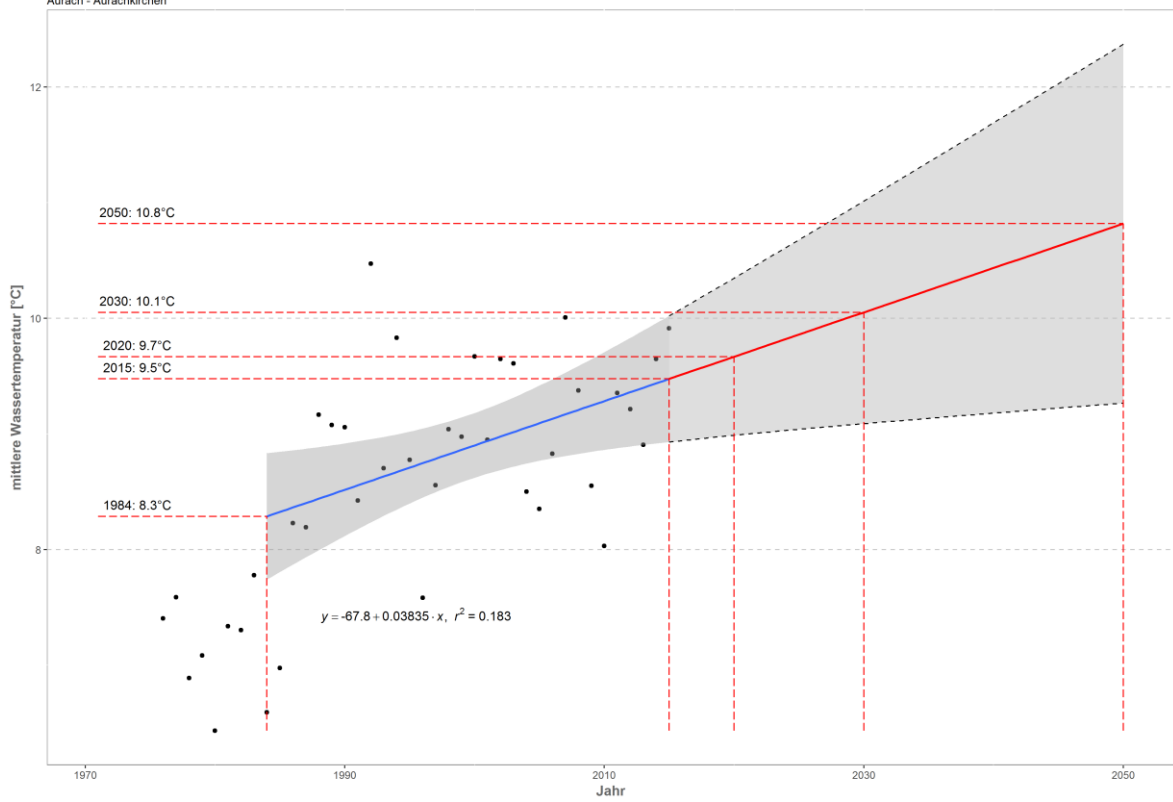
Häufigkeitsverteilung der Wassertemperaturen

Aurach - Aurachkirchen
Datenquelle: Pegeldaten HYDRO_OO



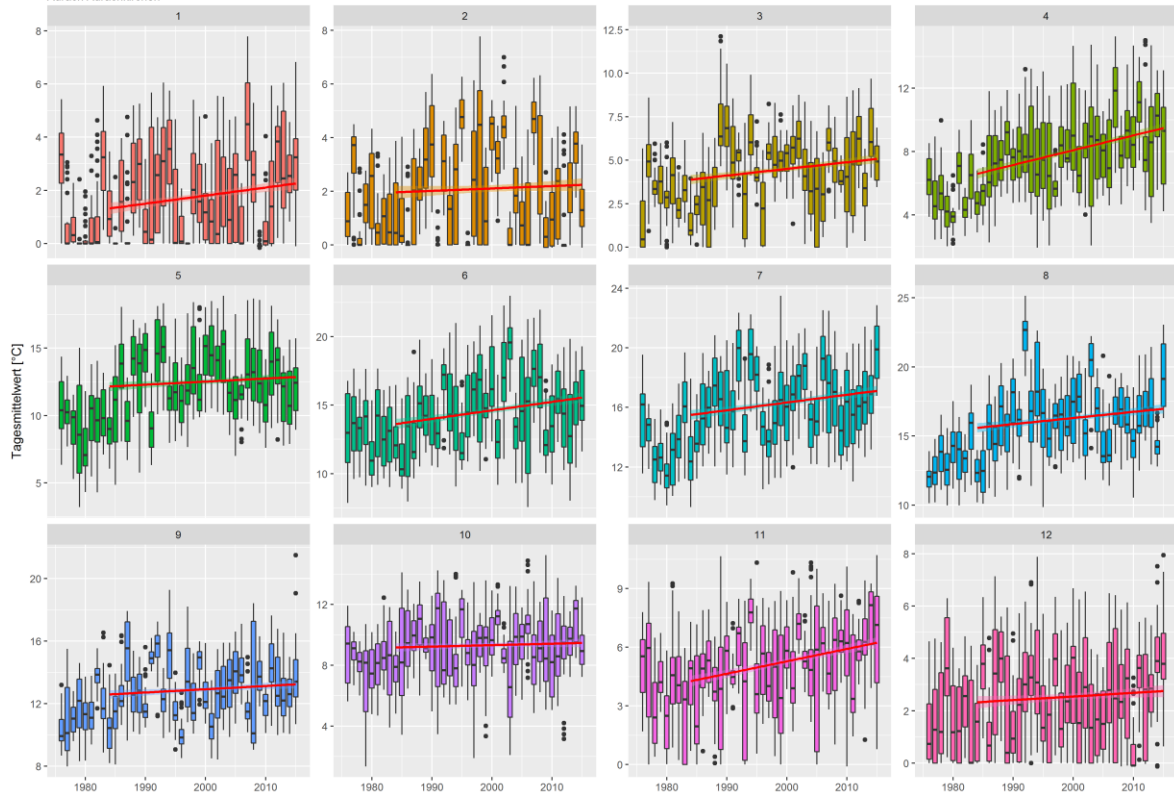
Prognose Wassertemperatur

Aurach - Aurachkirchen

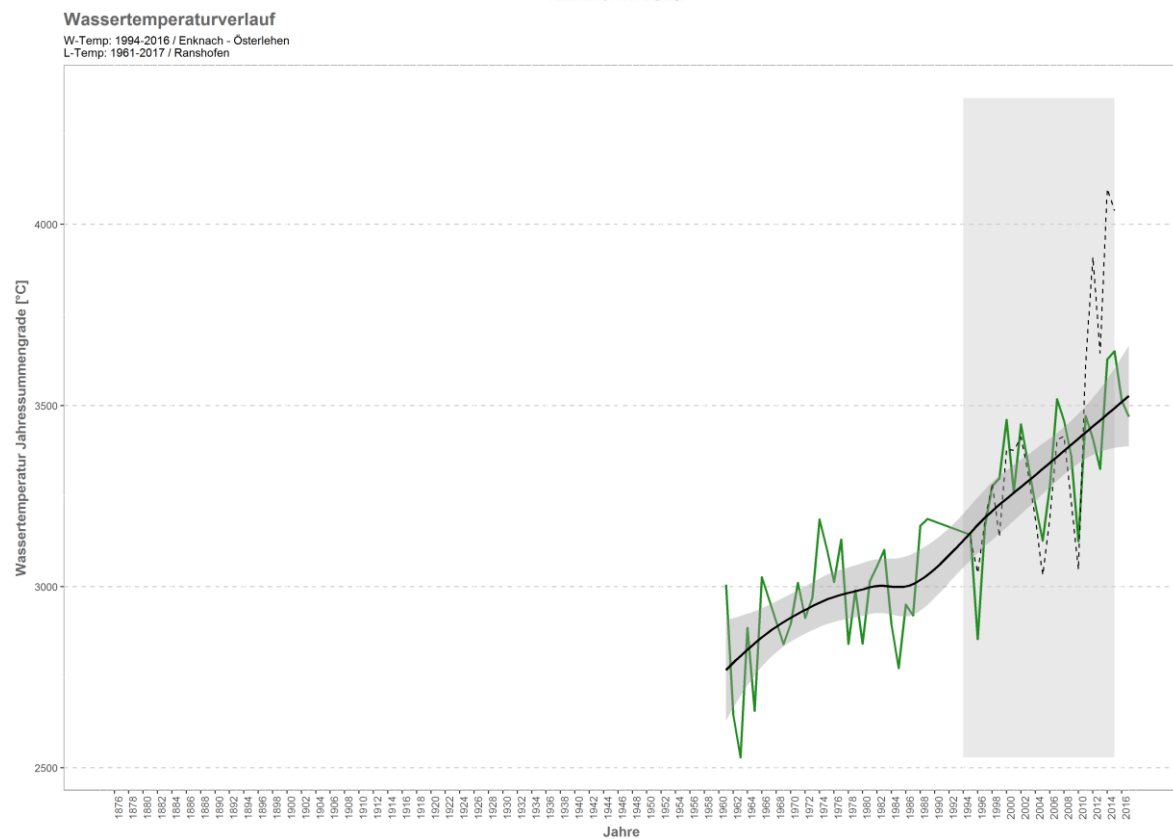
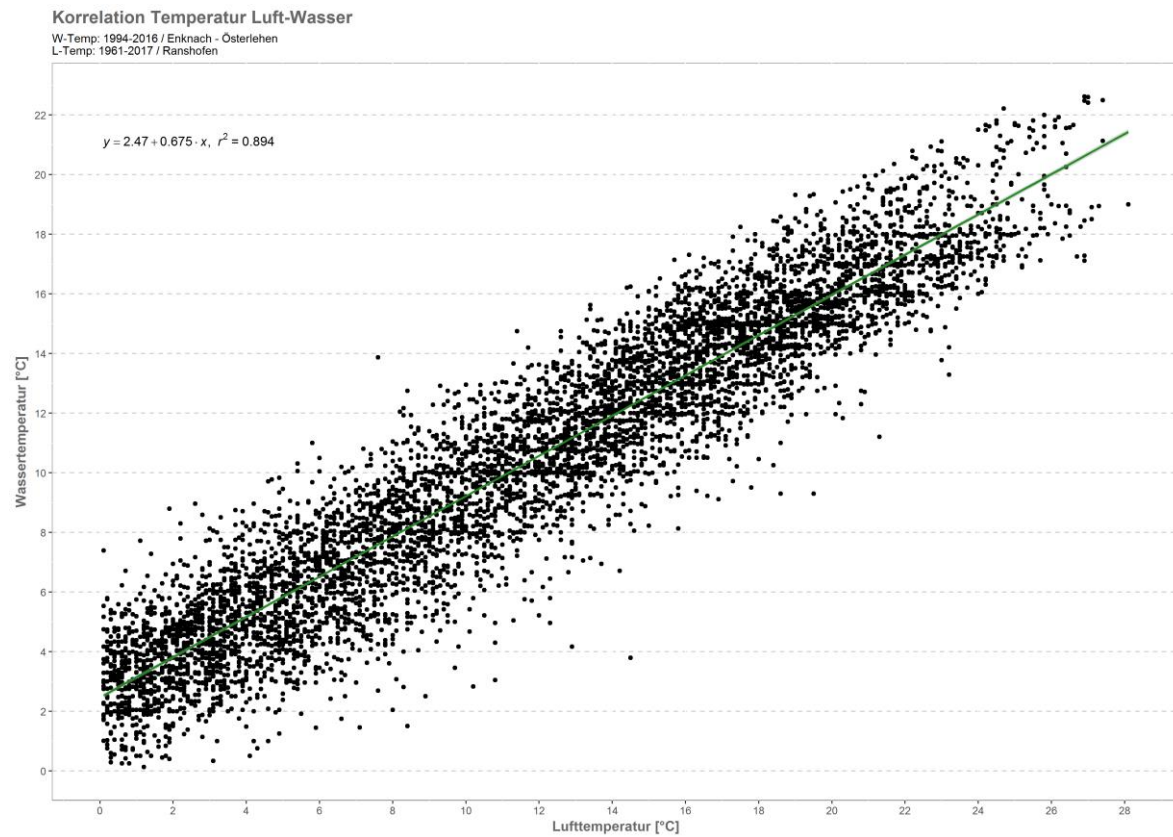


Monatsansicht der Tagesmittelwerte im Jahresverlauf

Aurach Aurachkirchen

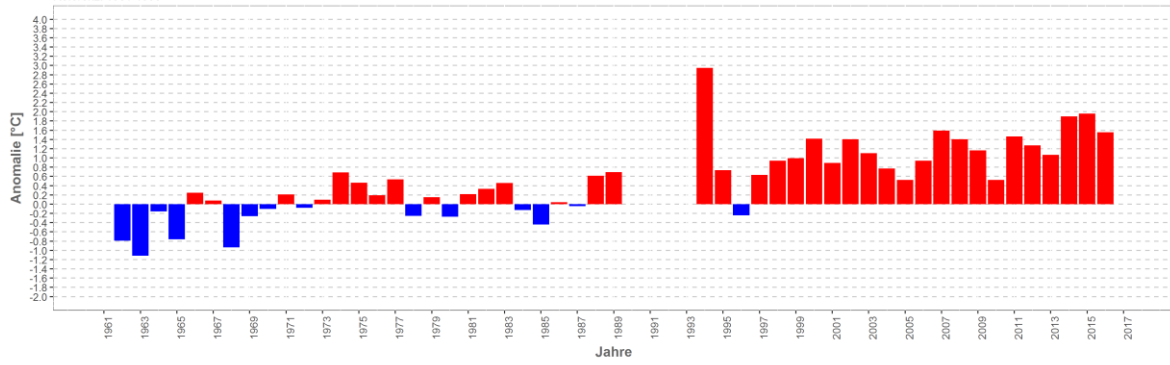


Diestlbach – Zwettl an der Rodl

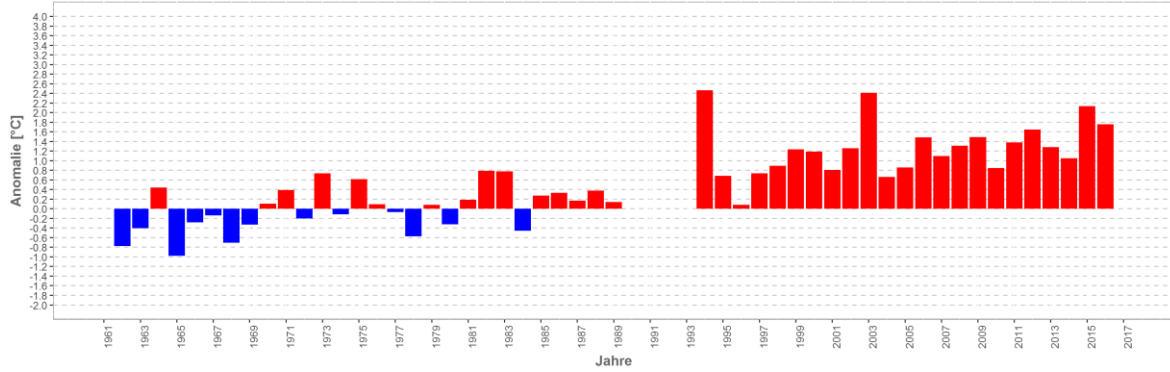


Wassertemperatur-Anomalie

Enknach - Osterlehen (1961-2017)
Referenz: 1961-1990

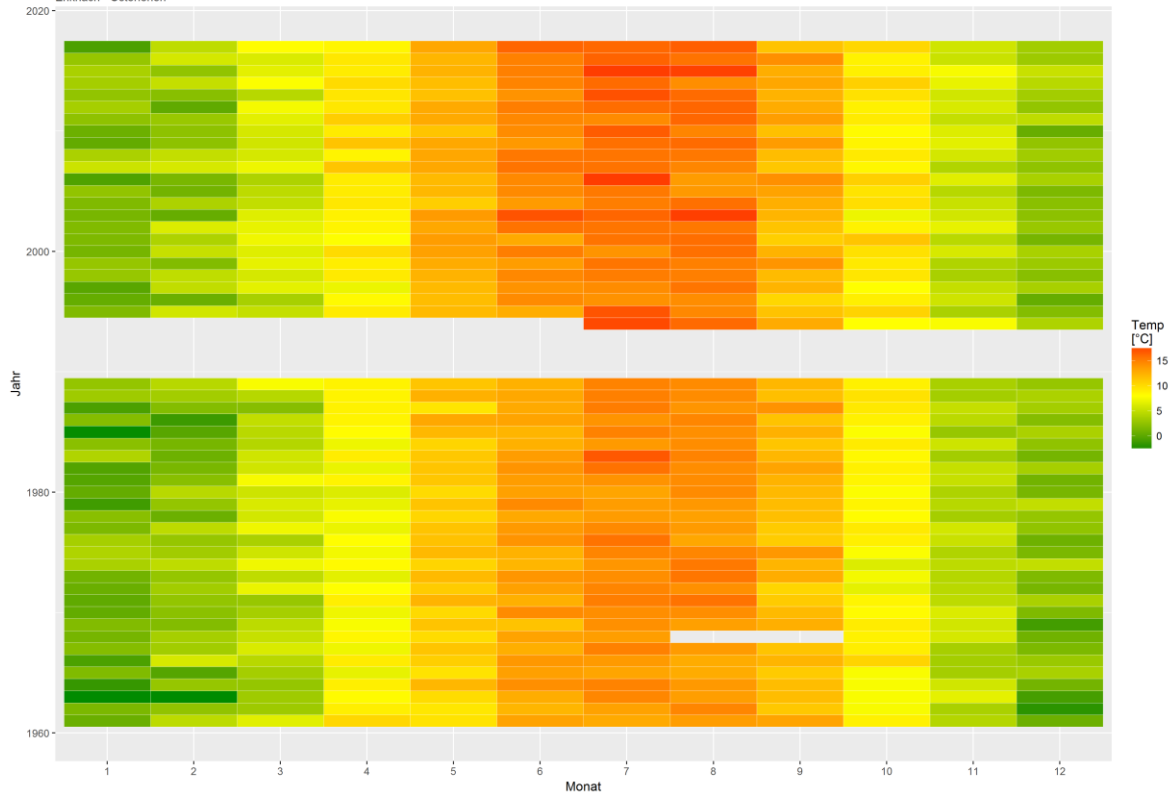


Sommermonate (Mai-Sept)



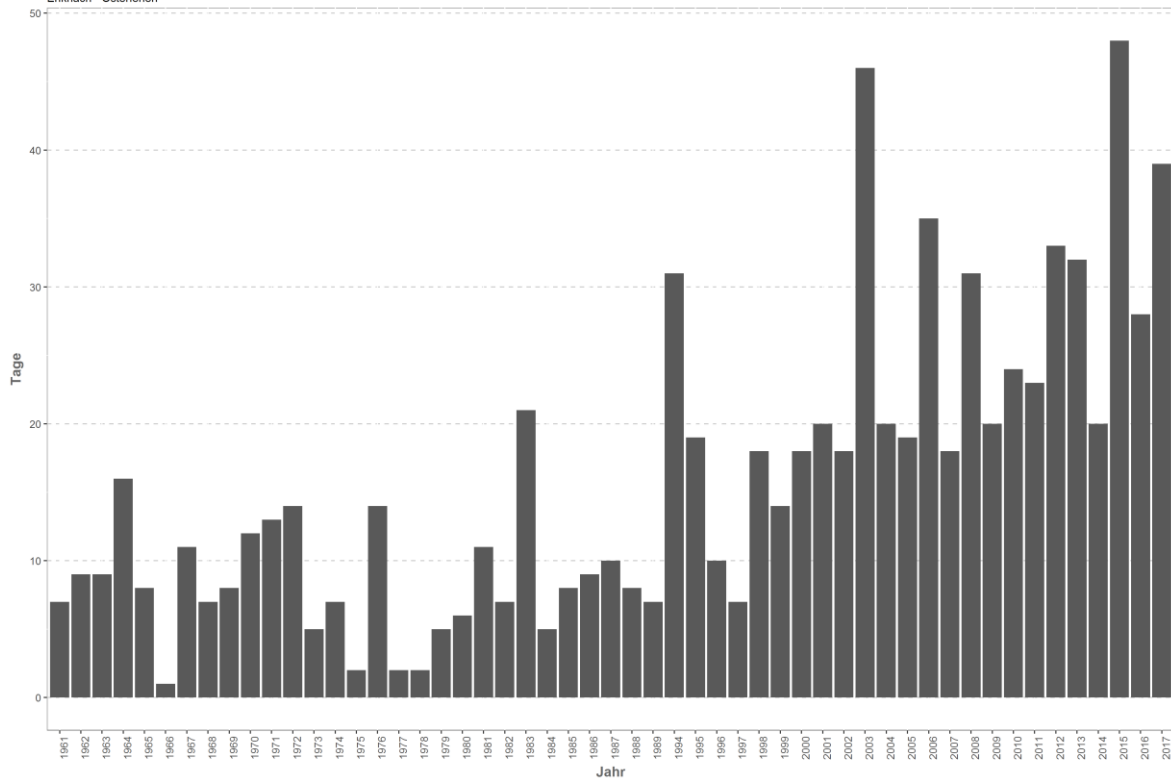
Monatsmittelwert

Enknach - Osterlehen



Temperaturüberschreitungen

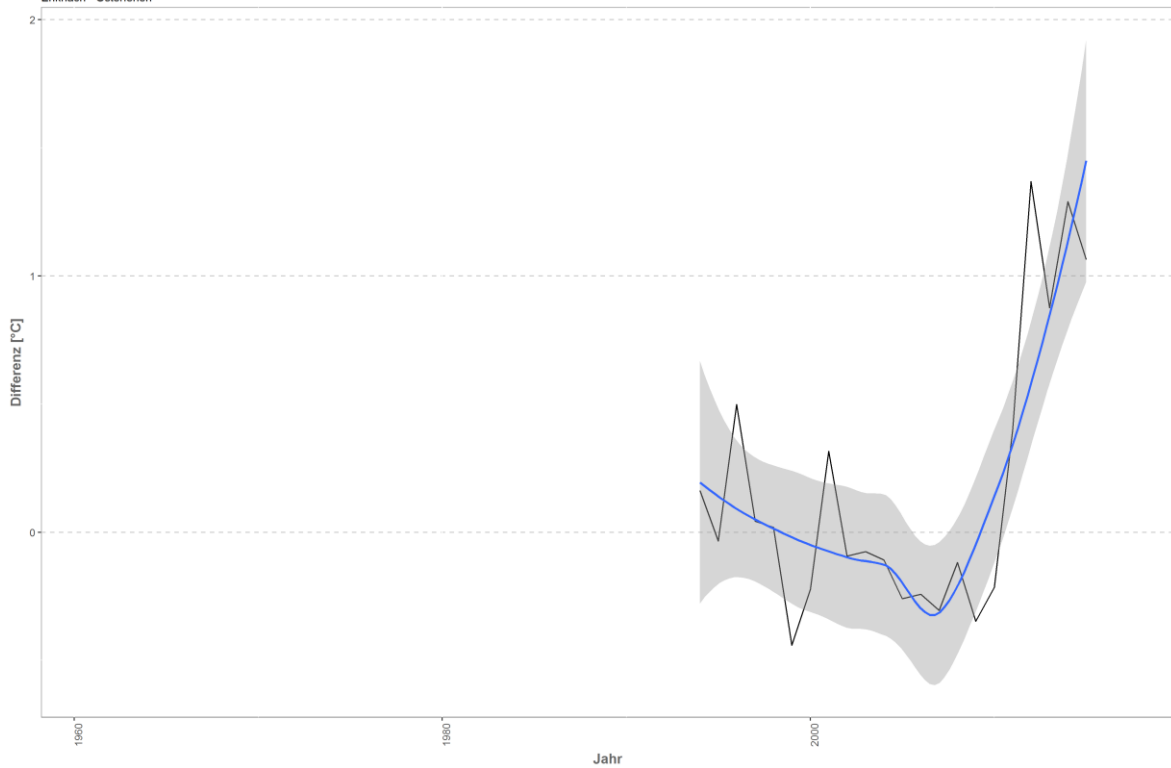
der Grenze sehr gut - gut
Enknach - Osterlehen



Differenzplot

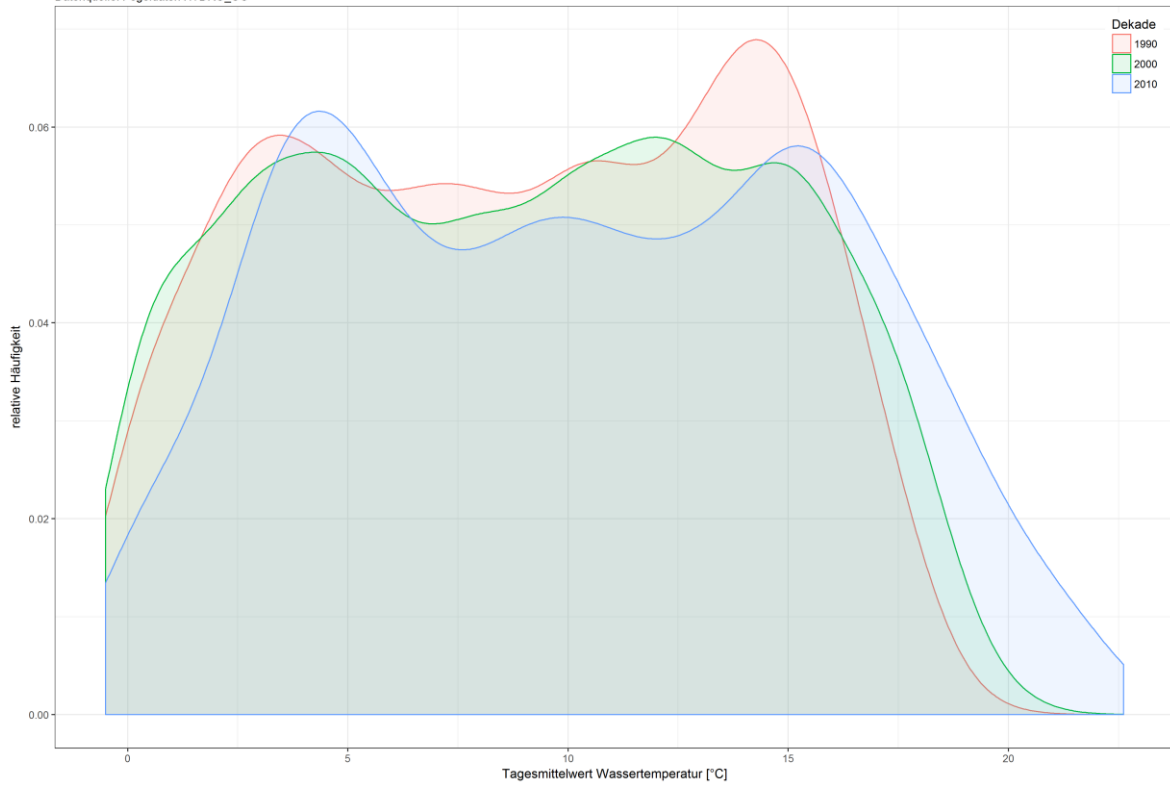
tatsächlich gemessene Wassertemperatur zu Schätzwert der linearen Regression

Enknach - Osterlehen



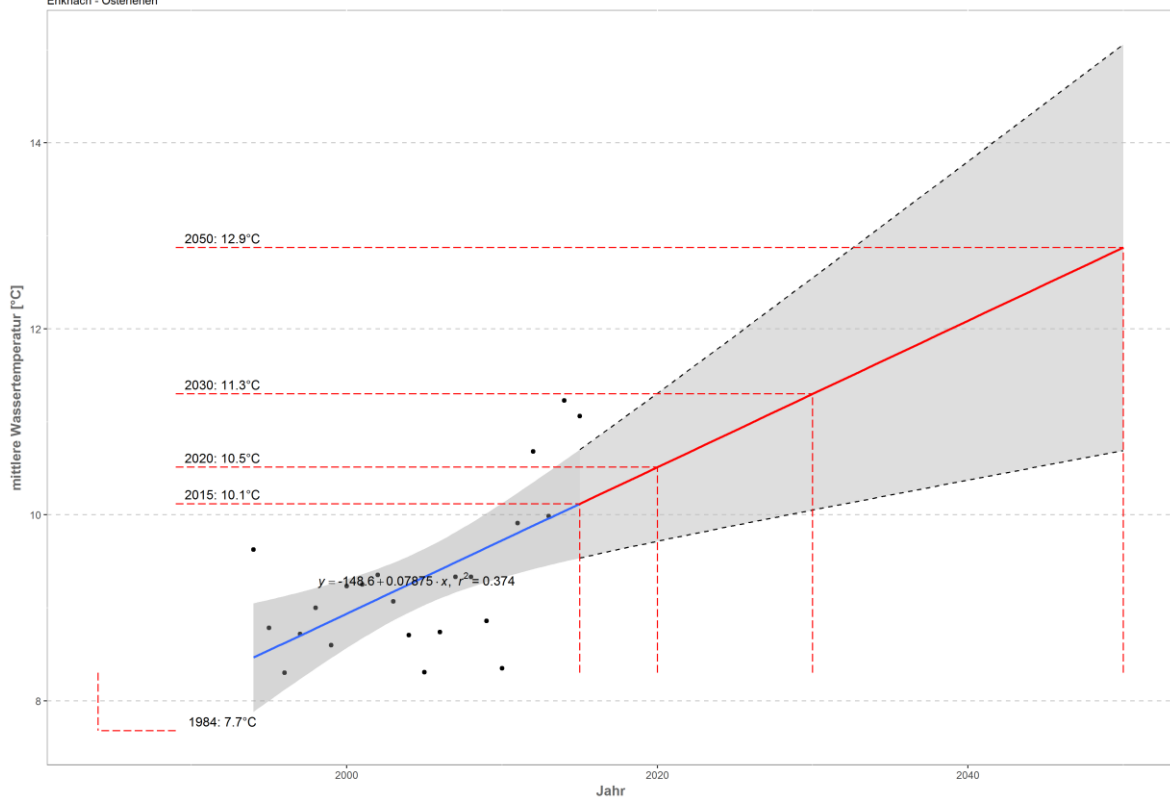
Häufigkeitsverteilung der Wassertemperaturen

Enknach - Osterlehen
 Datenquelle: Pegeldaten HYDRO_OO

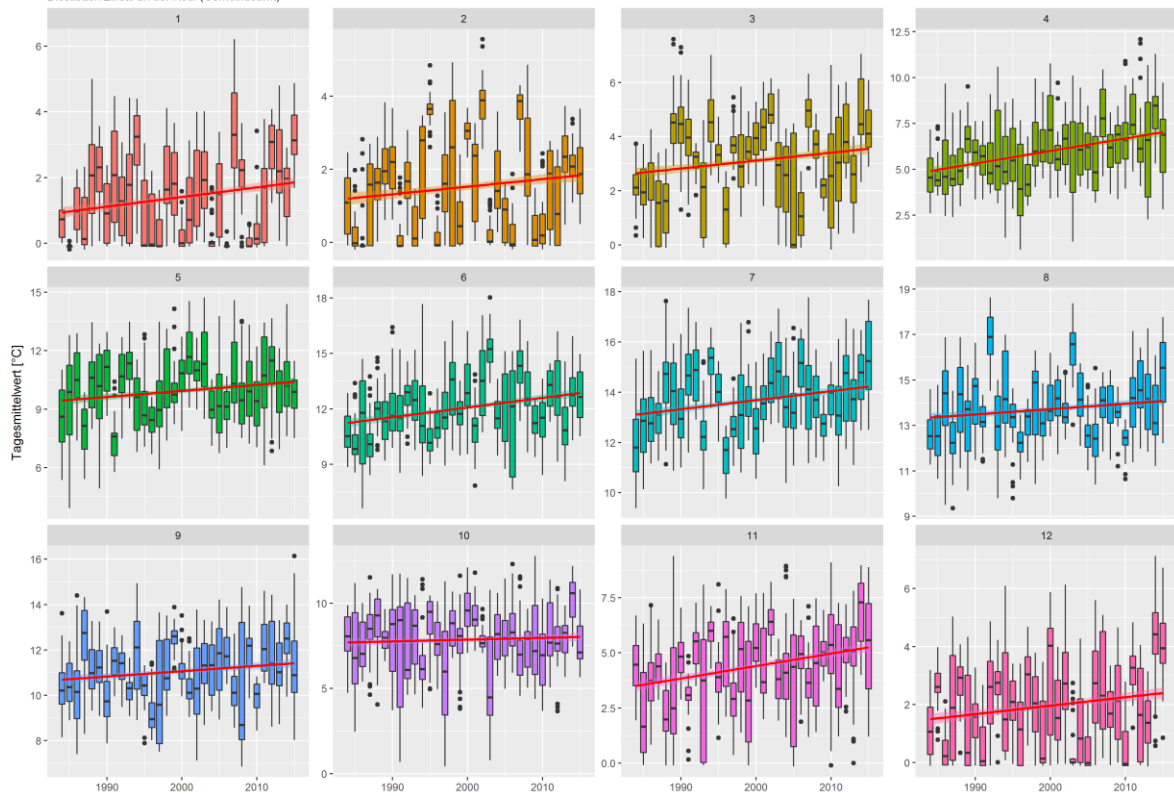


Prognose Wassertemperatur

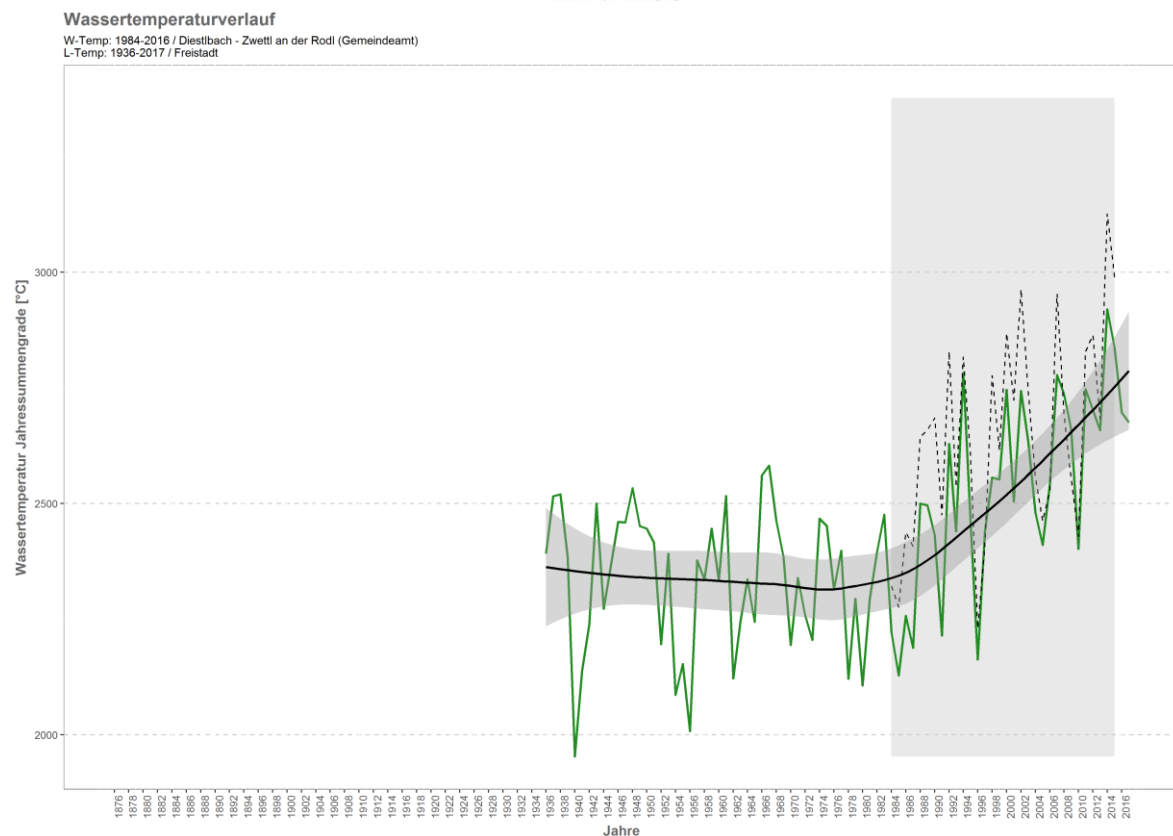
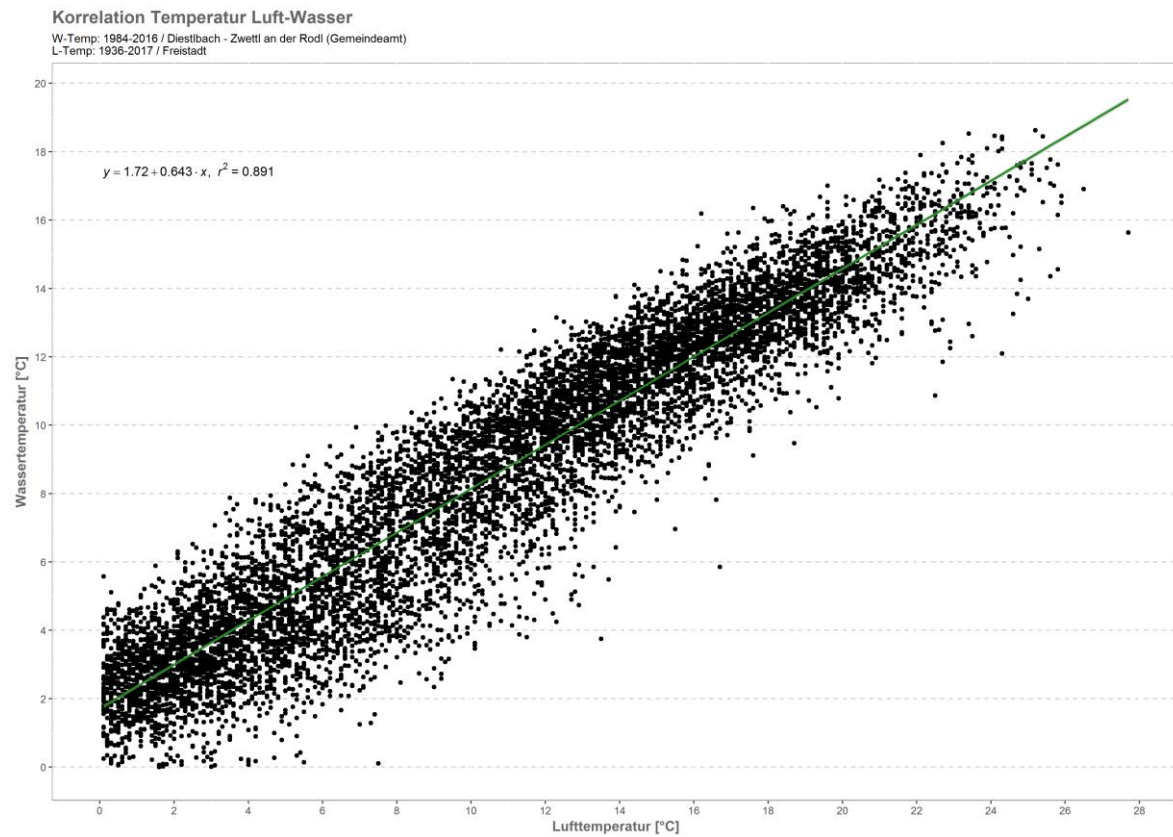
Enknach - Osterlehen



Monatsansicht der Tagesmittelwerte im Jahresverlauf
Diestlbach Zwertl an der Rodl (Gemeindeamt)

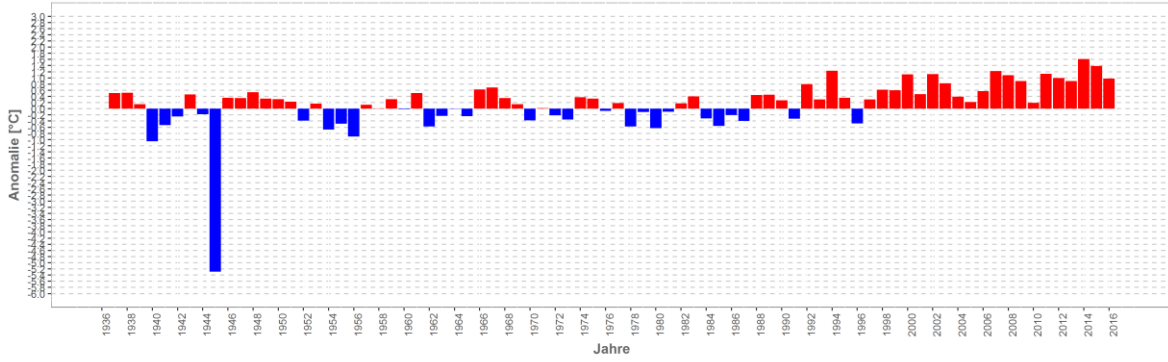


Enknach – Osterlehen

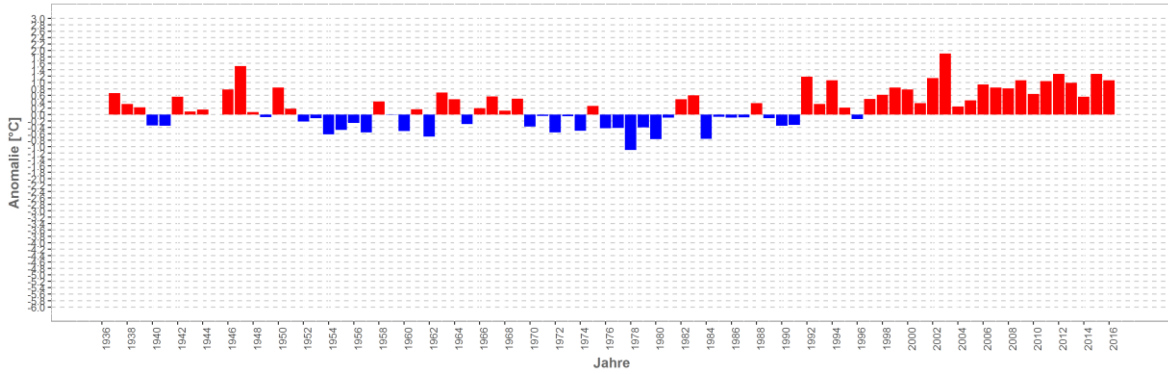


Wassertemperatur-Anomalie

Diestlbach - Zwetl an der Rodl (Gemeindeamt) (1936-2017)
 Referenz: 1961-1990

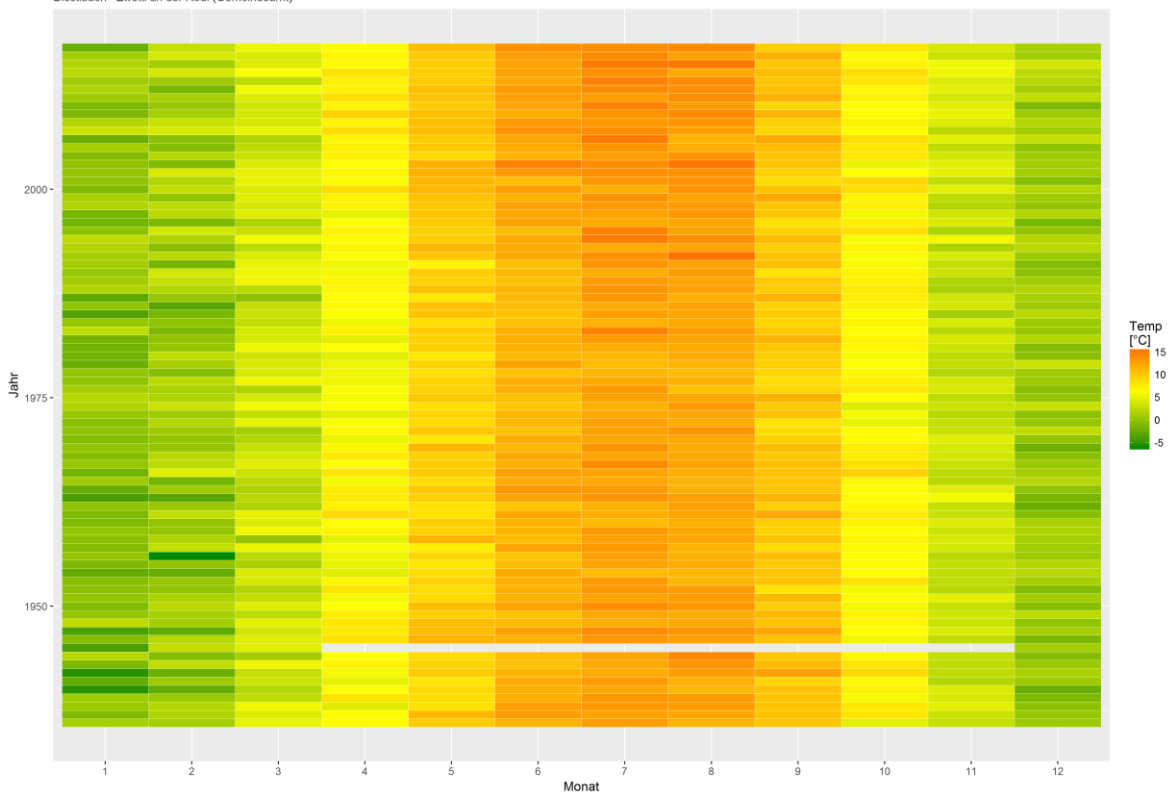


Sommermonate (Mai-Sept)



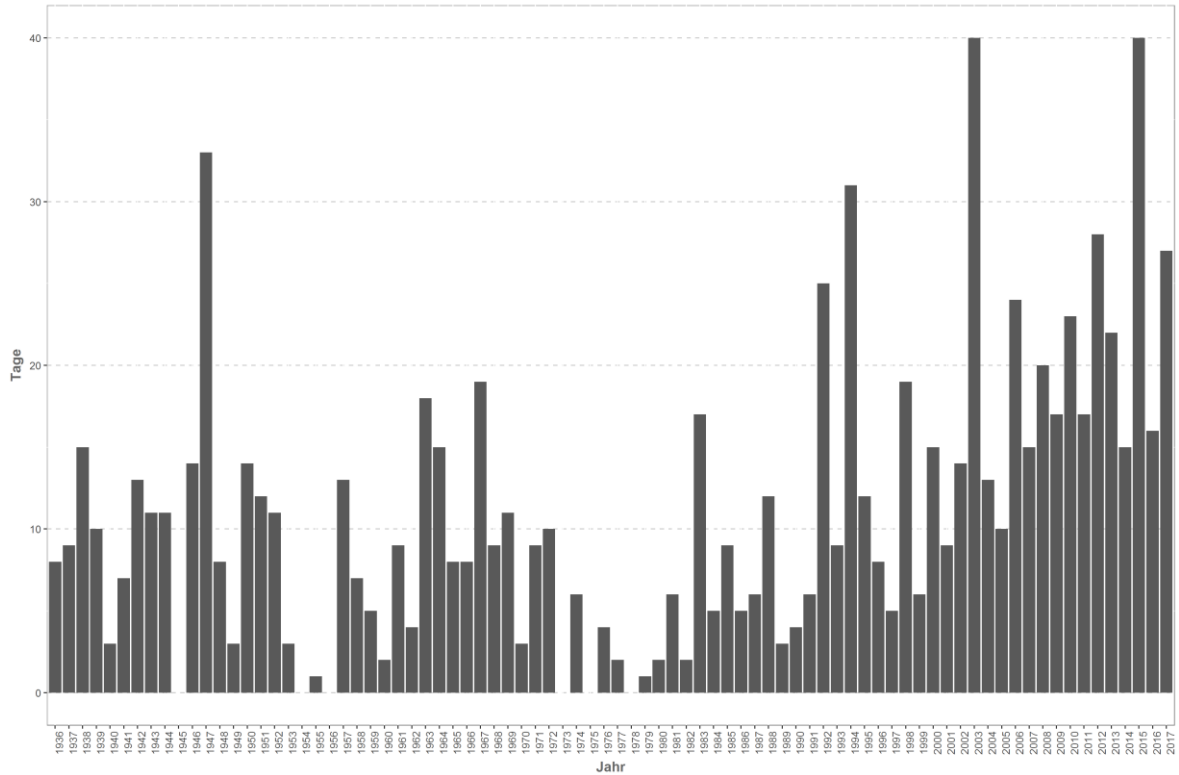
Monatsmittelwert

Diestlbach - Zwetl an der Rodl (Gemeindeamt)



Temperaturüberschreitungen

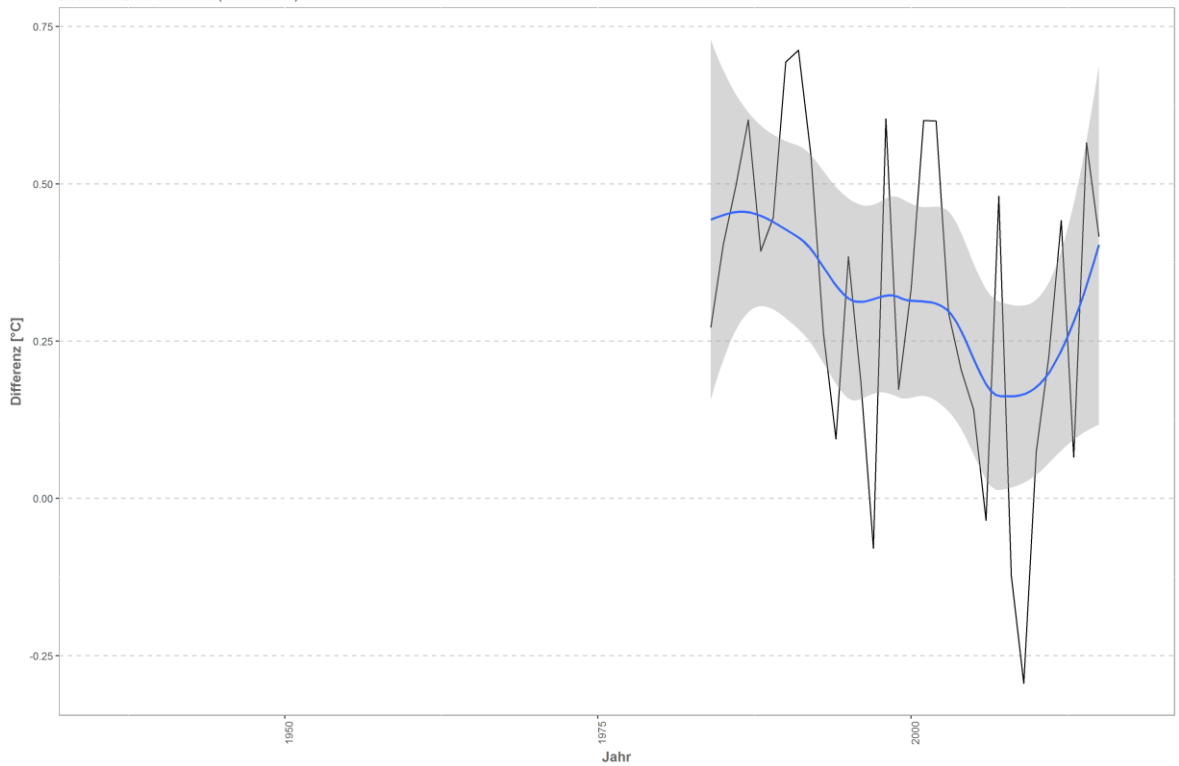
der Grenze sehr gut - gut
Diestlbach - Zwetl an der Rodl (Gemeindeamt)



Differenzplot

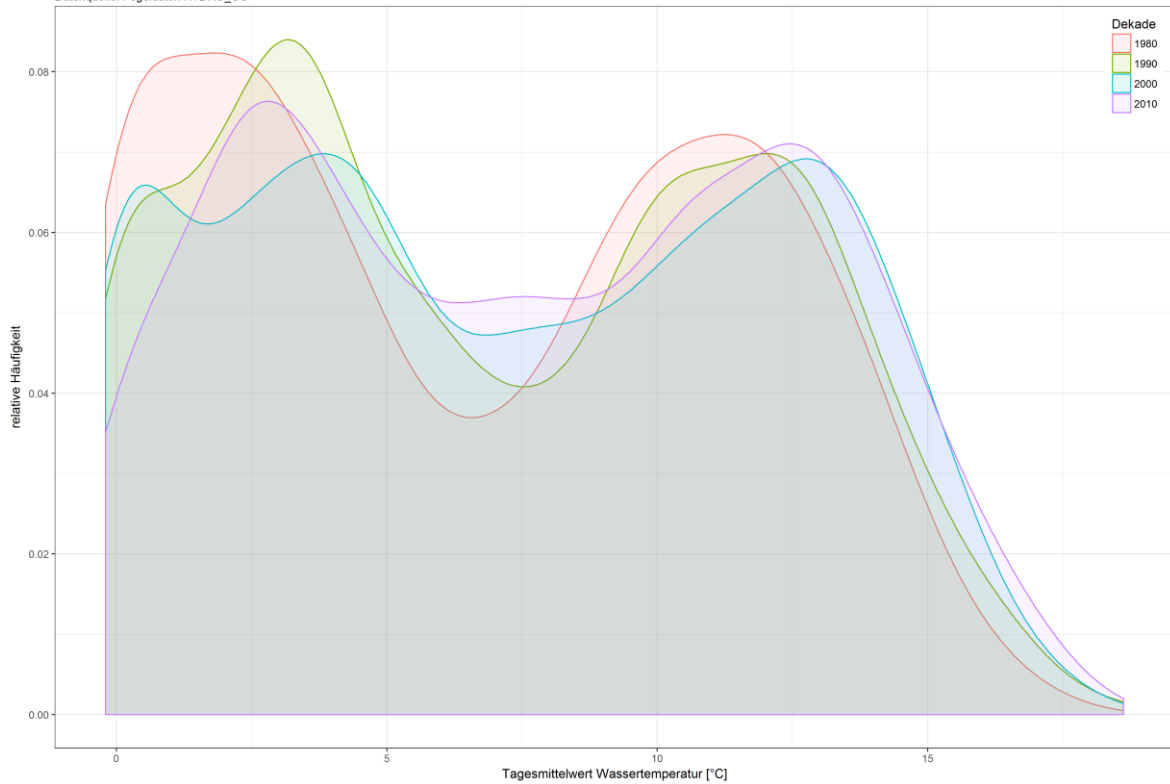
tatsächlich gemessene Wassertemperatur zu Schätzwert der linearen Regression

Diestlbach - Zwetl an der Rodl (Gemeindeamt)



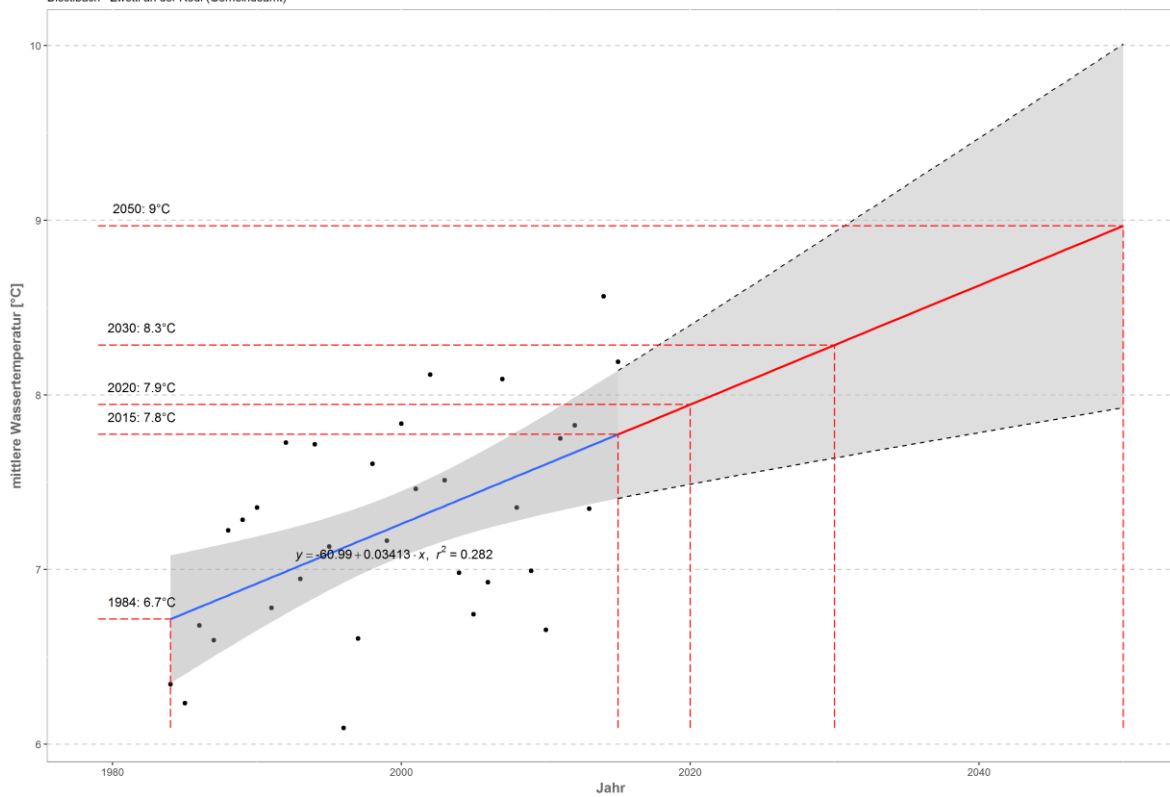
Häufigkeitsverteilung der Wassertemperaturen

Diestlbach - Zwetl an der Rodl (Gemeindeamt)
 Datenquelle: Pegeldata HYDRO_OO



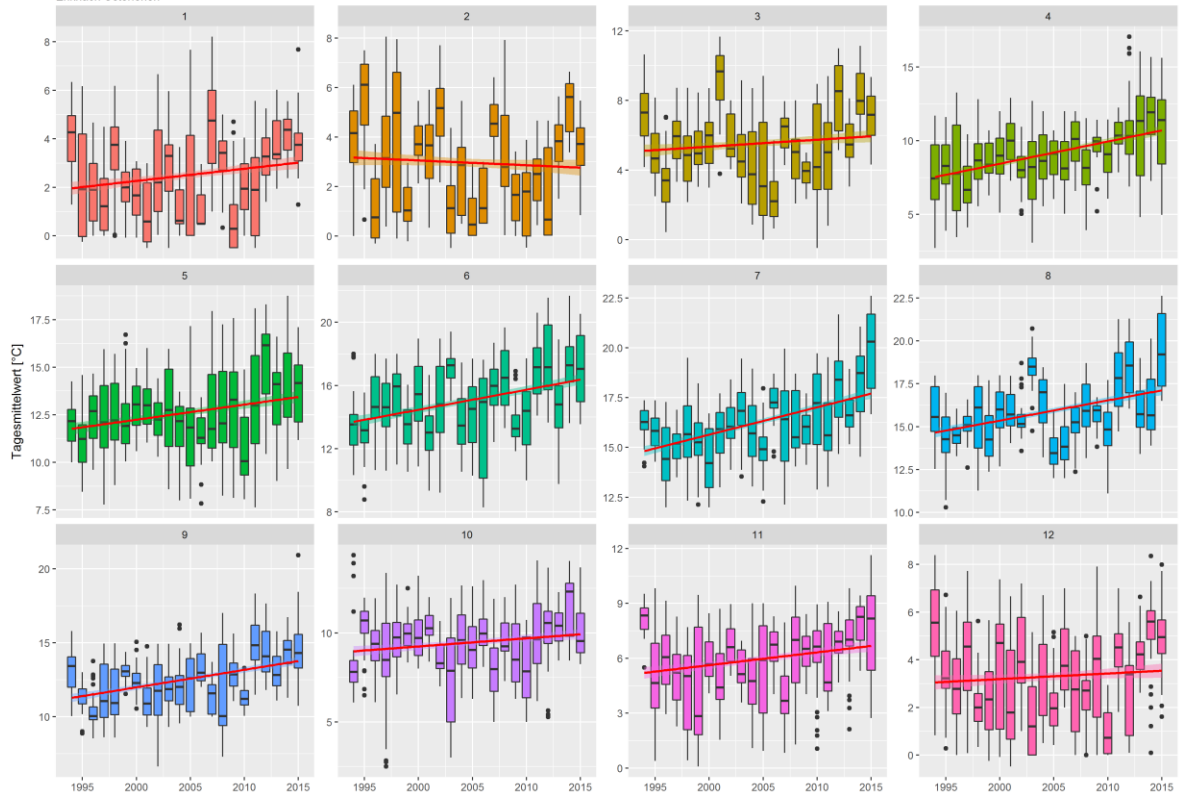
Prognose Wassertemperatur

Diestlbach - Zwetl an der Rodl (Gemeindeamt)



Monatsansicht der Tagesmittelwerte im Jahresverlauf

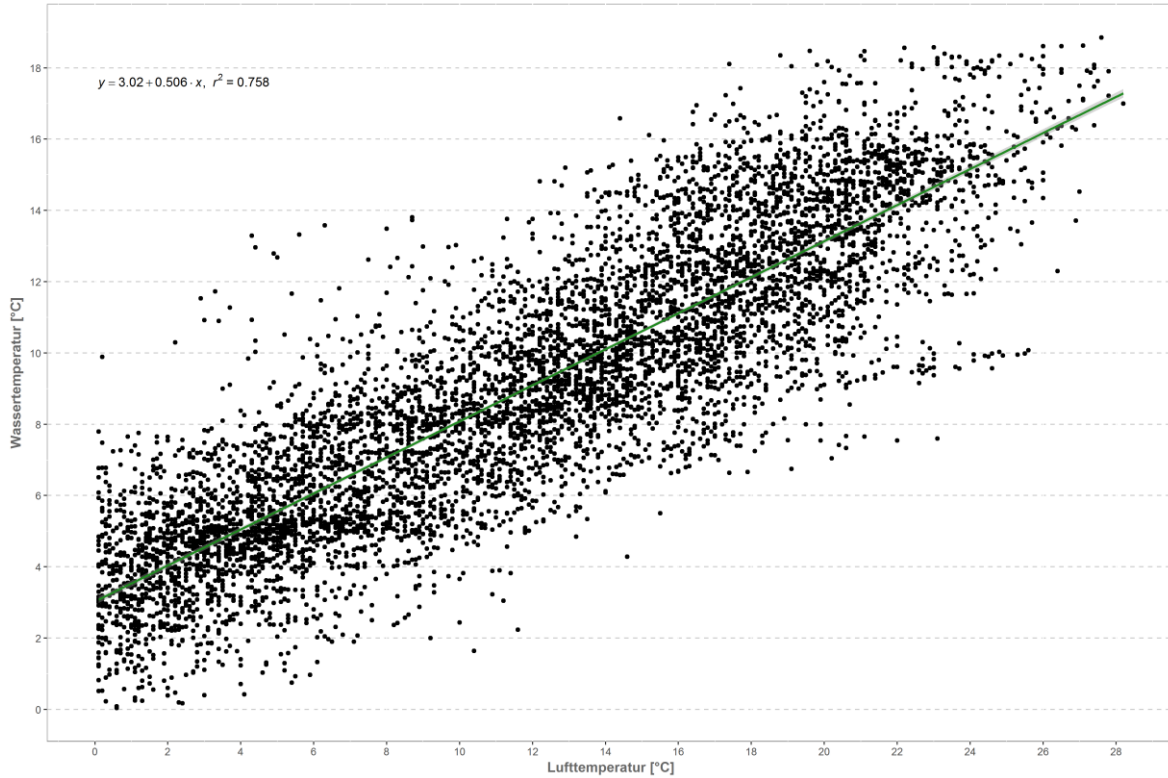
Enknach Östertlehen



Enns – Jägerberg

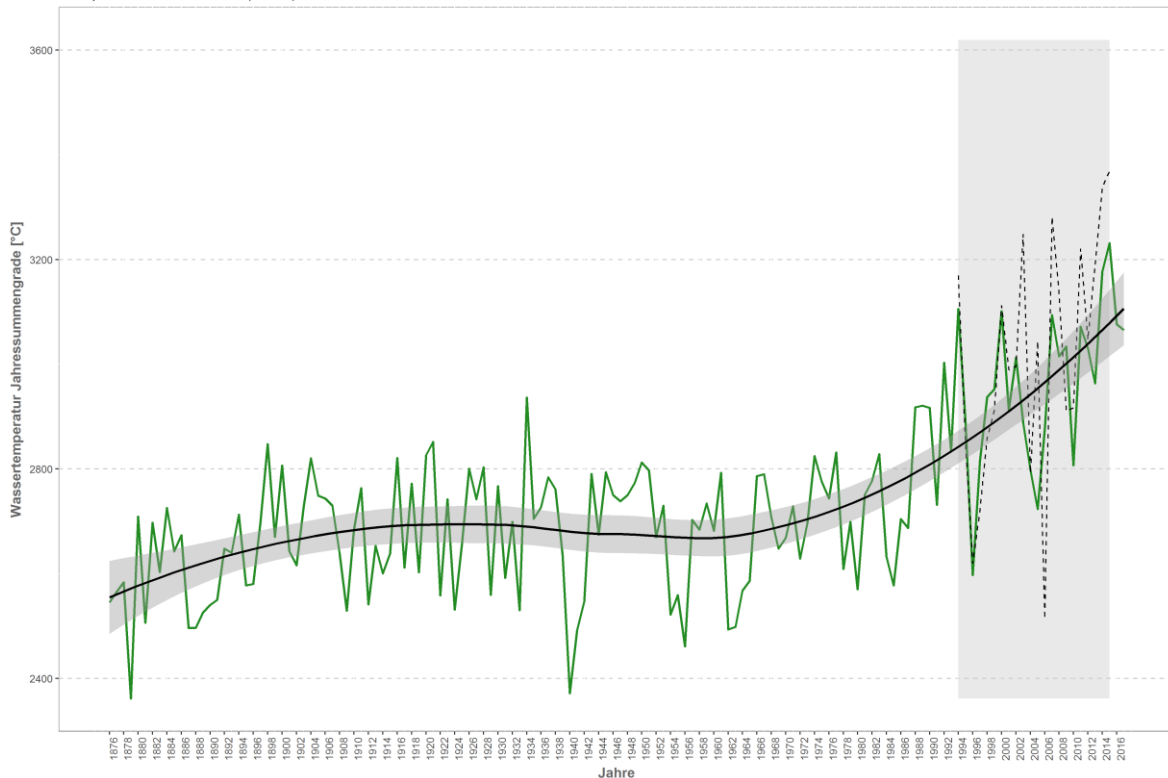
Korrelation Temperatur Luft-Wasser

W-Temp: 1994-2016 / Enns - Jägerberg
L-Temp: 1876-2017 / Kremsmünster (TAWES)



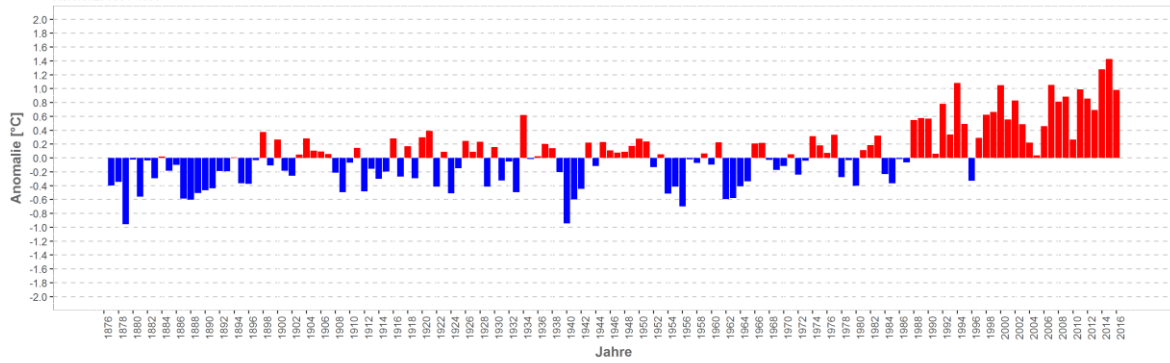
Wassertemperaturverlauf

W-Temp: 1994-2016 / Enns - Jägerberg
L-Temp: 1876-2017 / Kremsmünster (TAWES)

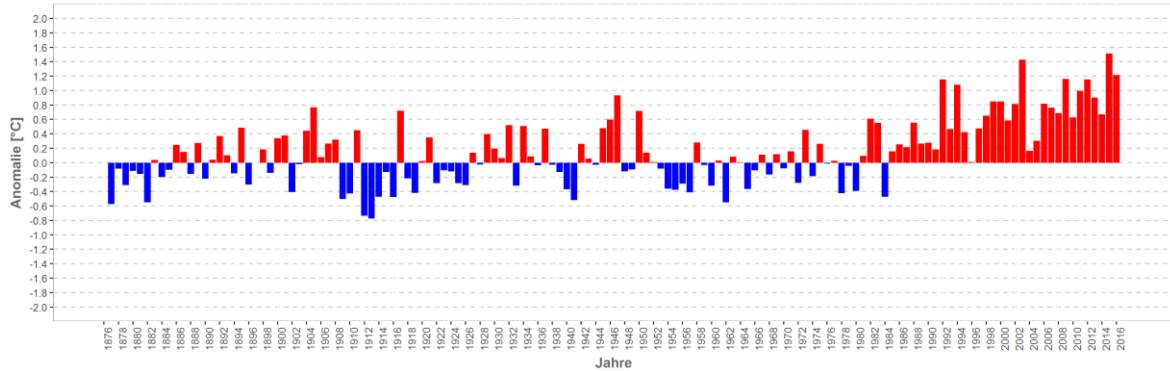


Wassertemperatur-Anomalie

Enns - Jägerberg (1876-2017)
Referenz: 1961-1990

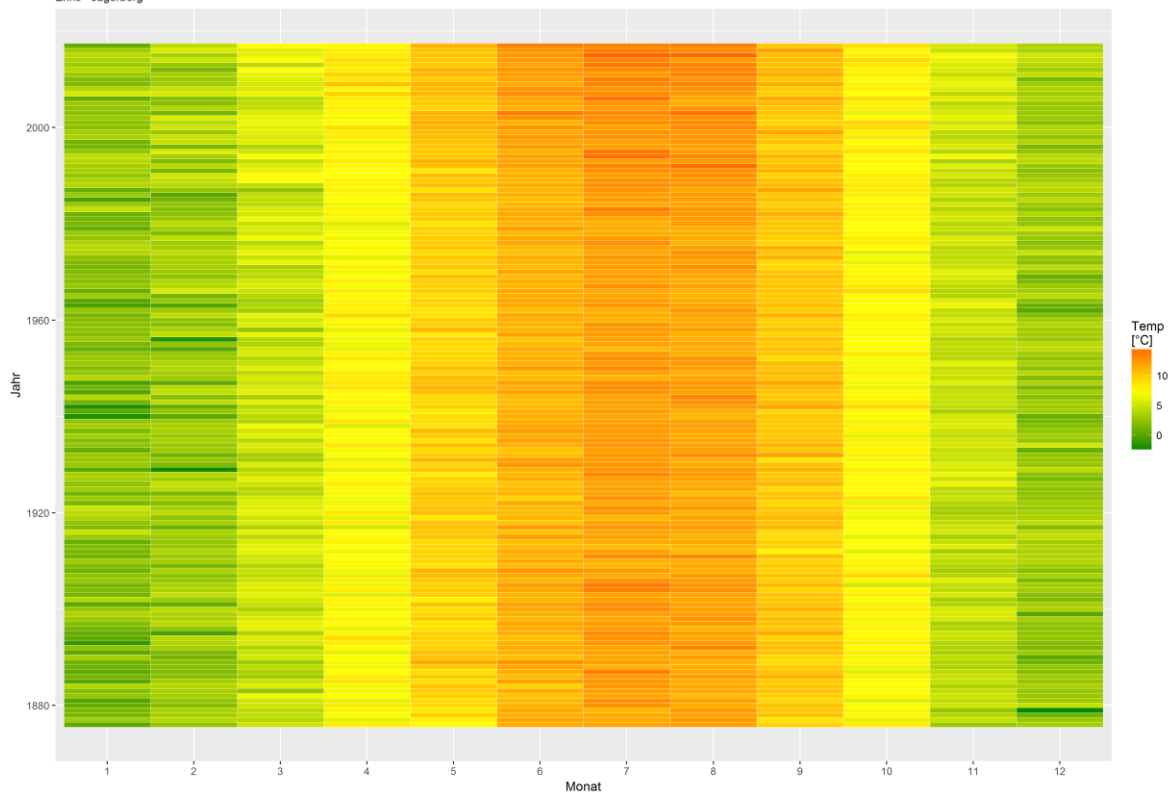


Sommermonate (Mai-Sept)



Monatsmittelwert

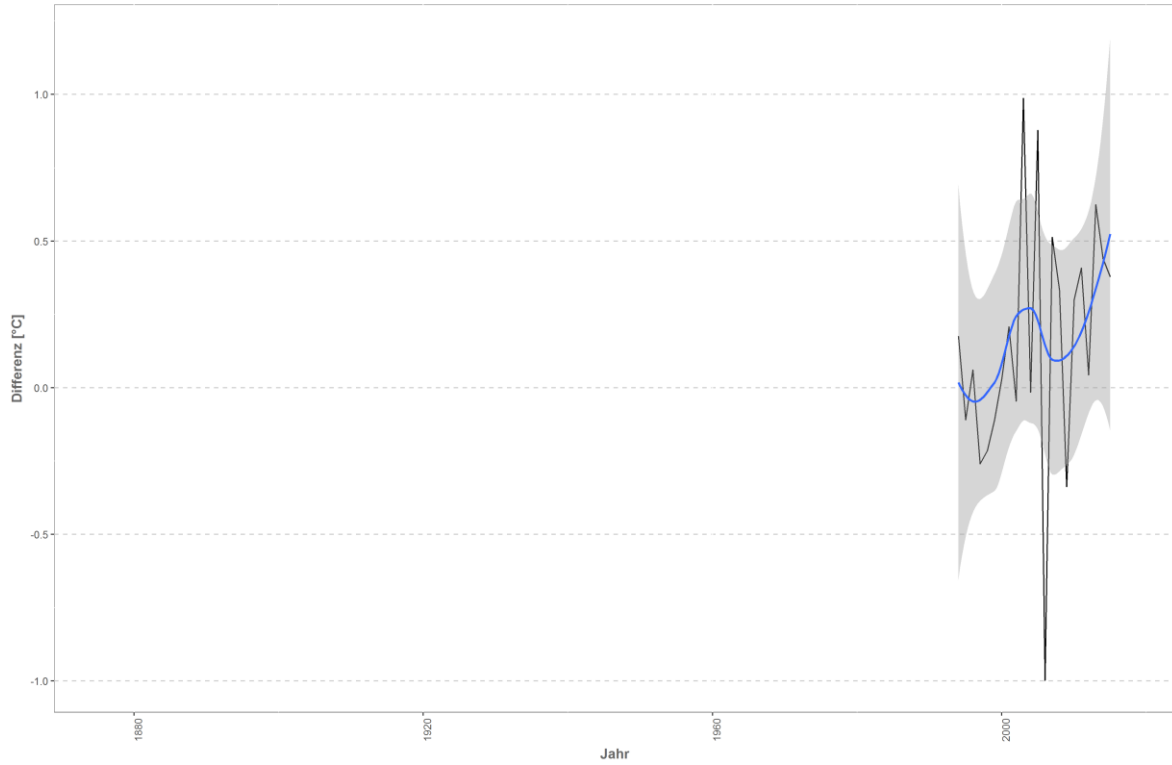
Enns - Jägerberg



Differenzplot

tatsächlich gemessene Wassertemperatur zu Schätzwert der linearen Regression

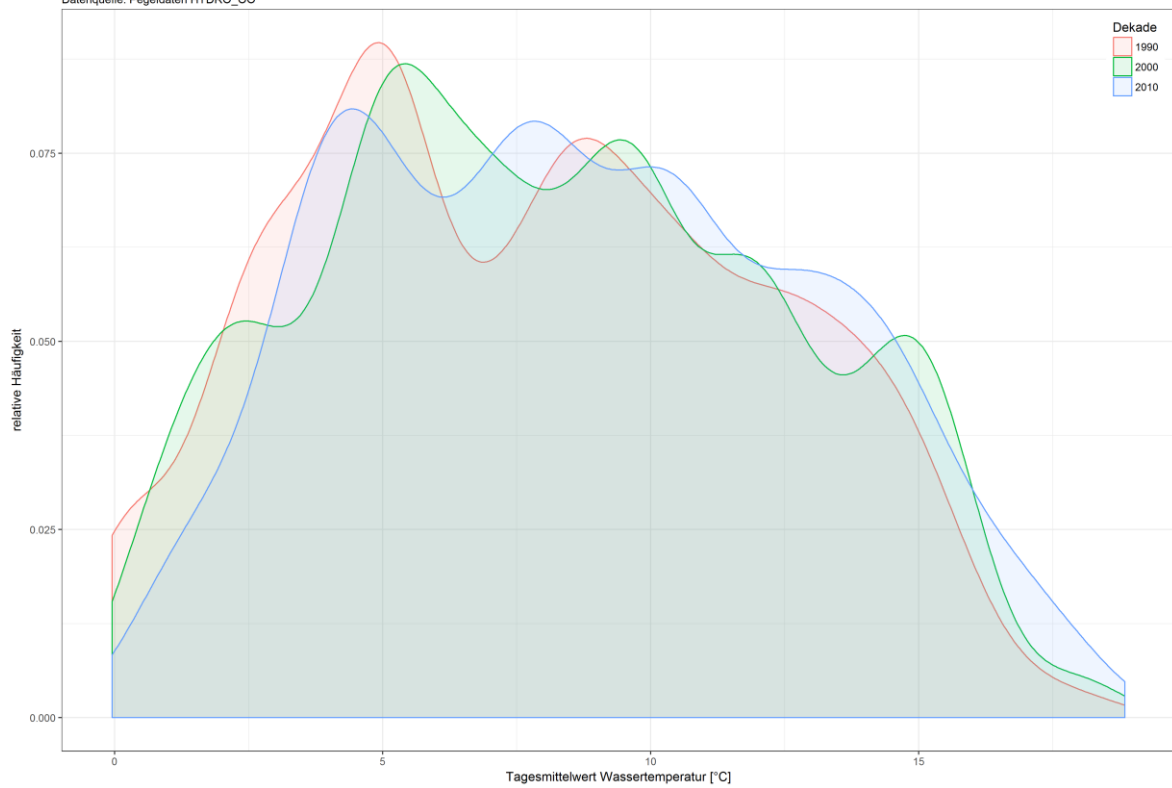
Enns - Jägerberg



Häufigkeitsverteilung der Wassertemperaturen

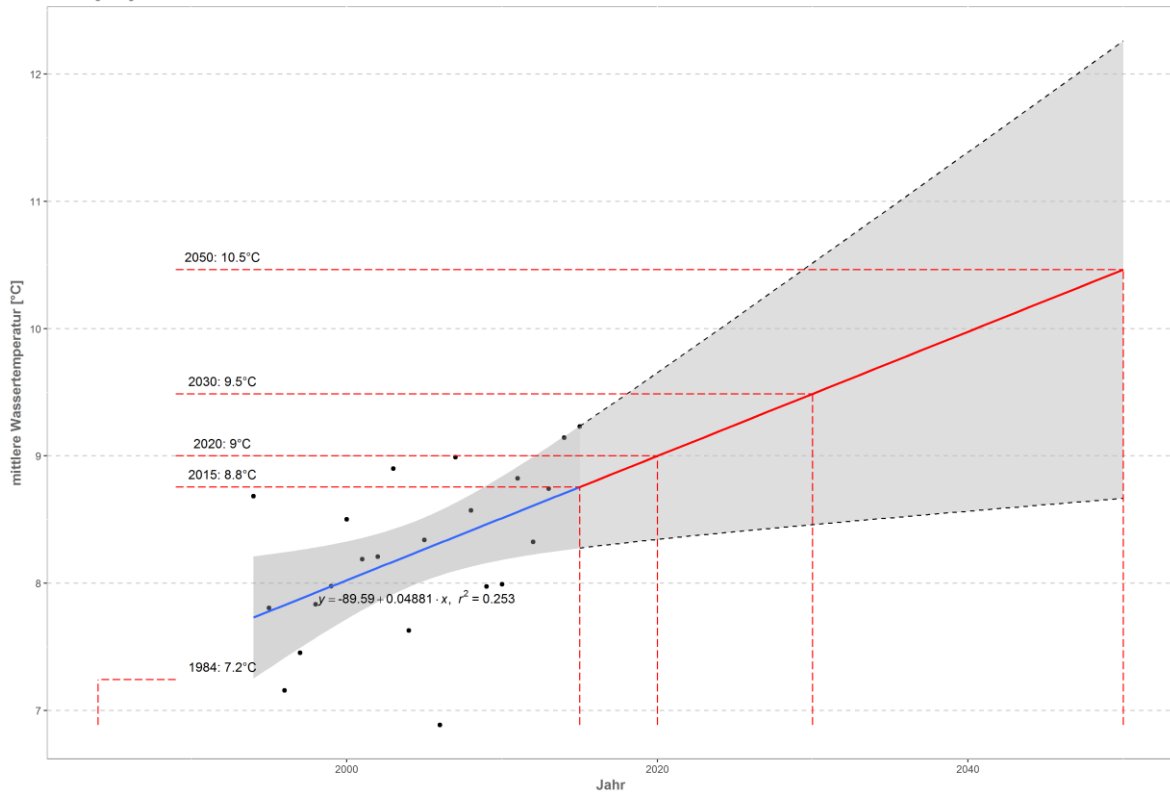
Enns - Jägerberg

Datenquelle: Pegeldaten HYDRO_OO



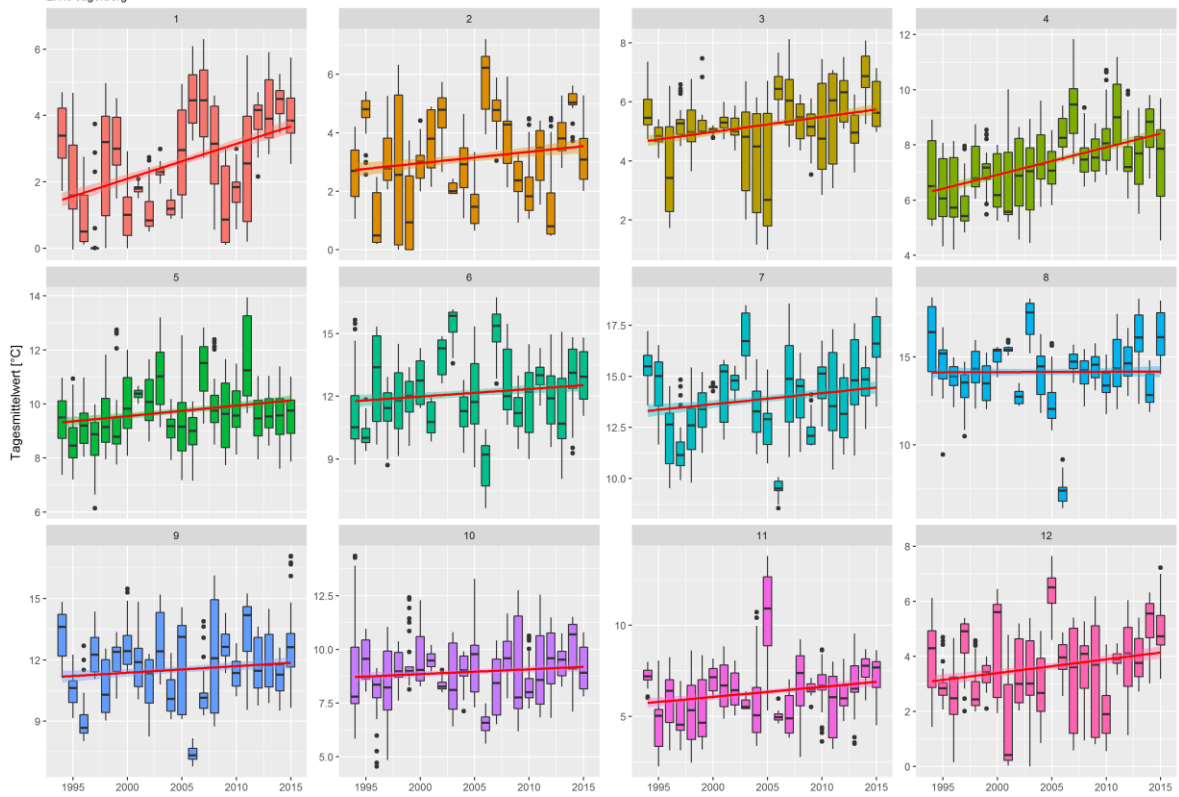
Prognose Wassertemperatur

Enns - Jägerberg

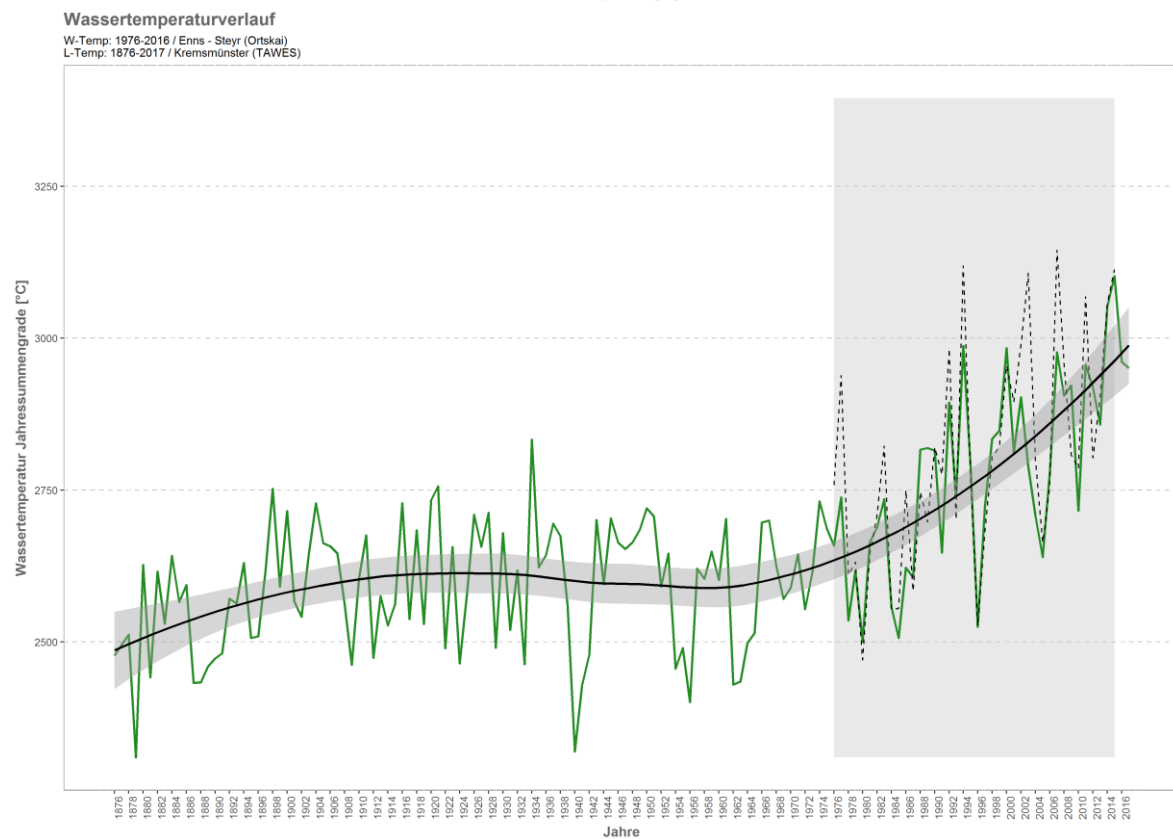
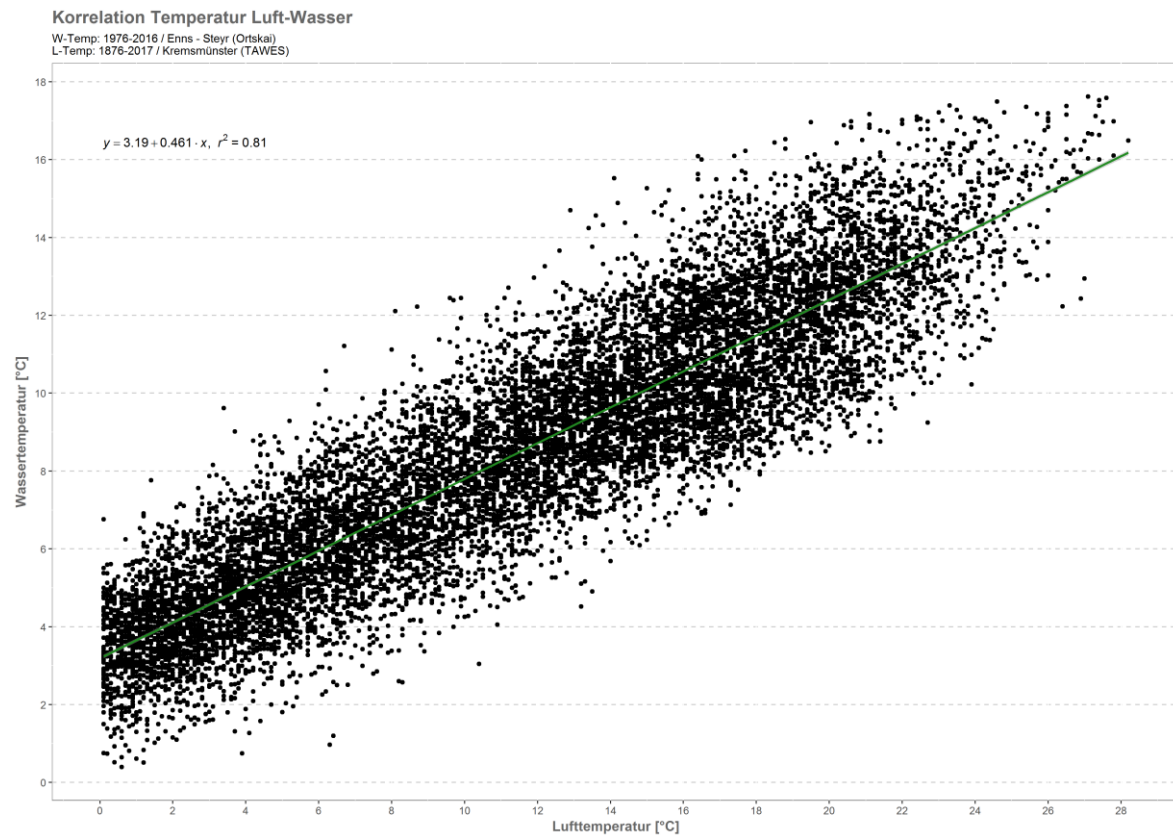


Monatsansicht der Tagesmittelwerte im Jahresverlauf

Enns Jägerberg

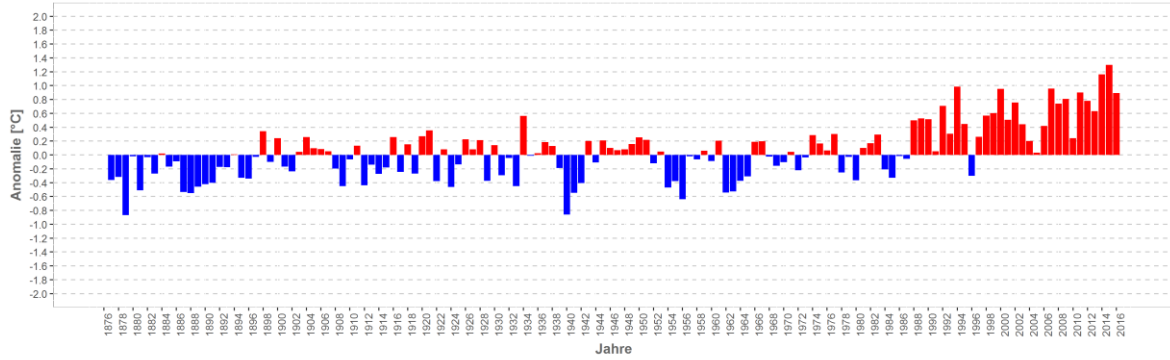


Enns – Steyr (Ortskai)

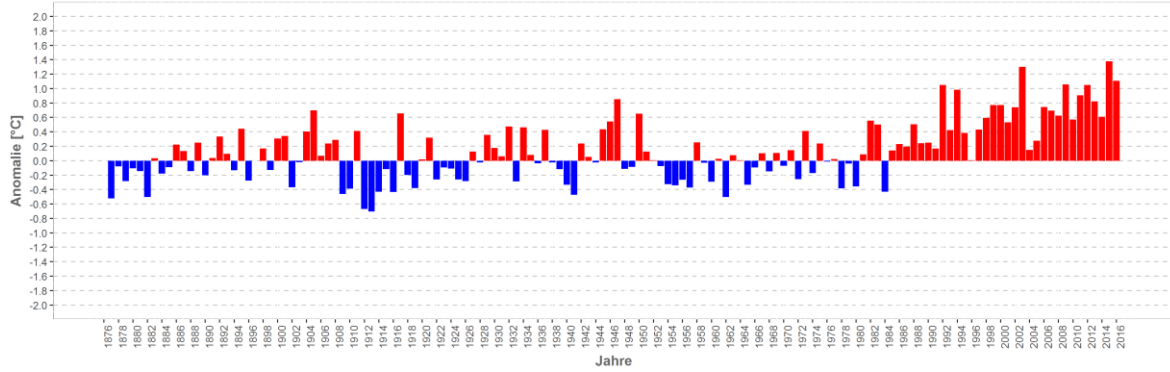


Wassertemperatur-Anomalie

Enns - Steyr (Ortskai) (1876-2017)
Referenz: 1961-1990

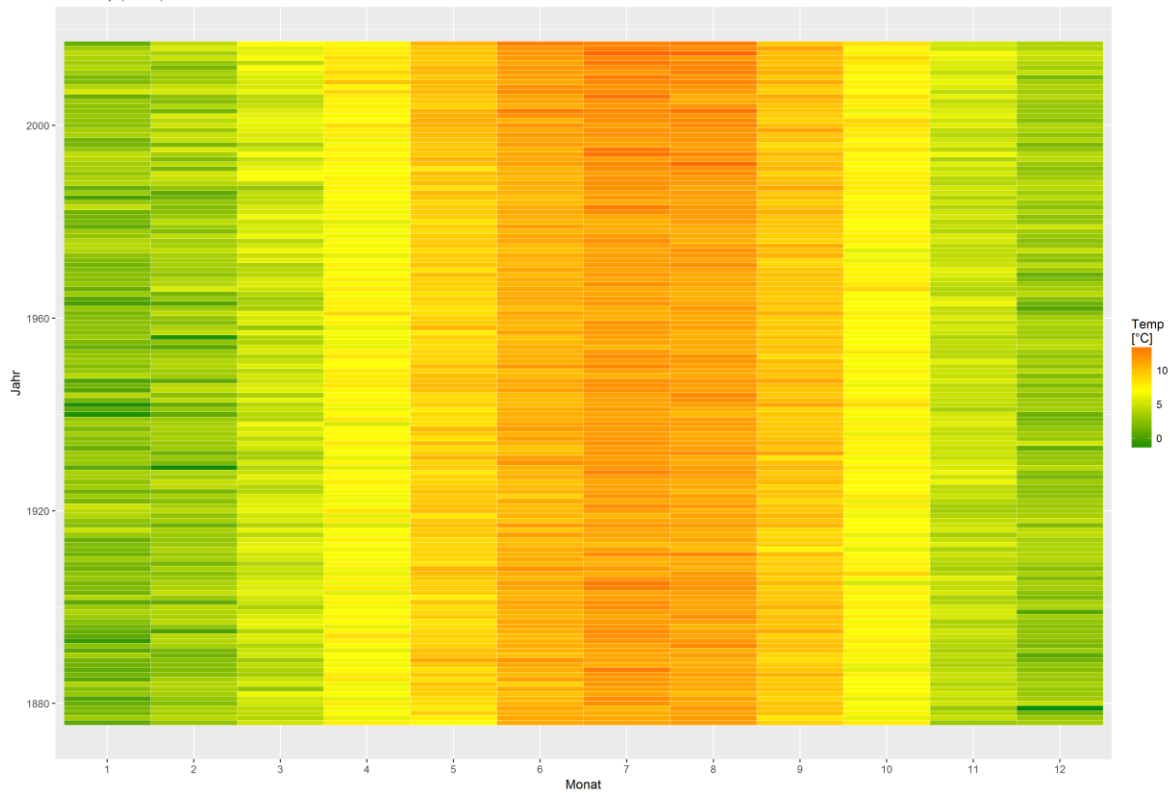


Sommermonate (Mai-Sept)



Monatsmittelwert

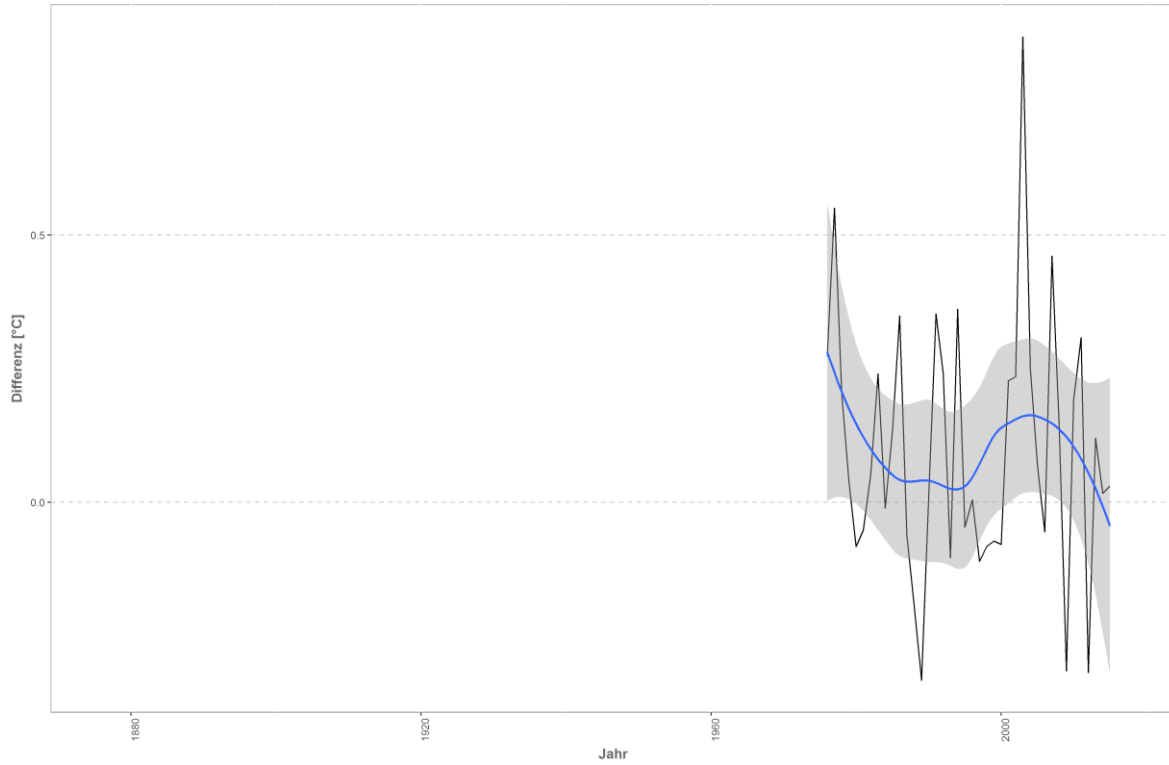
Enns - Steyr (Ortskai)



Differenzplot

tatsächlich gemessene Wassertemperatur zu Schätzwert der linearen Regression

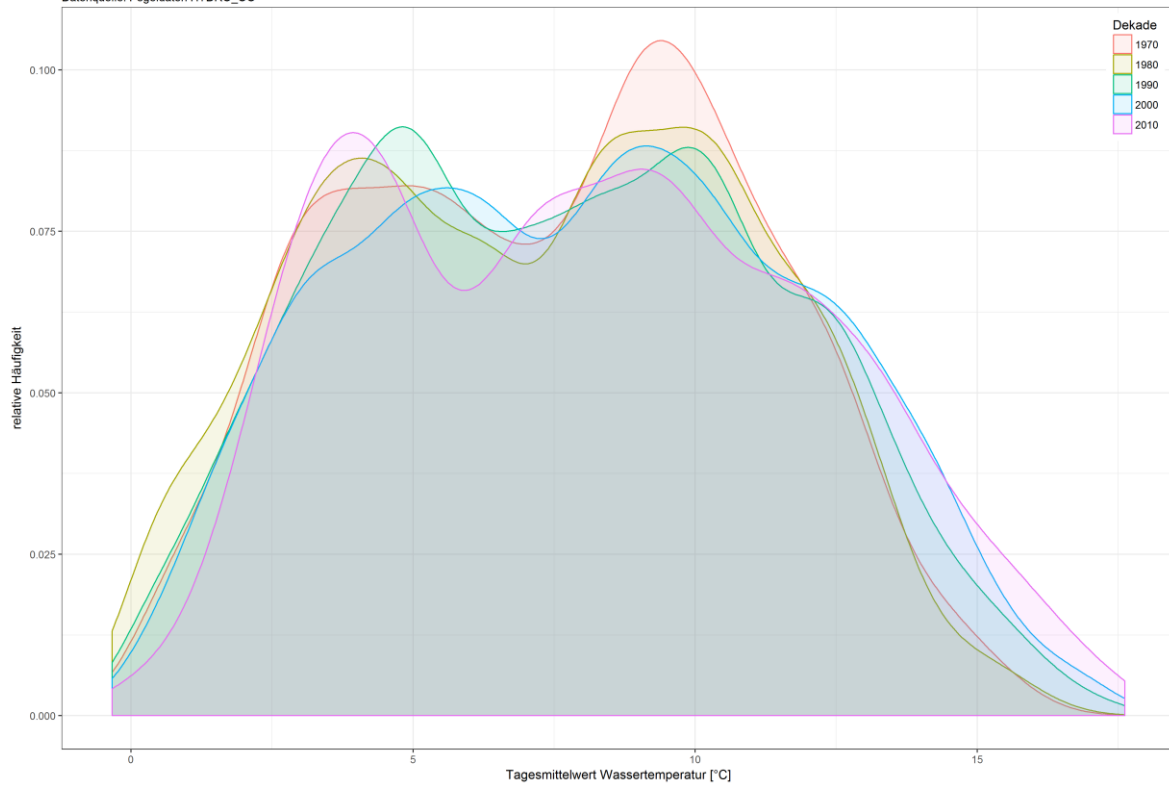
Enns - Steyr (Ortskai)



Häufigkeitsverteilung der Wassertemperaturen

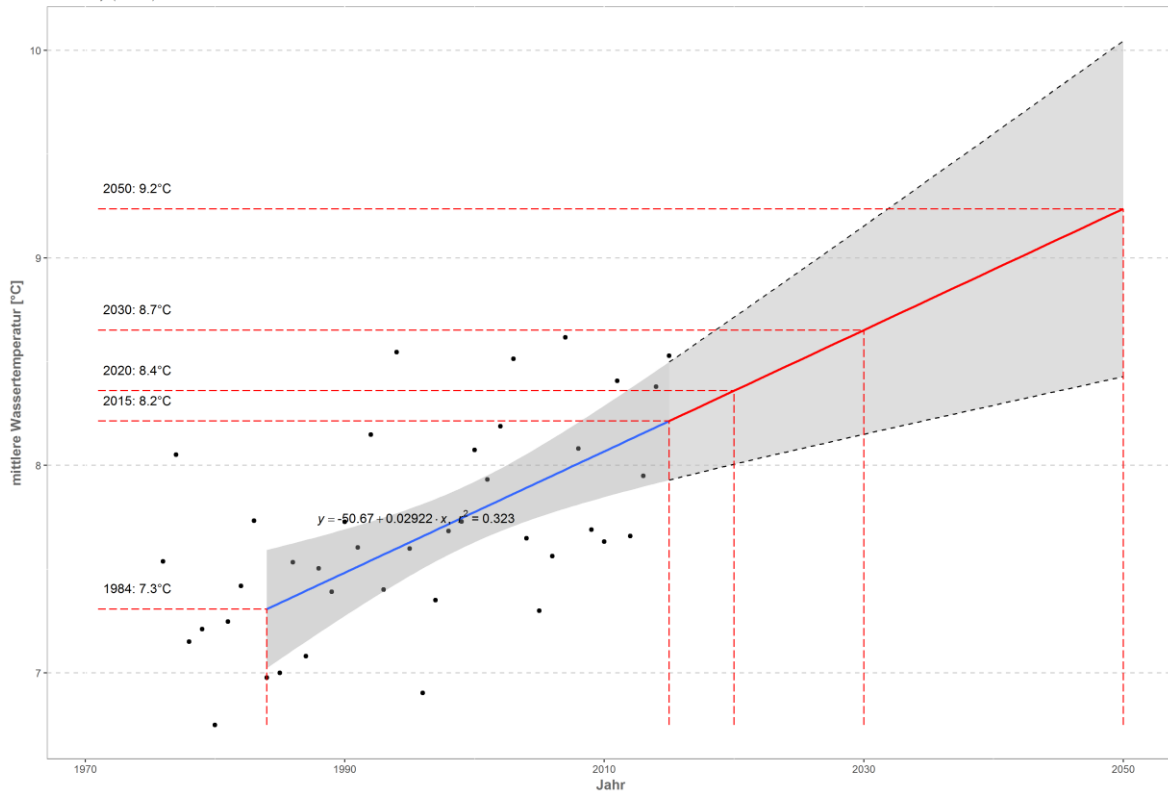
Enns - Steyr (Ortskai)

Datenquelle: Pegeldaten HYDRO_OO



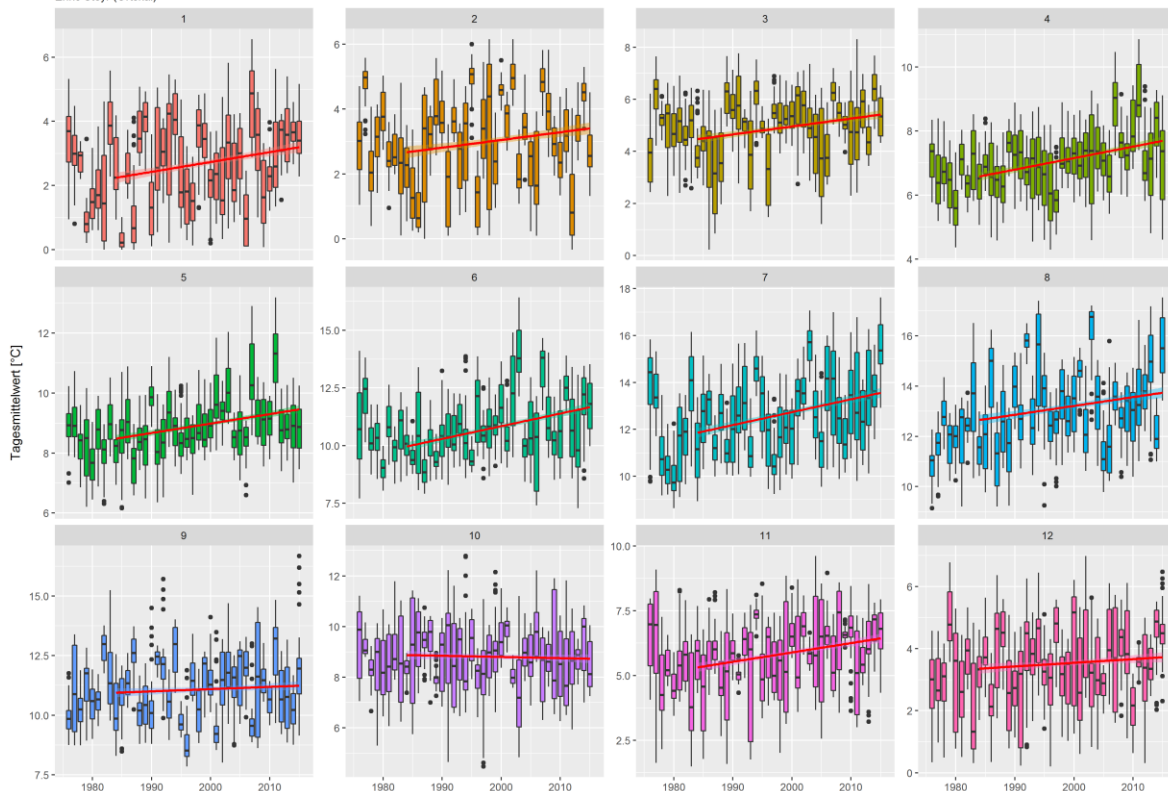
Prognose Wassertemperatur

Enns - Steyr (Ortskal)



Monatsansicht der Tagesmittelwerte im Jahresverlauf

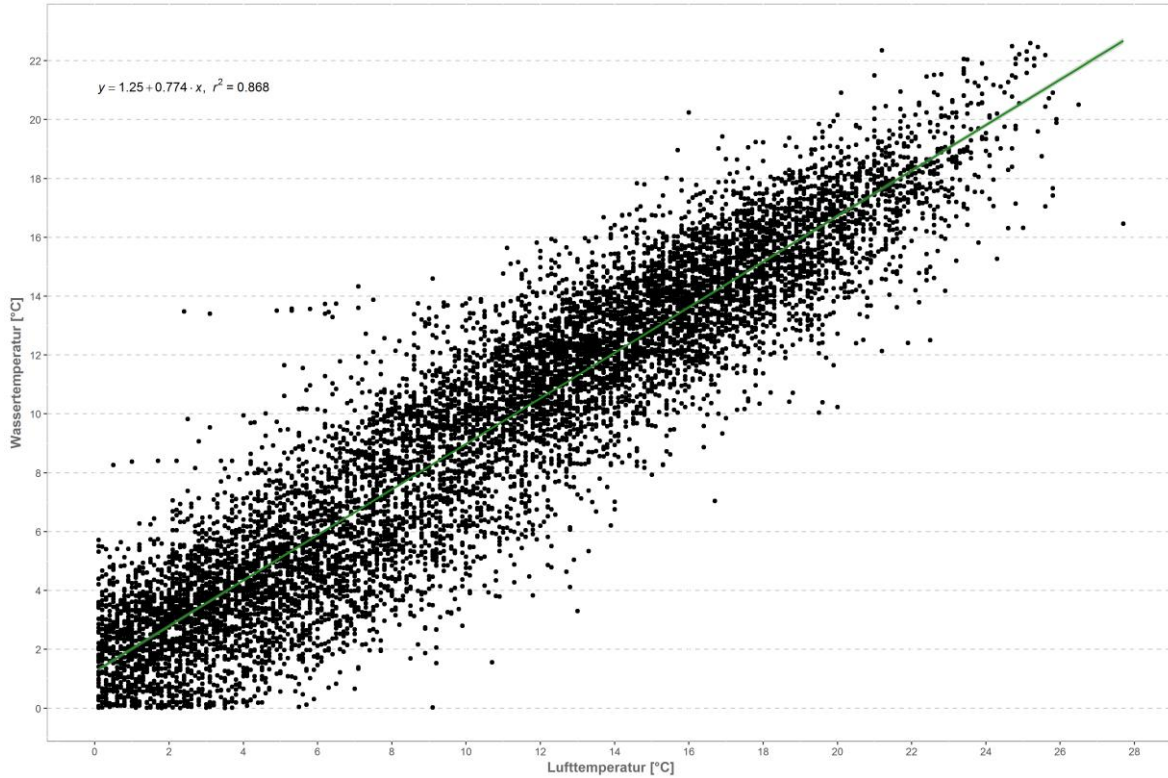
Enns Steyr (Ortskal)



Feldaist – Kefermarkt

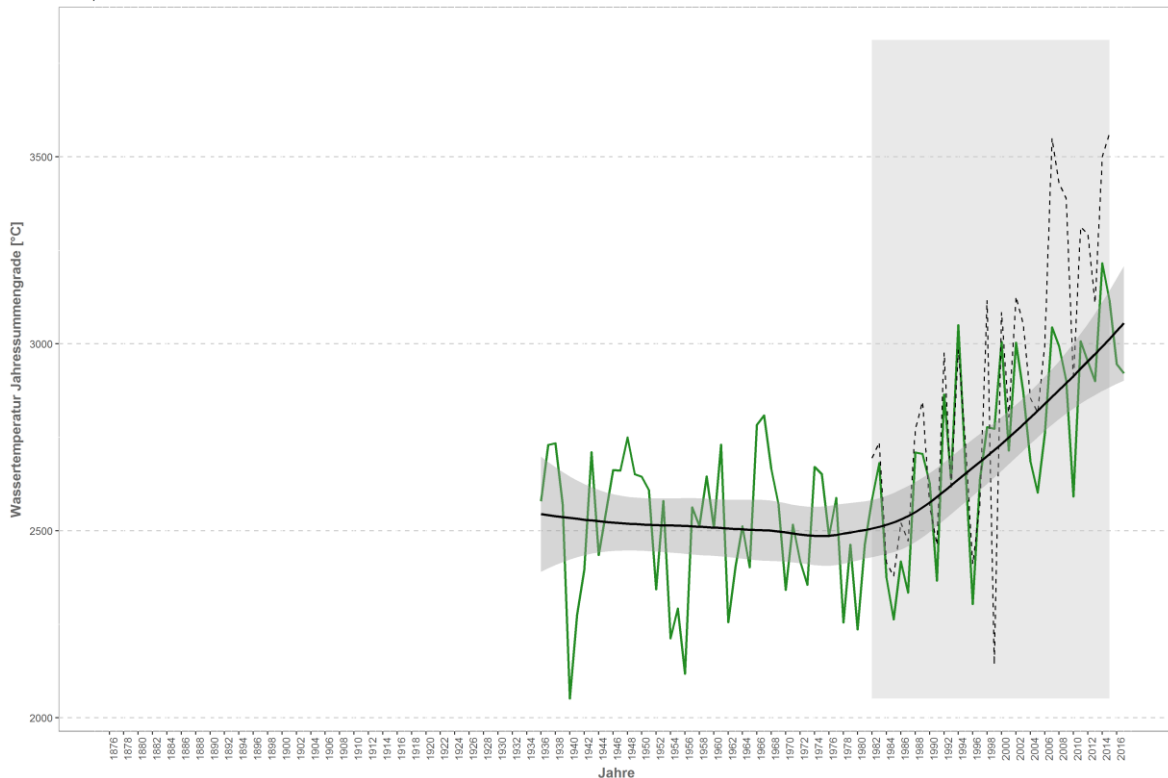
Korrelation Temperatur Luft-Wasser

W-Temp: 1982-2016 / Feldaist - Kefermarkt
L-Temp: 1936-2017 / Freistadt



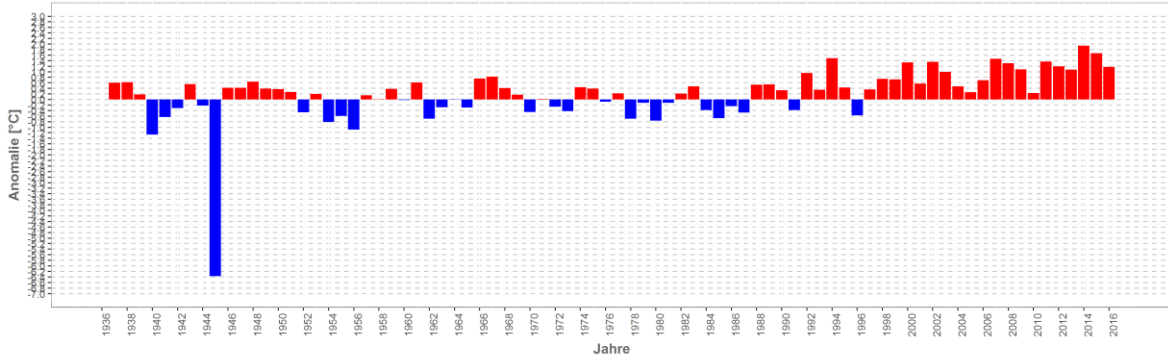
Wassertemperaturverlauf

W-Temp: 1982-2016 / Feldaist - Kefermarkt
L-Temp: 1936-2017 / Freistadt

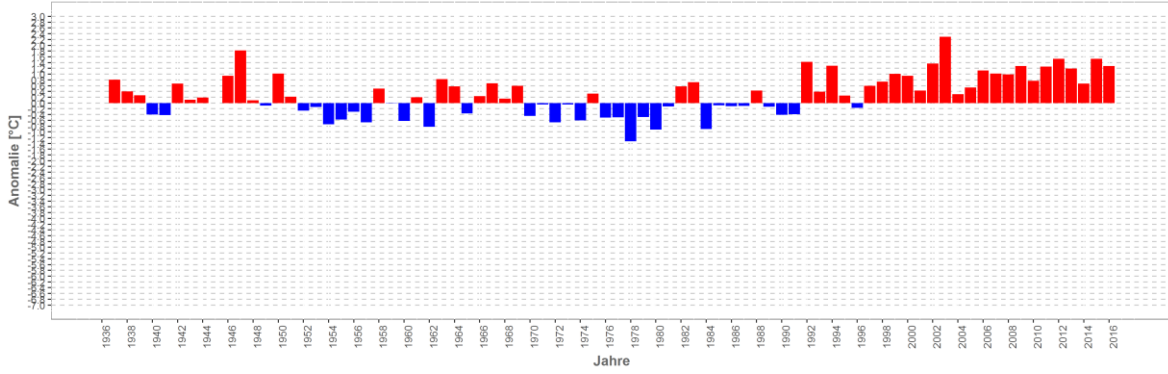


Wassertemperatur-Anomalie

Feldais - Kefermarkt (1936-2017)
Referenz: 1961-1990

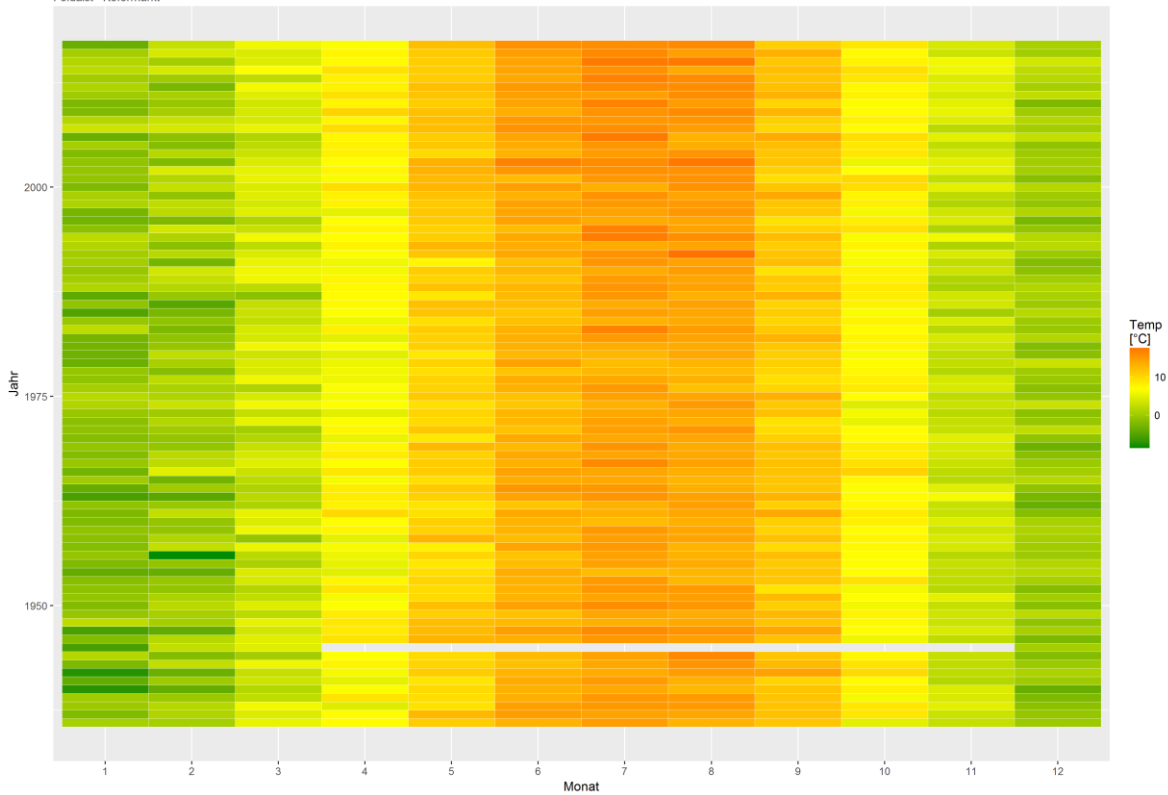


Sommermonate (Mai-Sept)



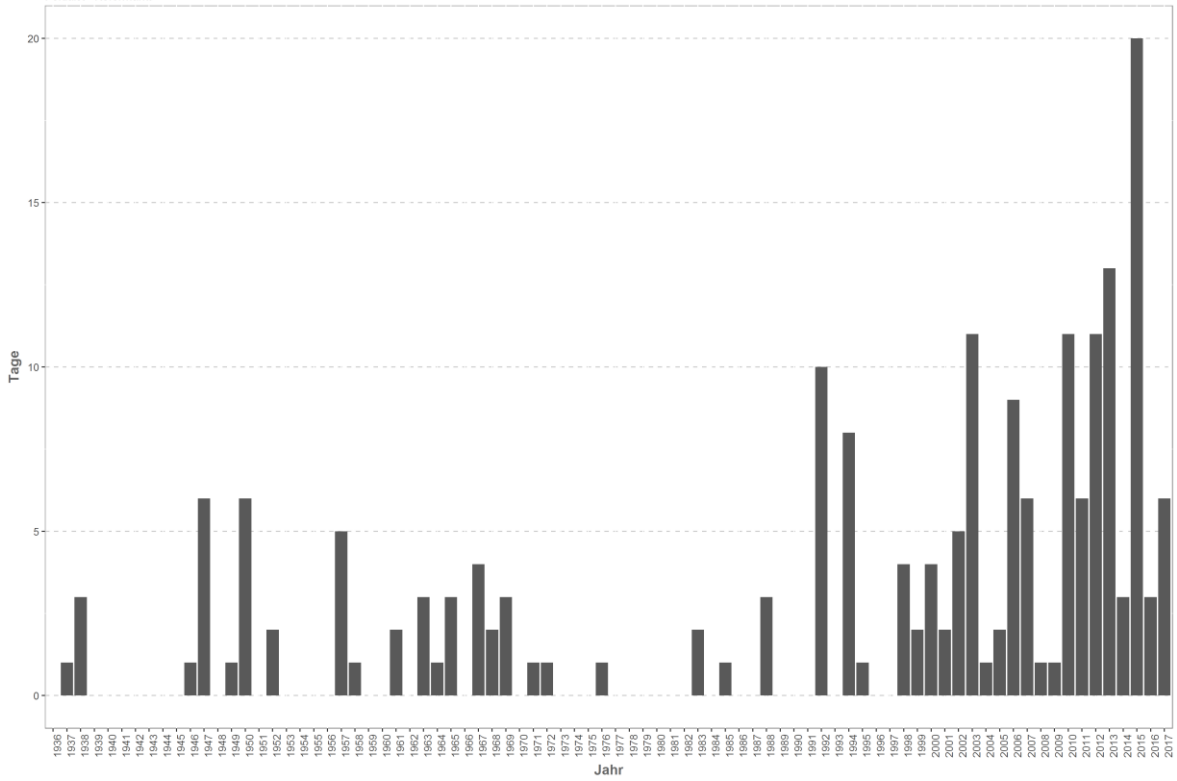
Monatsmittelwert

Feldais - Kefermarkt



Temperaturüberschreitungen

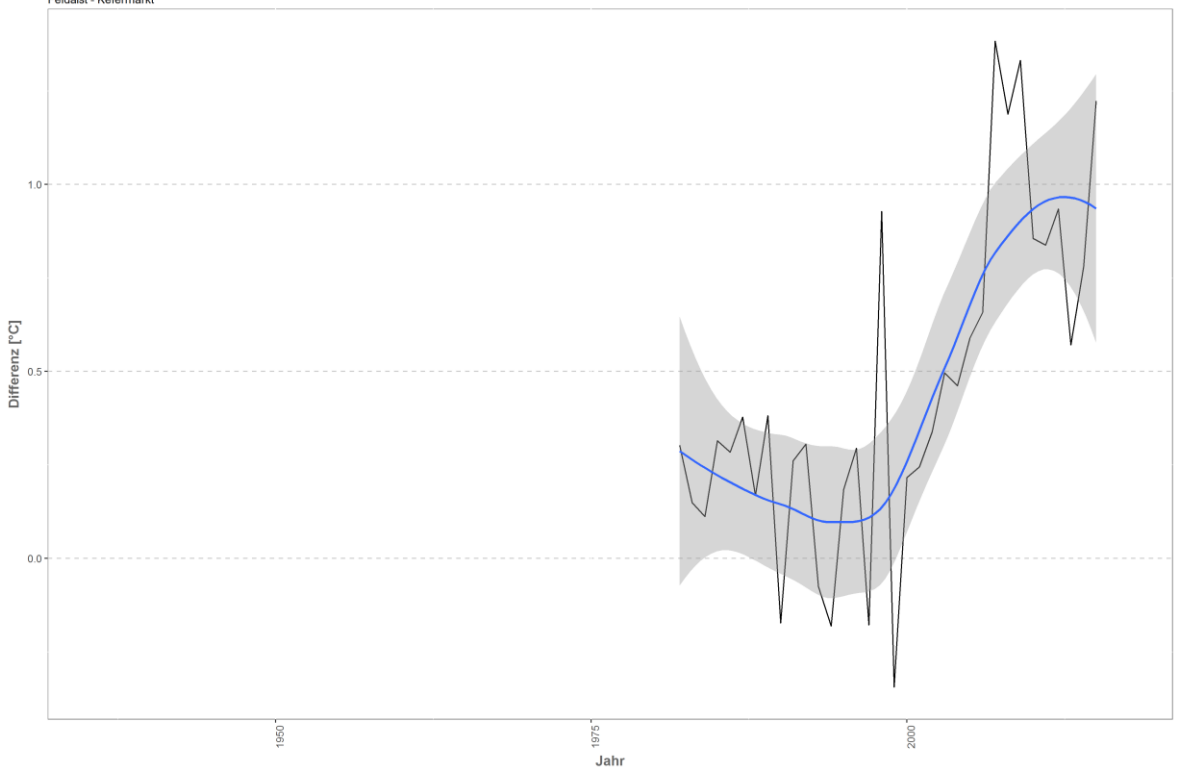
der Grenze sehr gut - gut
Feldaist - Kefermarkt

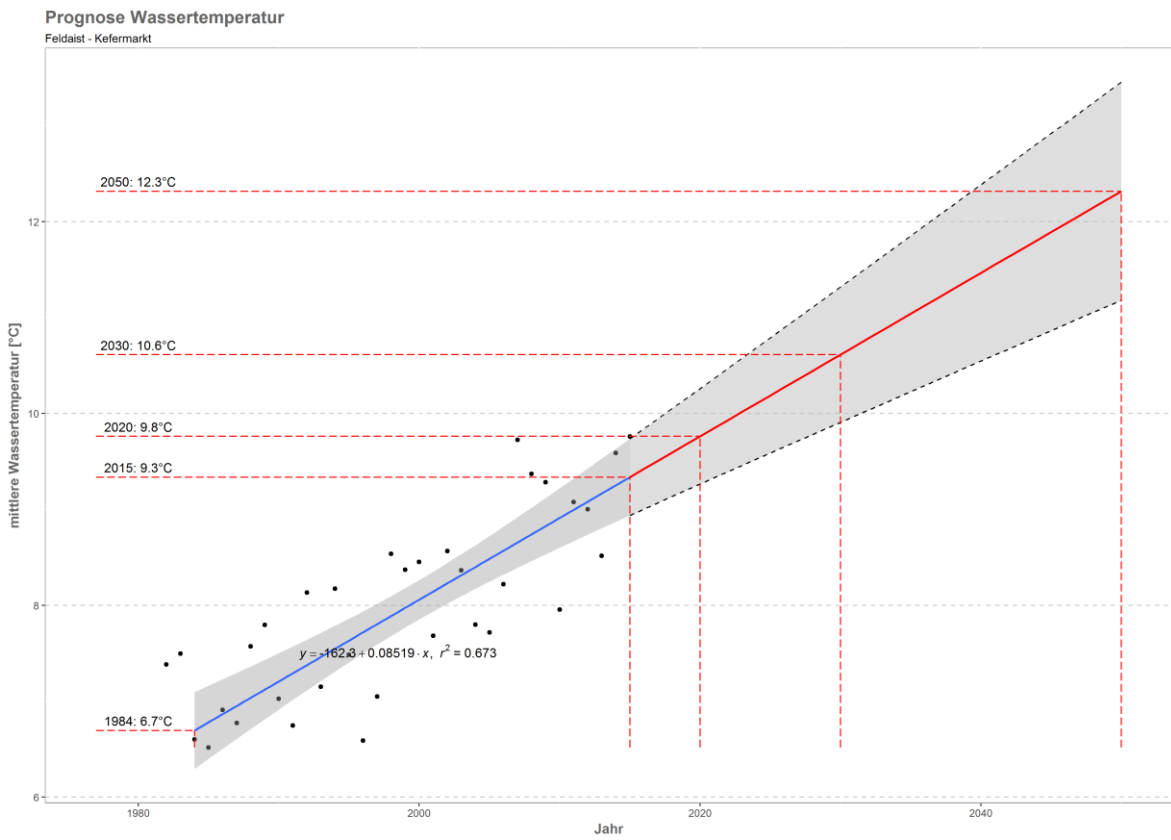
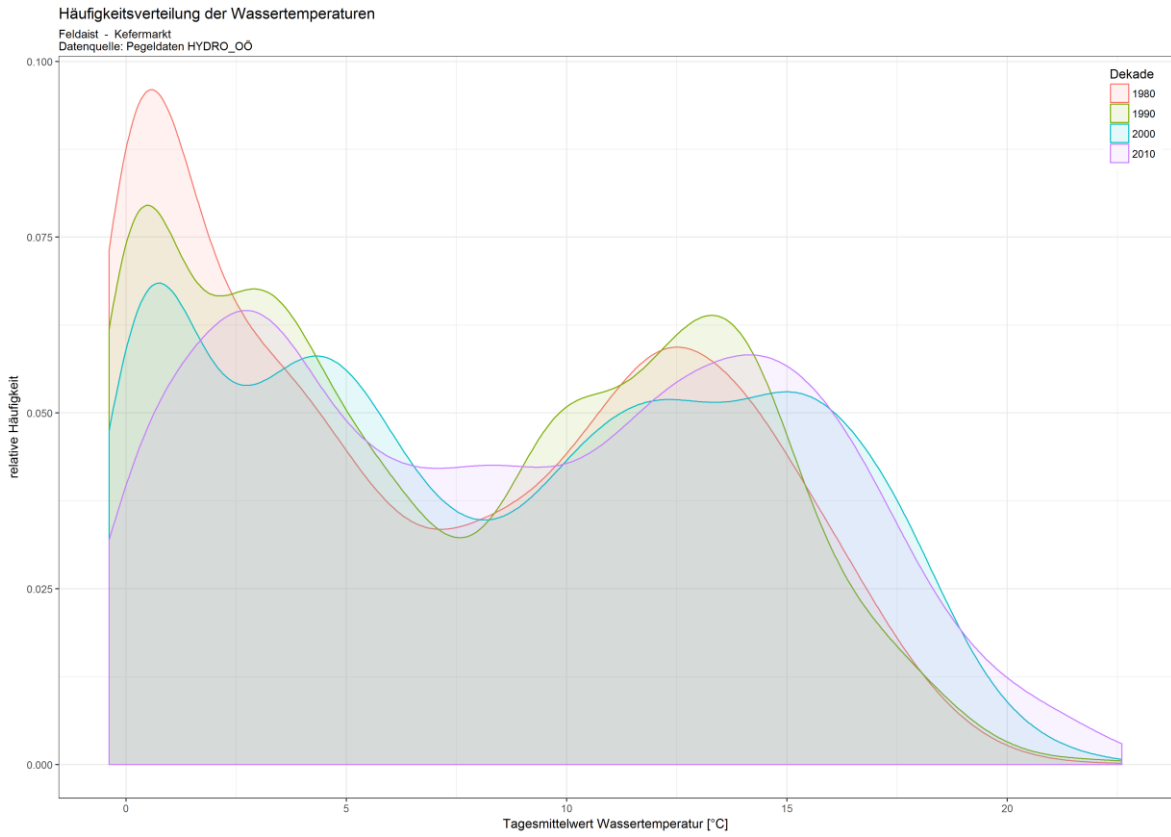


Differenzplot

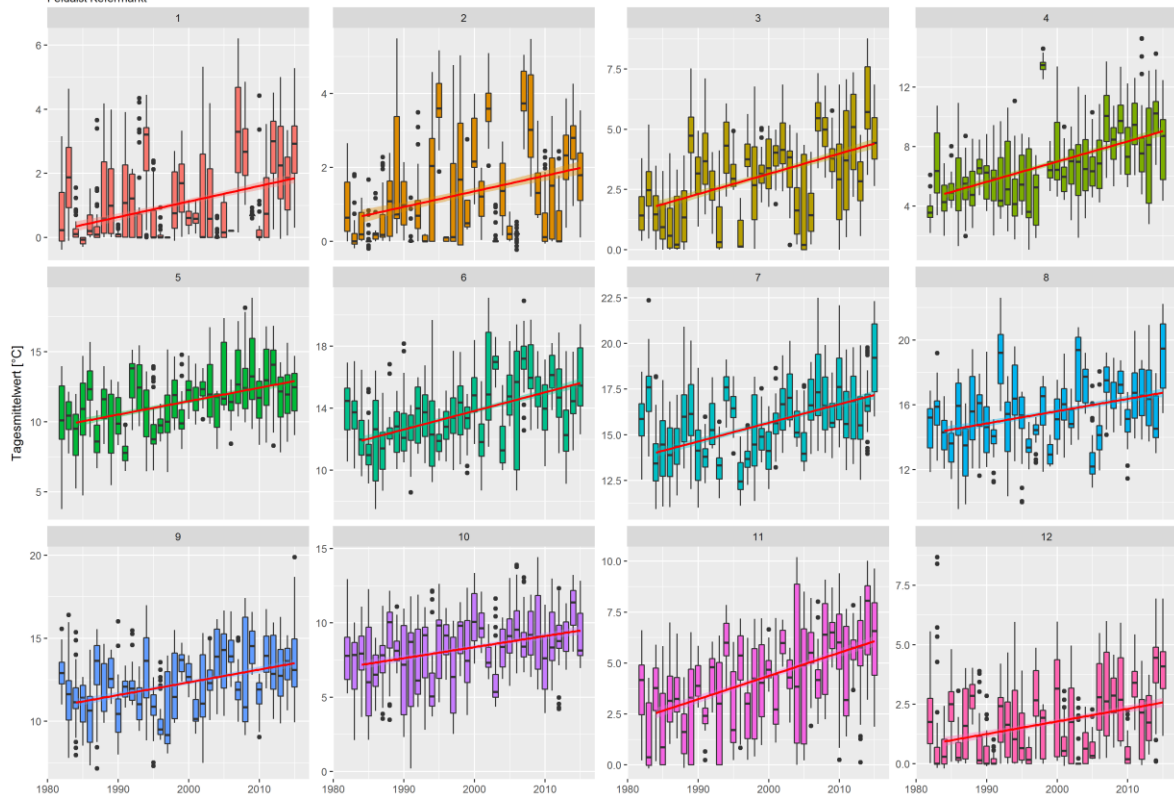
tatsächlich gemessene Wassertemperatur zu Schätzwert der linearen Regression

Feldaist - Kefermarkt

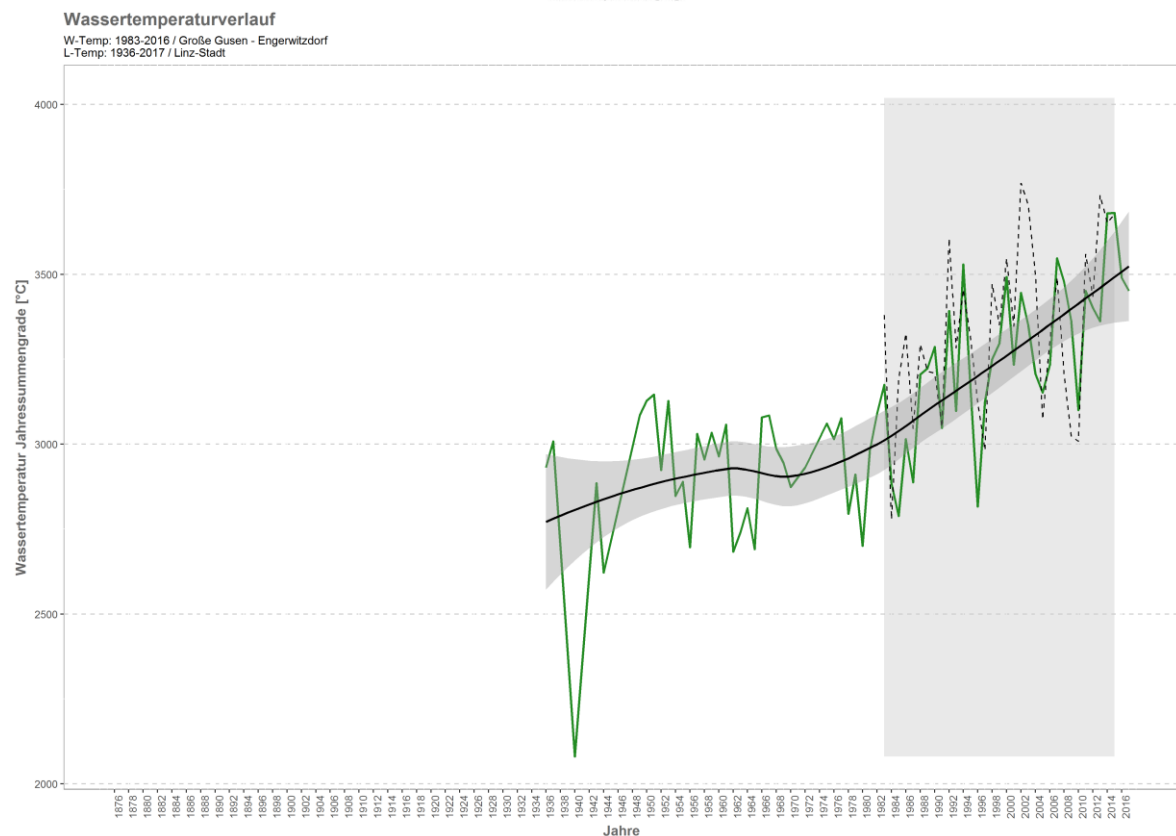
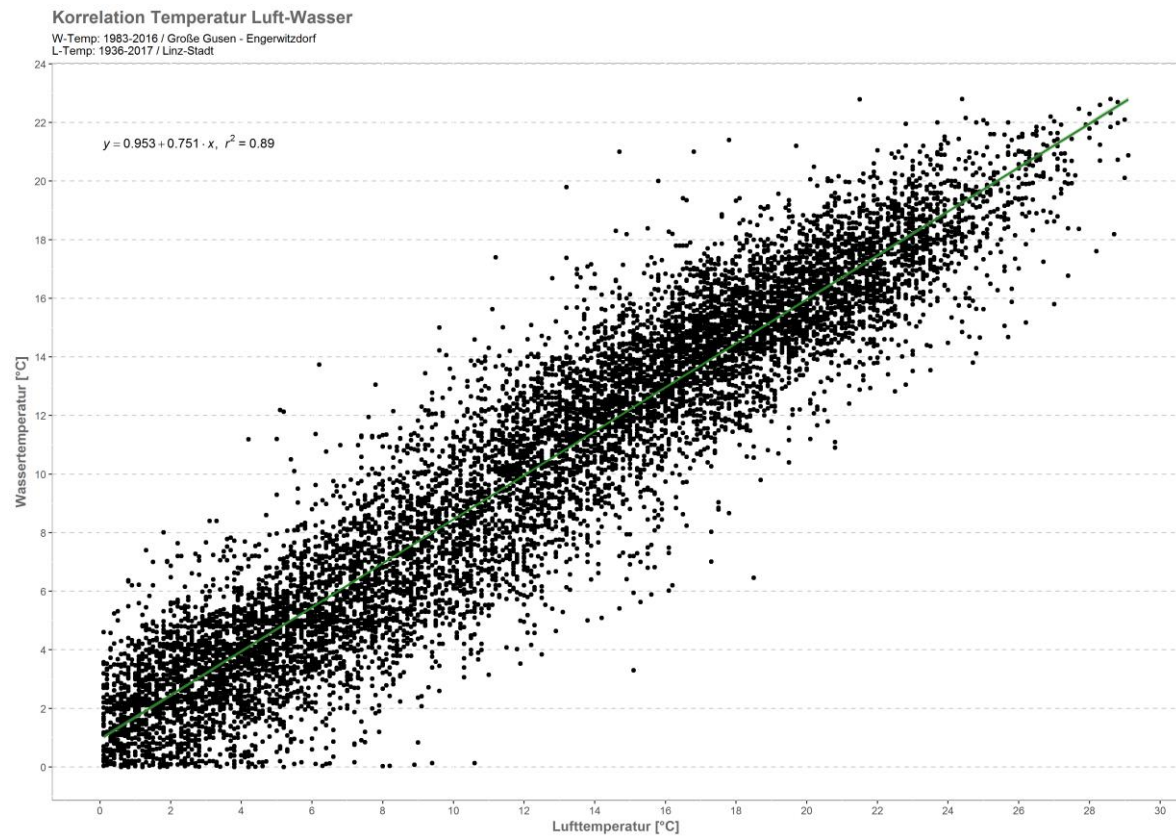




Monatsansicht der Tagesmittelwerte im Jahresverlauf
Feldaist Kefermarkt

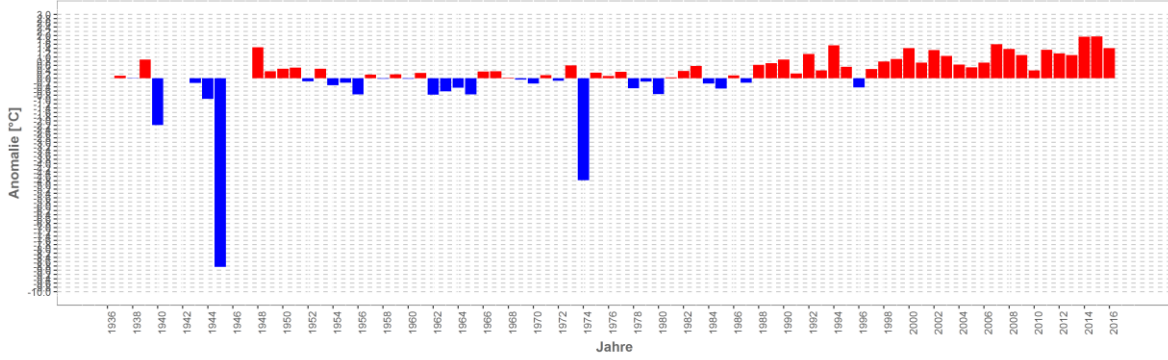


Große Gusen – Engerwitzdorf

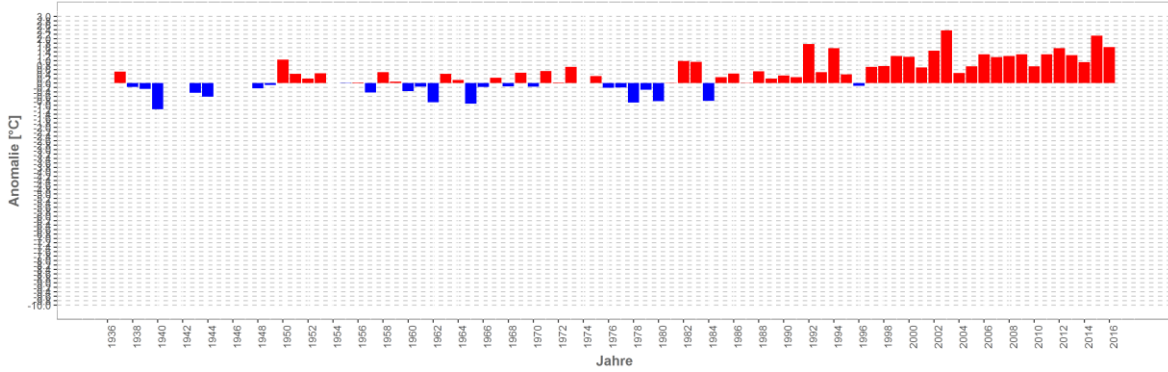


Wassertemperatur-Anomalie

Große Gusen - Engerwitzdorf (1936-2017)
Referenz: 1961-1990

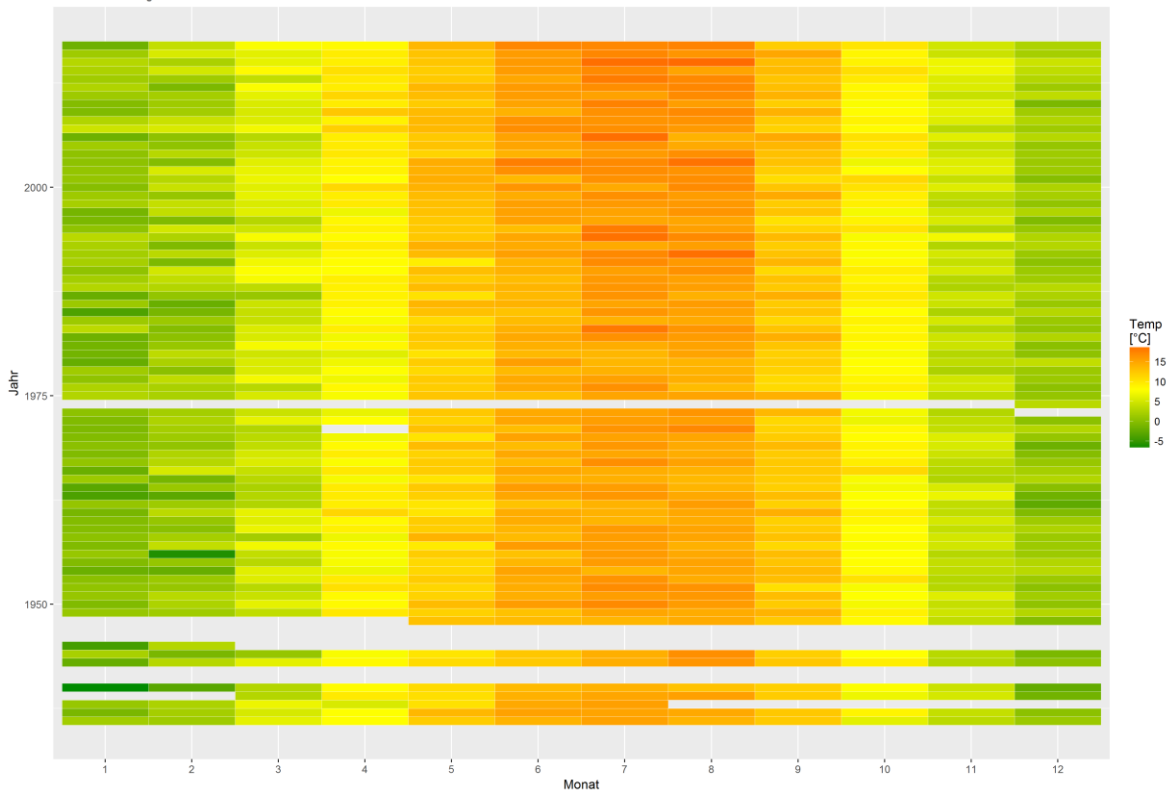


Sommermonate (Mai-Sept)



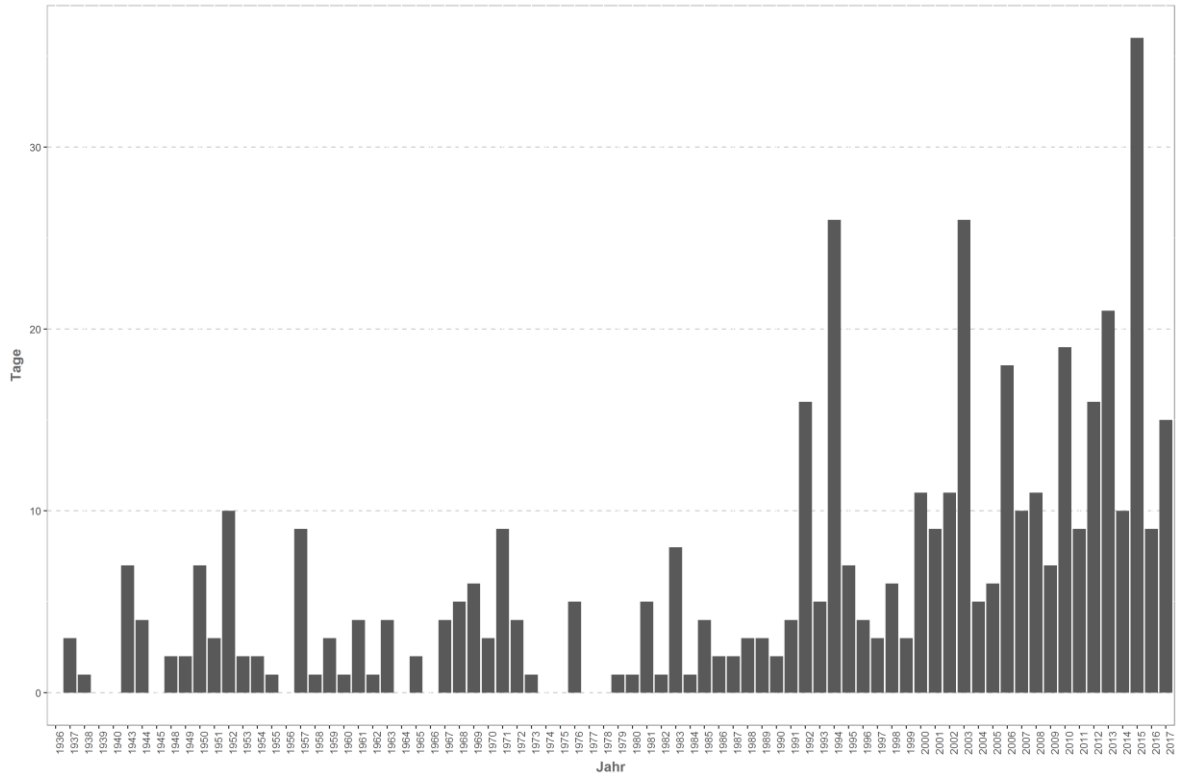
Monatsmittelwert

Große Gusen - Engerwitzdorf



Temperaturüberschreitungen

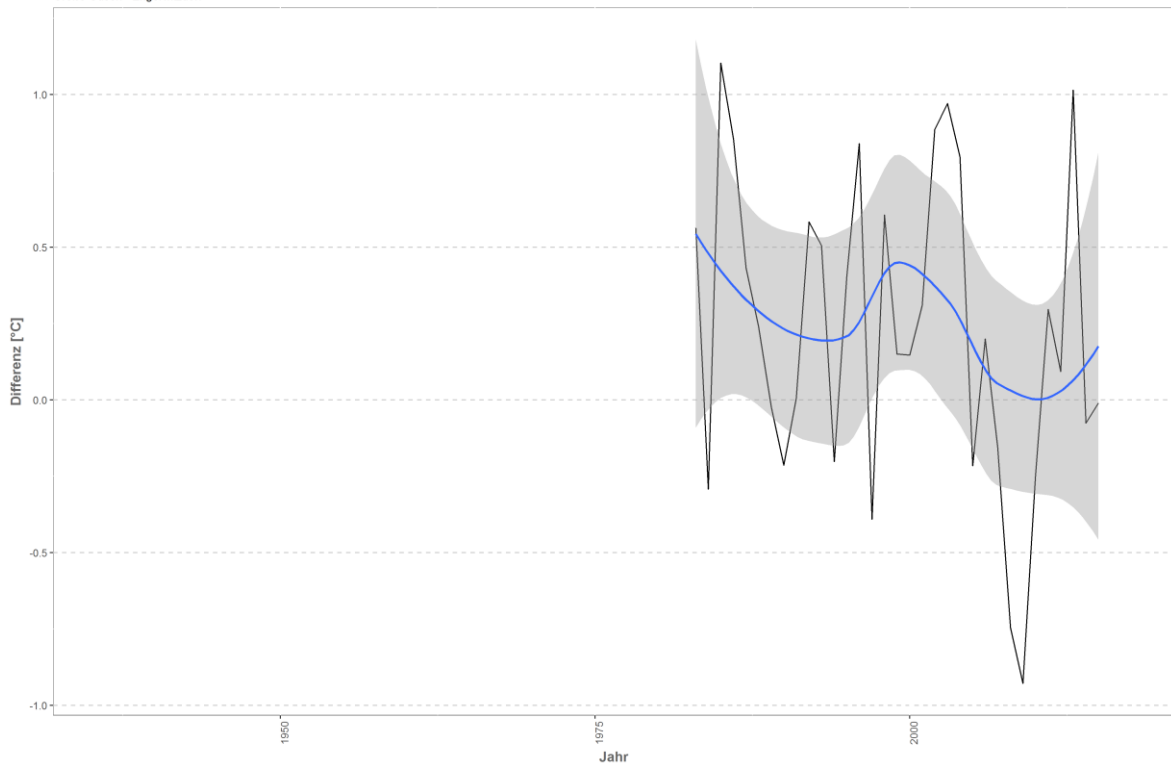
der Grenze sehr gut - gut
Große Gusen - Engerwitzdorf



Differenzplot

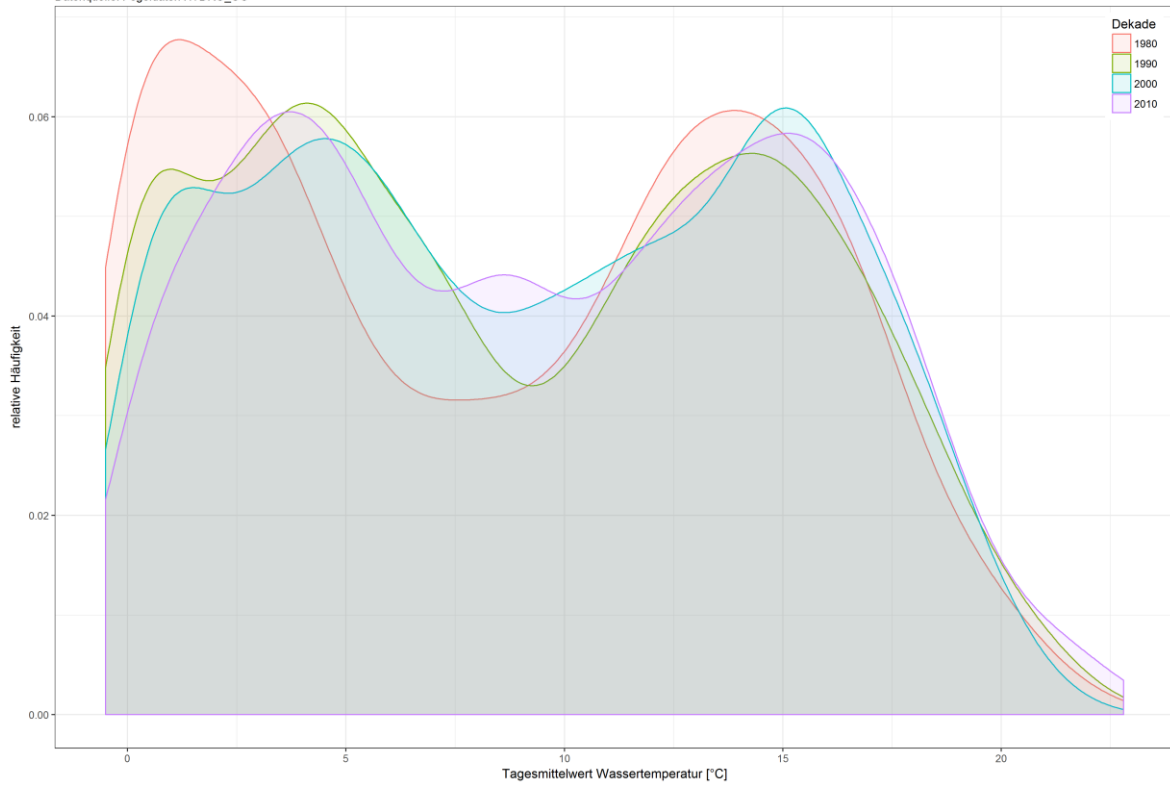
tatsächlich gemessene Wassertemperatur zu Schätzwert der linearen Regression

Große Gusen - Engerwitzdorf



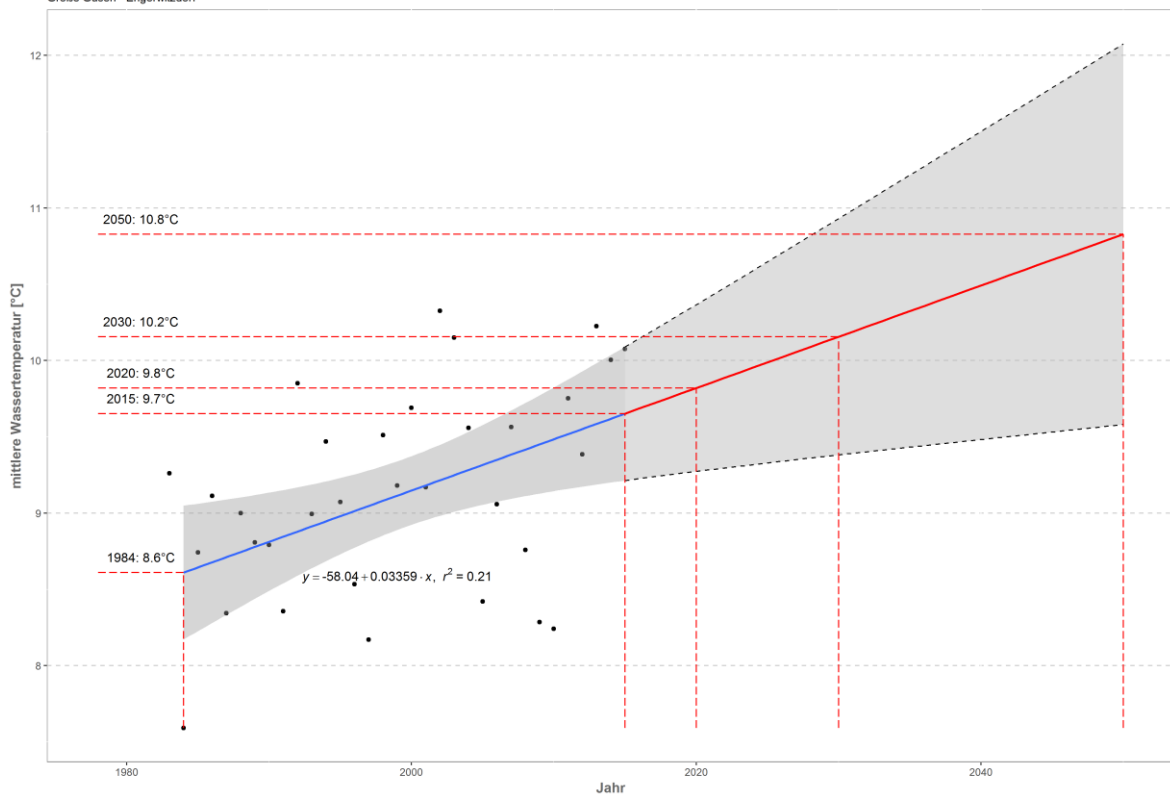
Häufigkeitsverteilung der Wassertemperaturen

Große Gusen - Engerwitzdorf
Datenquelle: Pegeldaten HYDRO_OO

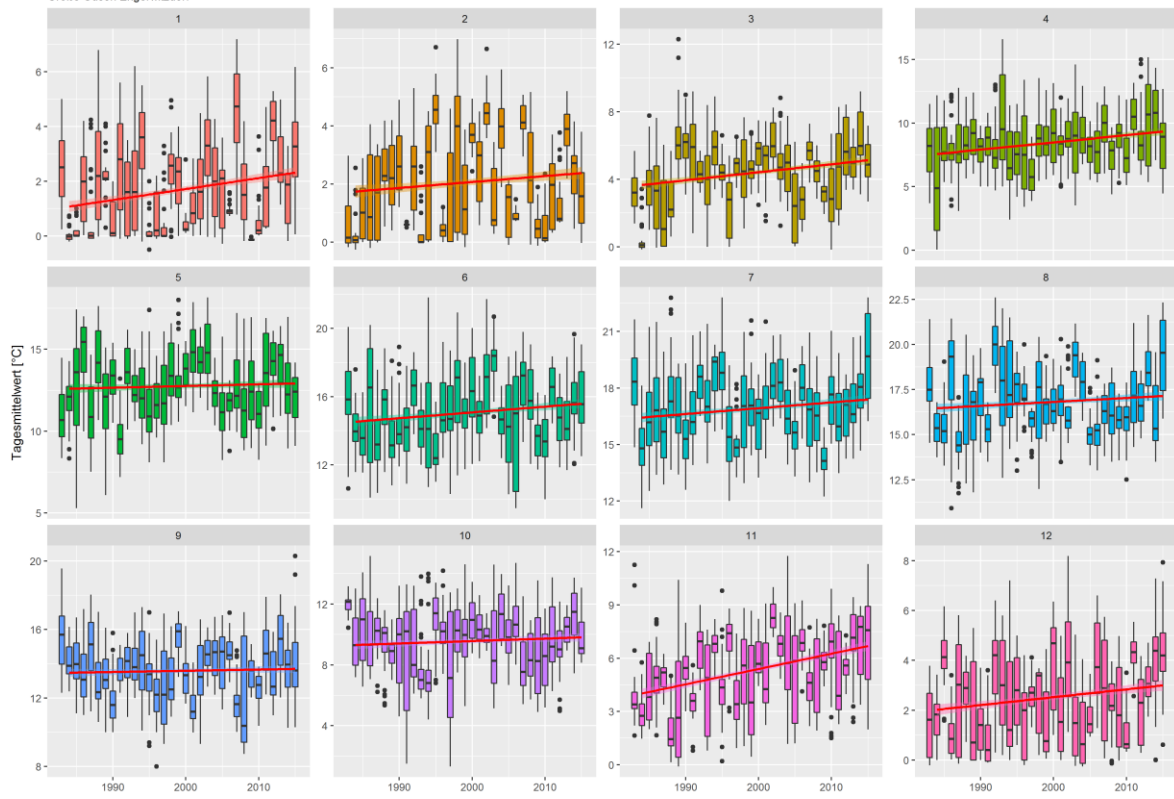


Prognose Wassertemperatur

Große Gusen - Engerwitzdorf



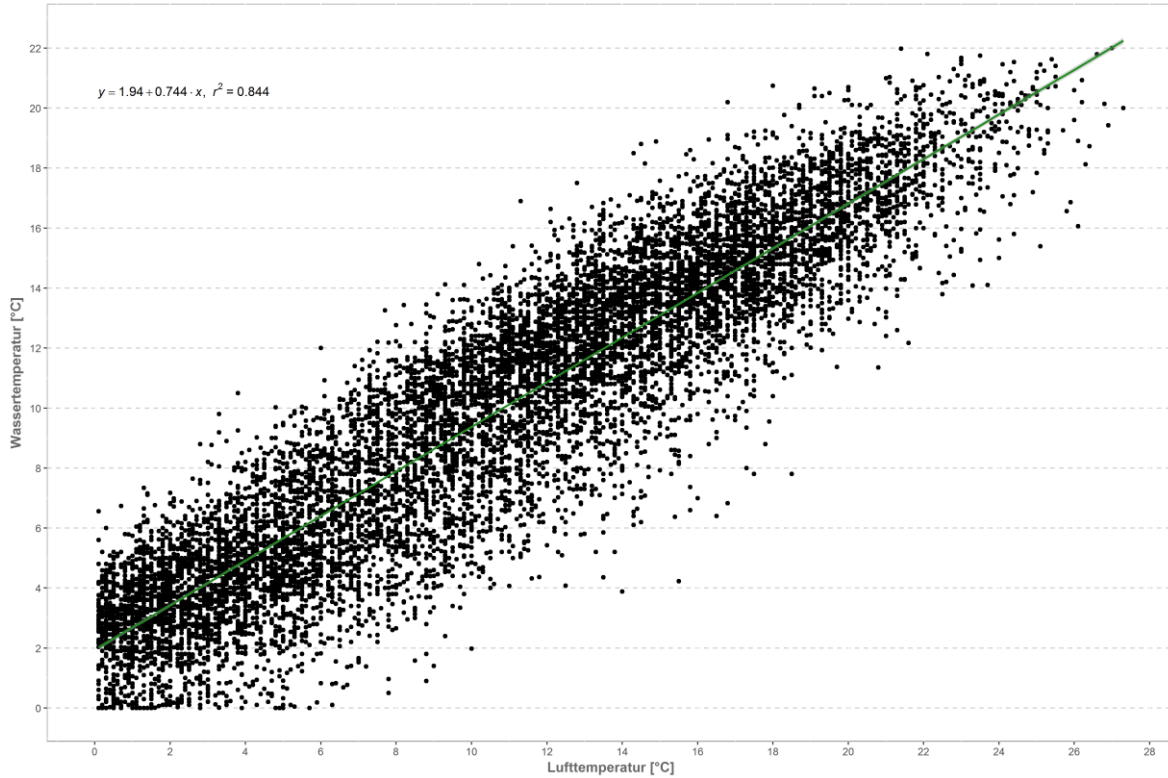
Monatsansicht der Tagesmittelwerte im Jahresverlauf
Große Gusen Engerwitzdorf



Große Mühl – Teufelmühle

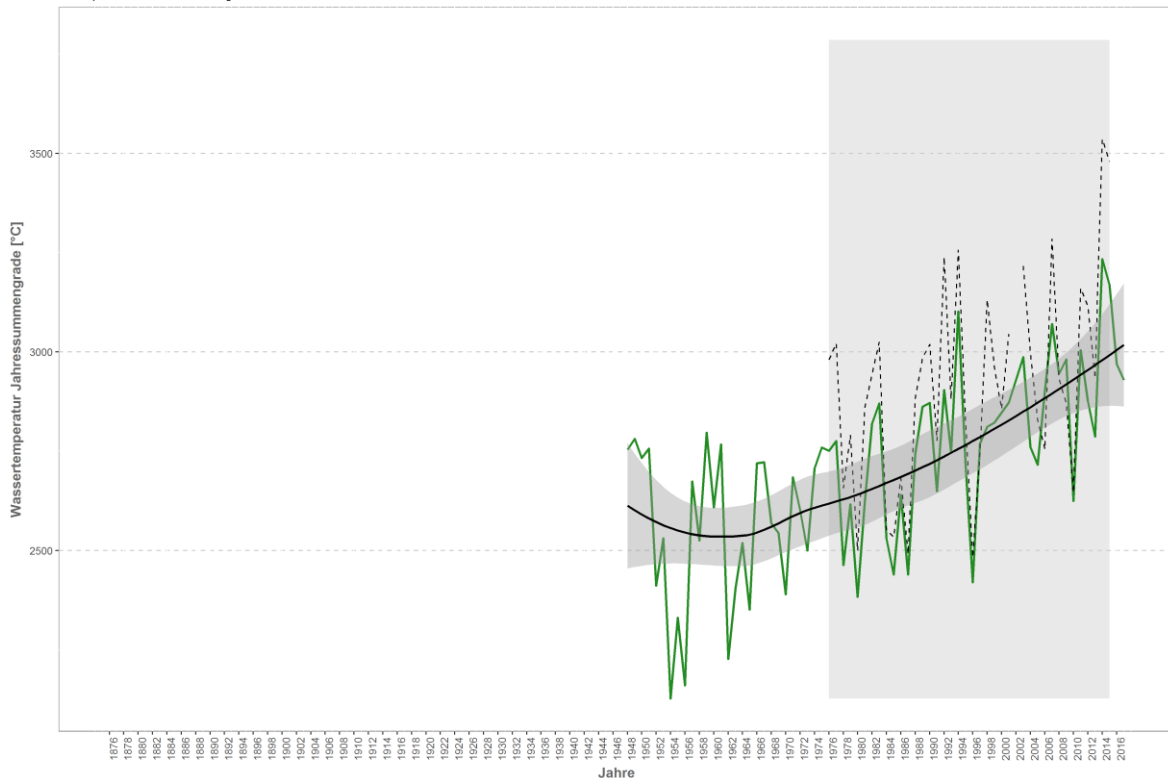
Korrelation Temperatur Luft-Wasser

W-Temp: 1976-2016 / Große Mühl - Teufelmühle
L-Temp: 1947-2017 / Kollerschlag



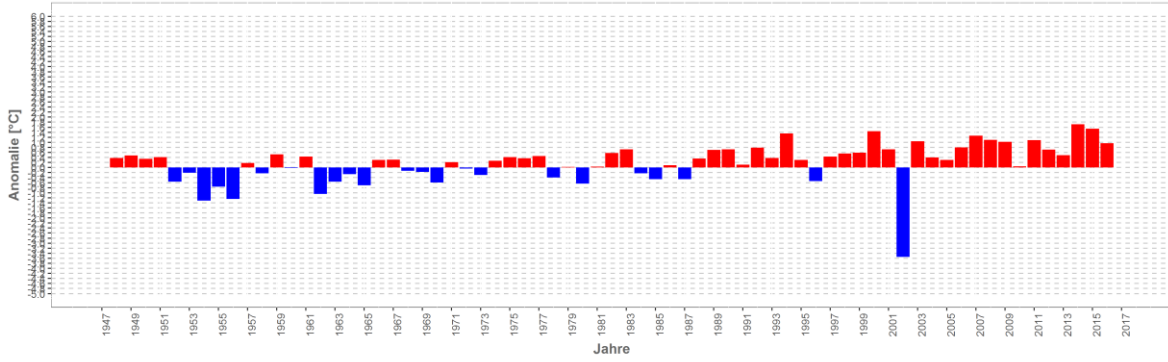
Wassertemperaturverlauf

W-Temp: 1976-2016 / Große Mühl - Teufelmühle
L-Temp: 1947-2017 / Kollerschlag

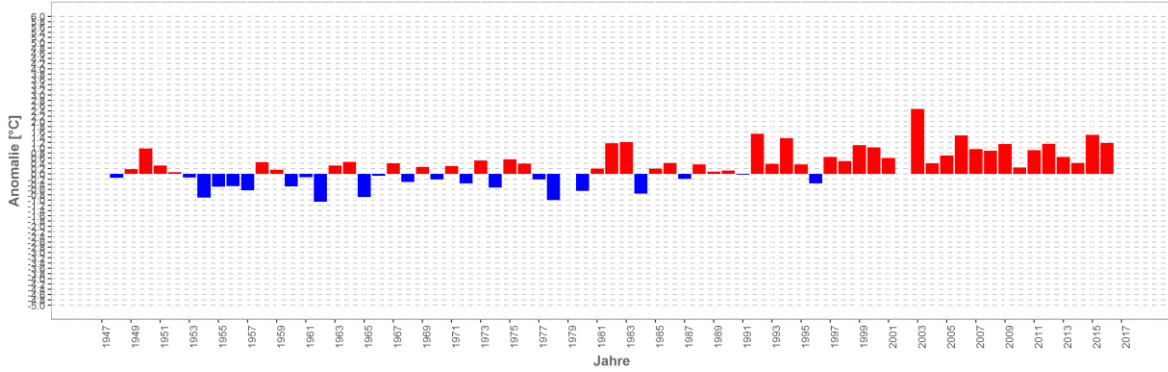


Wassertemperatur-Anomalie

Große Mühl - Teufelmühle (1947-2017)
 Referenz: 1961-1990

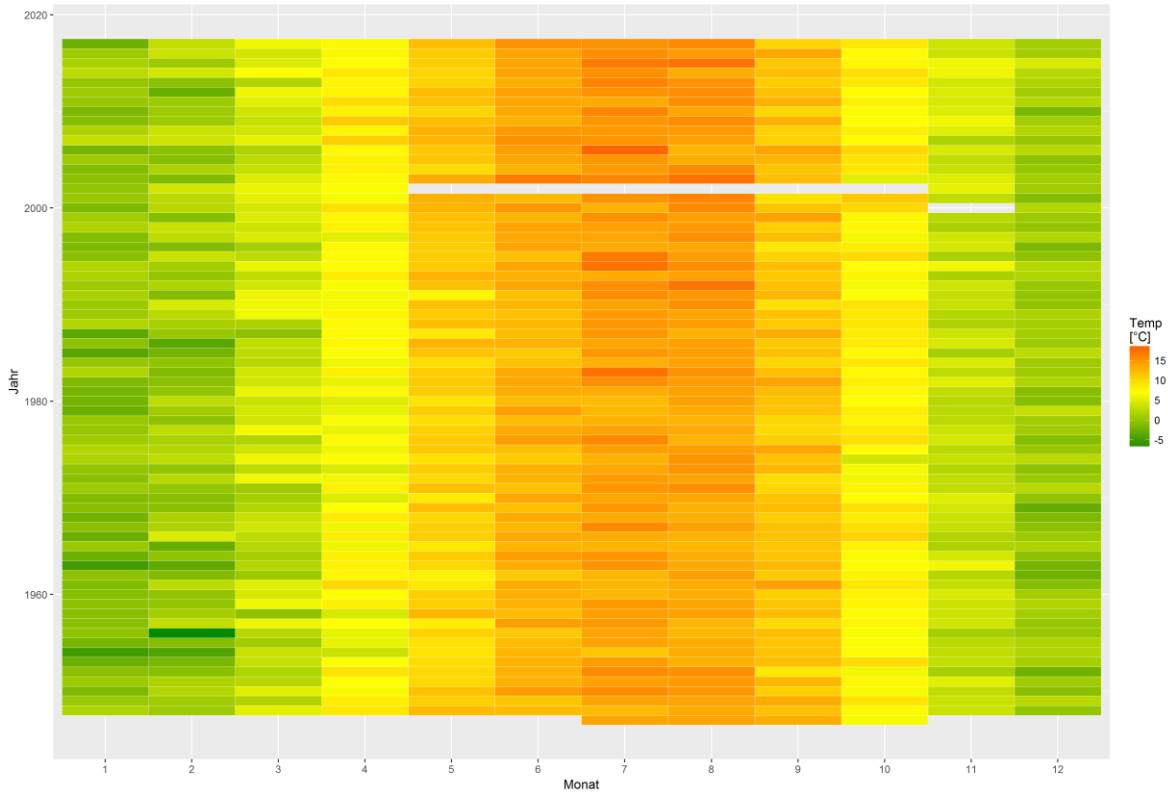


Sommermonate (Mai-Sept)



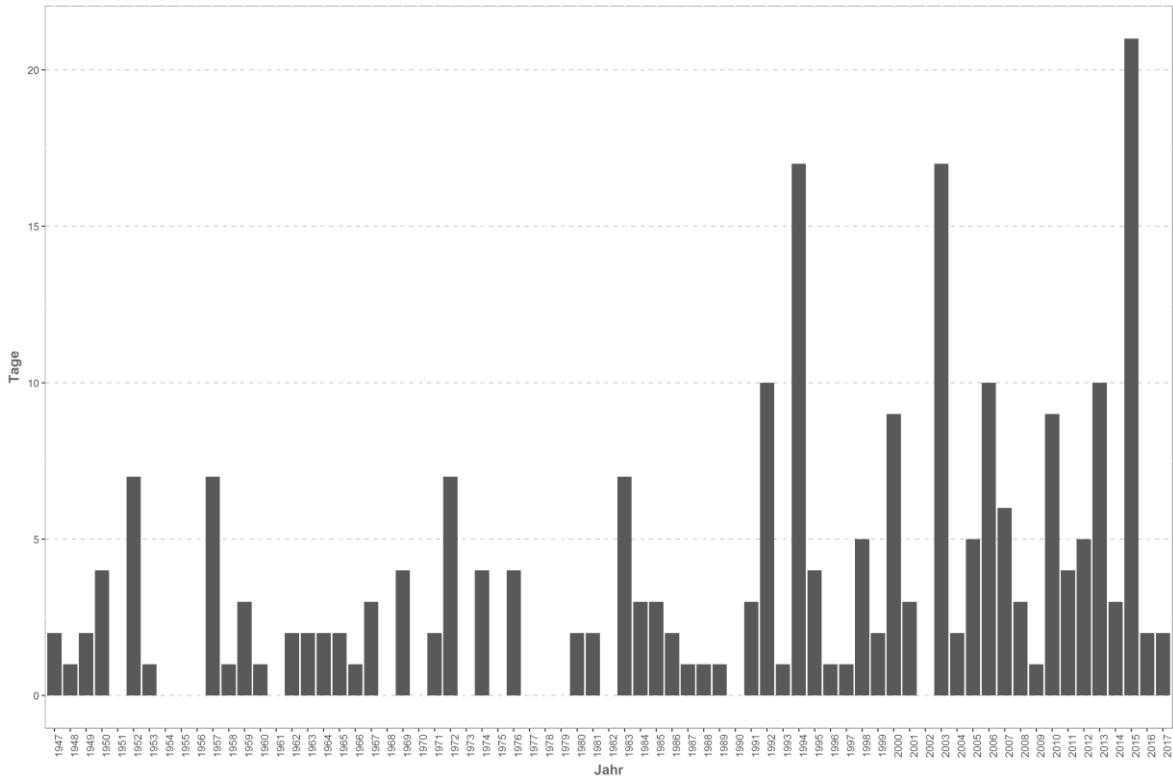
Monatsmittelwert

Große Mühl - Teufelmühle



Temperaturüberschreitungen

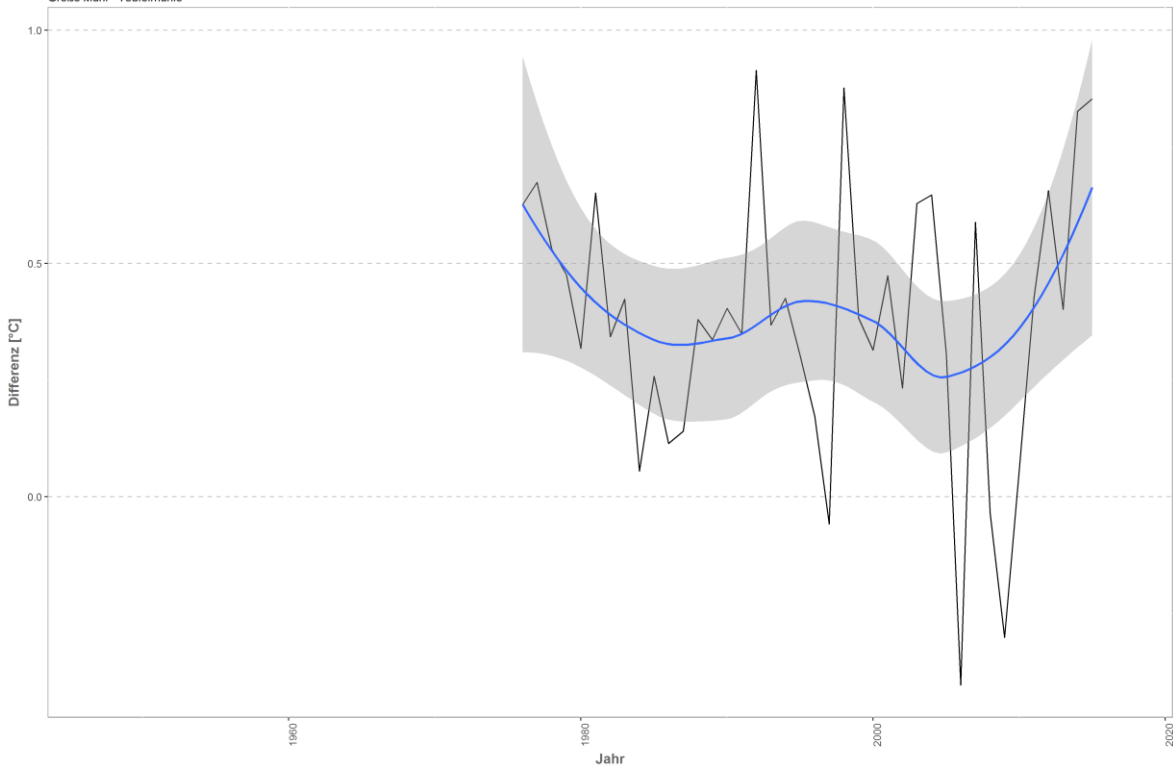
der Grenze sehr gut - gut
Große Mühl - Teufelmühle



Differenzplot

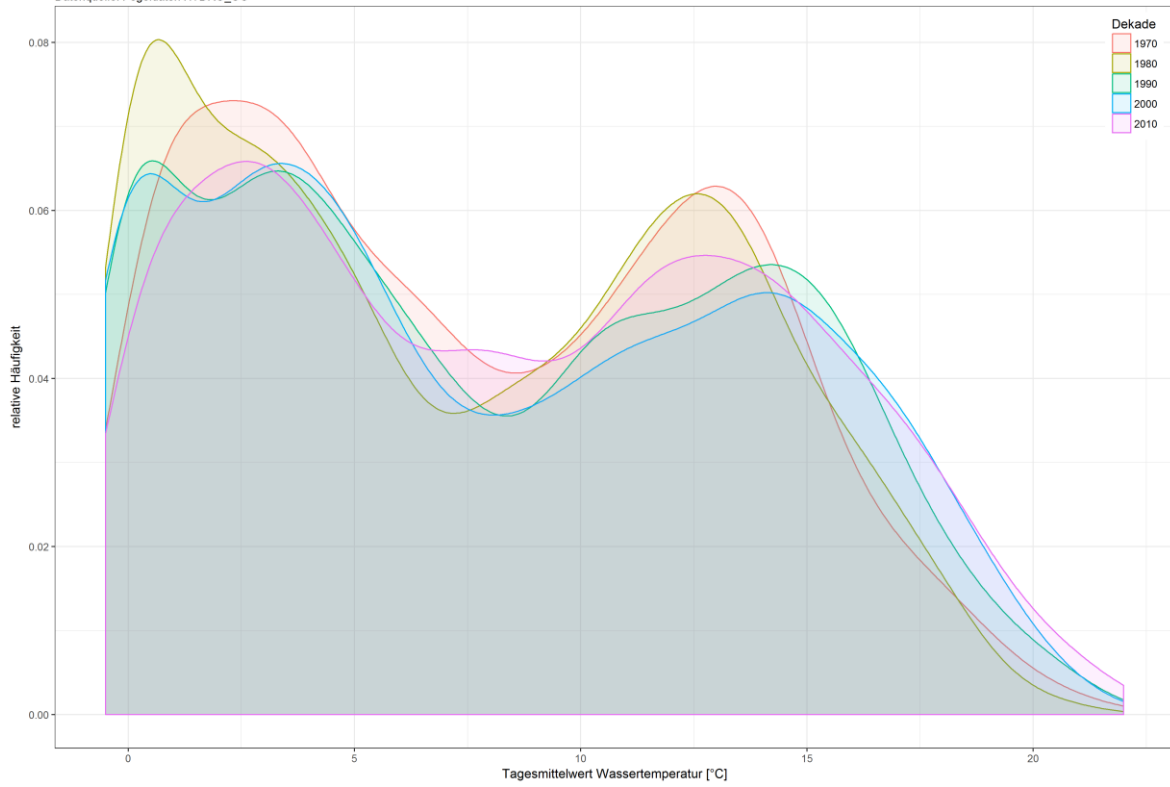
tatsächlich gemessene Wassertemperatur zu Schätzwert der linearen Regression

Große Mühl - Teufelmühle



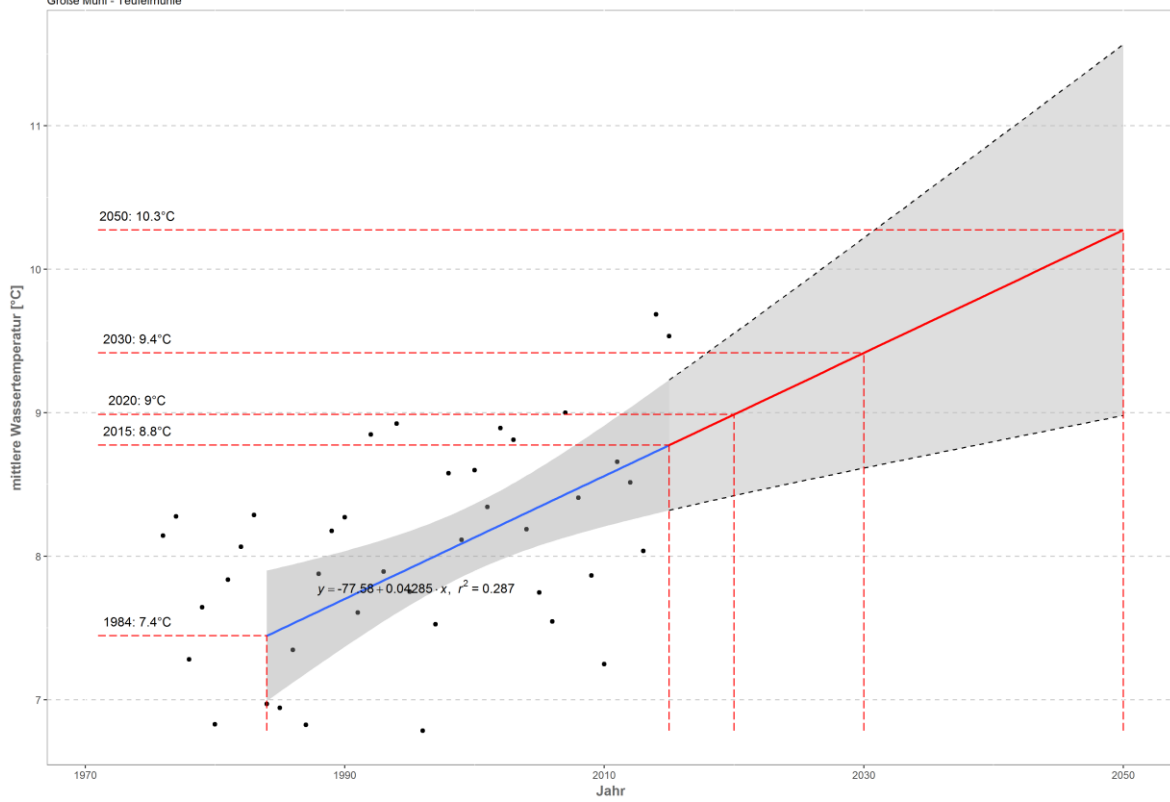
Häufigkeitsverteilung der Wassertemperaturen

Große Mühl - Teufelmühle
Datenquelle: Pegeldaten HYDRO_OO



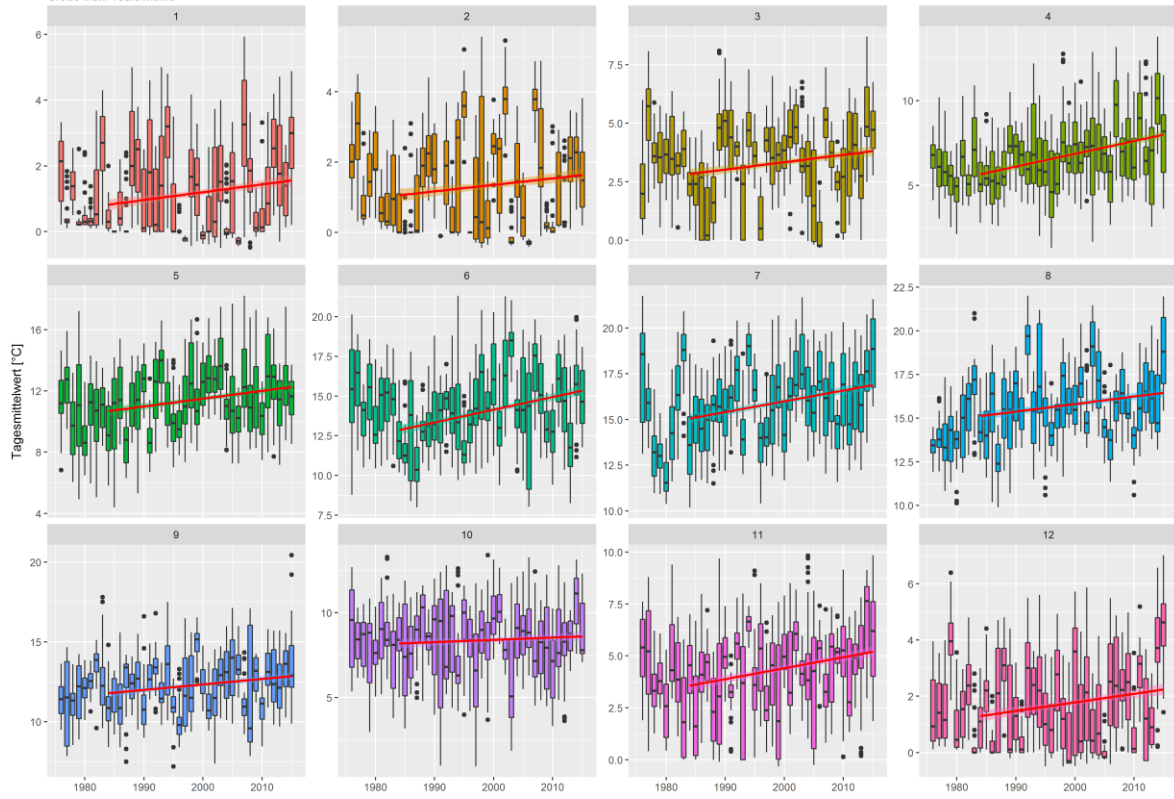
Prognose Wassertemperatur

Große Mühl - Teufelmühle

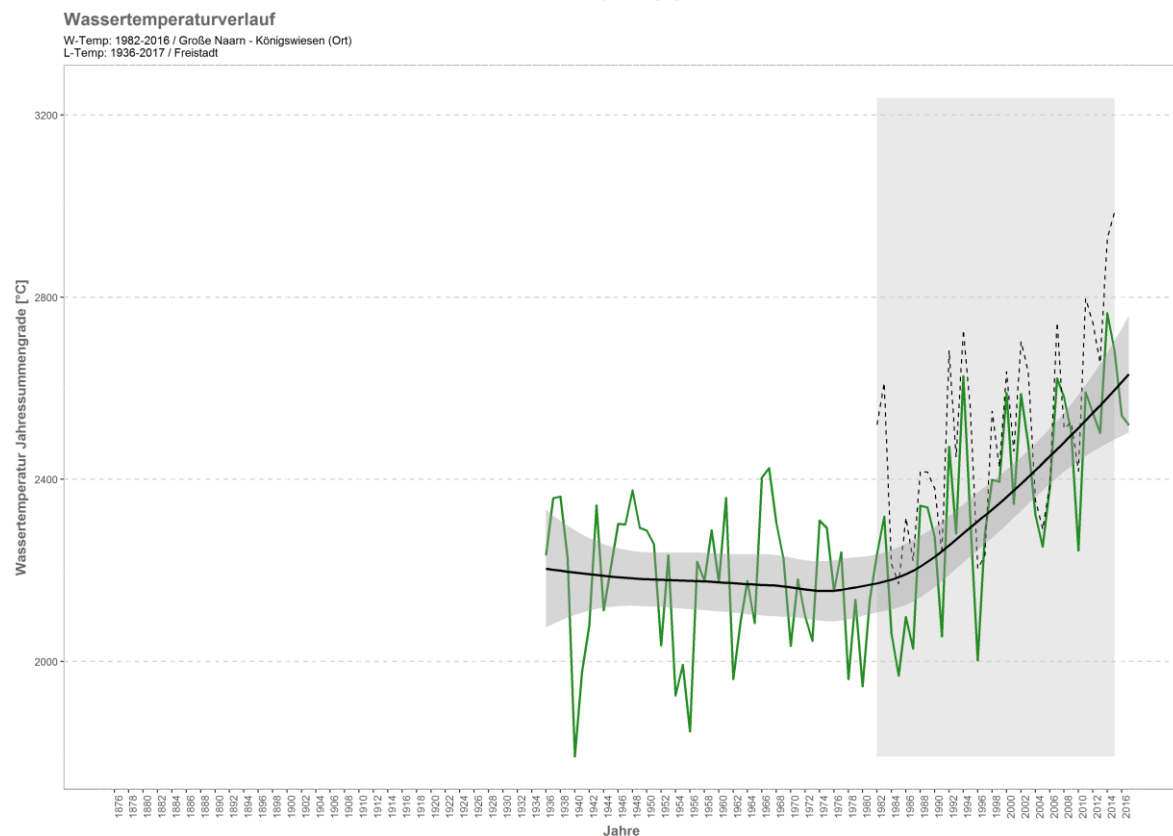
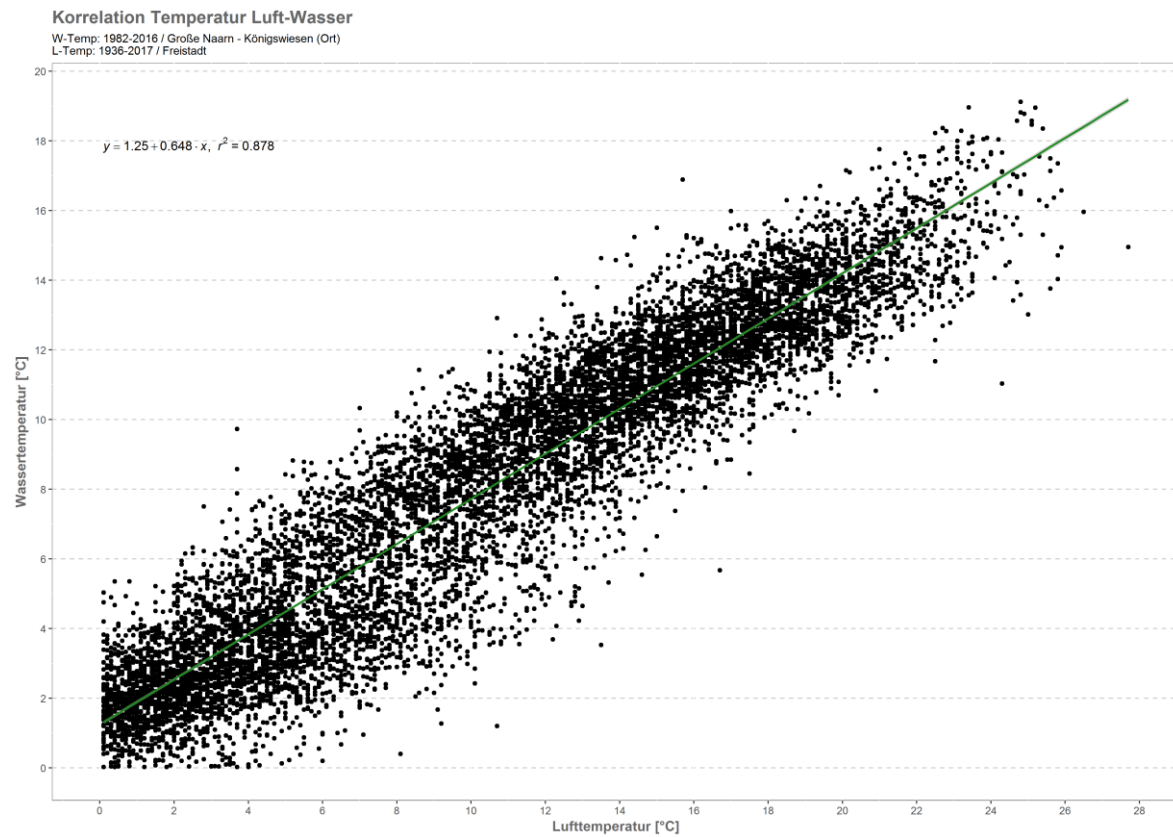


Monatsansicht der Tagesmittelwerte im Jahresverlauf

Große Mühl Teufelmühle

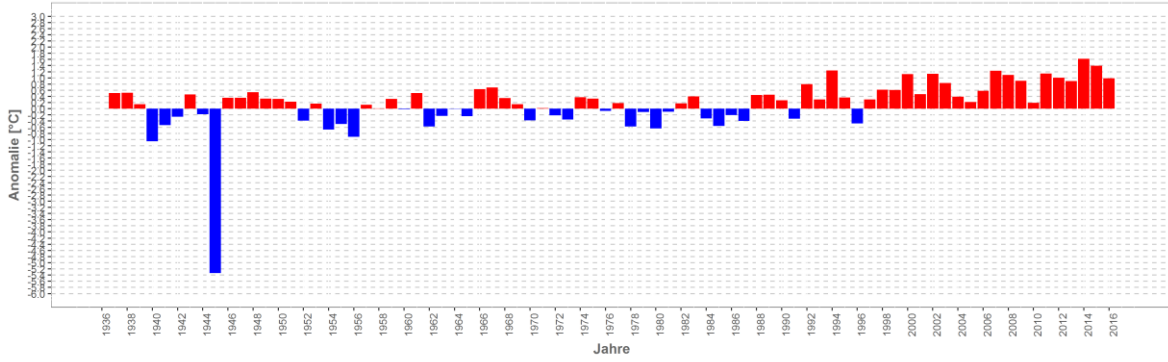


Große Naarn – Königswiesen (Ort)

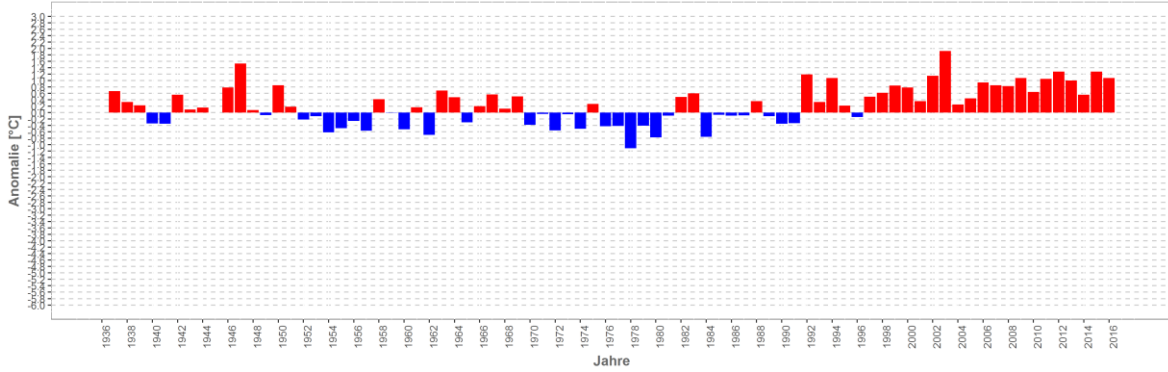


Wassertemperatur-Anomalie

Große Naarn - Königswiesen (Ort) (1936-2017)
 Referenz: 1961-1990

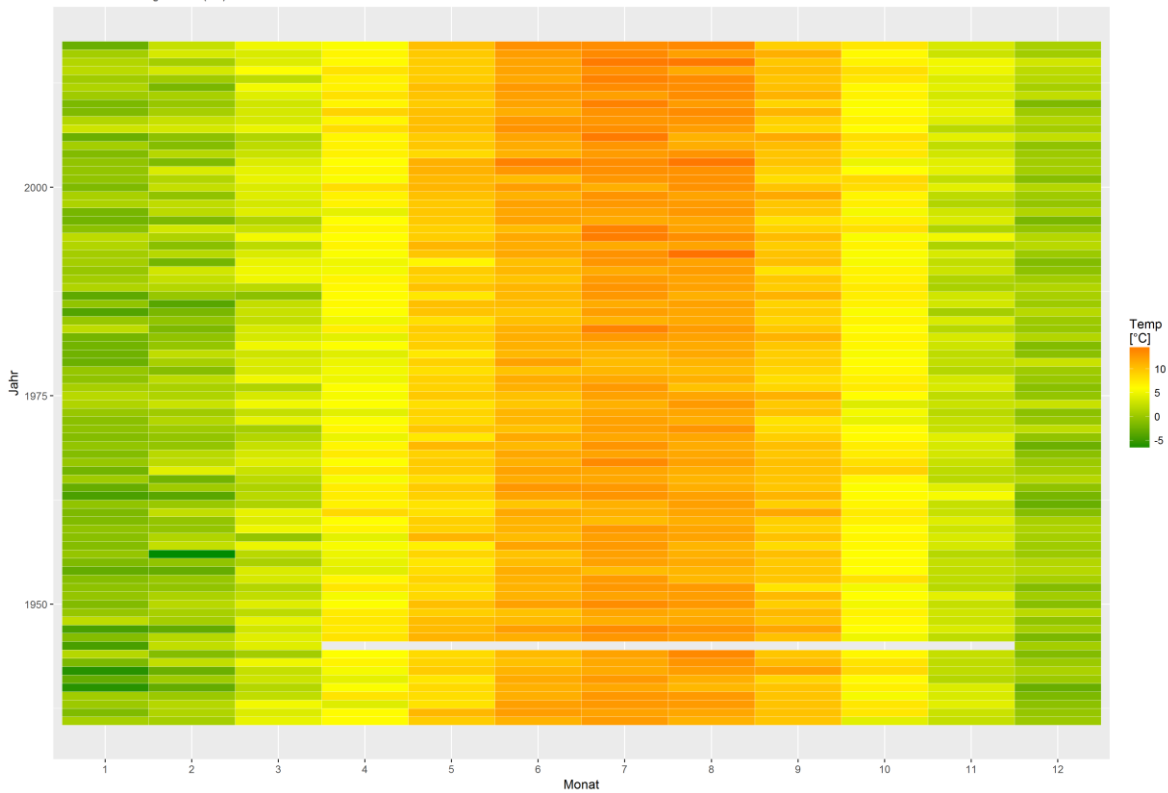


Sommermonate (Mai-Sept)



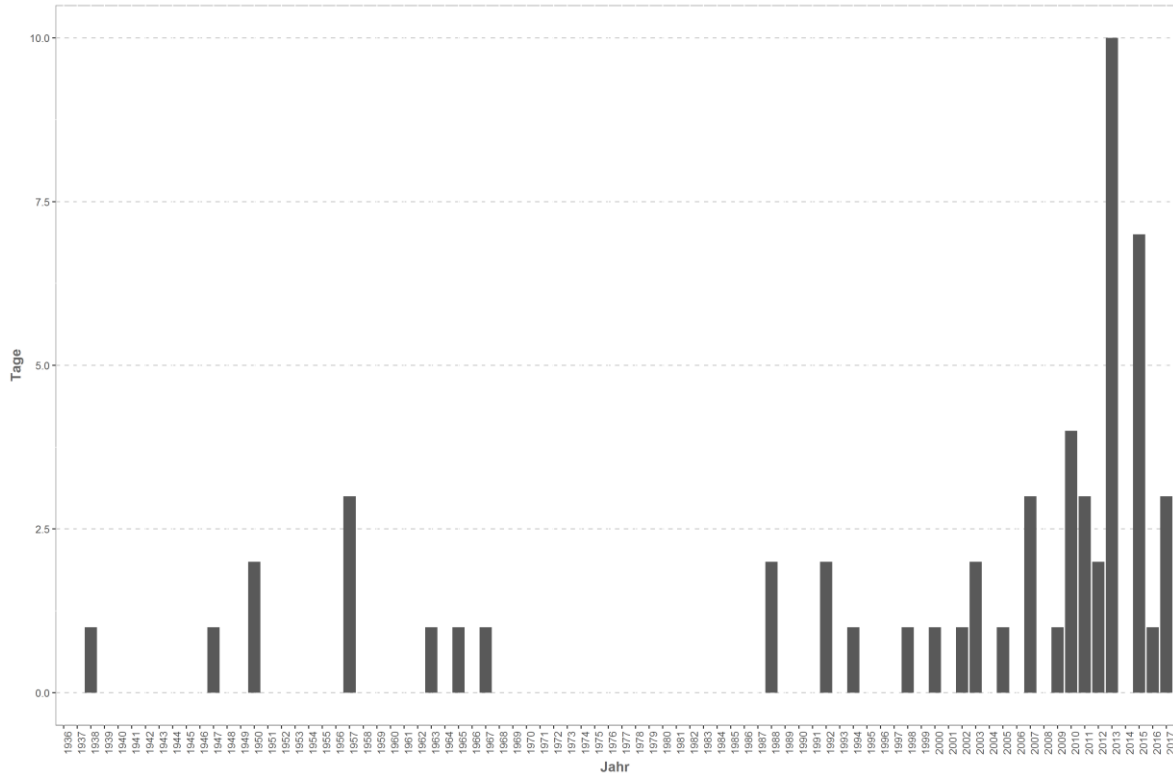
Monatsmittelwert

Große Naarn - Königswiesen (Ort)



Temperaturüberschreitungen

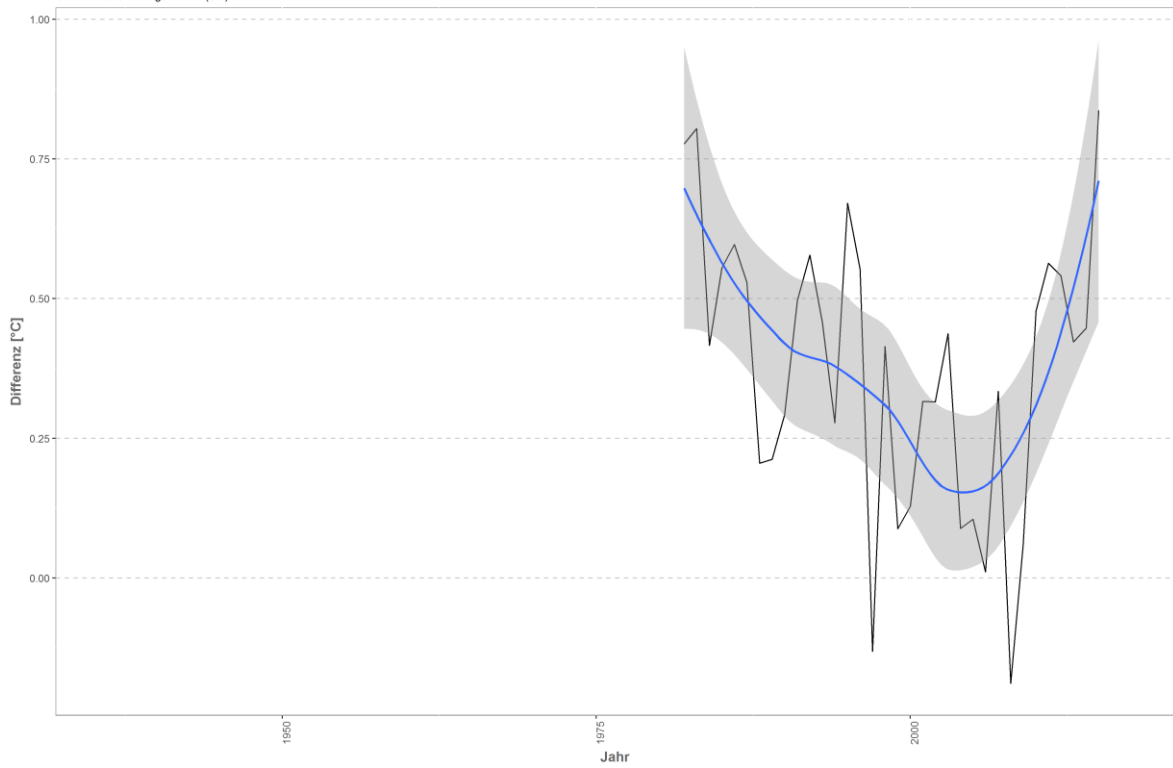
der Grenze sehr gut - gut
Große Naarn - Königswiesen (Ort)



Differenzplot

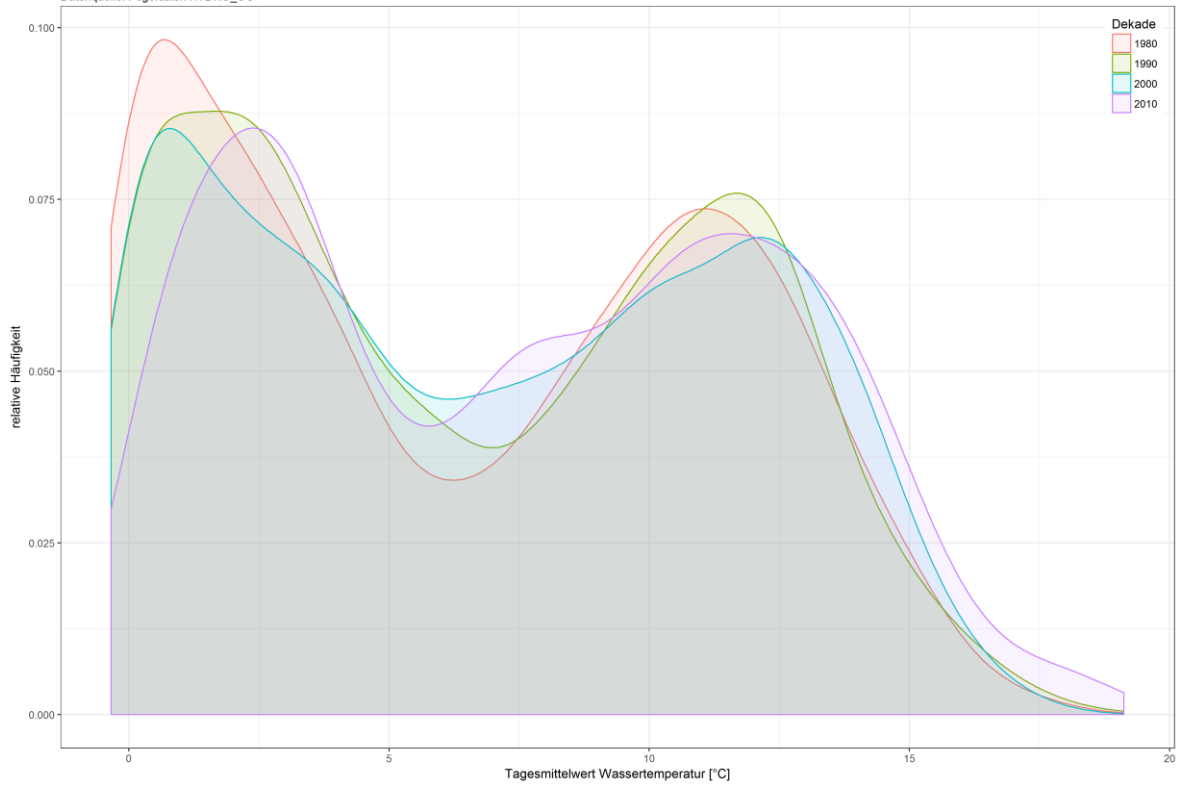
tatsächlich gemessene Wassertemperatur zu Schätzwert der linearen Regression

Große Naarn - Königswiesen (Ort)



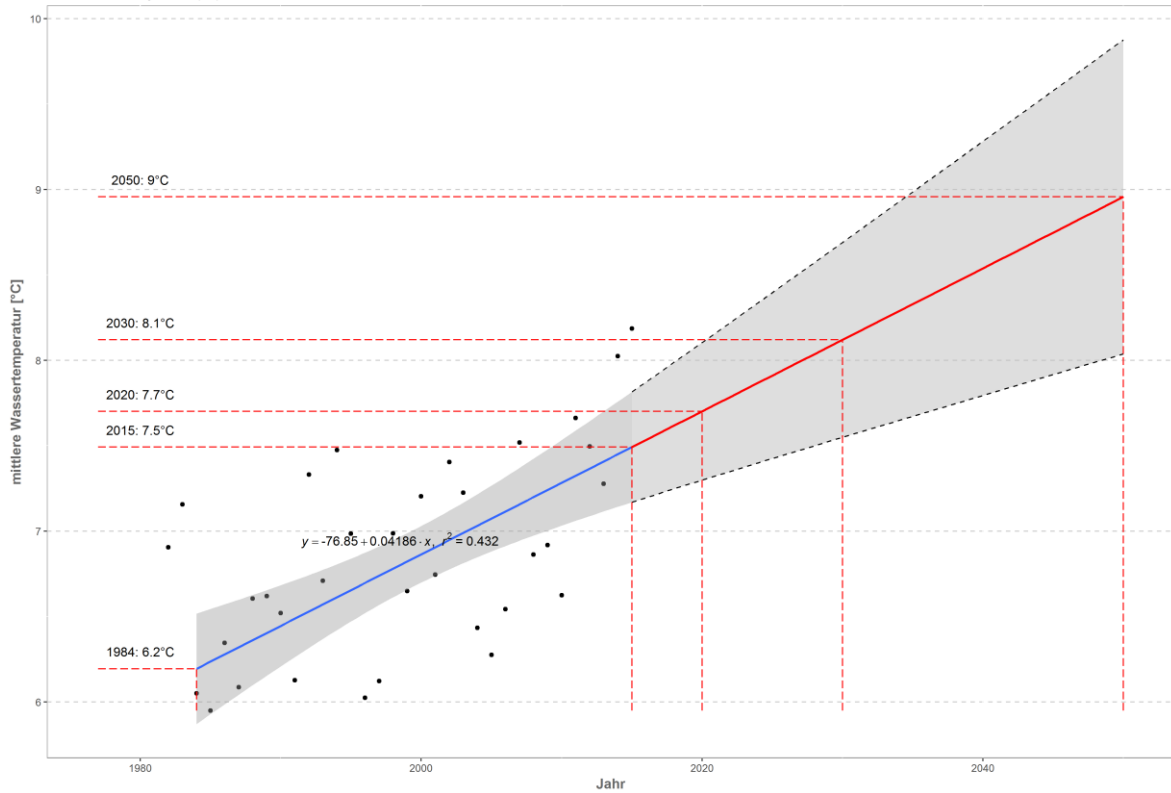
Häufigkeitsverteilung der Wassertemperaturen

Große Naarn - Königswiesen (Ort)
Datenquelle: Pegeldaten HYDRO_OO

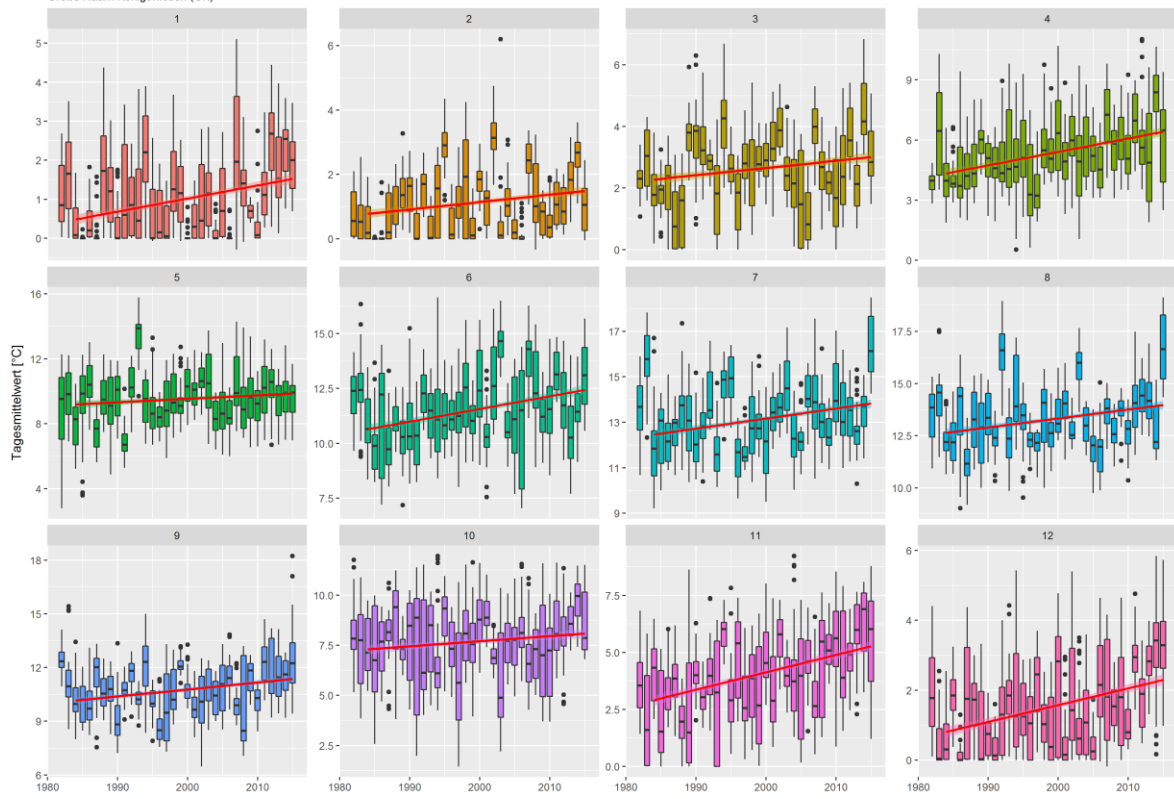


Prognose Wassertemperatur

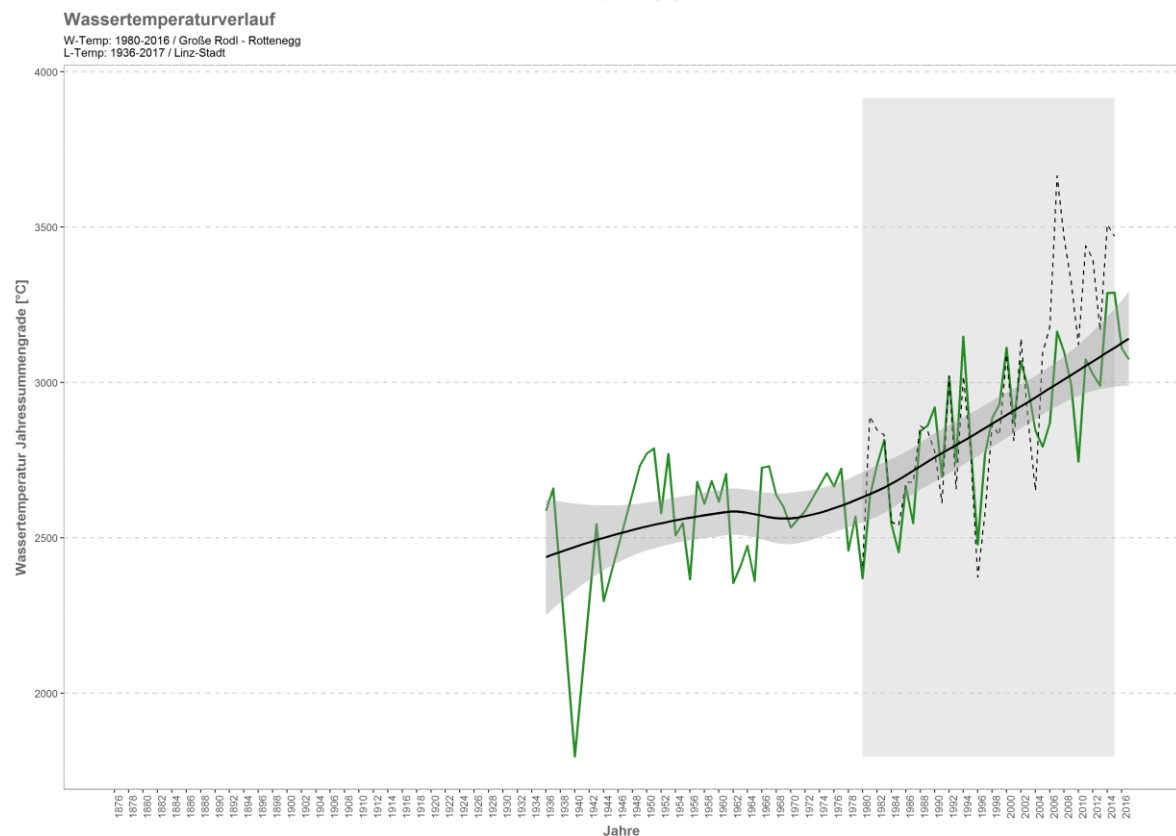
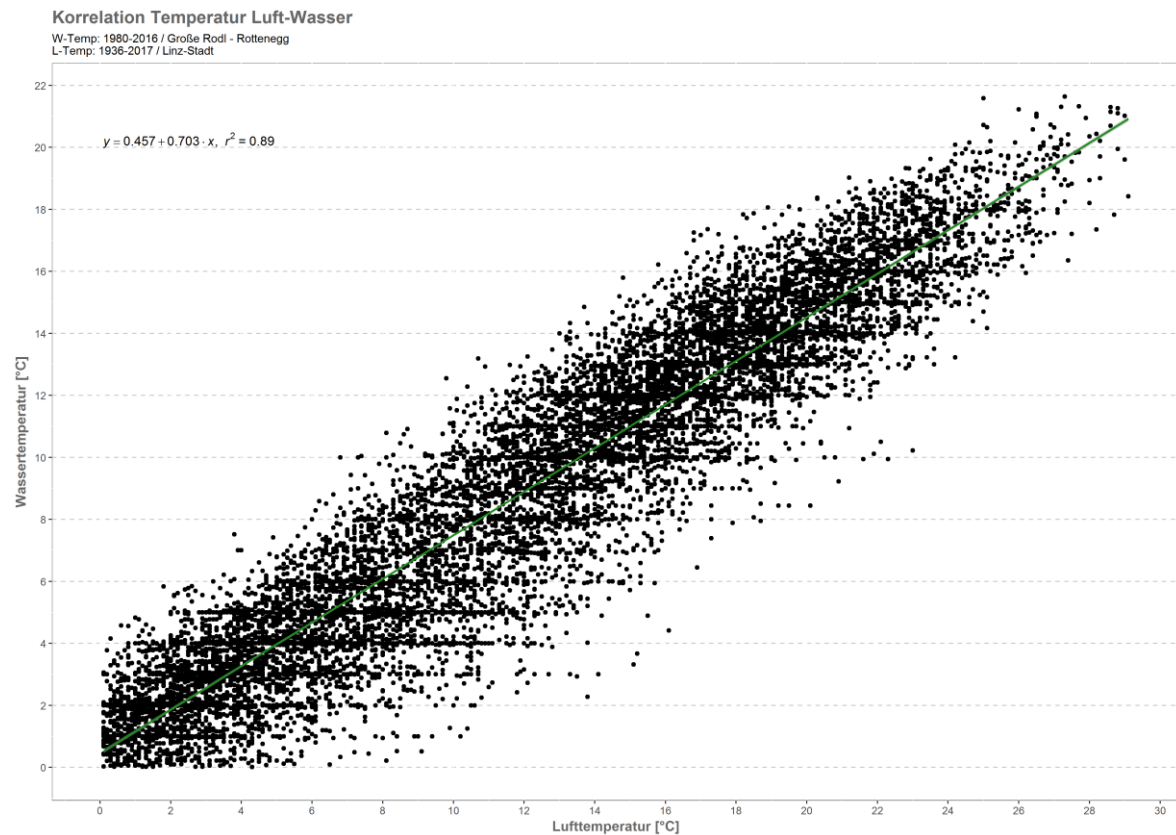
Große Naarn - Königswiesen (Ort)



Monatsansicht der Tagesmittelwerte im Jahresverlauf
Große Naarn Königsweiden (Ort)

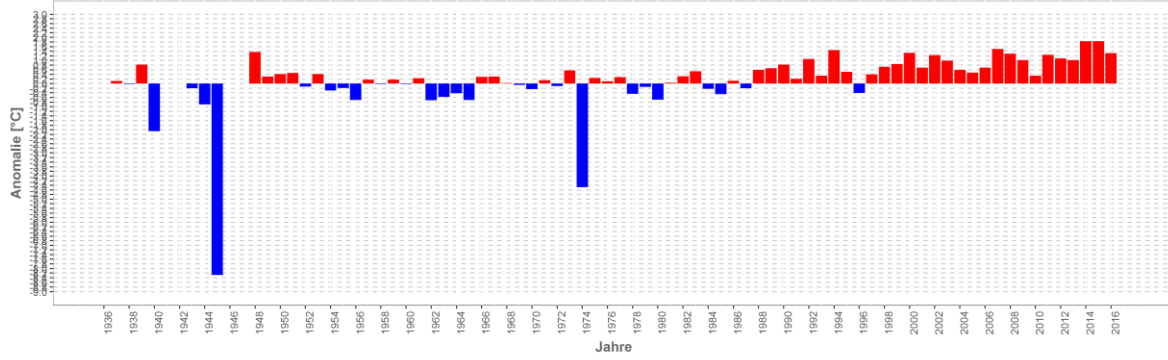


Große Rodl – Rottenegg

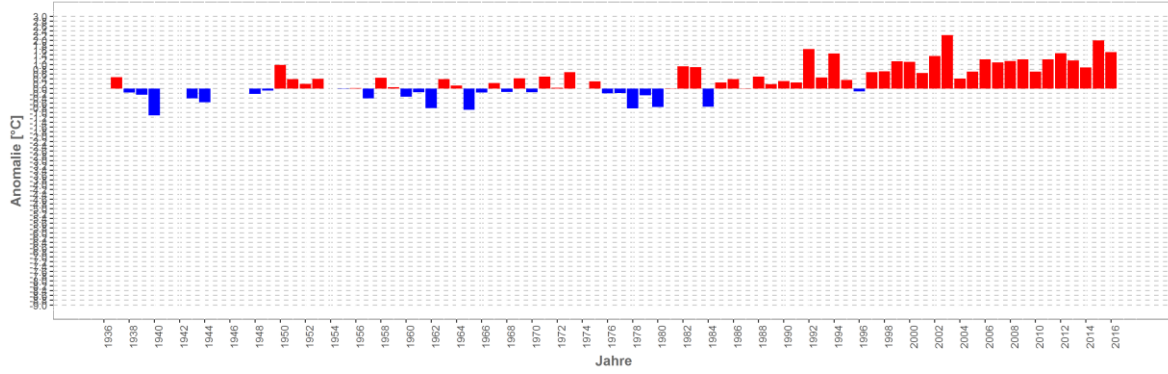


Wassertemperatur-Anomalie

Große Rodl - Rottenegg (1936-2017)
Referenz: 1961-1990

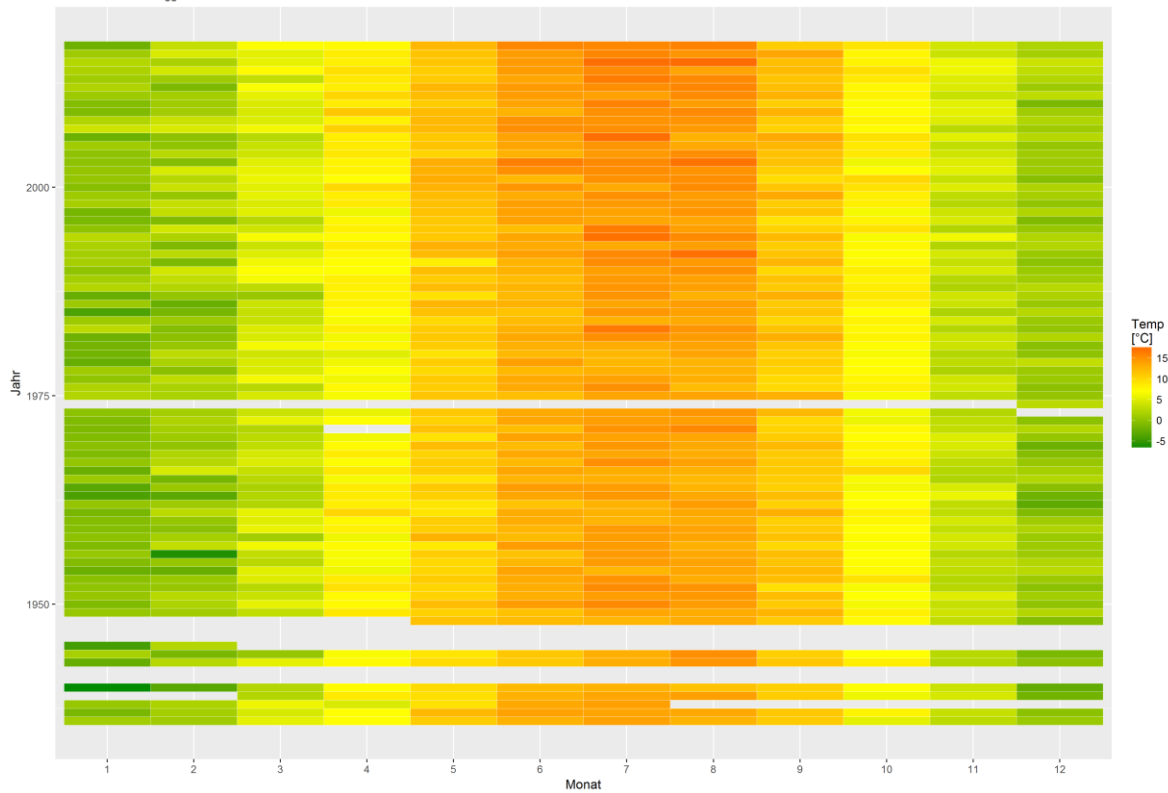


Sommermonate (Mai-Sept)



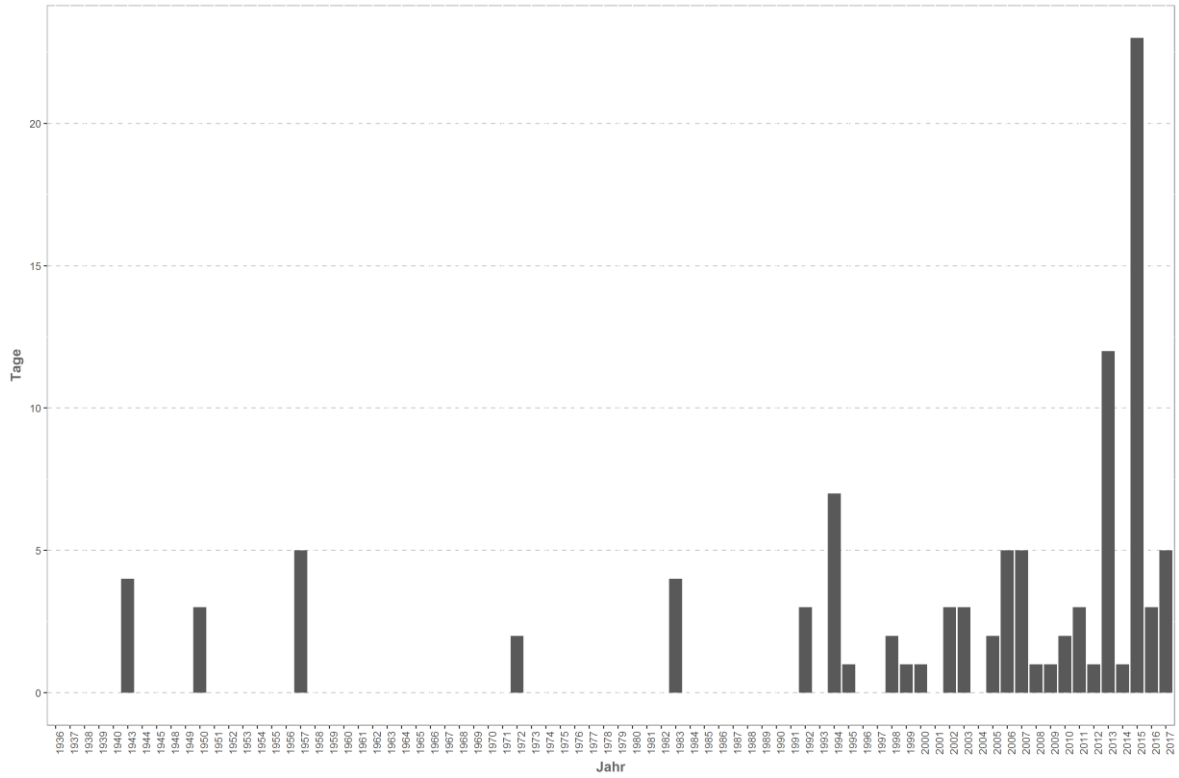
Monatsmittelwert

Große Rodl - Rottenegg



Temperaturüberschreitungen

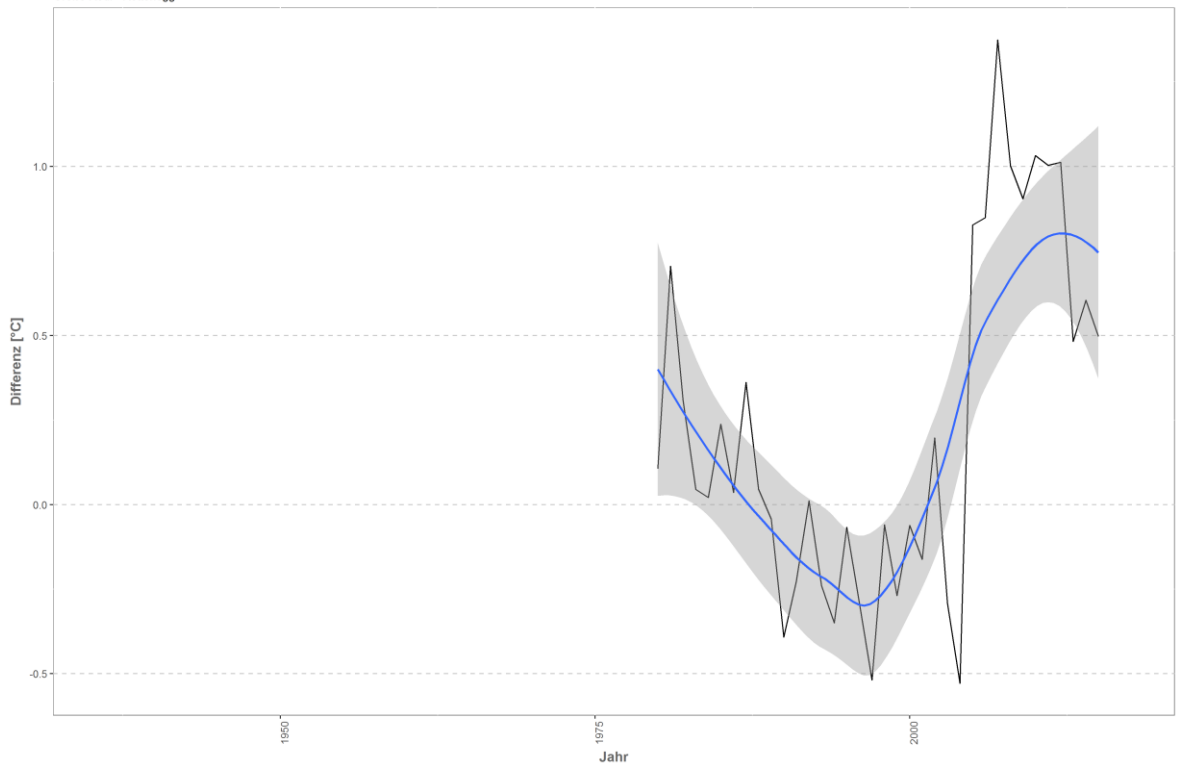
der Grenze sehr gut - gut
Große Rodl - Rottenegg



Differenzplot

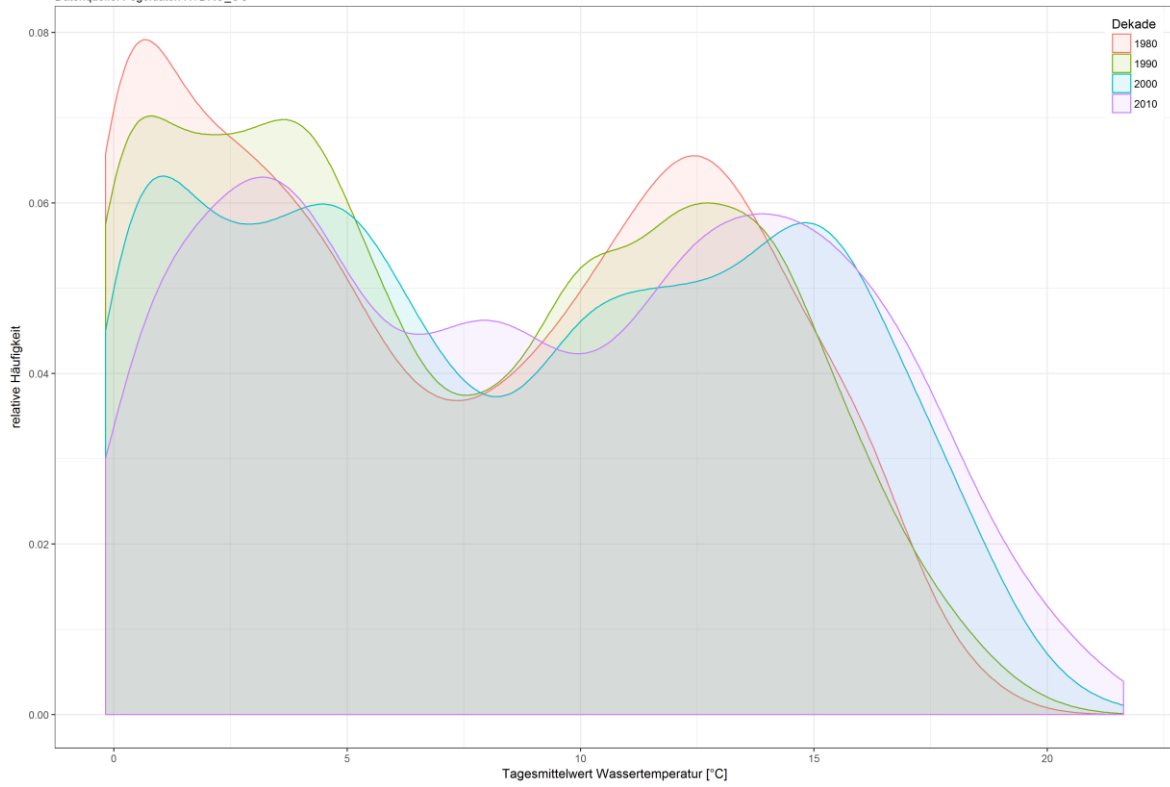
tatsächlich gemessene Wassertemperatur zu Schätzwert der linearen Regression

Große Rodl - Rottenegg



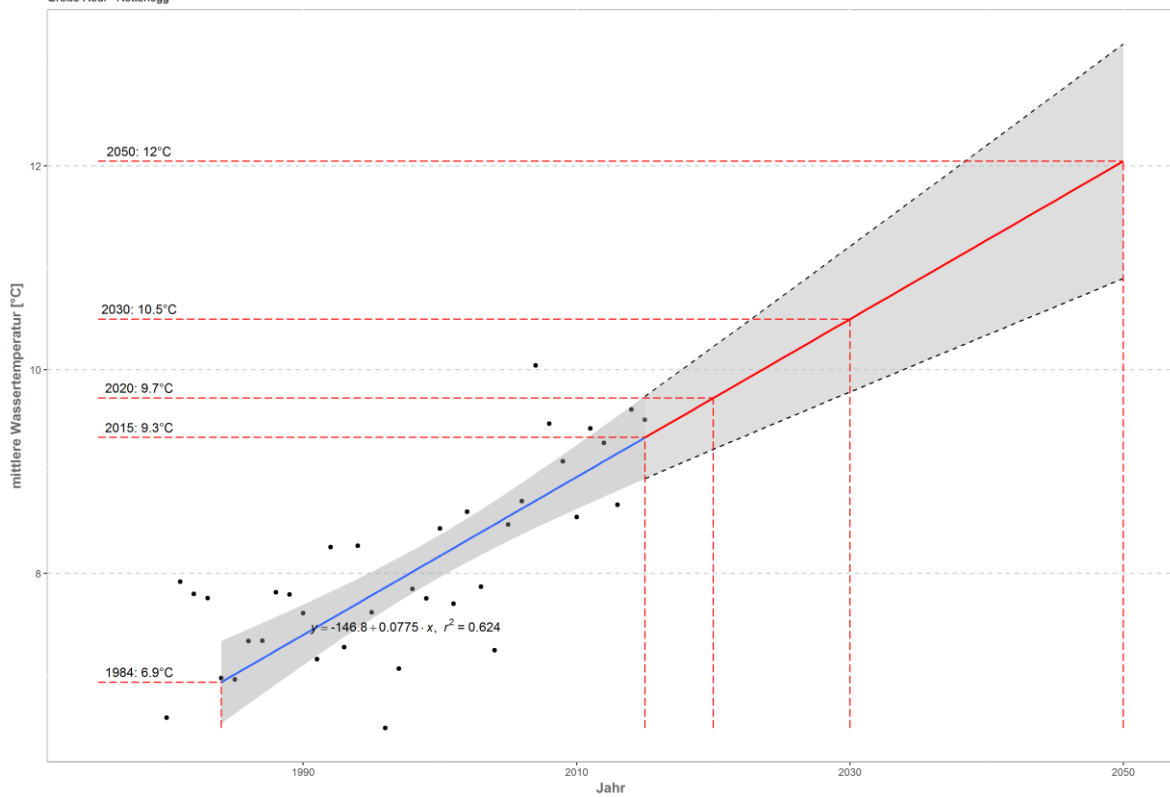
Häufigkeitsverteilung der Wassertemperaturen

Große Rodl - Rottenegg
Datenquelle: Pegeldaten HYDRO_OO

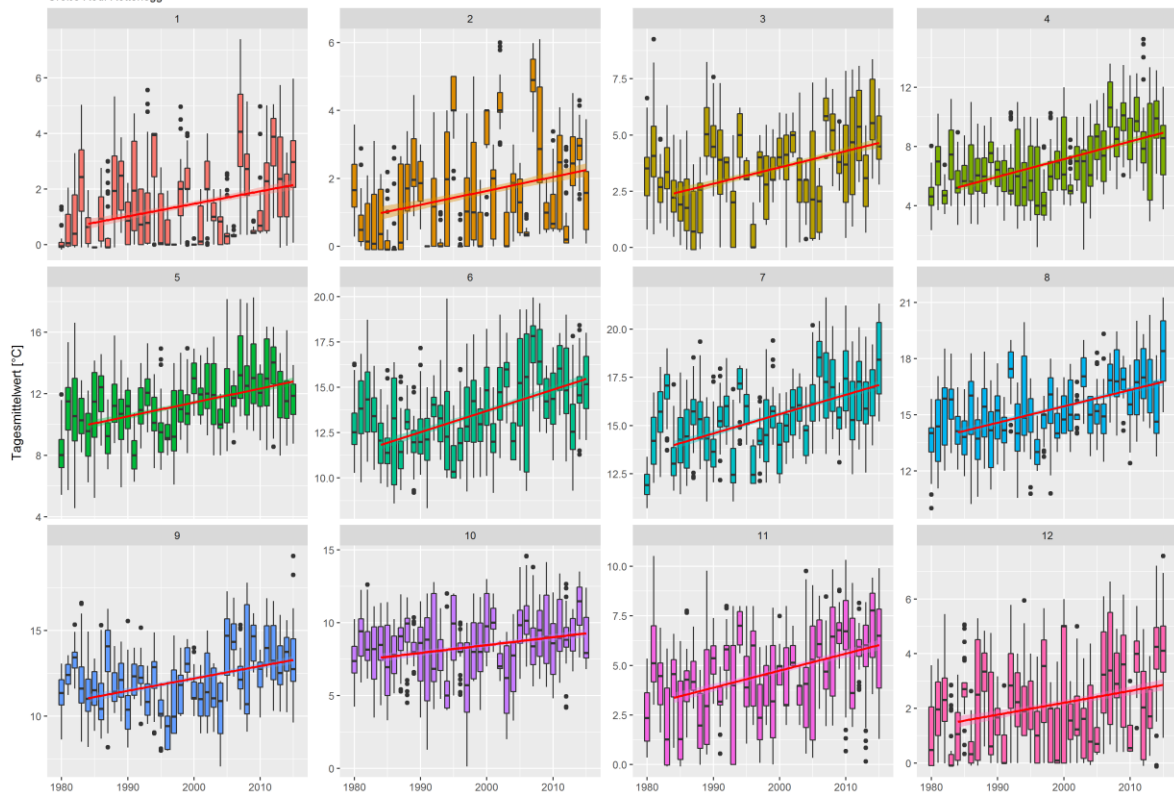


Prognose Wassertemperatur

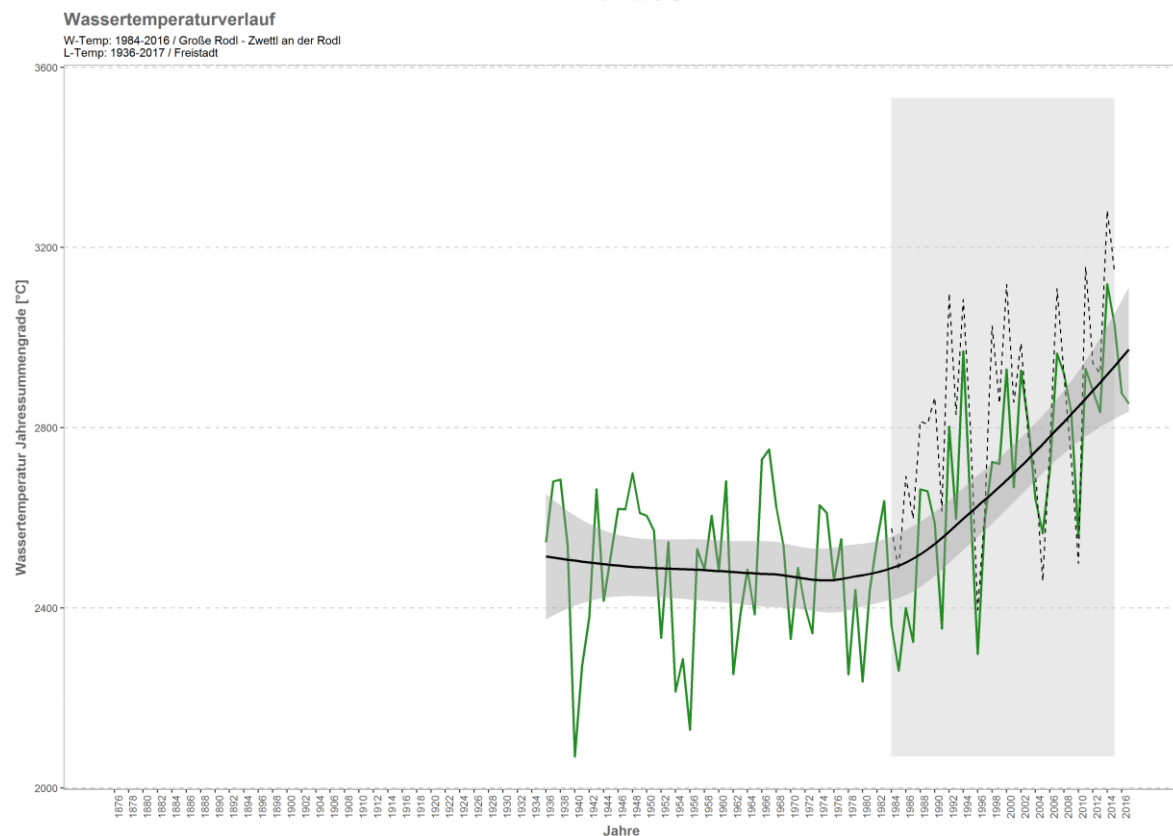
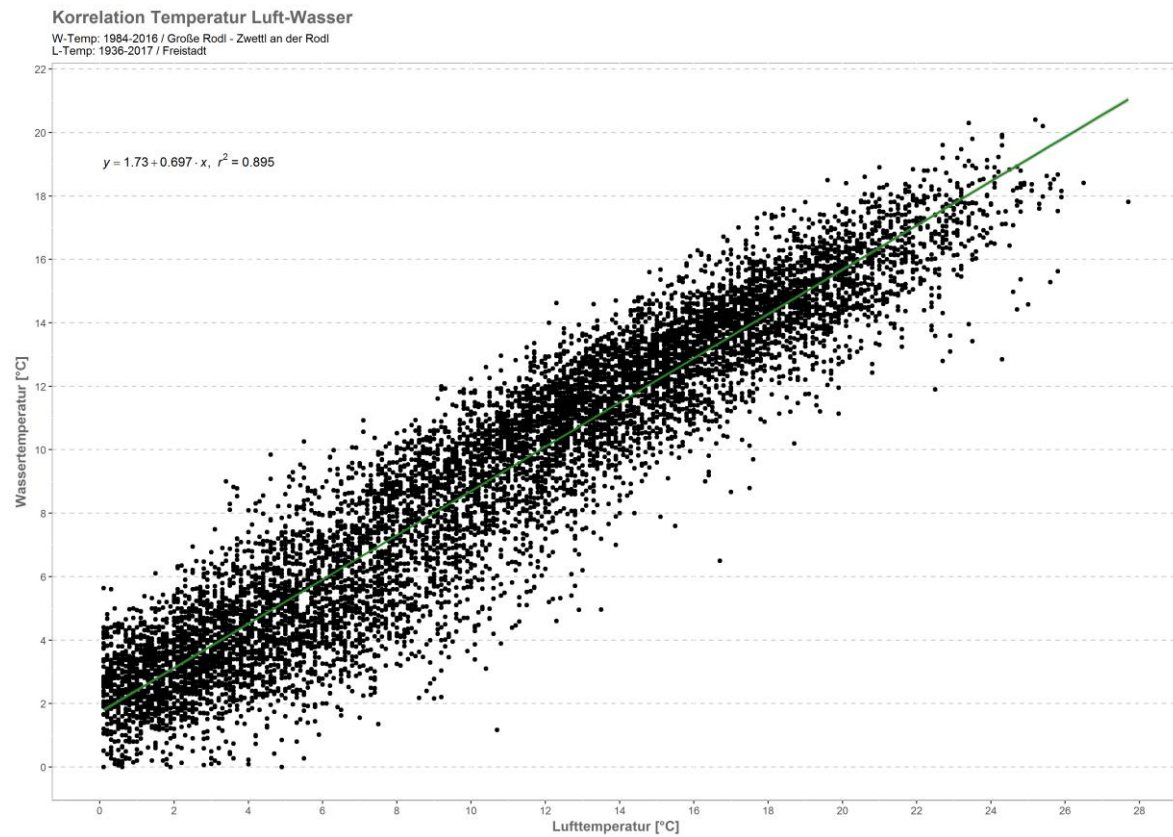
Große Rodl - Rottenegg



Monatsansicht der Tagesmittelwerte im Jahresverlauf
Große Rodl Rottenegg

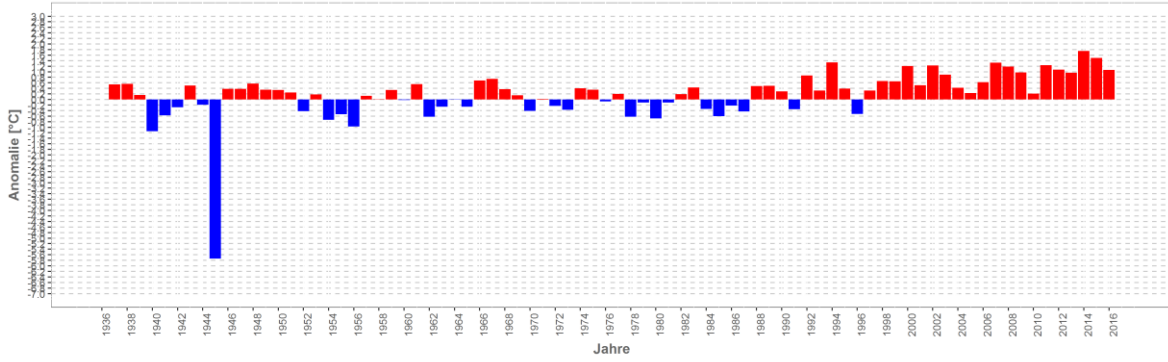


Große Rodl – Zwettl an der Rodl

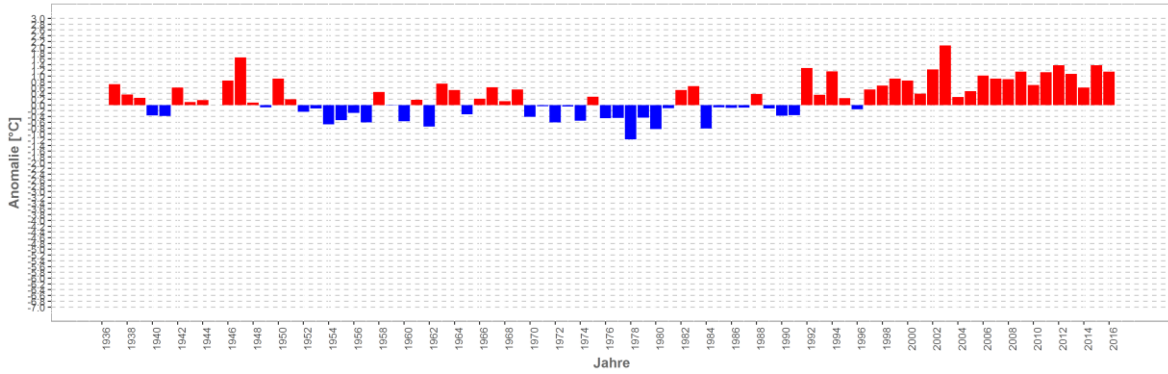


Wassertemperatur-Anomalie

Große Rodl - Zwertl an der Rodl (1936-2017)
Referenz: 1961-1990

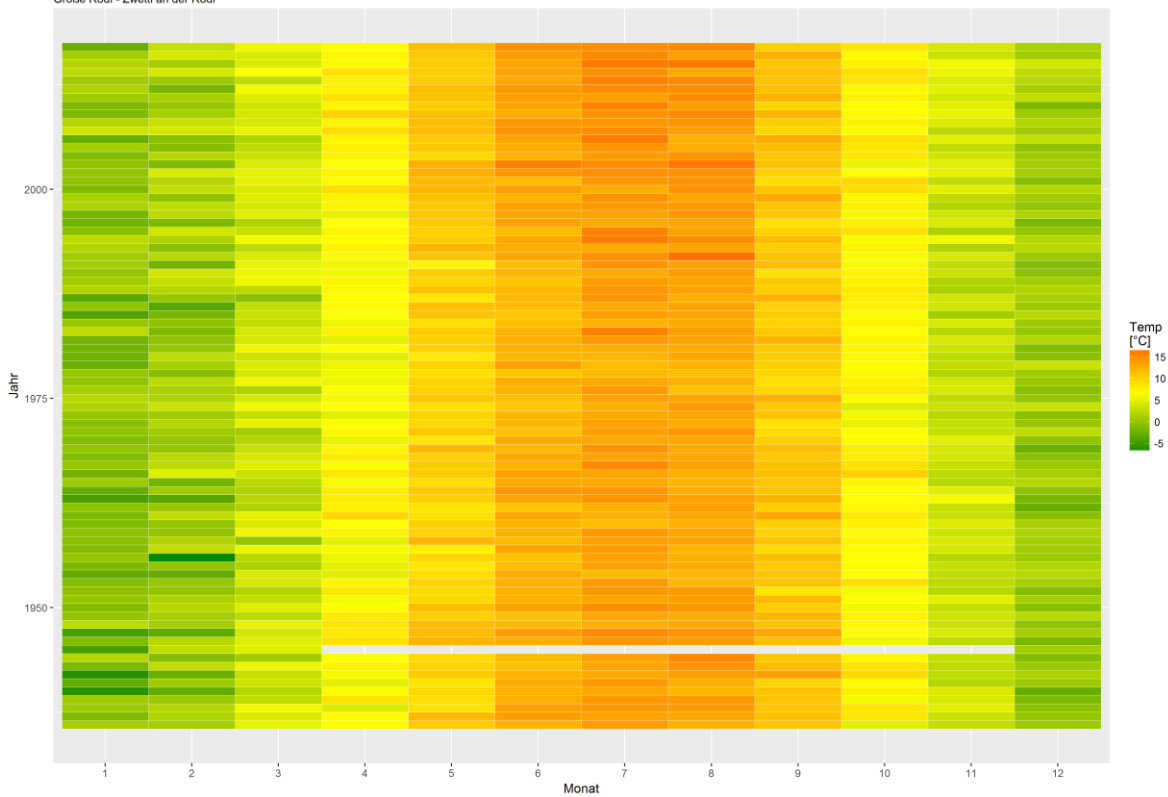


Sommermonate (Mai-Sept)



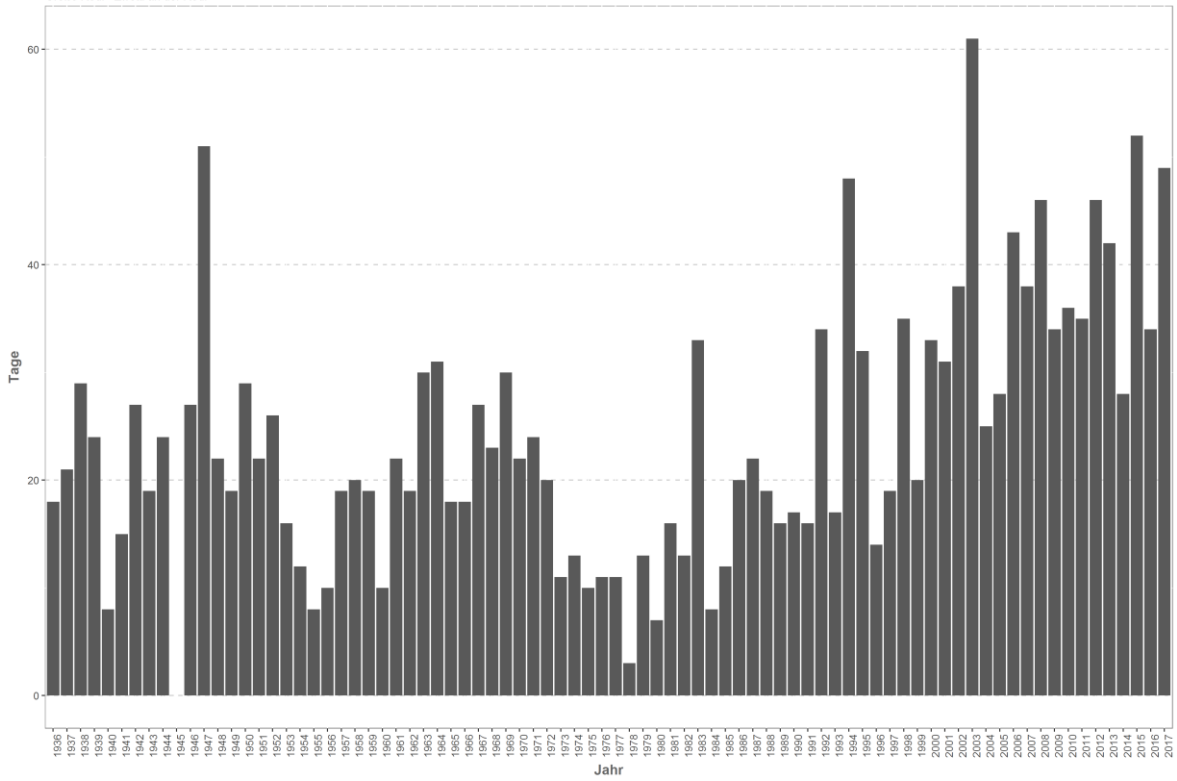
Monatsmittelwert

Große Rodl - Zwertl an der Rodl



Temperaturüberschreitungen

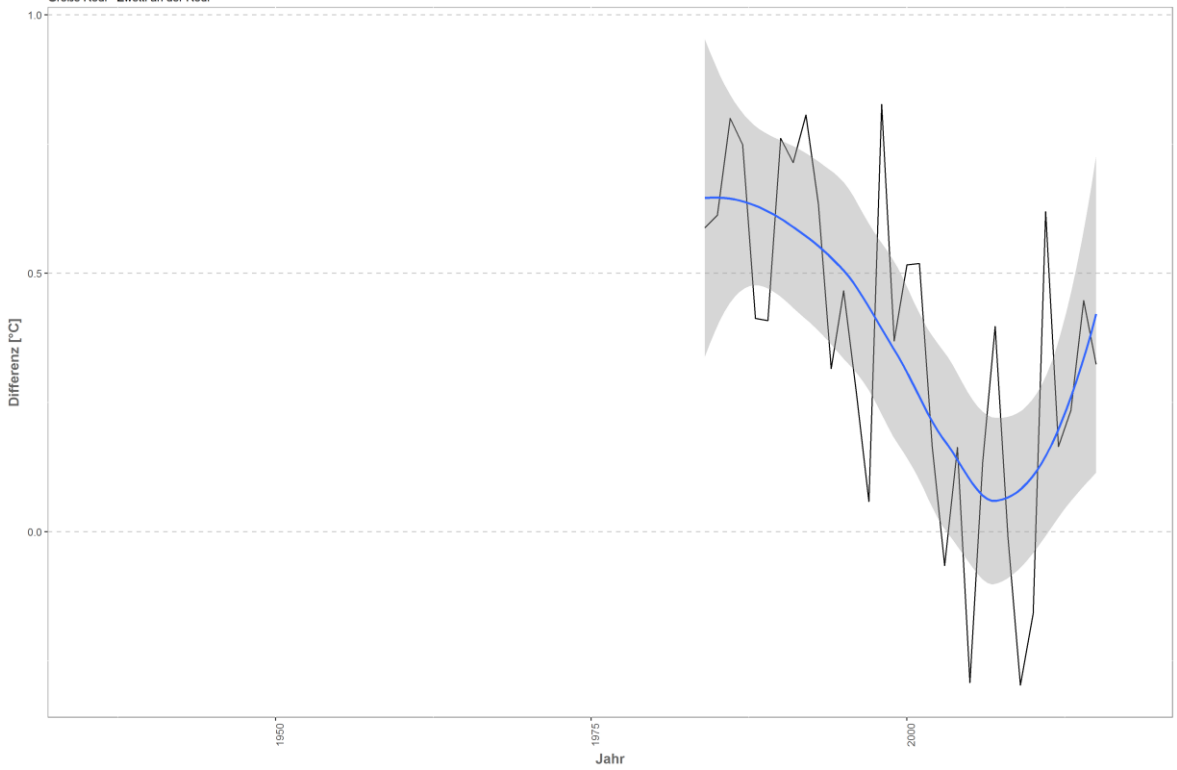
der Grenze sehr gut - gut
Große Rodl - Zwetli an der Rodl



Differenzplot

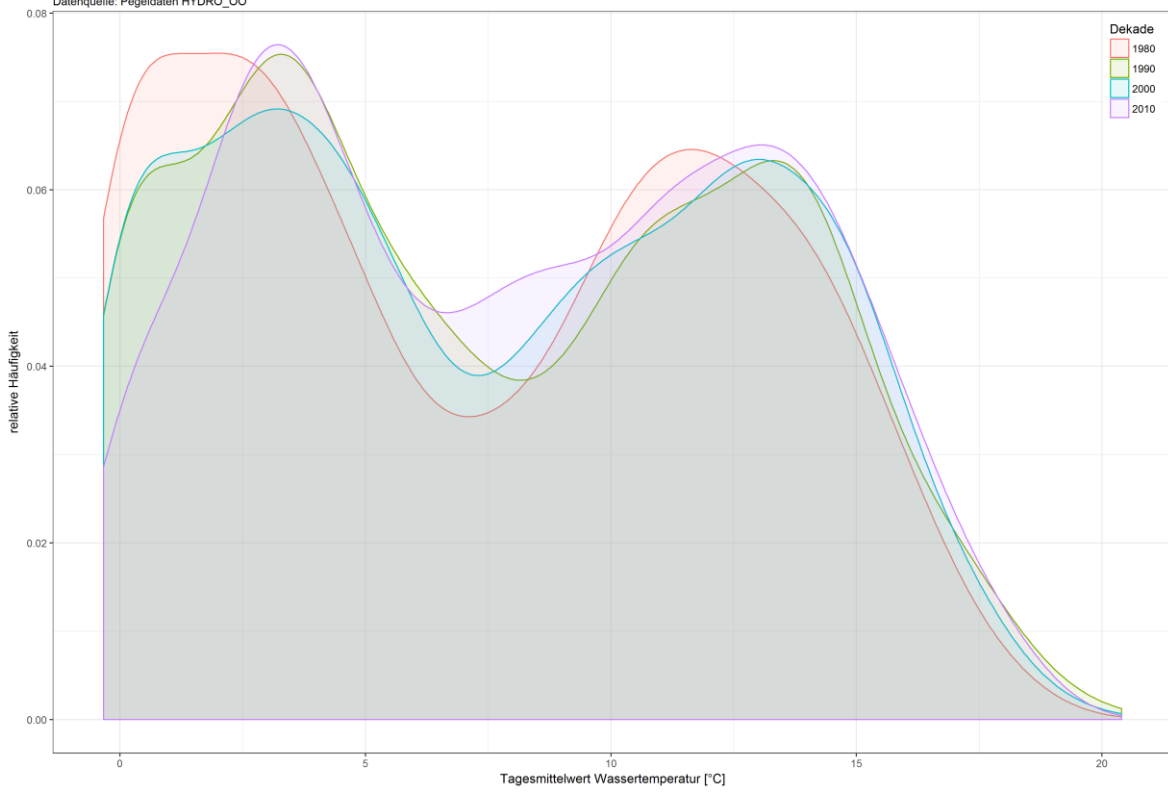
tatsächlich gemessene Wassertemperatur zu Schätzwert der linearen Regression

Große Rodl - Zwetli an der Rodl



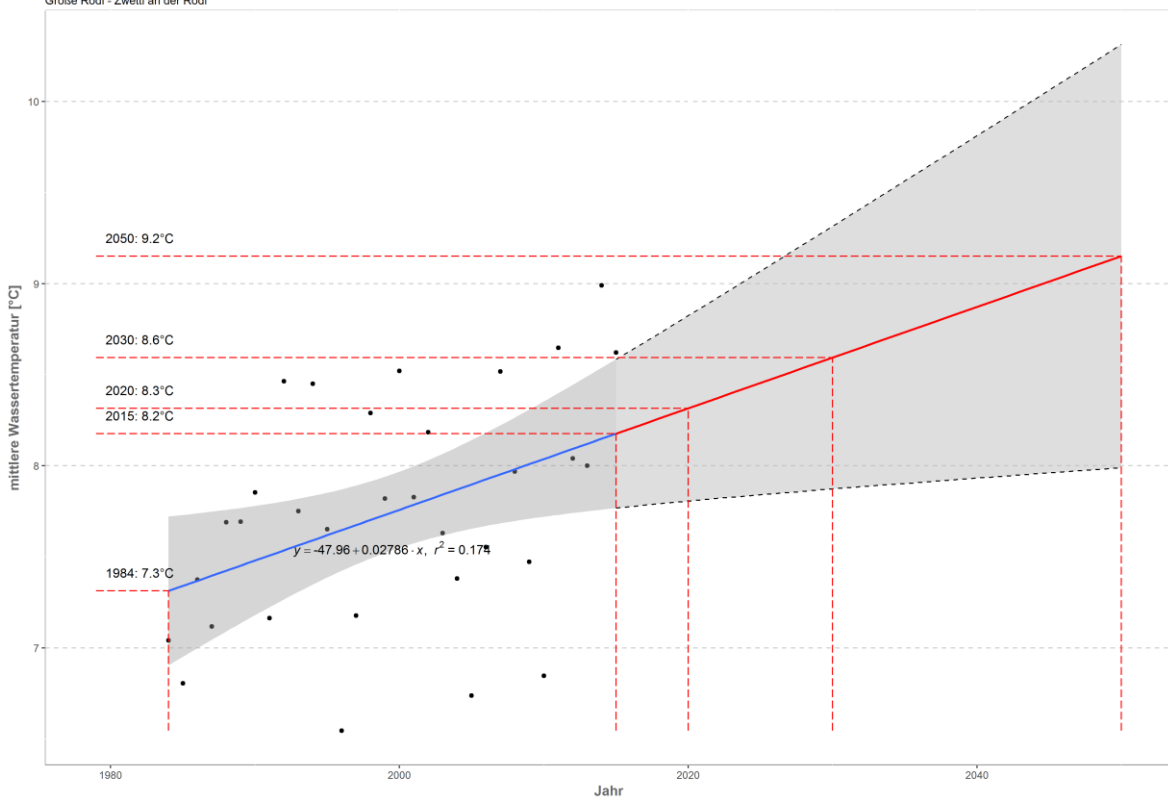
Häufigkeitsverteilung der Wassertemperaturen

Große Rodl - Zwetzl an der Rodl
Datenquelle: Pegeldaten HYDRO_OO



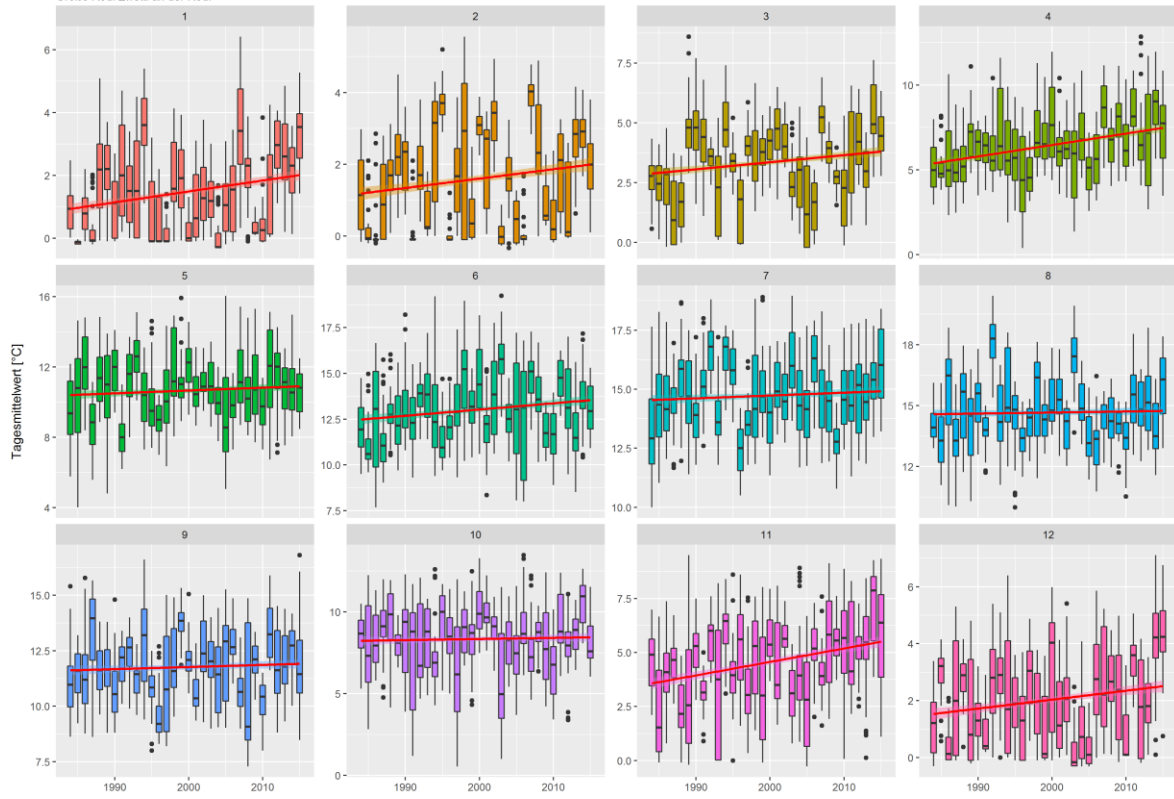
Prognose Wassertemperatur

Große Rodl - Zwetzl an der Rodl

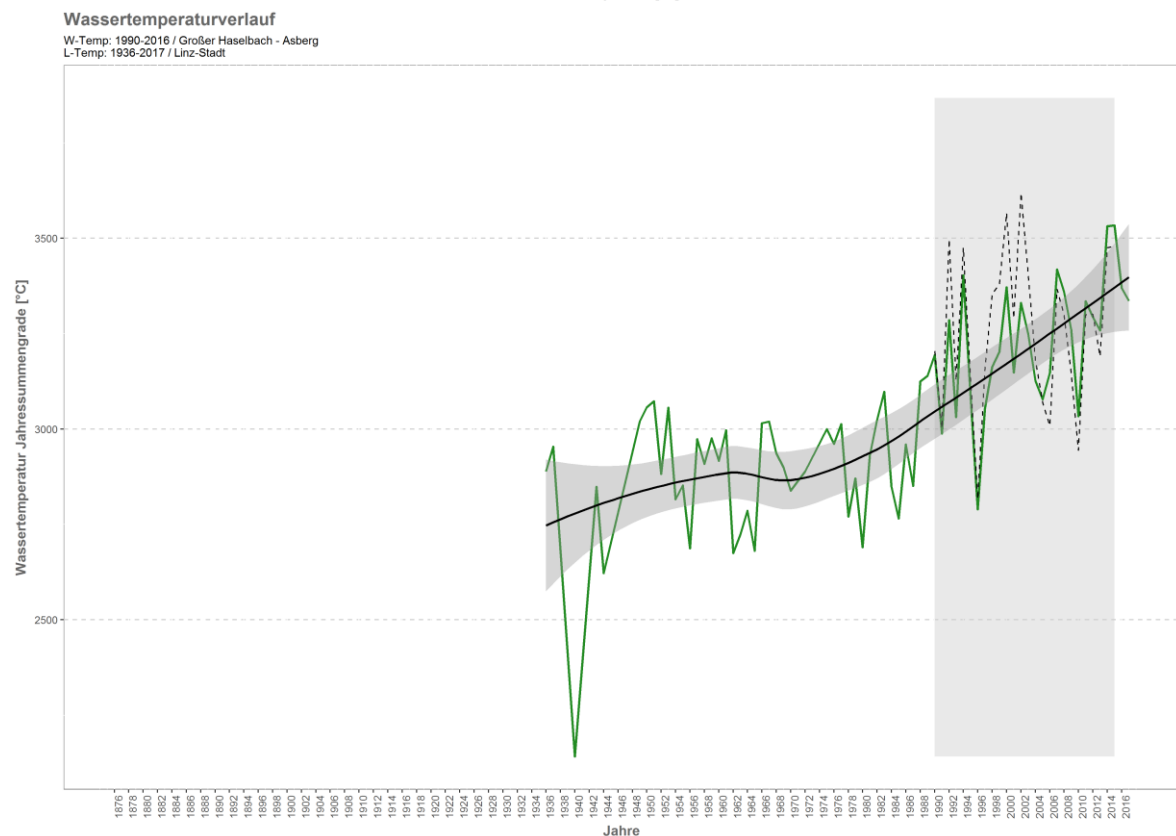
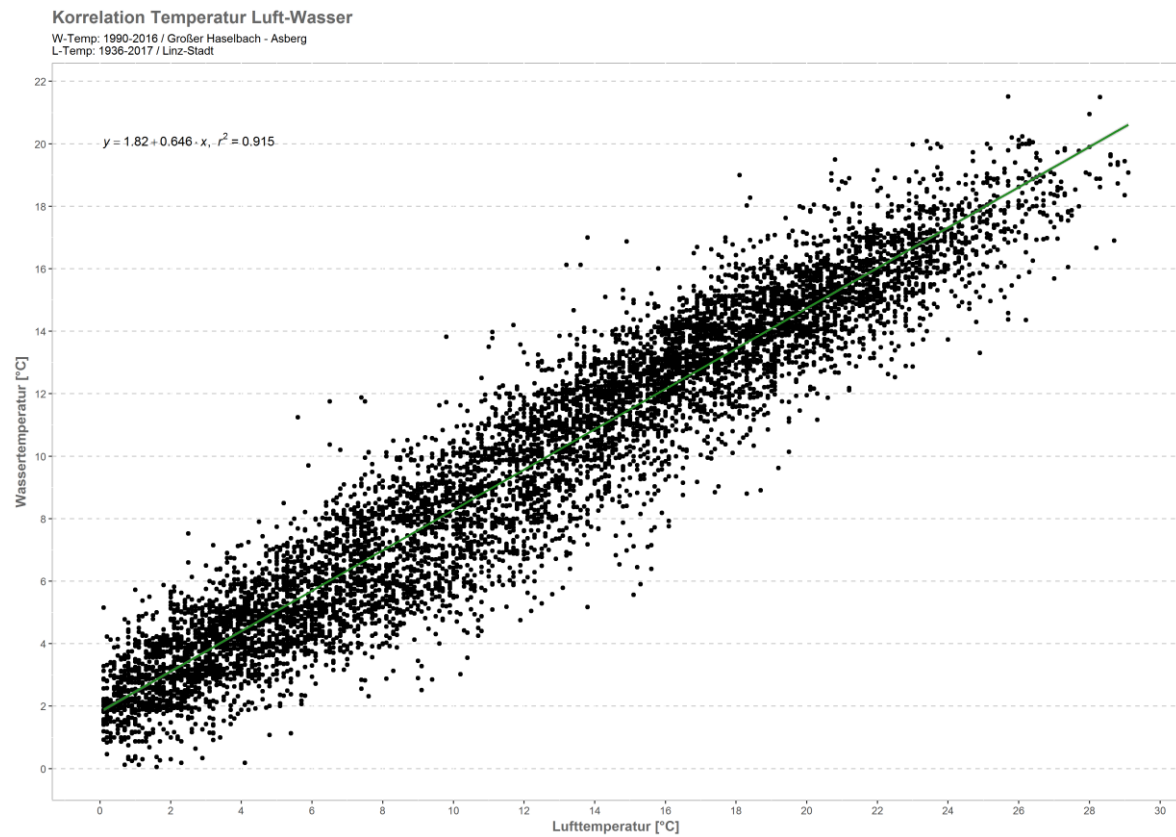


Monatsansicht der Tagesmittelwerte im Jahresverlauf

Große Rodl Zwetzl an der Rodl

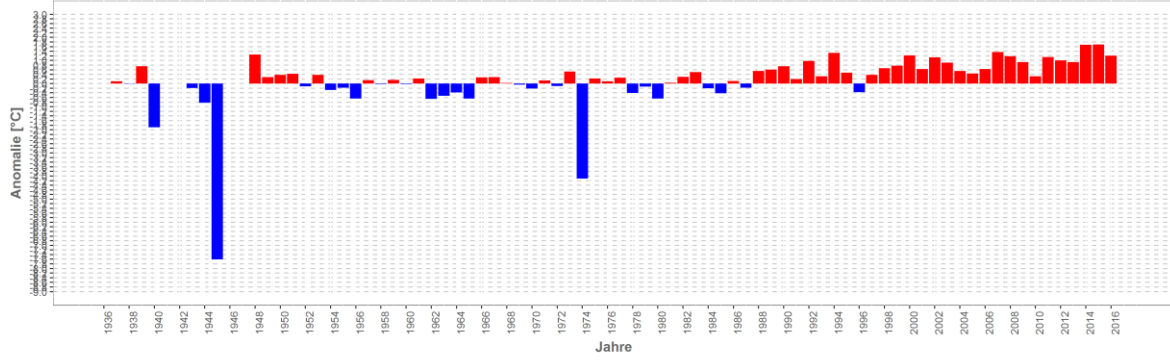


Großer Haselbach – Asberg

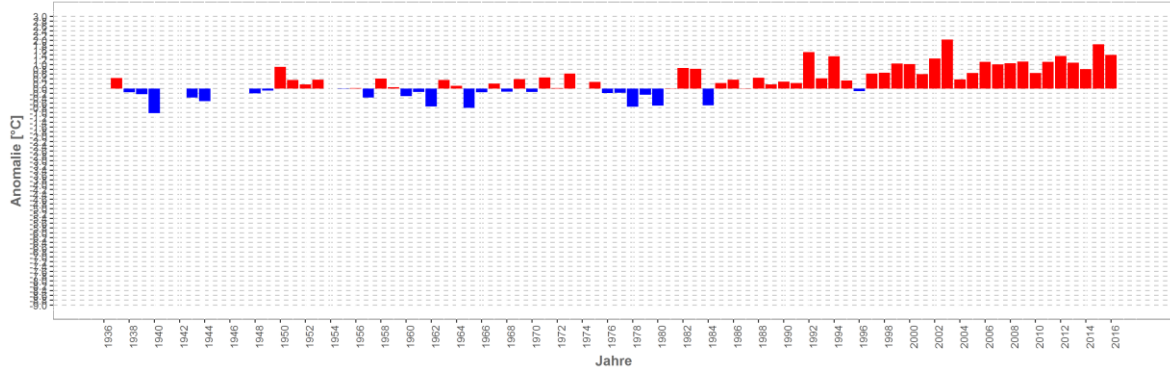


Wassertemperatur-Anomalie

Großer Haselbach - Asberg (1936-2017)
Referenz: 1961-1990

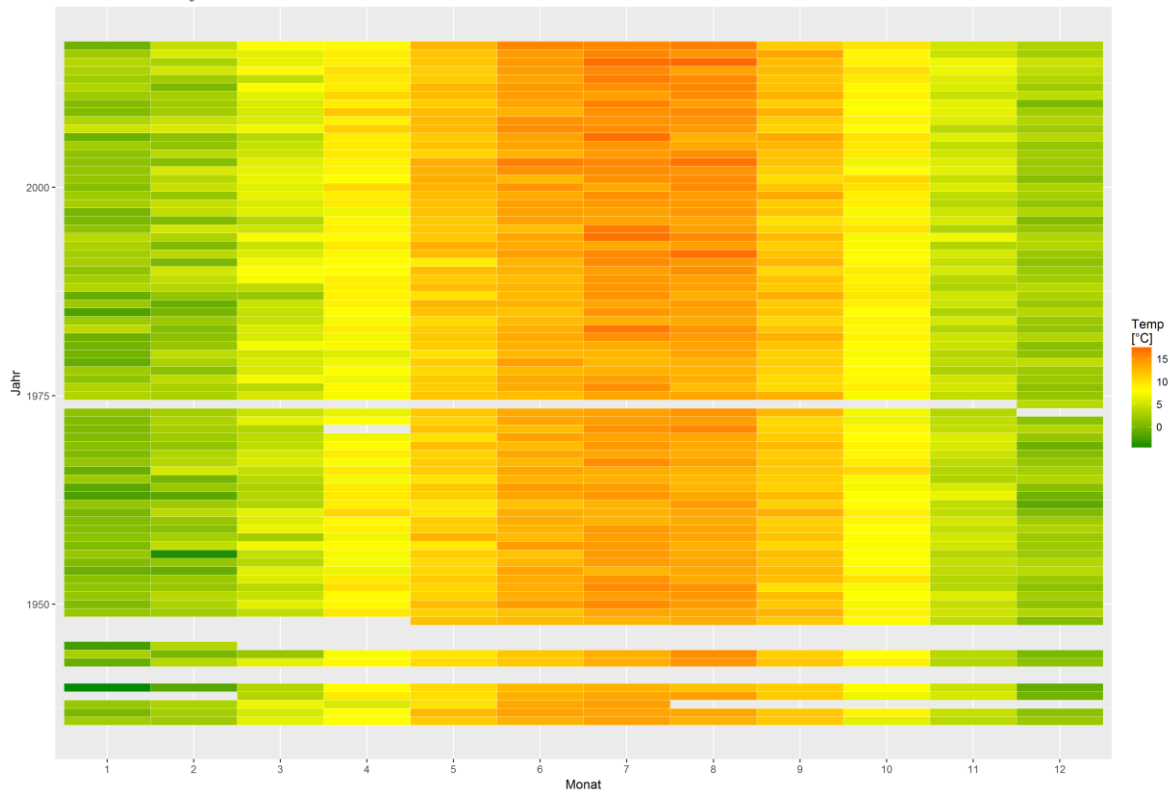


Sommermonate (Mai-Sept)



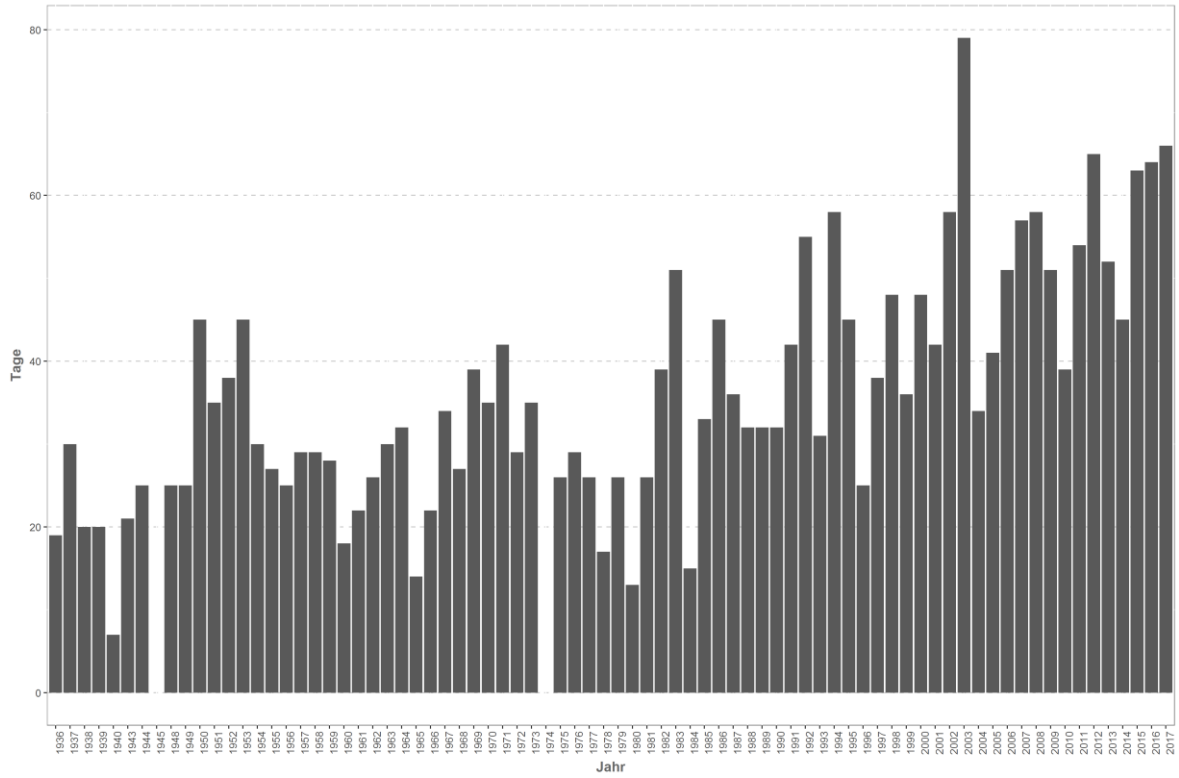
Monatsmittelwert

Großer Haselbach - Asberg



Temperaturüberschreitungen

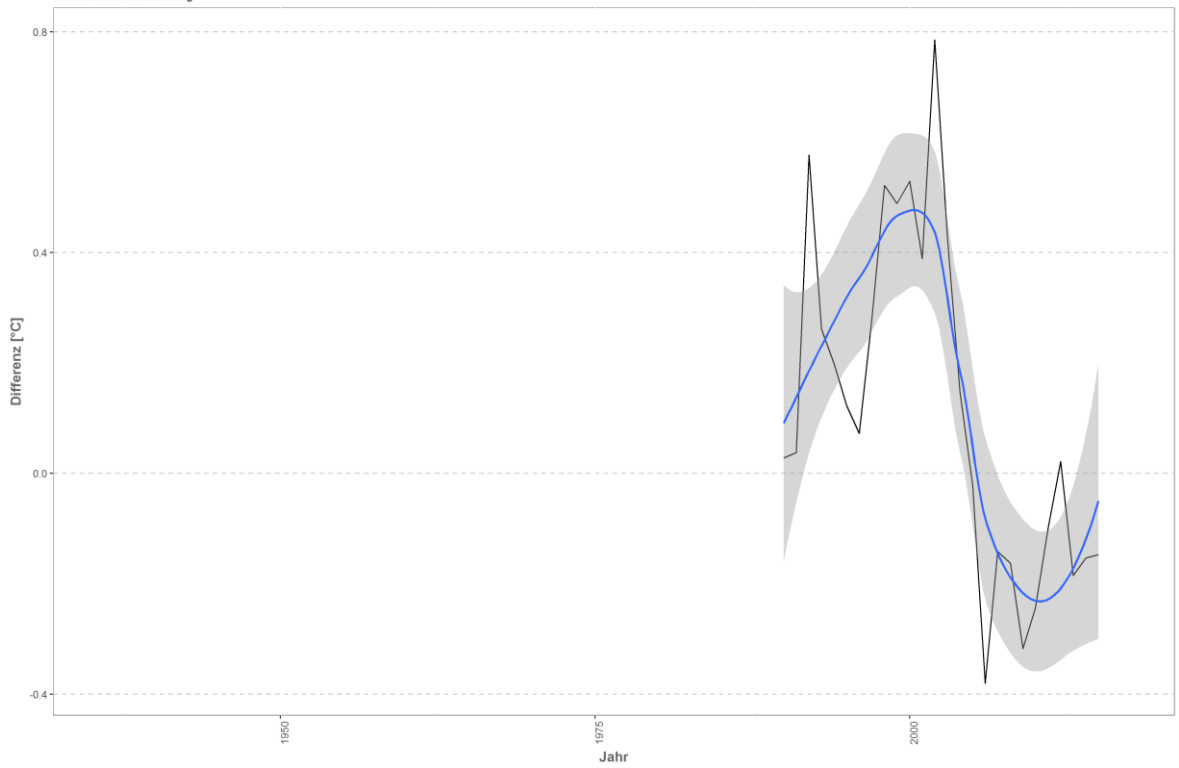
der Grenze sehr gut - gut
Großer Haselbach - Asberg



Differenzplot

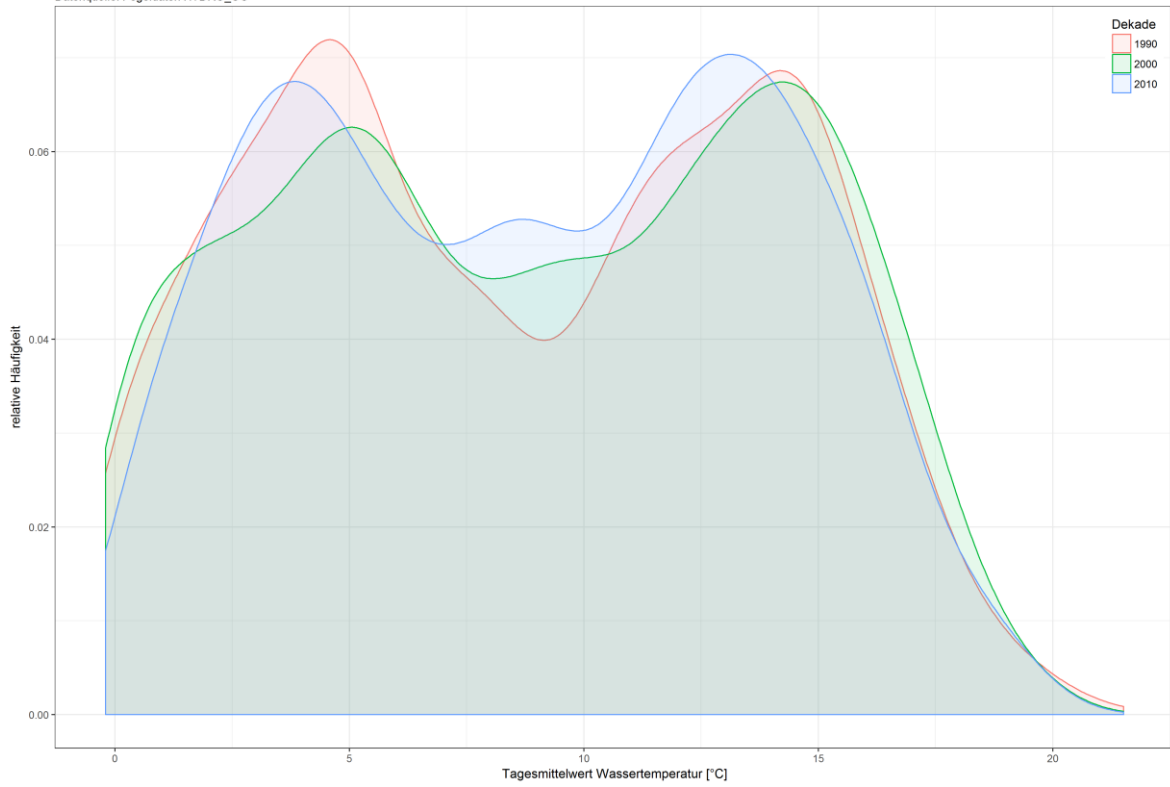
tatsächlich gemessene Wassertemperatur zu Schätzwert der linearen Regression

Großer Haselbach - Asberg



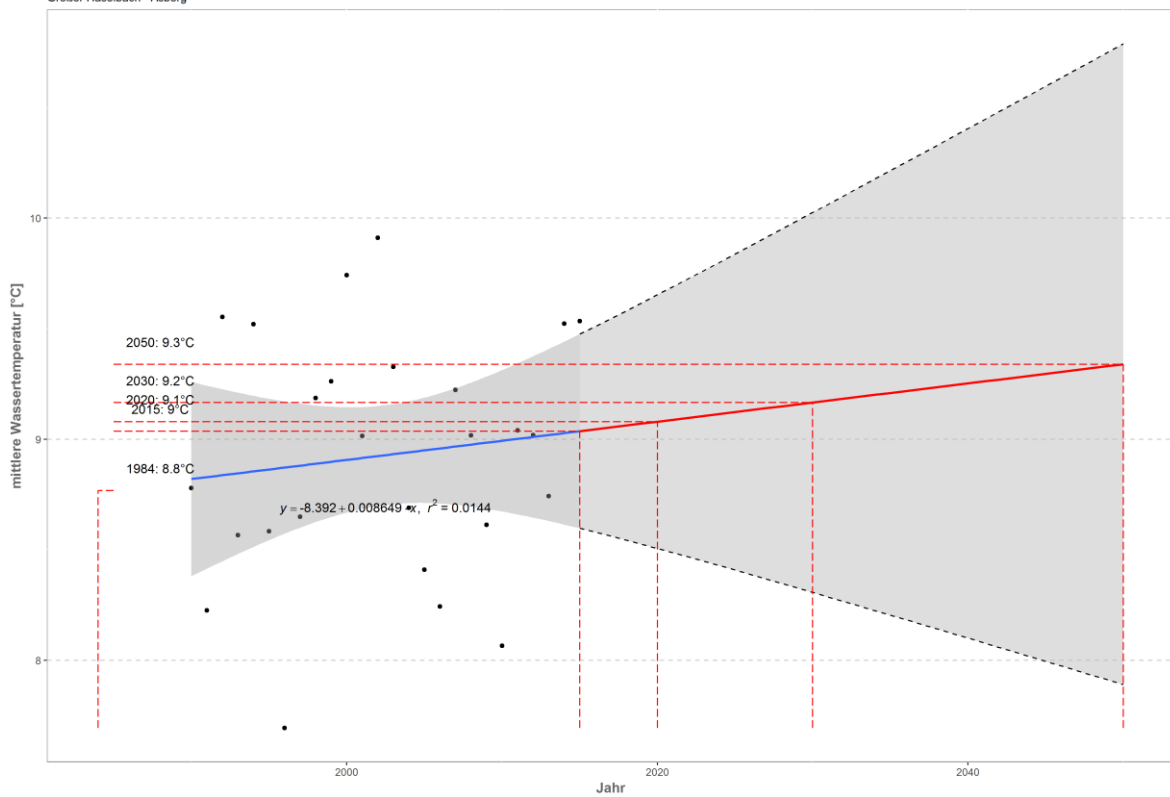
Häufigkeitsverteilung der Wassertemperaturen

Großer Haselbach - Asberg
Datenquelle: Pegeldaten HYDRO_OO

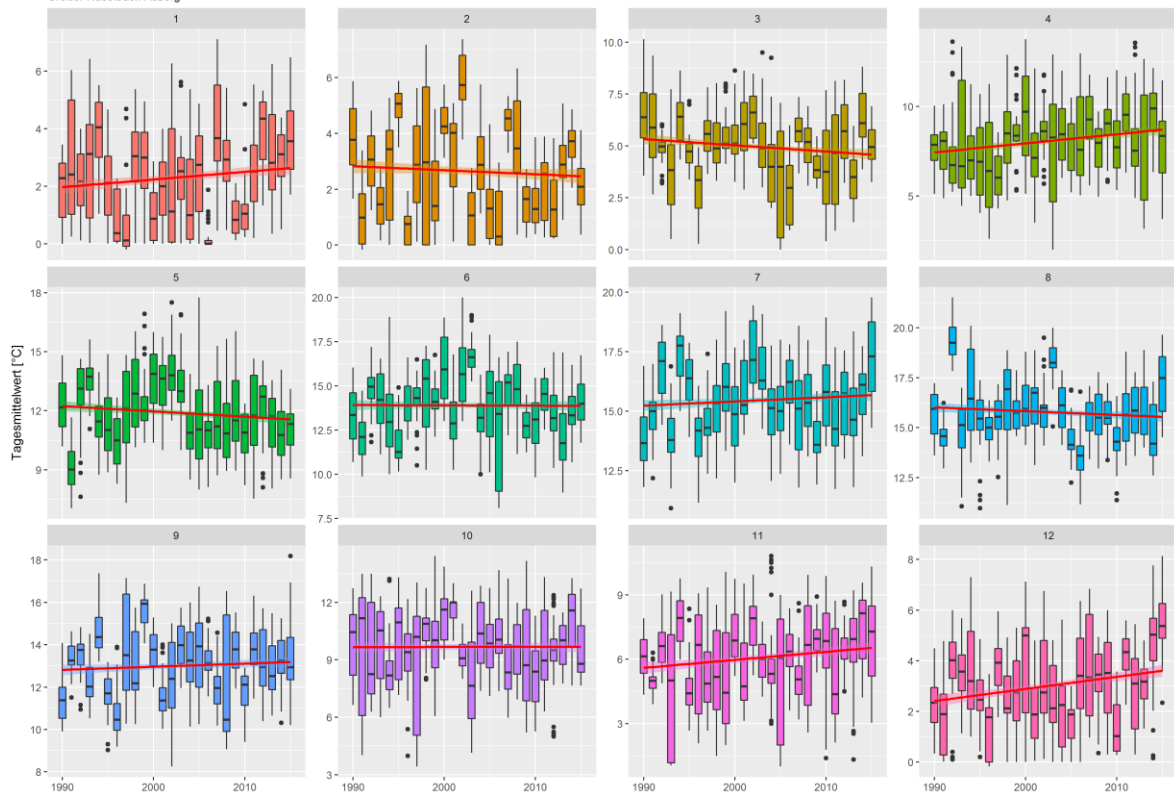


Prognose Wassertemperatur

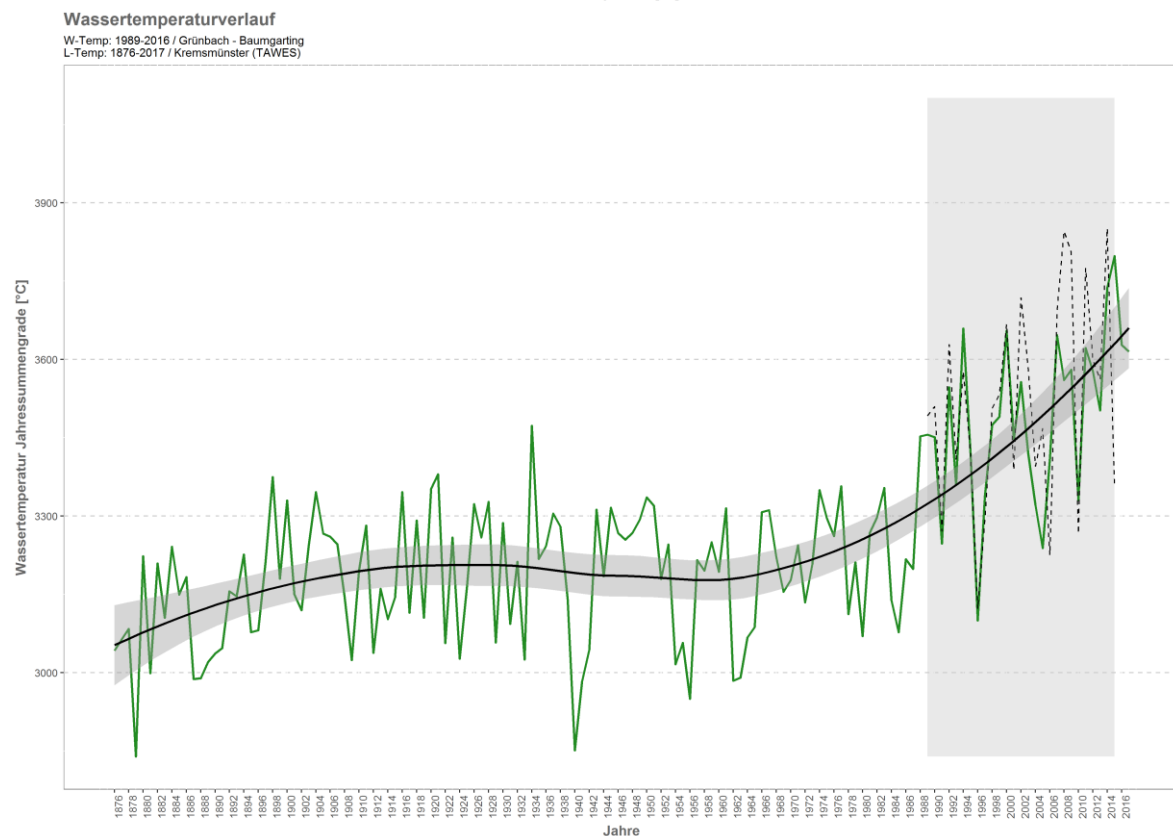
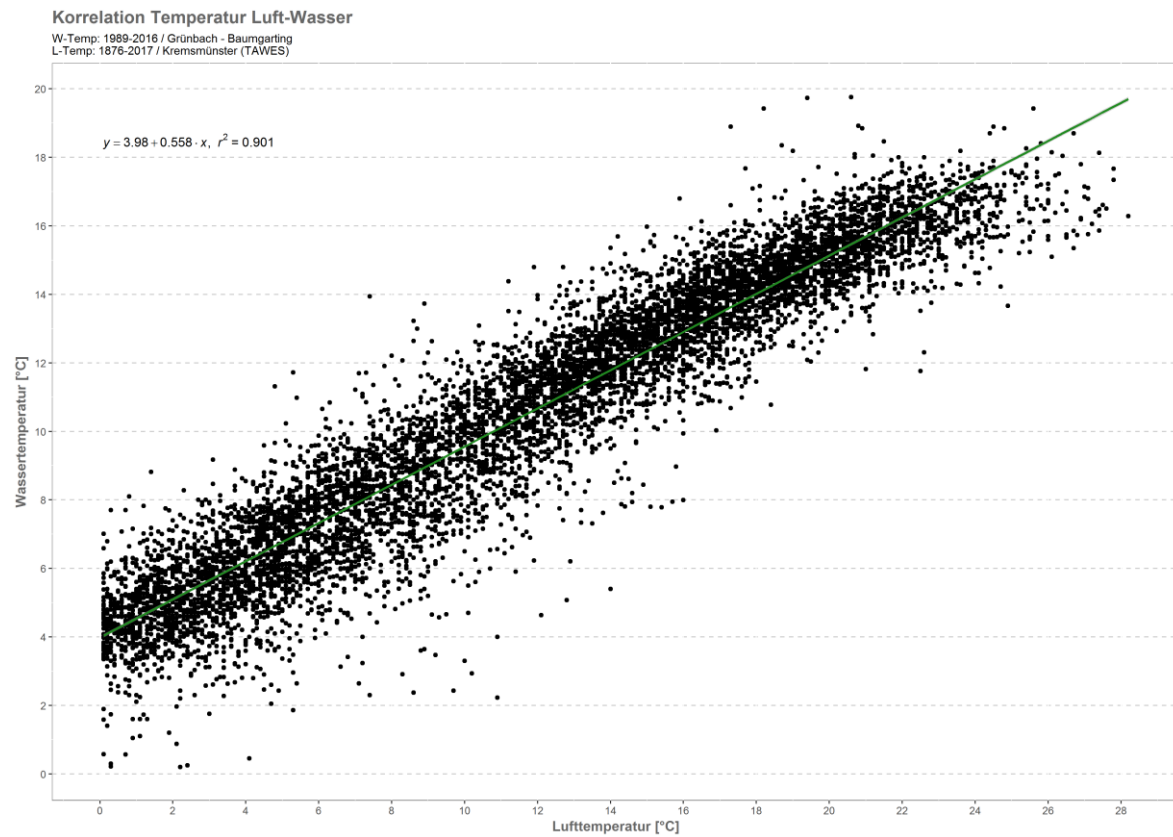
Großer Haselbach - Asberg



Monatsansicht der Tagesmittelwerte im Jahresverlauf
Großer Haselbach Asberg

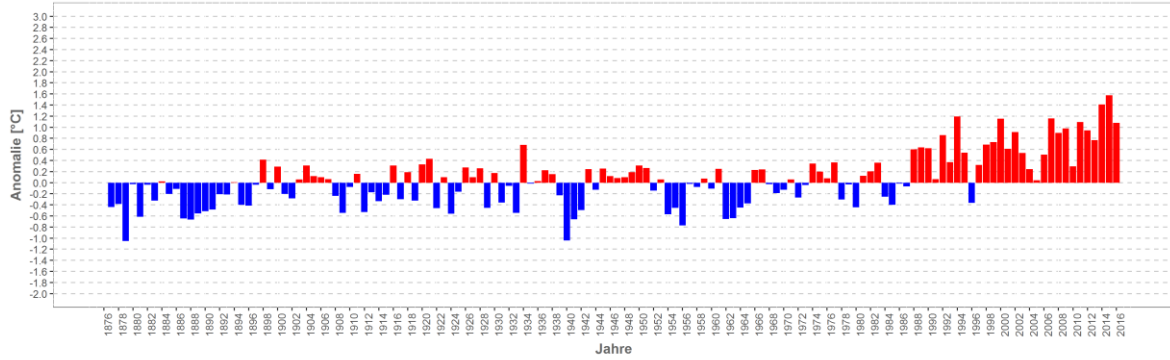


Grünbach – Baumgartering

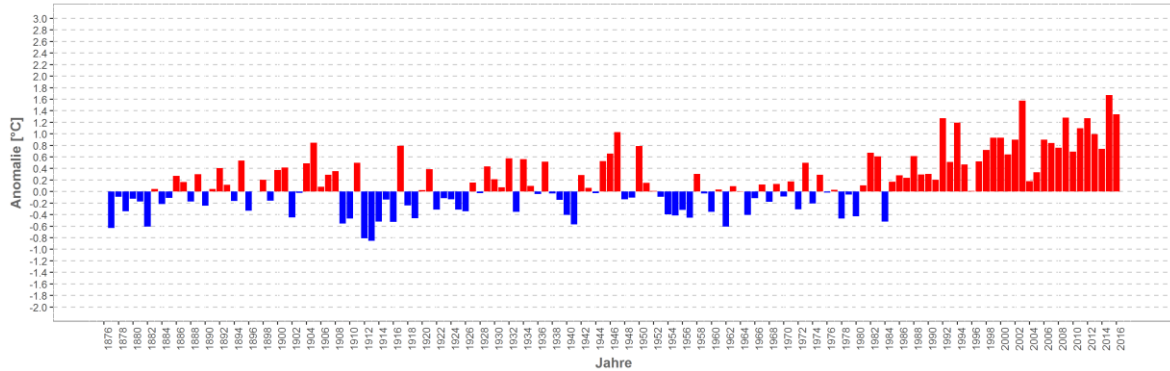


Wassertemperatur-Anomalie

Grünbach - Baumgärtling (1876-2017)
 Referenz: 1961-1990

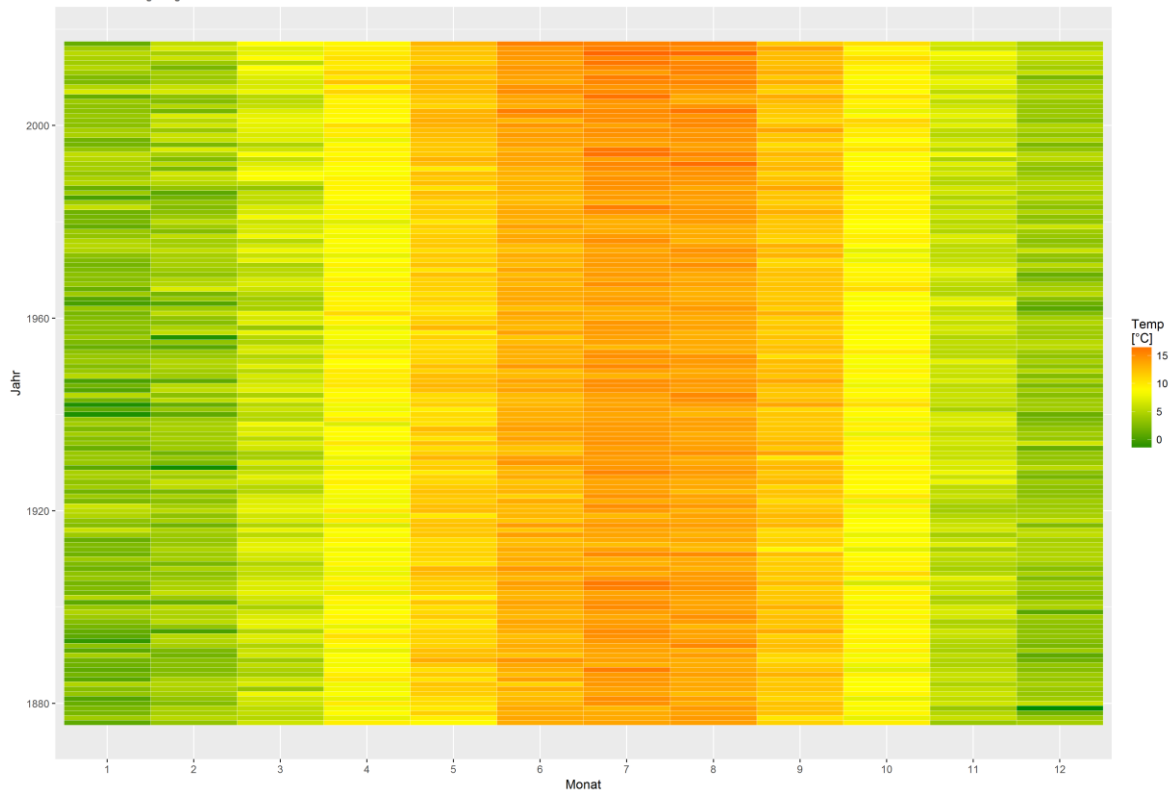


Sommermonate (Mai-Sept)



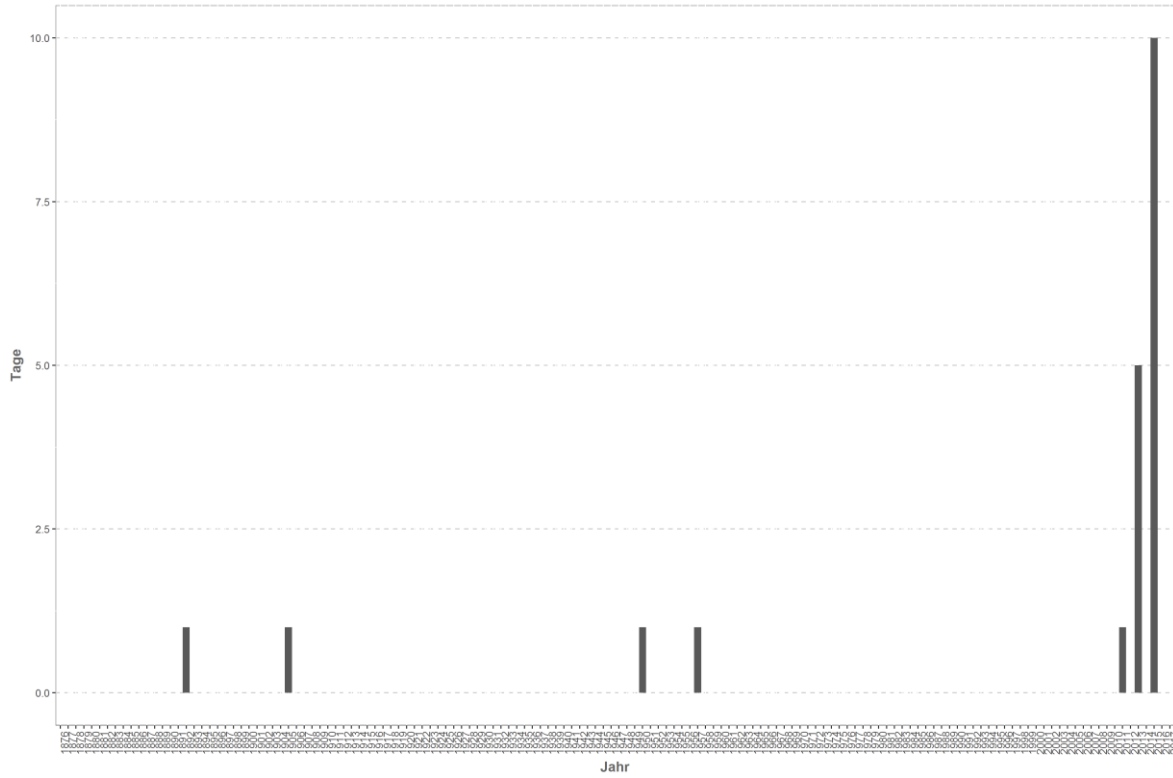
Monatsmittelwert

Grünbach - Baumgärtling



Temperaturüberschreitungen

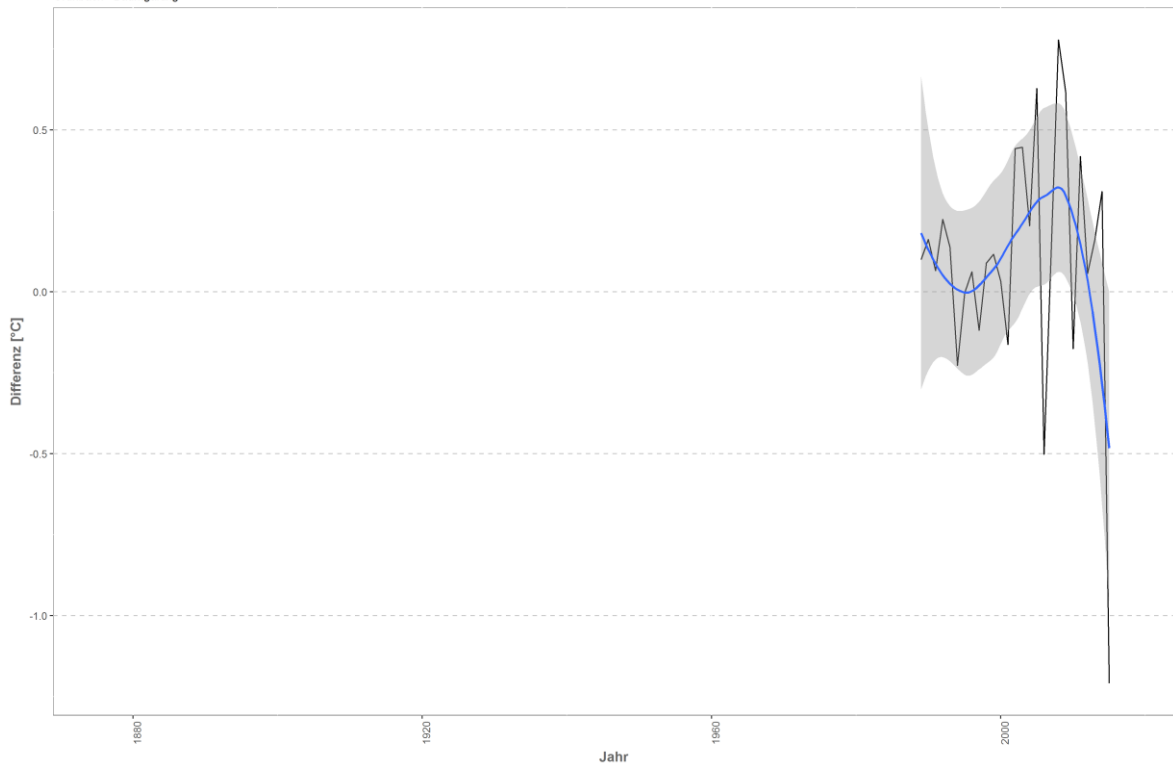
der Grenze sehr gut - gut
Grünbach - Baumgärtling



Differenzplot

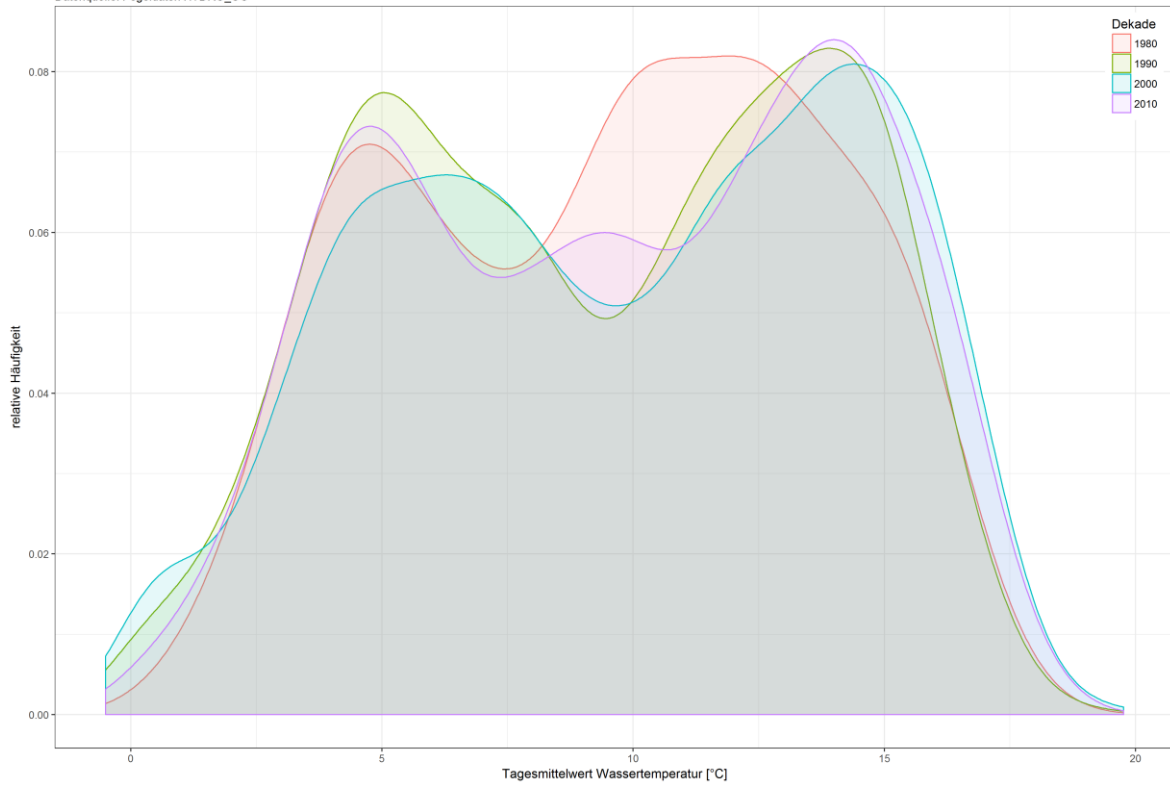
tatsächlich gemessene Wassertemperatur zu Schätzwert der linearen Regression

Grünbach - Baumgärtling



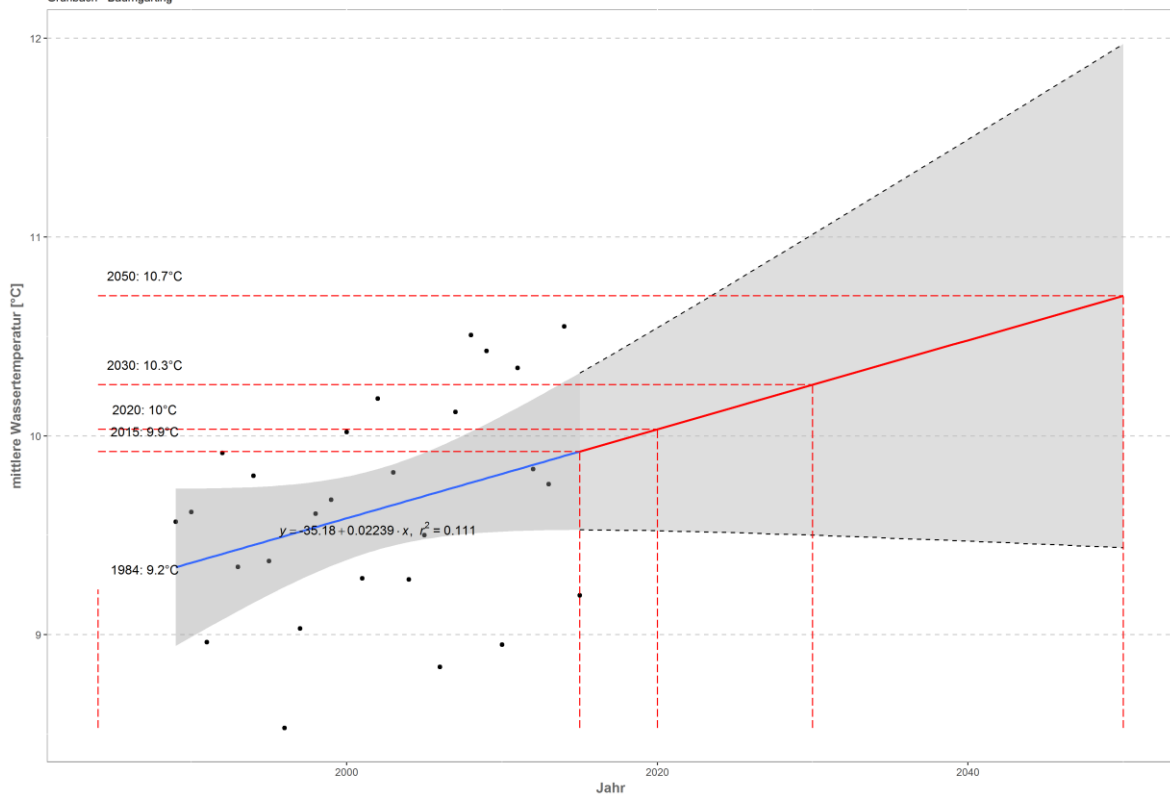
Häufigkeitsverteilung der Wassertemperaturen

Grünbach - Baumgarten
Datenquelle: Pegeldaten HYDRO_OO

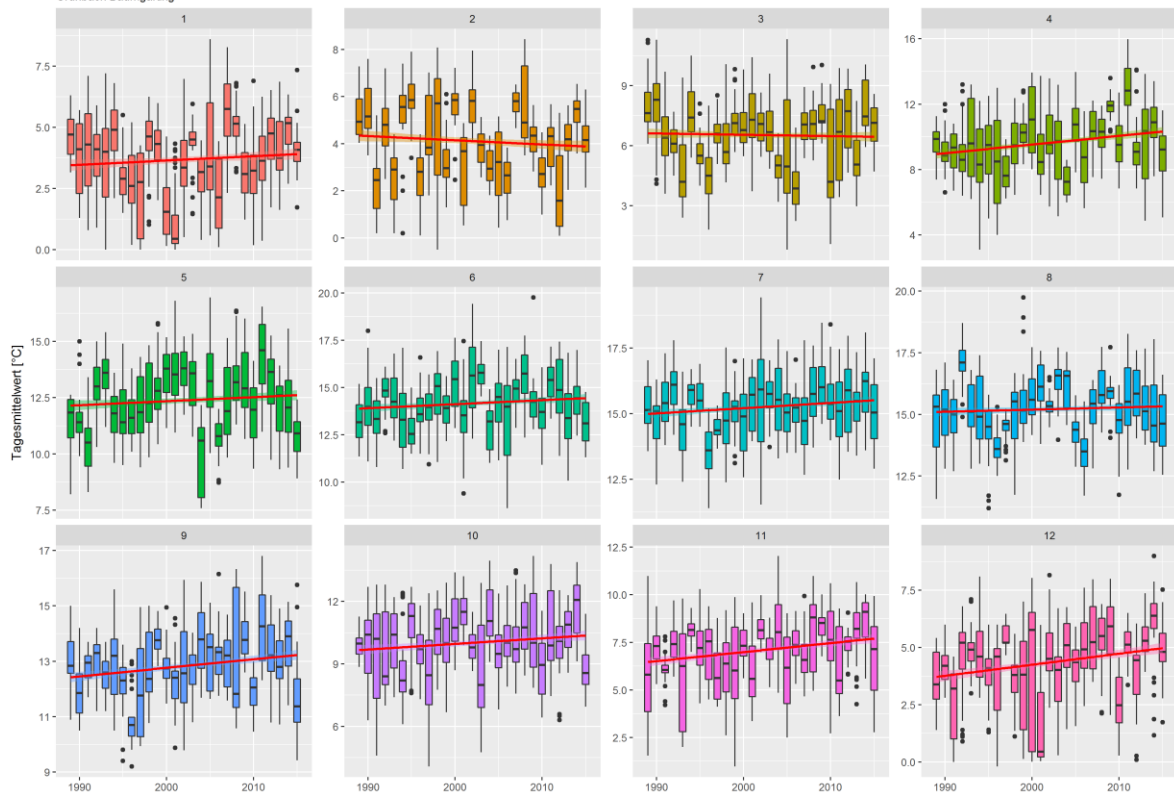


Prognose Wassertemperatur

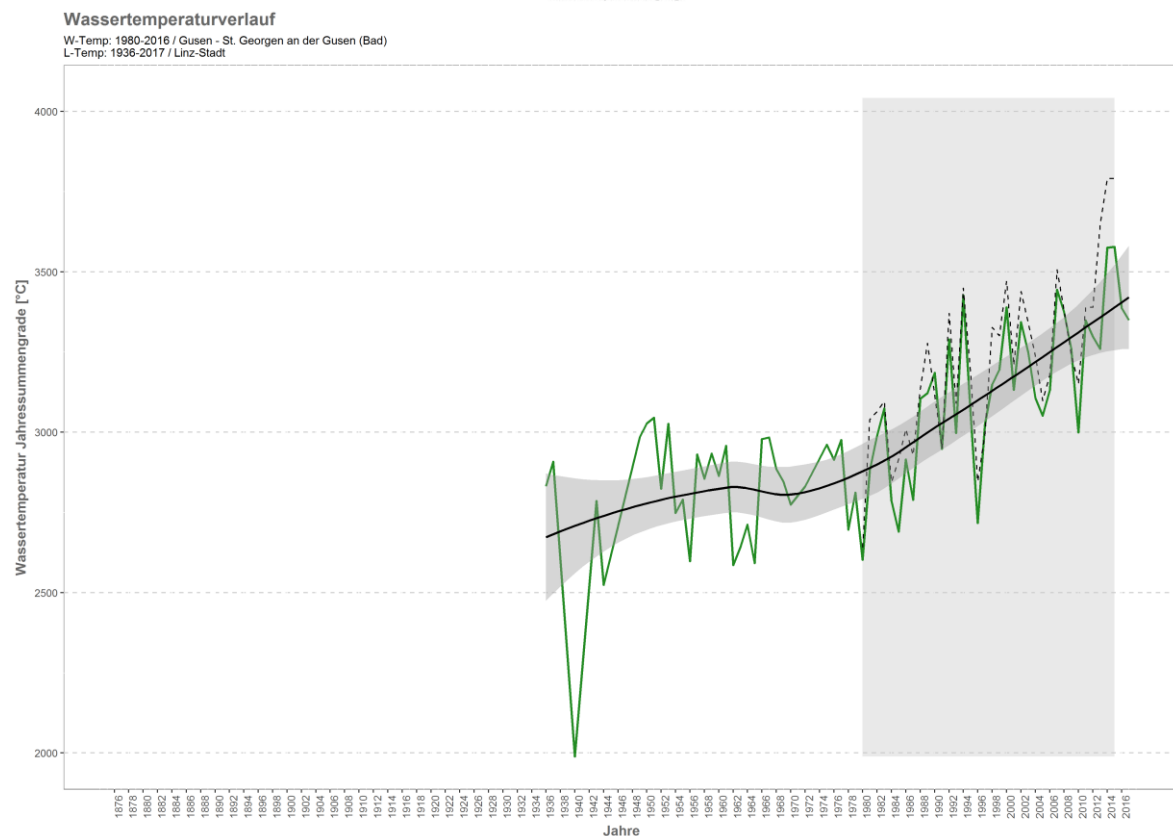
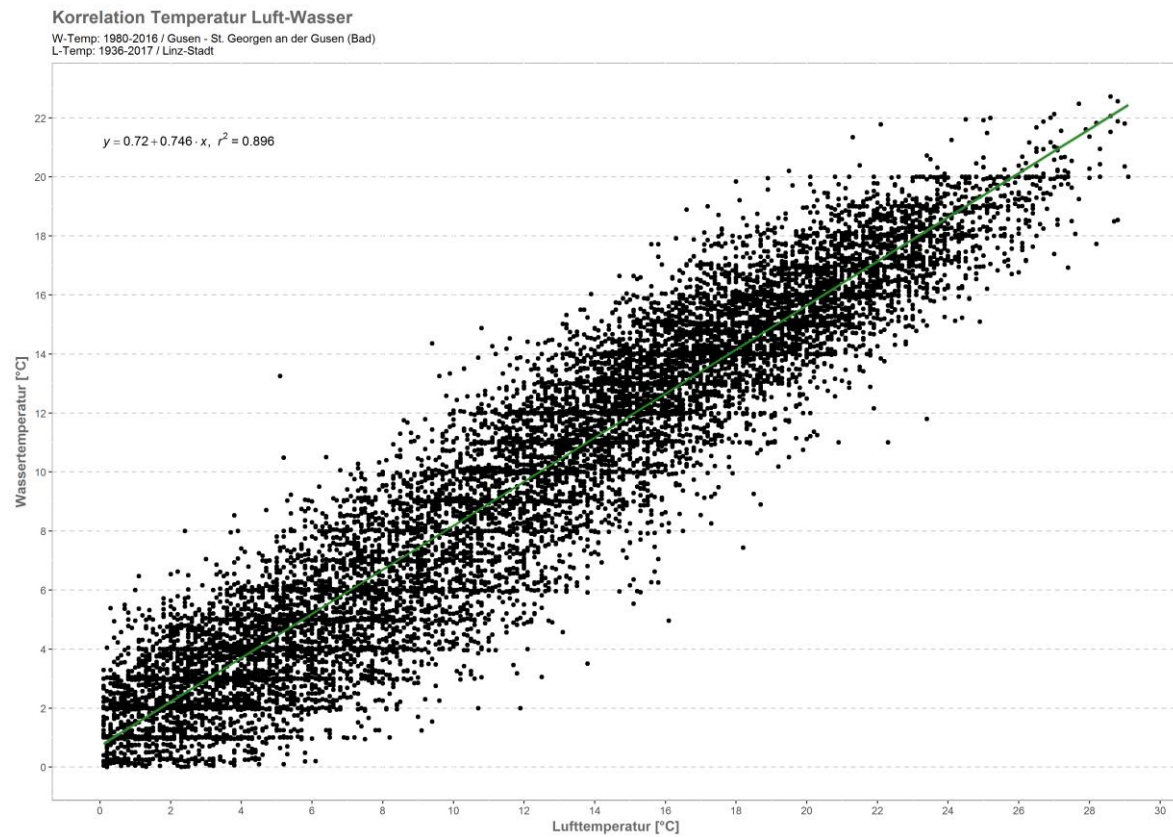
Grünbach - Baumgarten



Monatsansicht der Tagesmittelwerte im Jahresverlauf
Grünbach Baumgarten

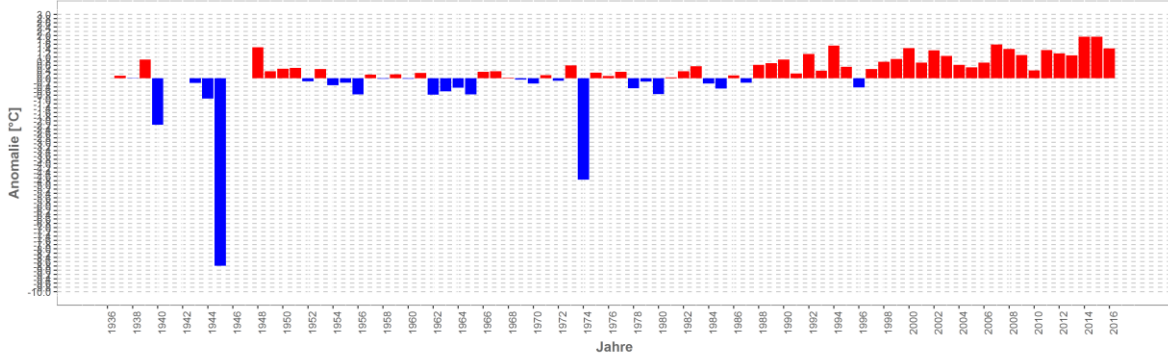


Gusen – St. Georgen an der Gusen

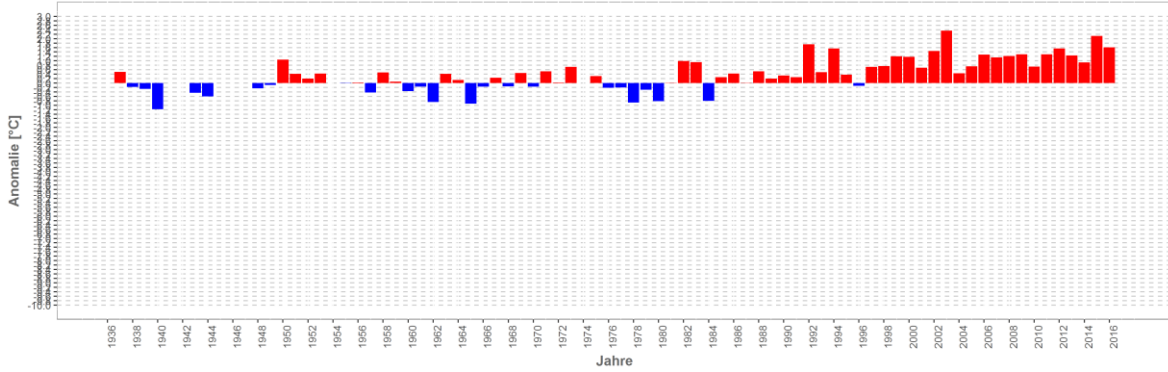


Wassertemperatur-Anomalie

Gusen - St. Georgen an der Gusen (Bad) (1936-2017)
 Referenz: 1961-1990

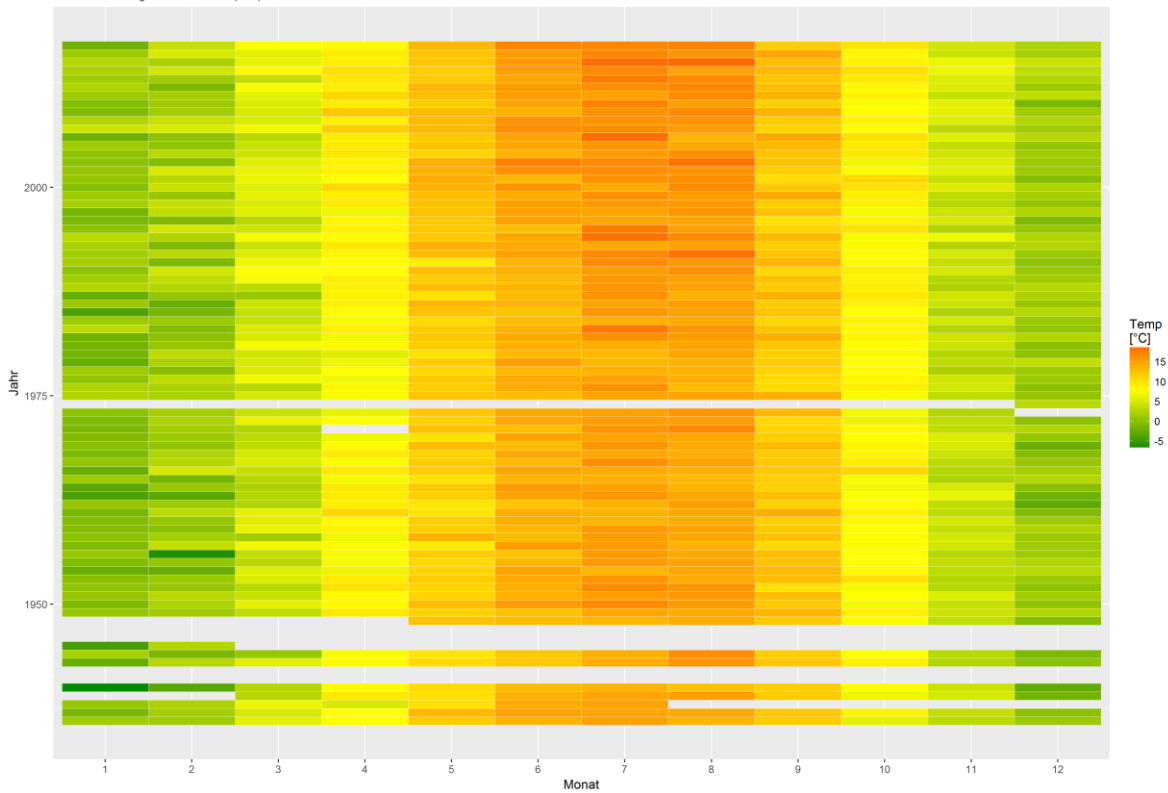


Sommermonate (Mai-Sept)



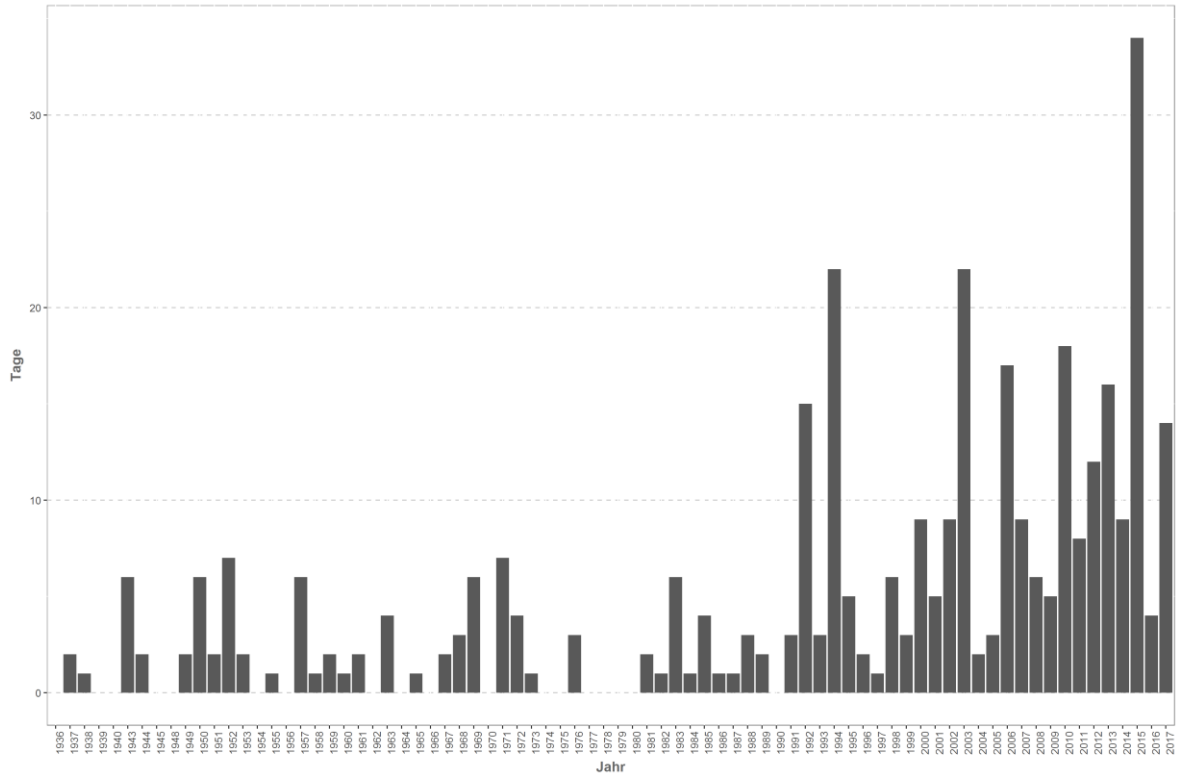
Monatsmittelwert

Gusen - St. Georgen an der Gusen (Bad)



Temperaturüberschreitungen

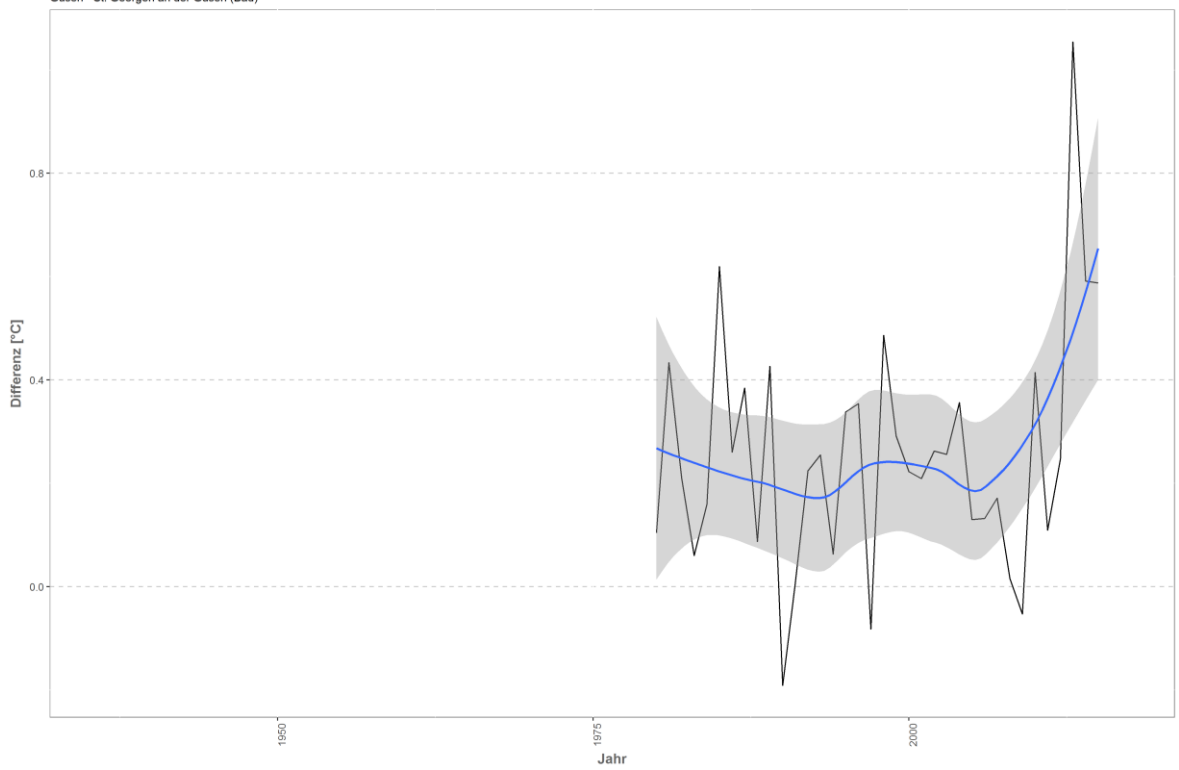
der Grenze sehr gut - gut
Gusen - St. Georgen an der Gusen (Bad)



Differenzplot

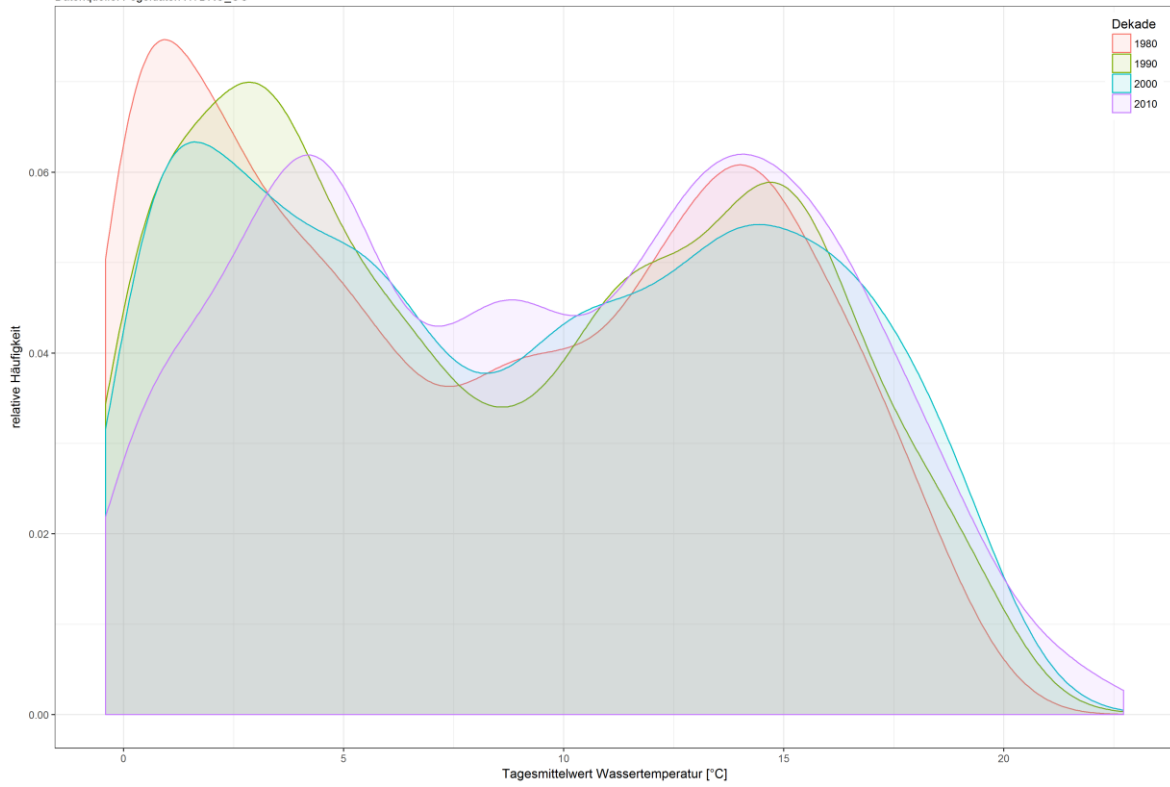
tatsächlich gemessene Wassertemperatur zu Schätzwert der linearen Regression

Gusen - St. Georgen an der Gusen (Bad)



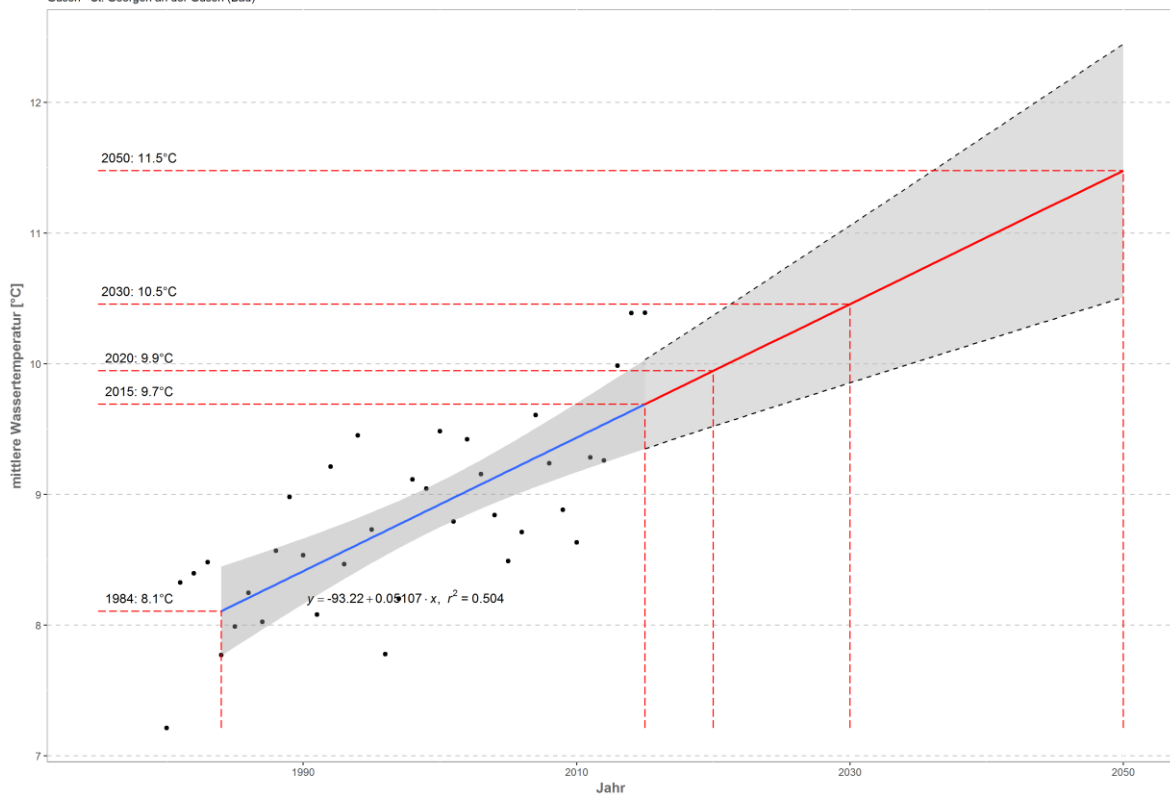
Häufigkeitsverteilung der Wassertemperaturen

Gusen - St. Georgen an der Gusen (Bad)
 Datenquelle: Pegeldaten HYDRO_OO

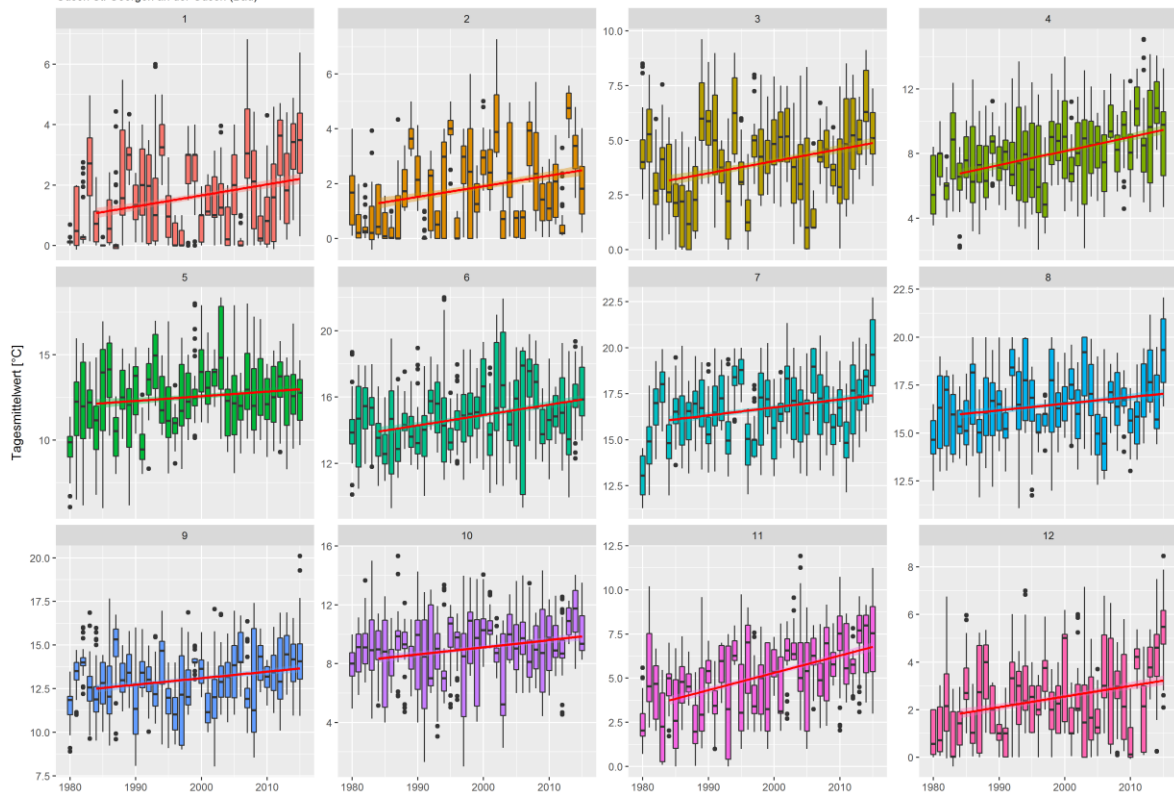


Prognose Wassertemperatur

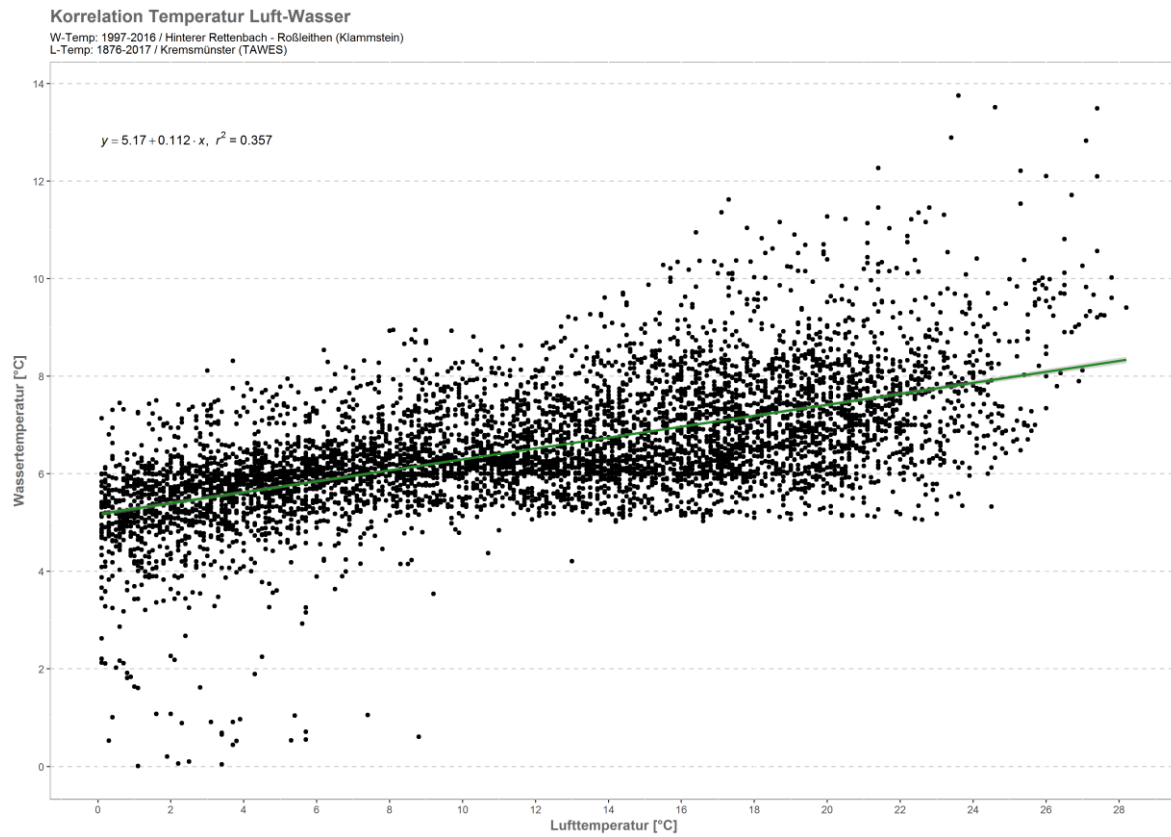
Gusen - St. Georgen an der Gusen (Bad)



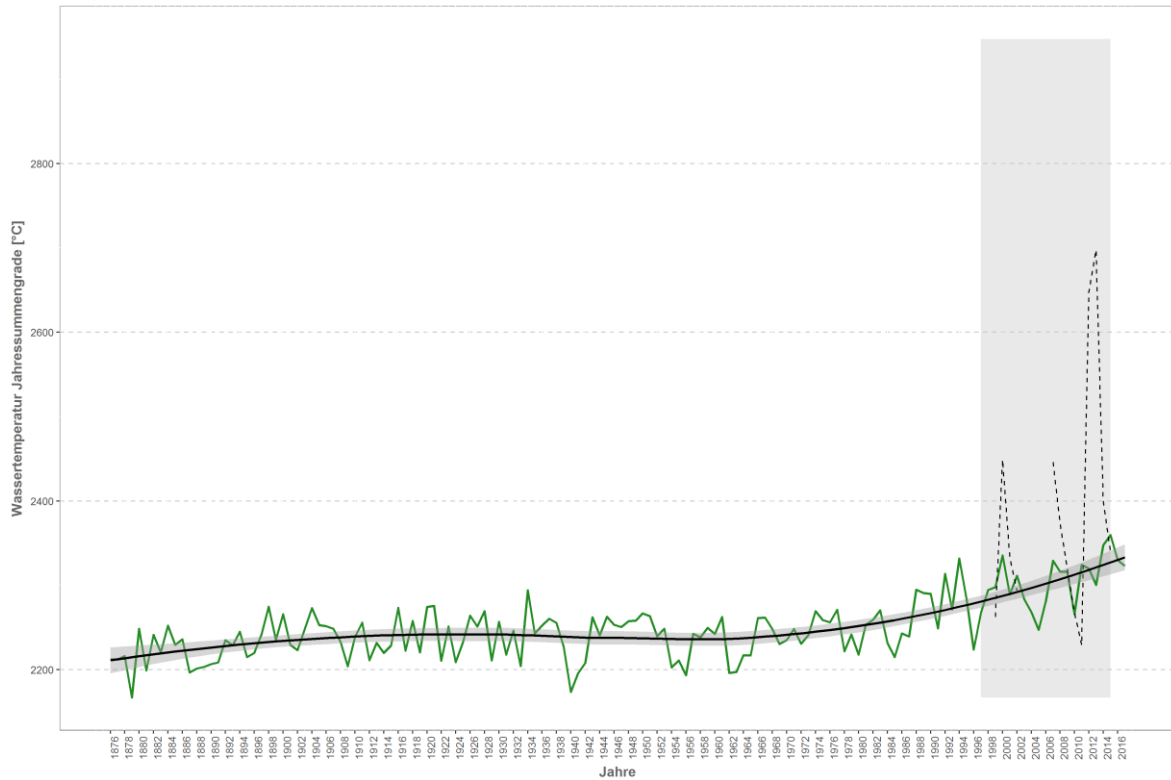
Monatsansicht der Tagesmittelwerte im Jahresverlauf
Gusen St. Georgen an der Gusen (Bad)



Hinterer Rettenbach – Roßleithen (Klammstein)

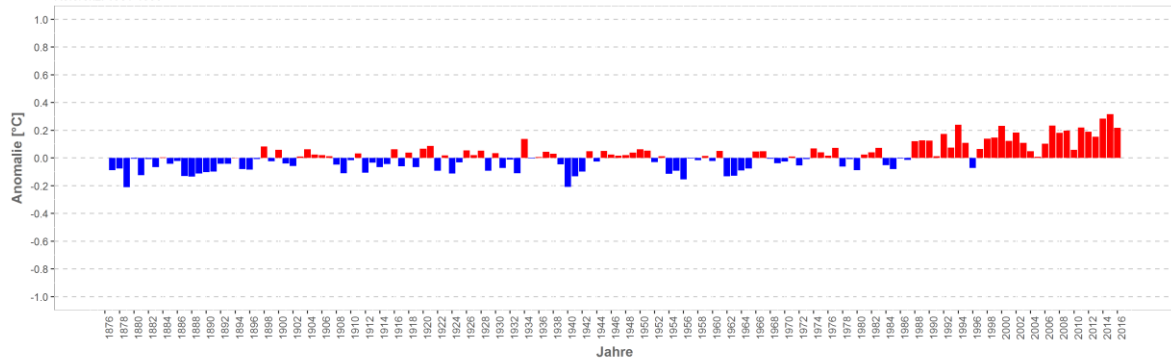


Wassertemperaturverlauf
 W-Temp: 1997-2016 / Hinterer Rettenbach - Roßleithen (Klammstein)
 L-Temp: 1876-2017 / Kremsmünster (TAWES)

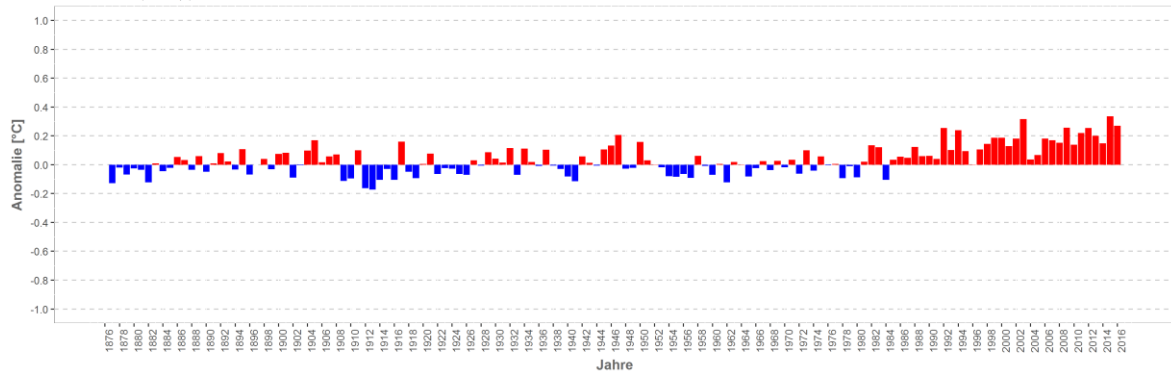


Wassertemperatur-Anomalie

Hinterer Rettenbach - Roßleithen (Klammstein) (1876-2017)
 Referenz: 1961-1990

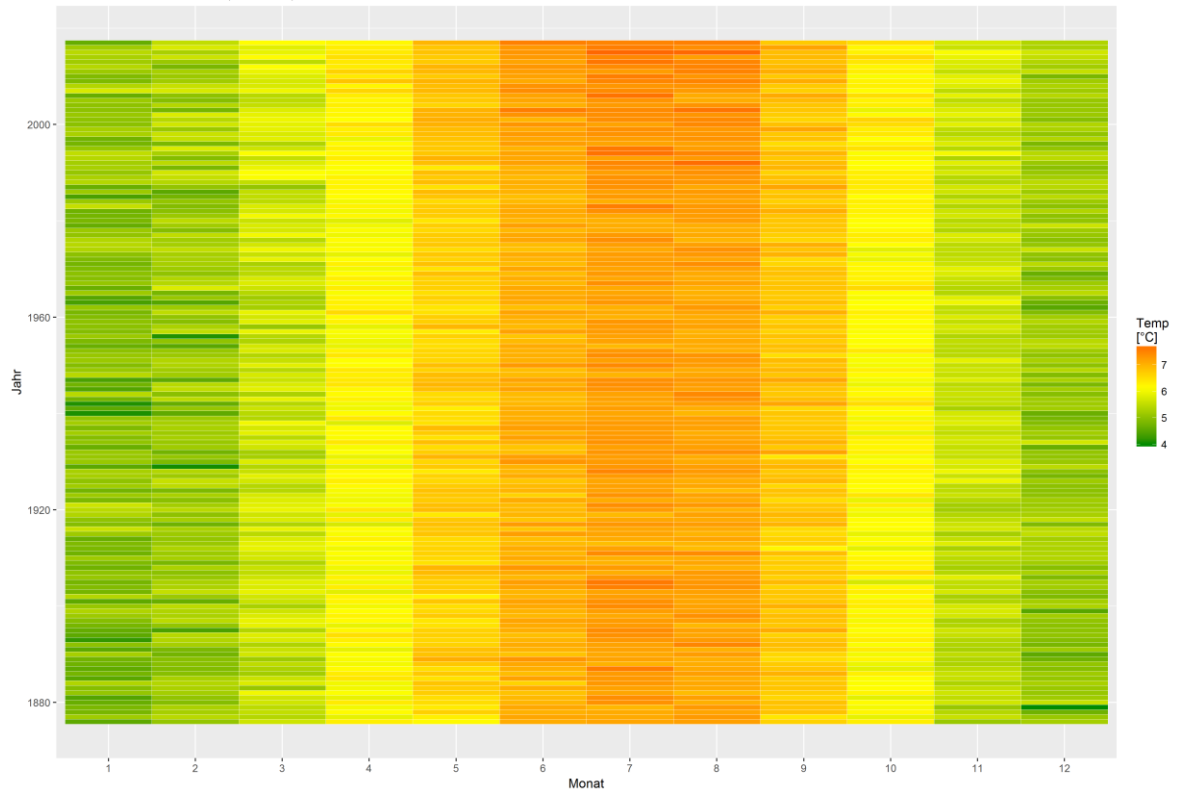


Sommermonate (Mai-Sept)



Monatsmittelwert

Hinterer Rettenbach - Roßleithen (Klammstein)



Differenzplot

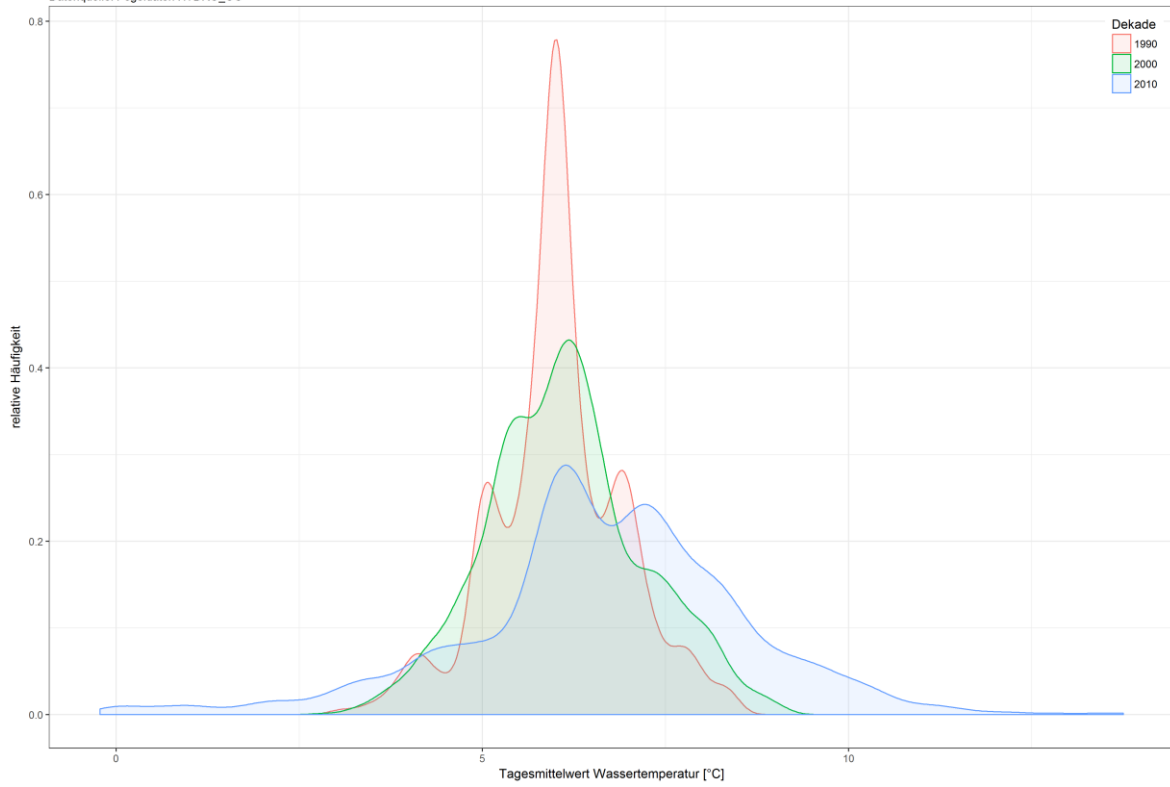
tatsächlich gemessene Wassertemperatur zu Schätzwert der linearen Regression

Hinterer Rettenbach - Roßleithen (Klammstein)



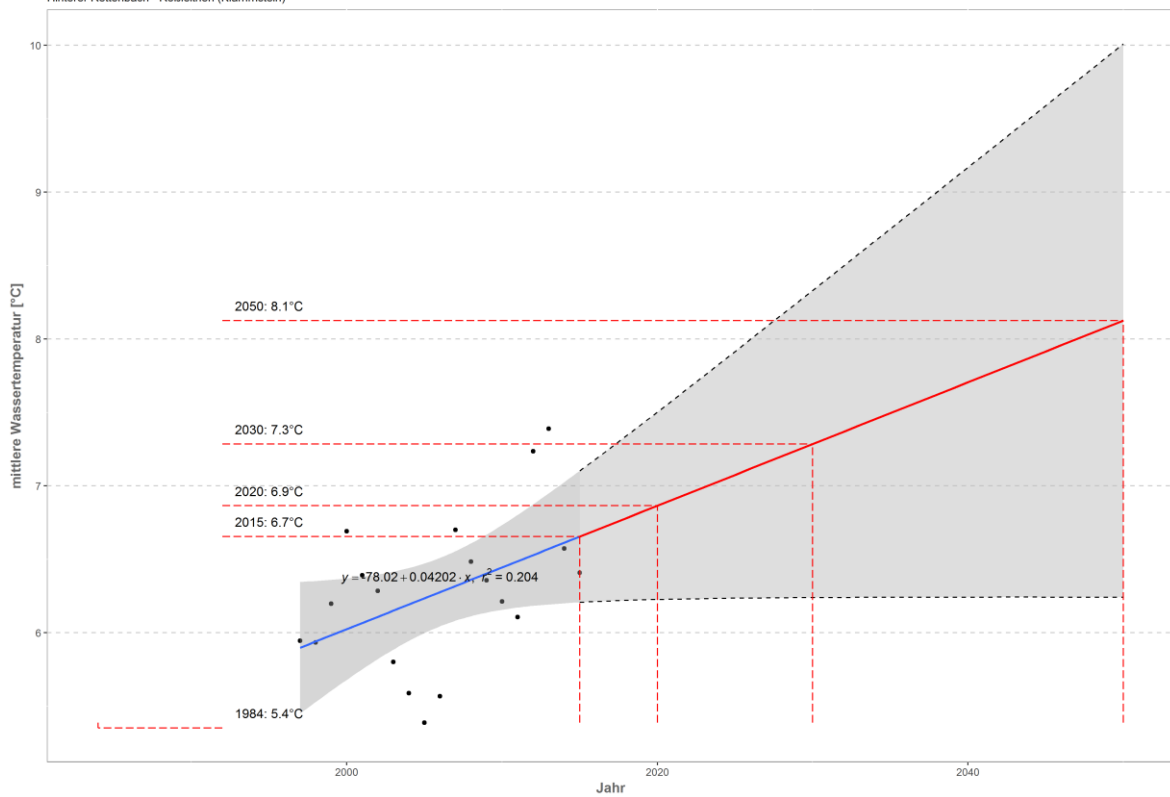
Häufigkeitsverteilung der Wassertemperaturen

Hinterer Rettenbach - Roßleithen (Klammstein)
 Datenquelle: Pegeldaten HYDRO_OO



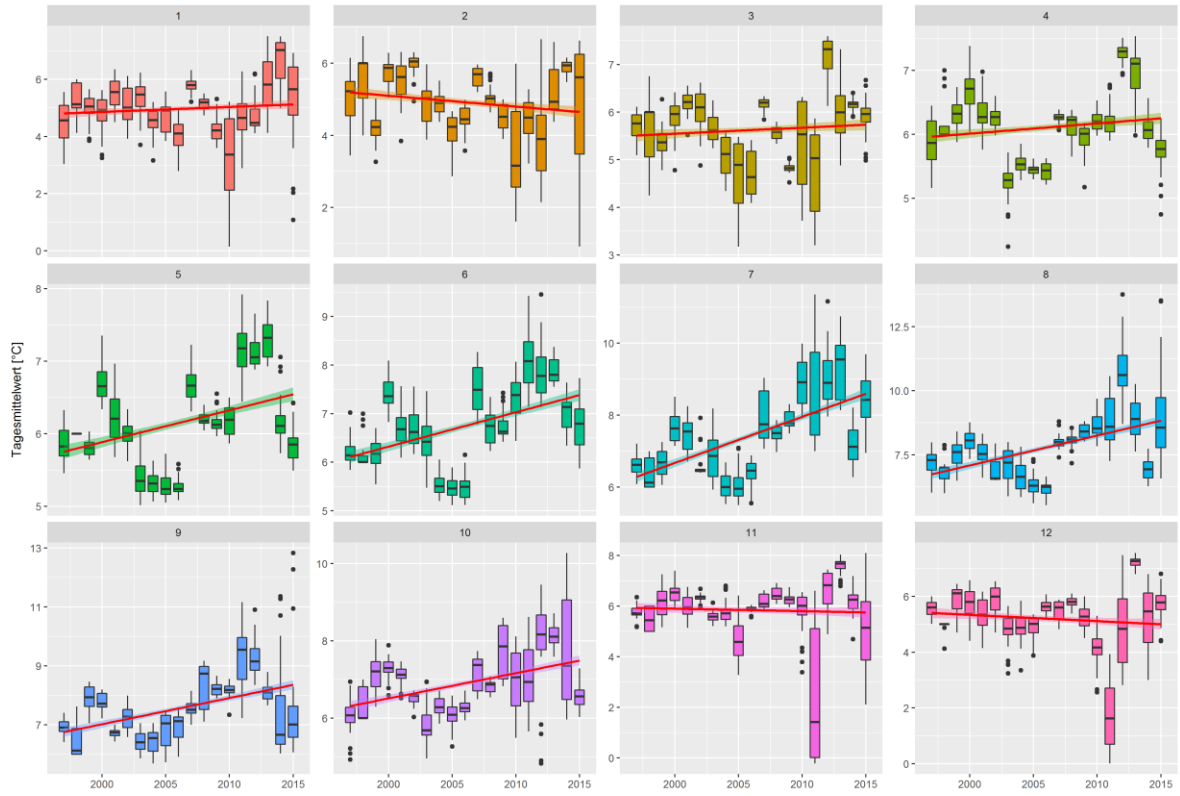
Prognose Wassertemperatur

Hinterer Rettenbach - Roßleithen (Klammstein)

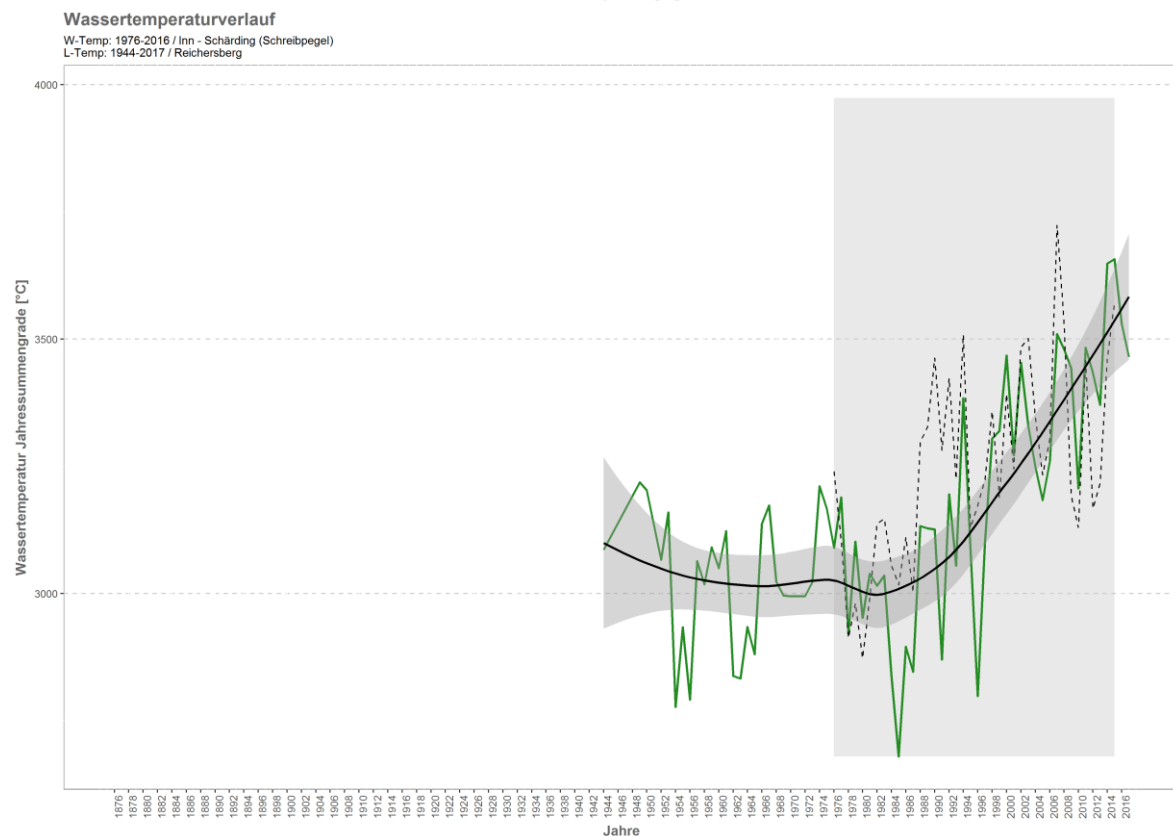
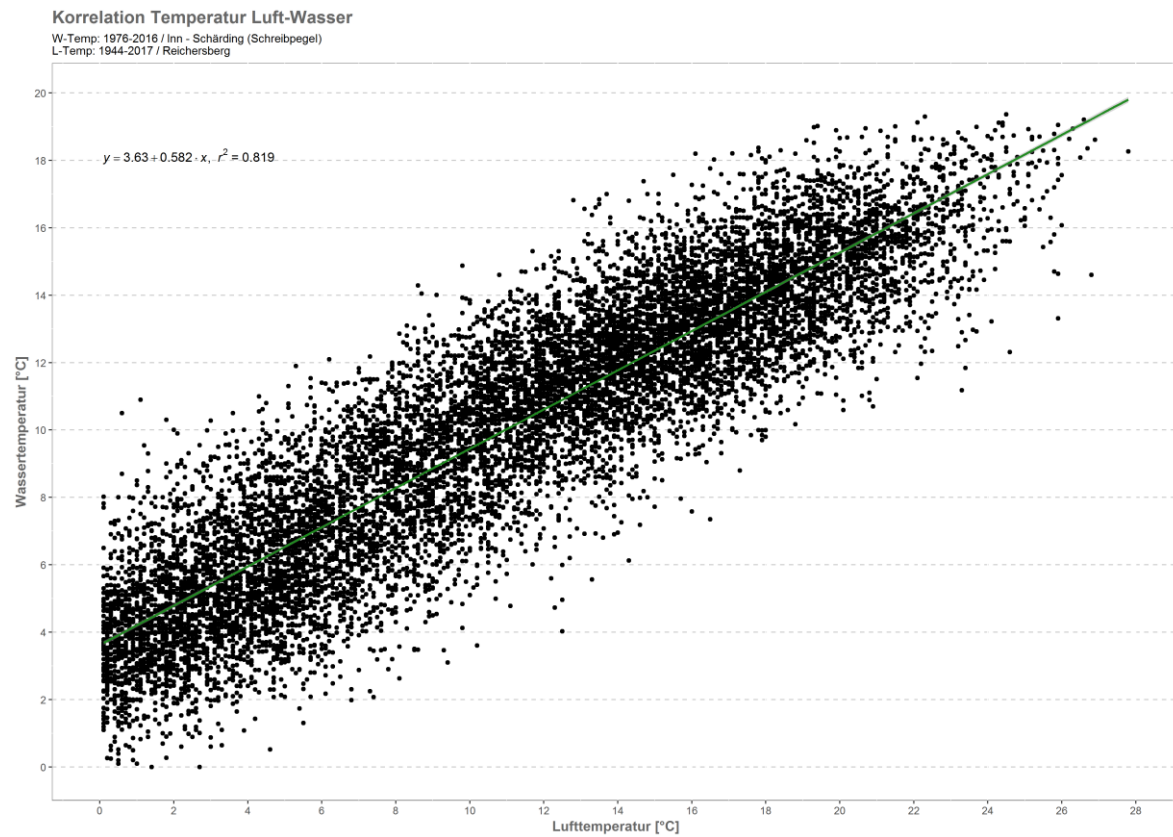


Monatsansicht der Tagesmittelwerte im Jahresverlauf

Hinterer Rettenbach Raßleithen (Klammstein)

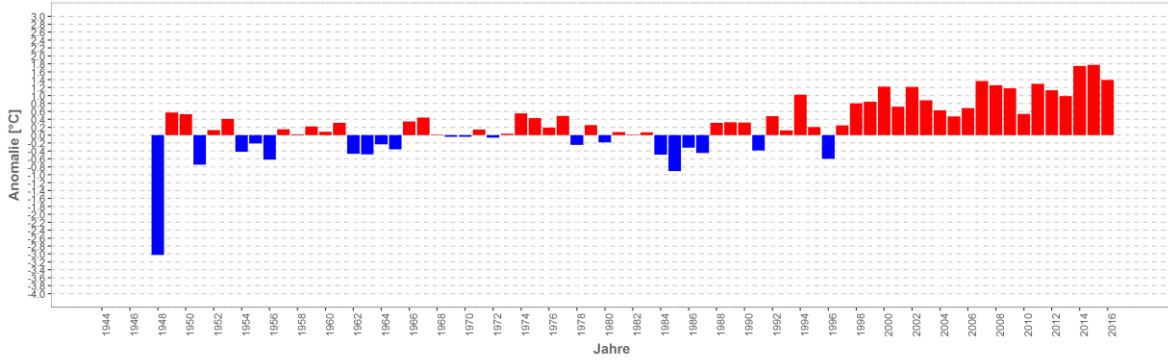


Inn – Schärding (Schreibpegel)

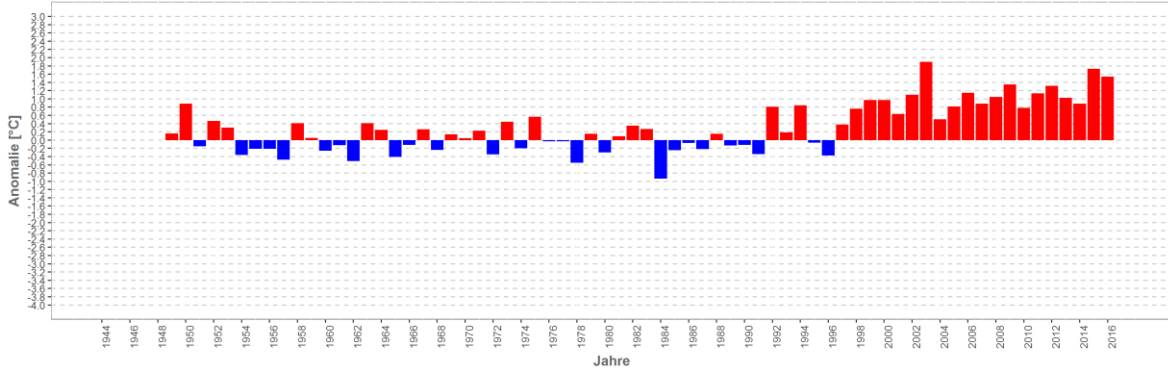


Wassertemperatur-Anomalie

Inn - Schärding (Schreibpegel) (1944-2017)
 Referenz: 1961-1990

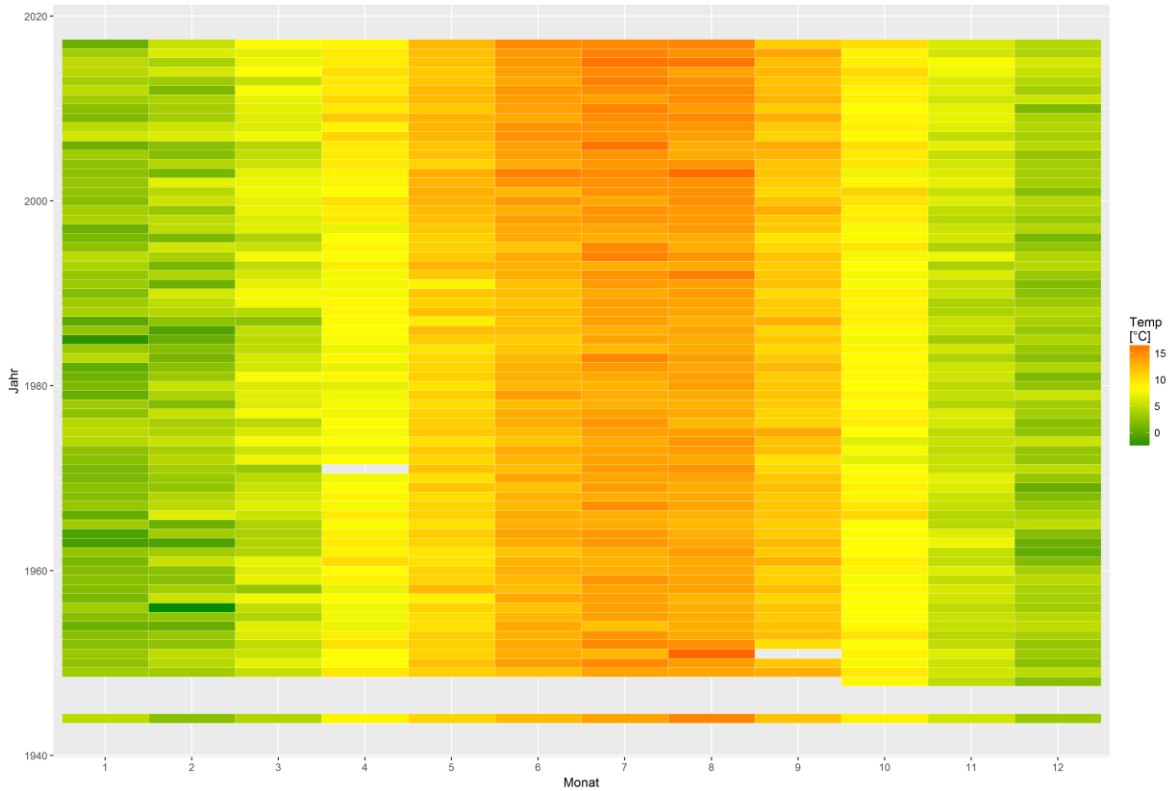


Sommermonate (Mai-Sept)



Monatsmittelwert

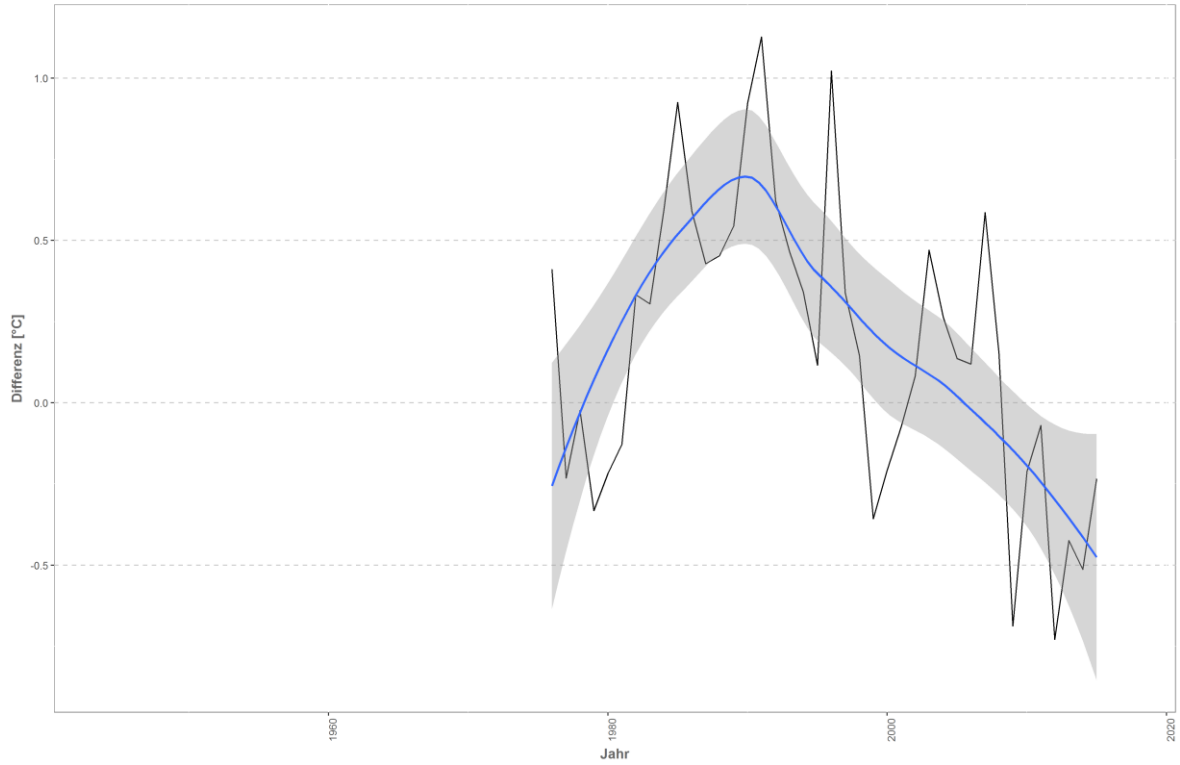
Inn - Schärding (Schreibpegel)



Differenzplot

tatsächlich gemessene Wassertemperatur zu Schätzwert der linearen Regression

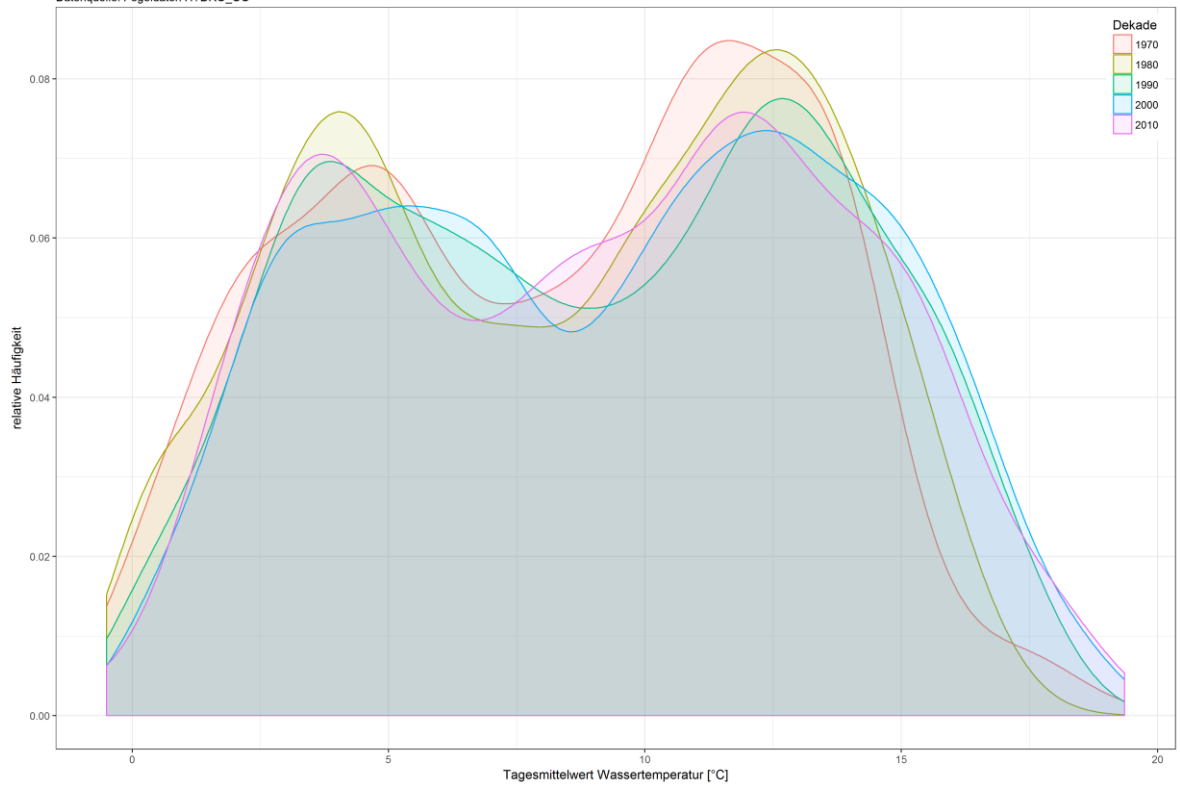
Inn - Schärding (Schreibpegel)



Häufigkeitsverteilung der Wassertemperaturen

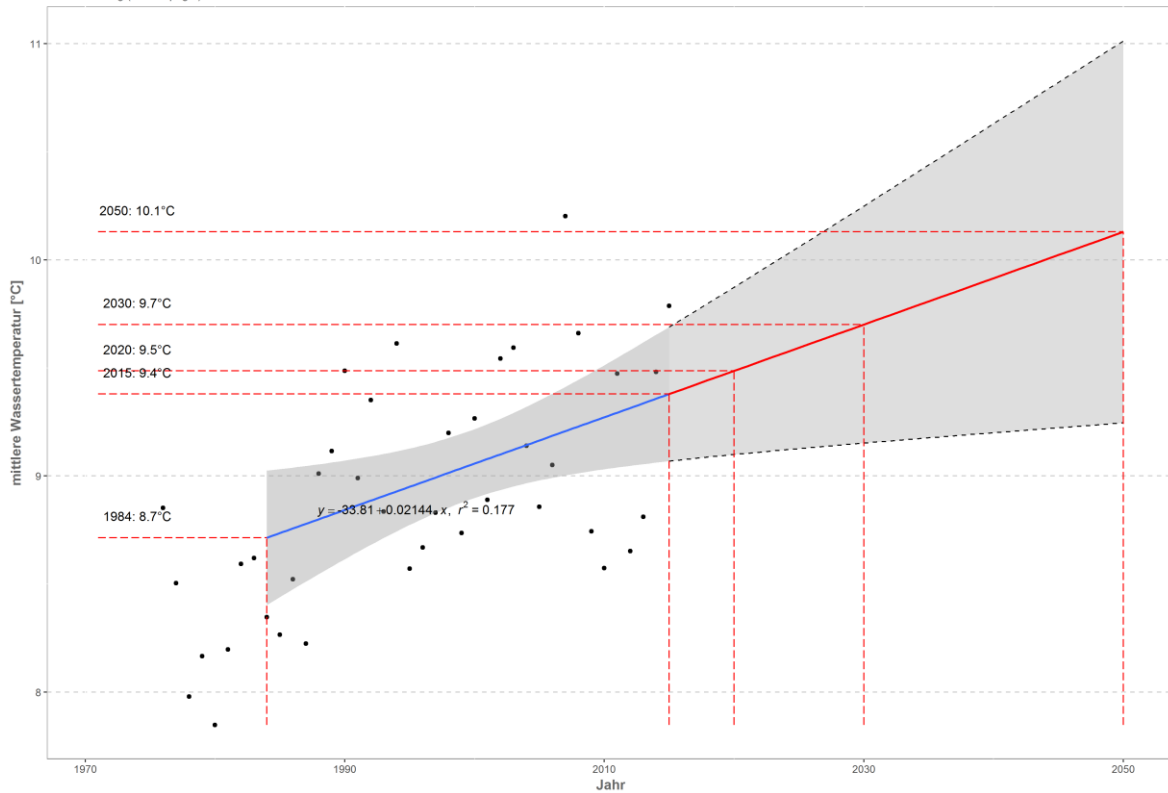
Inn - Schärding (Schreibpegel)

Datenquelle: Pegeldata HYDRO_OO



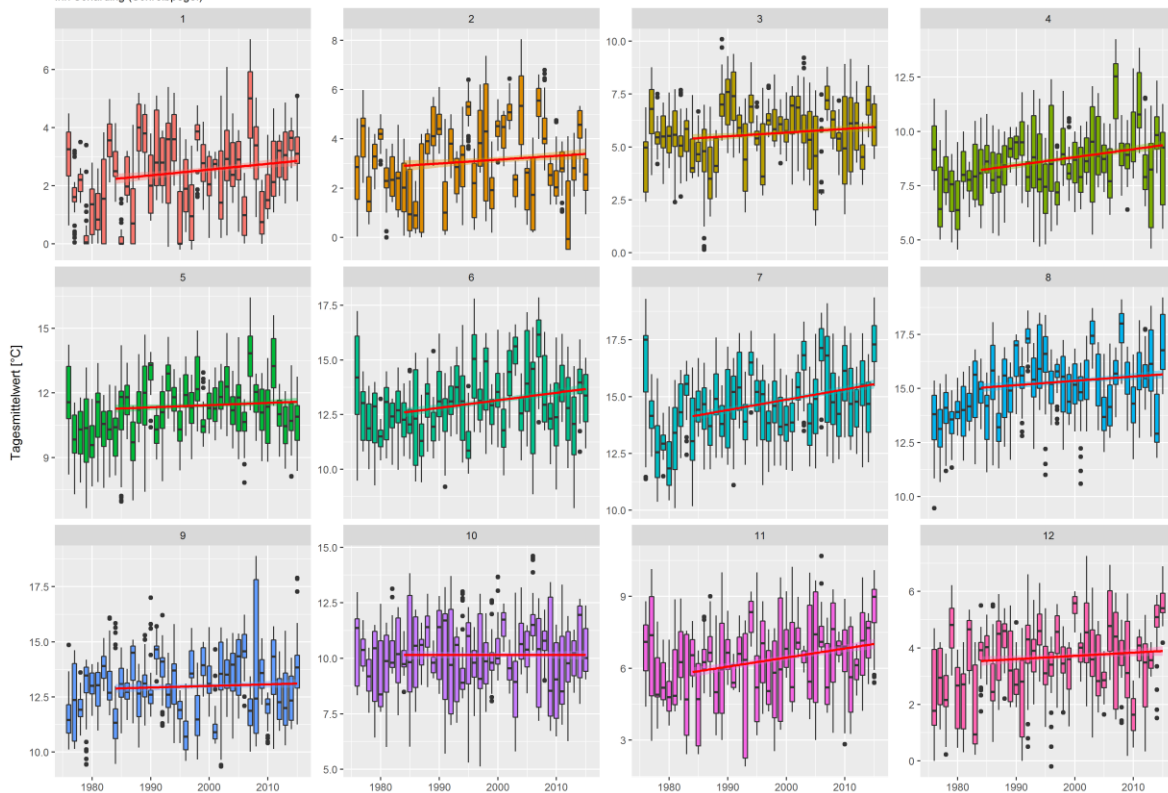
Prognose Wassertemperatur

Inn - Schärding (Schreibpegel)

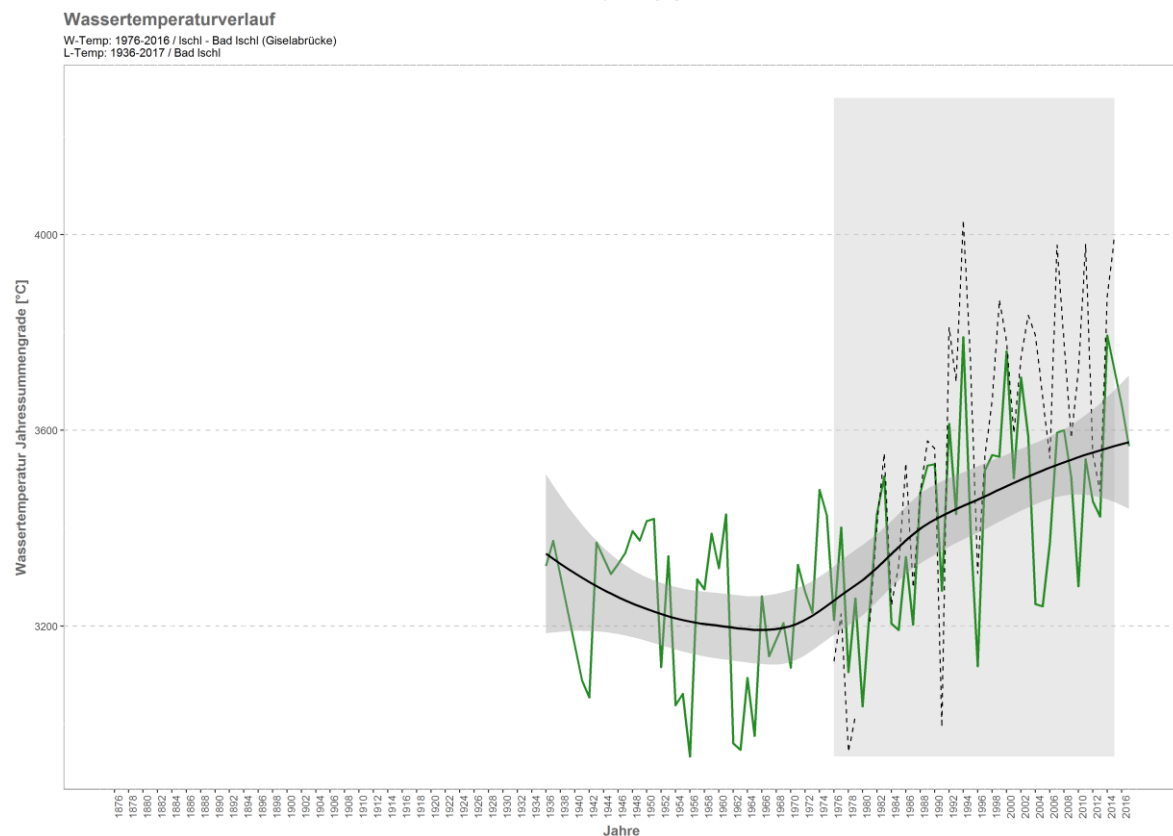
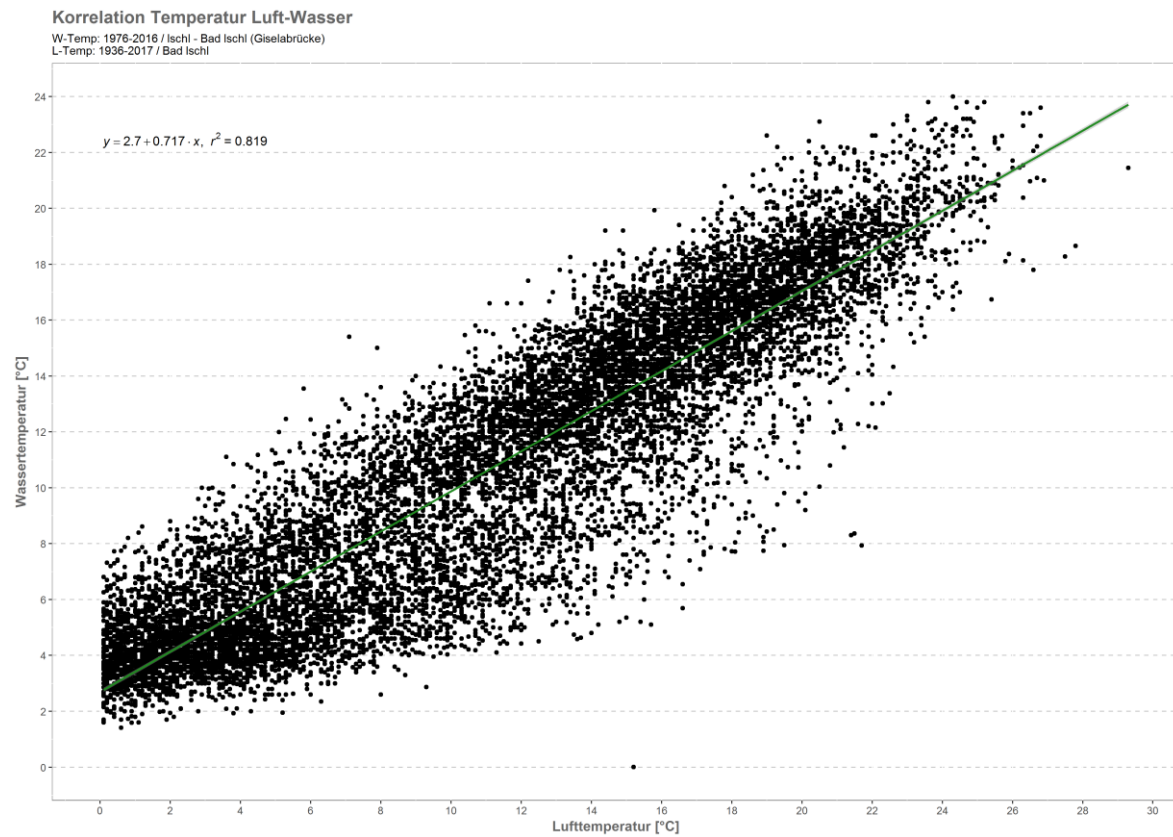


Monatsansicht der Tagesmittelwerte im Jahresverlauf

Inn Schärding (Schreibpegel)

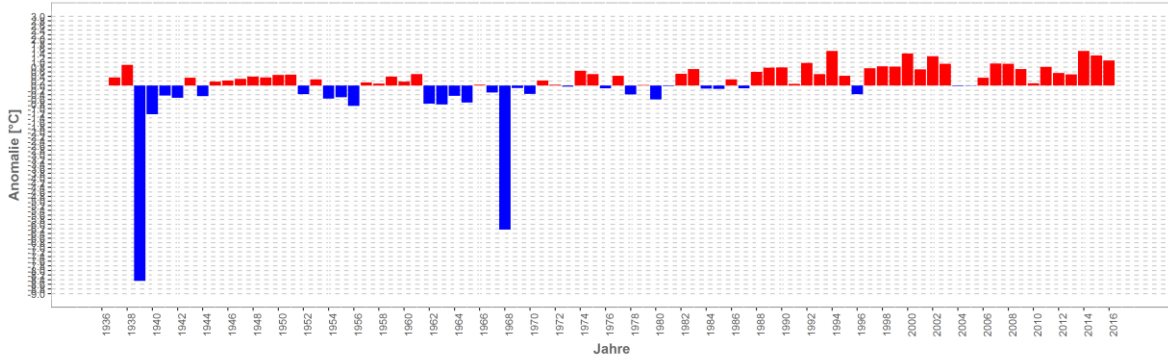


Ischl – Bad Ischl (Giselabrücke)

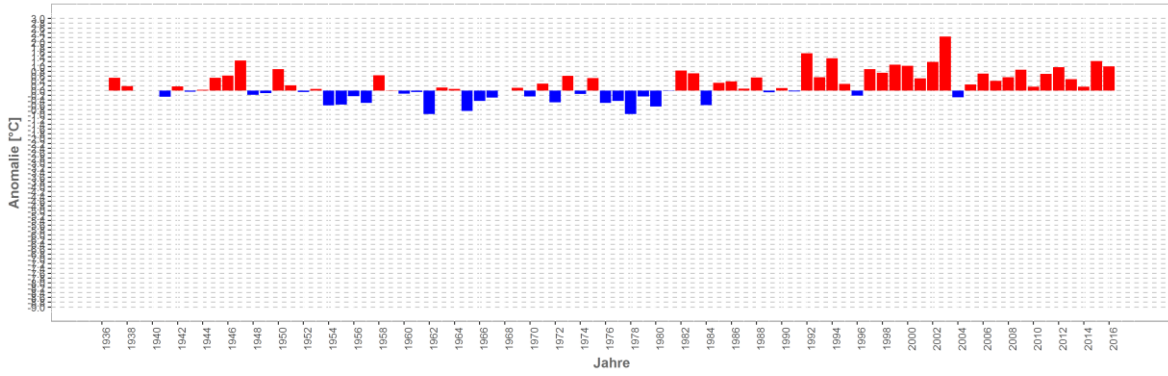


Wassertemperatur-Anomalie

Ischl - Bad Ischl (Giselabrücke) (1936-2017)
 Referenz: 1961-1990

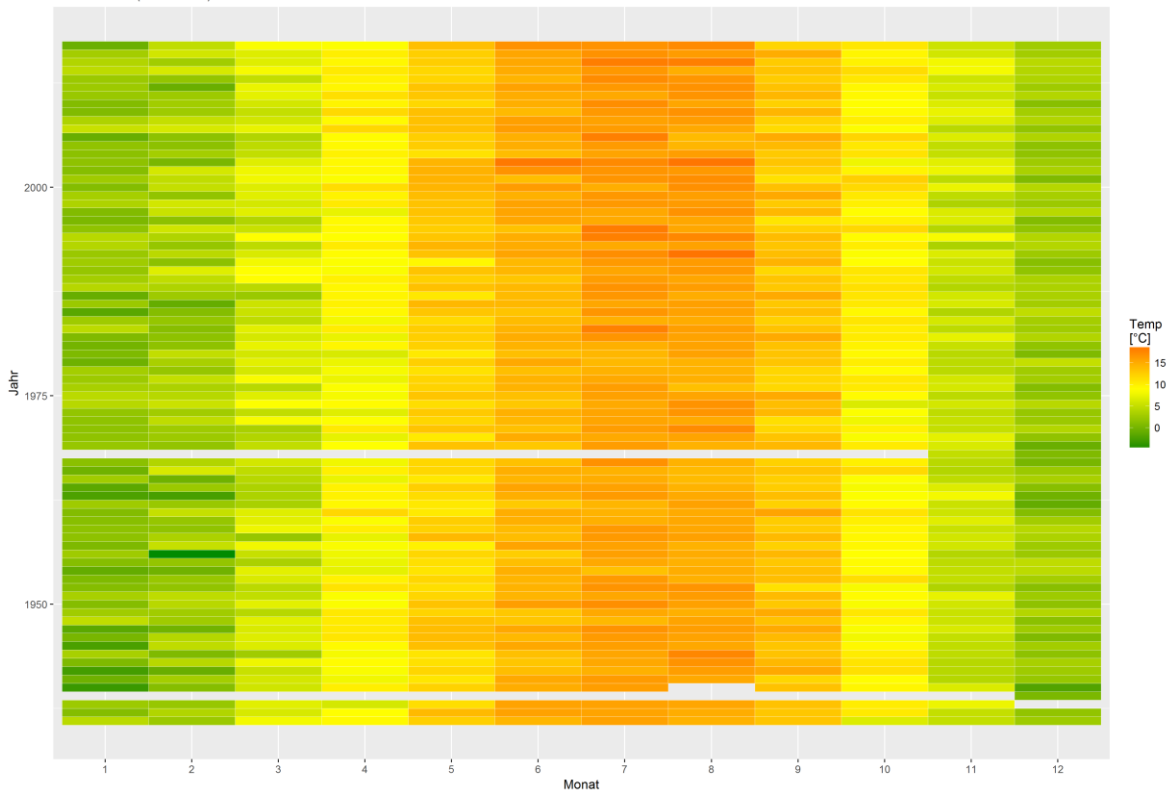


Sommermonate (Mai-Sept)



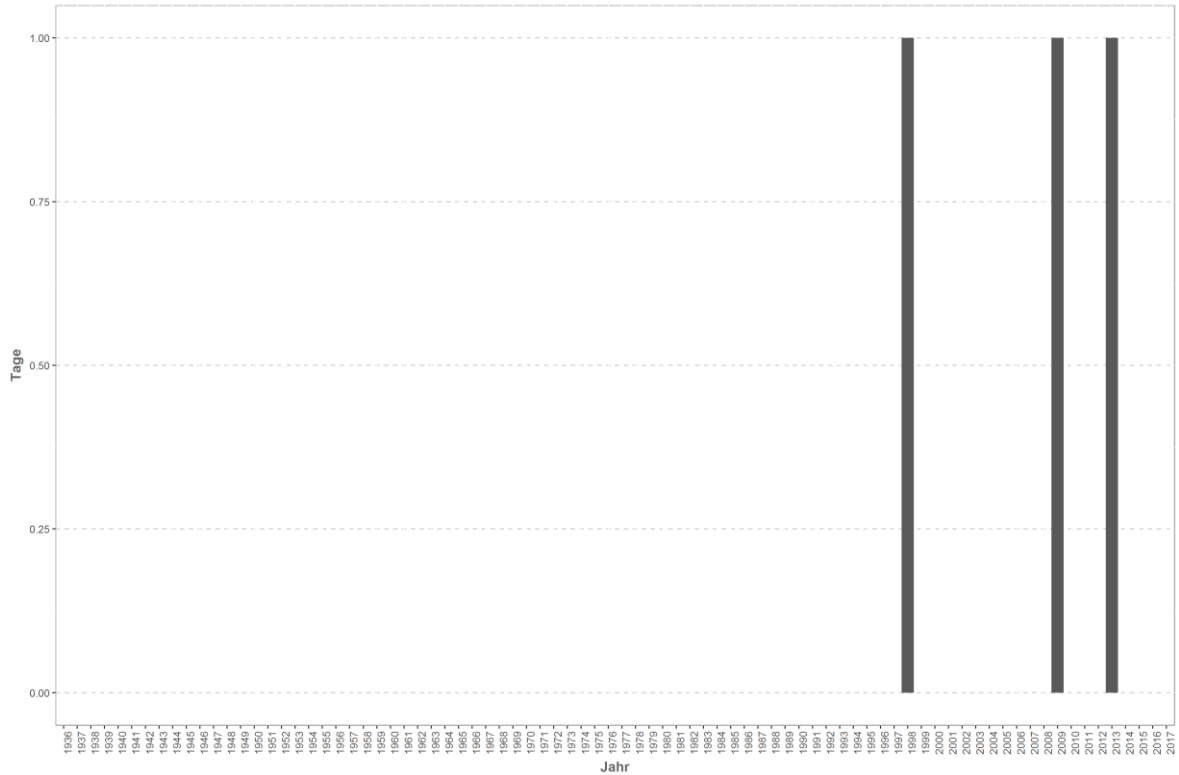
Monatsmittelwert

Ischl - Bad Ischl (Giselabrücke)



Temperaturüberschreitungen

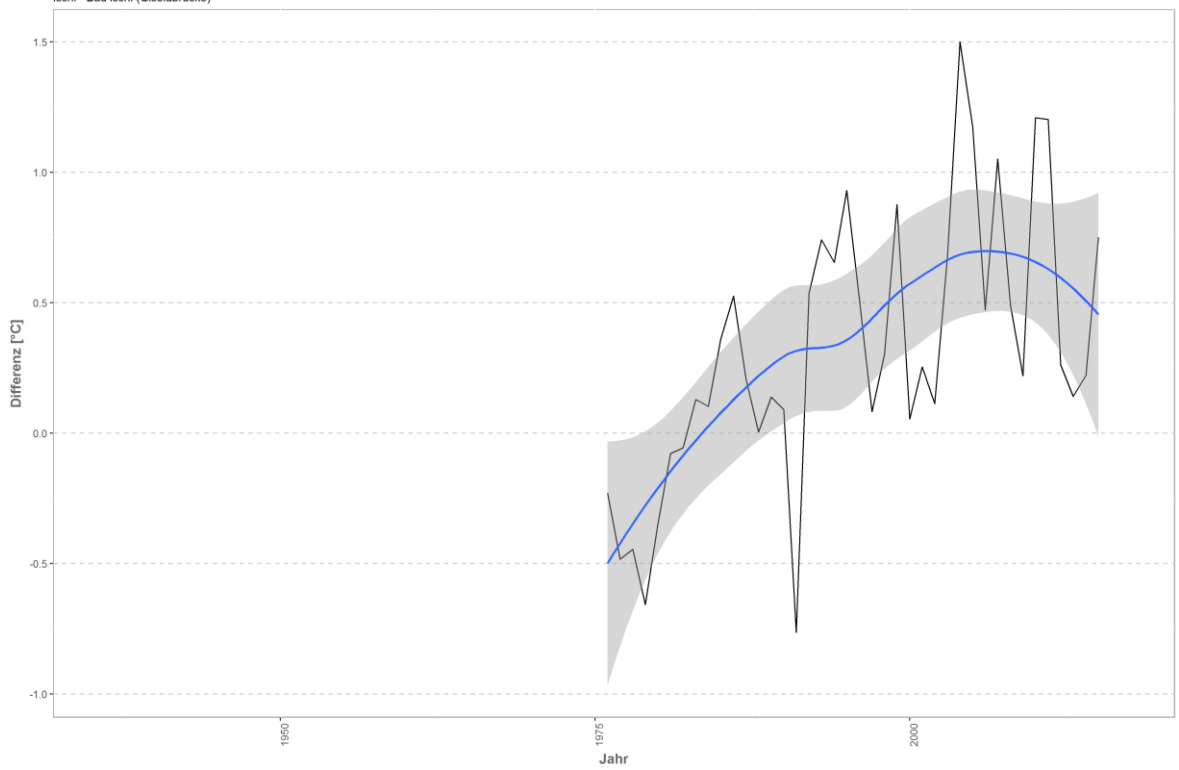
der Grenze sehr gut - gut
Ischl - Bad Ischl (Giselabrücke)

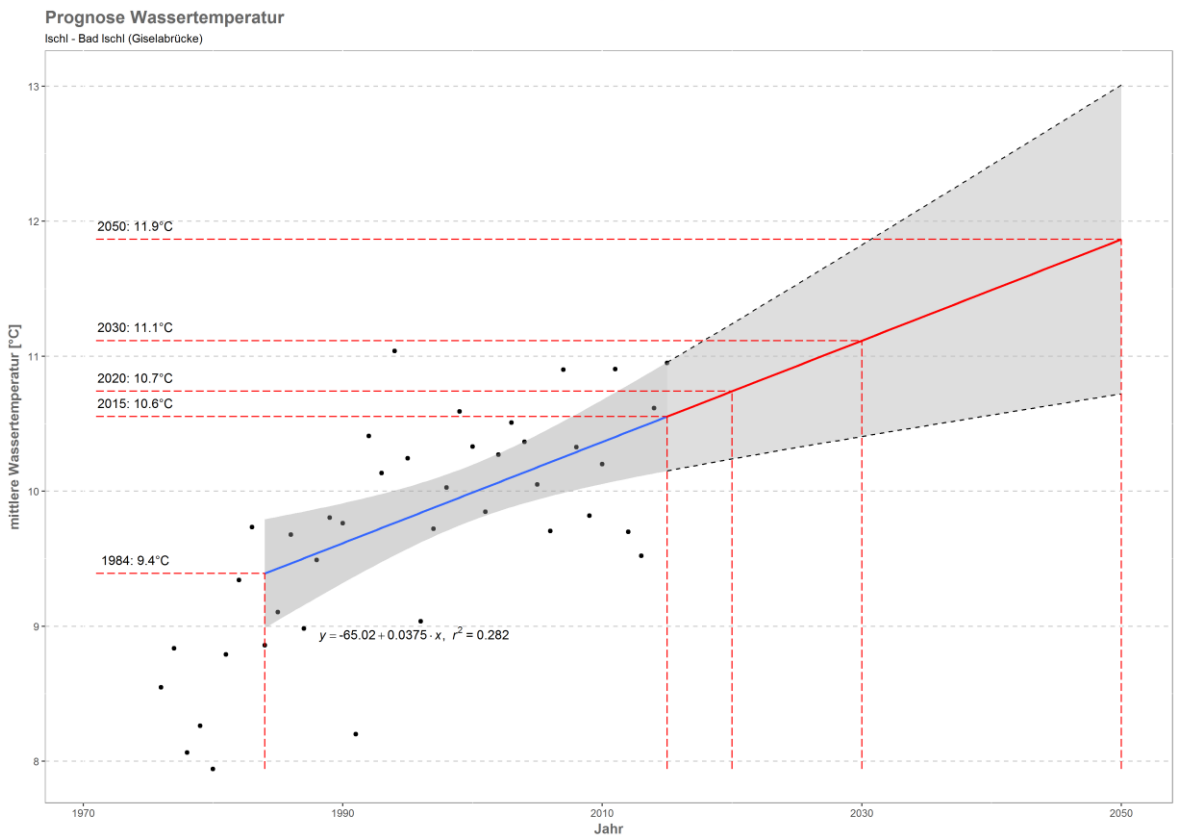
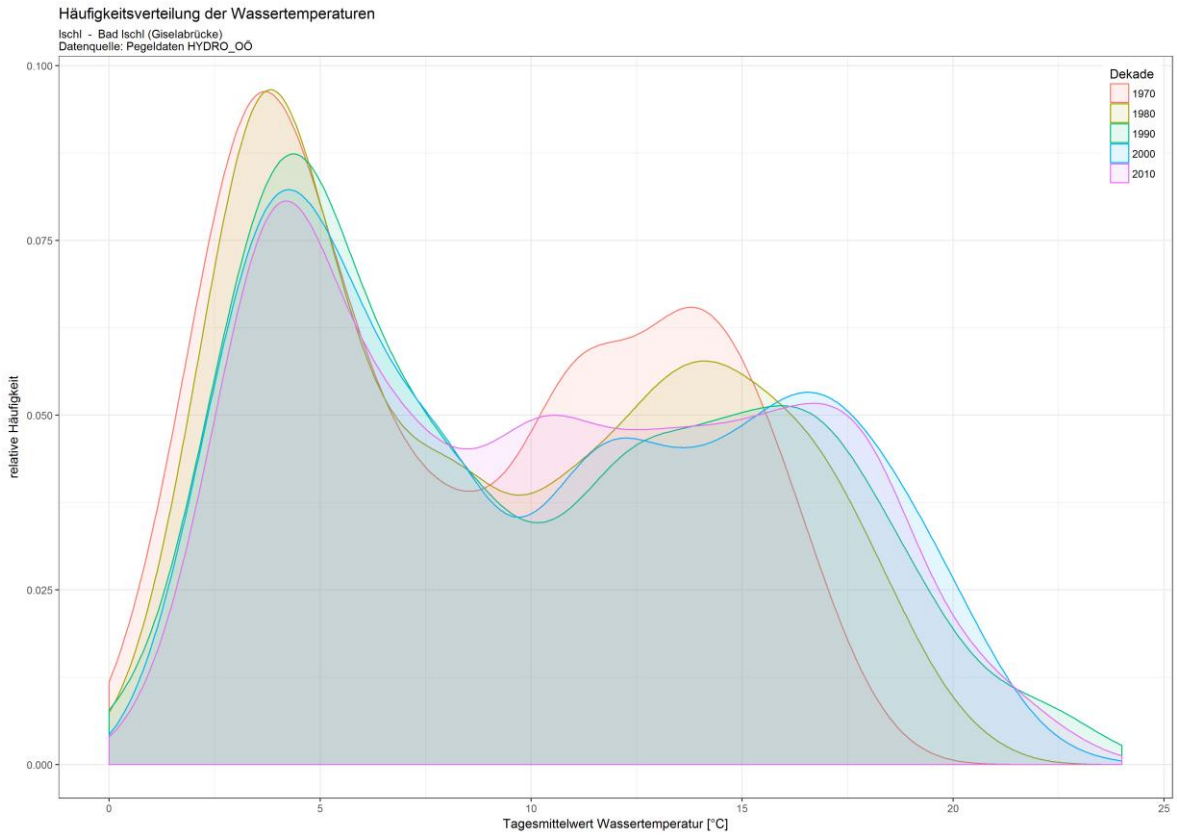


Differenzplot

tatsächlich gemessene Wassertemperatur zu Schätzwert der linearen Regression

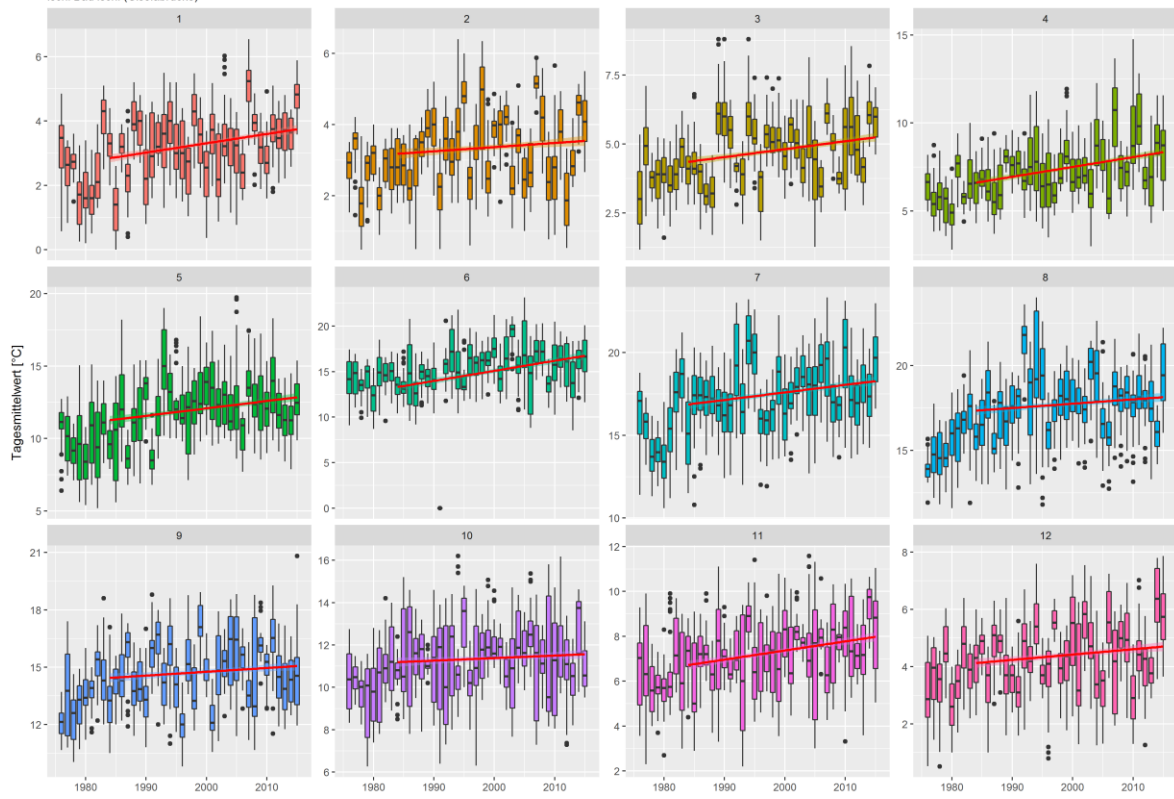
Ischl - Bad Ischl (Giselabrücke)



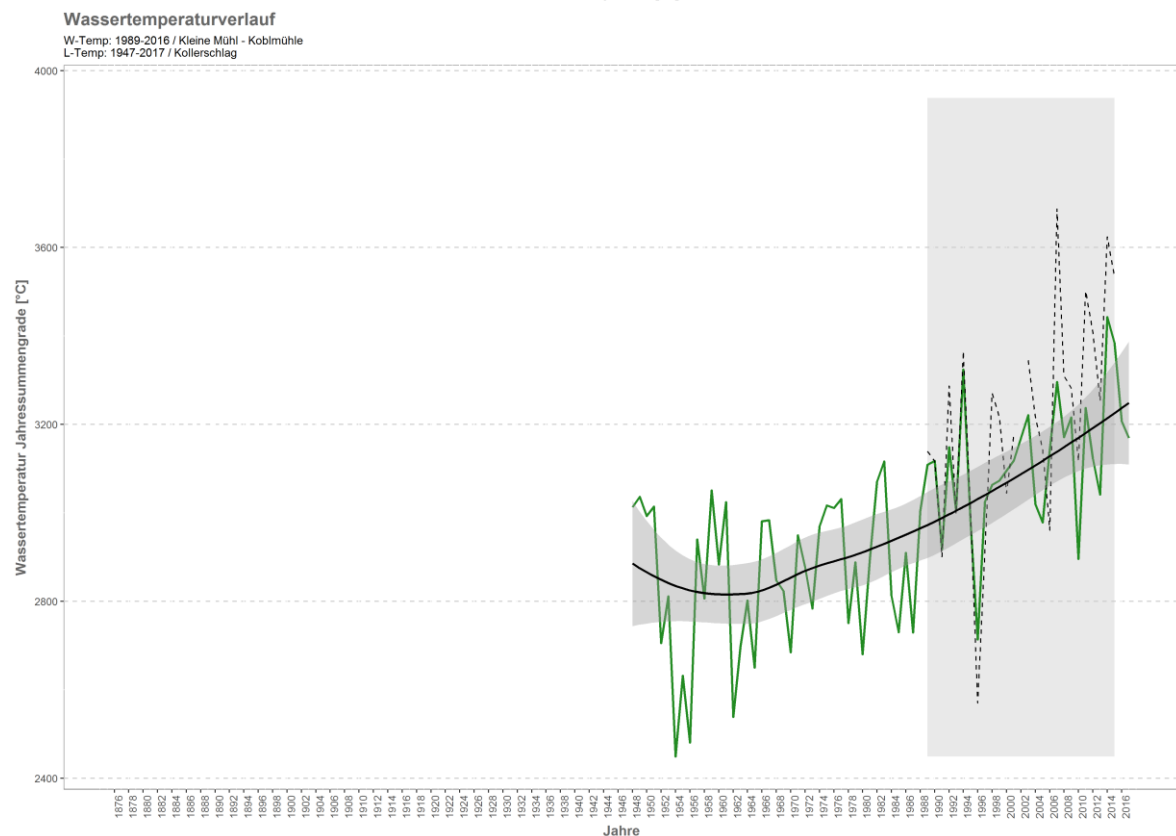
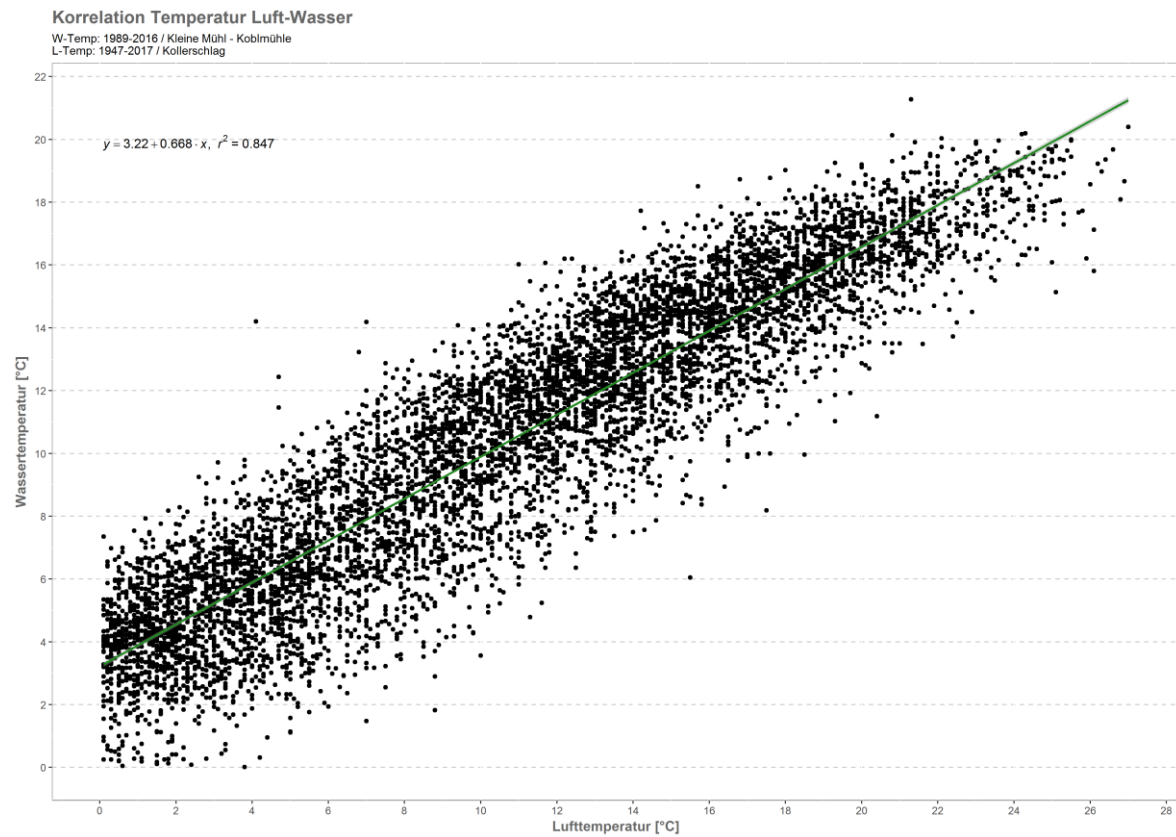


Monatsansicht der Tagesmittelwerte im Jahresverlauf

Ischl Bad Ischl (Giselabrücke)

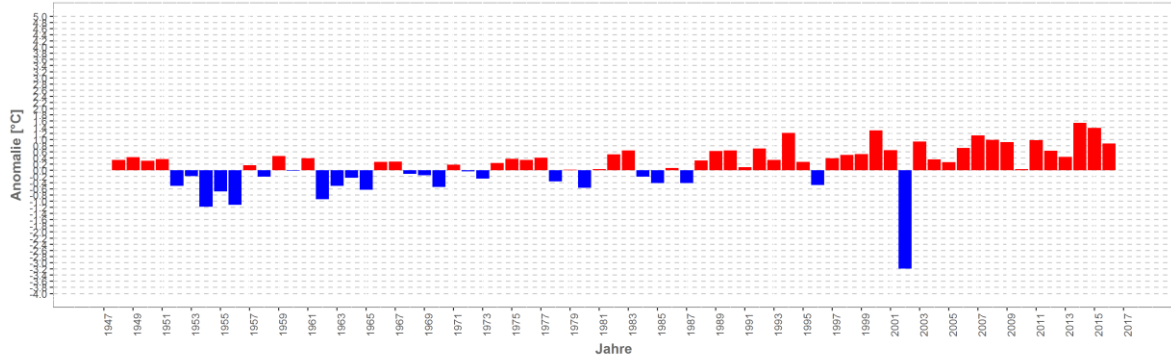


Kleine Mühl – Koblmühle

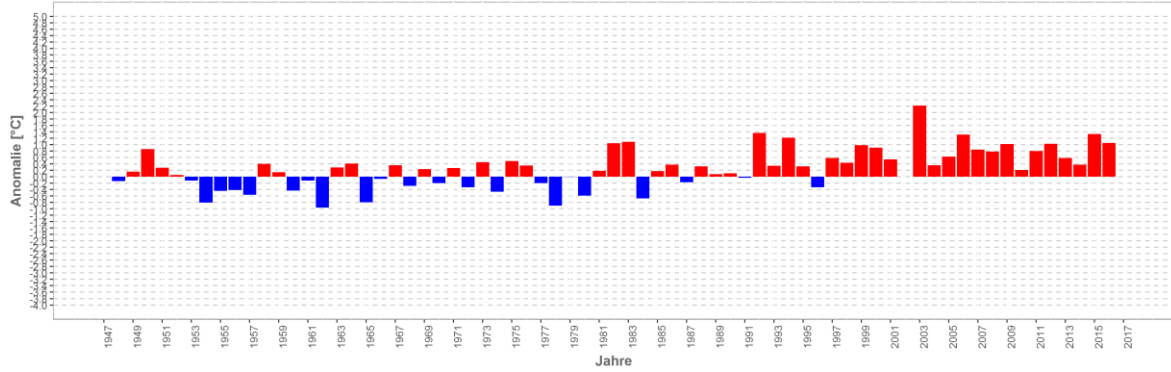


Wassertemperatur-Anomalie

Kleine Mühl - Koblmühle (1947-2017)
 Referenz: 1961-1990

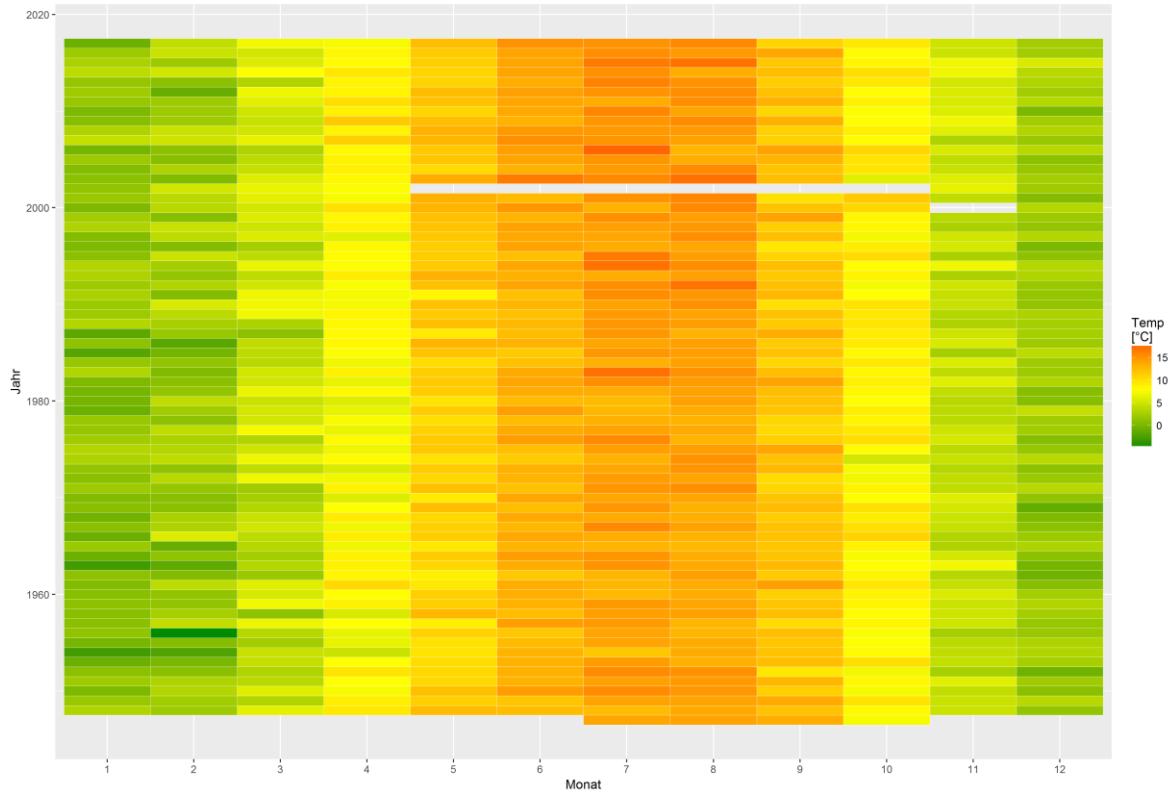


Sommermonate (Mai-Sept)



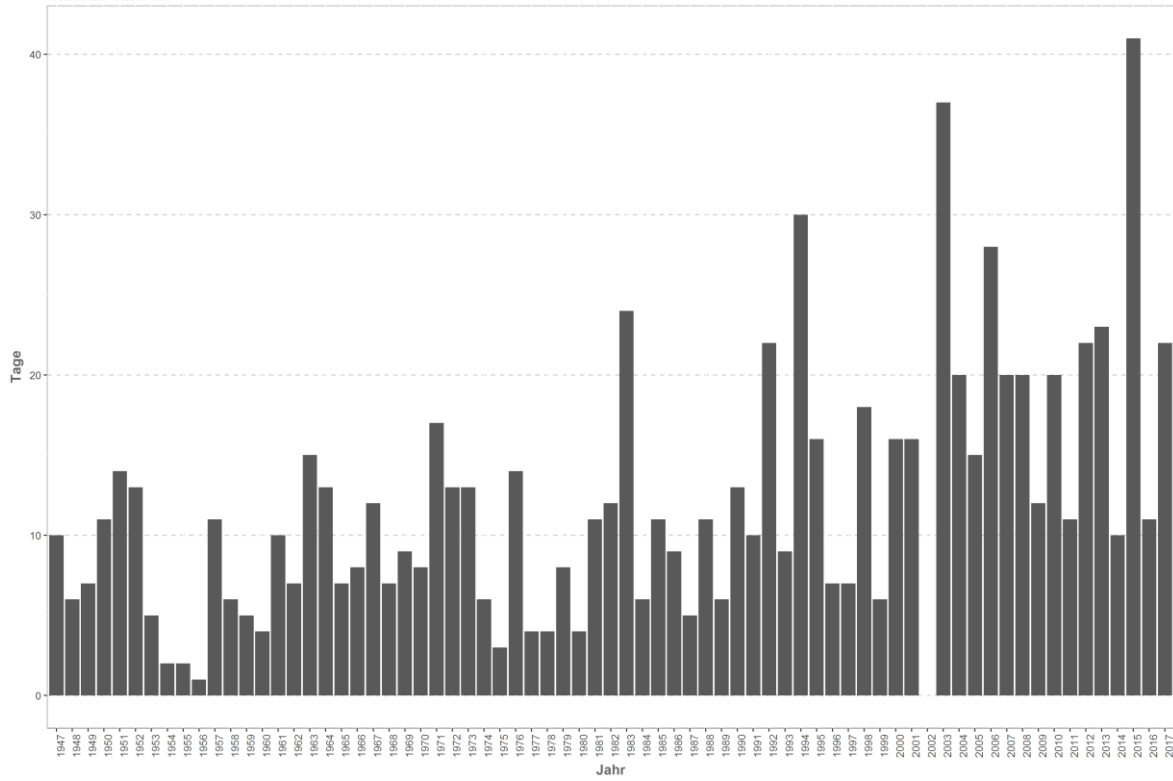
Monatsmittelwert

Kleine Mühl - Koblmühle



Temperaturüberschreitungen

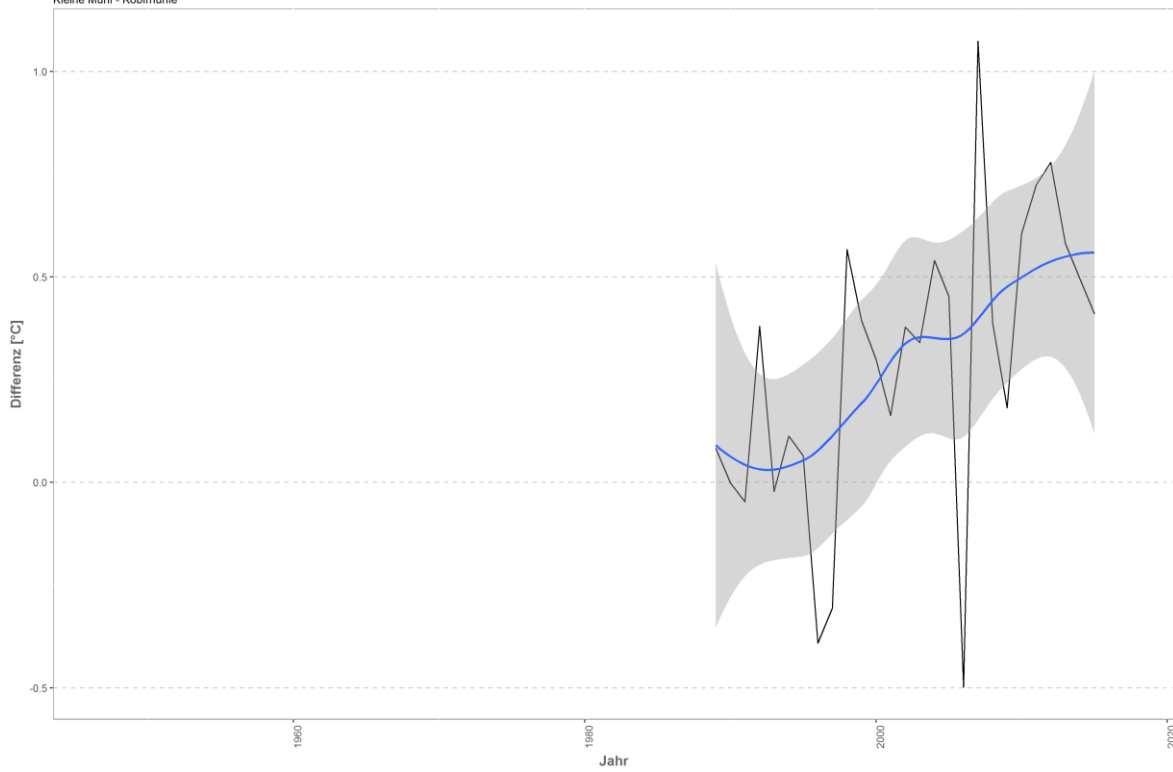
der Grenze sehr gut - gut
Kleine Mühl - Koblmühle



Differenzplot

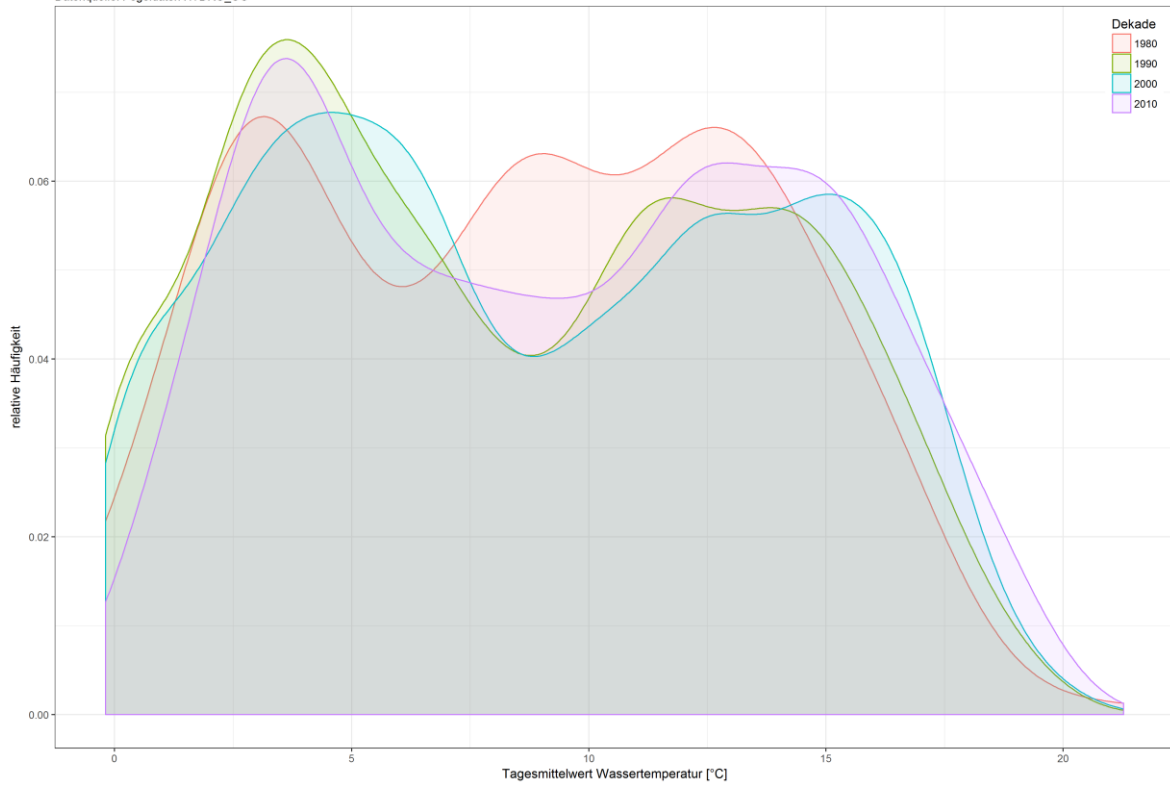
tatsächlich gemessene Wassertemperatur zu Schätzwert der linearen Regression

Kleine Mühl - Koblmühle



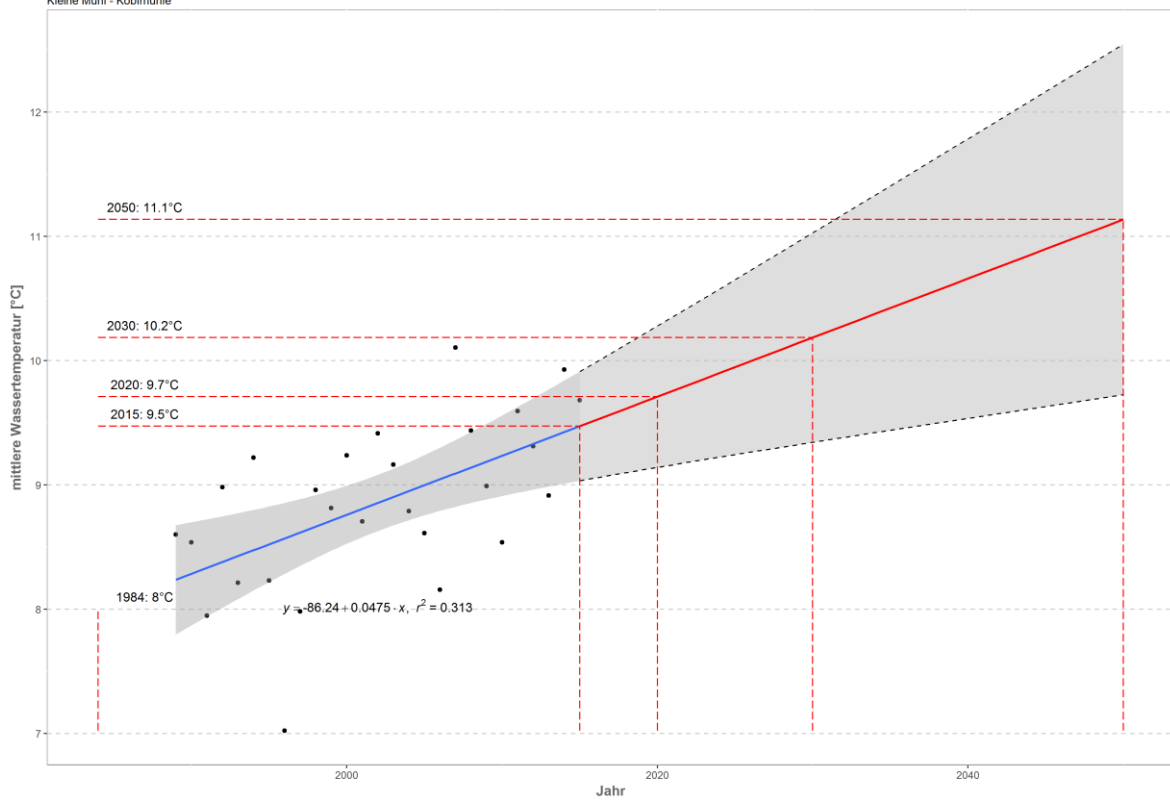
Häufigkeitsverteilung der Wassertemperaturen

Kleine Mühl - Koblmühle
Datenquelle: Pegeldaten HYDRO_OO



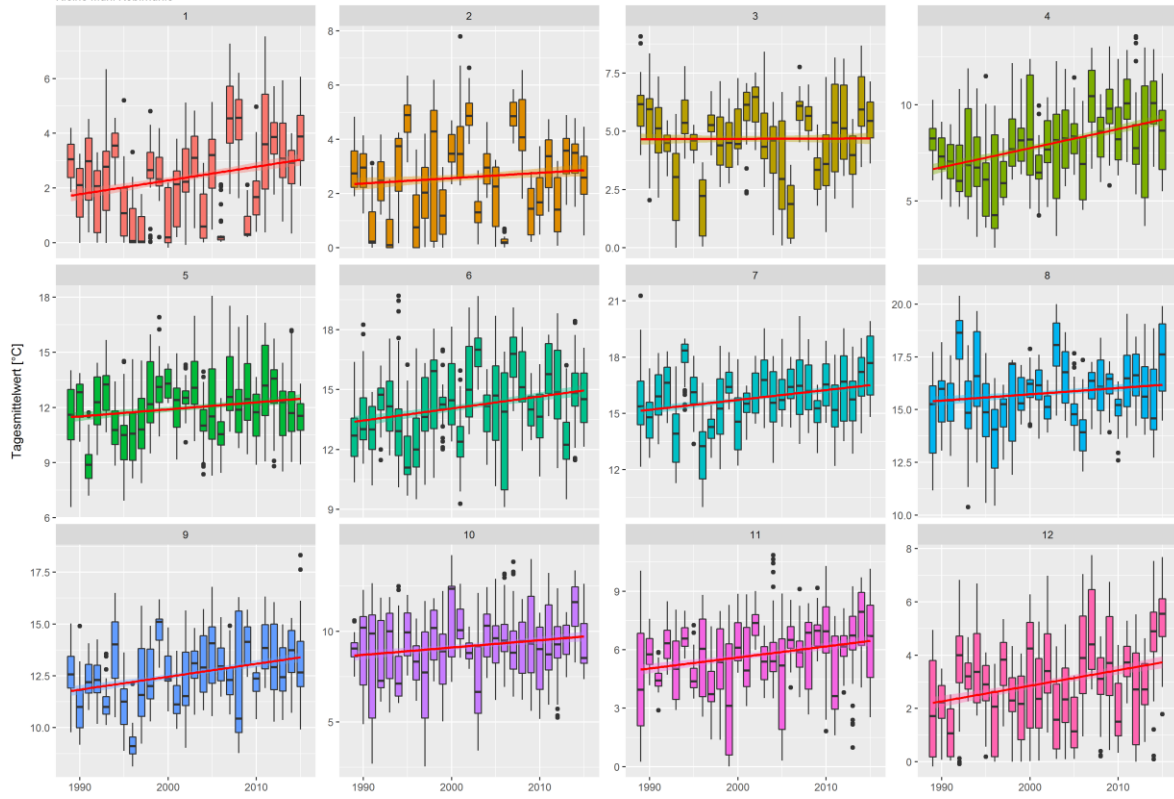
Prognose Wassertemperatur

Kleine Mühl - Koblmühle

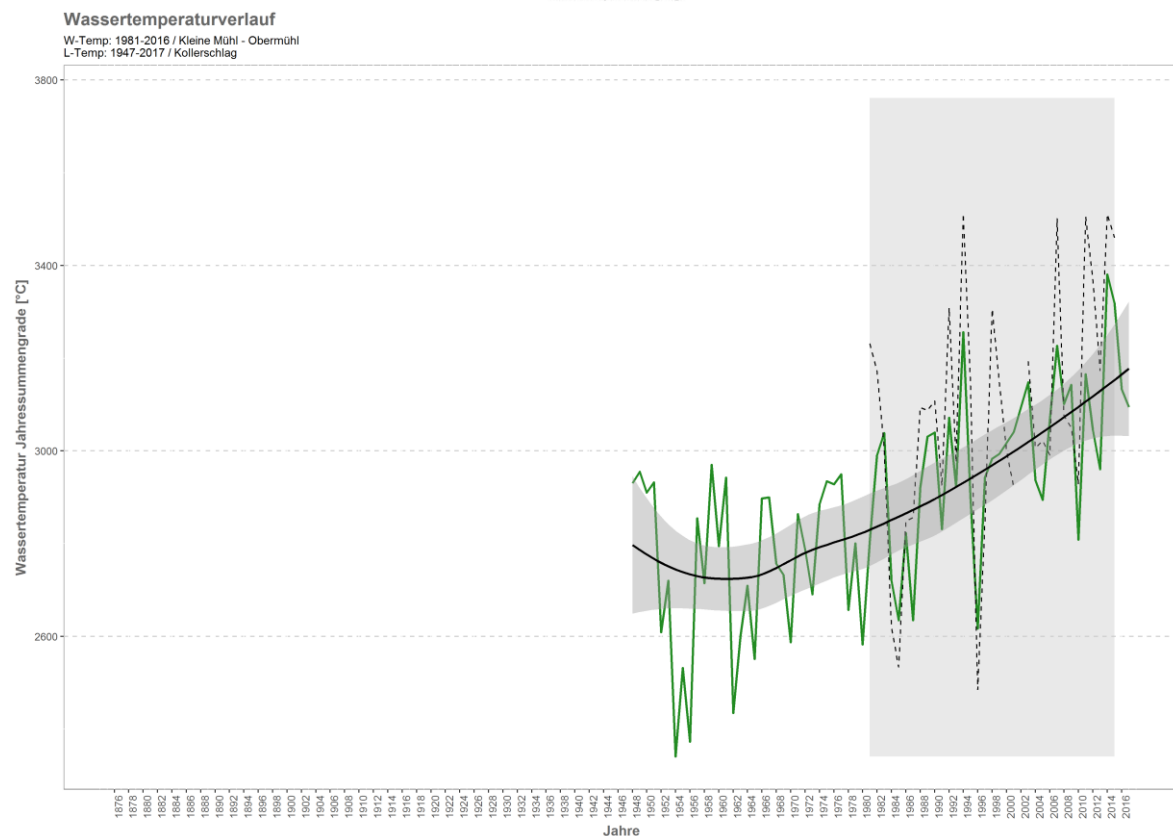
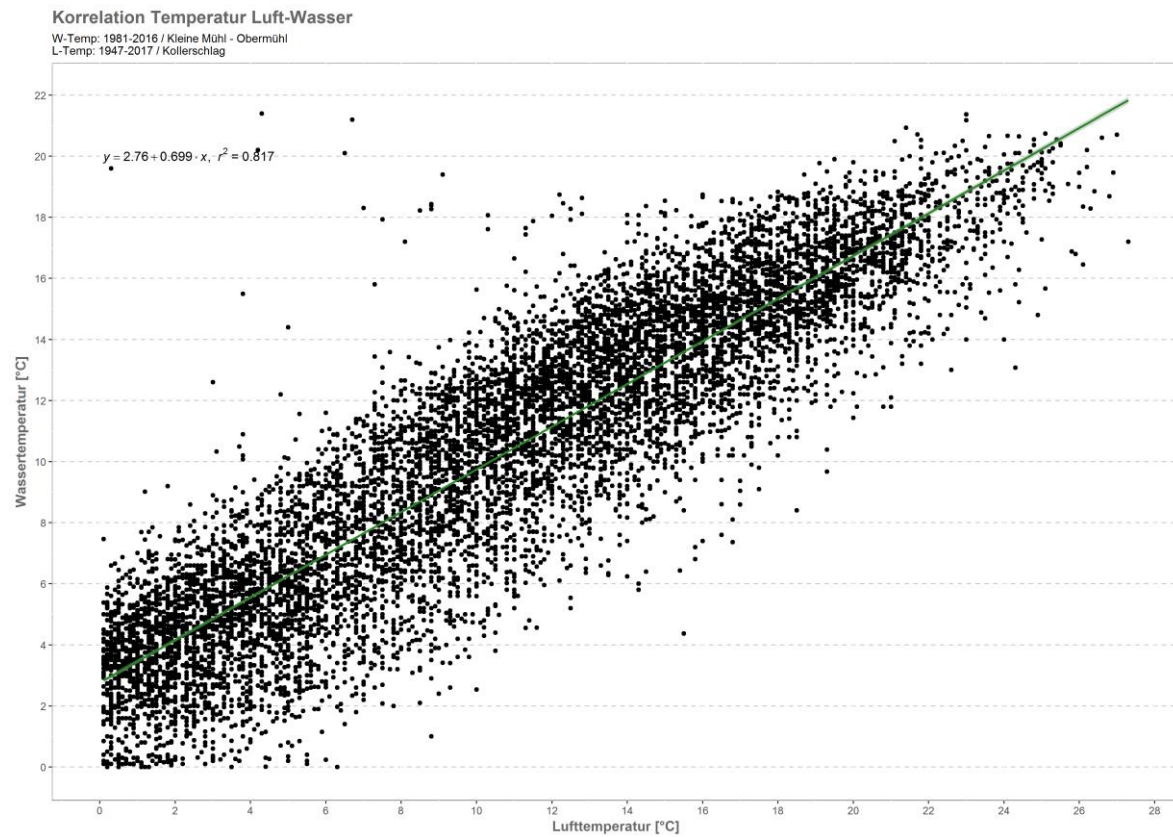


Monatsansicht der Tagesmittelwerte im Jahresverlauf

Kleine Mühl Koblmühle

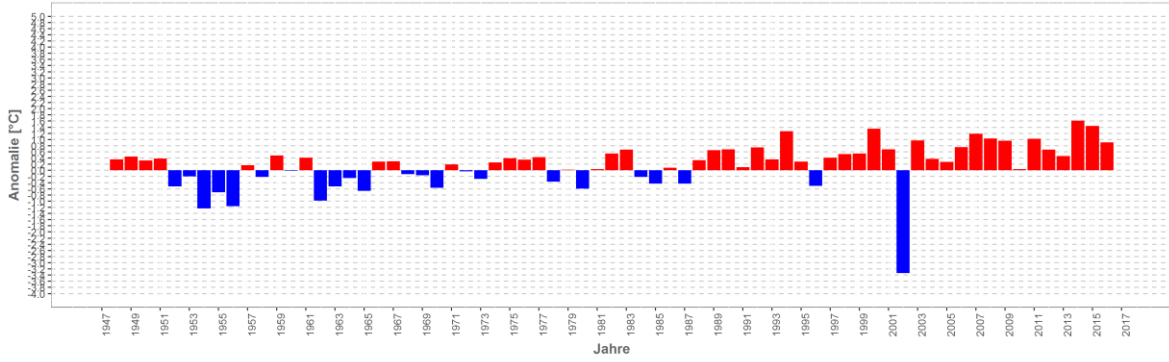


Kleine Mühl – Obermühl

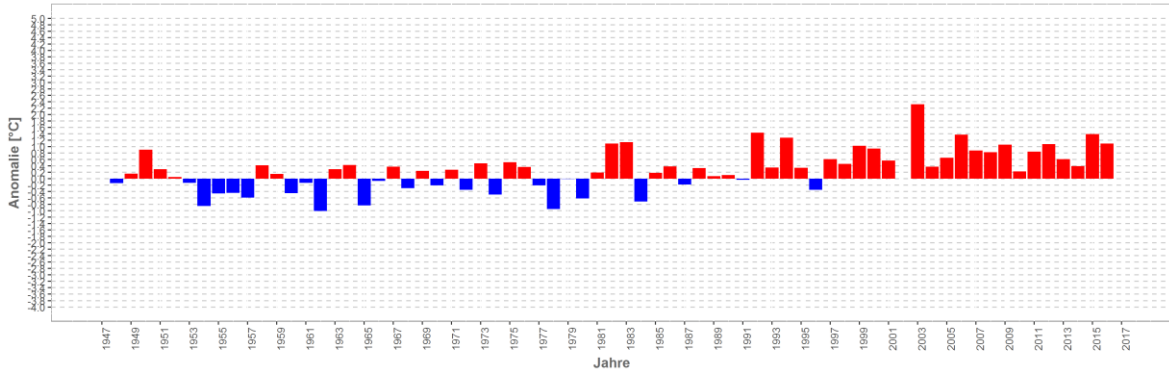


Wassertemperatur-Anomalie

Kleine Mühl - Obermühl (1947-2017)
Referenz: 1961-1990

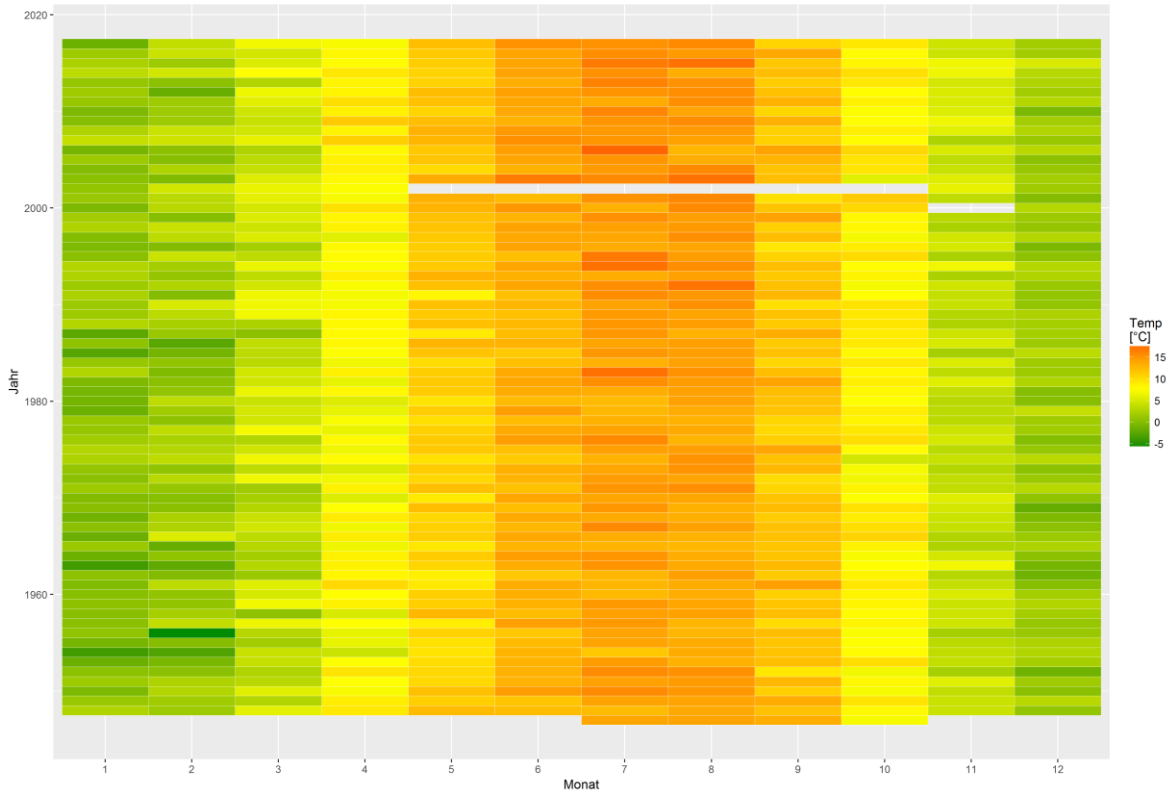


Sommermonate (Mai-Sept)



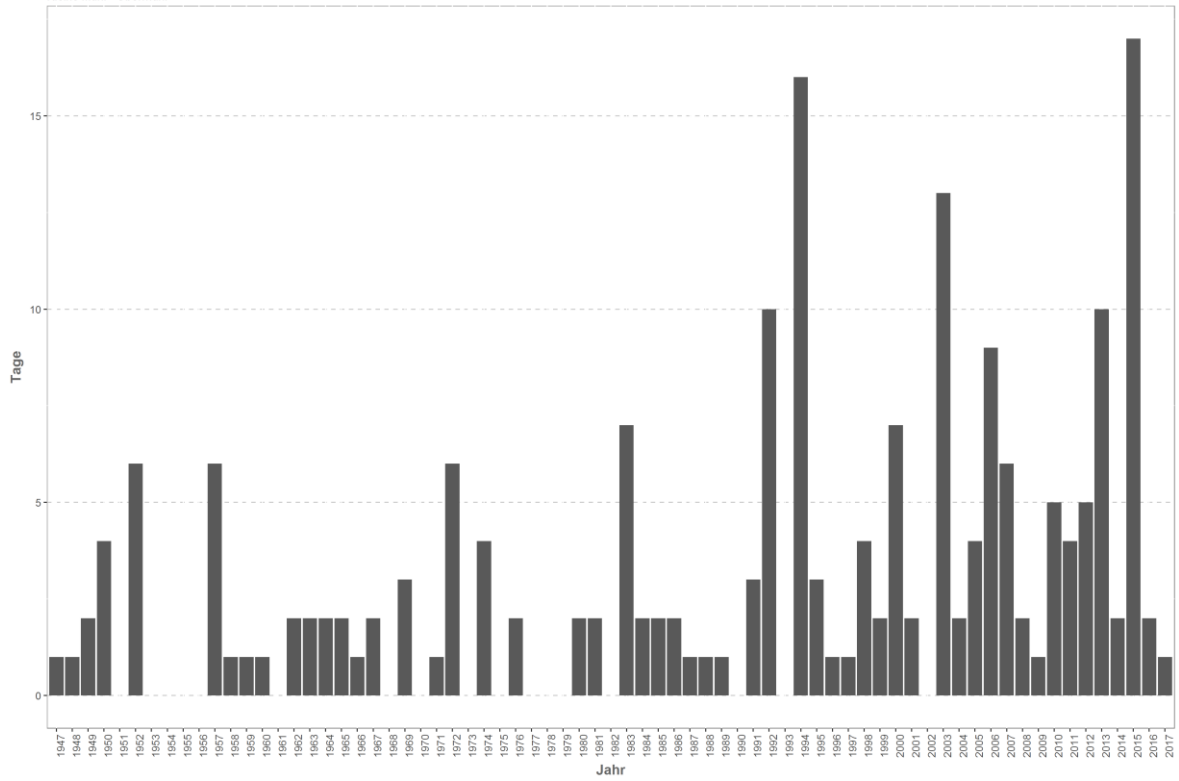
Monatsmittelwert

Kleine Mühl - Obermühl



Temperaturüberschreitungen

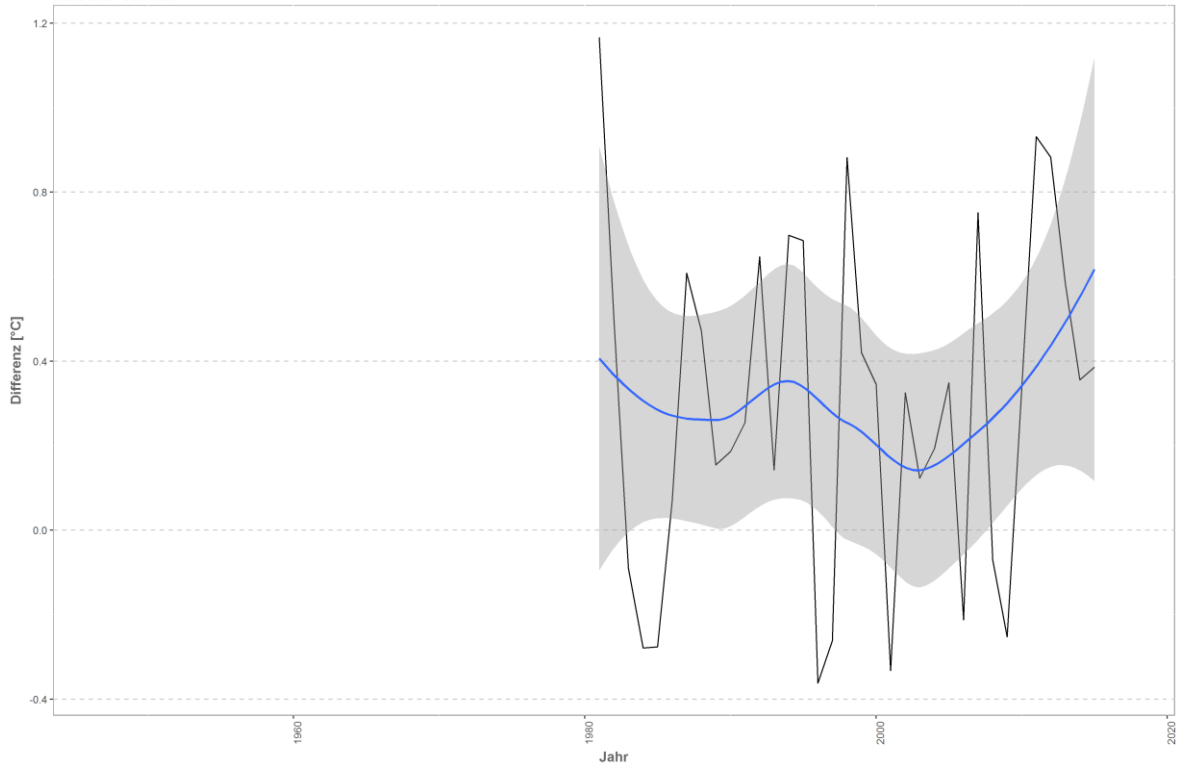
der Grenze sehr gut - gut
Kleine Mühl - Obermühl



Differenzplot

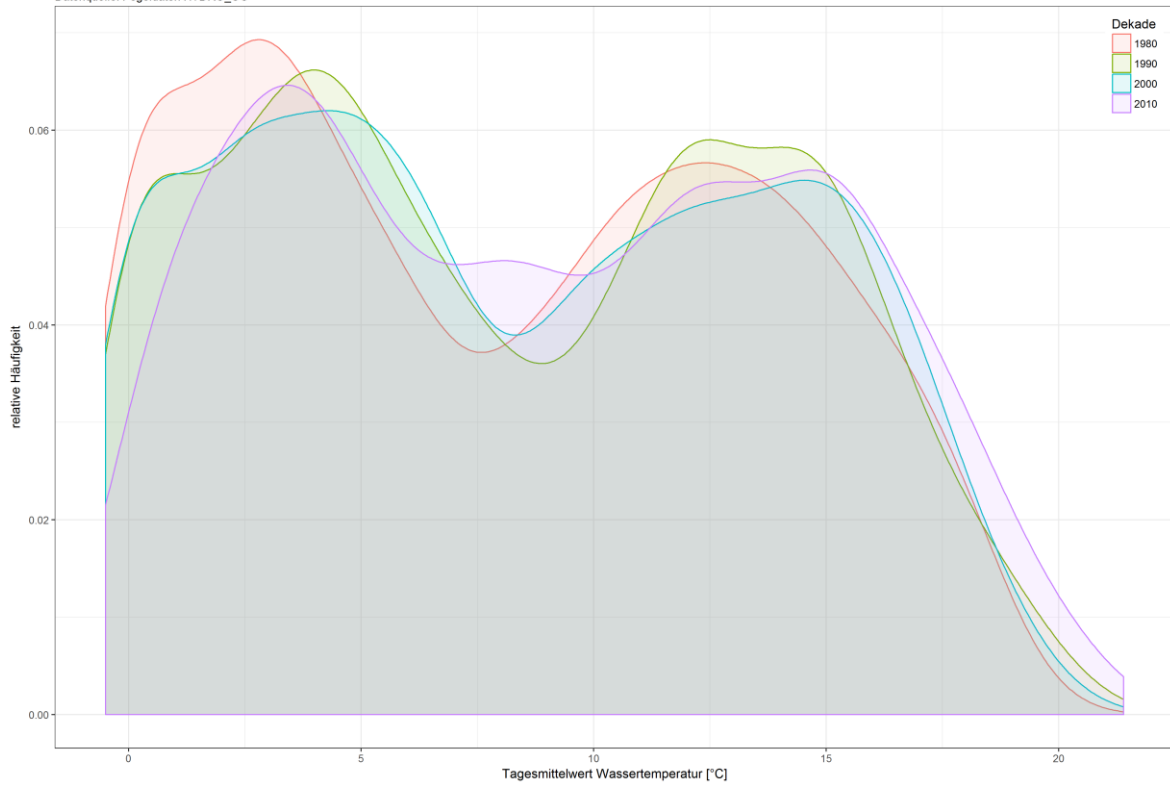
tatsächlich gemessene Wassertemperatur zu Schätzwert der linearen Regression

Kleine Mühl - Obermühl



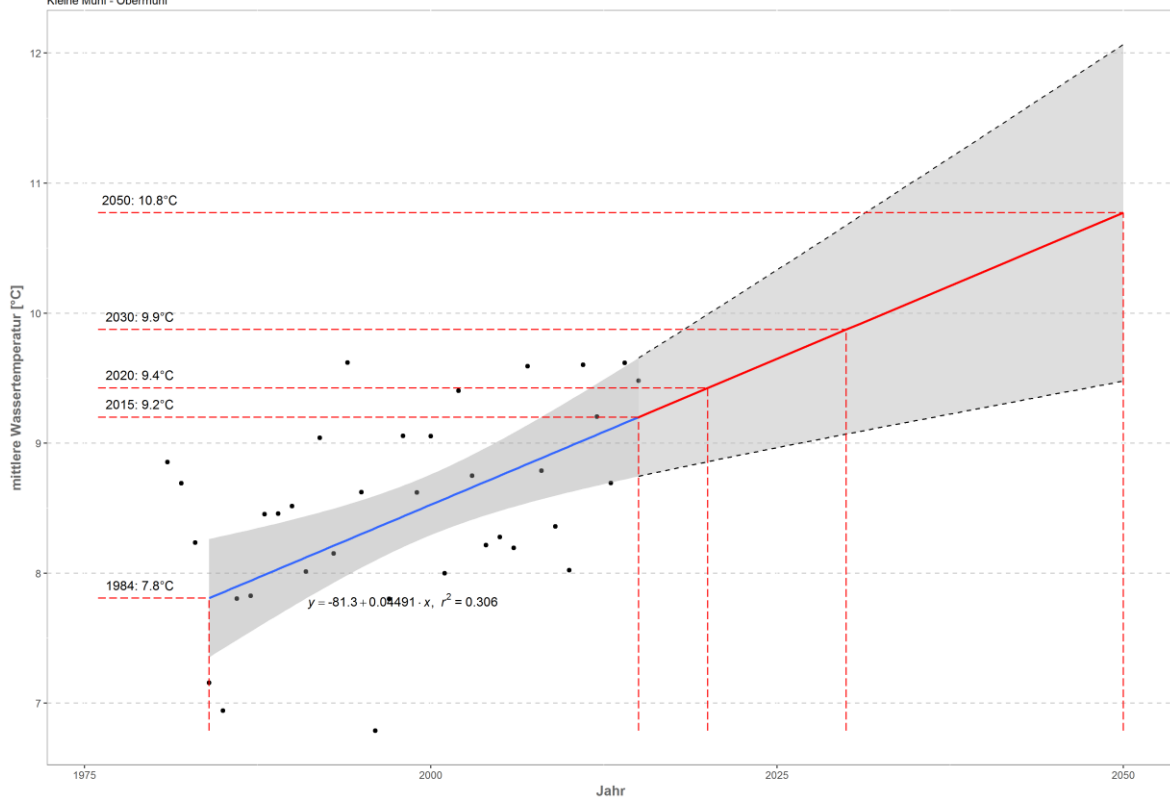
Häufigkeitsverteilung der Wassertemperaturen

Kleine Mühl - Obermühl
Datenquelle: Pegeldaten HYDRO_OO



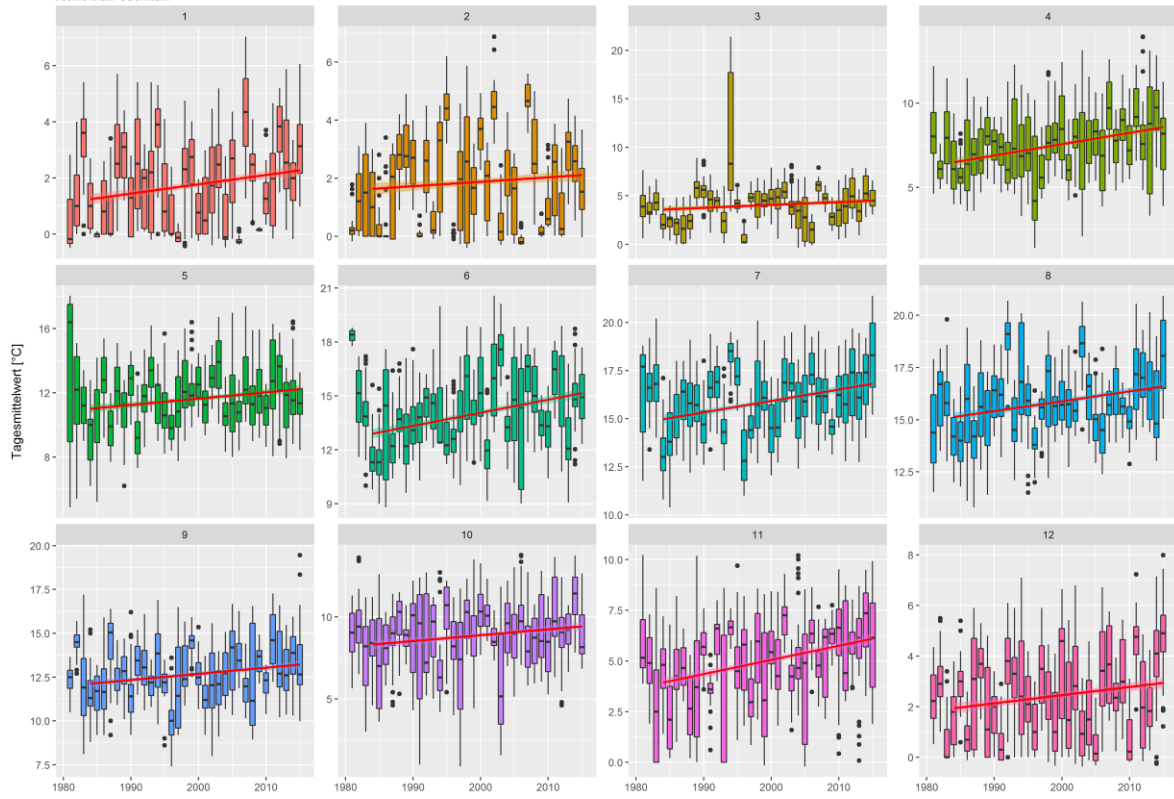
Prognose Wassertemperatur

Kleine Mühl - Obermühl



Monatsansicht der Tagesmittelwerte im Jahresverlauf

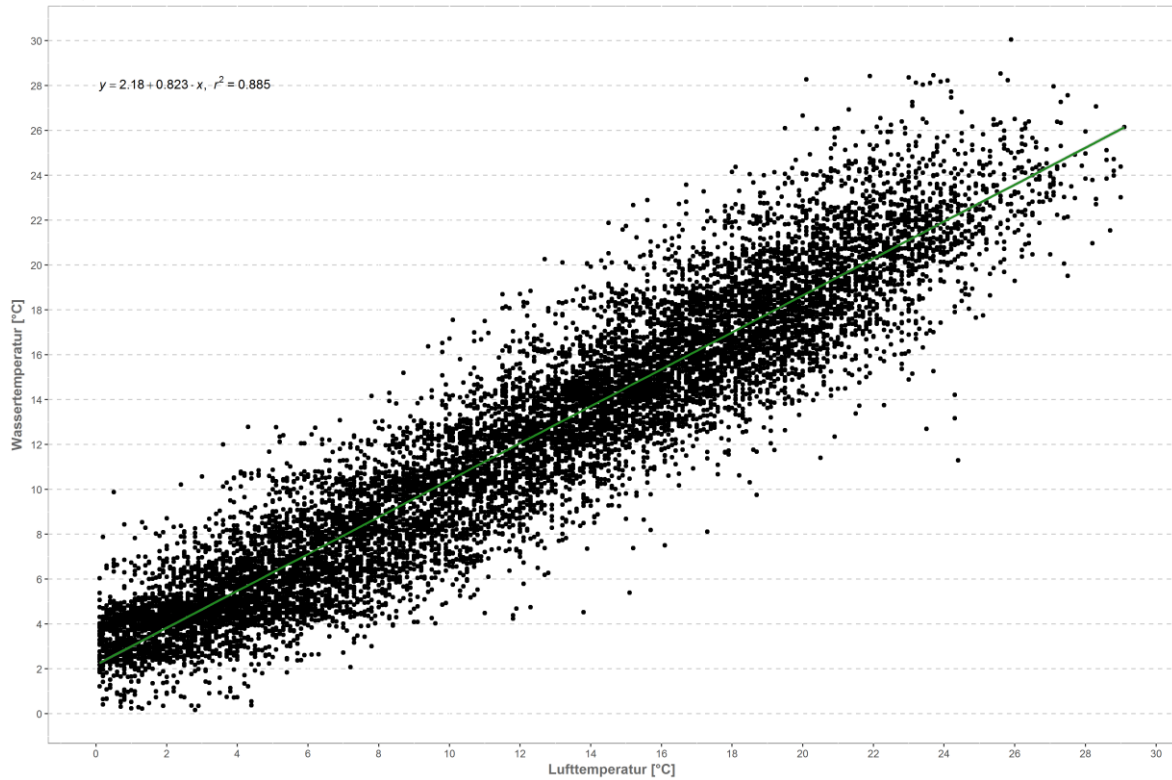
Kleine Mühl Obermühl



Krems – Kremsdorf

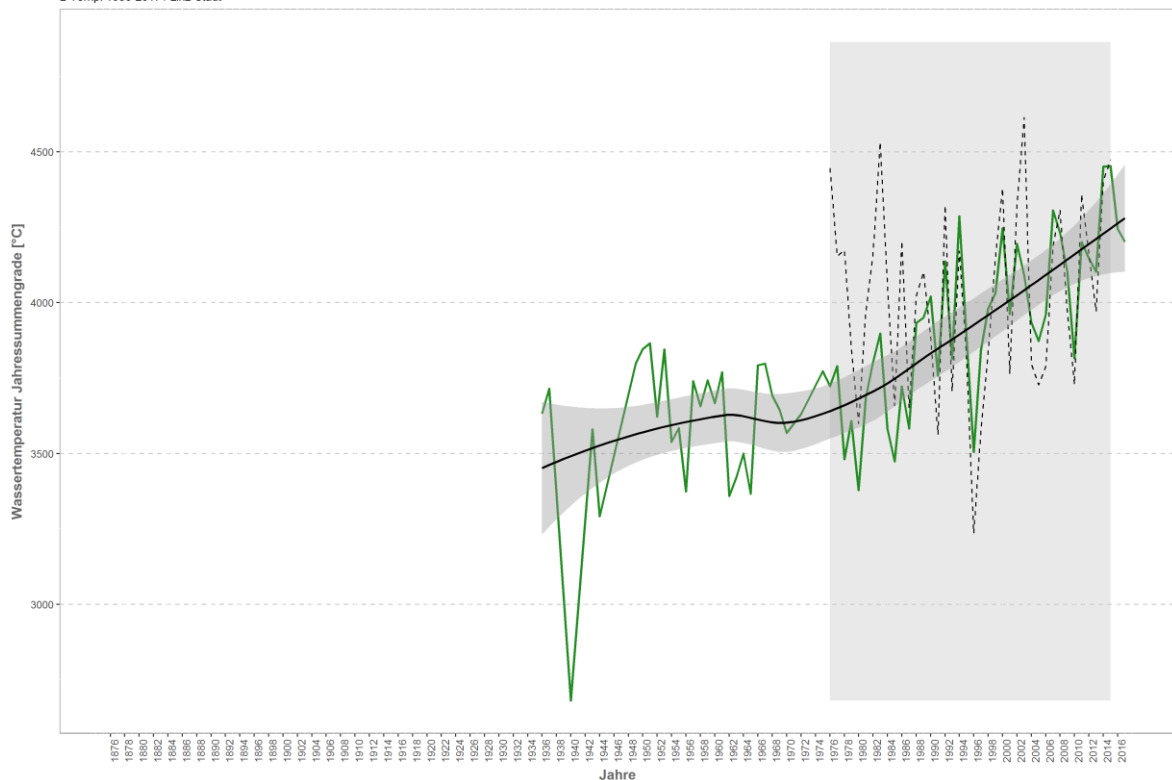
Korrelation Temperatur Luft-Wasser

W-Temp: 1976-2016 / Krems - Kremsdorf
L-Temp: 1936-2017 / Linz-Stadt



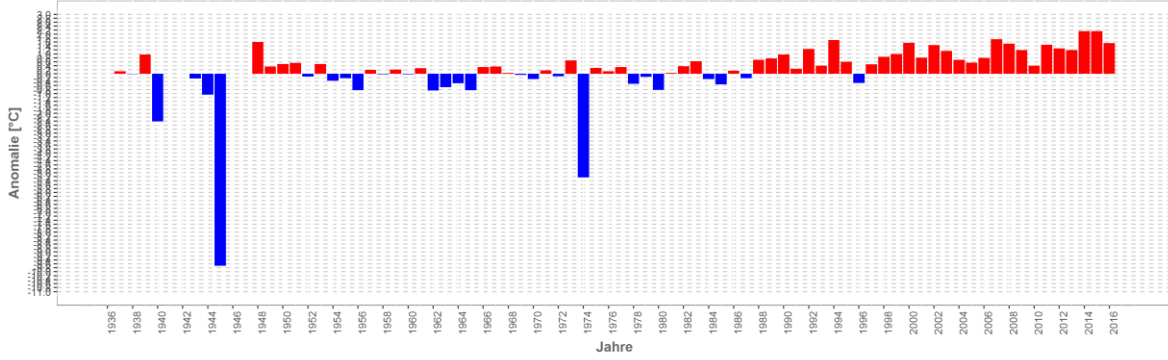
Wassertemperaturverlauf

W-Temp: 1976-2016 / Krems - Kremsdorf
L-Temp: 1936-2017 / Linz-Stadt

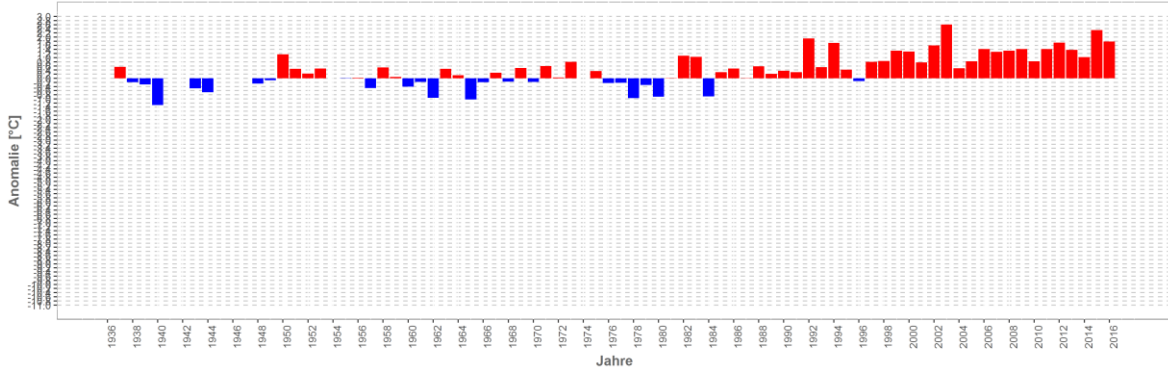


Wassertemperatur-Anomalie

Krems - Kremsdorf (1936-2017)
Referenz: 1961-1990

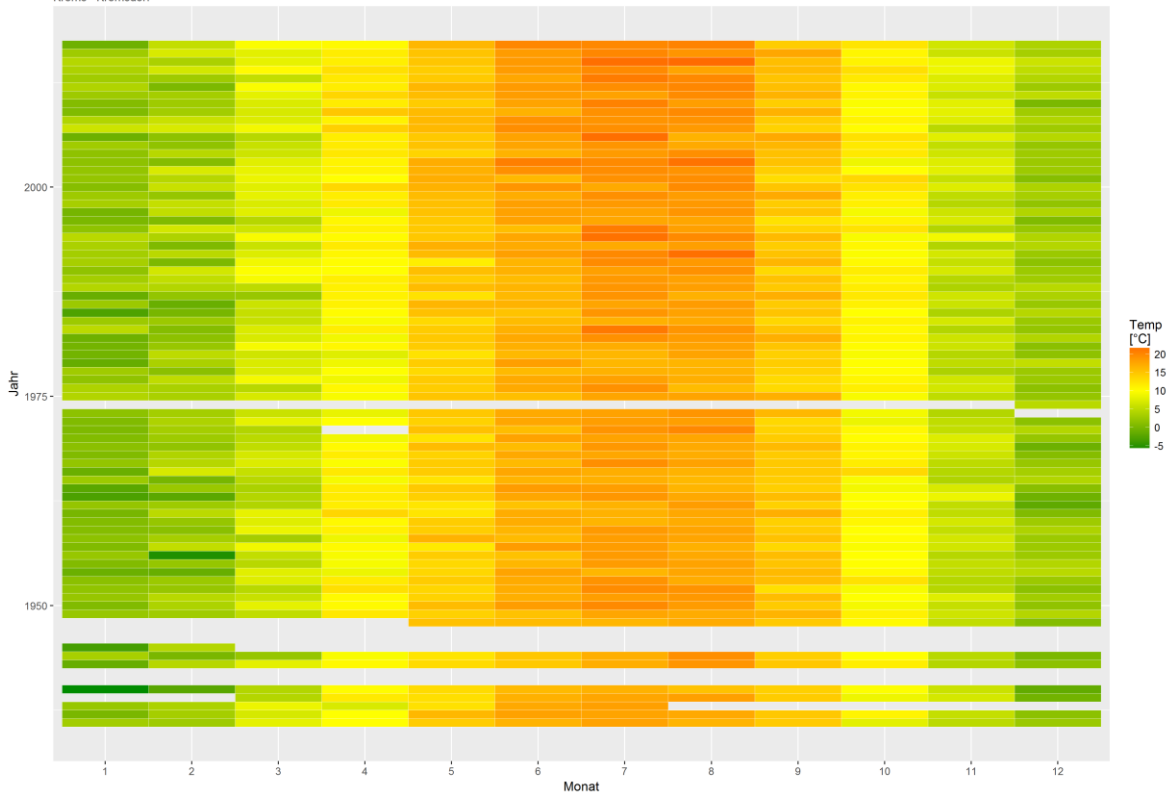


Sommermonate (Mai-Sept)



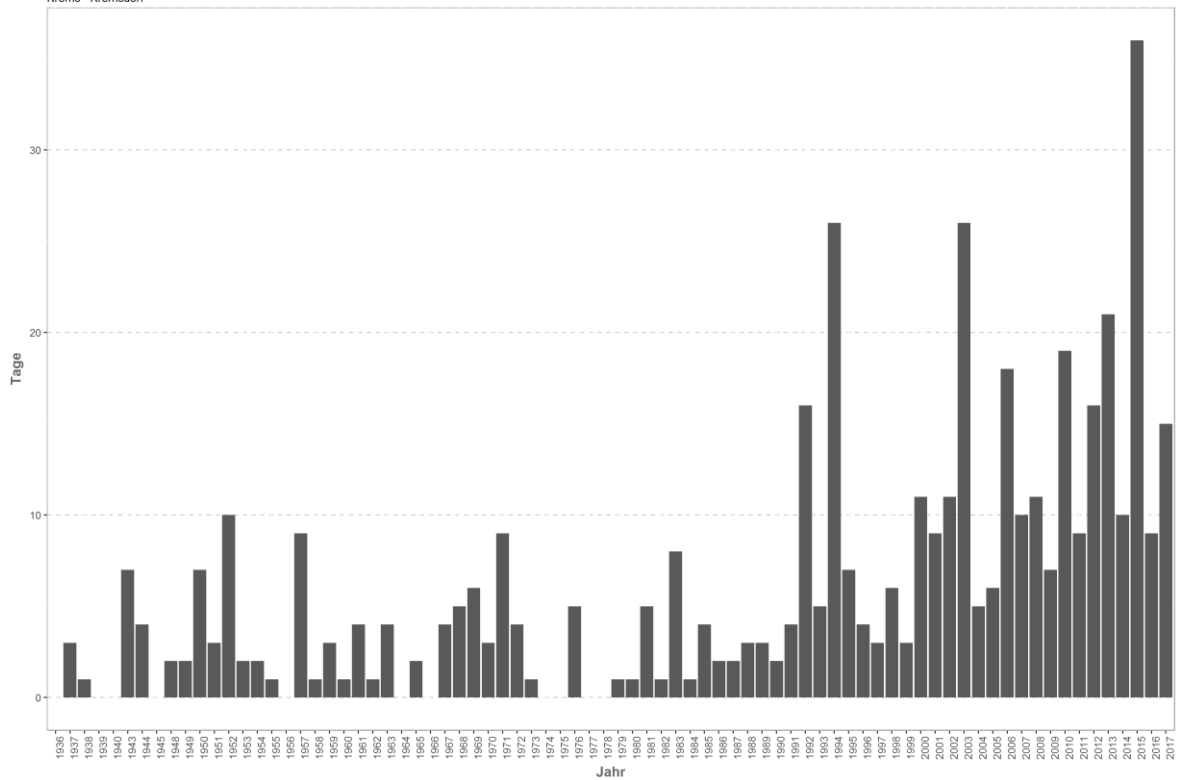
Monatsmittelwert

Krems - Kremsdorf



Temperaturüberschreitungen

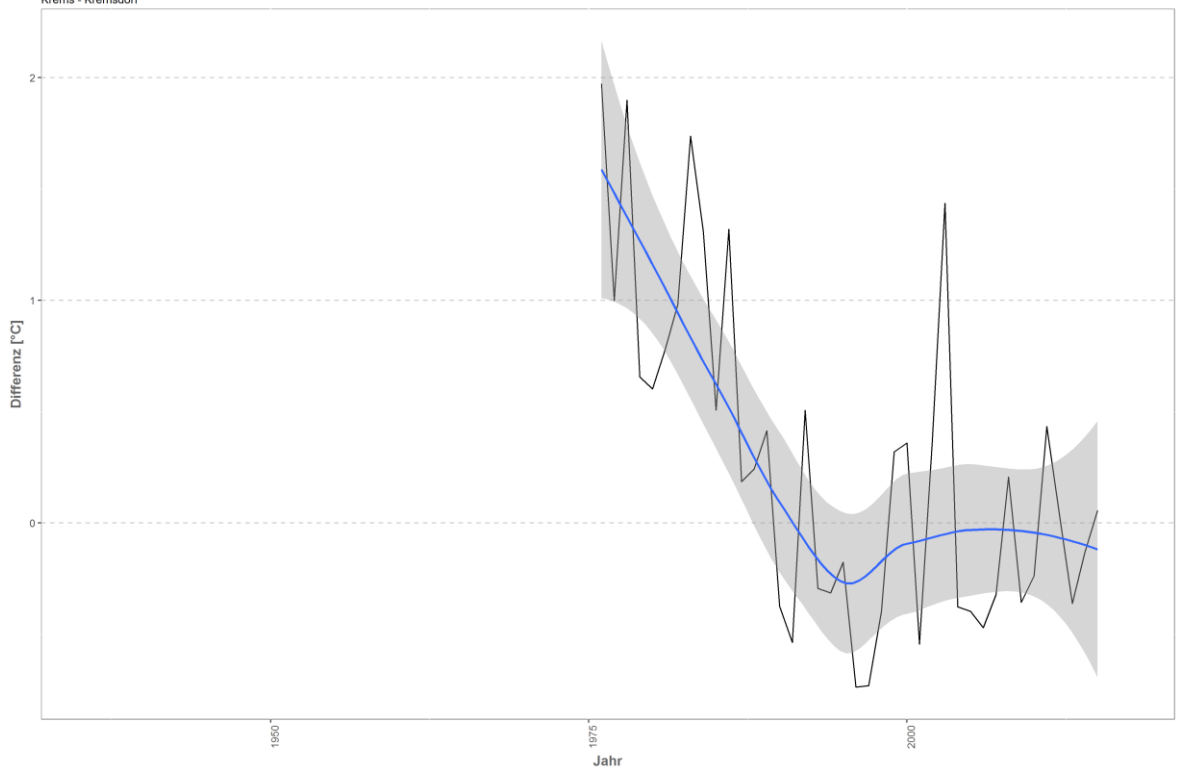
der Grenze sehr gut - gut
Krems - Kremsdorf



Differenzplot

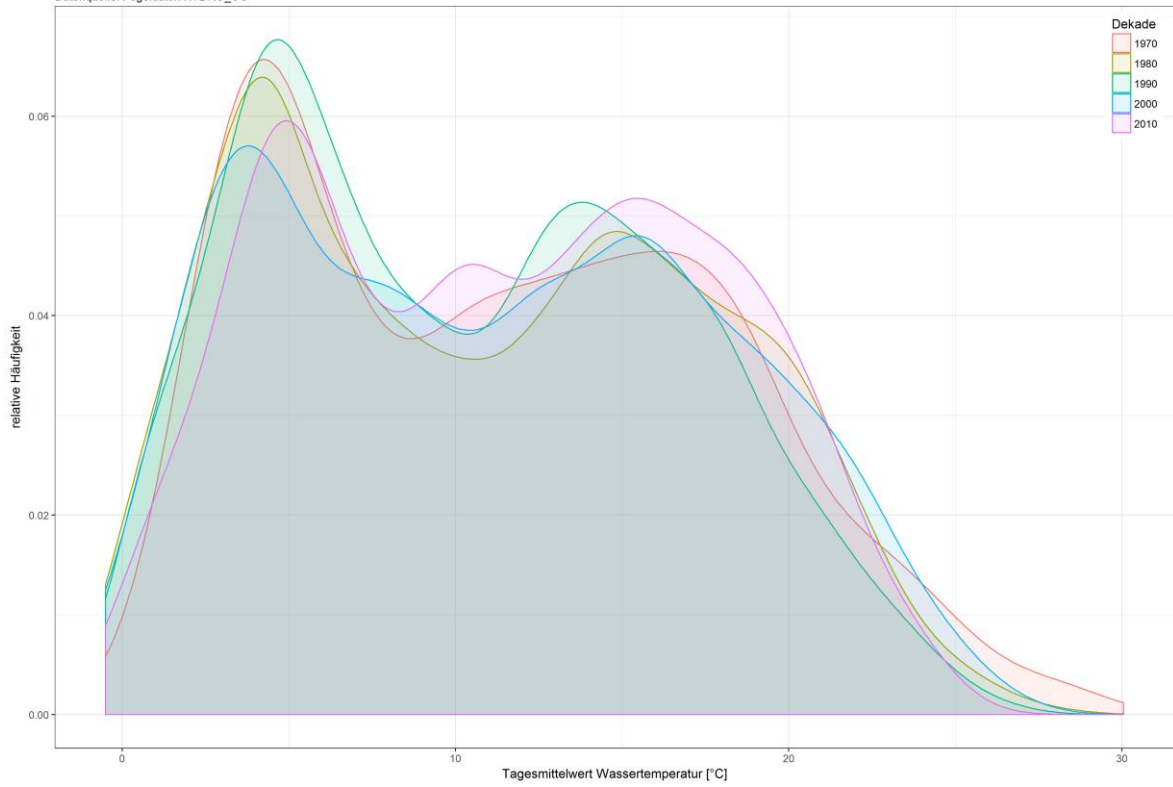
tatsächlich gemessene Wassertemperatur zu Schätzwert der linearen Regression

Krems - Kremsdorf



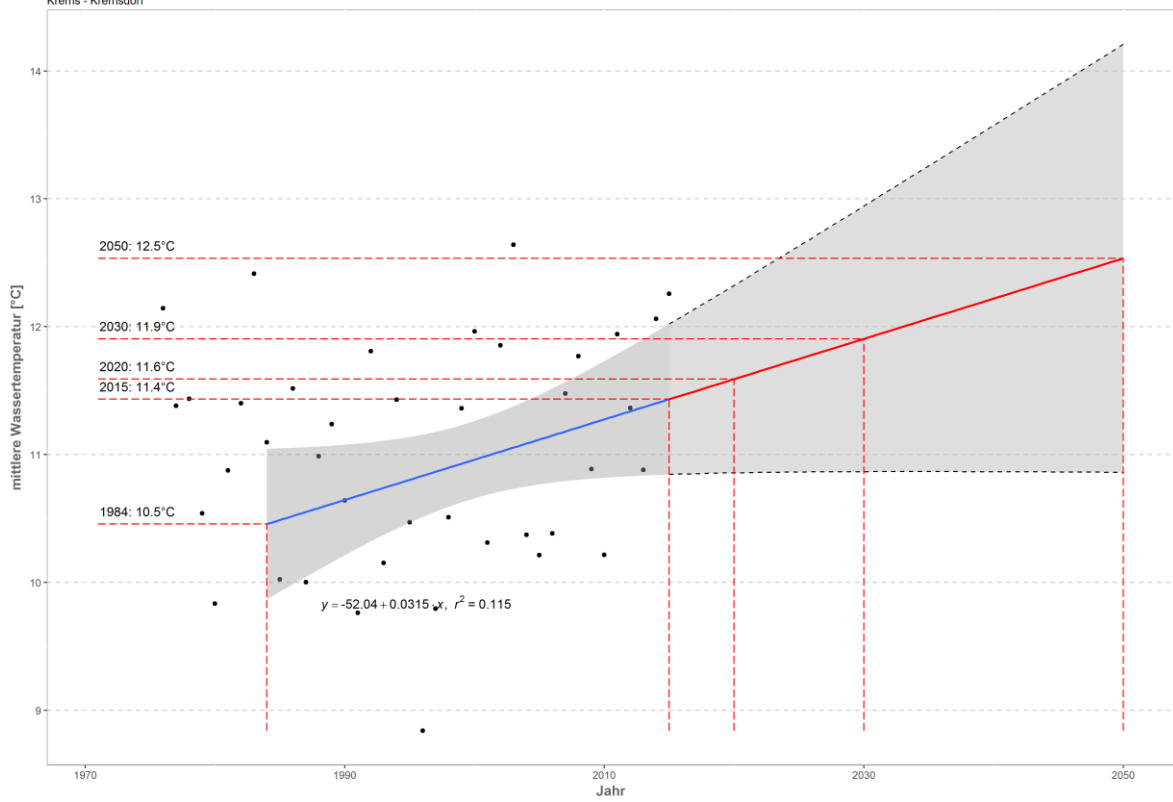
Häufigkeitsverteilung der Wassertemperaturen

Krems - Kremsdorf
Datenquelle: Pegeldaten HYDRO_OO



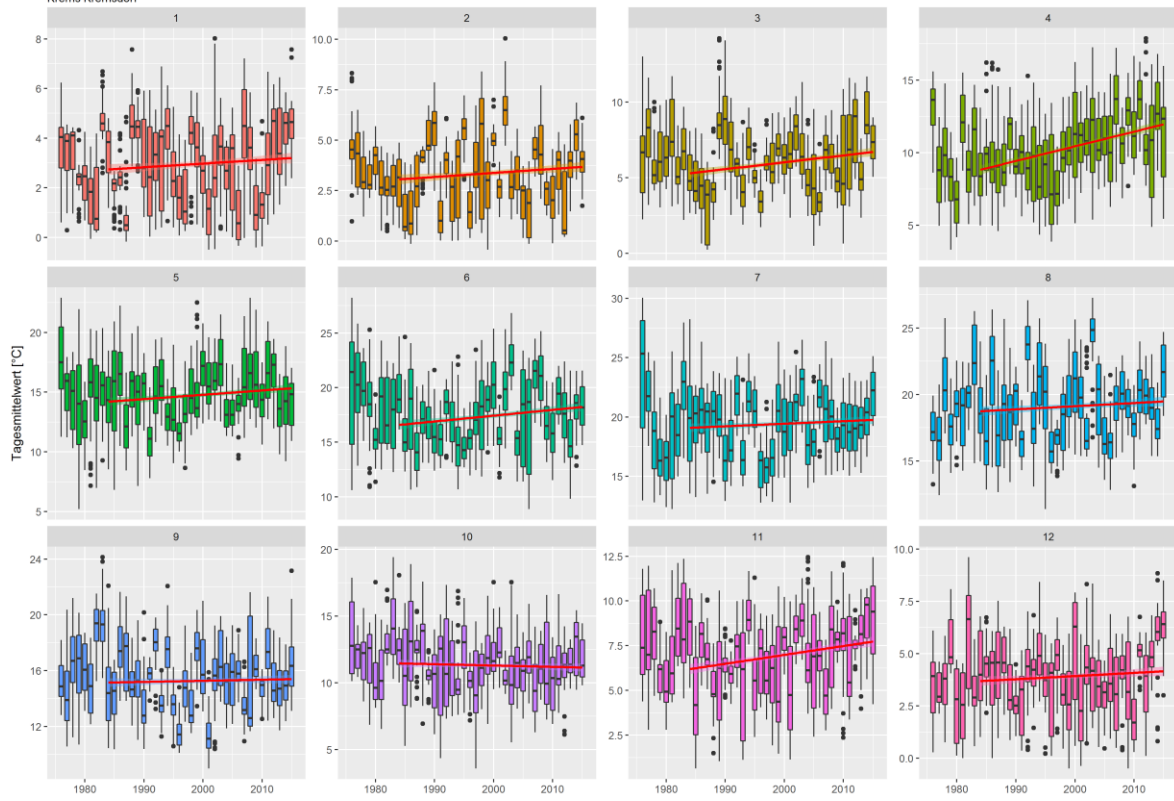
Prognose Wassertemperatur

Krems - Kremsdorf

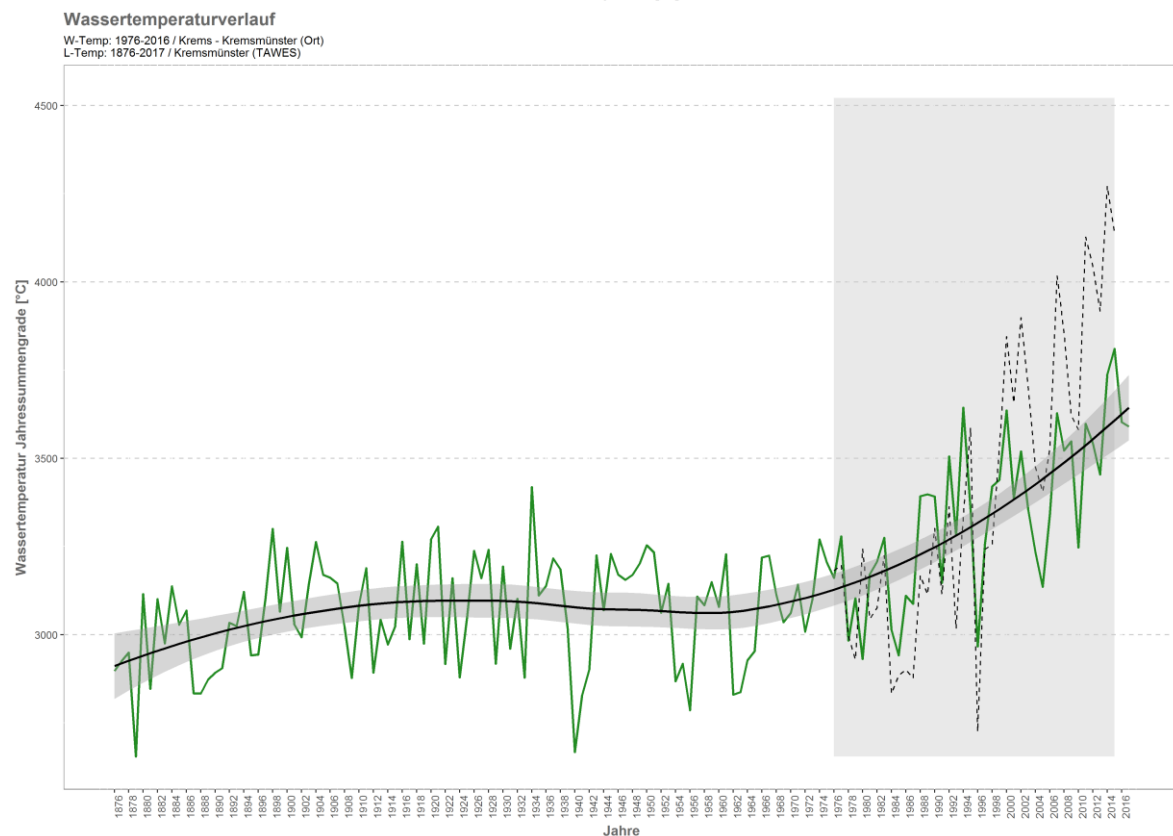
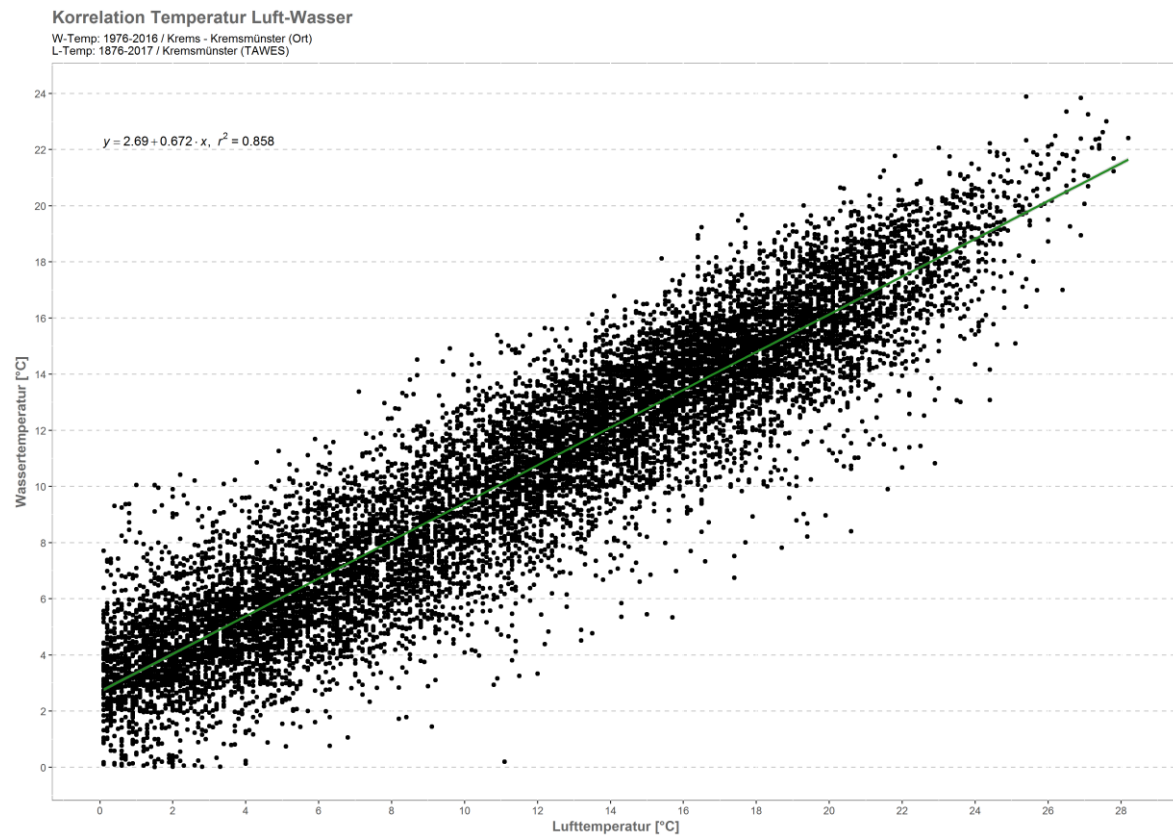


Monatsansicht der Tagesmittelwerte im Jahresverlauf

Krems Kremsdorf

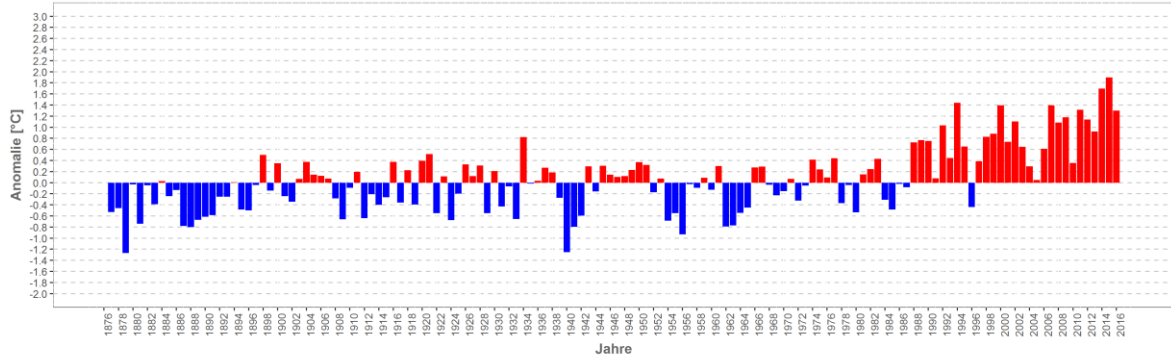


Krems – Kremsmünster (Ort)

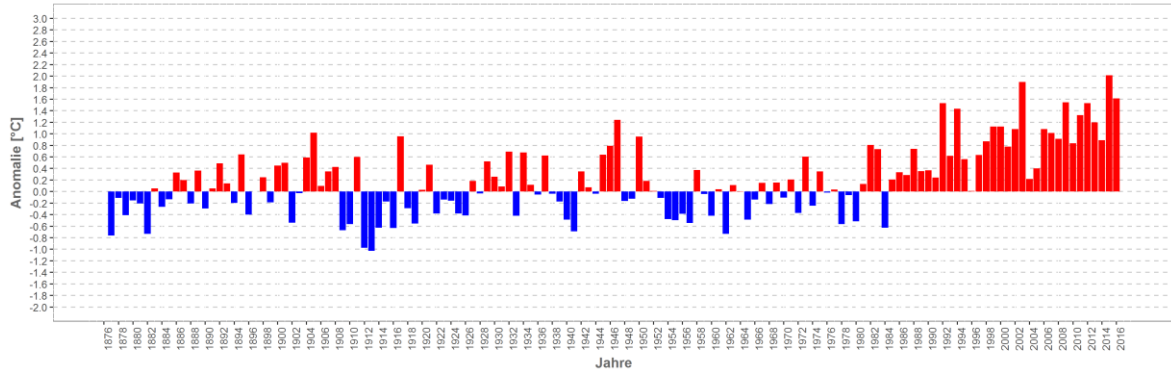


Wassertemperatur-Anomalie

Krems - Kremsmünster (Ort) (1876-2017)
Referenz: 1961-1990

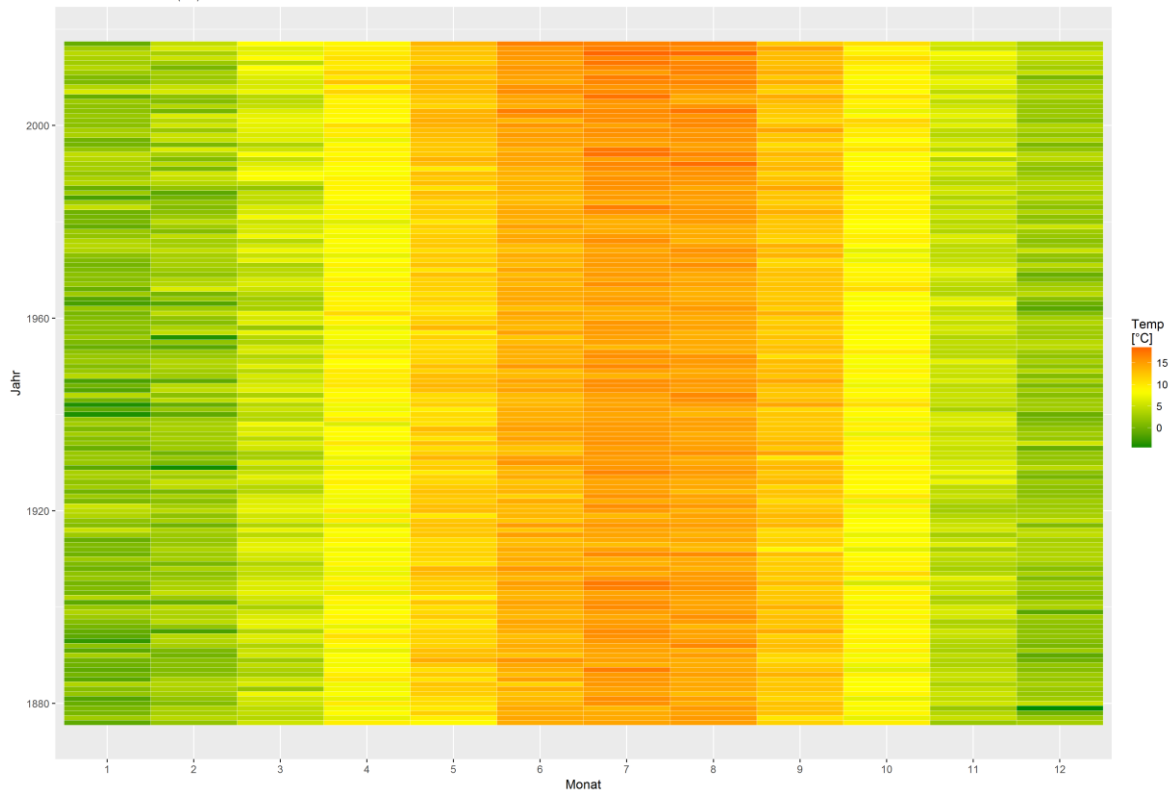


Sommermonate (Mai-Sept)



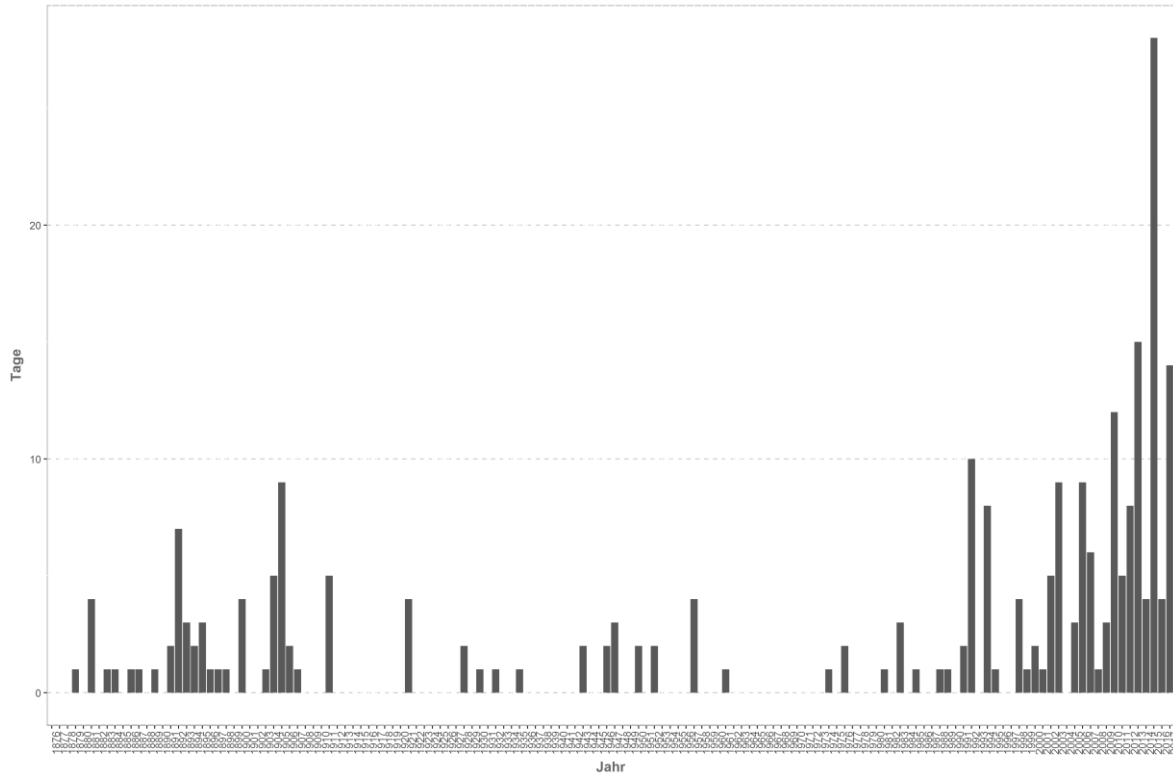
Monatsmittelwert

Krems - Kremsmünster (Ort)



Temperaturüberschreitungen

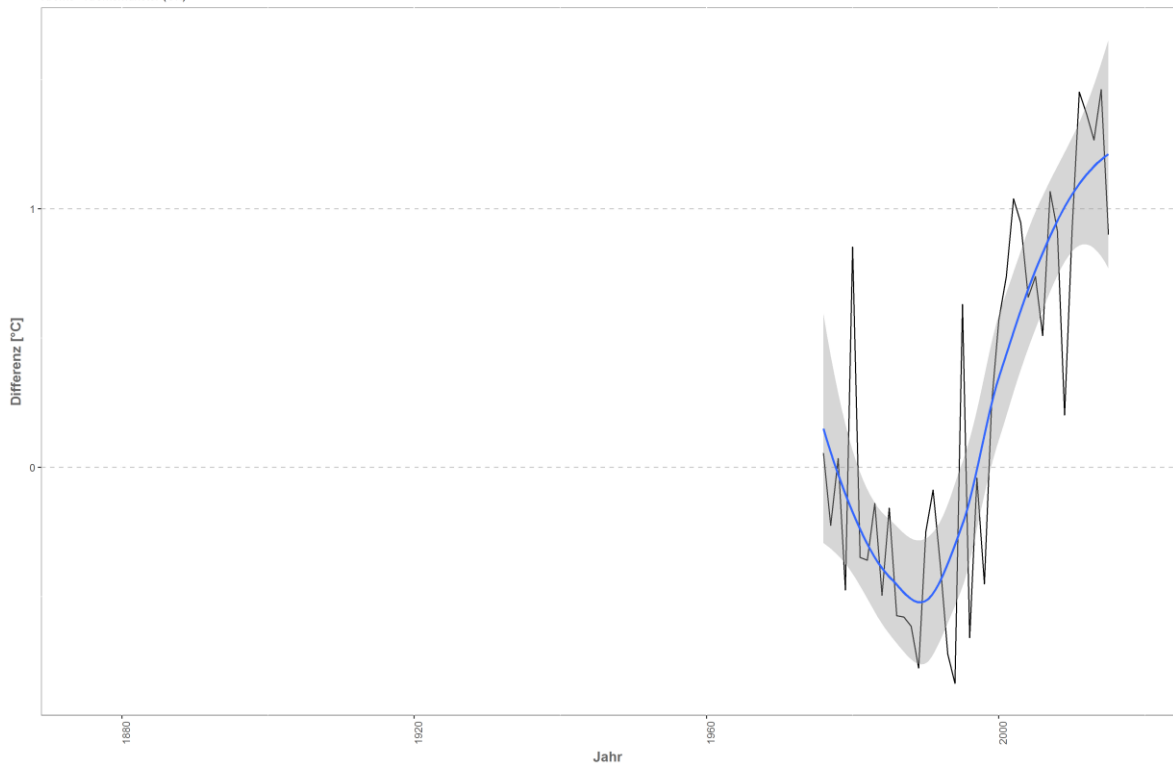
der Grenze sehr gut - gut
Krems - Kremsmünster (Ort)



Differenzplot

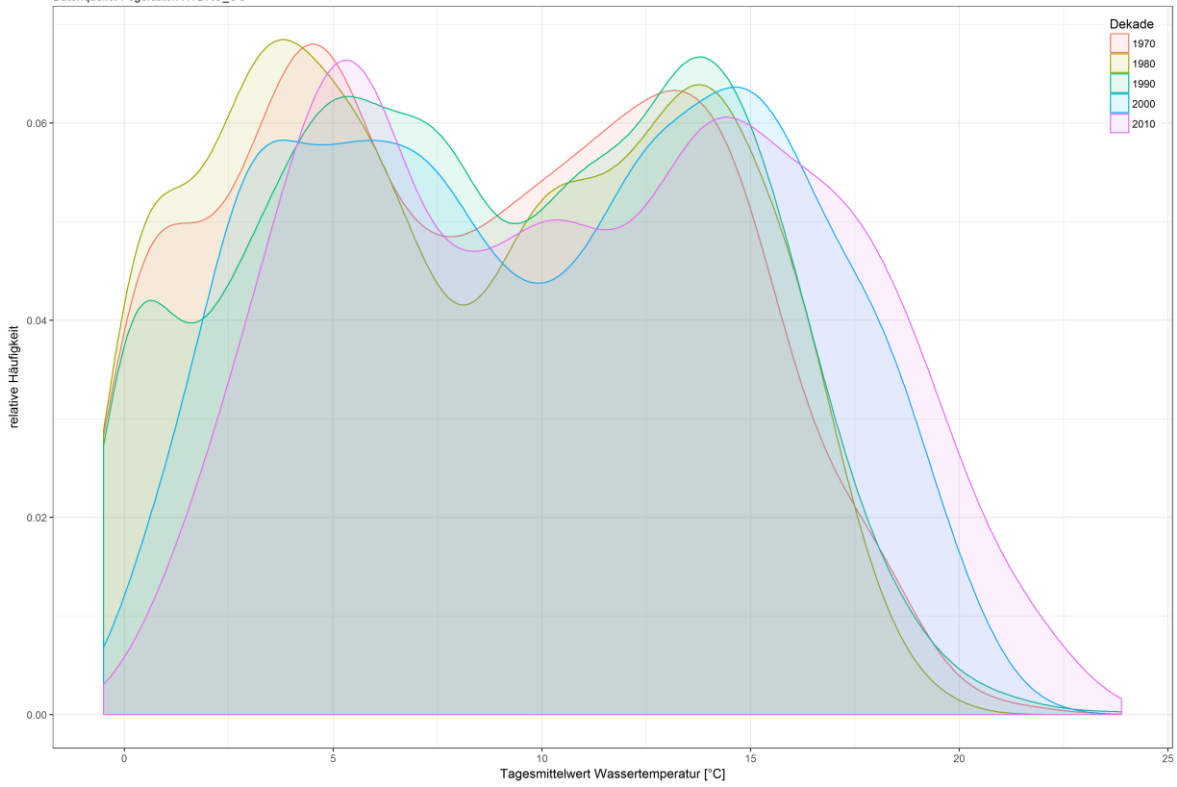
tatsächlich gemessene Wassertemperatur zu Schätzwert der linearen Regression

Krems - Kremsmünster (Ort)



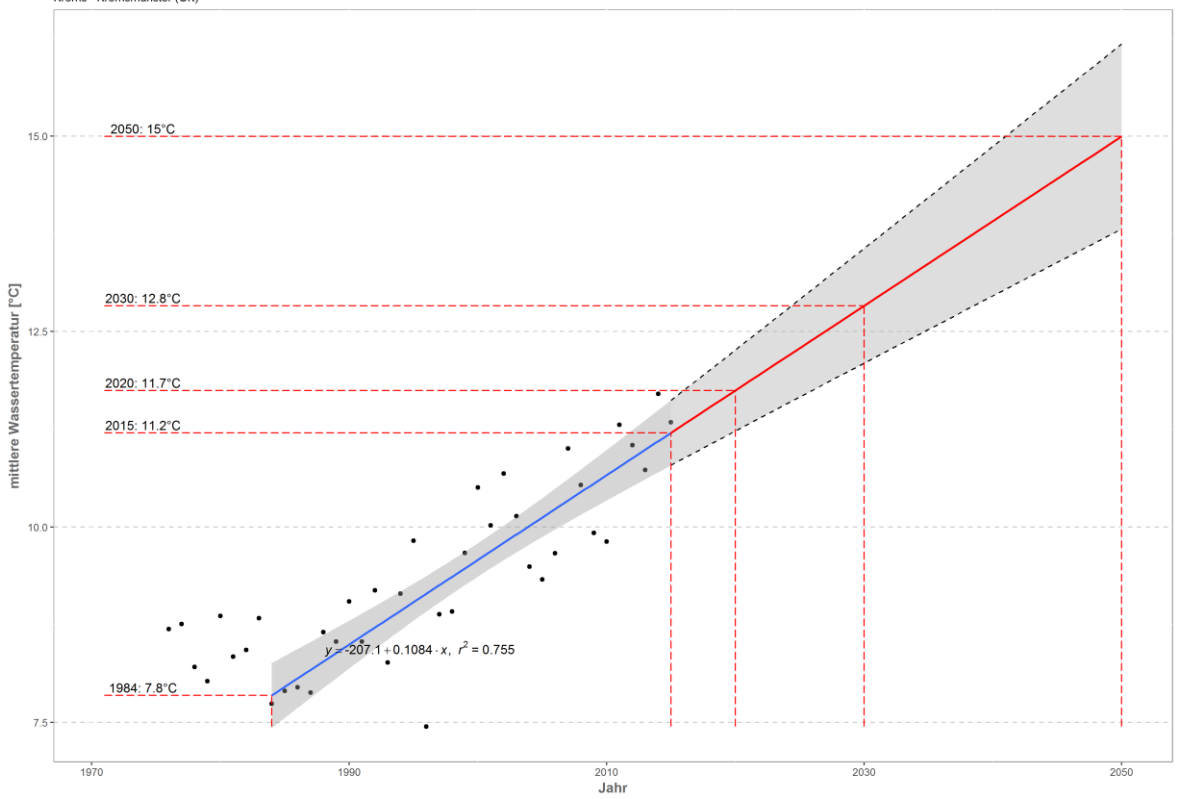
Häufigkeitsverteilung der Wassertemperaturen

Krems - Kremsmünster (Ort)
 Datenquelle: Pegeldaten HYDRO_OO

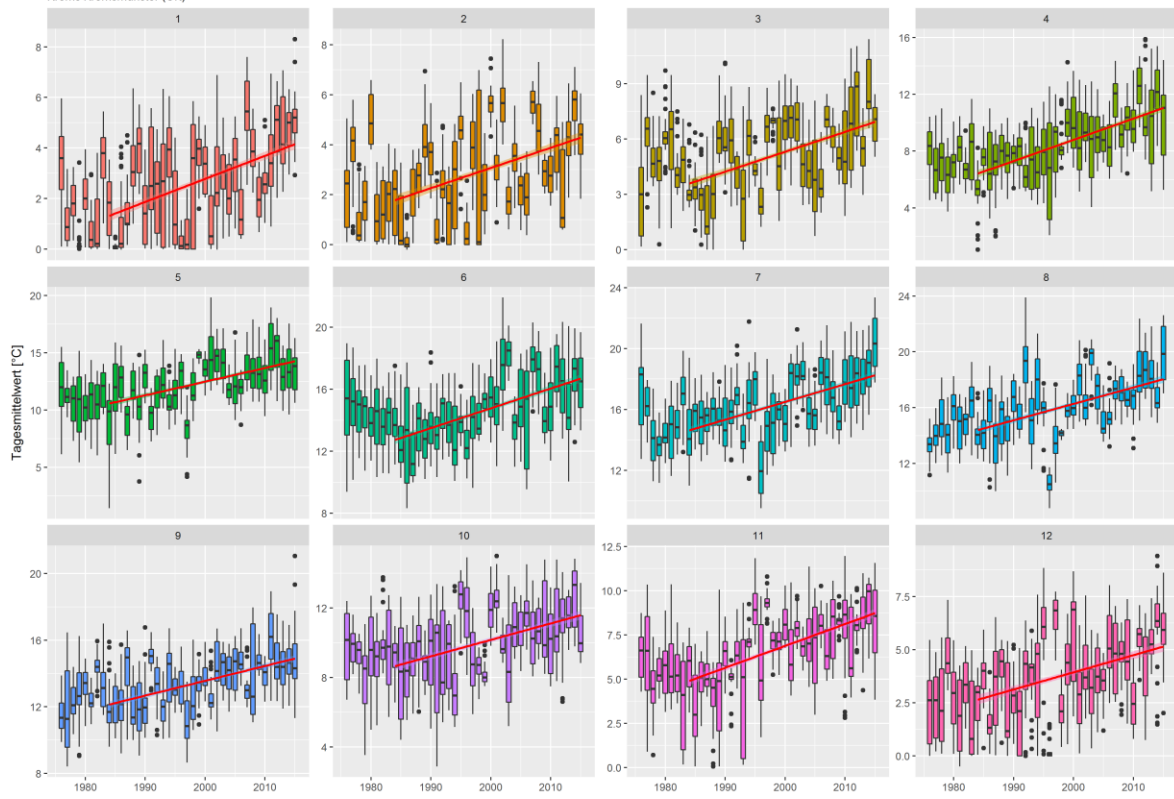


Prognose Wassertemperatur

Krems - Kremsmünster (Ort)



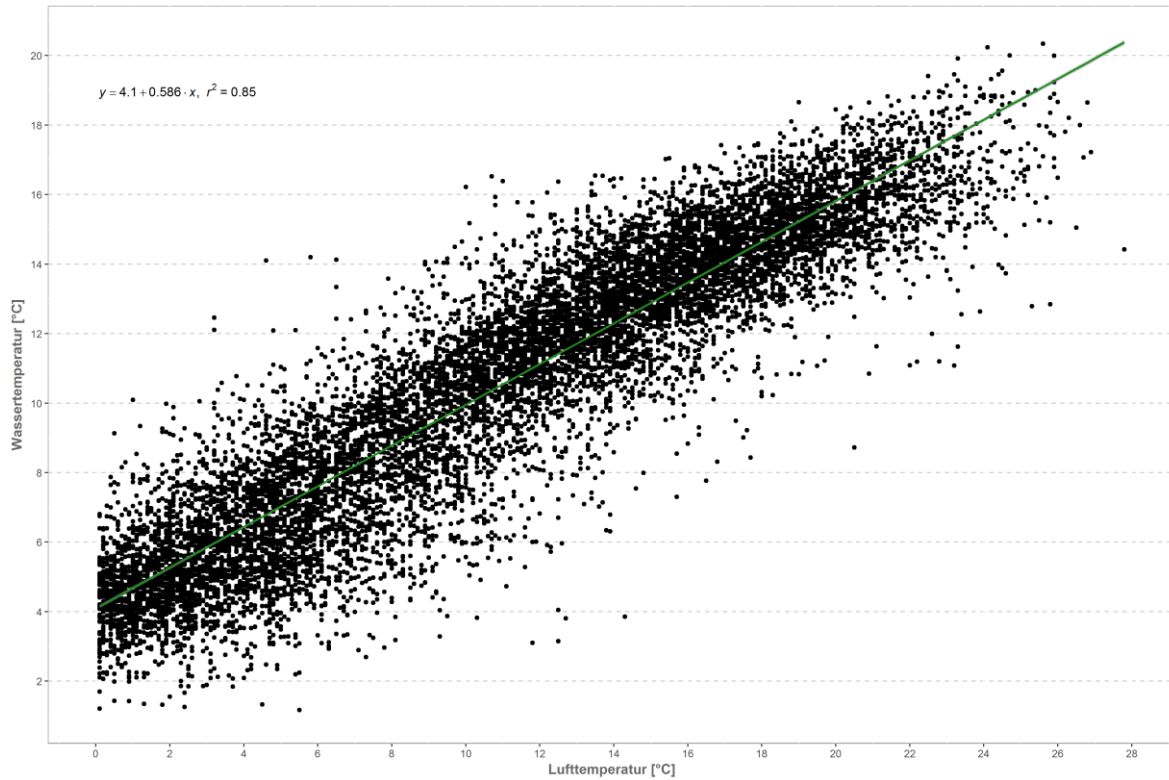
Monatsansicht der Tagesmittelwerte im Jahresverlauf
Krems Kremsmünster (Ort)



Mattig – Jahrsdorf

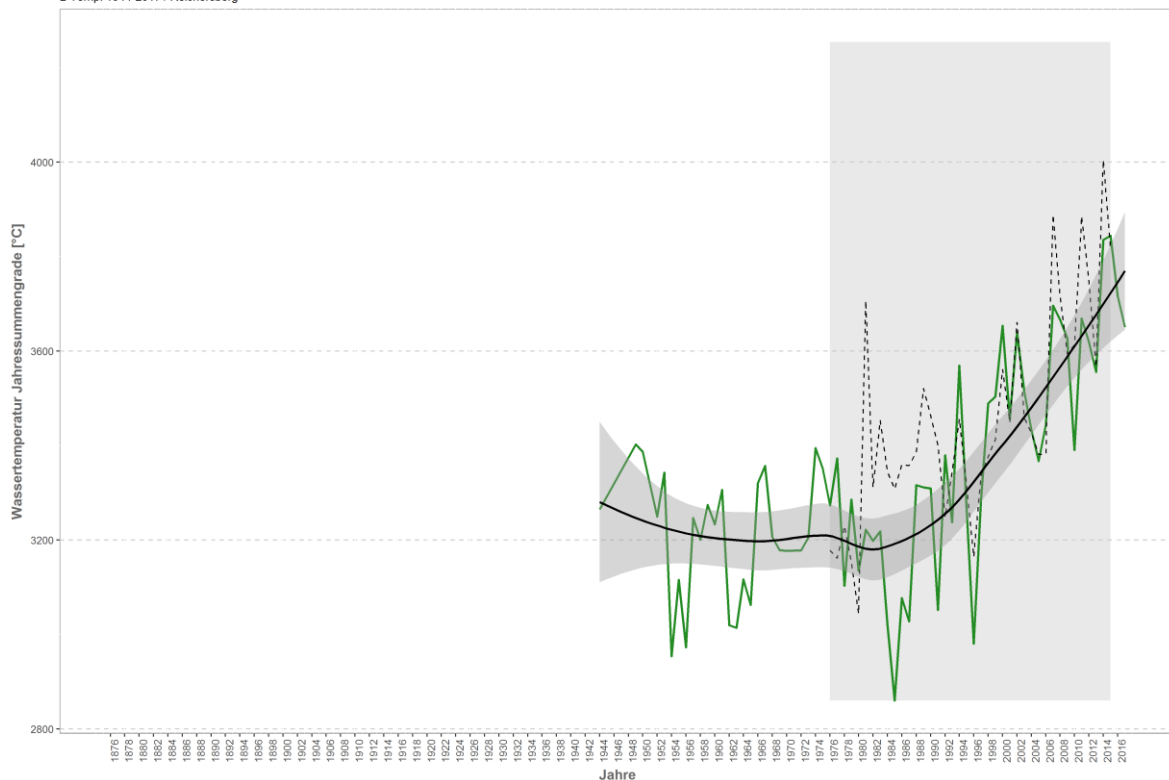
Korrelation Temperatur Luft-Wasser

W-Temp: 1976-2016 / Mattig - Jahrsdorf
L-Temp: 1944-2017 / Reichersberg



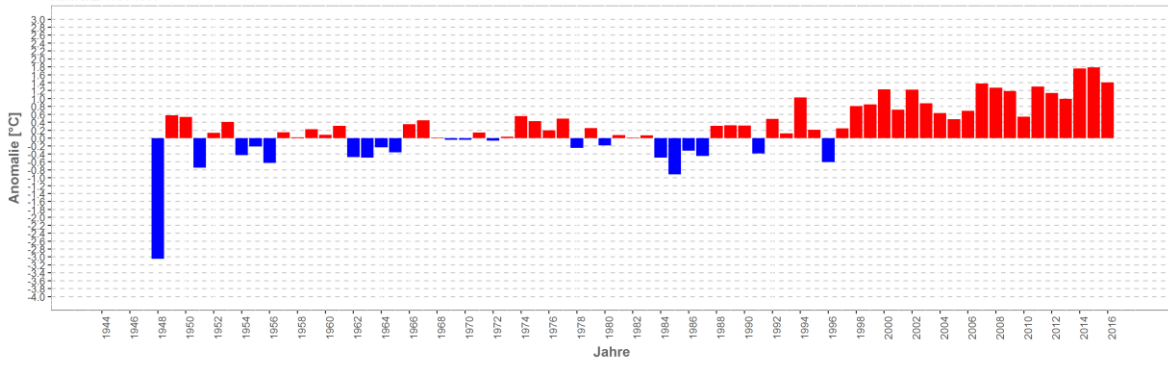
Wassertemperaturverlauf

W-Temp: 1976-2016 / Mattig - Jahrsdorf
L-Temp: 1944-2017 / Reichersberg

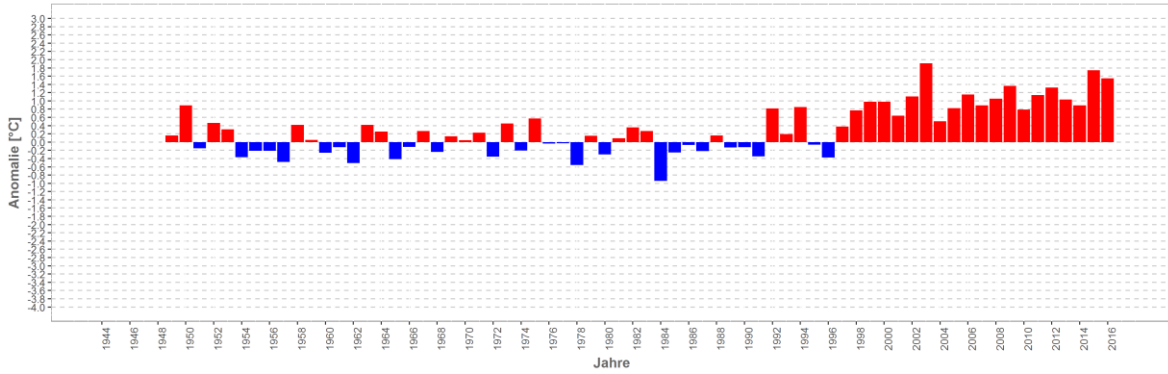


Wassertemperatur-Anomalie

Mattig - Jahrsdorf (1944-2017)
Referenz: 1961-1990

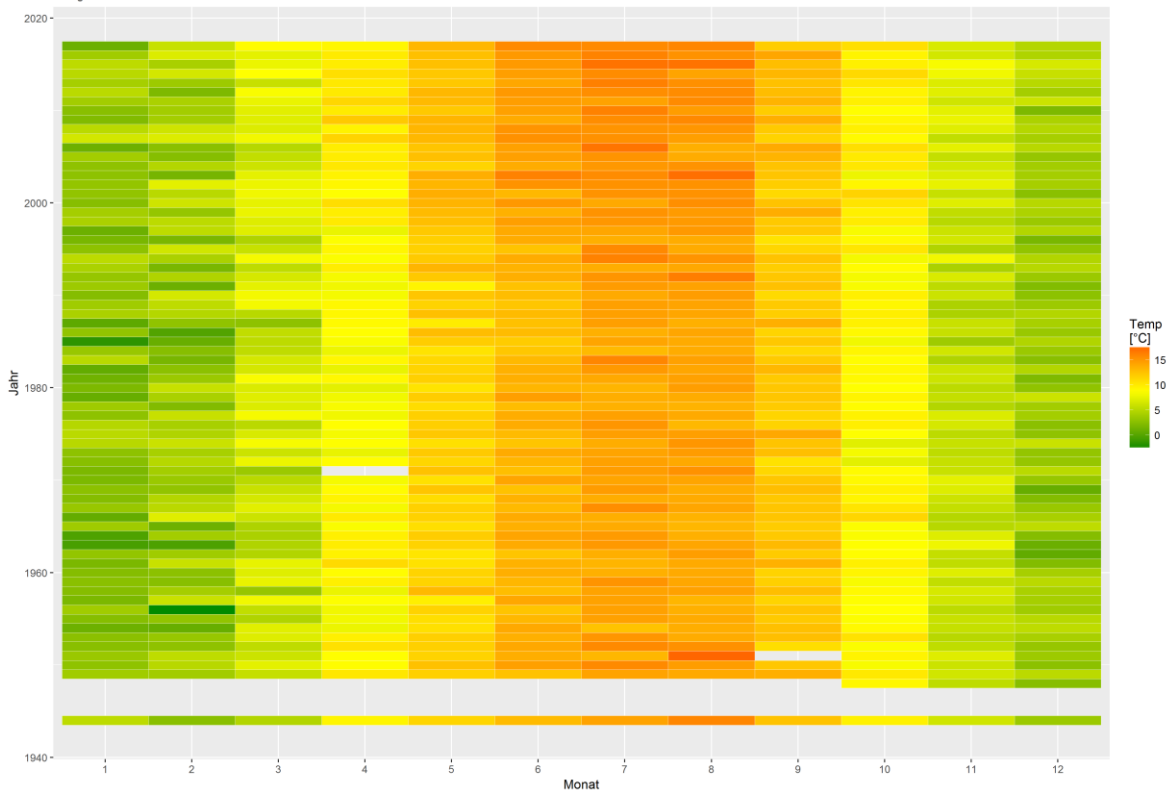


Sommermonate (Mai-Sept)



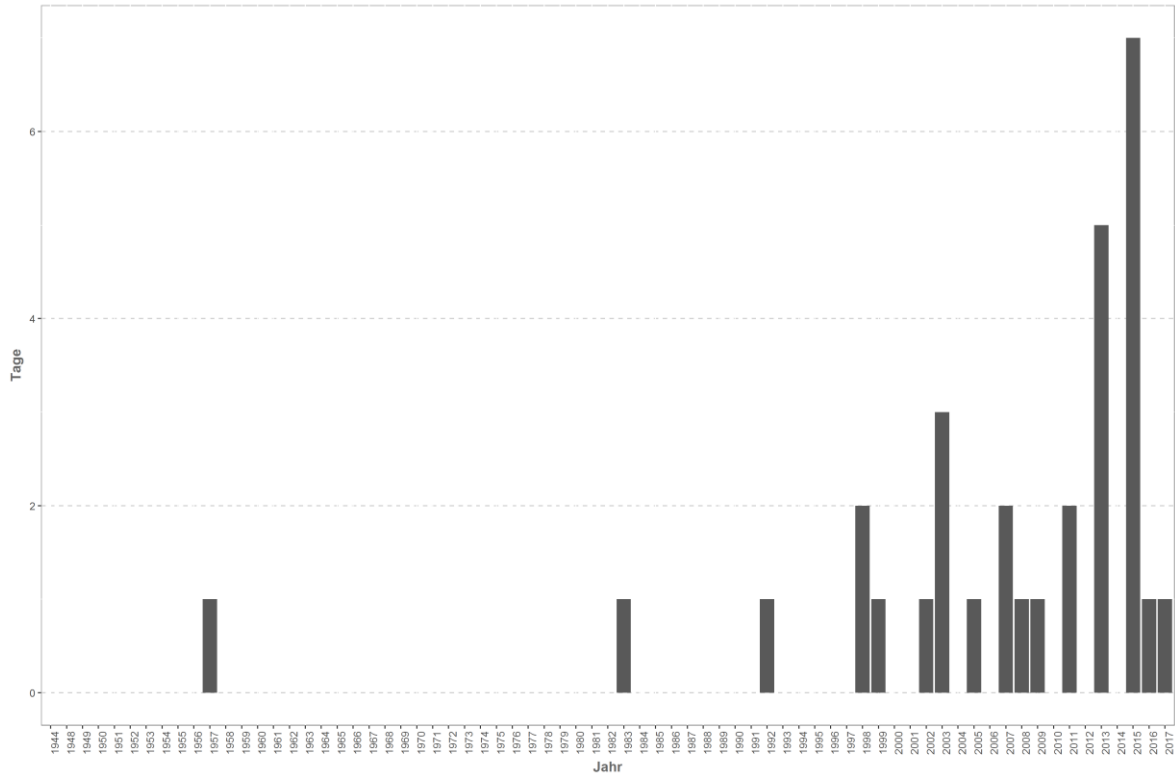
Monatsmittelwert

Mattig - Jahrsdorf



Temperaturüberschreitungen

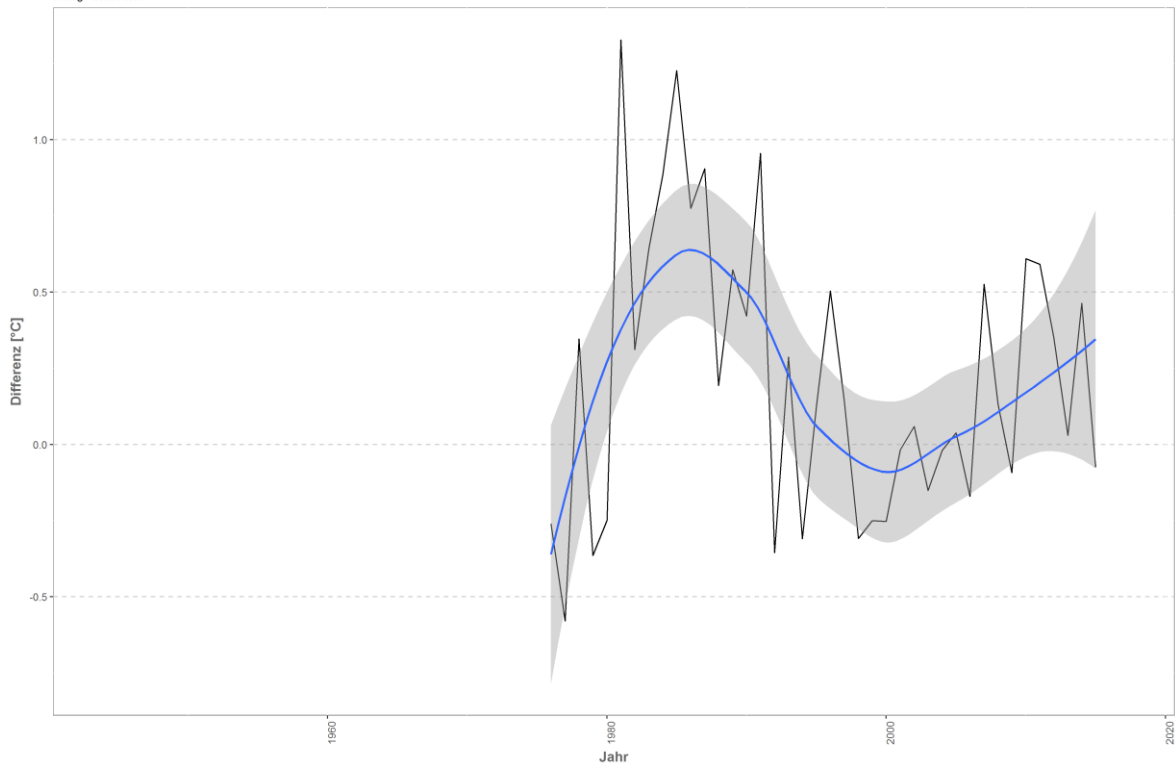
der Grenze sehr gut - gut
Mattig - Jahrsdorf



Differenzplot

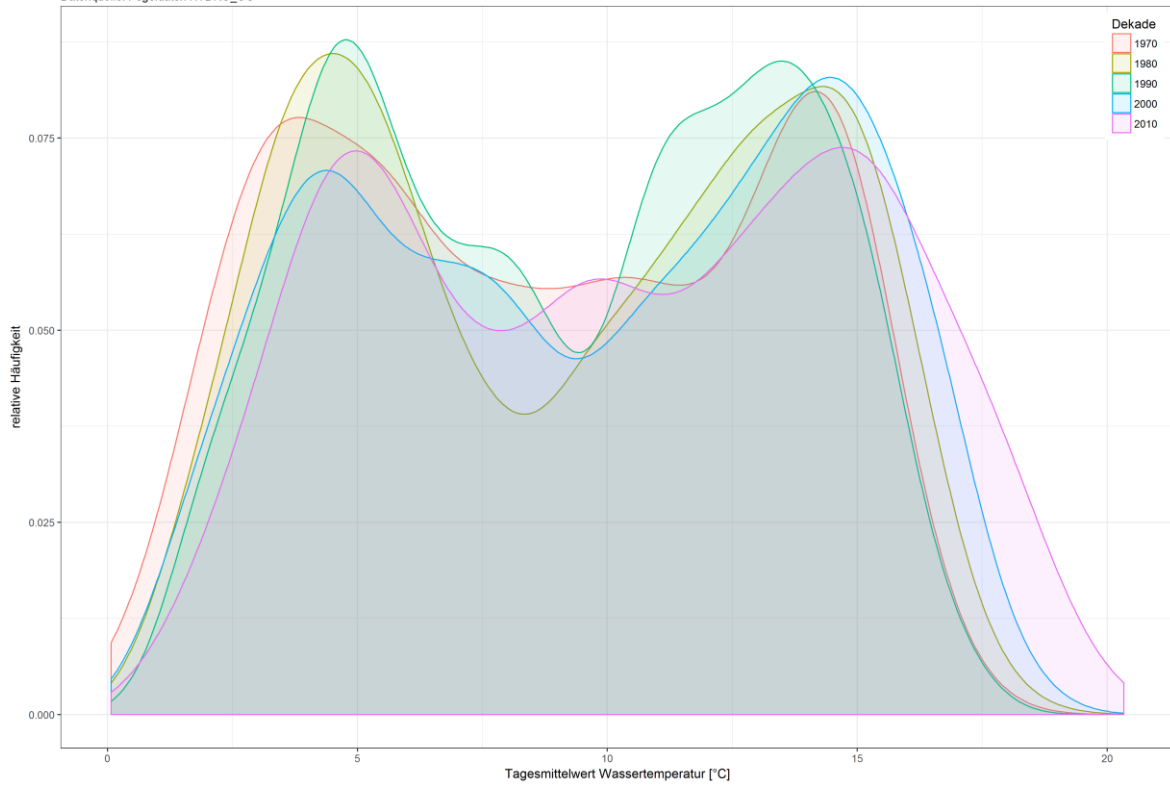
tatsächlich gemessene Wassertemperatur zu Schätzwert der linearen Regression

Mattig - Jahrsdorf



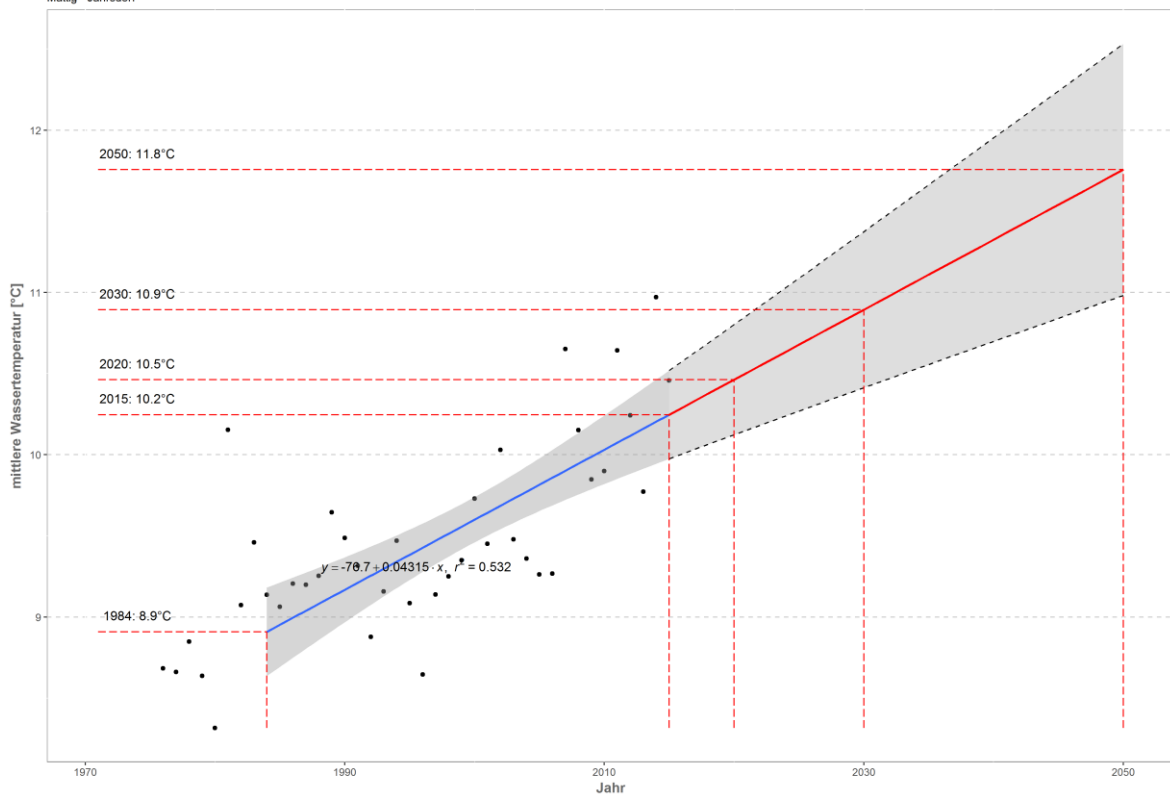
Häufigkeitsverteilung der Wassertemperaturen

Mattig - Jahrsdorf
 Datenquelle: Pegeldaten HYDRO_OO



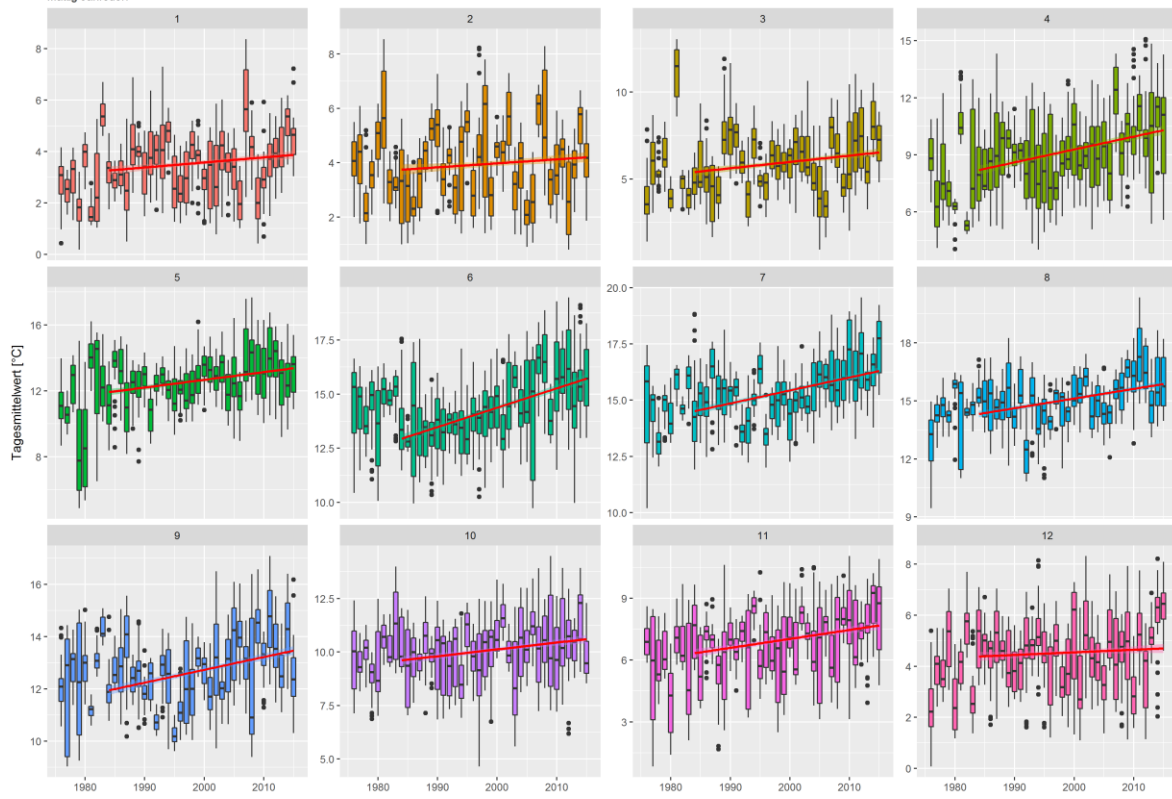
Prognose Wassertemperatur

Mattig - Jahrsdorf

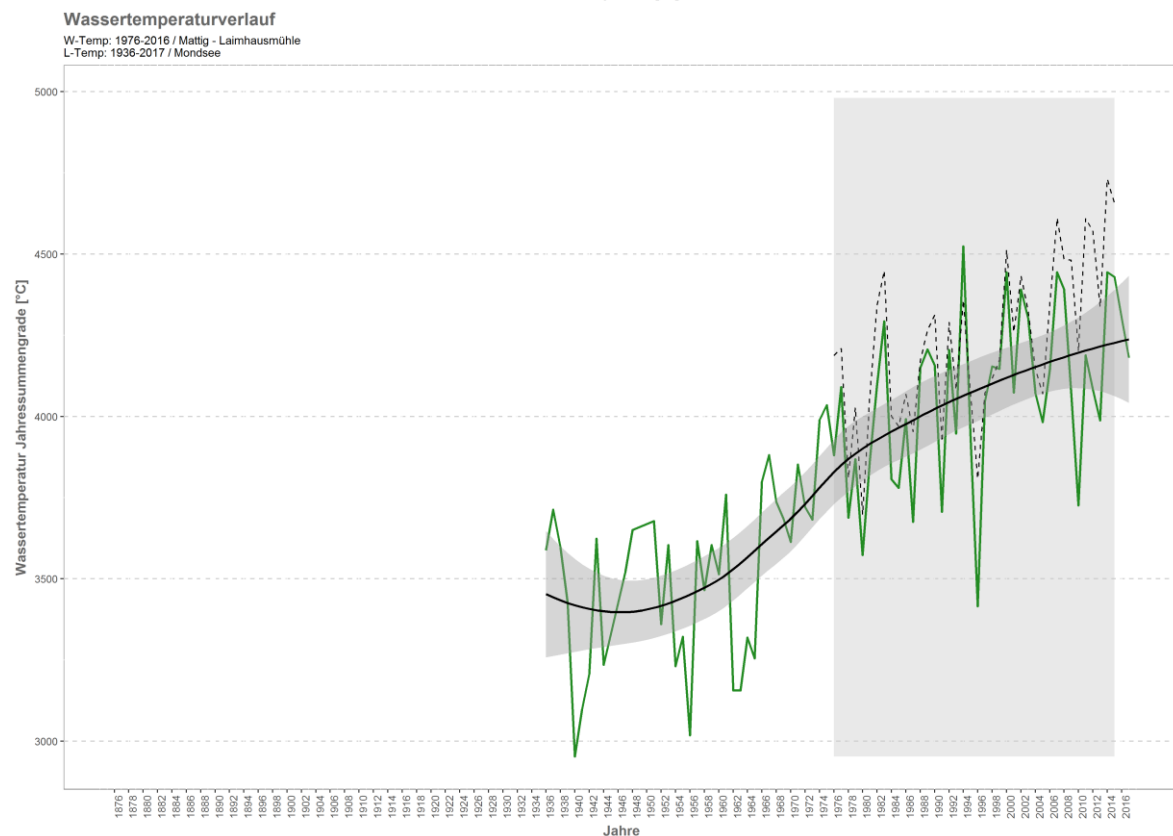
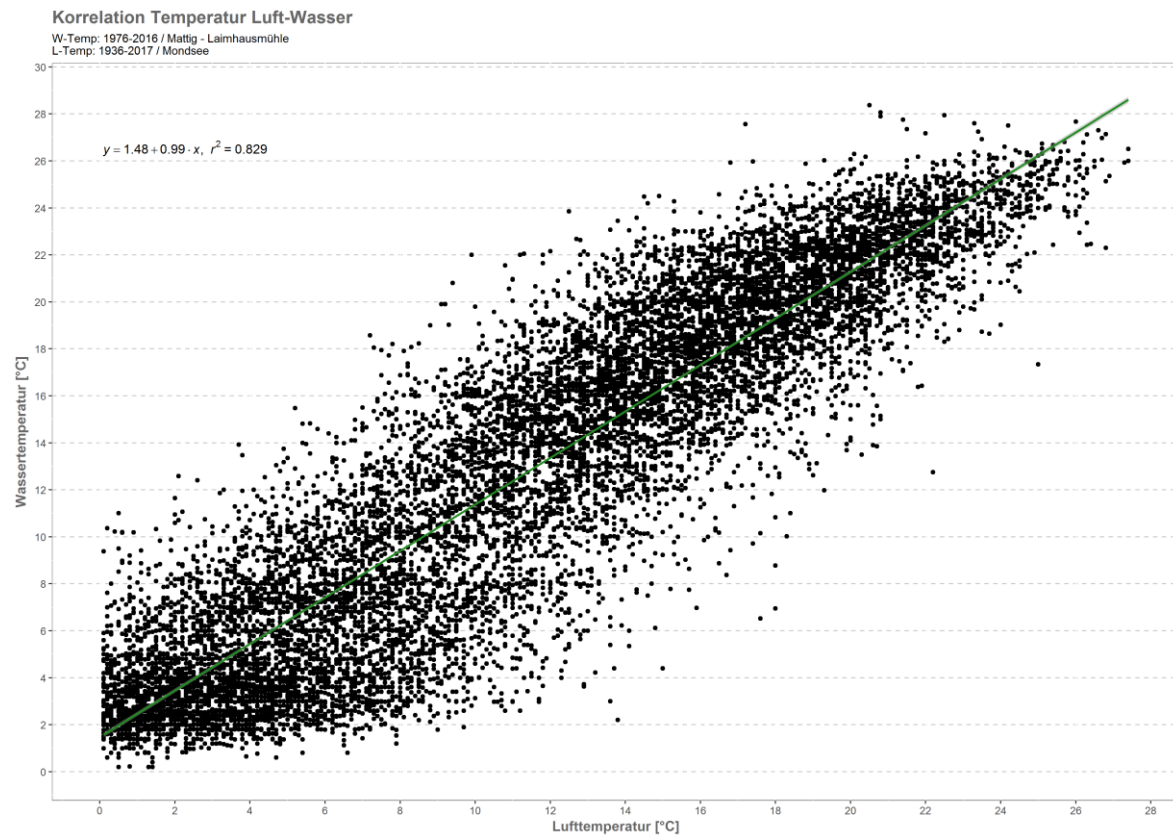


Monatsansicht der Tagesmittelwerte im Jahresverlauf

Mattig Jahrsdorf

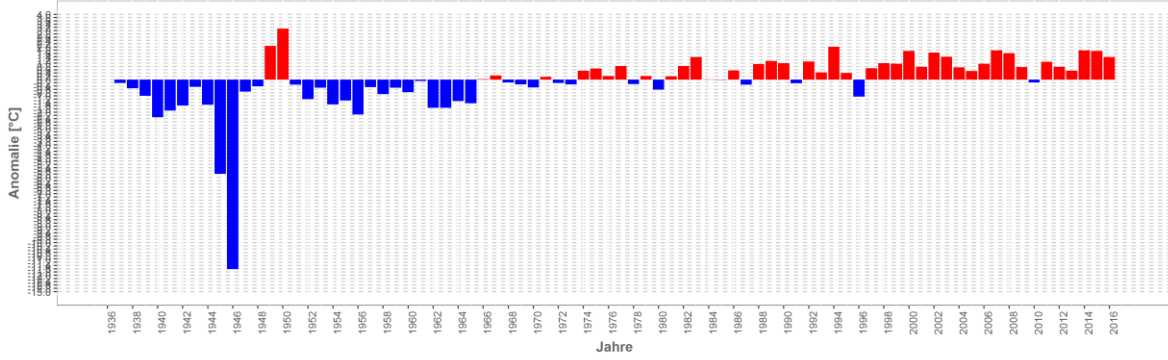


Mattig – Laimhausmühle

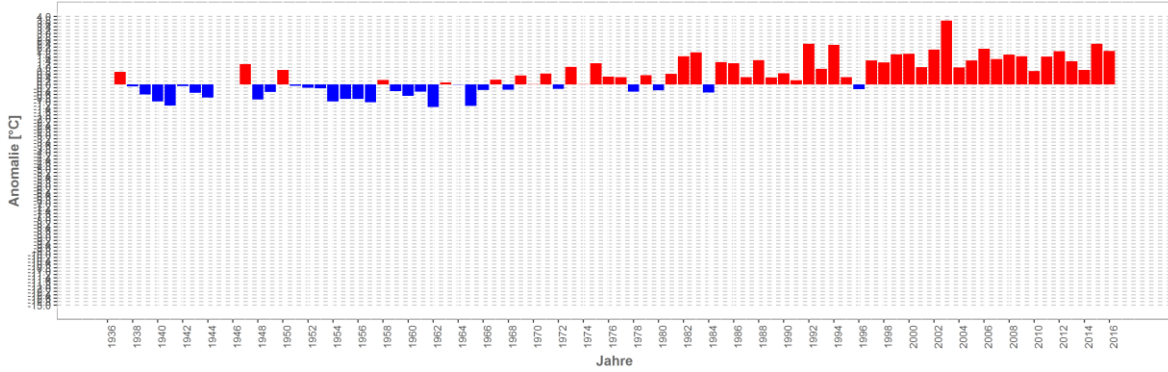


Wassertemperatur-Anomalie

Mattig - Laimhausmühle (1936-2017)
Referenz: 1961-1990

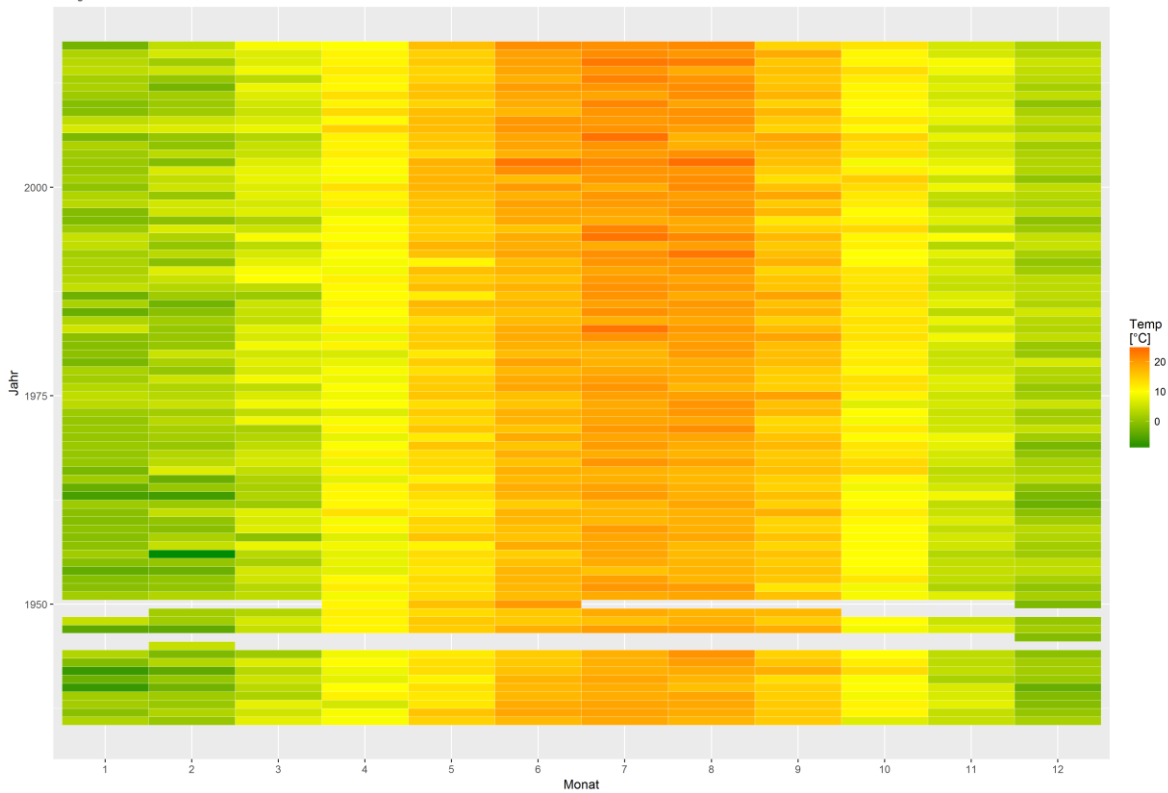


Sommermonate (Mai-Sept)



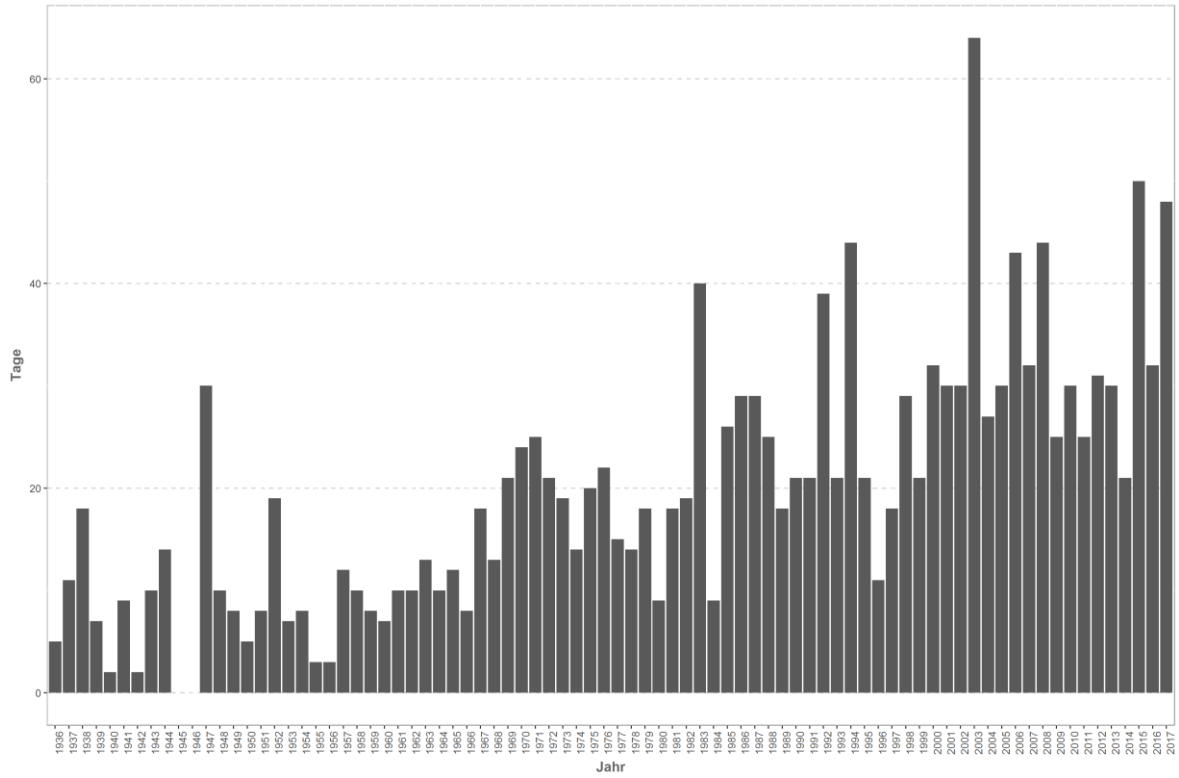
Monatsmittelwert

Mattig - Laimhausmühle



Temperaturüberschreitungen

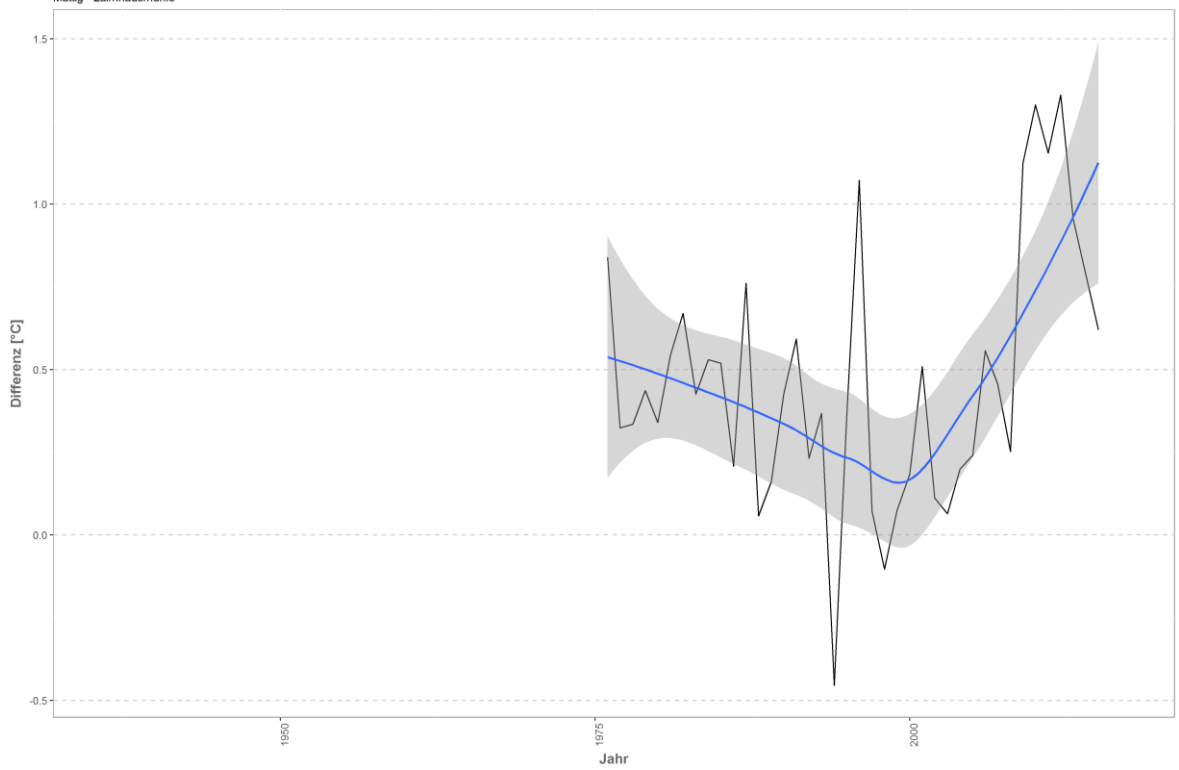
der Grenze sehr gut - gut
Mattig - Laimhausmühle



Differenzplot

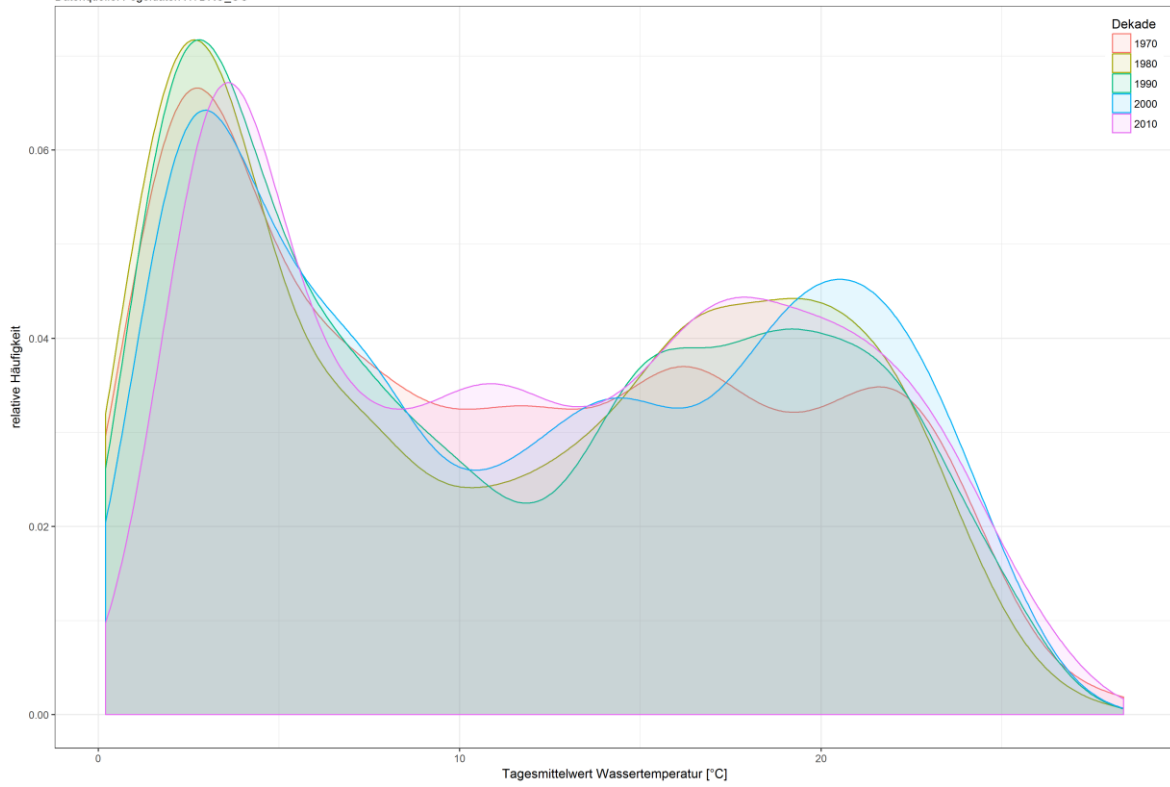
tatsächlich gemessene Wassertemperatur zu Schätzwert der linearen Regression

Mattig - Laimhausmühle



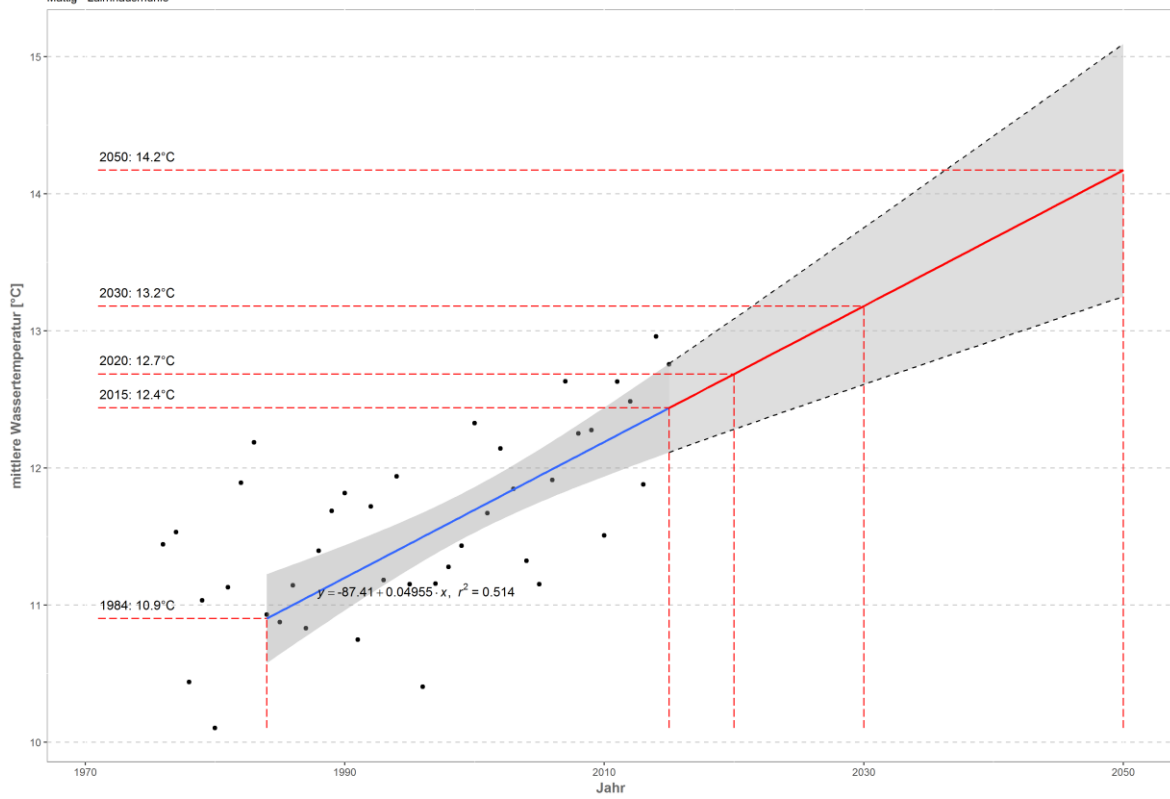
Häufigkeitsverteilung der Wassertemperaturen

Mattig - Laimhausmühle
Datenquelle: Pegeldaten HYDRO_OO



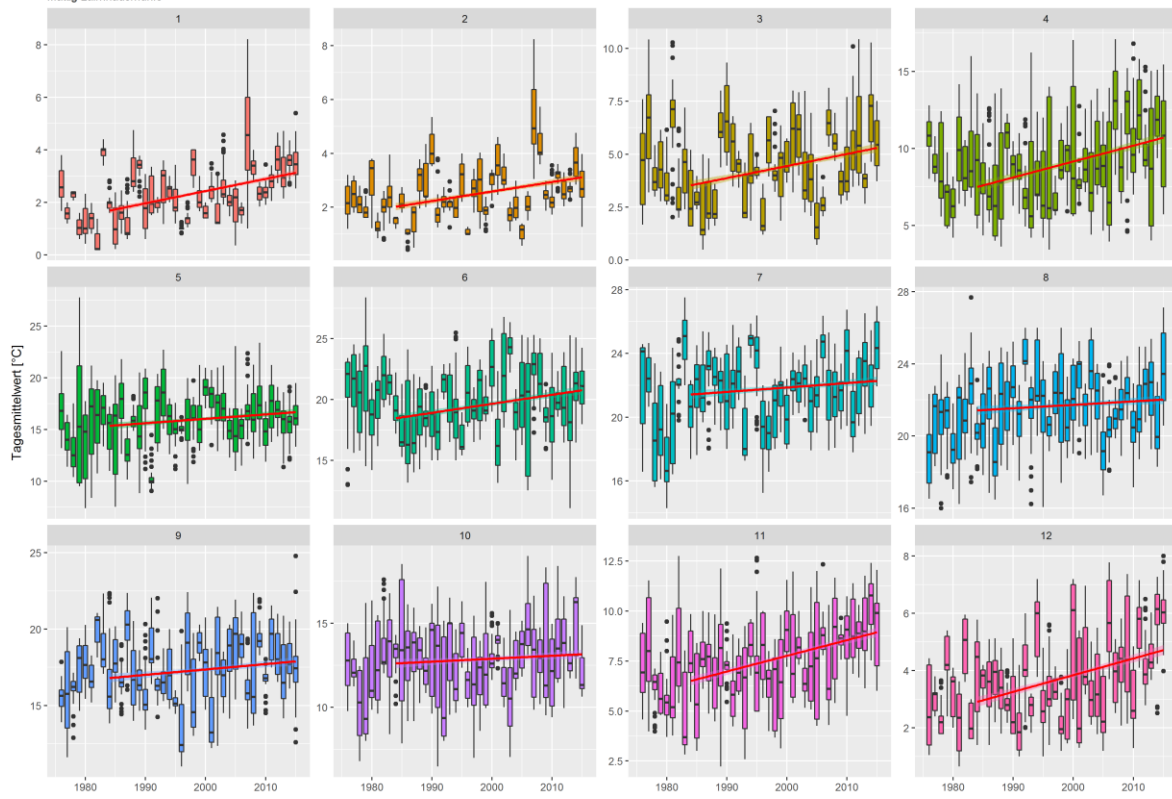
Prognose Wassertemperatur

Mattig - Laimhausmühle



Monatsansicht der Tagesmittelwerte im Jahresverlauf

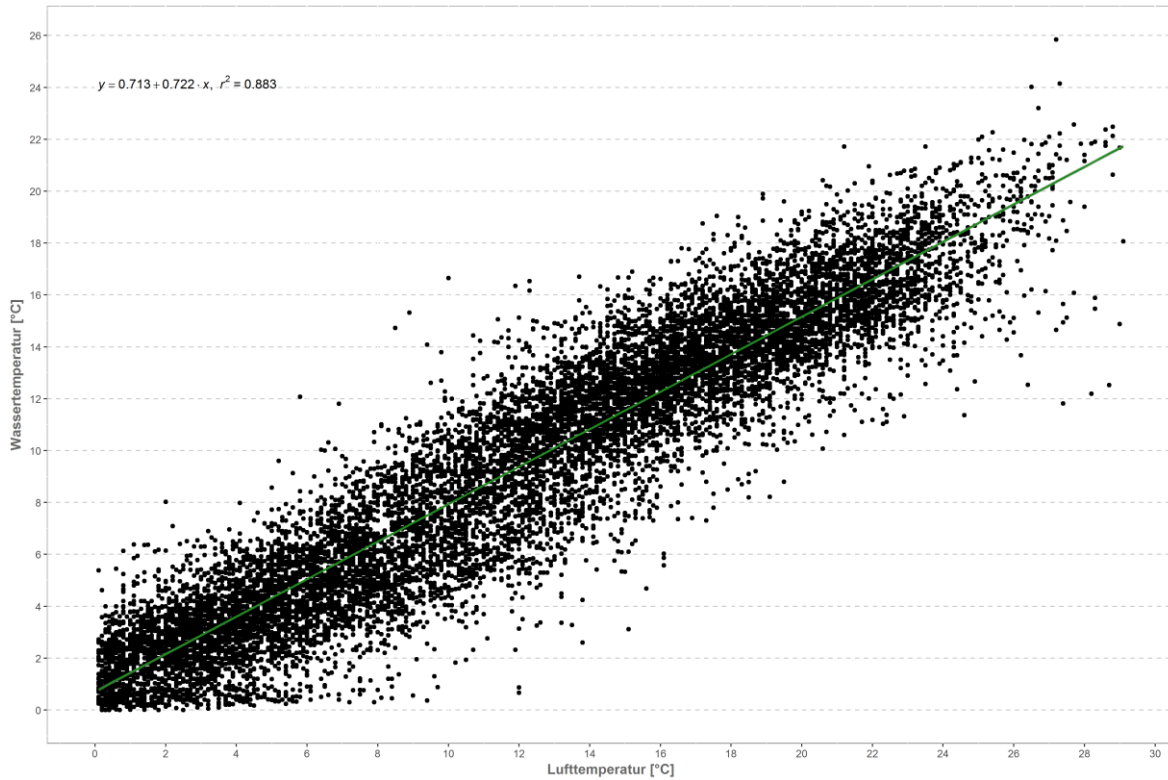
Mattig Laimhausmühle



Naarn – Haid

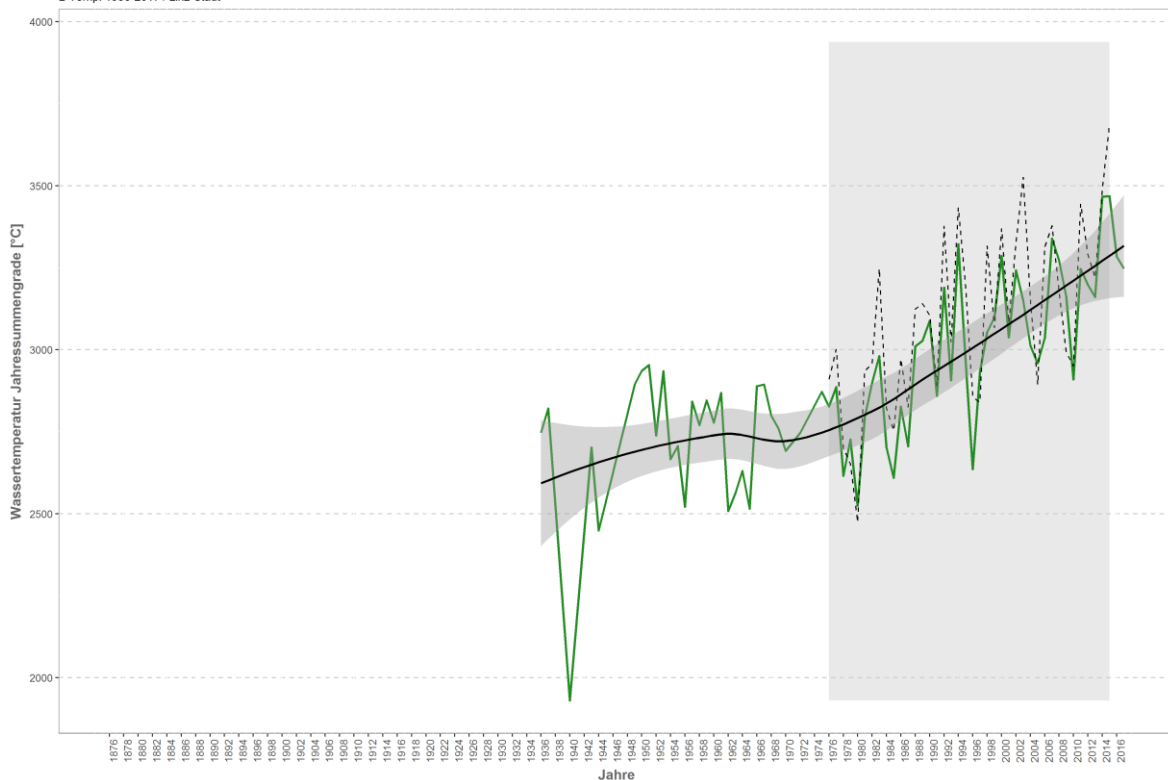
Korrelation Temperatur Luft-Wasser

W-Temp: 1976-2016 / Naarn - Haid
L-Temp: 1936-2017 / Linz-Stadt



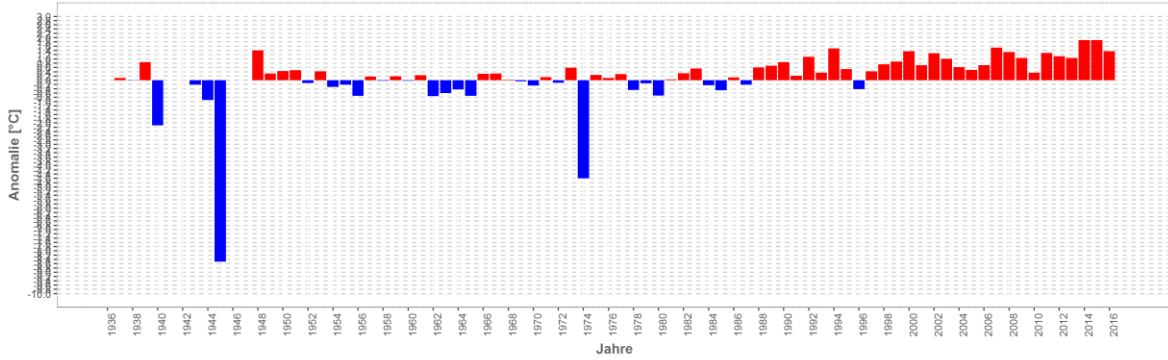
Wassertemperaturverlauf

W-Temp: 1976-2016 / Naarn - Haid
L-Temp: 1936-2017 / Linz-Stadt

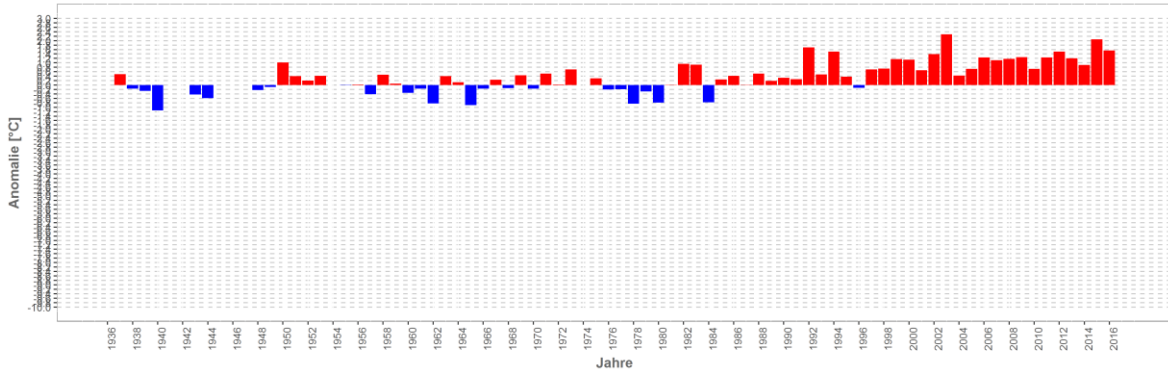


Wassertemperatur-Anomalie

Naarn - Haid (1936-2017)
Referenz: 1961-1990

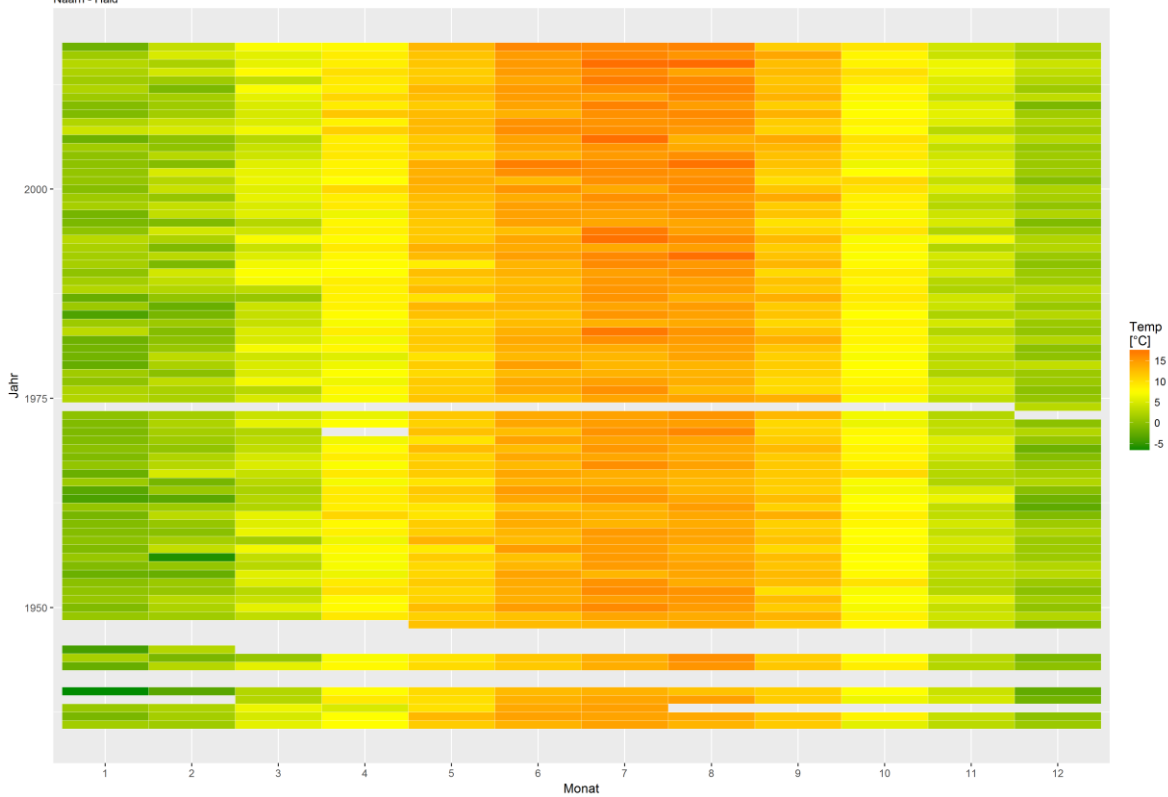


Sommermonate (Mai-Sept)



Monatsmittelwert

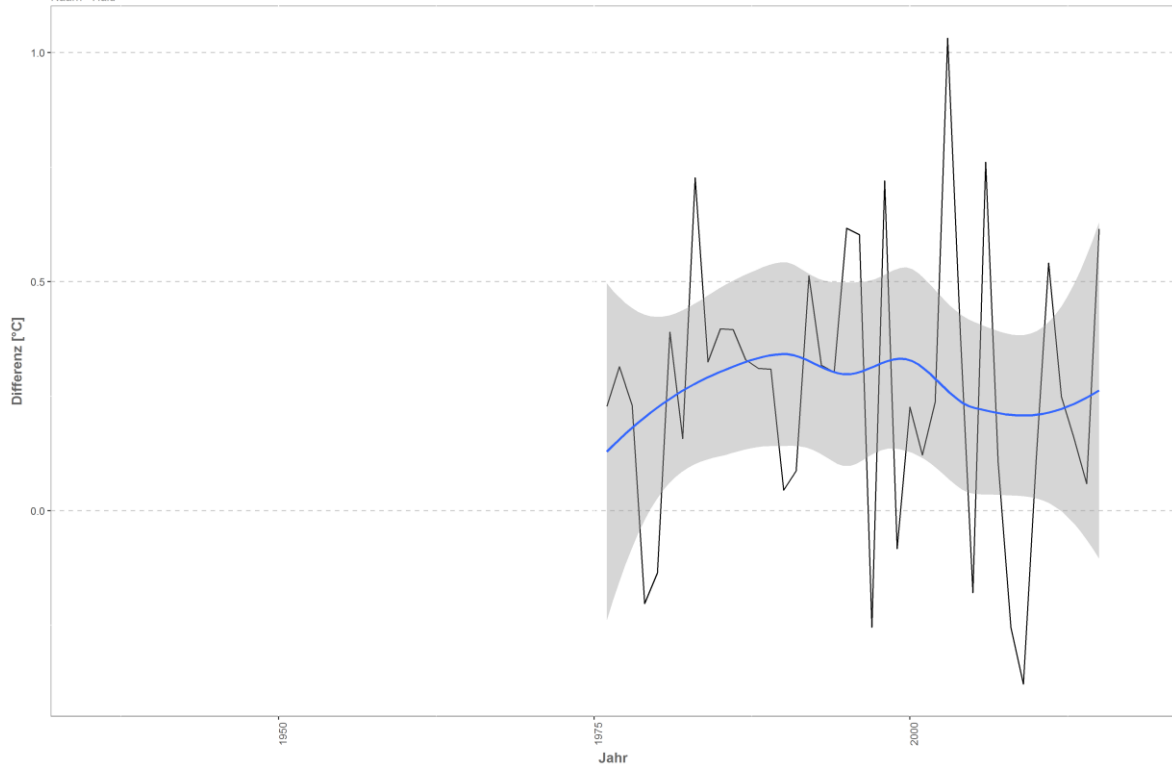
Naarn - Haid



Differenzplot

tatsächlich gemessene Wassertemperatur zu Schätzwert der linearen Regression

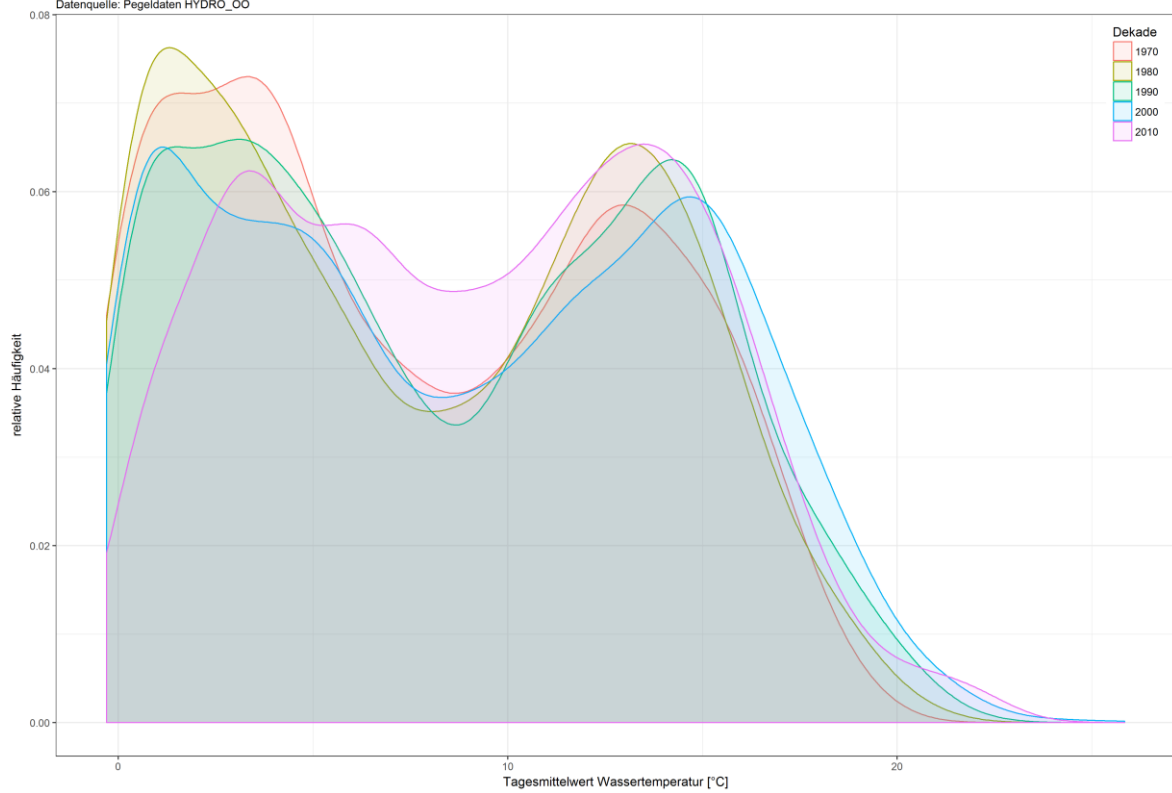
Naarn - Haid



Häufigkeitsverteilung der Wassertemperaturen

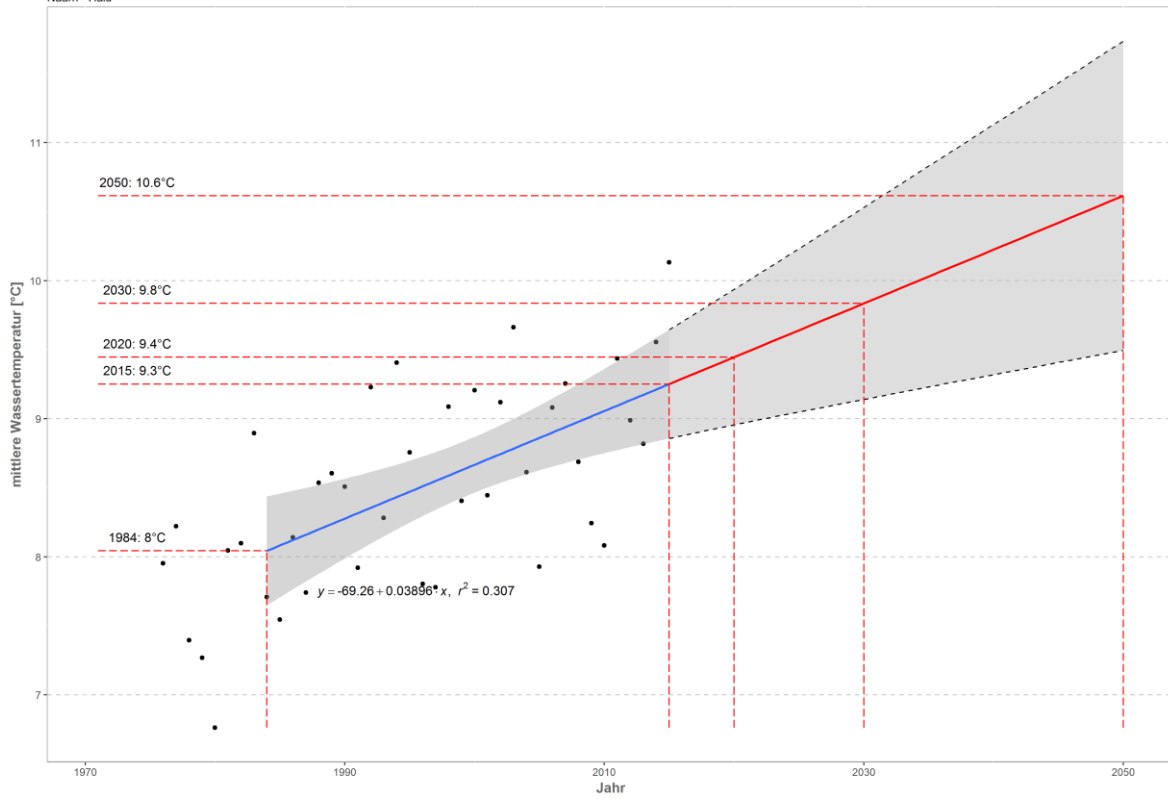
Naarn - Haid

Datenquelle: Pegeldata HYDRO_OO



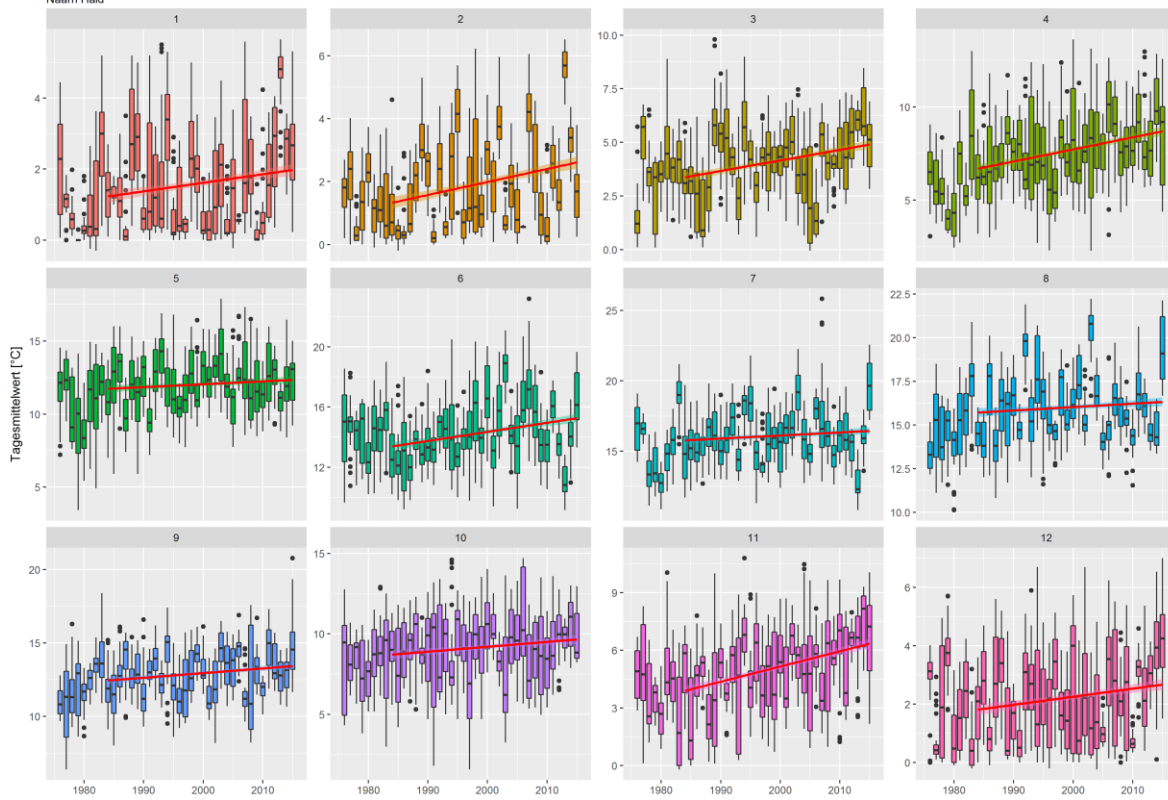
Prognose Wassertemperatur

Naarn - Haid

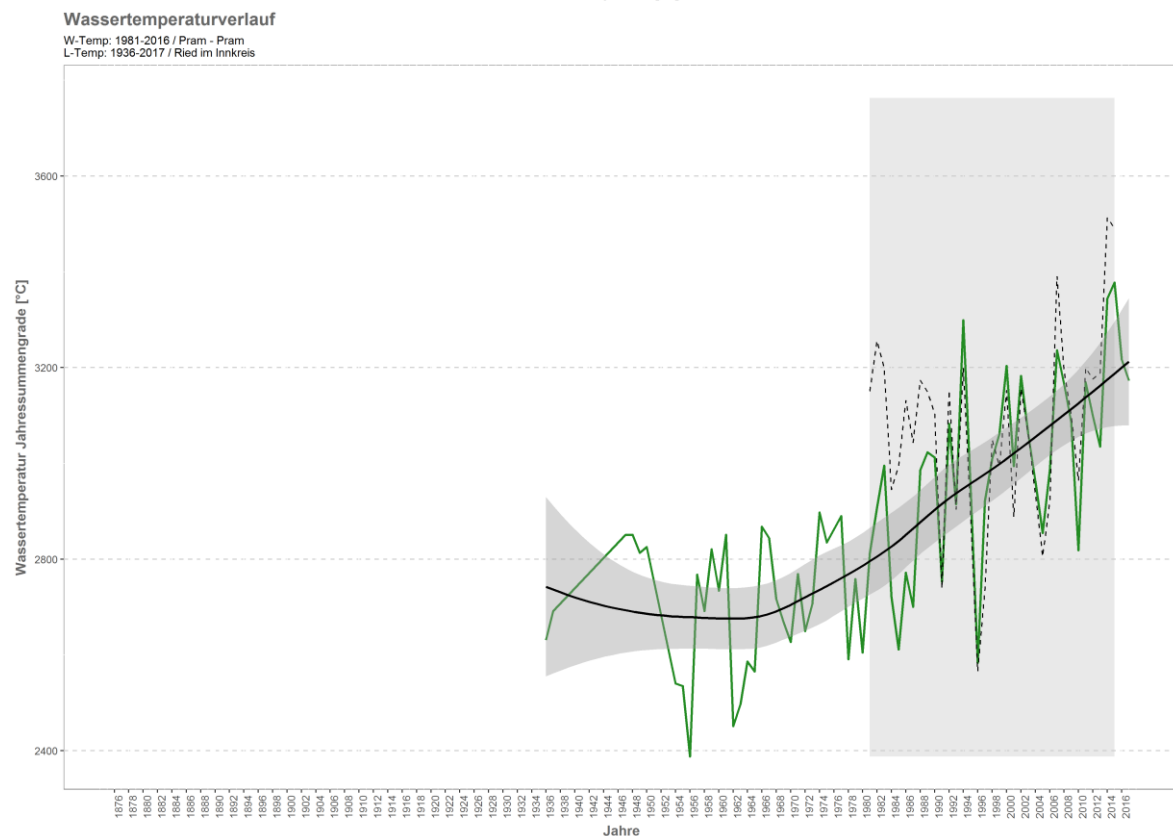
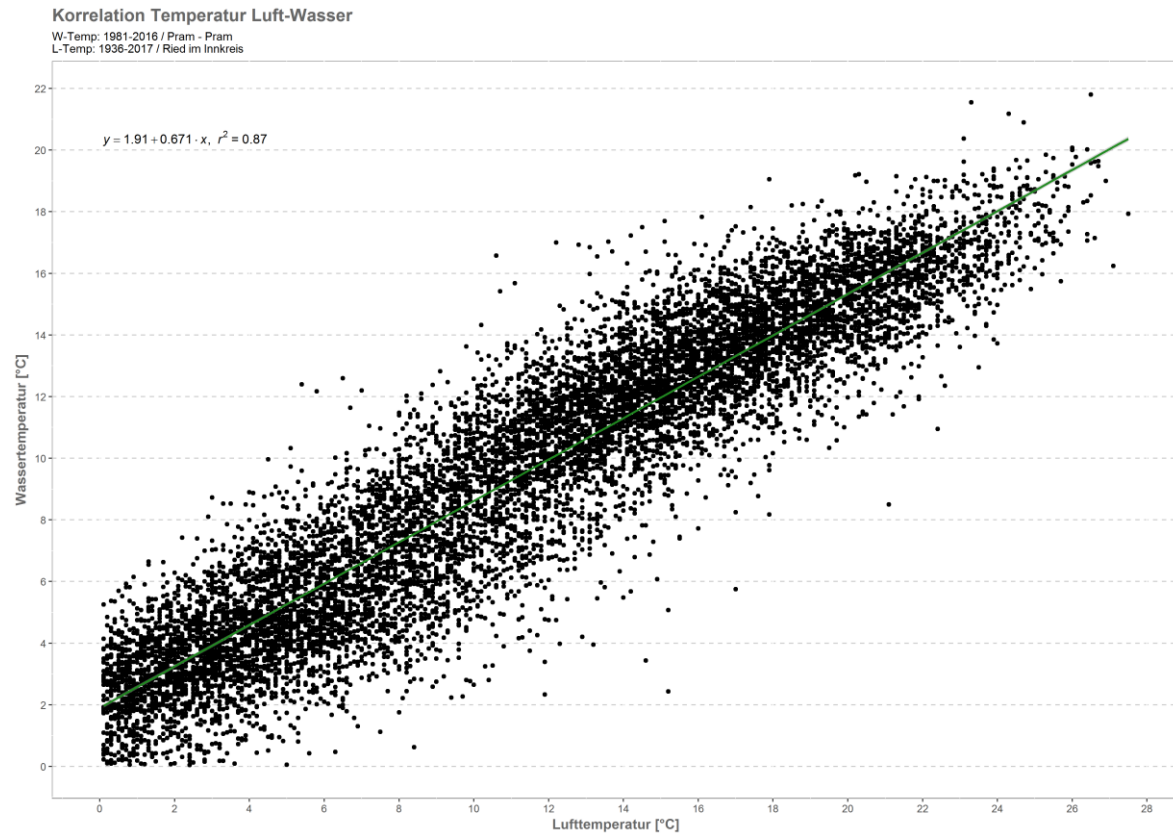


Monatsansicht der Tagesmittelwerte im Jahresverlauf

Naarn Haid

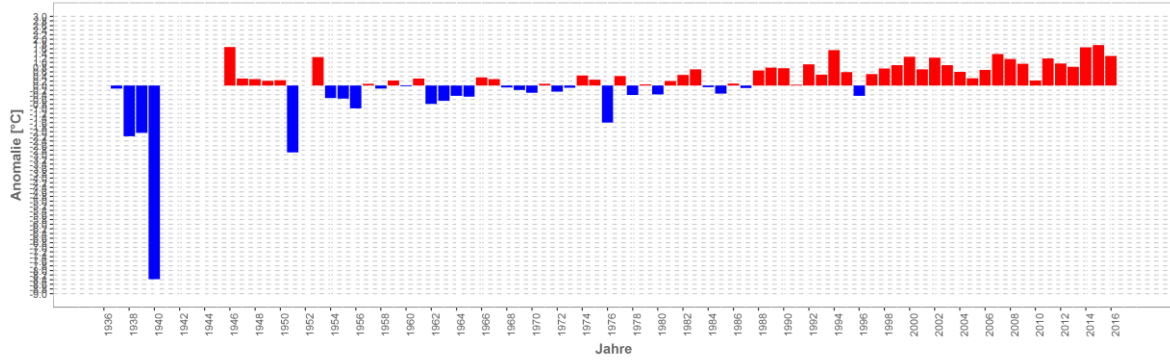


Pram – Pram

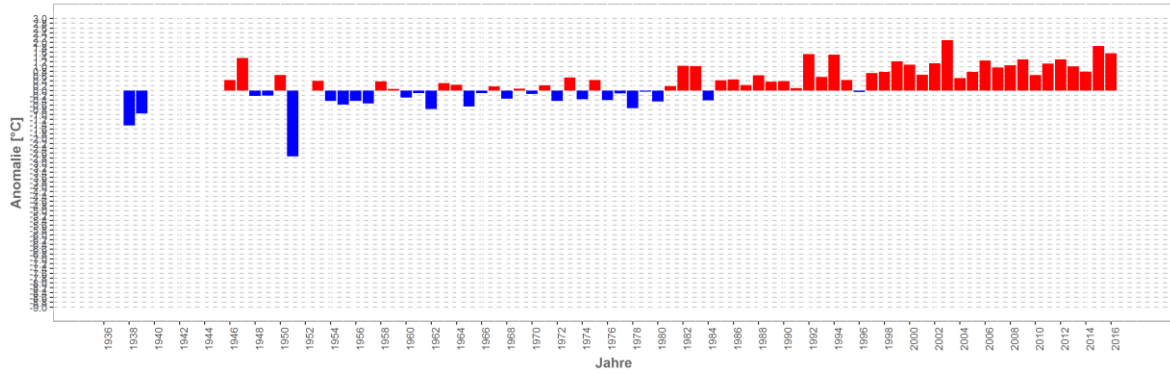


Wassertemperatur-Anomalie

Pram - Pram (1936-2017)
Referenz: 1961-1990

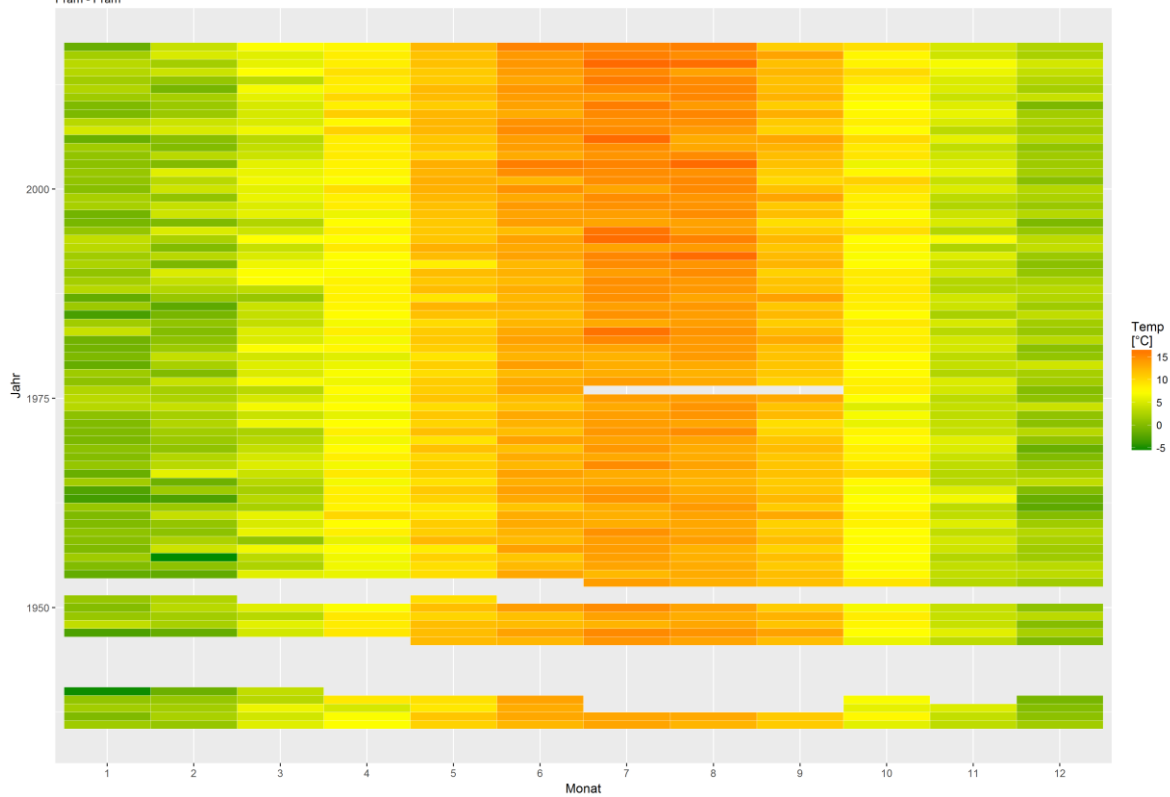


Sommermonate (Mai-Sept)



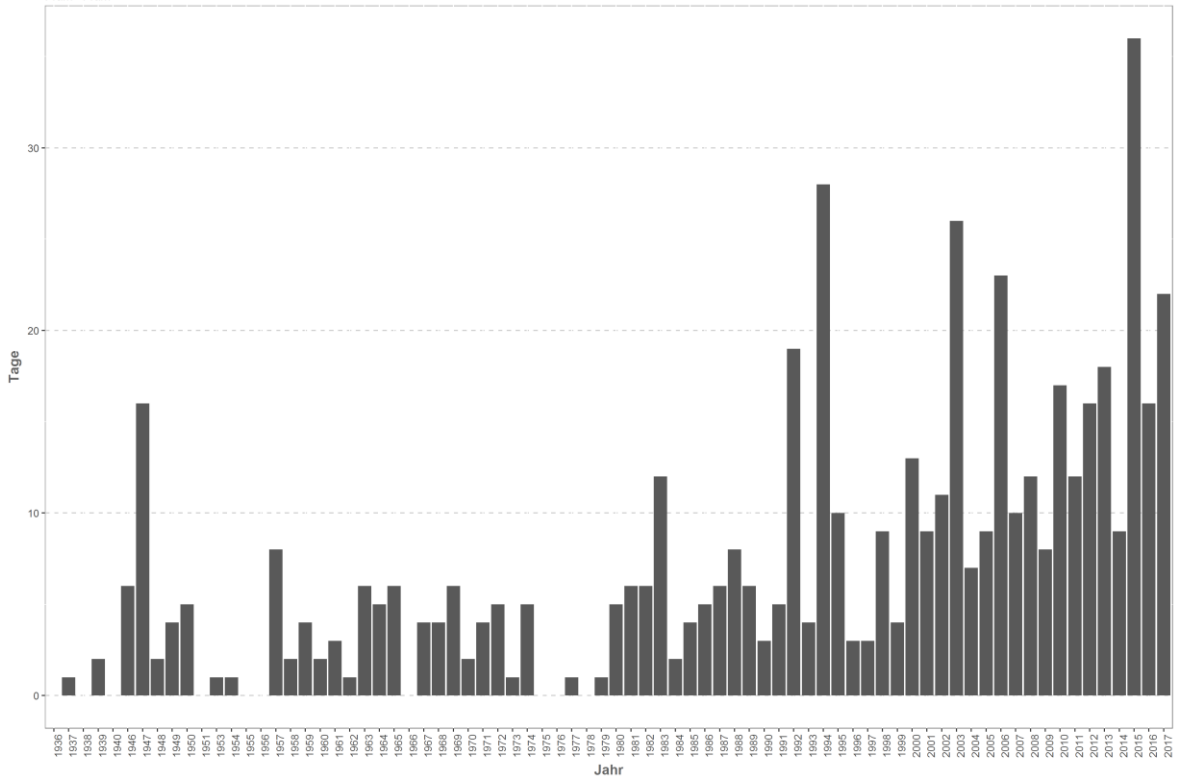
Monatsmittelwert

Pram - Pram



Temperaturüberschreitungen

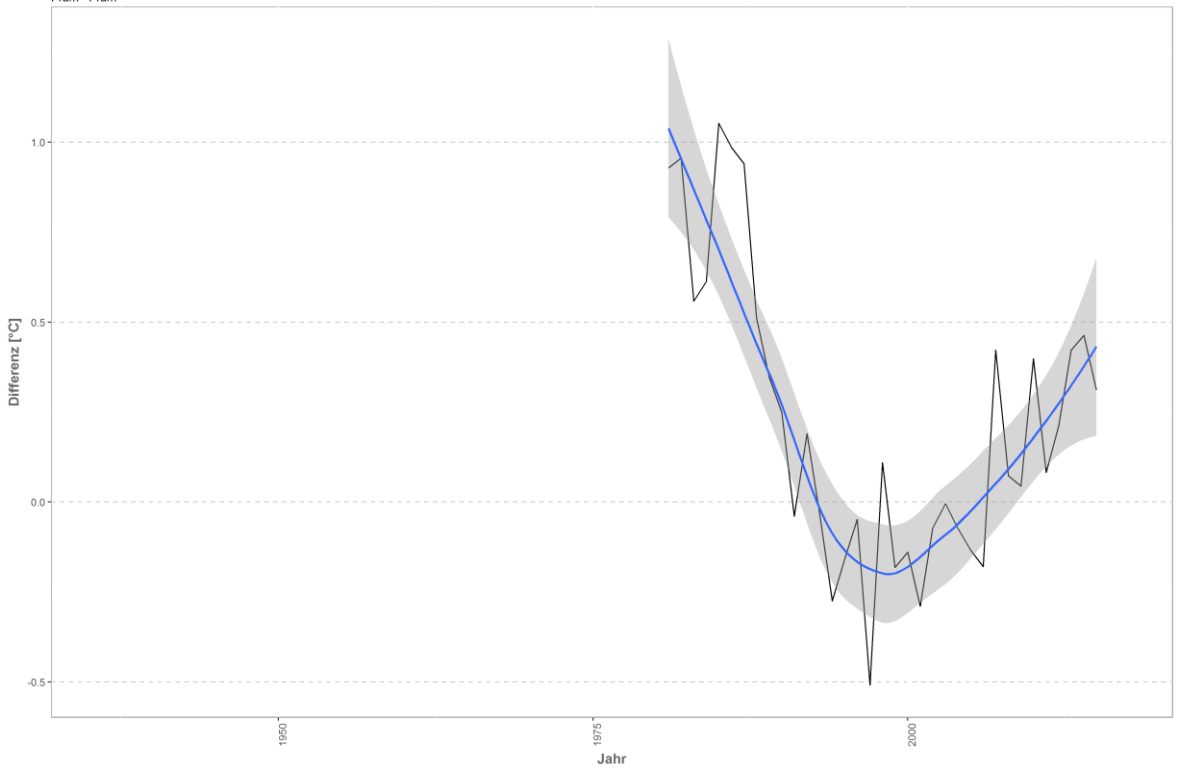
der Grenze sehr gut - gut
Pram - Pram



Differenzplot

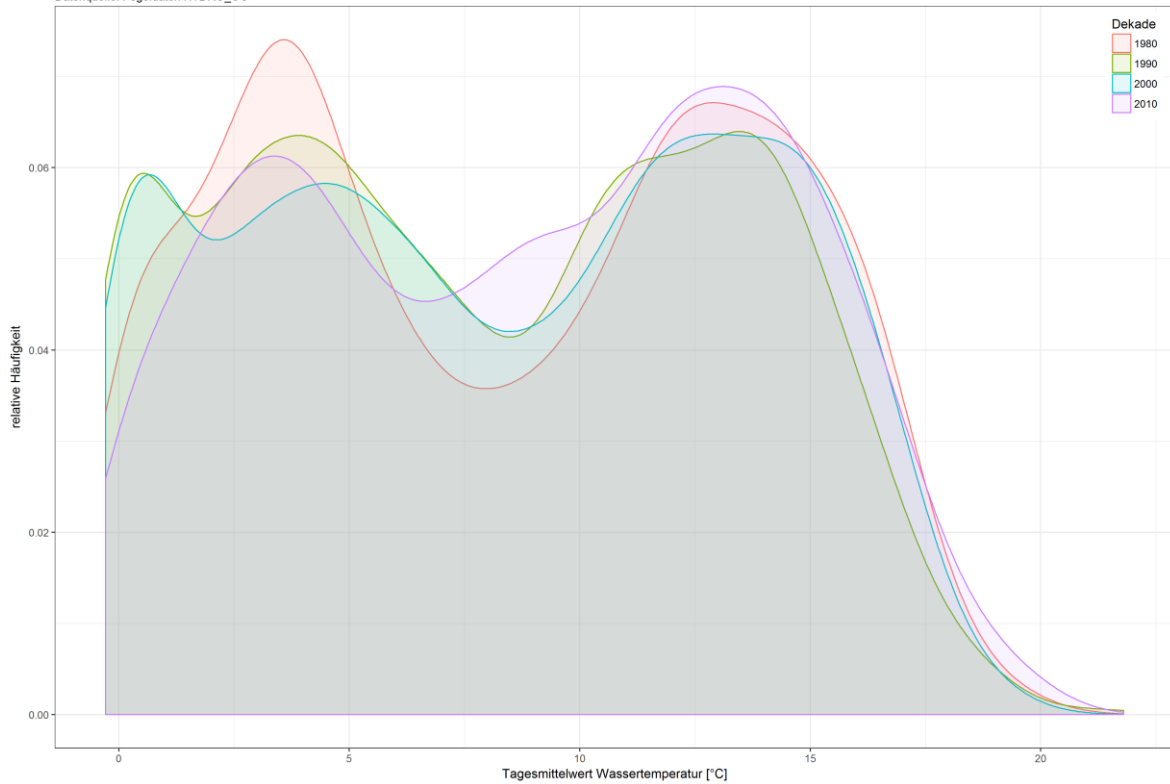
tatsächlich gemessene Wassertemperatur zu Schätzwert der linearen Regression

Pram - Pram



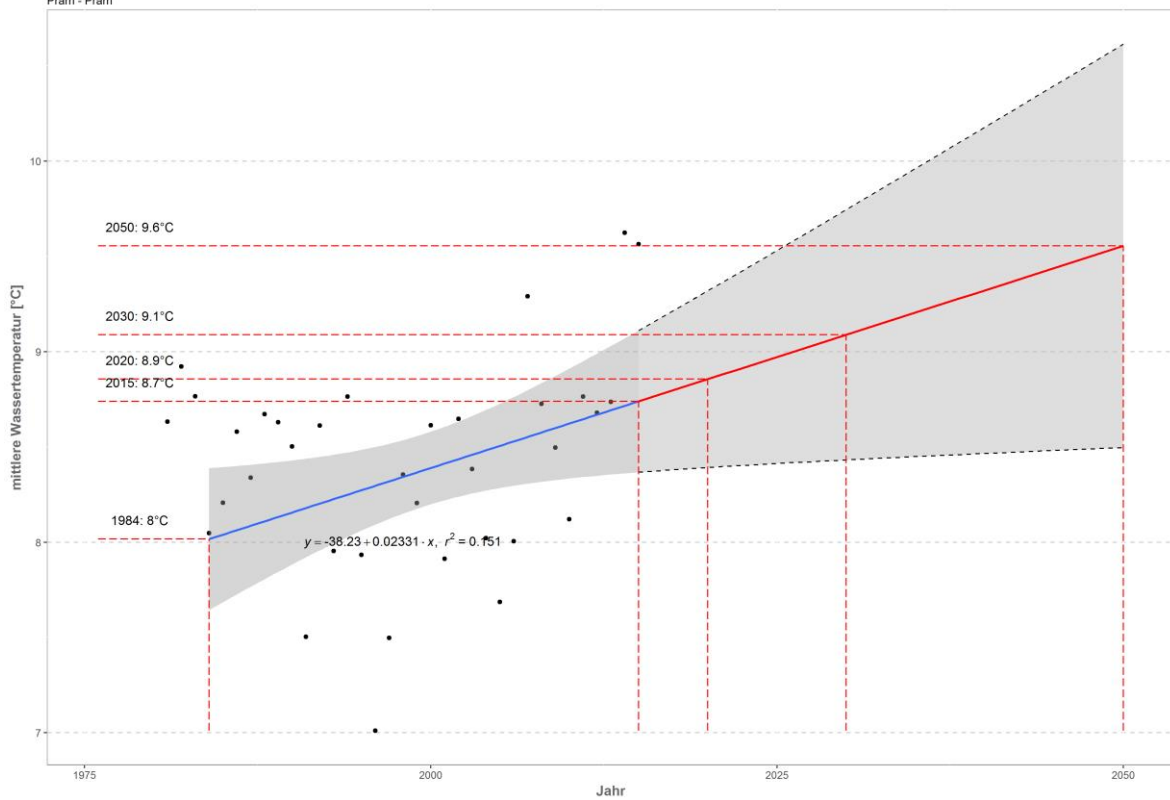
Häufigkeitsverteilung der Wassertemperaturen

Pram - Pram
 Datenquelle: Pegeldaten HYDRO_OO



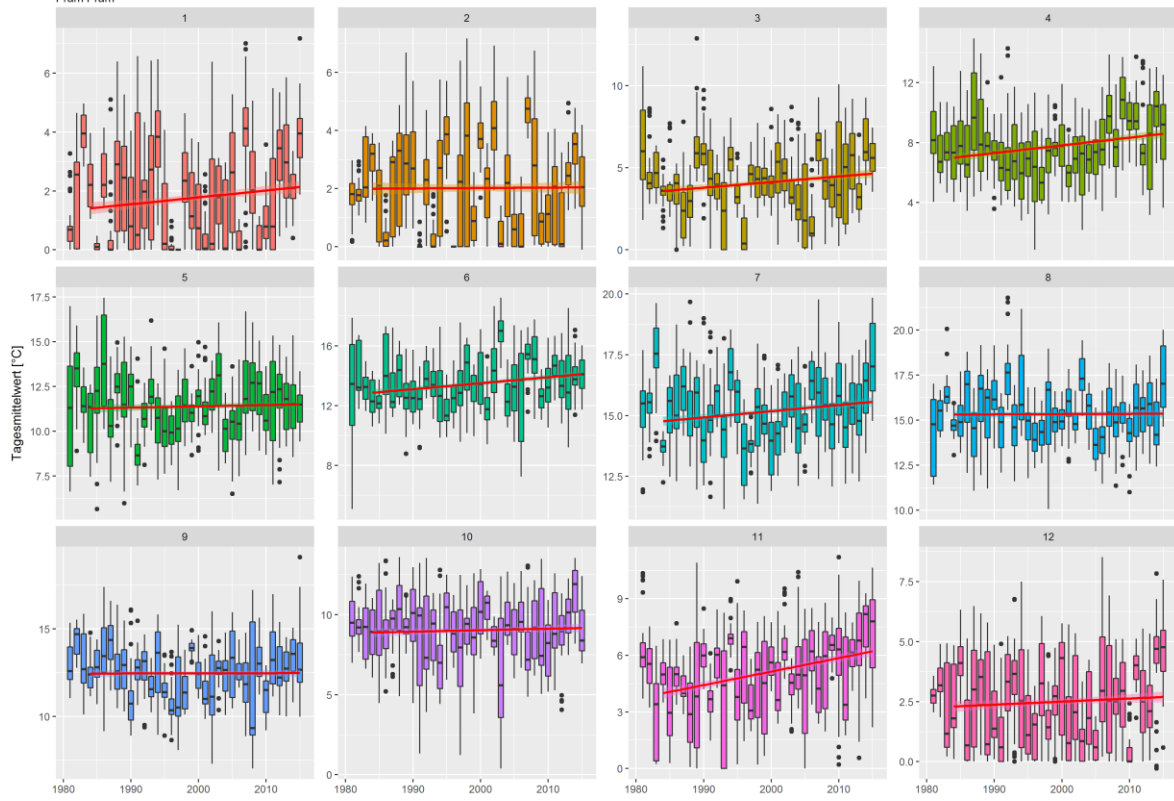
Prognose Wassertemperatur

Pram - Pram

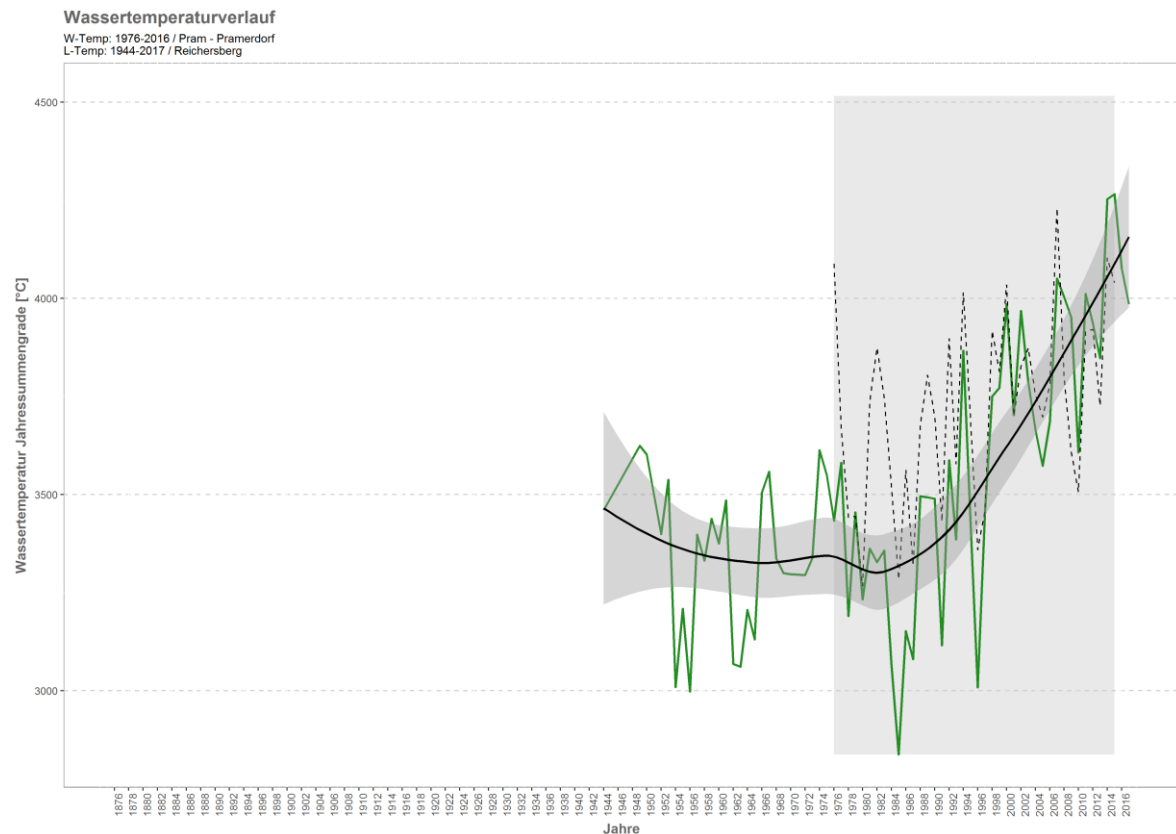
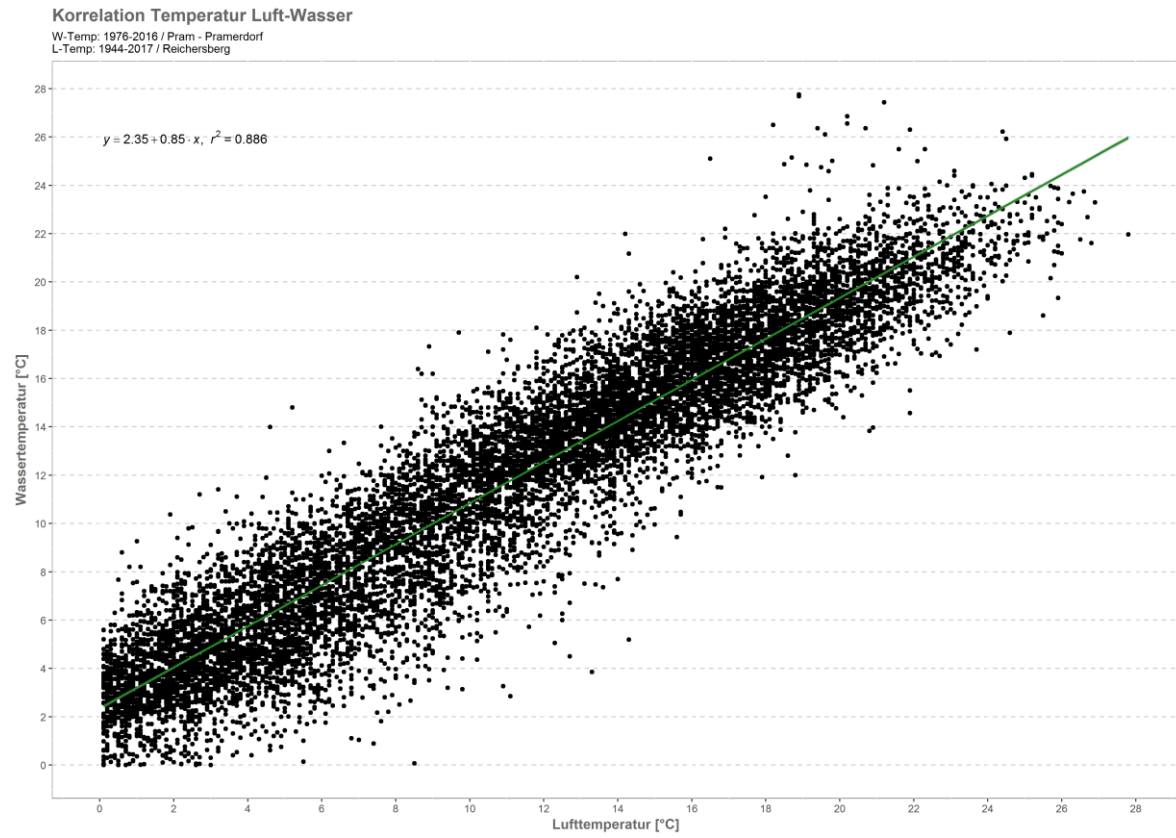


Monatsansicht der Tagesmittelwerte im Jahresverlauf

Pram Pram

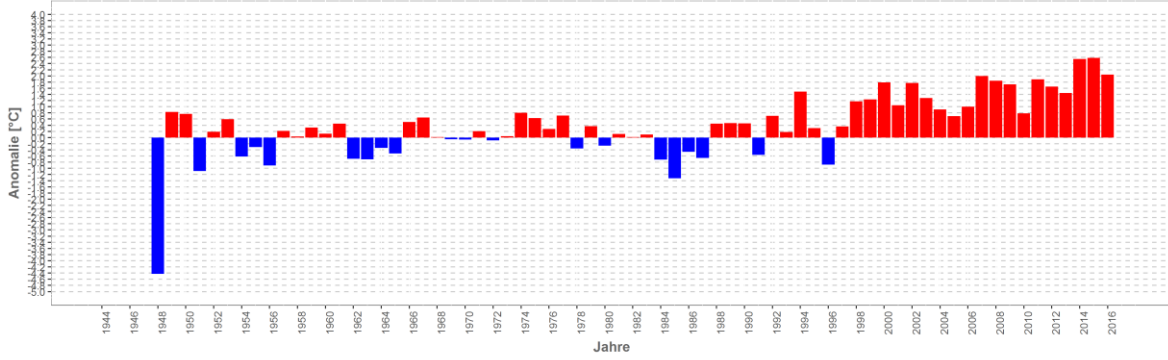


Pram – Pramerdorf

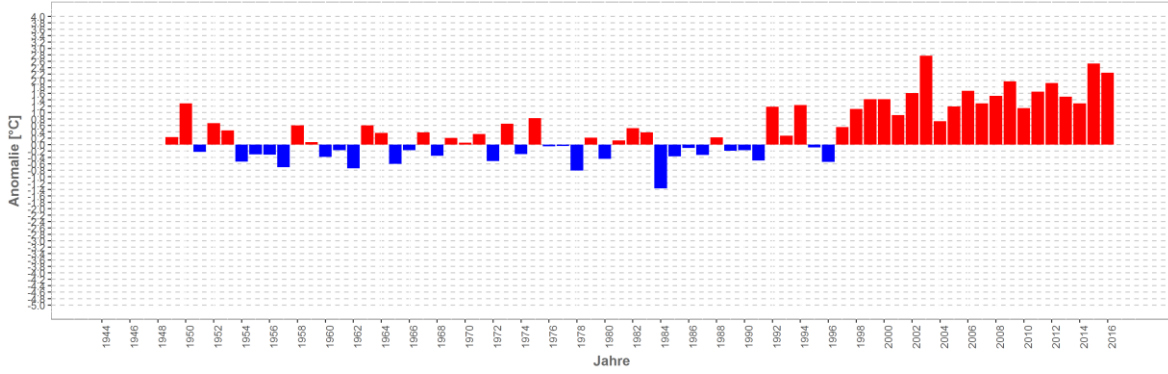


Wassertemperatur-Anomalie

Prarn - Prarnerdorf (1944-2017)
Referenz: 1961-1990

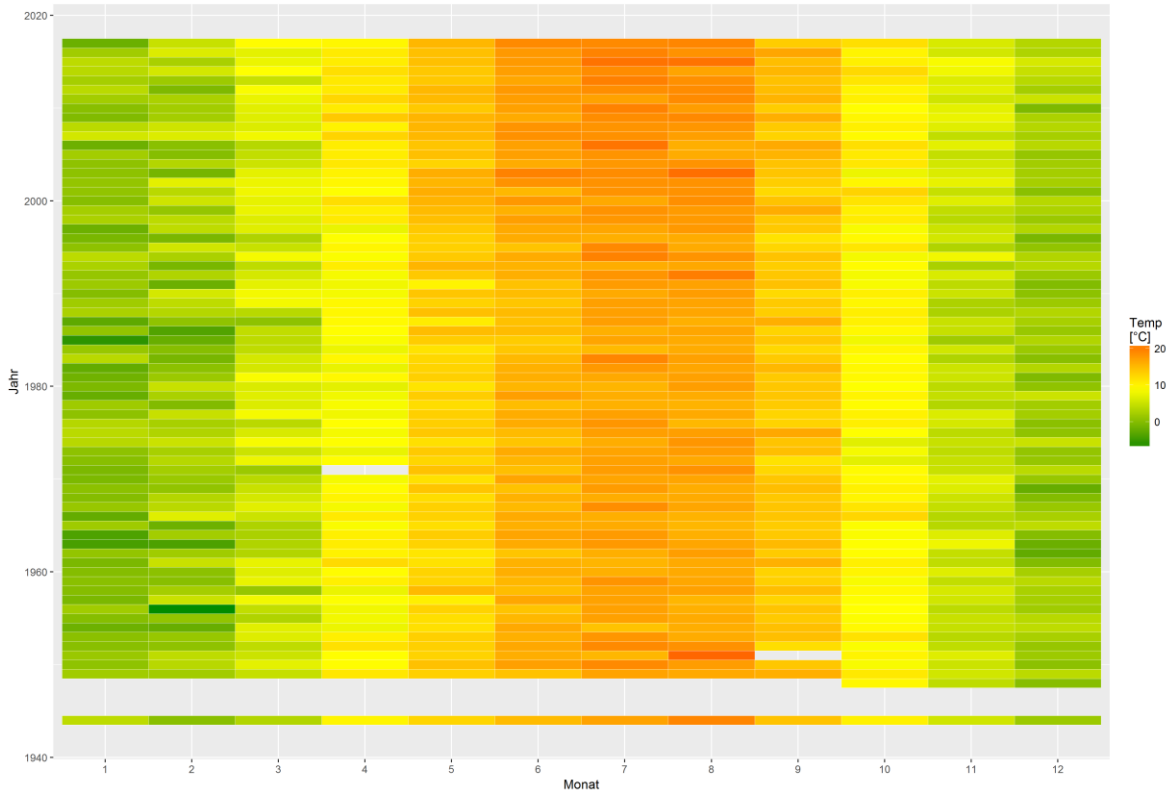


Sommermonate (Mai-Sept)



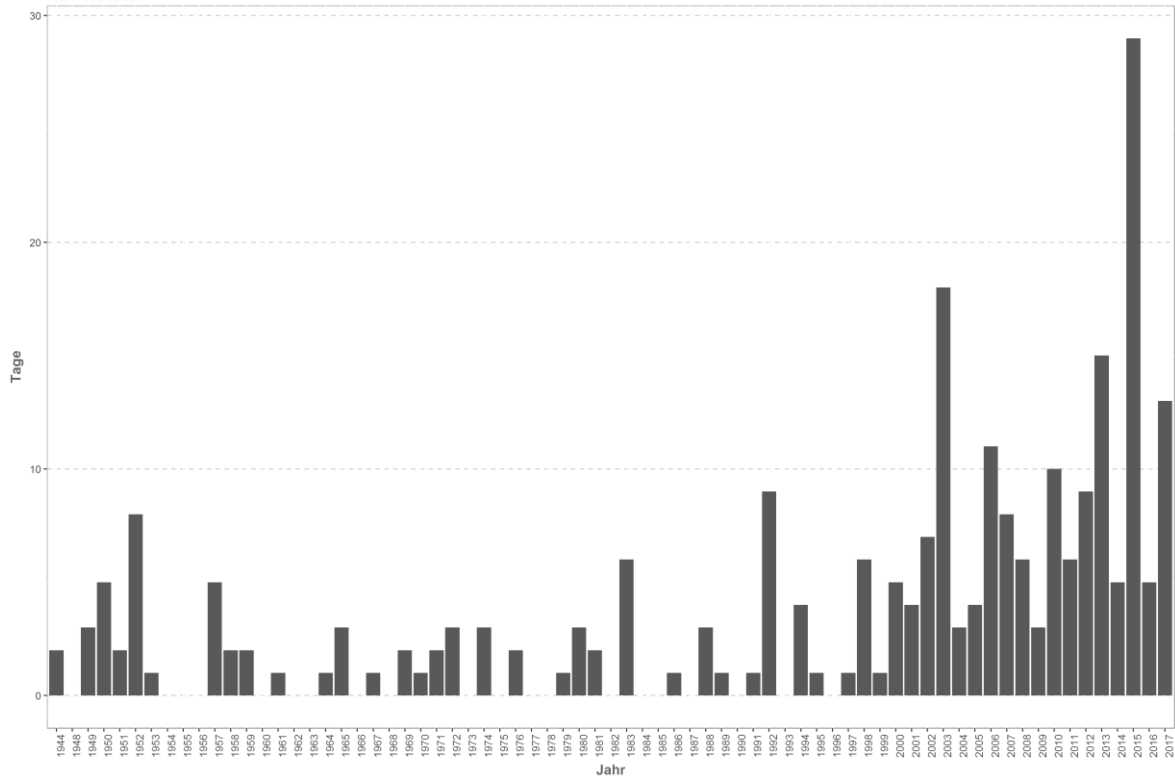
Monatsmittelwert

Prarn - Prarnerdorf



Temperaturüberschreitungen

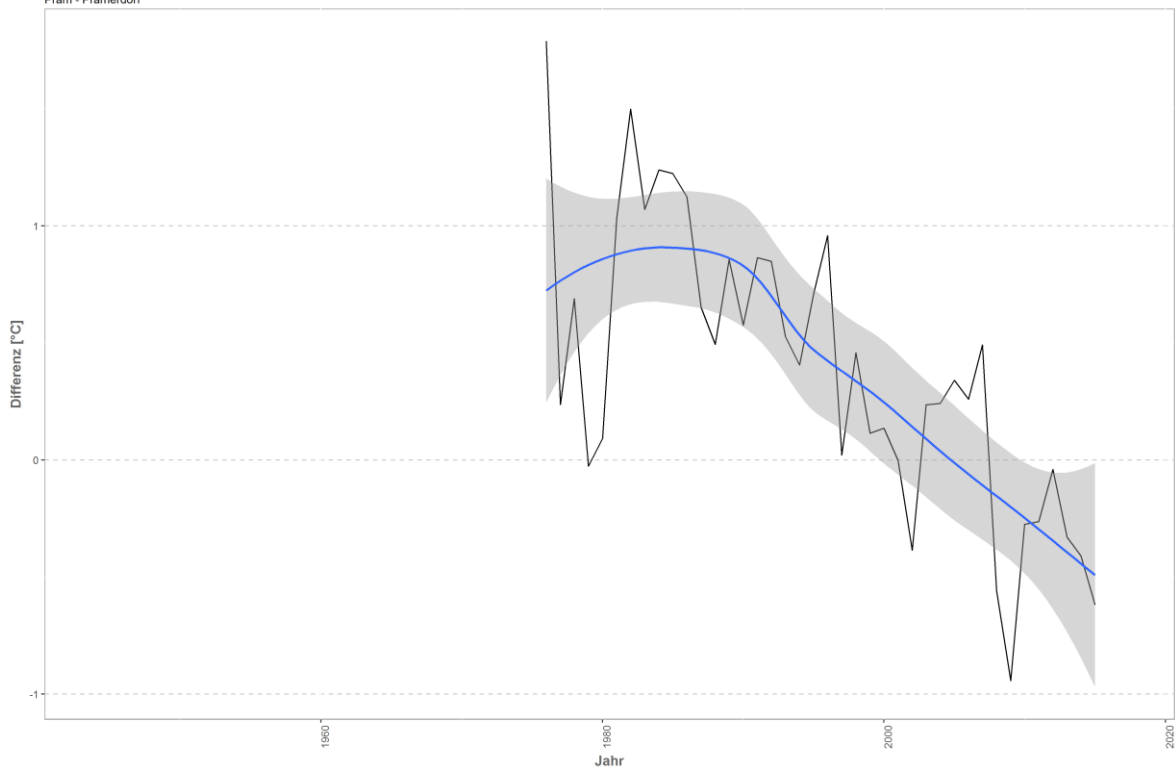
der Grenze sehr gut - gut
Pram - Pramerdorf



Differenzplot

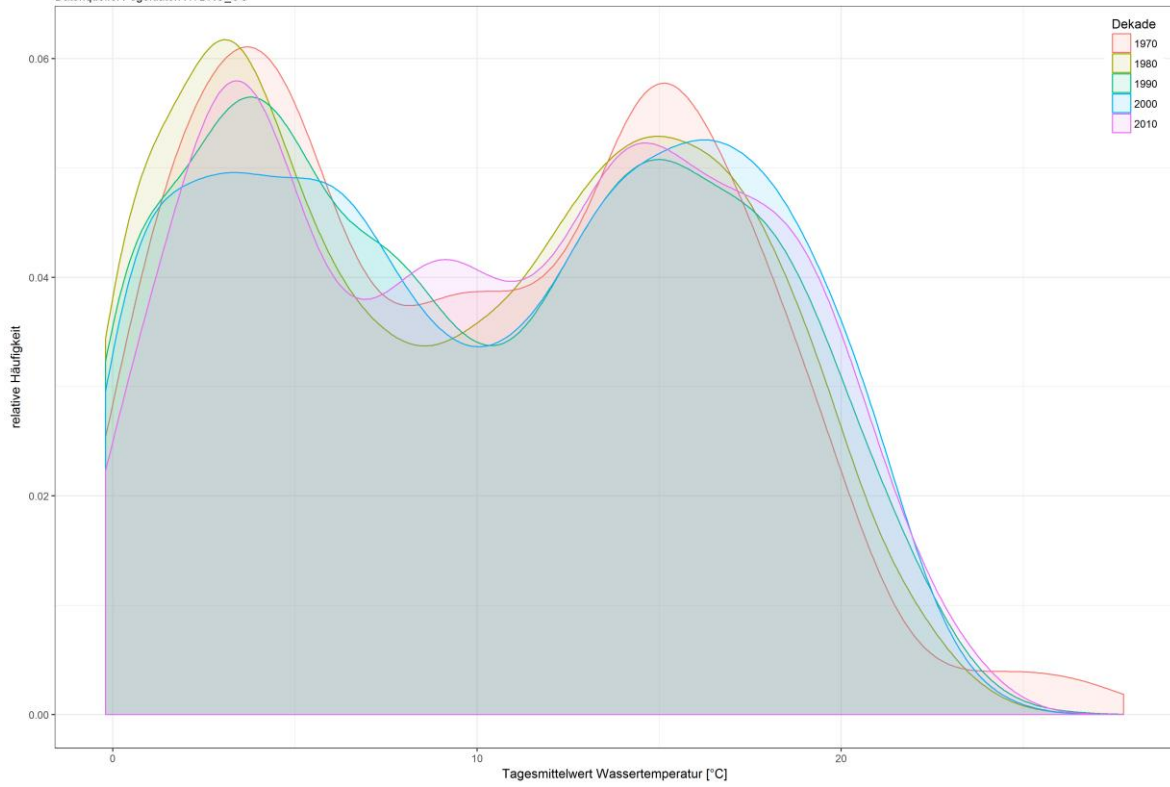
tatsächlich gemessene Wassertemperatur zu Schätzwert der linearen Regression

Pram - Pramerdorf



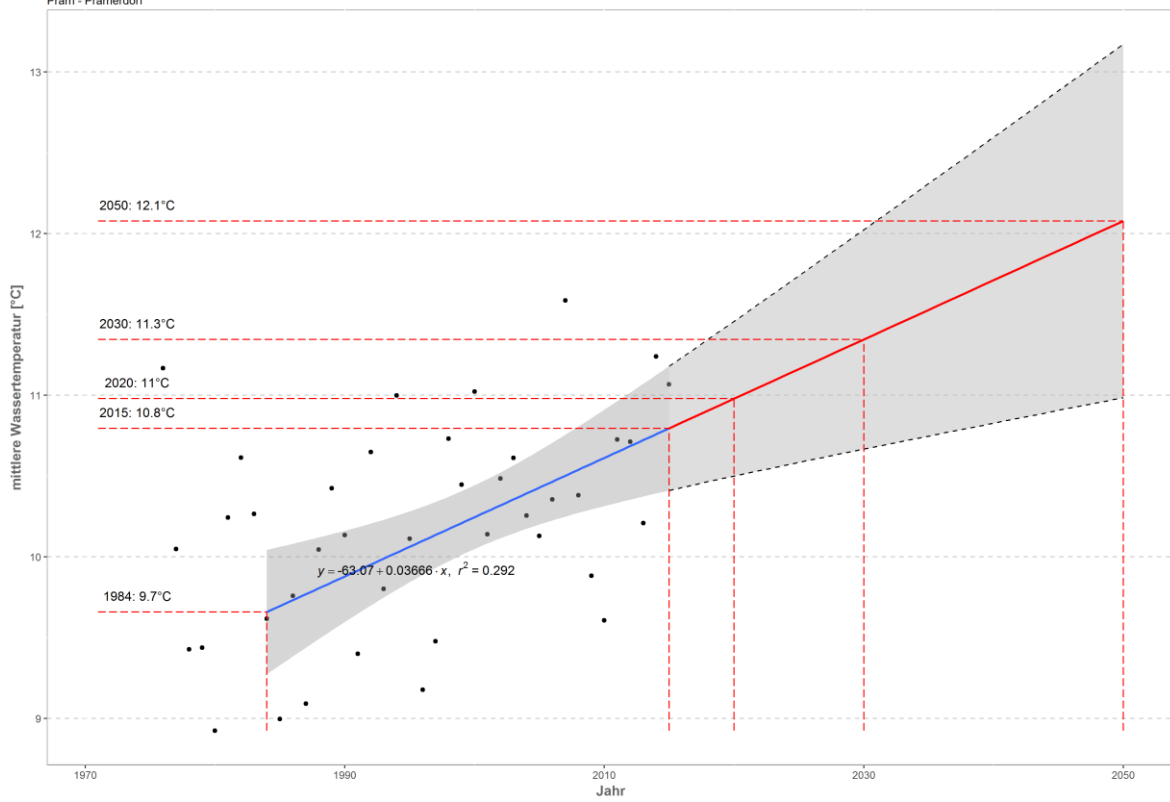
Häufigkeitsverteilung der Wassertemperaturen

Pram - Pramerdorf
 Datenquelle: Pegeldaten HYDRO_OO

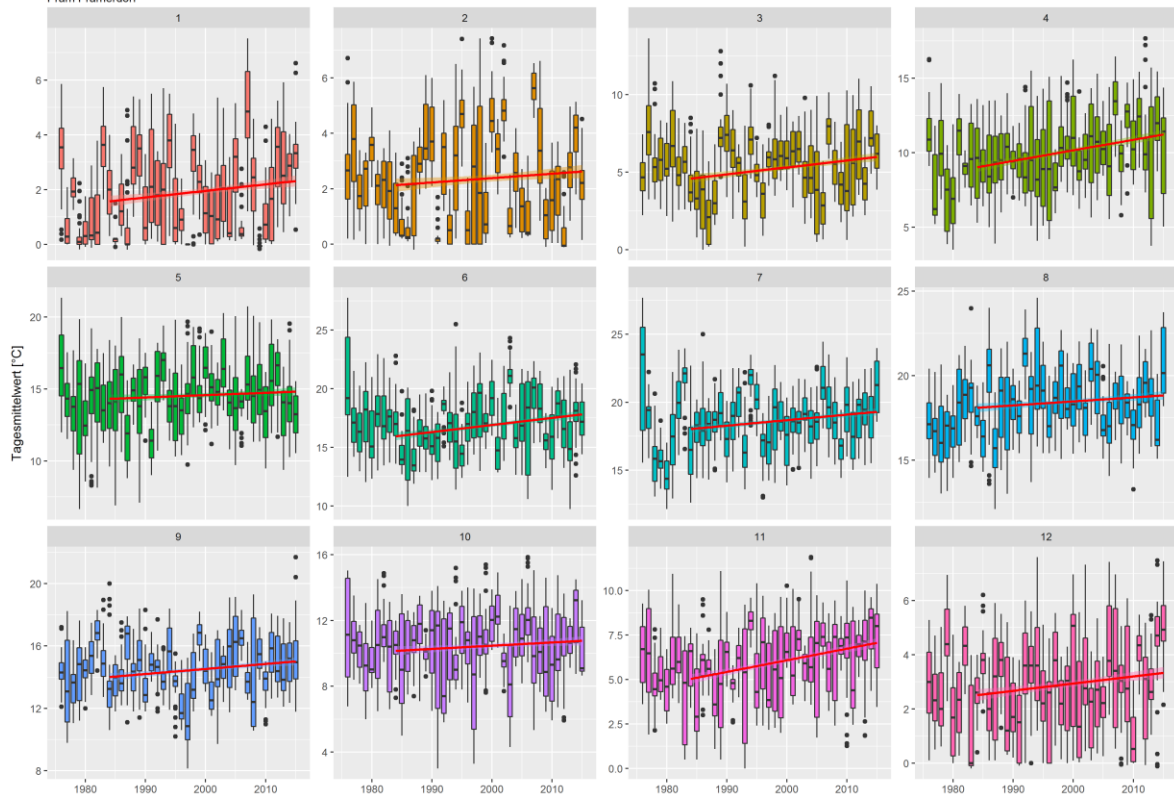


Prognose Wassertemperatur

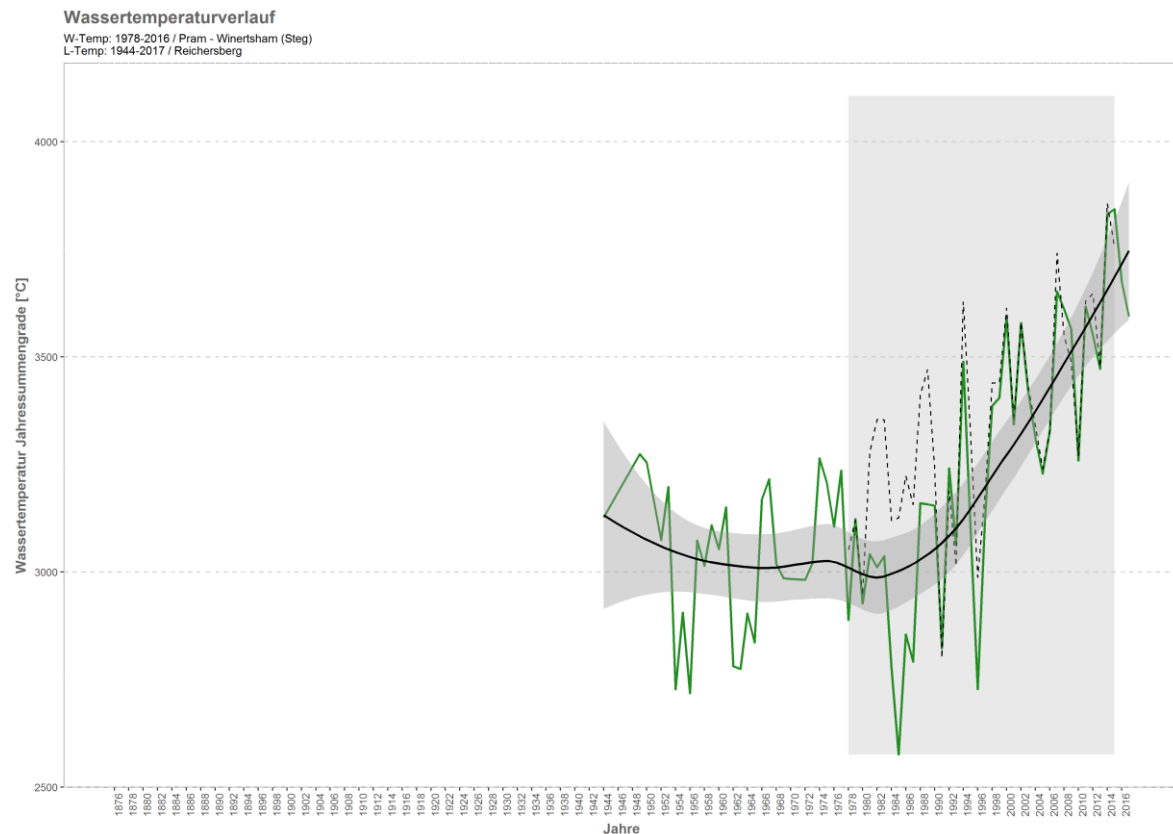
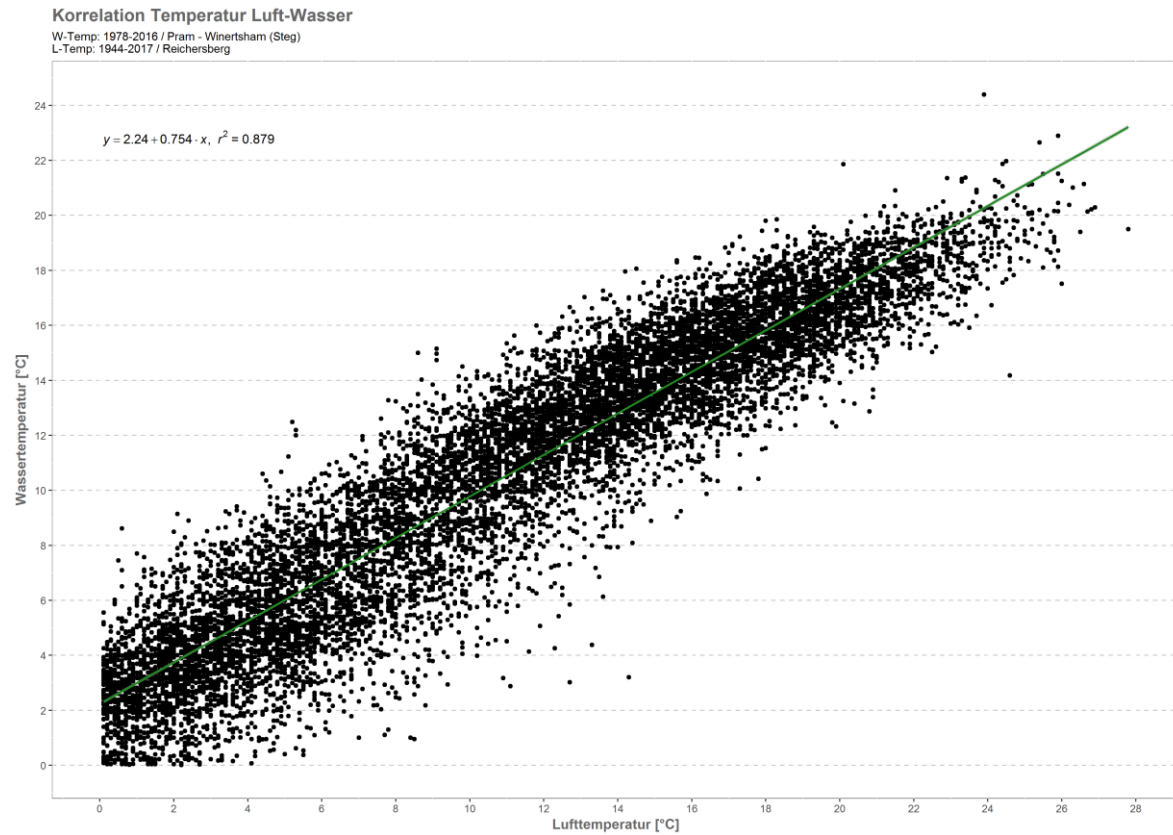
Pram - Pramerdorf



Monatsansicht der Tagesmittelwerte im Jahresverlauf
Pram Pramerdorf

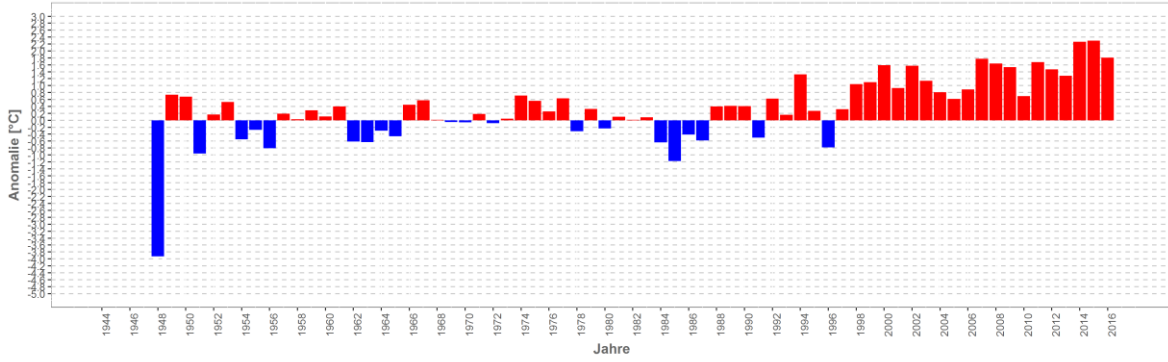


Pram – Wintersham (Steg)

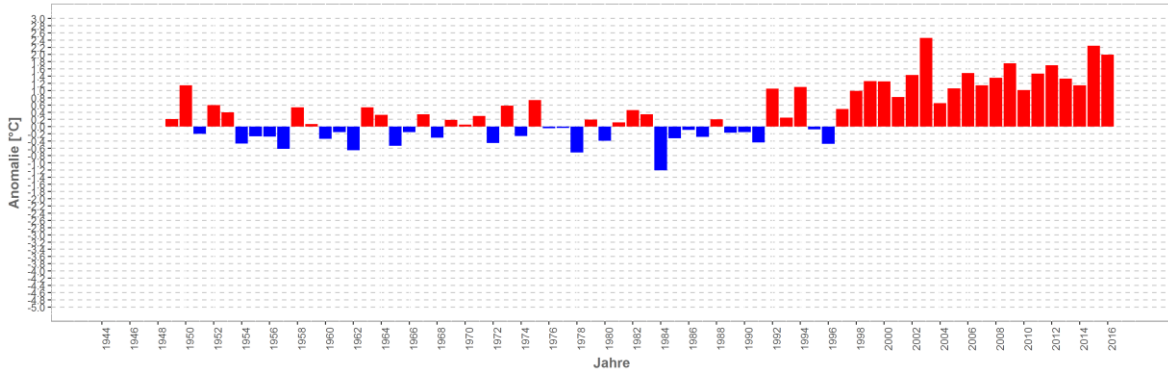


Wassertemperatur-Anomalie

Pram - Wintertsham (Steg) (1944-2017)
 Referenz: 1961-1990

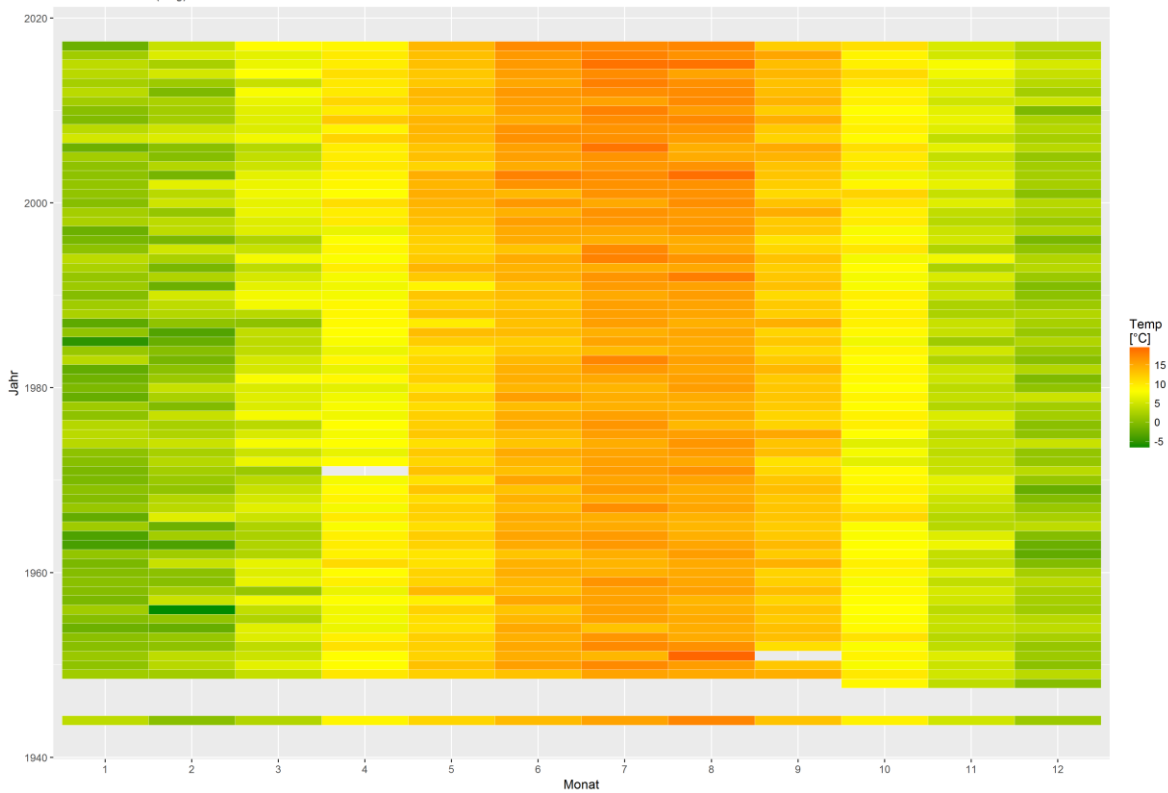


Sommermonate (Mai-Sept)



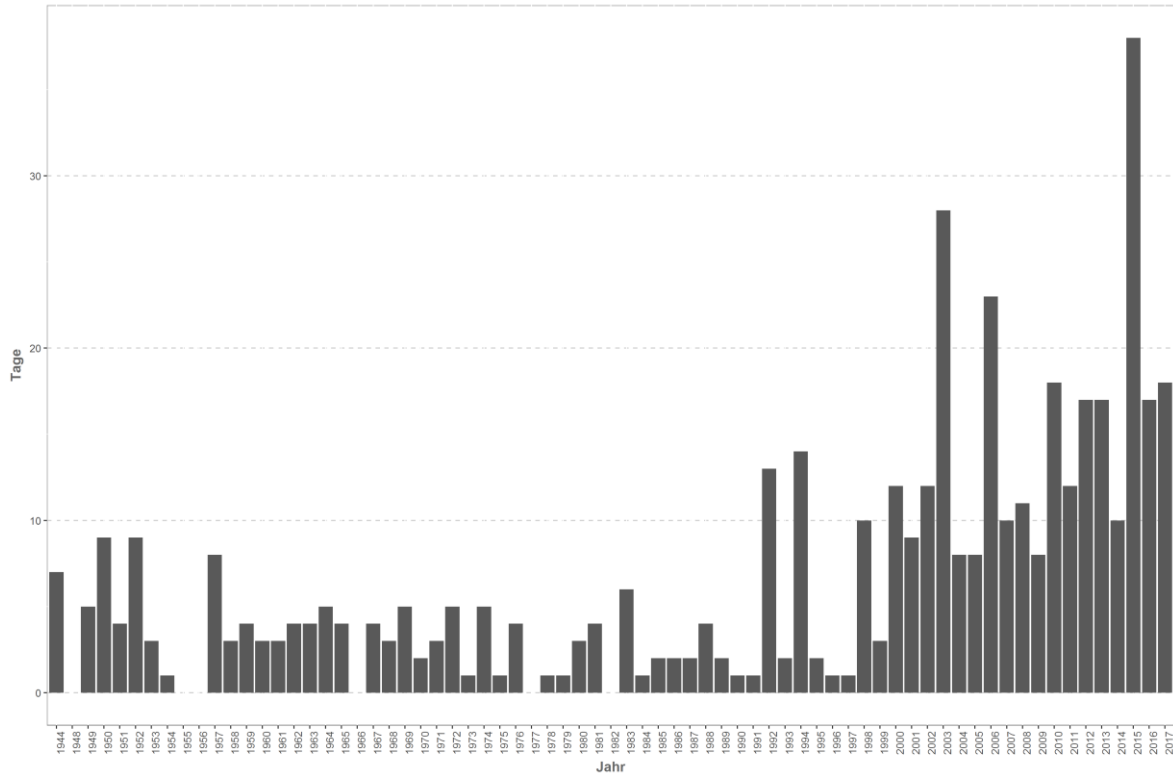
Monatsmittelwert

Pram - Wintertsham (Steg)



Temperaturüberschreitungen

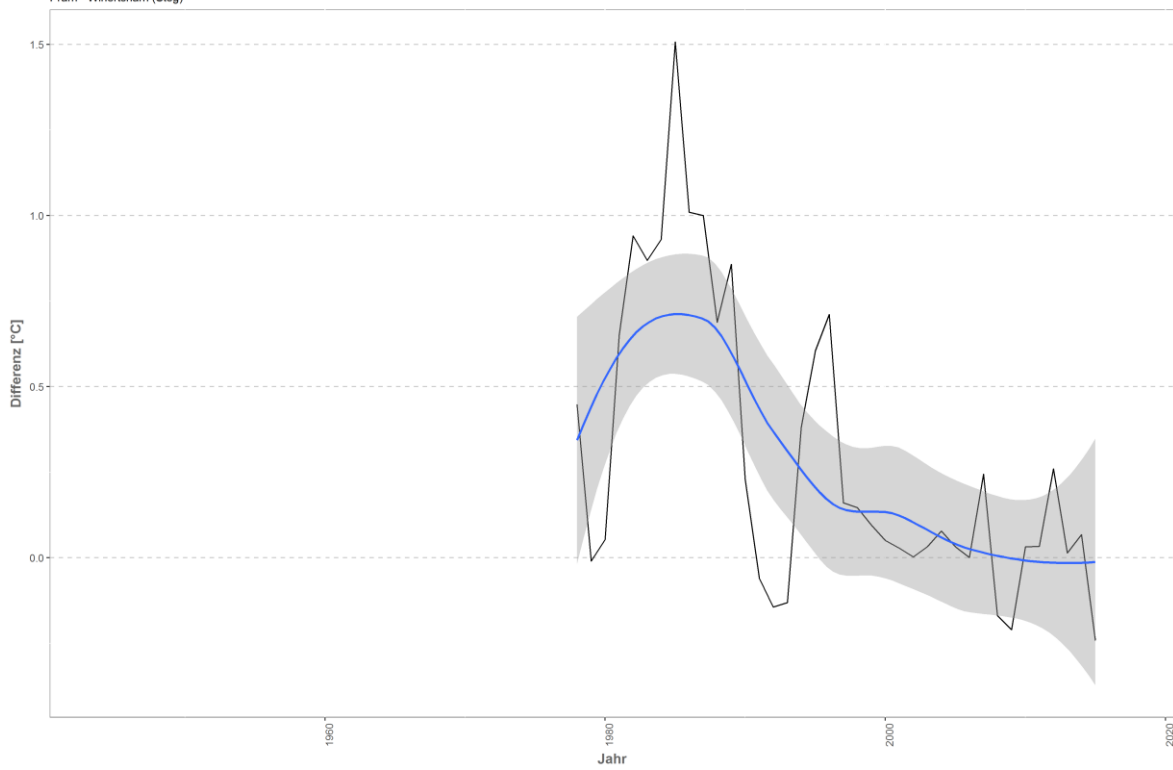
der Grenze sehr gut - gut
Pram - Winertsham (Steg)



Differenzplot

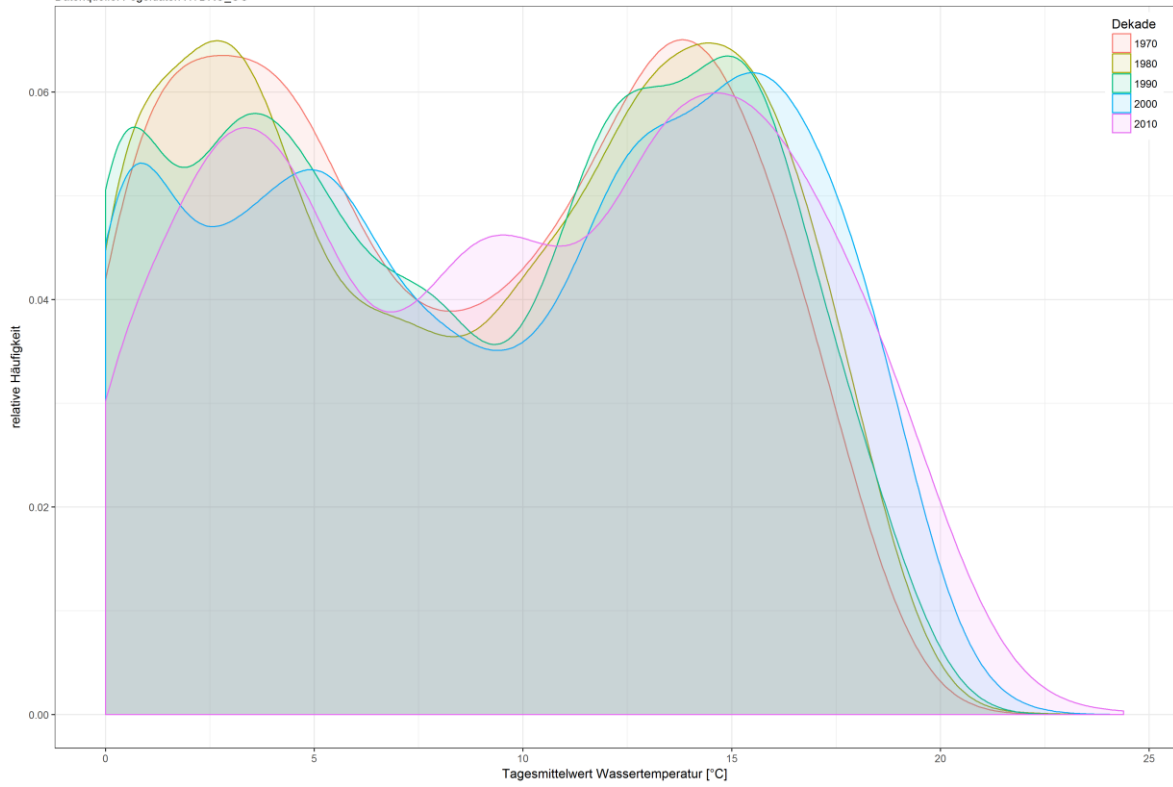
tatsächlich gemessene Wassertemperatur zu Schätzwert der linearen Regression

Pram - Winertsham (Steg)



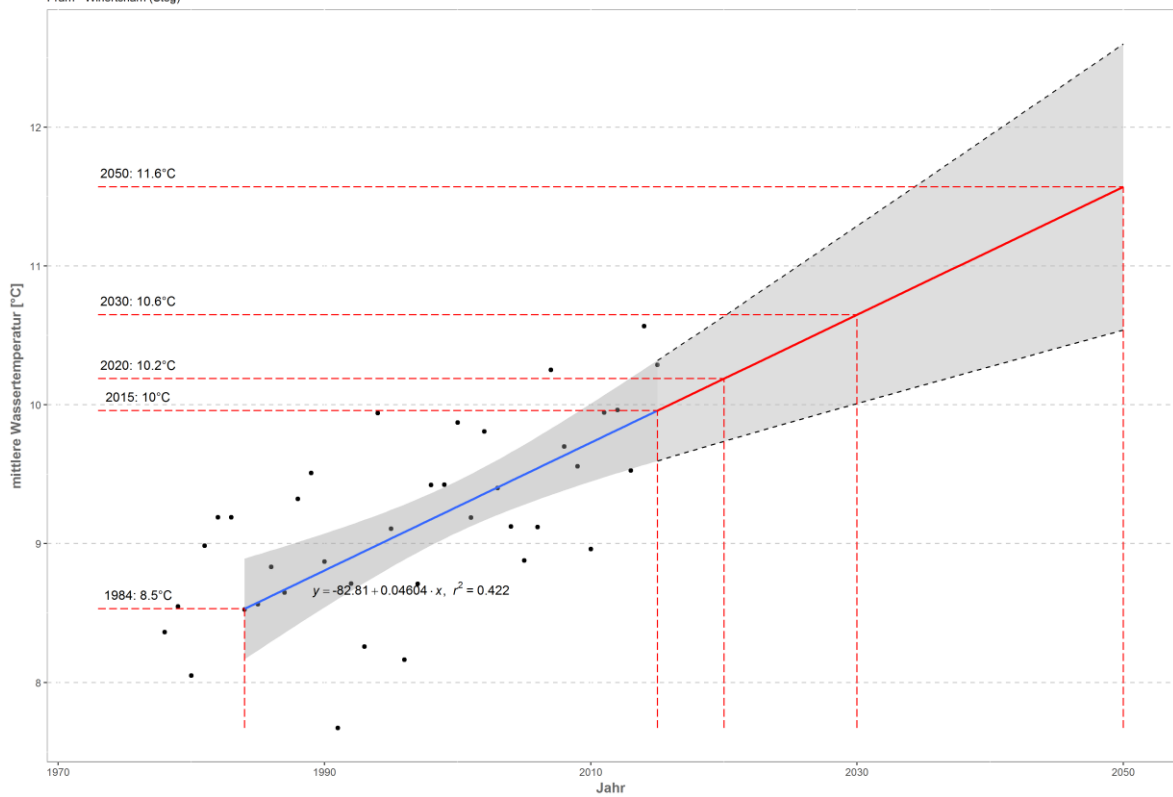
Häufigkeitsverteilung der Wassertemperaturen

Pram - Winertsham (Steg)
 Datenquelle: Pegeldaten HYDRO_OO

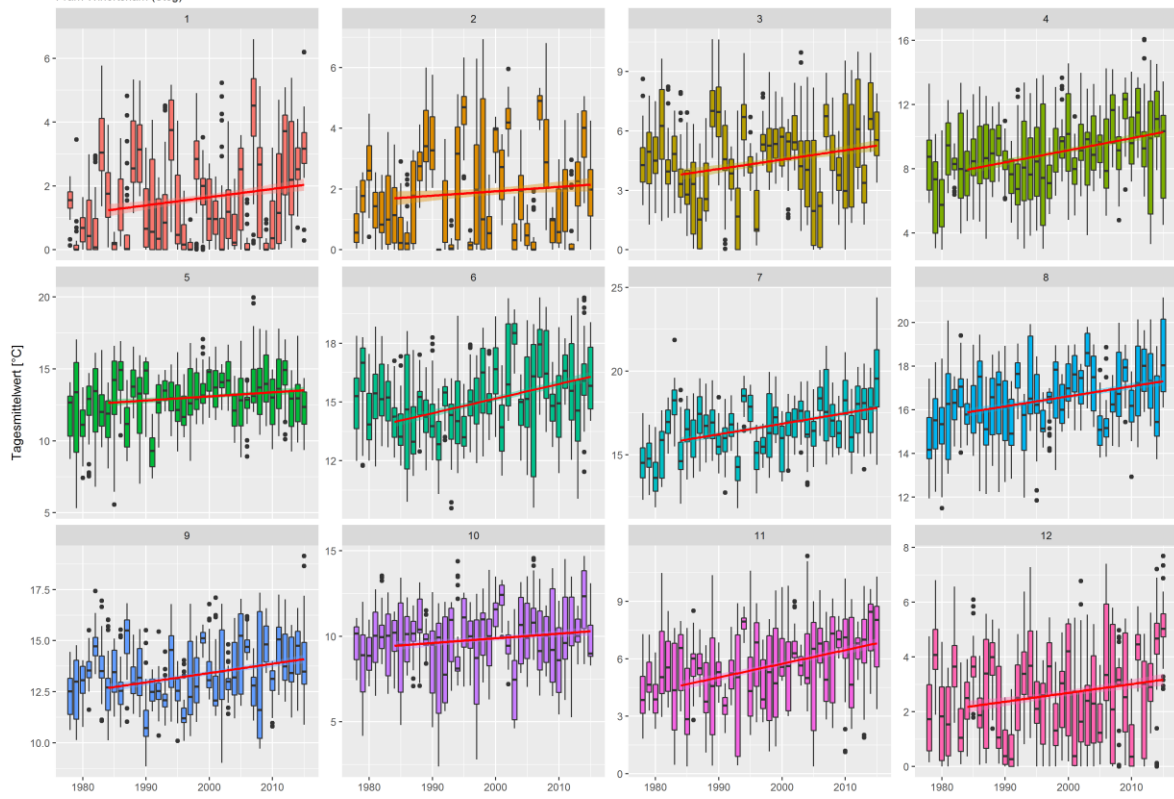


Prognose Wassertemperatur

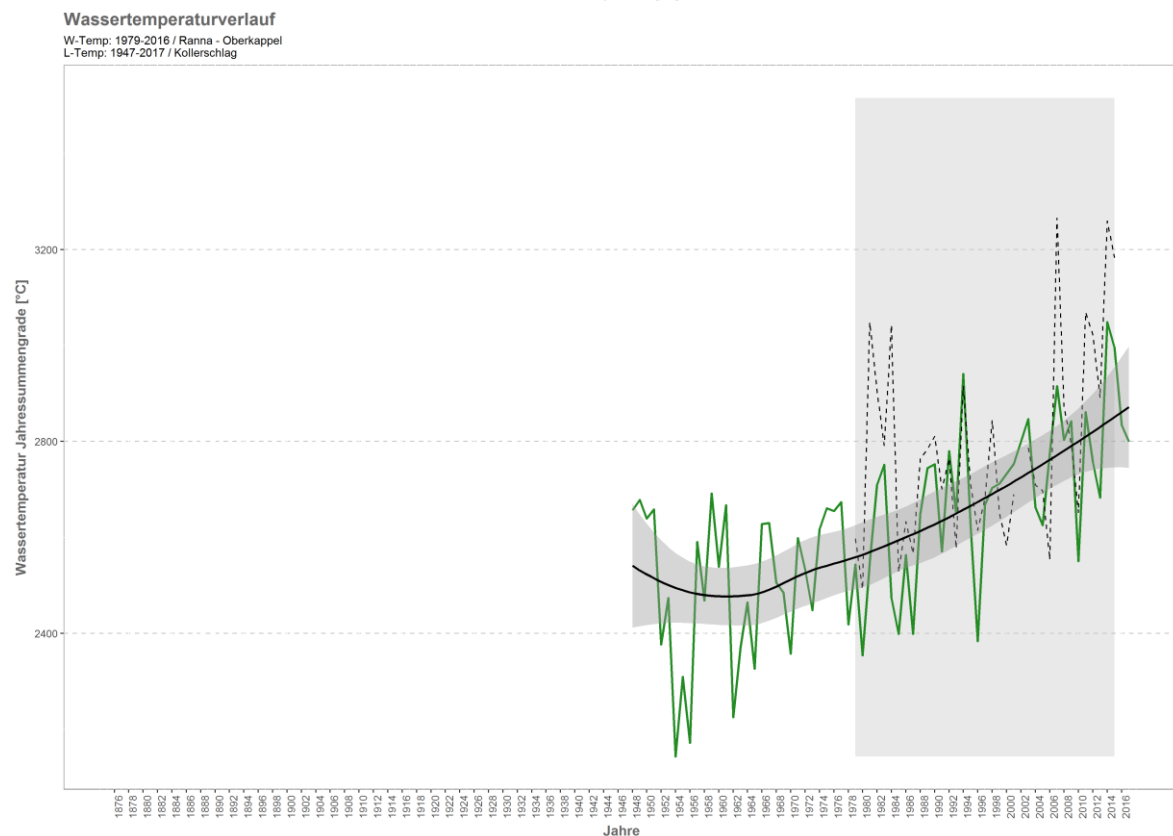
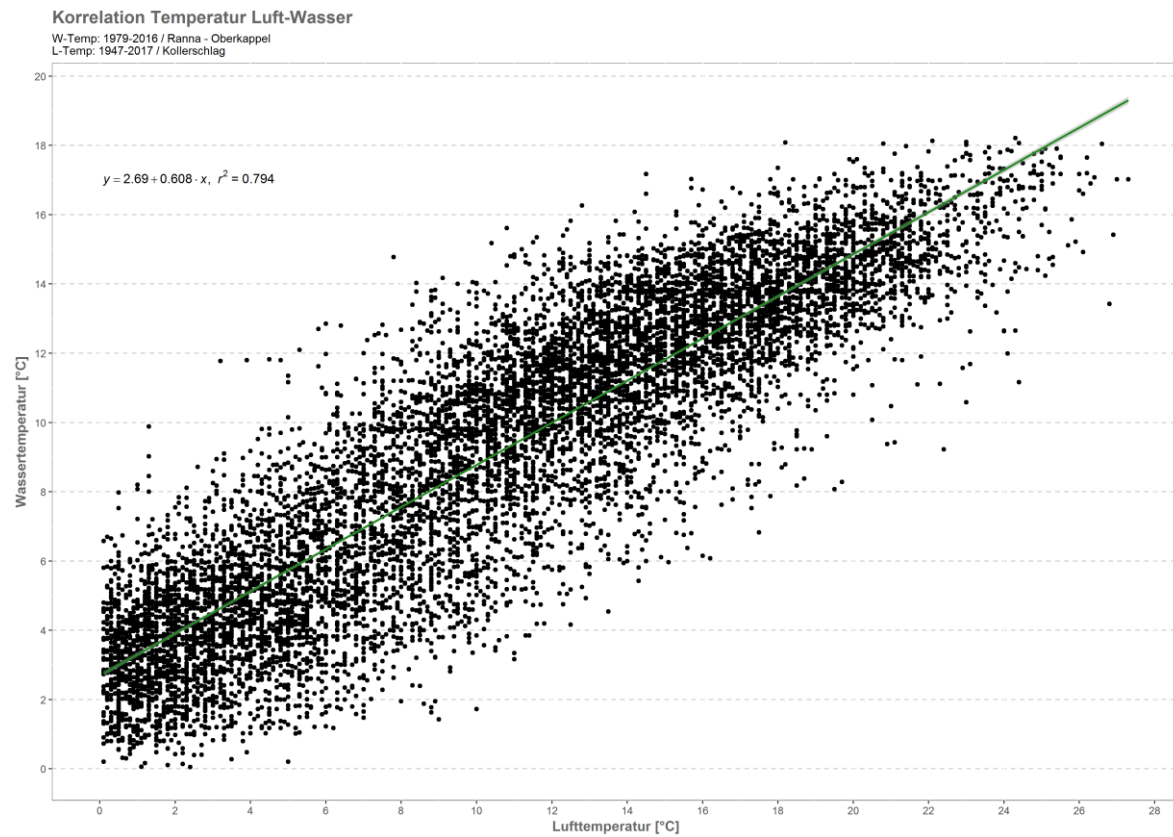
Pram - Winertsham (Steg)



Monatsansicht der Tagesmittelwerte im Jahresverlauf
Pram Winertsham (Steg)

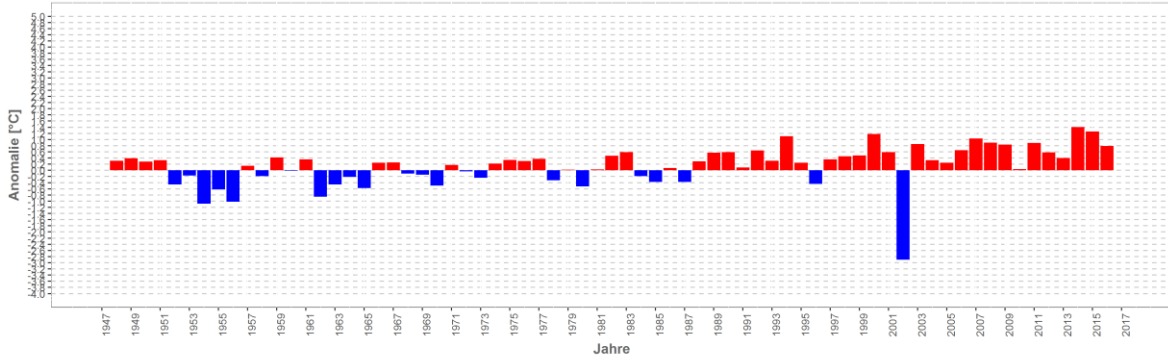


Ranna – Oberkappel

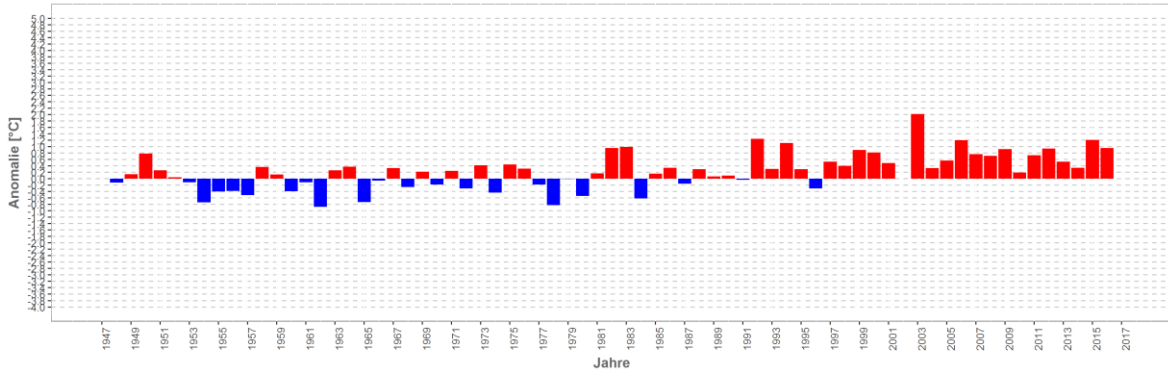


Wassertemperatur-Anomalie

Ranna - Oberkappel (1947-2017)
Referenz: 1961-1990

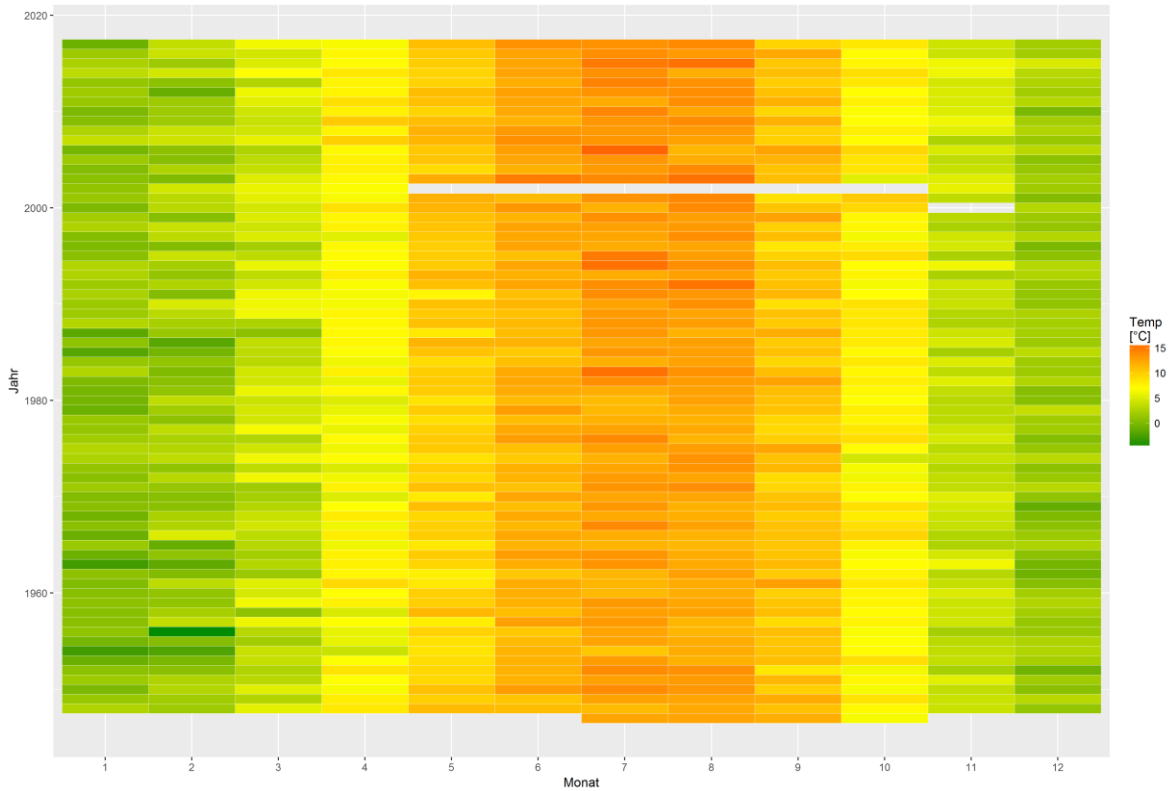


Sommermonate (Mai-Sept)



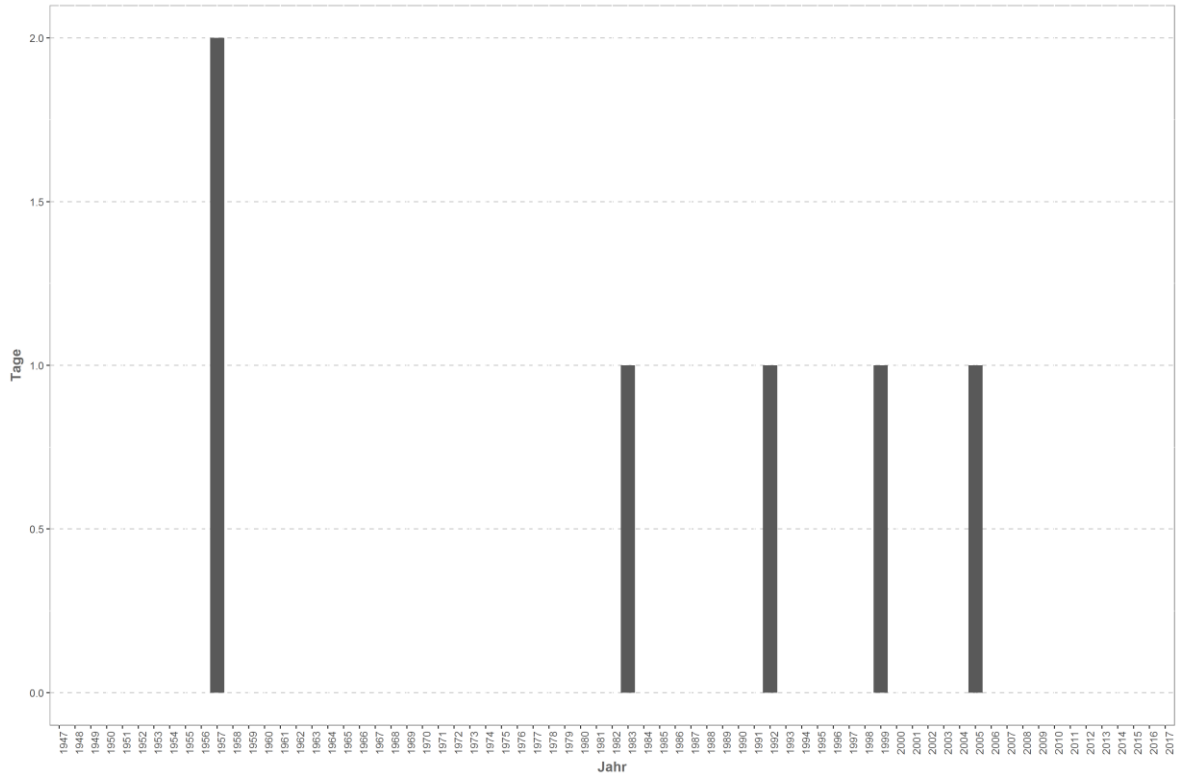
Monatsmittelwert

Ranna - Oberkappel



Temperaturüberschreitungen

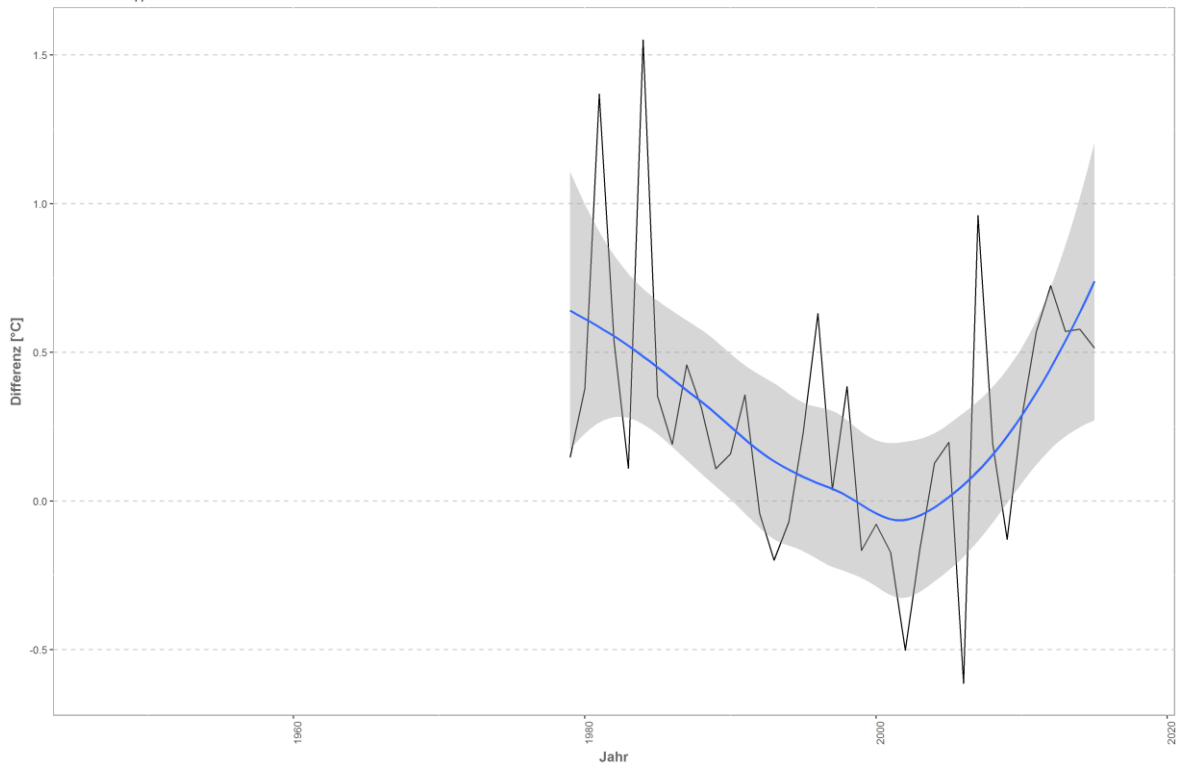
der Grenze sehr gut - gut
Ranna - Oberkappel



Differenzplot

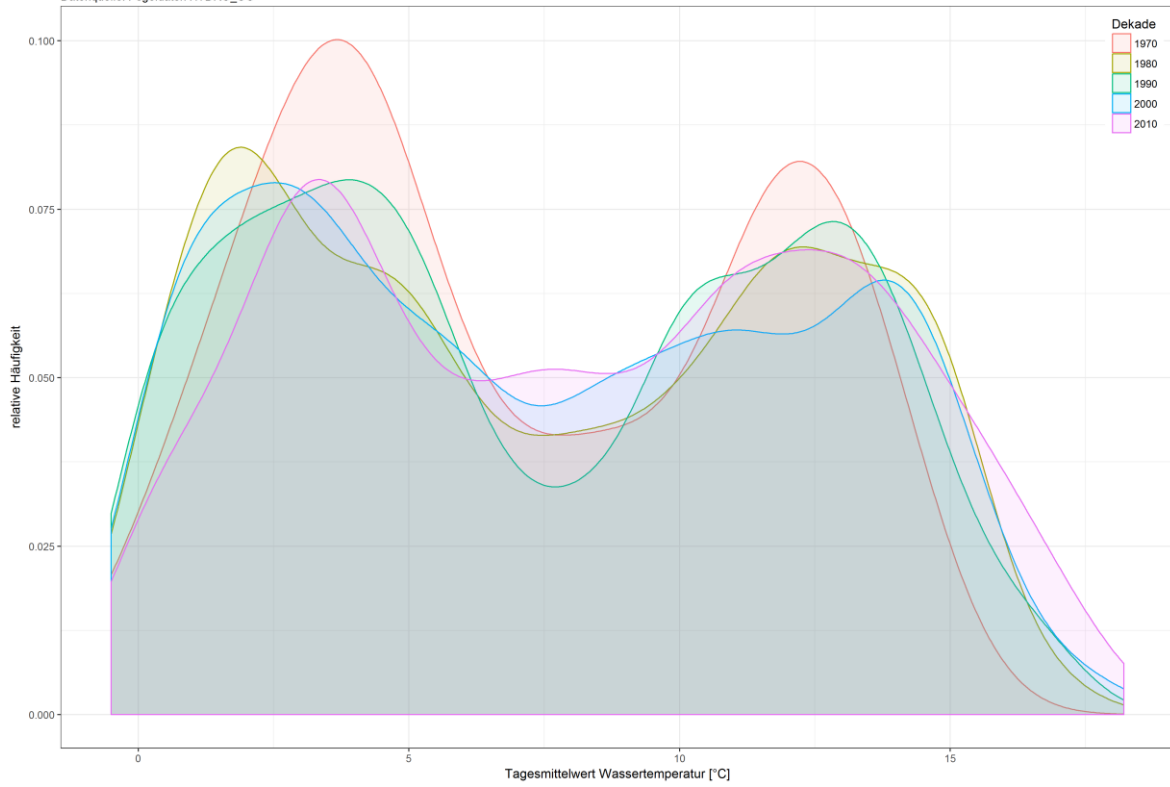
tatsächlich gemessene Wassertemperatur zu Schätzwert der linearen Regression

Ranna - Oberkappel



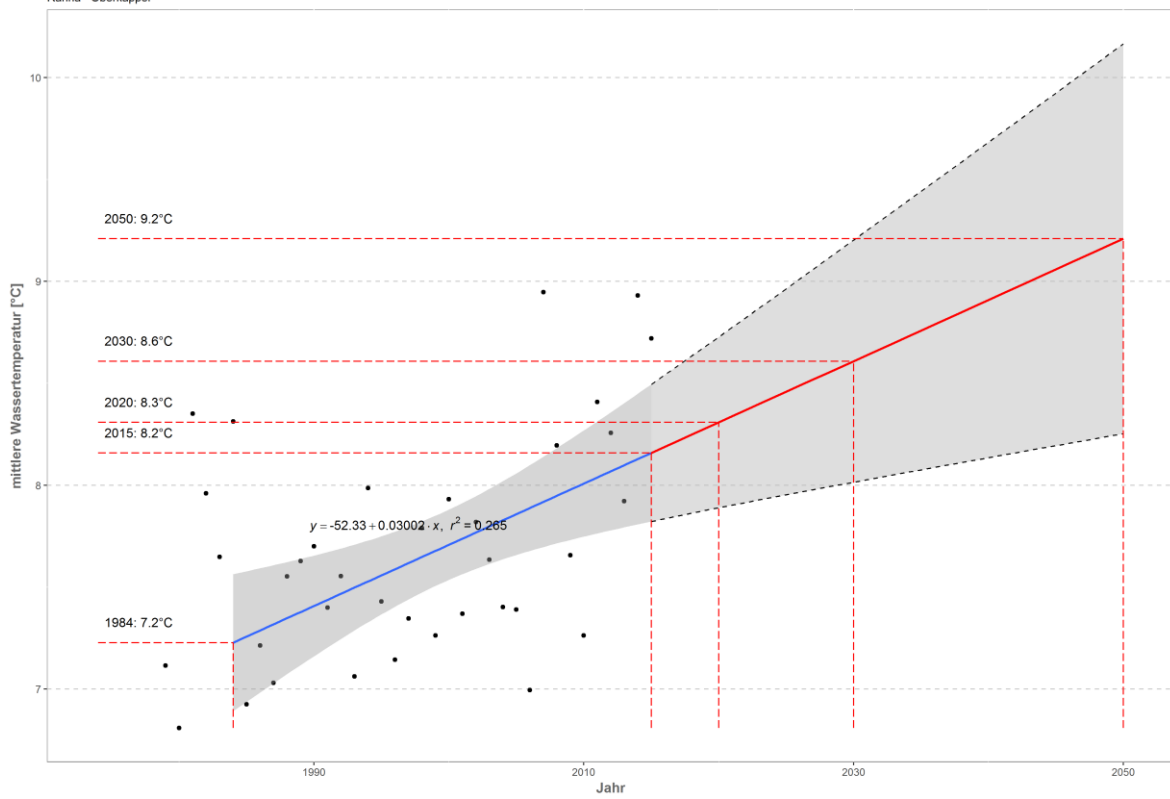
Häufigkeitsverteilung der Wassertemperaturen

Ranna - Oberkappel
 Datenquelle: Pegeldaten HYDRO_OO



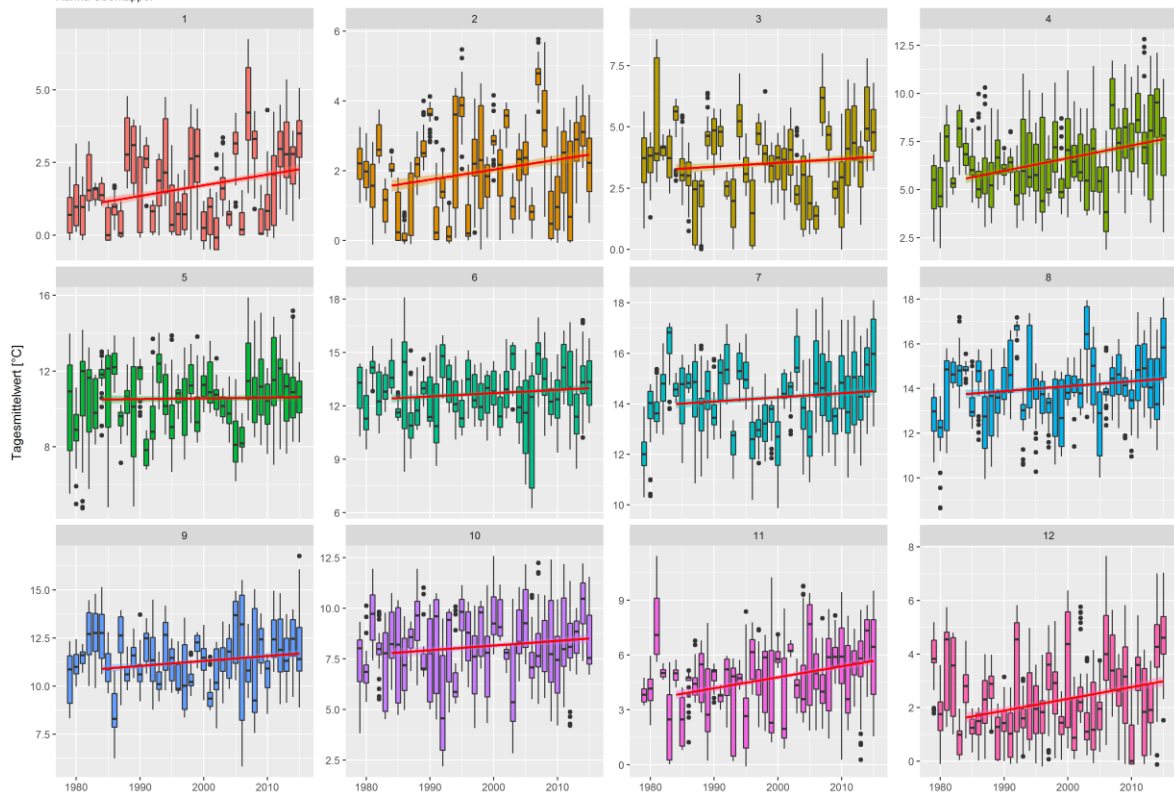
Prognose Wassertemperatur

Ranna - Oberkappel

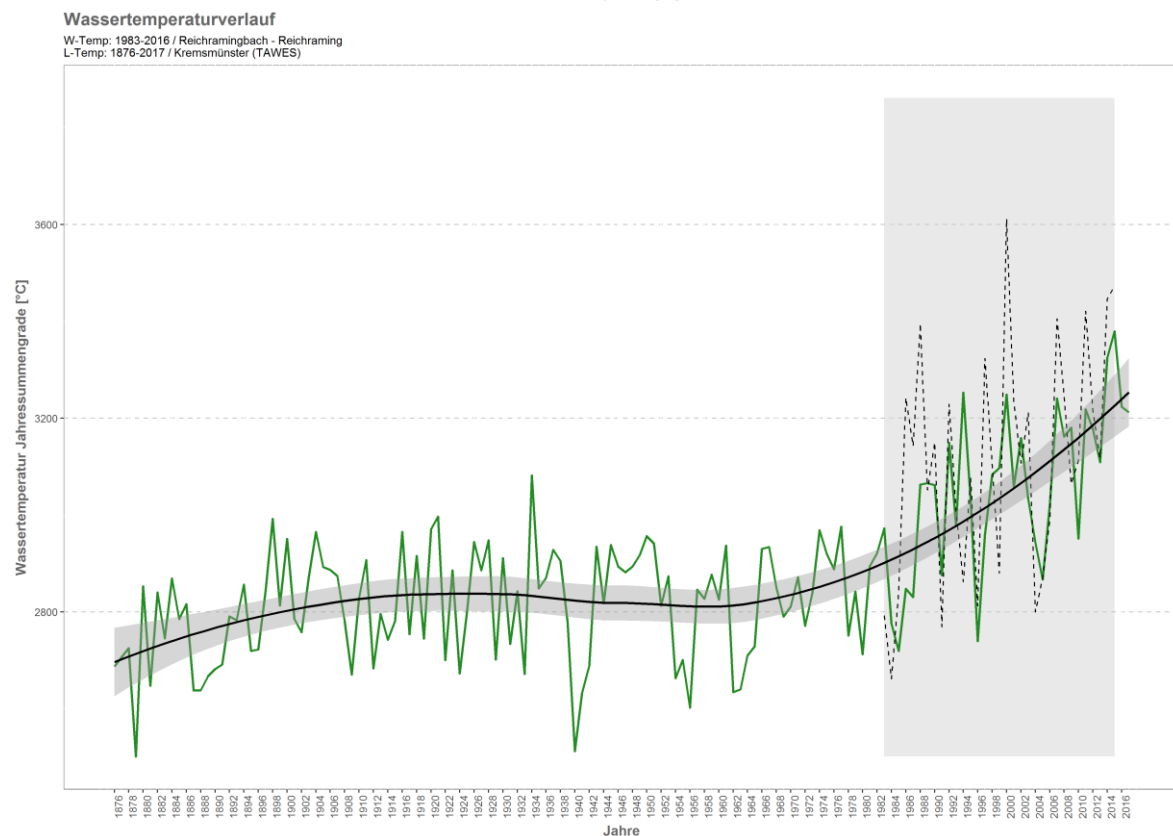
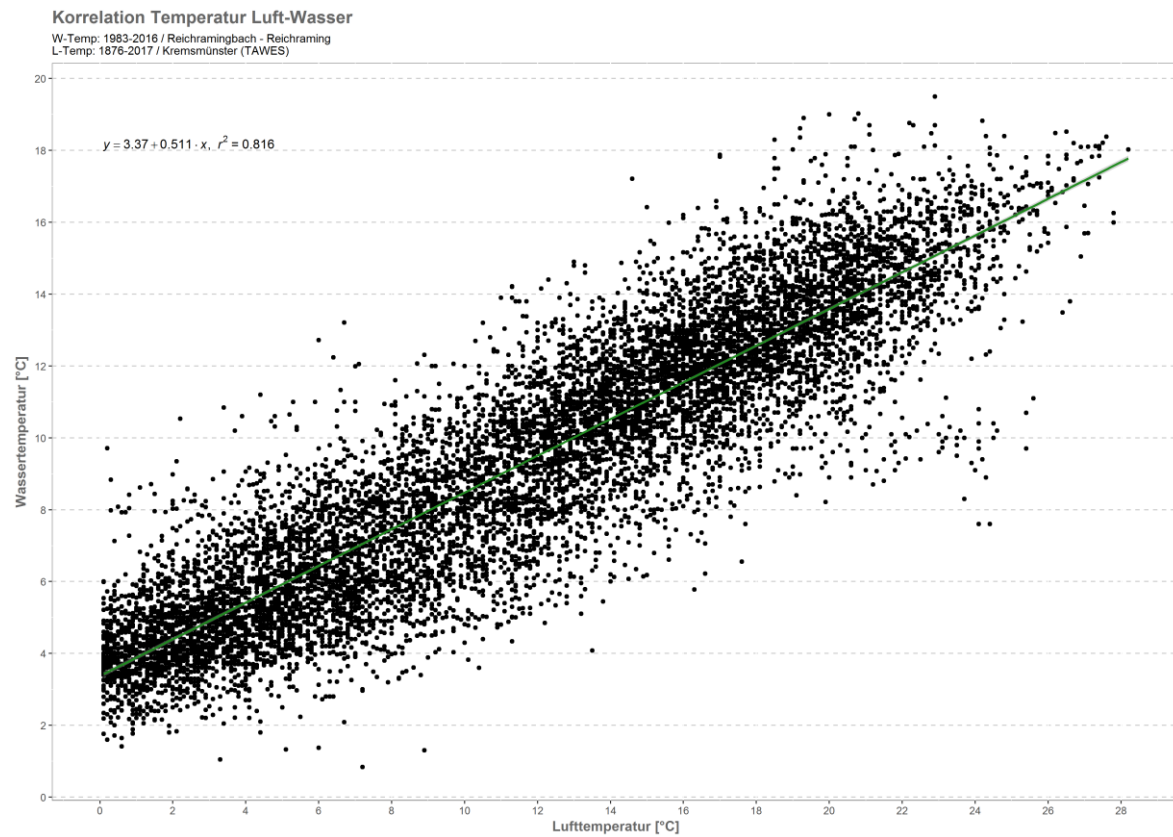


Monatsansicht der Tagesmittelwerte im Jahresverlauf

Ranna Oberkappel

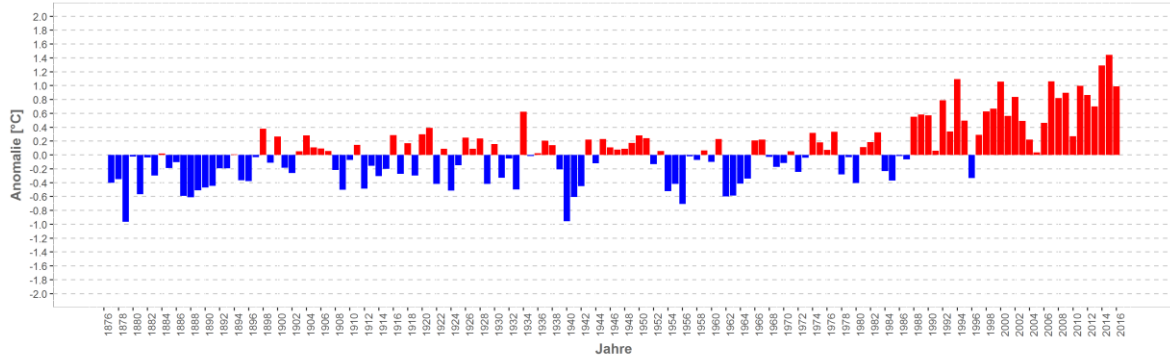


Raichramingbach – Reichraming

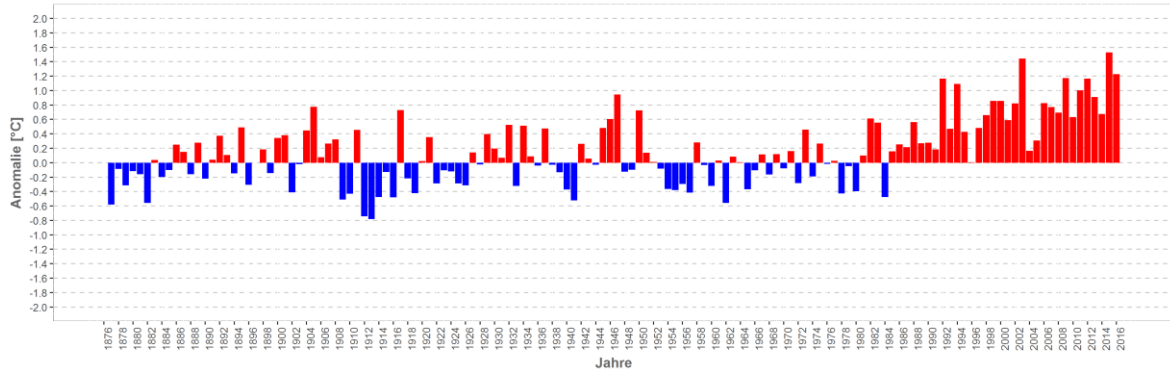


Wassertemperatur-Anomalie

Reichramingbach - Reichraming (1876-2017)
 Referenz: 1961-1990

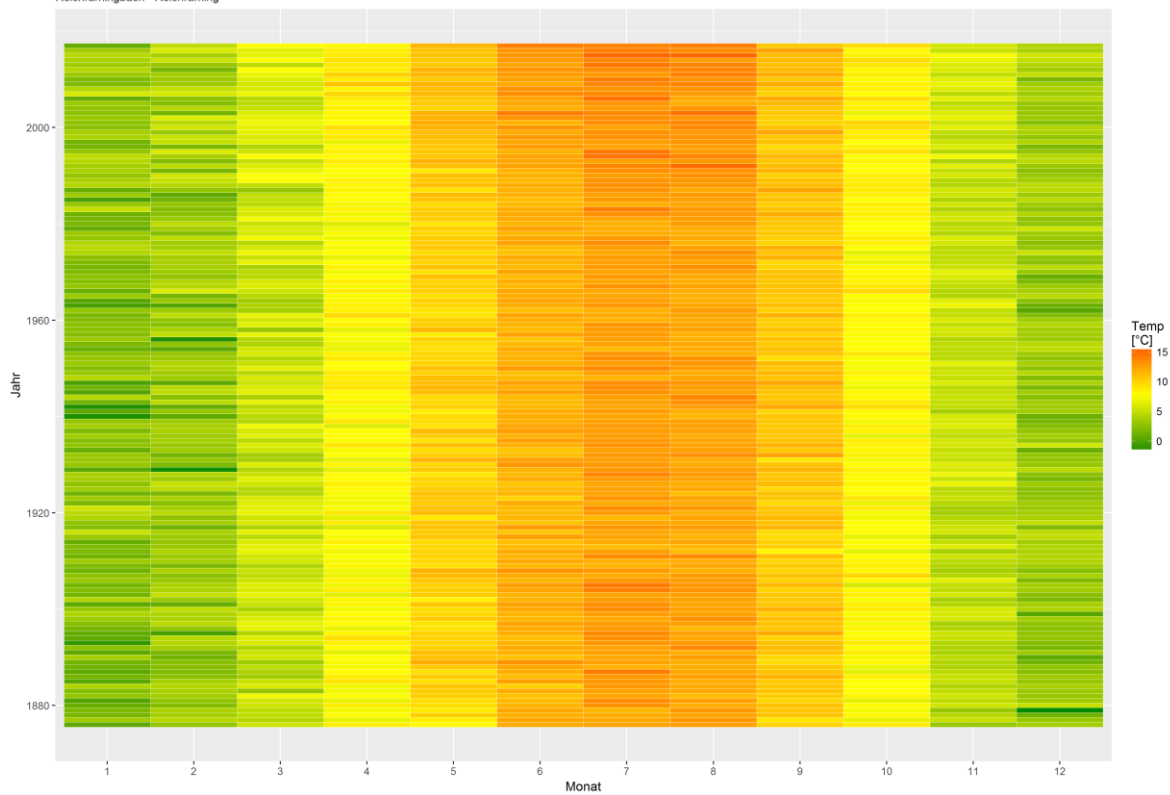


Sommermonate (Mai-Sept)



Monatsmittelwert

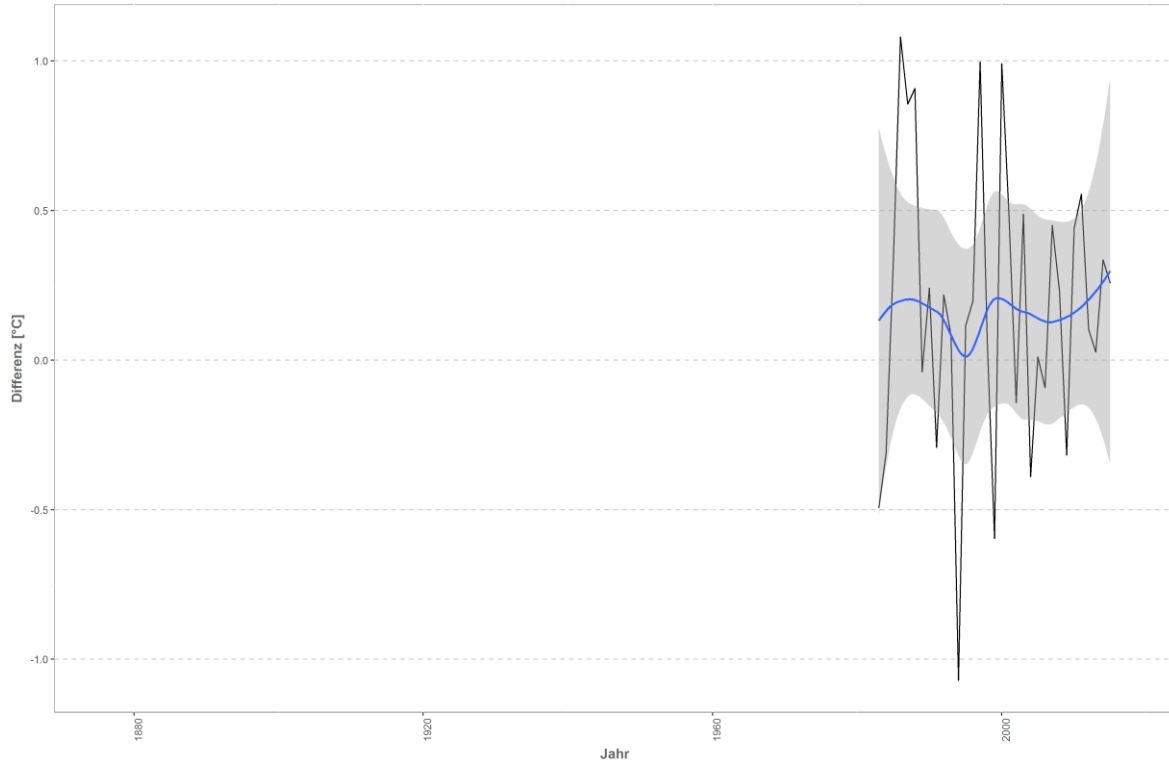
Reichramingbach - Reichraming



Differenzplot

tatsächlich gemessene Wassertemperatur zu Schätzwert der linearen Regression

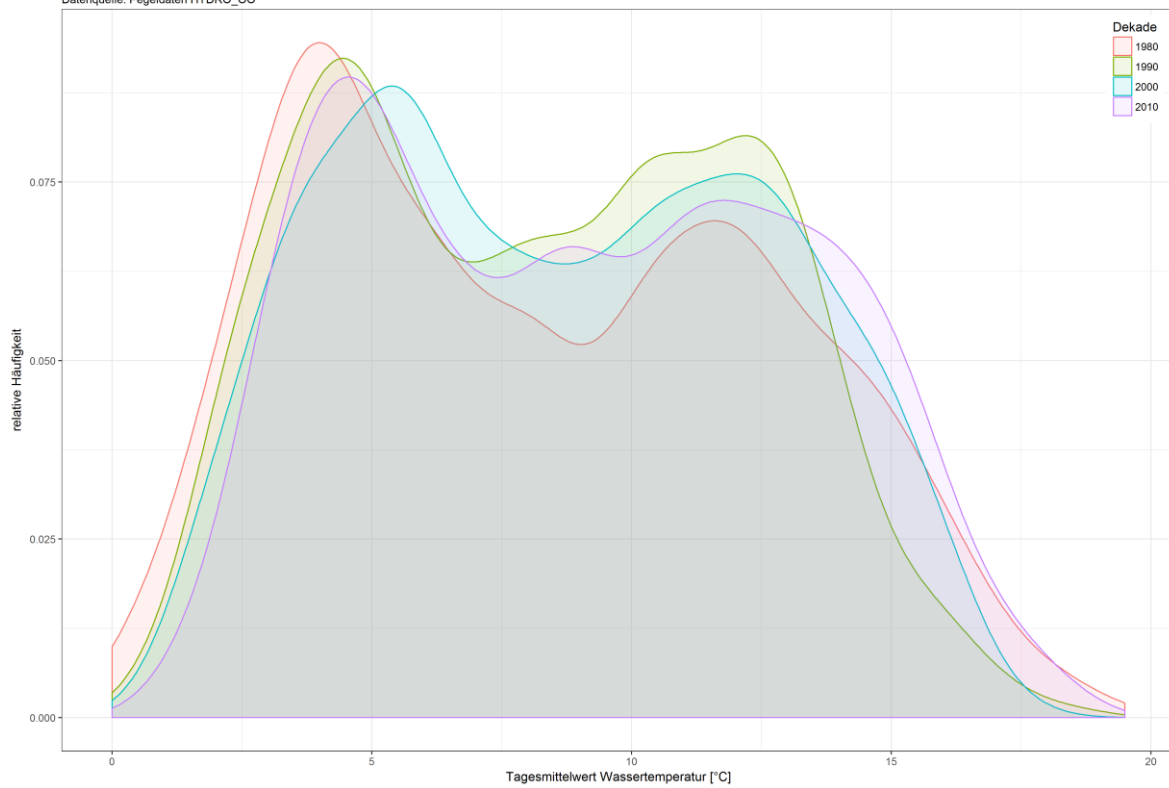
Reichramingbach - Reichraming



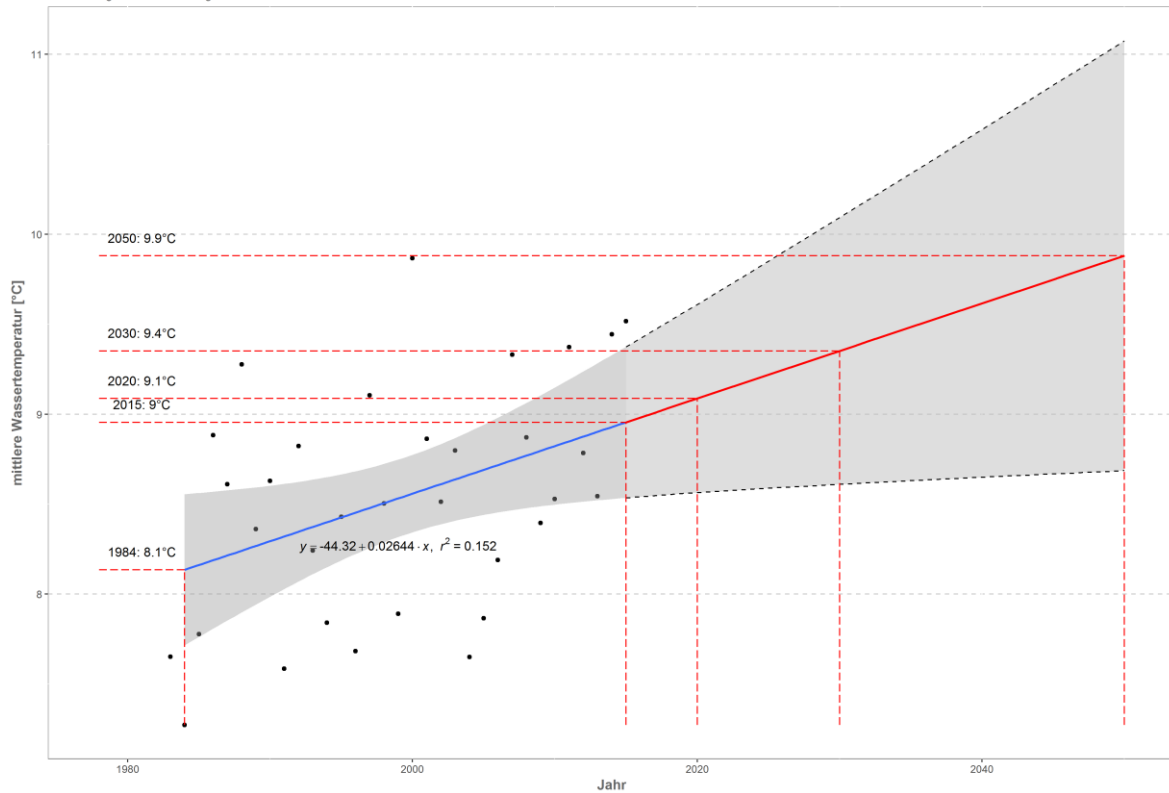
Häufigkeitsverteilung der Wassertemperaturen

Reichramingbach - Reichraming

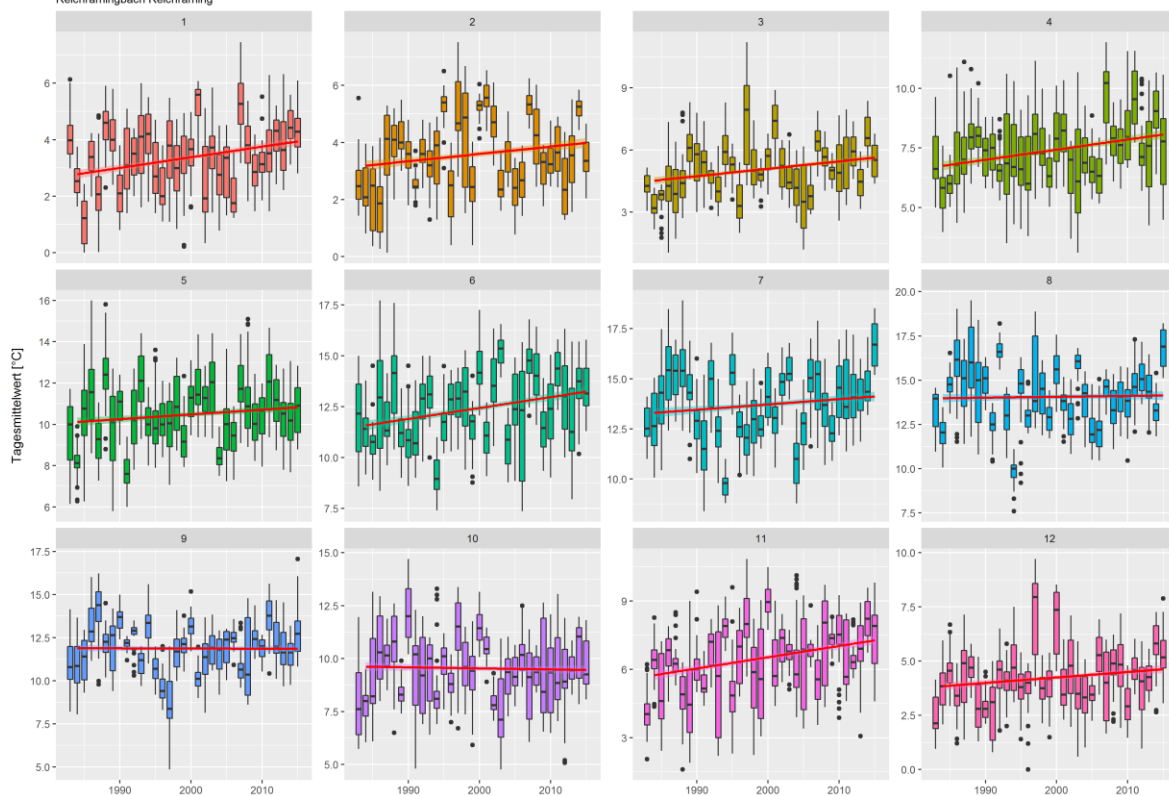
Datenquelle: Pegeldaten HYDRO_OO



Prognose Wassertemperatur
Reichramingbach - Reichraming



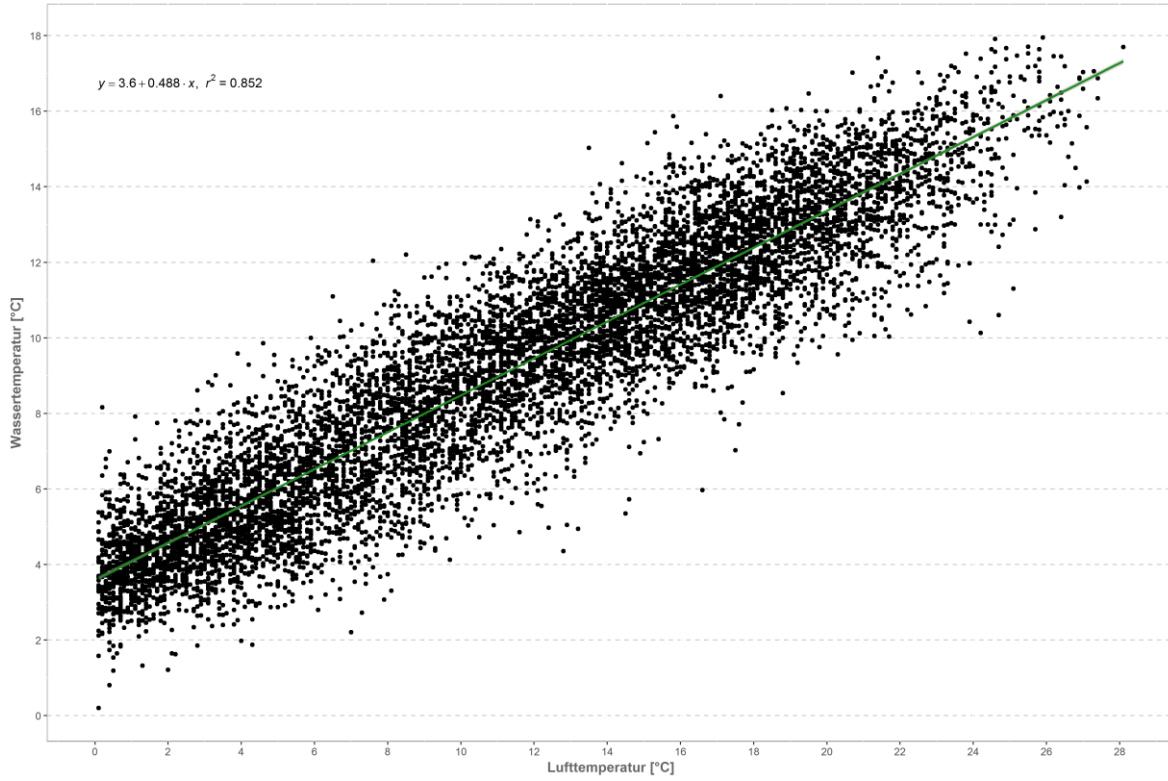
Monatsansicht der Tagesmittelwerte im Jahresverlauf
Reichramingbach Reichraming



Salzach – Ach

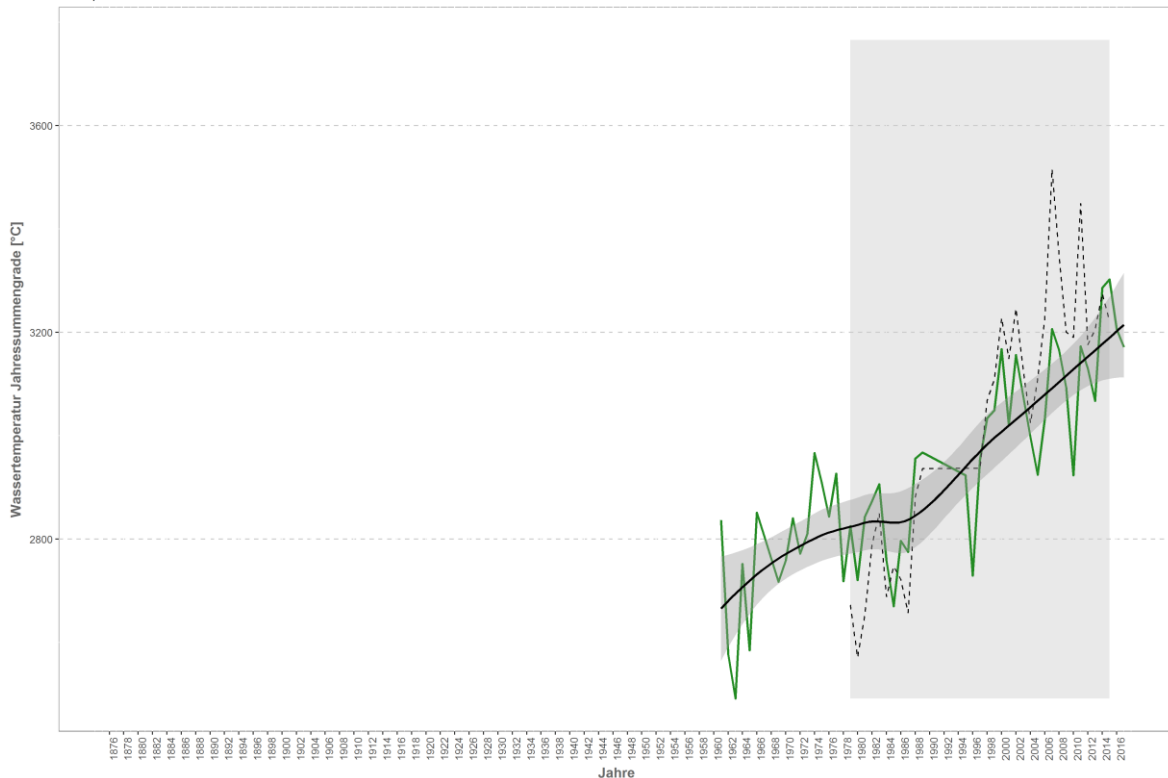
Korrelation Temperatur Luft-Wasser

W-Temp: 1979-2016 / Salzach - Ach
L-Temp: 1961-2017 / Ranshofen



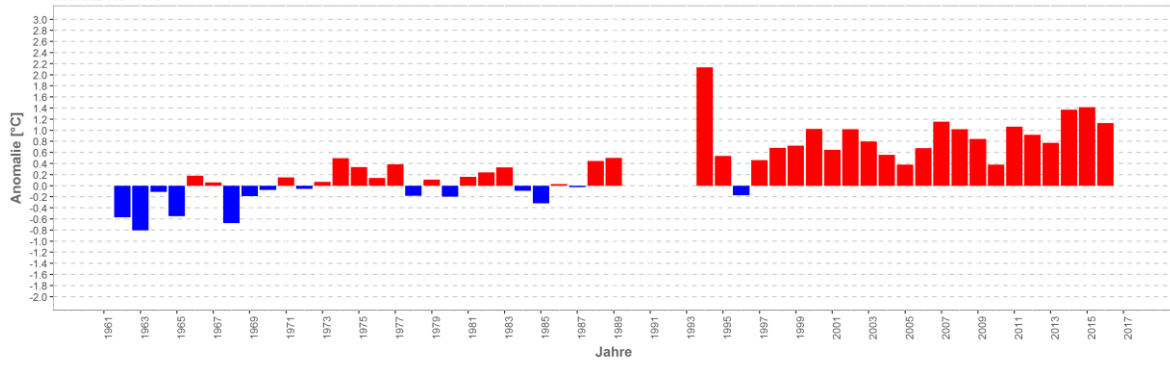
Wassertemperaturverlauf

W-Temp: 1979-2016 / Salzach - Ach
L-Temp: 1961-2017 / Ranshofen

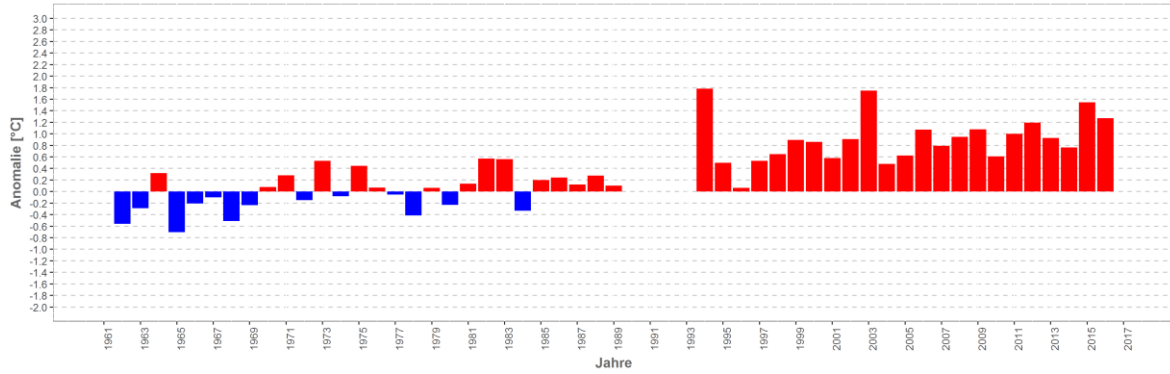


Wassertemperatur-Anomalie

Salzach - Ach (1961-2017)
Referenz: 1961-1990

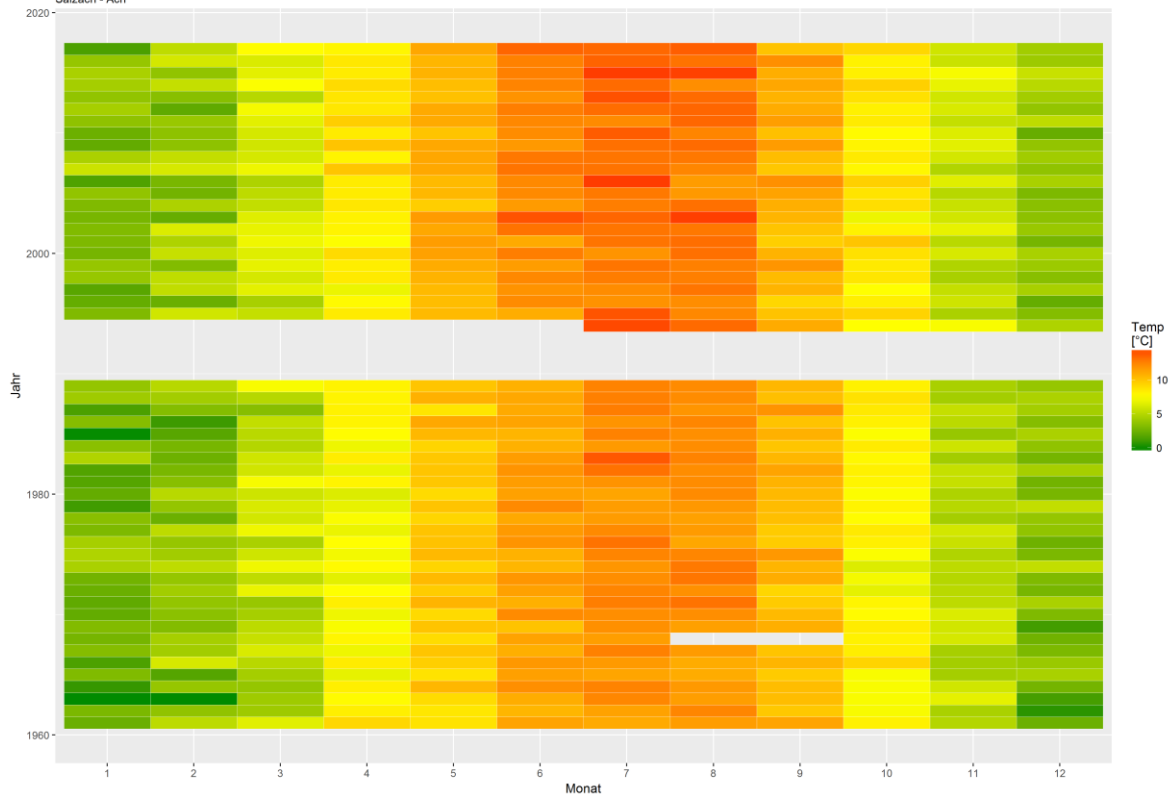


Sommermonate (Mai-Sept)



Monatsmittelwert

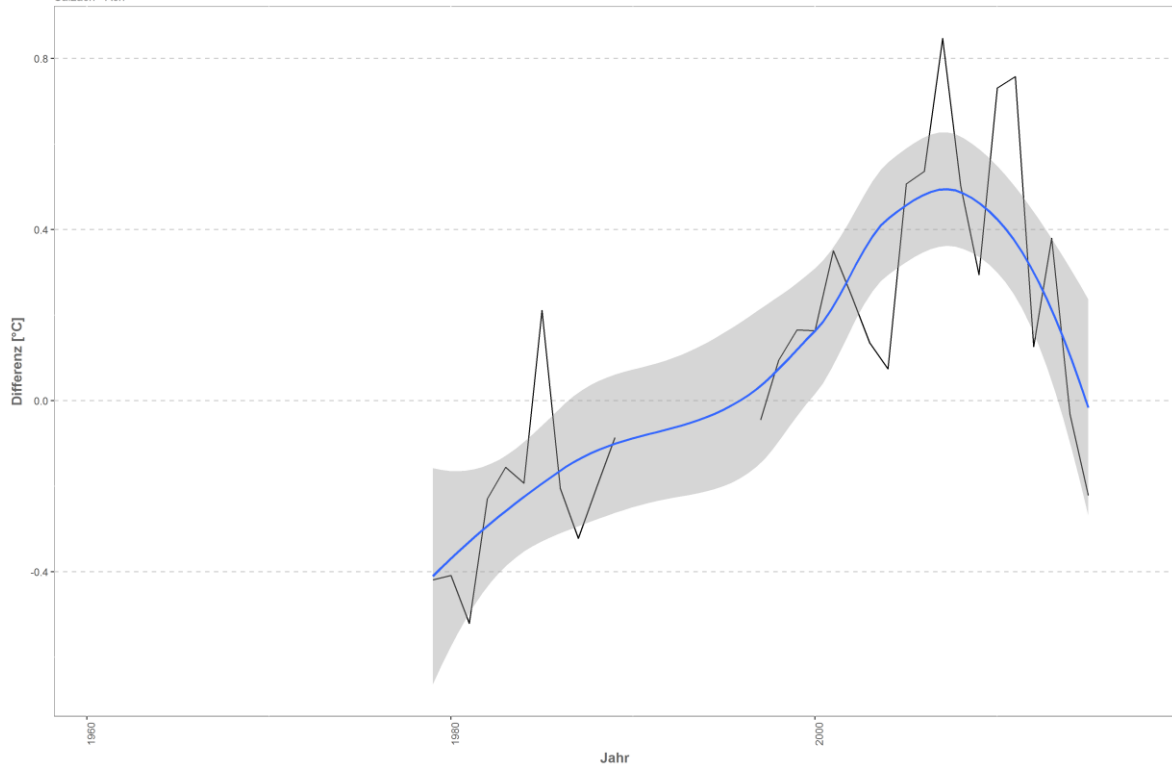
Salzach - Ach



Differenzplot

tatsächlich gemessene Wassertemperatur zu Schätzwert der linearen Regression

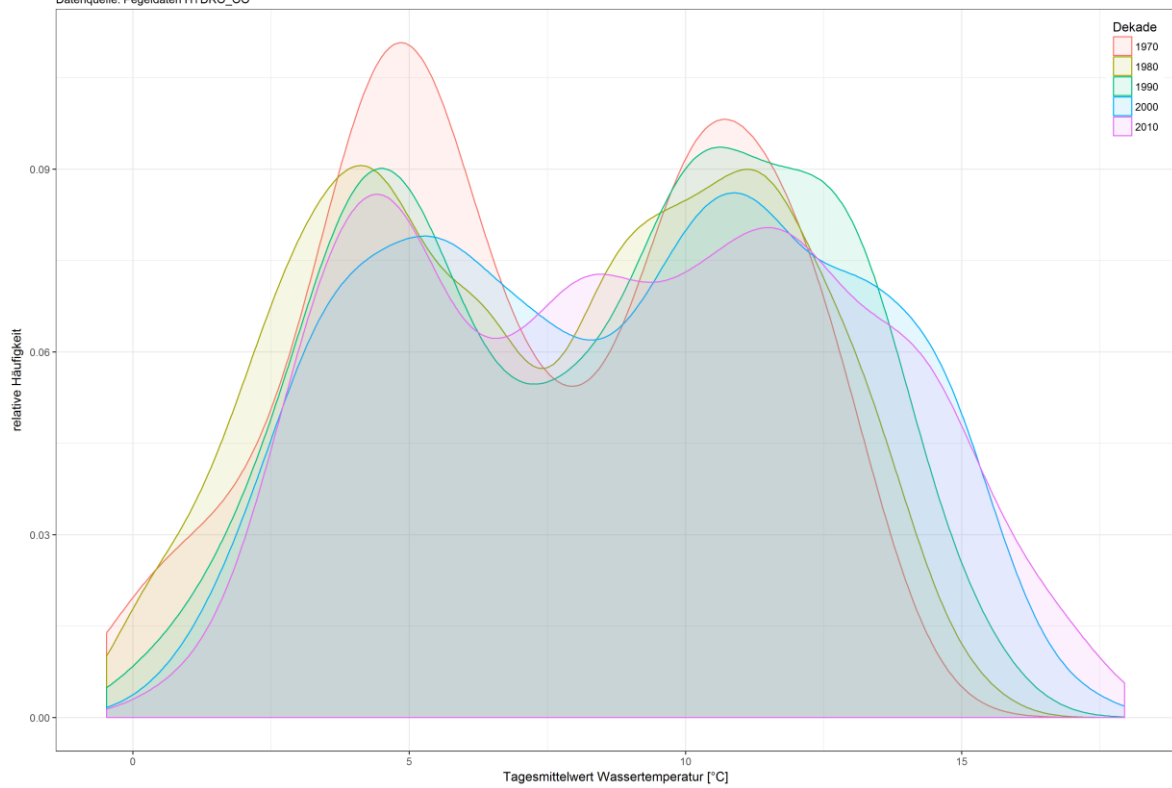
Salzach - Ach



Häufigkeitsverteilung der Wassertemperaturen

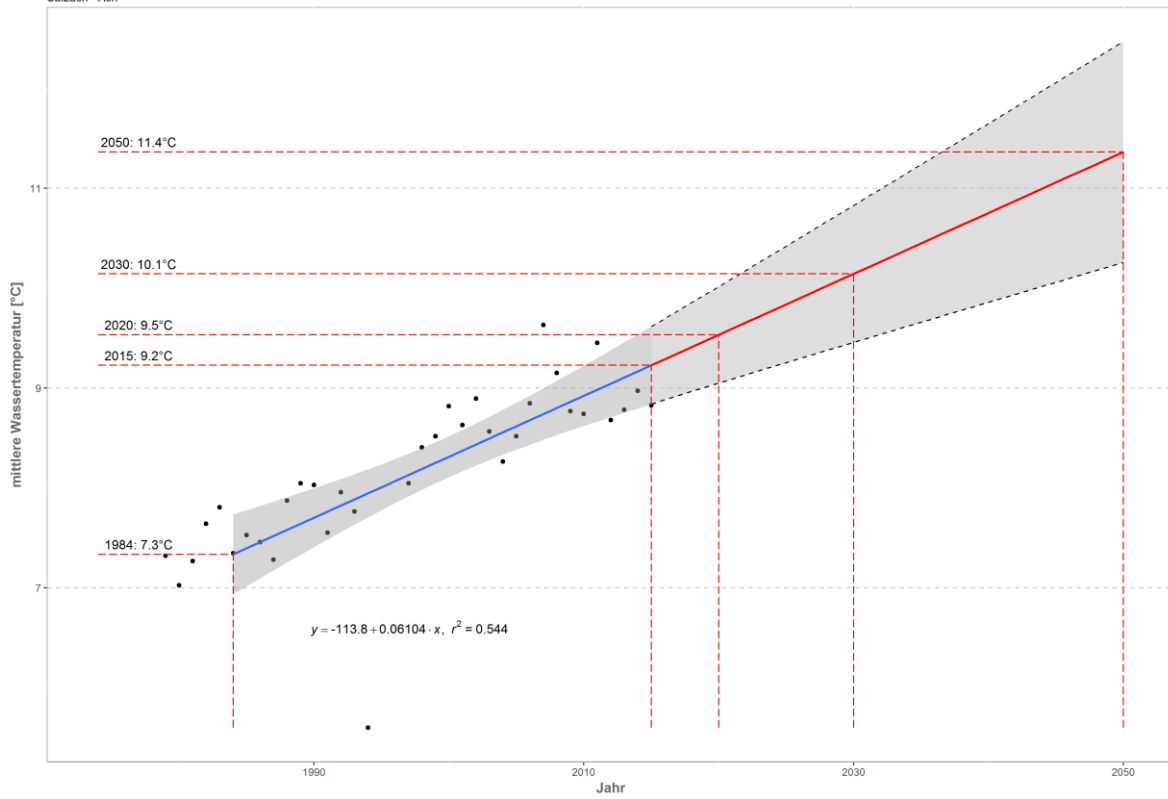
Salzach - Ach

Datenquelle: Pegeldata HYDRO_OO



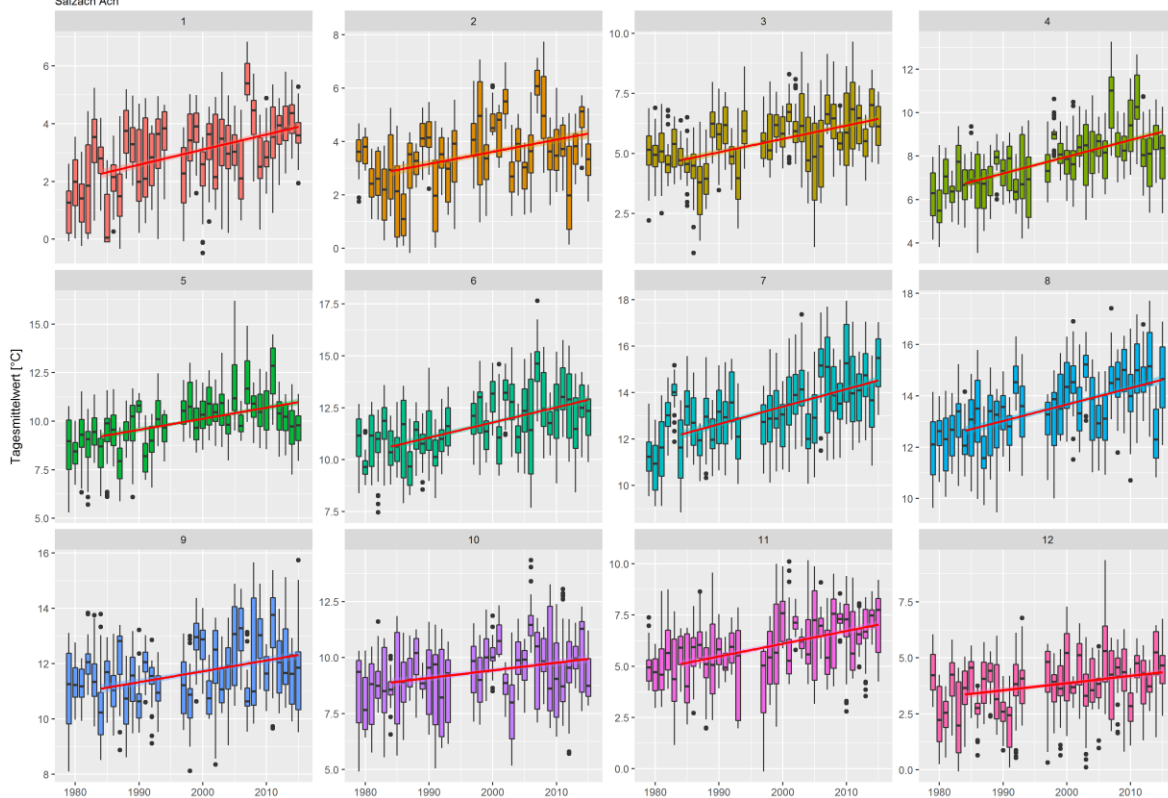
Prognose Wassertemperatur

Salzach - Ach

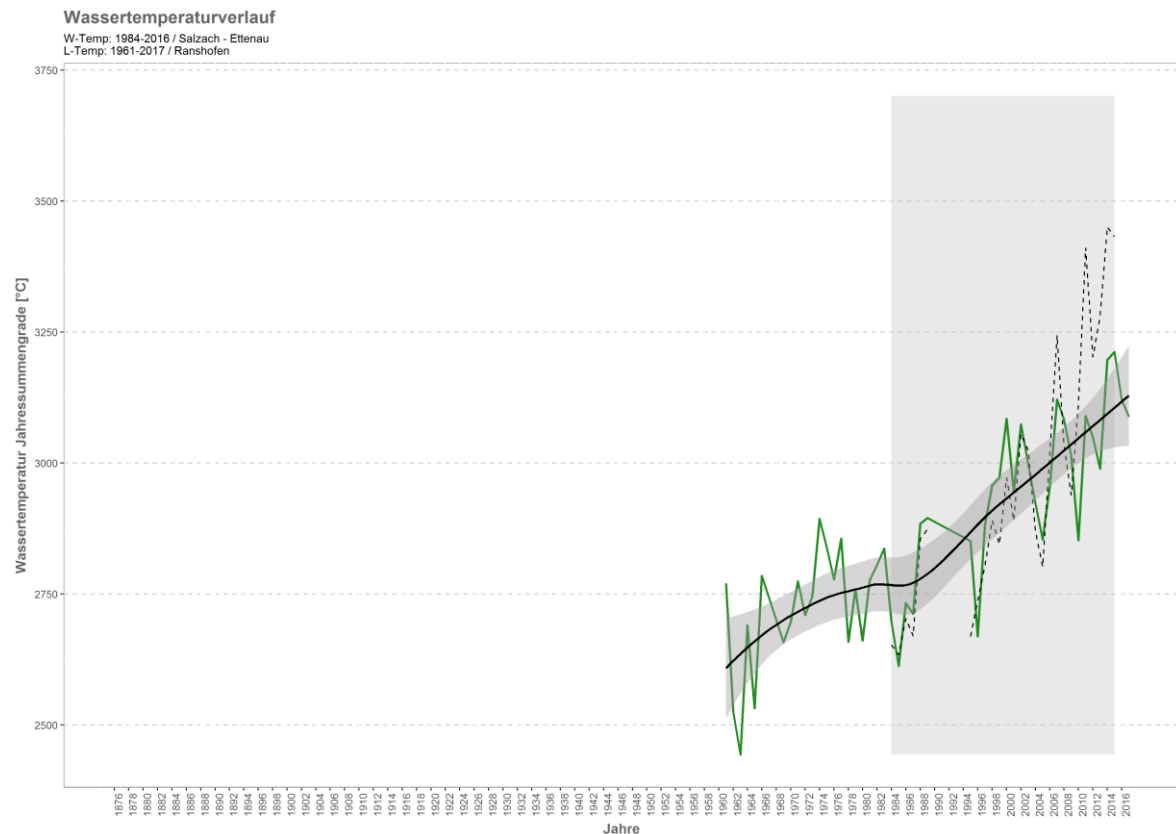
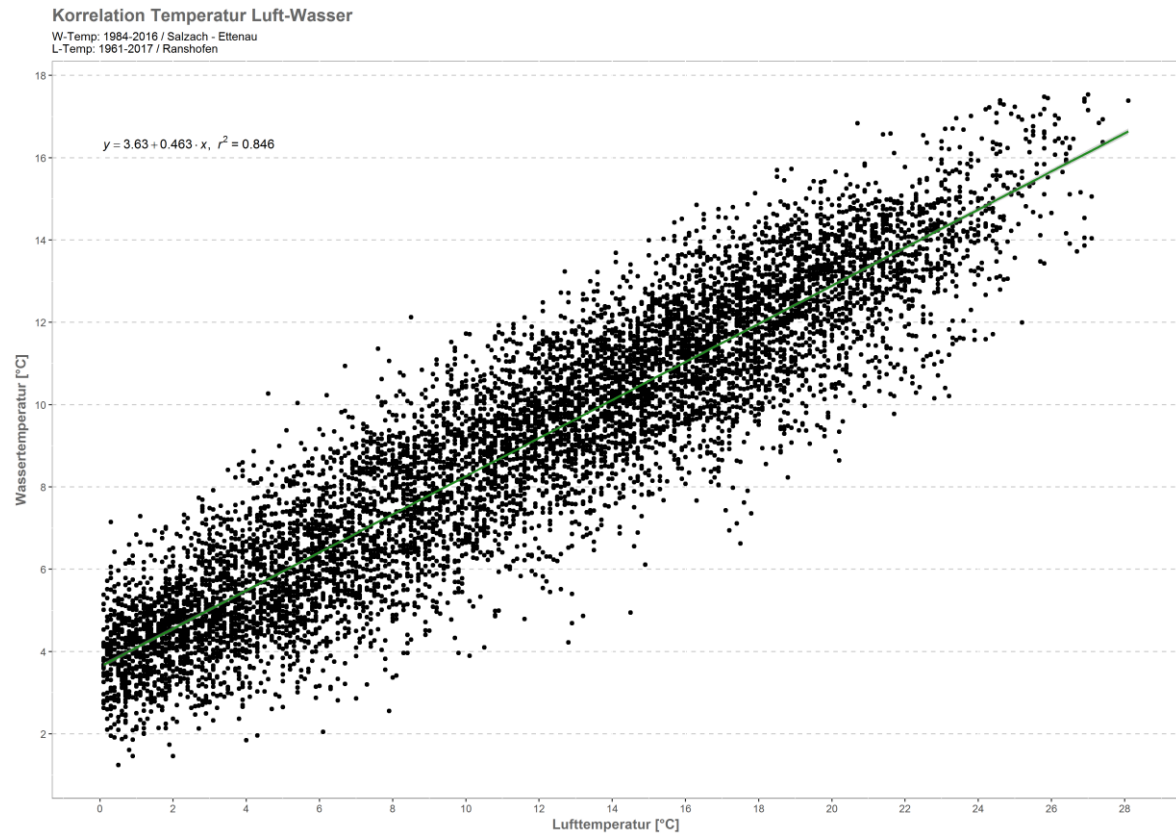


Monatsansicht der Tagesmittelwerte im Jahresverlauf

Salzach Ach

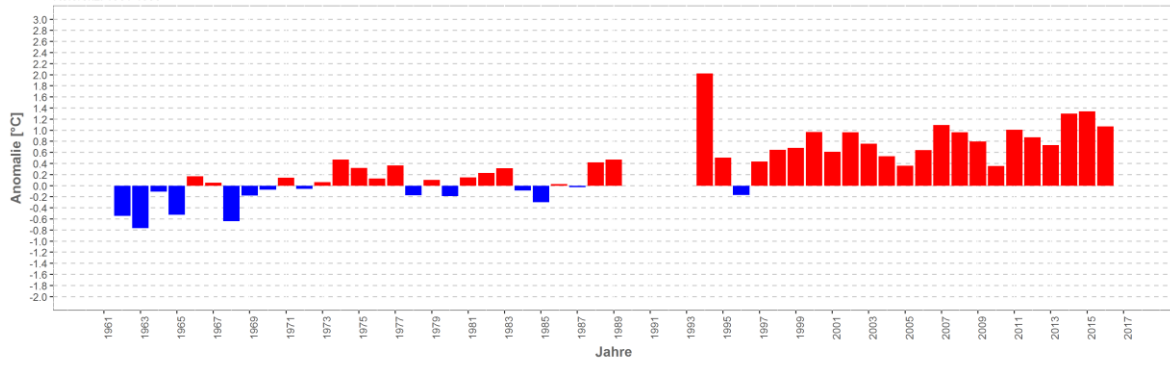


Salzach – Ettenau

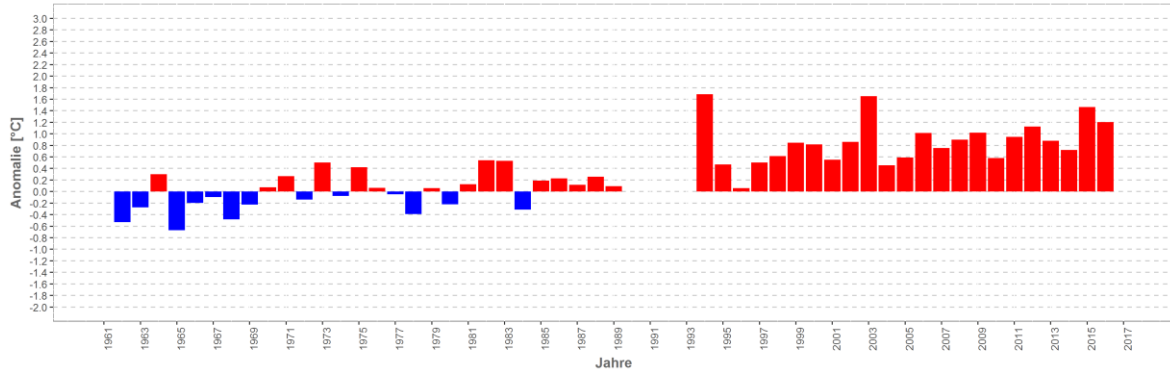


Wassertemperatur-Anomalie

Salzach - Etenau (1961-2017)
Referenz: 1961-1990

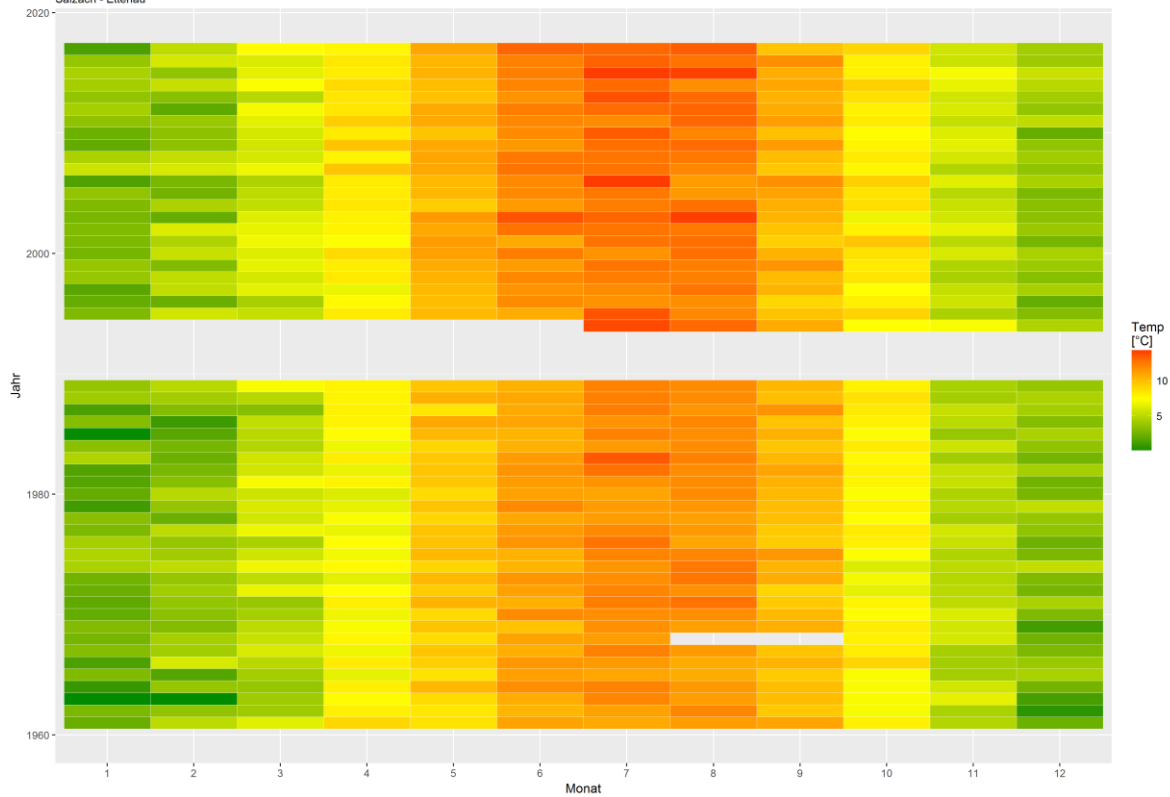


Sommermonate (Mai-Sept)



Monatsmittelwert

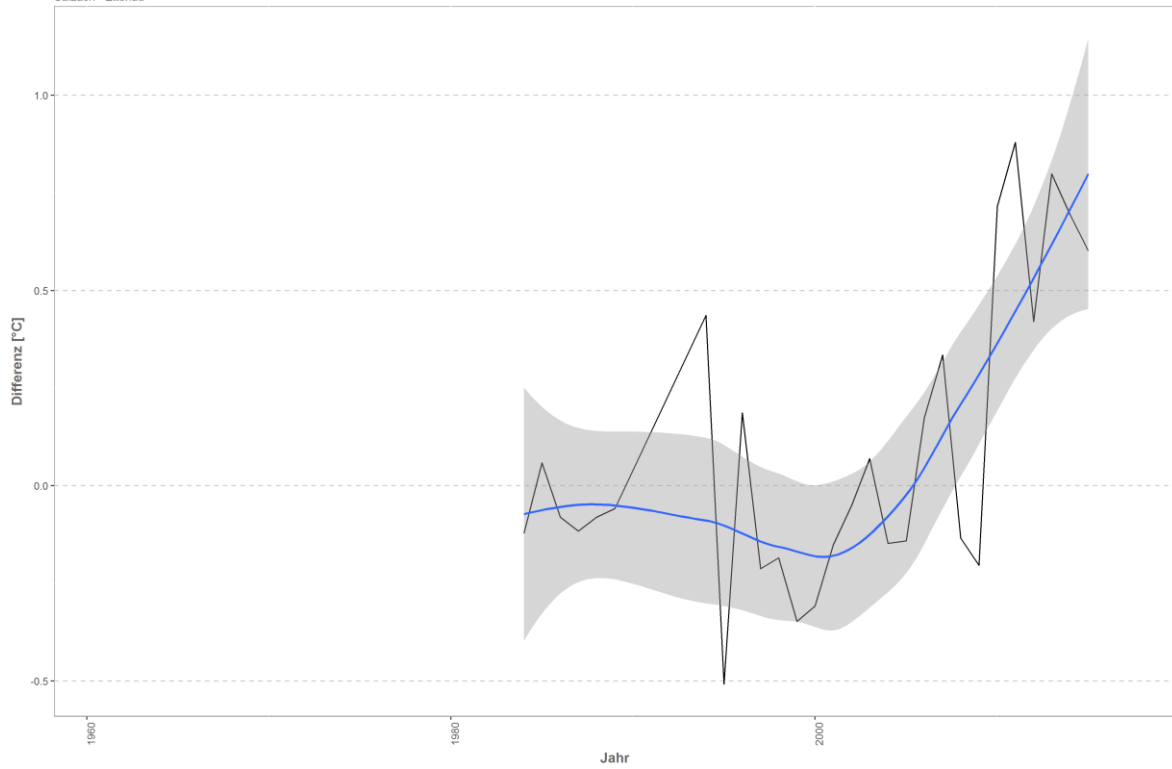
Salzach - Etenau



Differenzplot

tatsächlich gemessene Wassertemperatur zu Schätzwert der linearen Regression

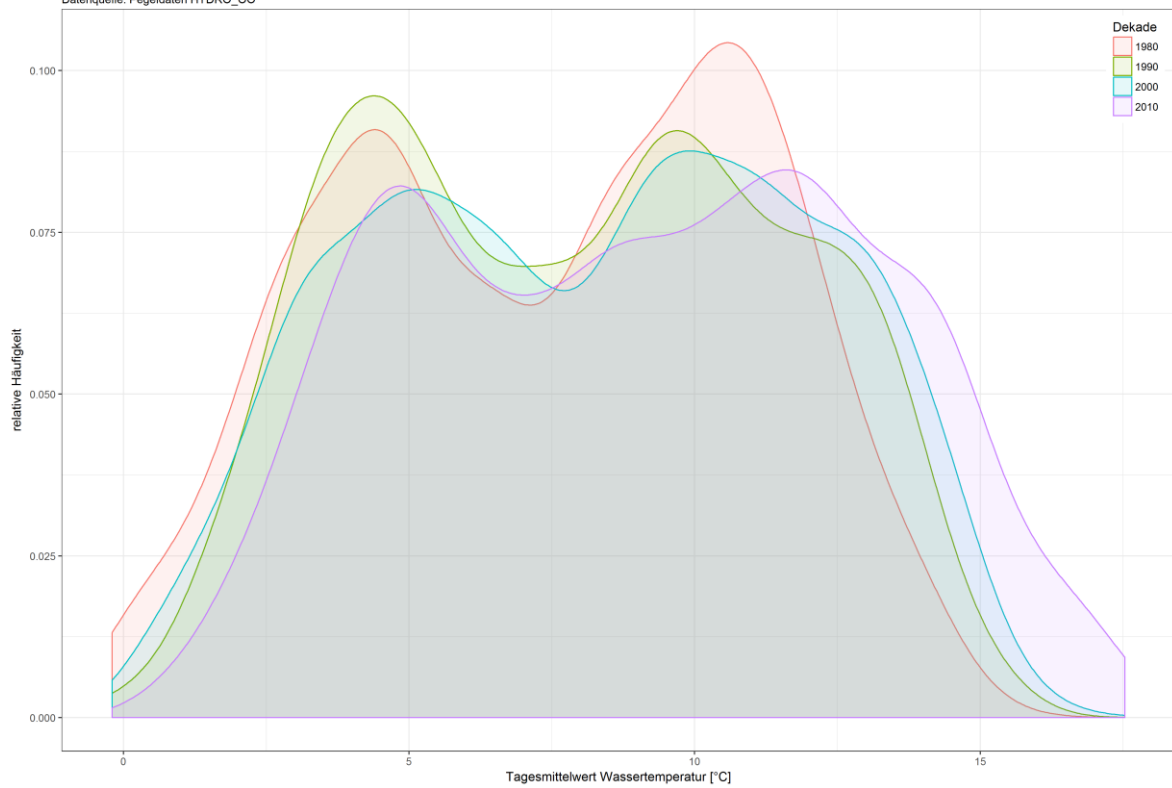
Salzach - Eitenau



Häufigkeitsverteilung der Wassertemperaturen

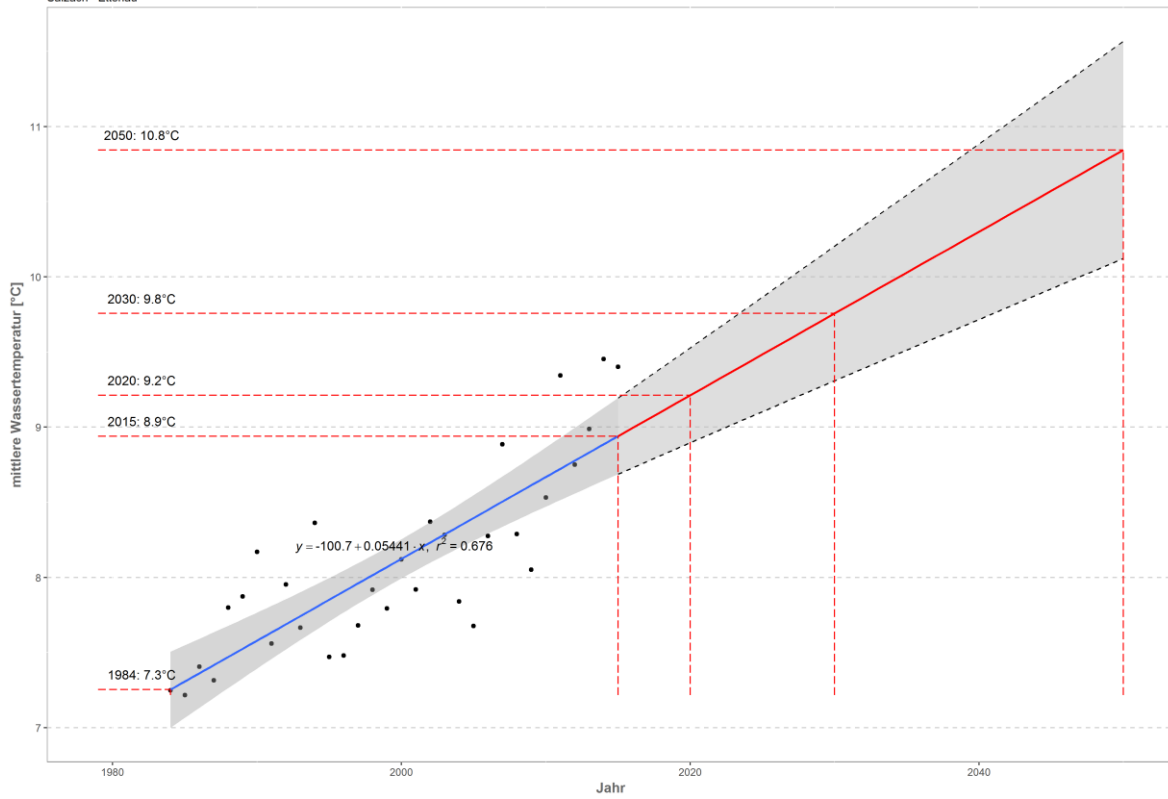
Salzach - Eitenau

Datenquelle: Pegeldaten HYDRO_OO



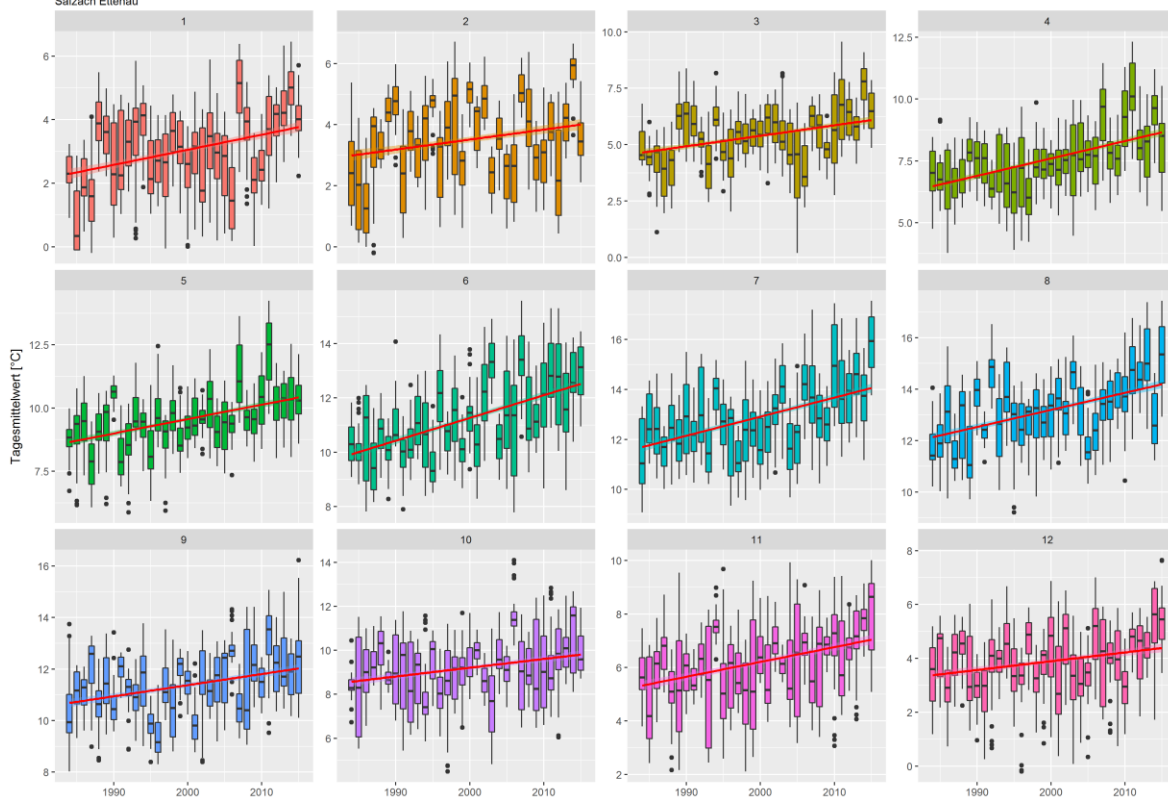
Prognose Wassertemperatur

Salzach - Etenau

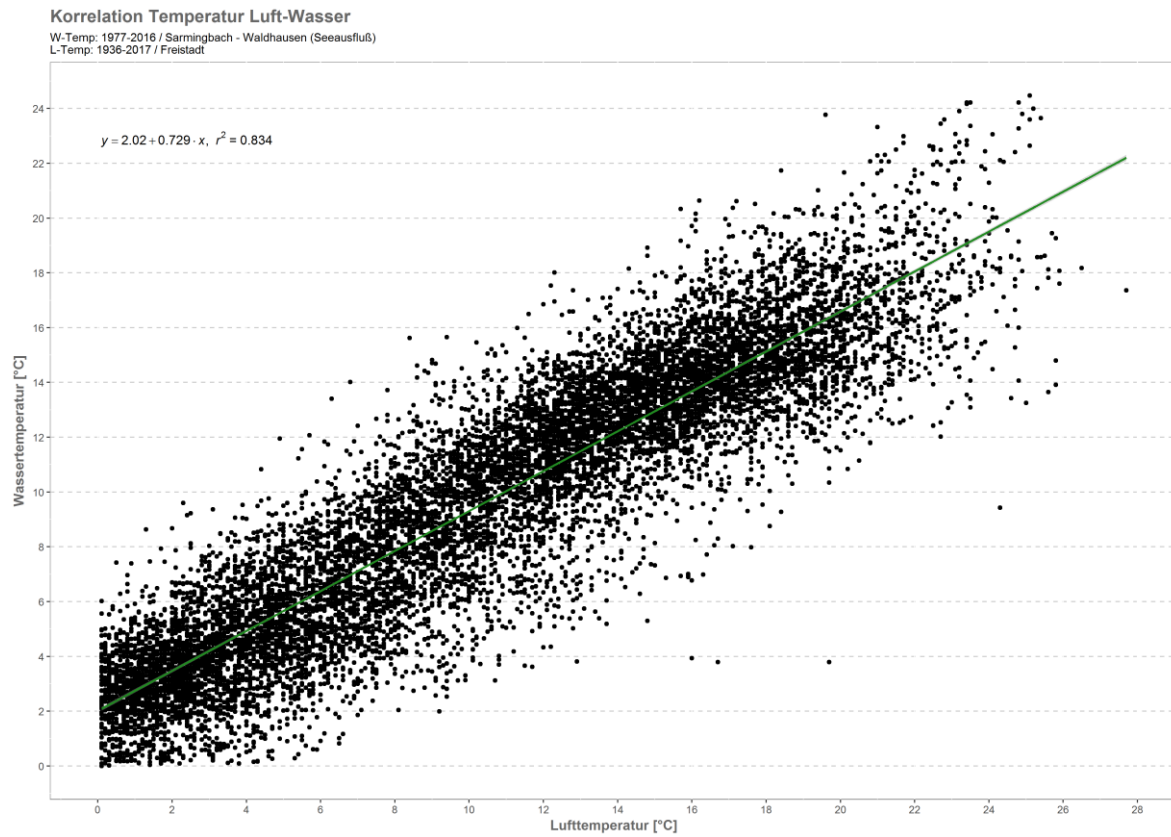


Monatsansicht der Tagesmittelwerte im Jahresverlauf

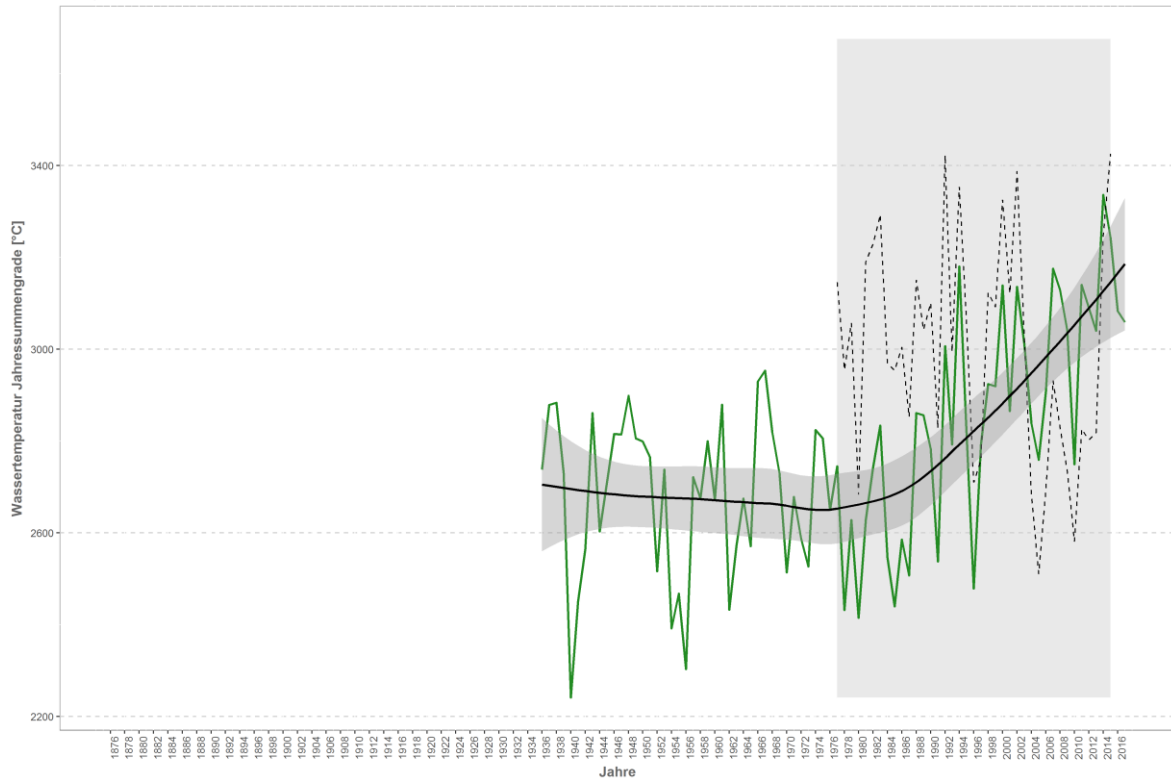
Salzach Etenau



Sarmingbach – Waldhausen (Seeausfluß)

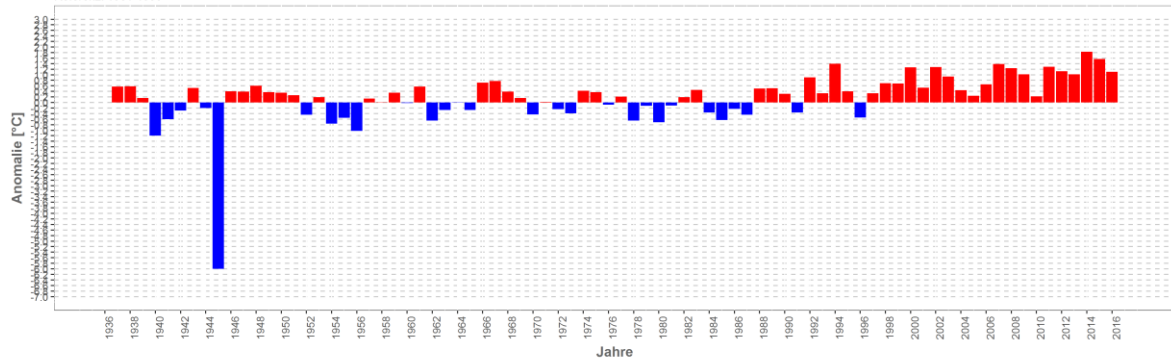


Wassertemperaturverlauf
 W-Temp: 1977-2016 / Sarmingbach - Waldhausen (Seeausfluß)
 L-Temp: 1936-2017 / Freistadt

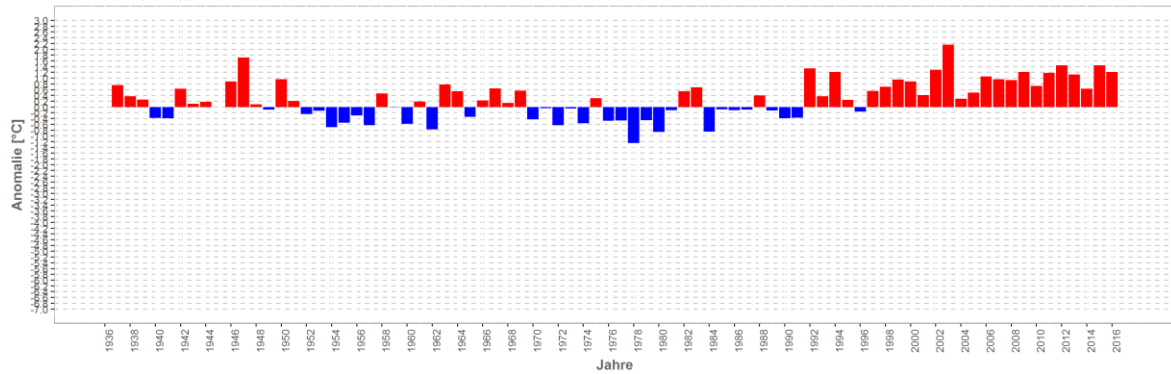


Wassertemperatur-Anomalie

Sarmingbach - Waldhausen (Seeausfluß) (1936-2017)
 Referenz: 1961-1990

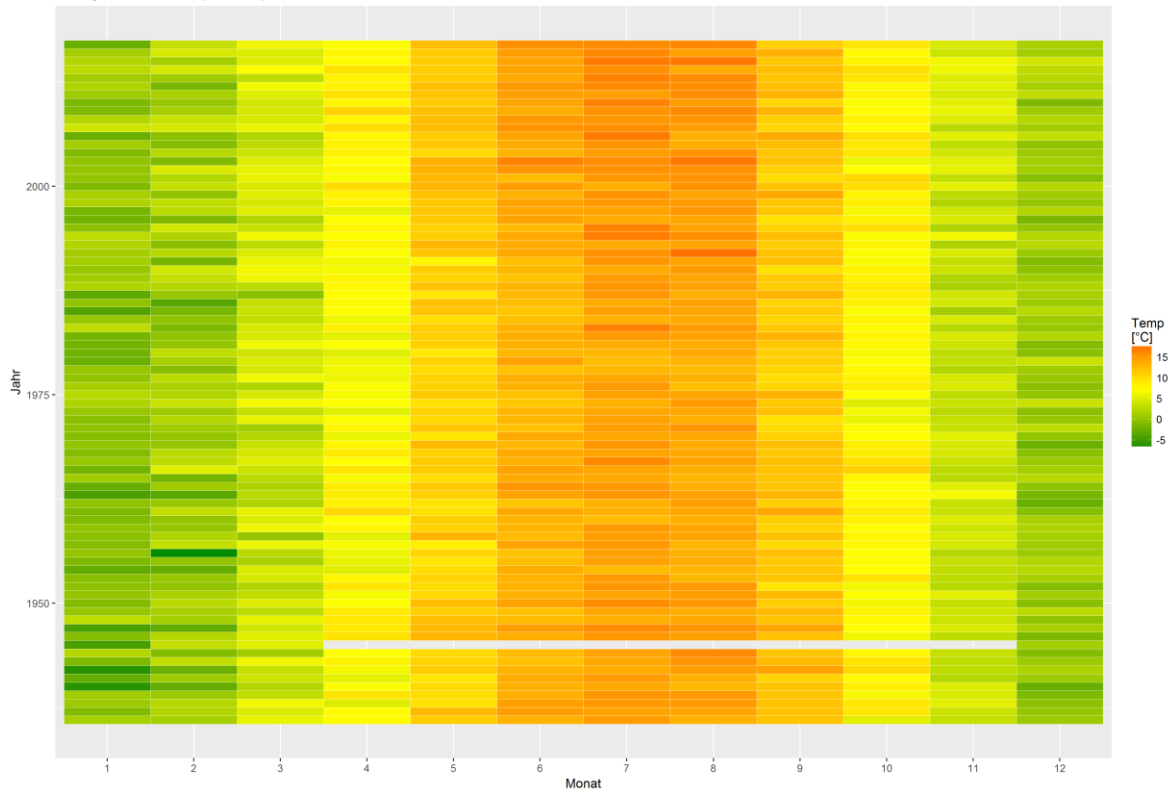


Sommermonate (Mai-Sept)



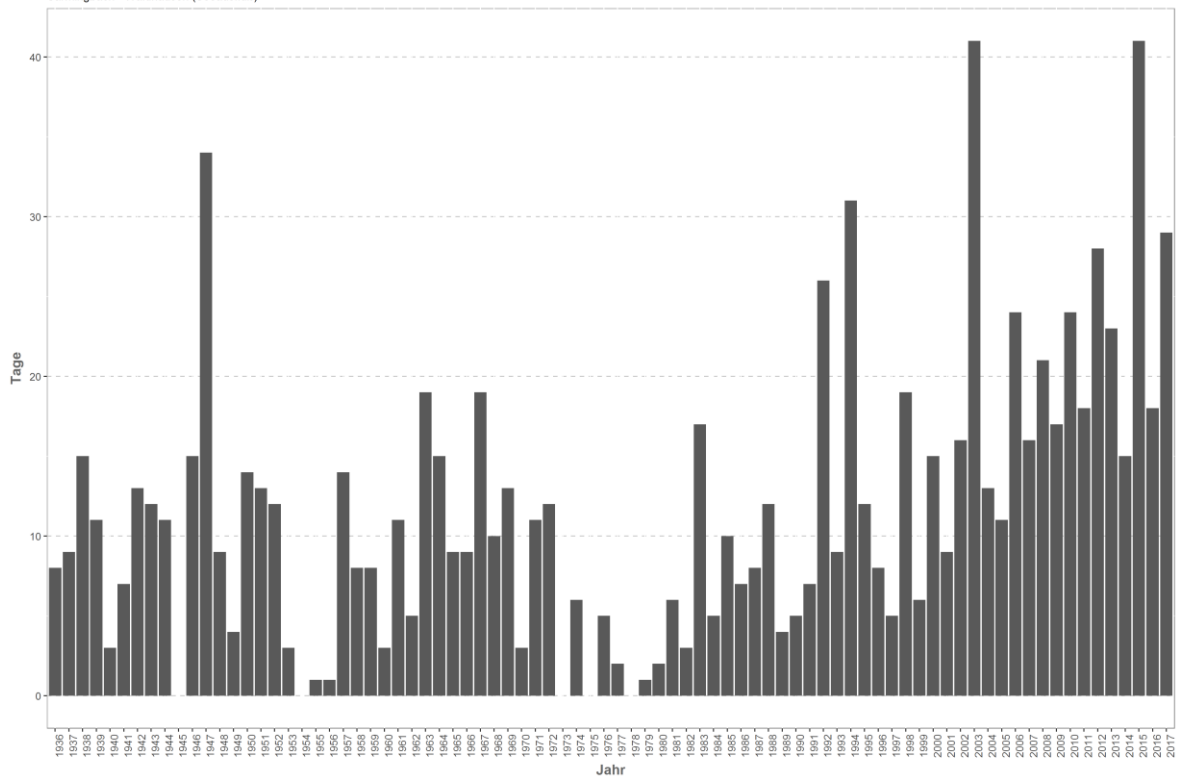
Monatsmittelwert

Sarmingbach - Waldhausen (Seeausfluß)



Temperaturüberschreitungen

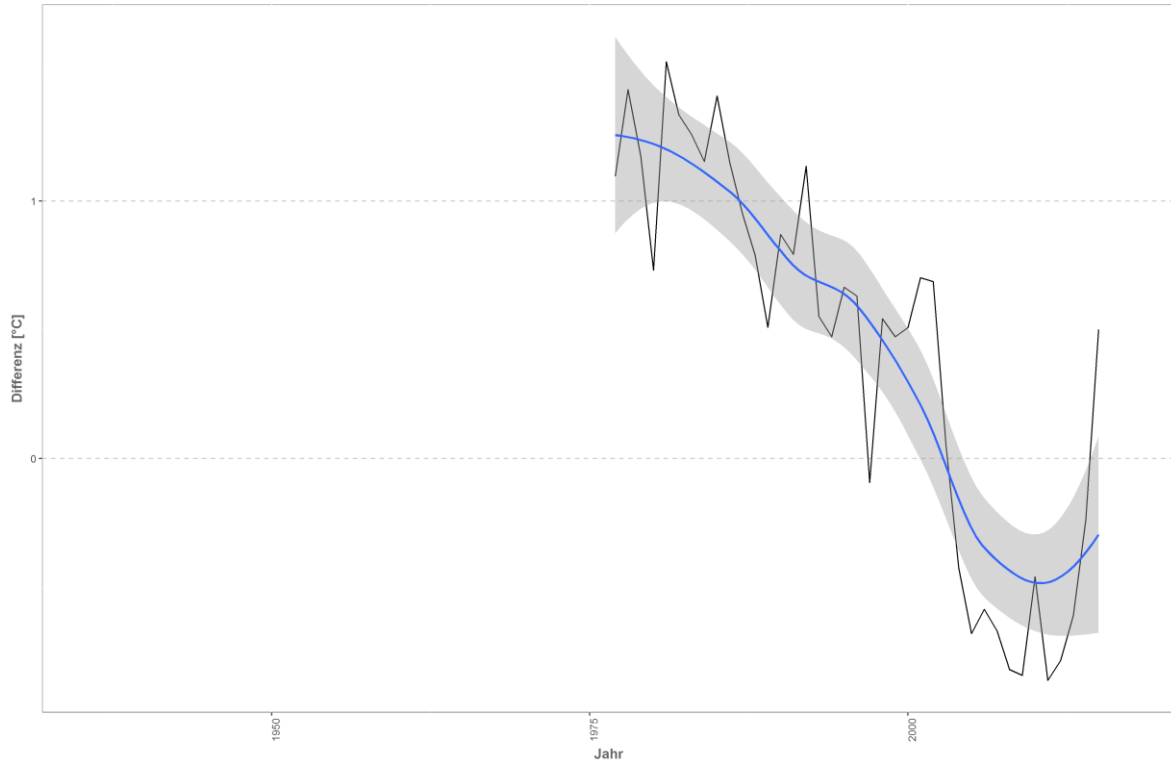
der Grenze sehr gut - gut
Sarmingbach - Waldhausen (Seeausfluß)



Differenzplot

tatsächlich gemessene Wassertemperatur zu Schätzwert der linearen Regression

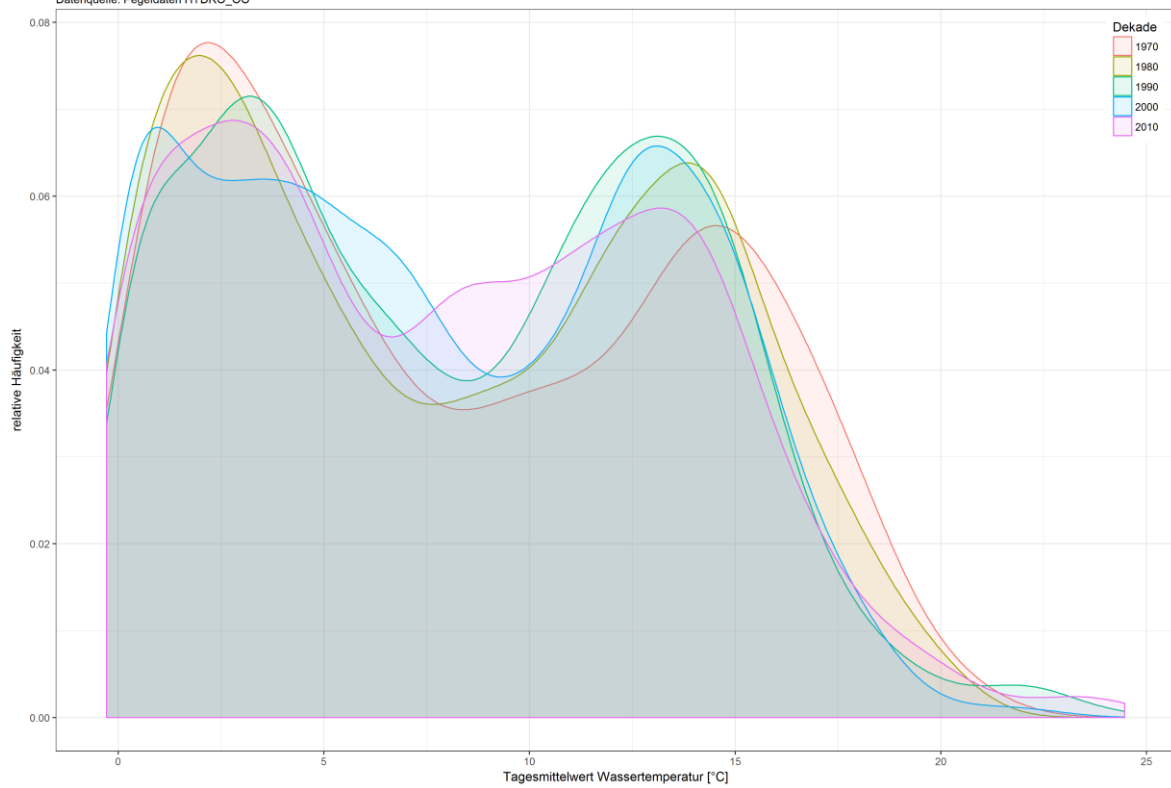
Sarmingbach - Waldhausen (Seeausfluß)



Häufigkeitsverteilung der Wassertemperaturen

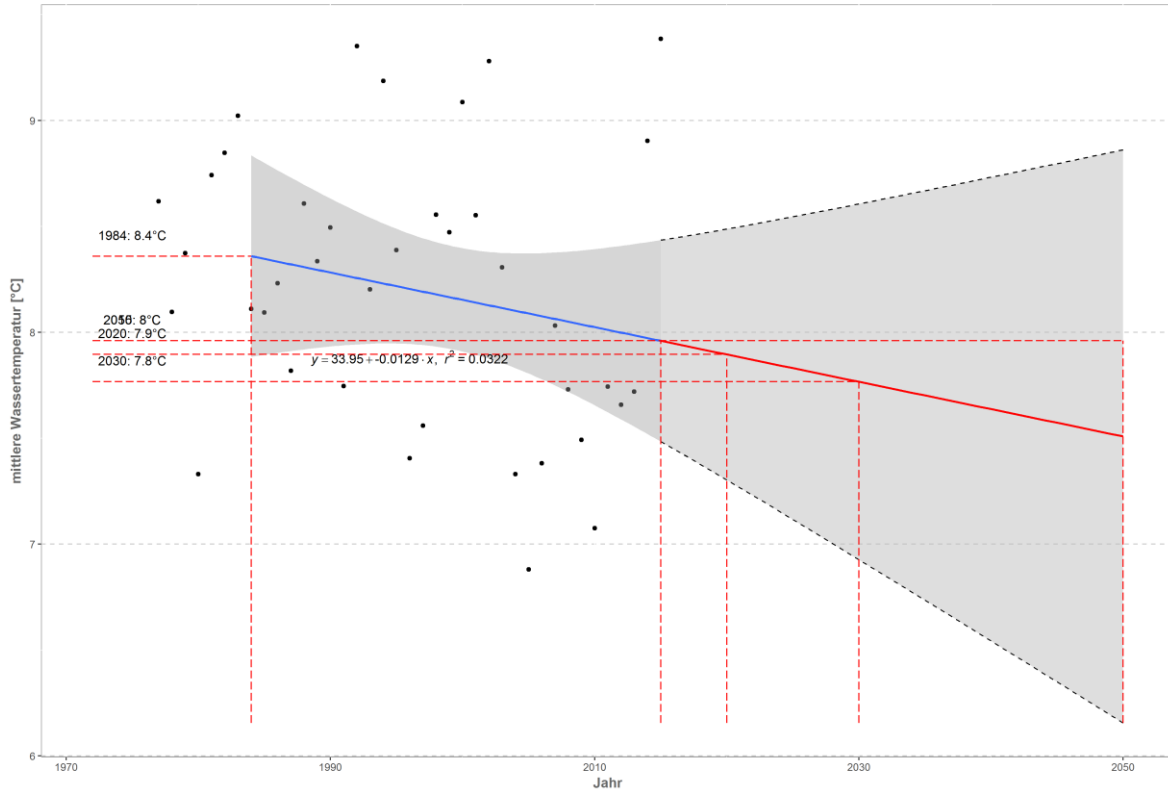
Sarmingbach - Waldhausen (Seeausfluß)

Datenquelle: Pegeldaten HYDRO_OO



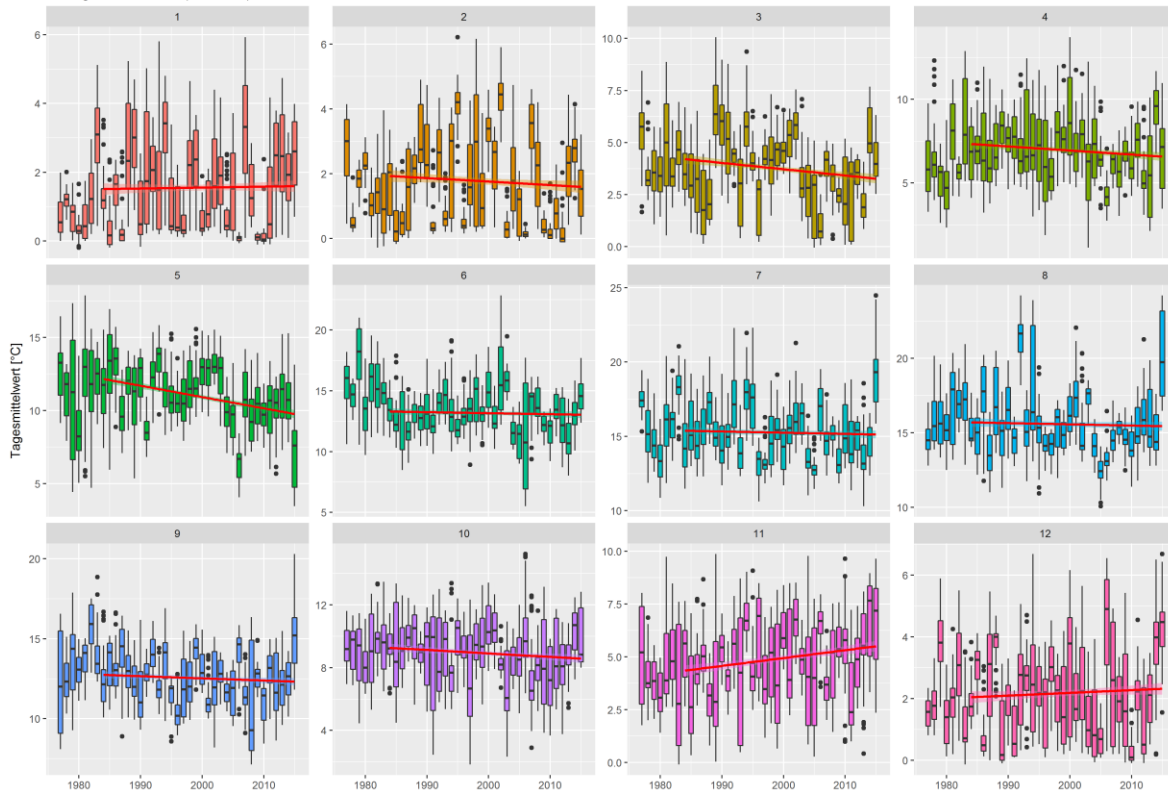
Prognose Wassertemperatur

Sarmingbach - Waldhausen (Seeausfluß)

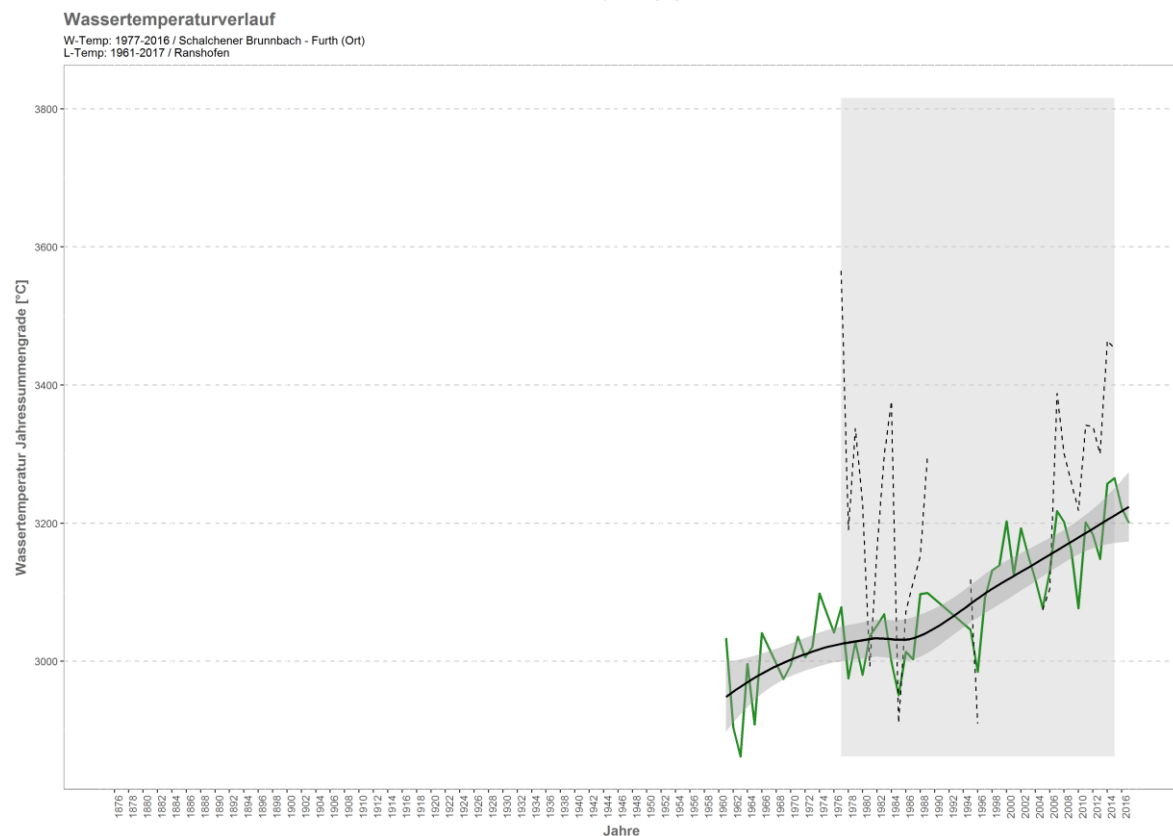
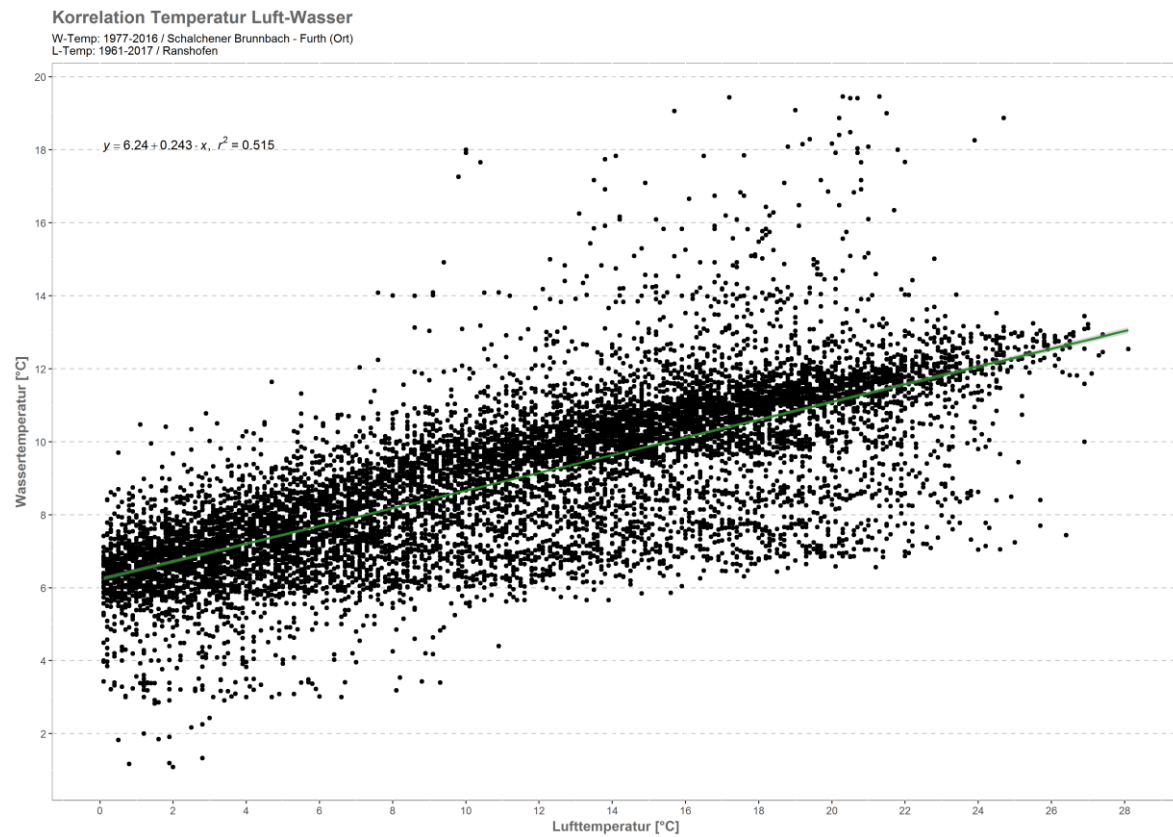


Monatsansicht der Tagesmittelwerte im Jahresverlauf

Sarmingbach Waldhausen (Seeausfluß)

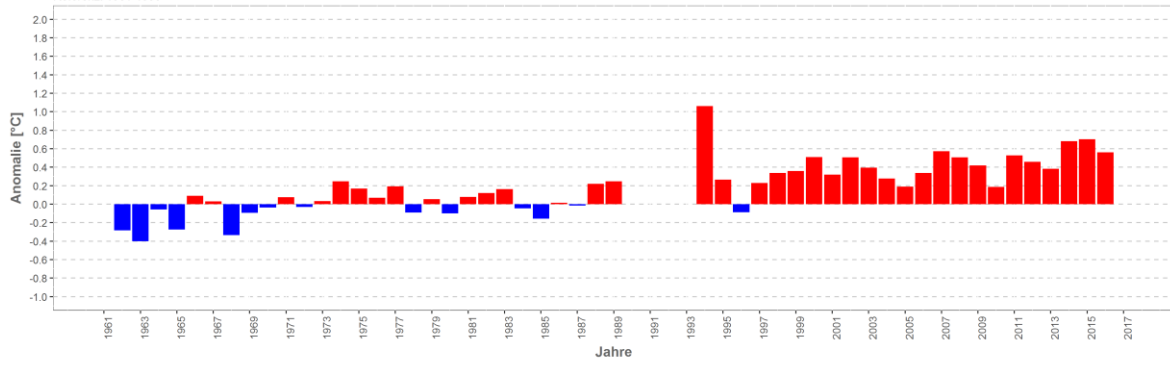


Schalchener Brunnbach – Furth (Ort)

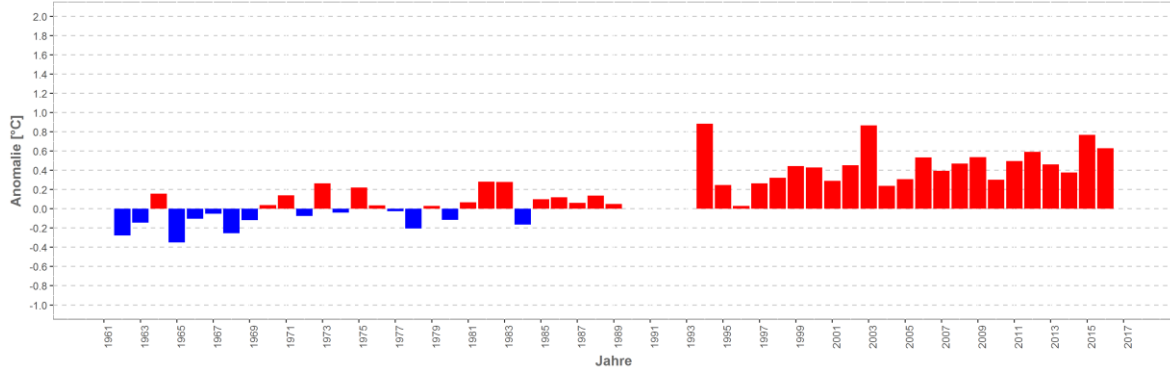


Wassertemperatur-Anomalie

Schalchener Brunnbach - Furth (Ort) (1961-2017)
Referenz: 1961-1990

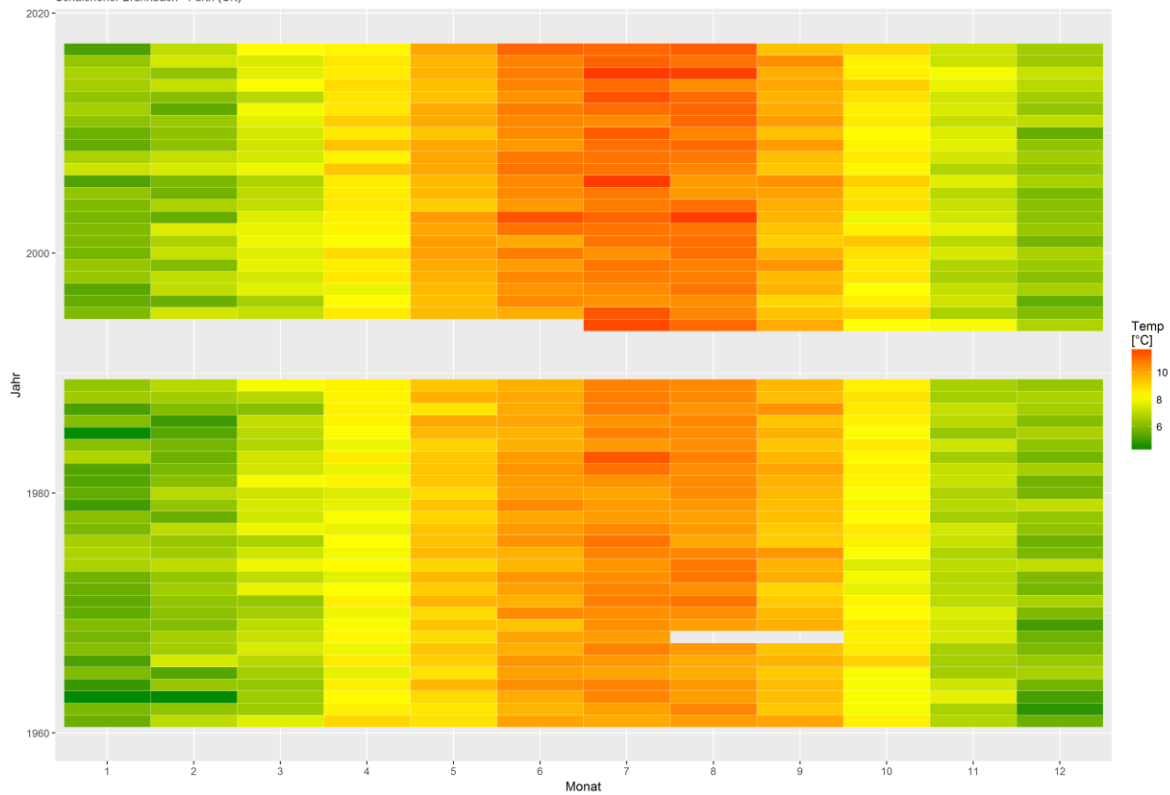


Sommermonate (Mai-Sept)



Monatsmittelwert

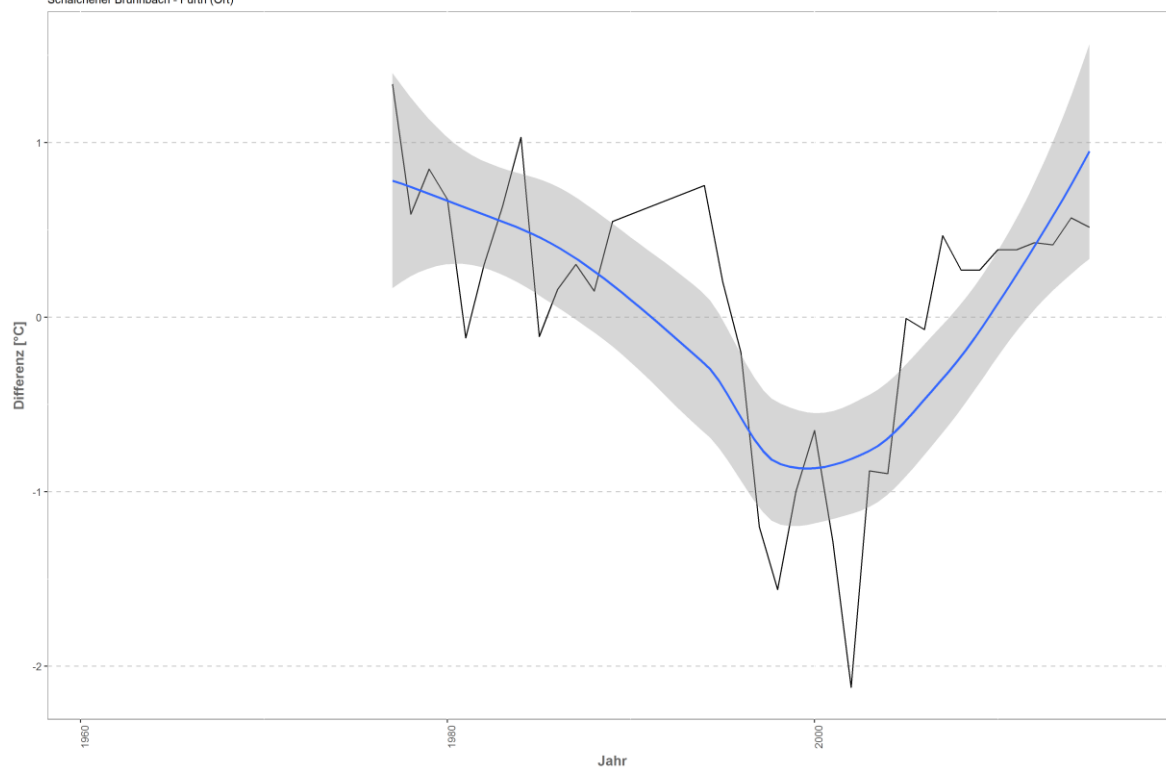
Schalchener Brunnbach - Furth (Ort)



Differenzplot

tatsächlich gemessene Wassertemperatur zu Schätzwert der linearen Regression

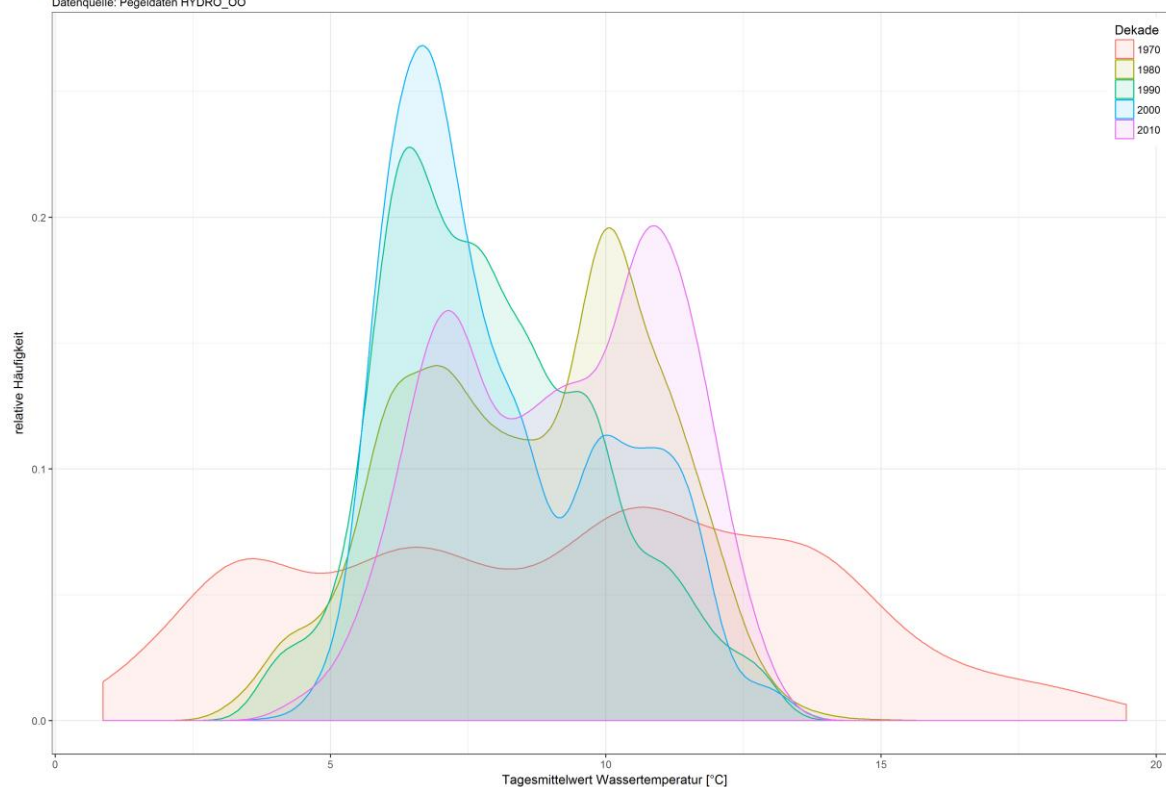
Schalchener Brunnbach - Furth (Ort)



Häufigkeitsverteilung der Wassertemperaturen

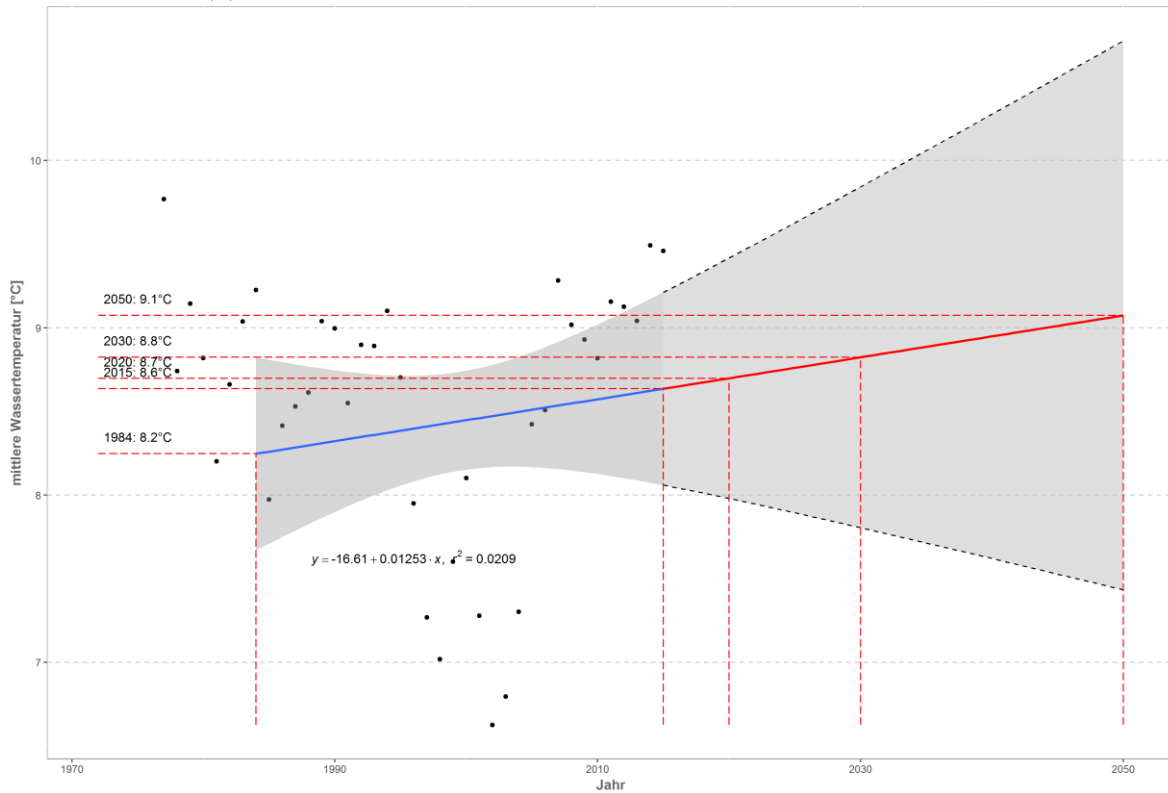
Schalchener Brunnbach - Furth (Ort)

Datenquelle: Pegeldaten HYDRO_OO



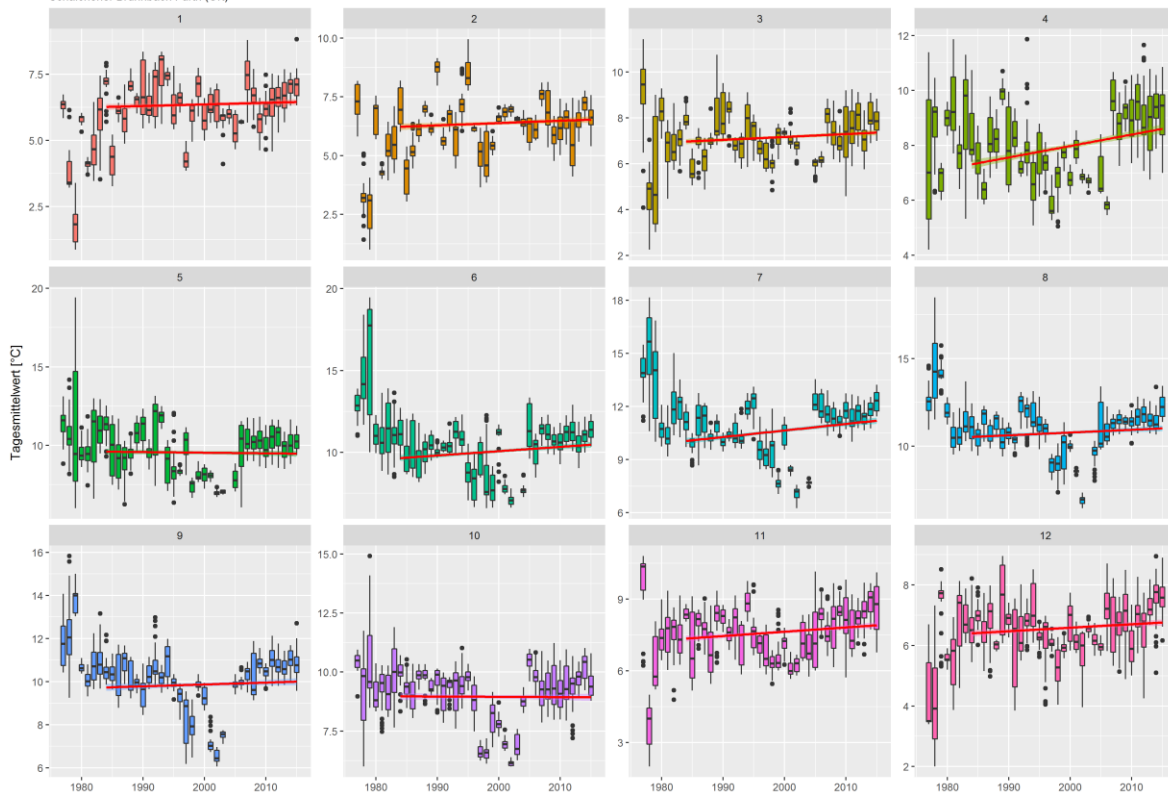
Prognose Wassertemperatur

Schalchener Brunnbach - Furth (Ort)

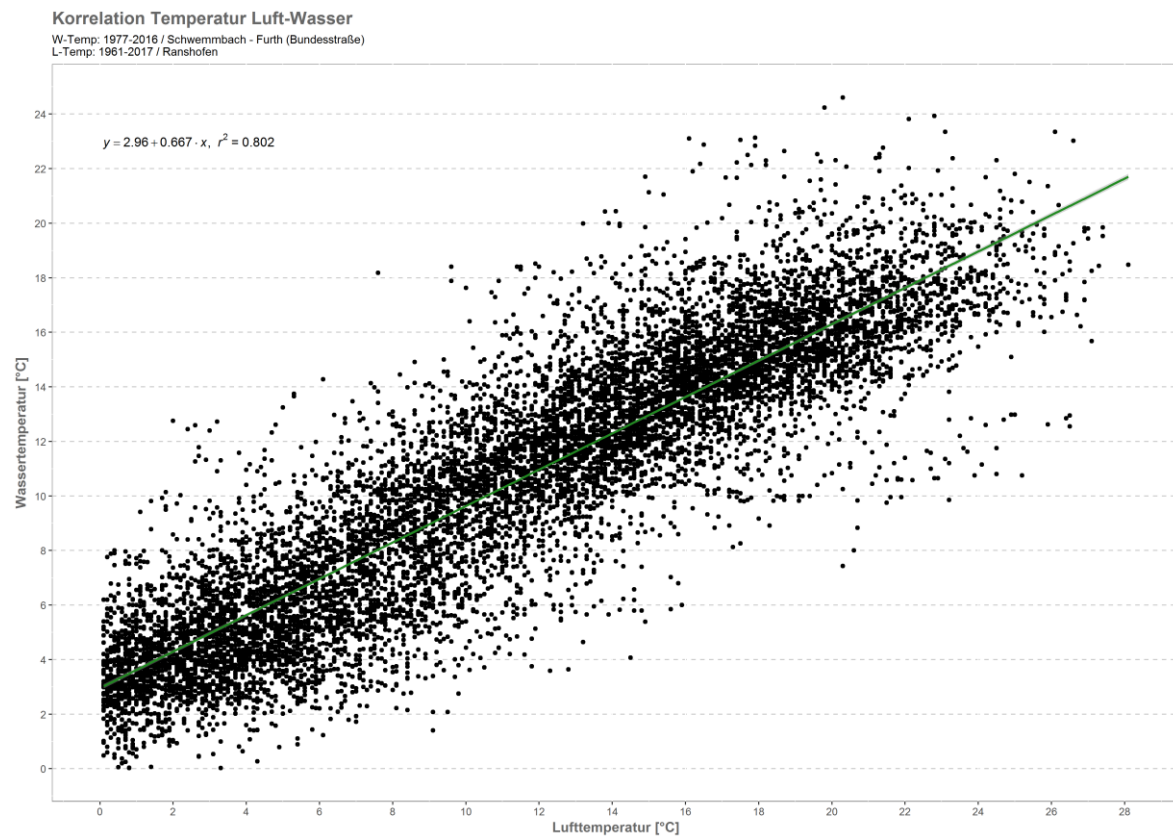


Monatsansicht der Tagesmittelwerte im Jahresverlauf

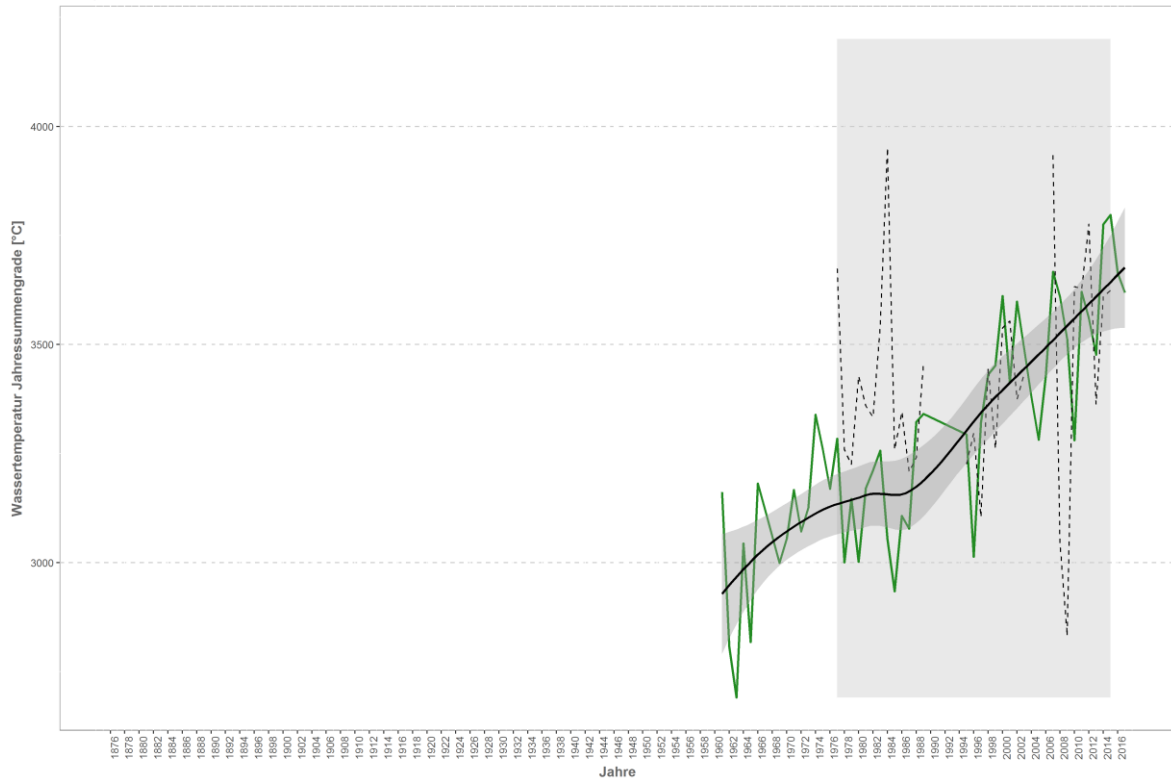
Schalchener Brunnbach Furth (Ort)



Schwemmbach – Furth (Bundesstraße)

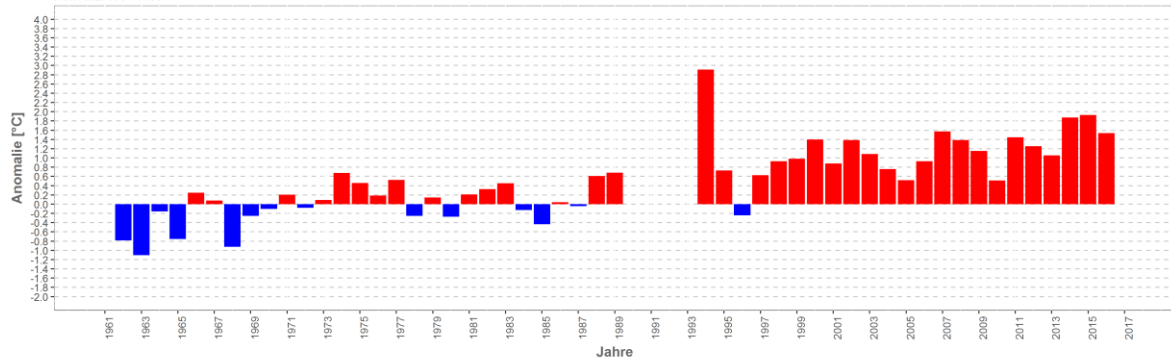


Wassertemperaturverlauf
 W-Temp: 1977-2016 / Schwemmbach - Furth (Bundesstraße)
 L-Temp: 1961-2017 / Ranshofen

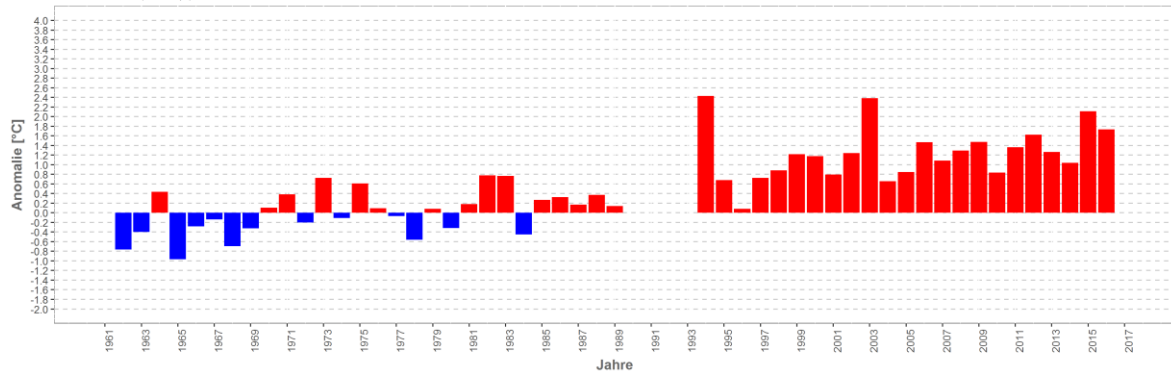


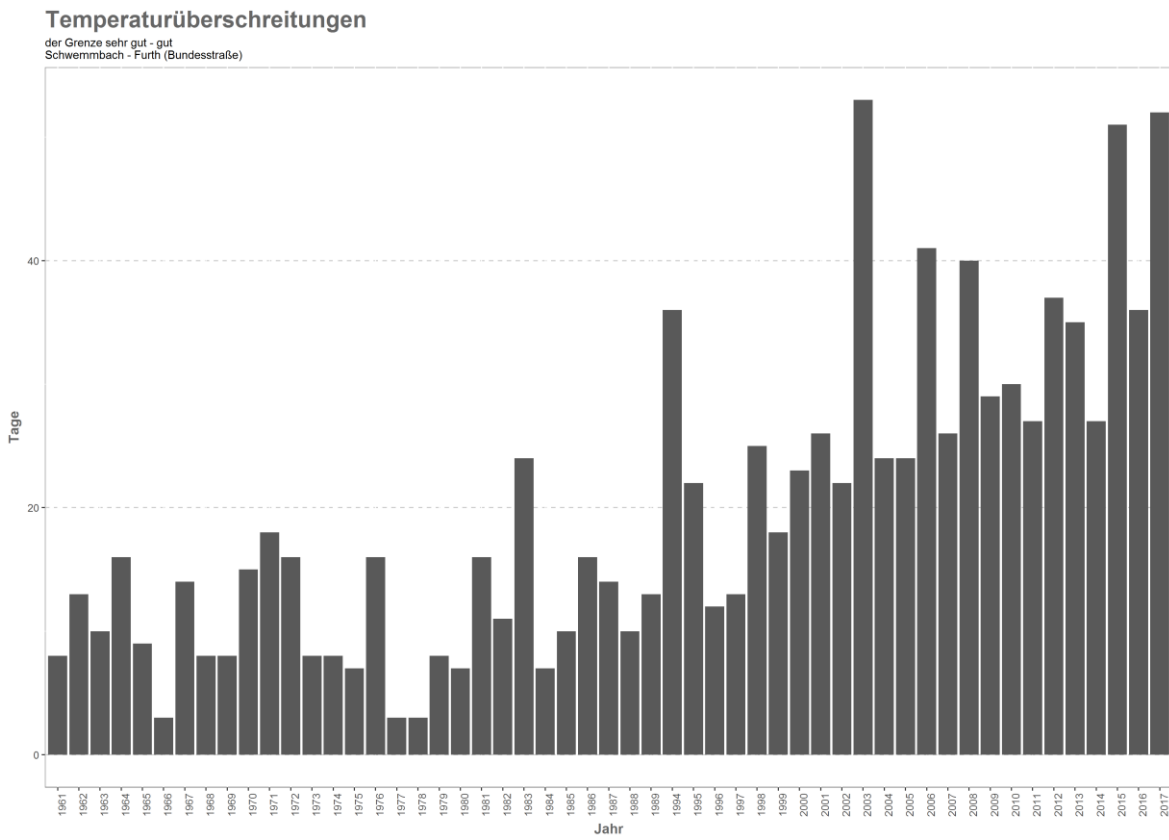
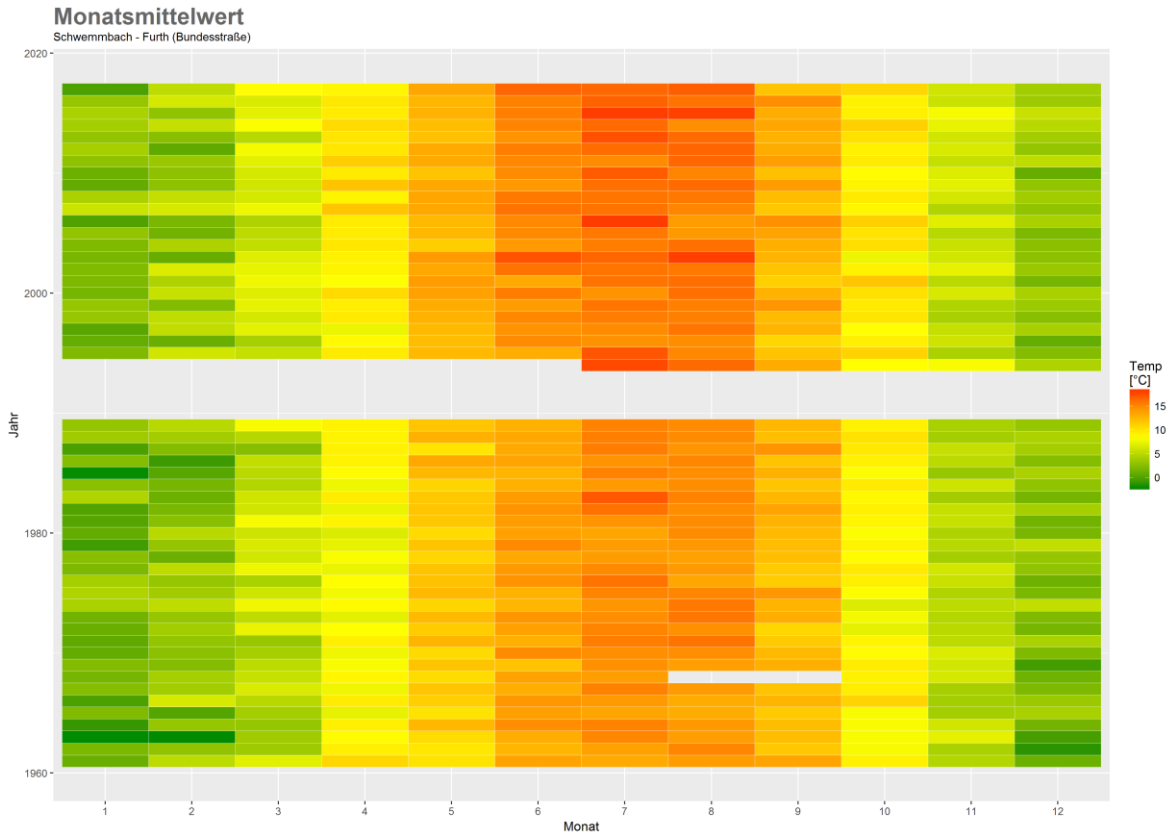
Wassertemperatur-Anomalie

Schwemmbach - Furth (Bundesstraße) (1961-2017)
 Referenz: 1961-1990



Sommermonate (Mai-Sept)

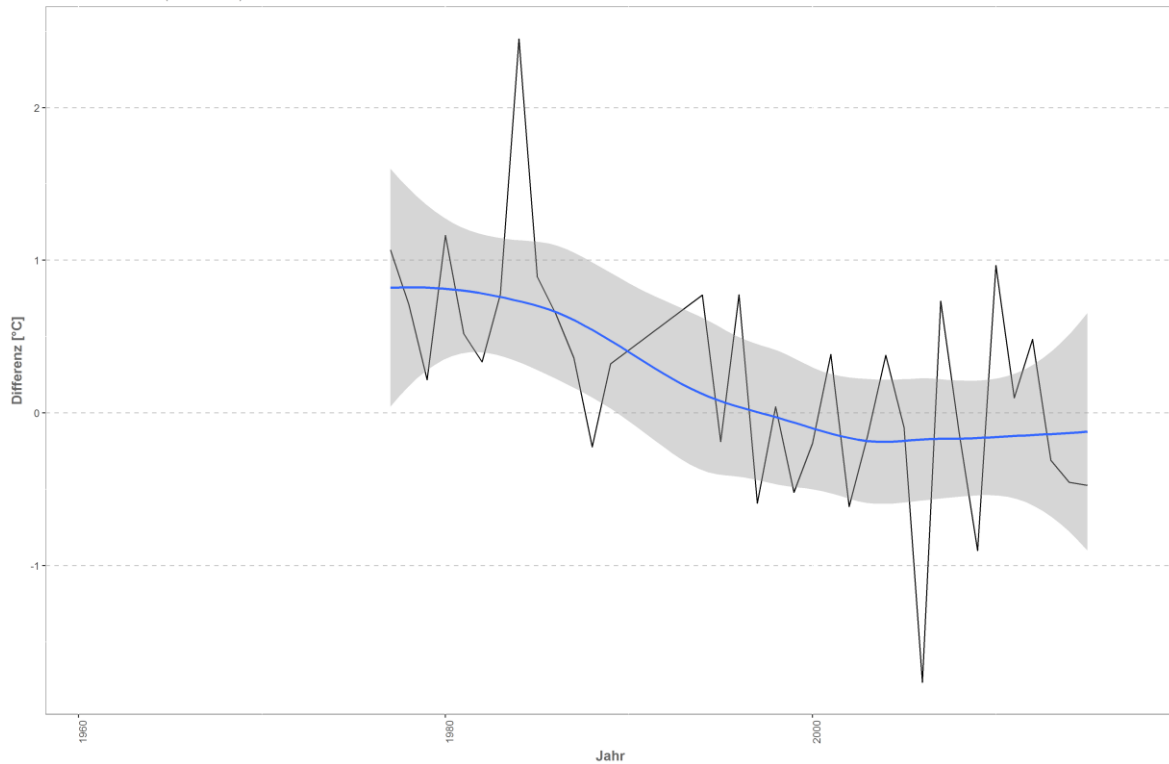




Differenzplot

tatsächlich gemessene Wassertemperatur zu Schätzwert der linearen Regression

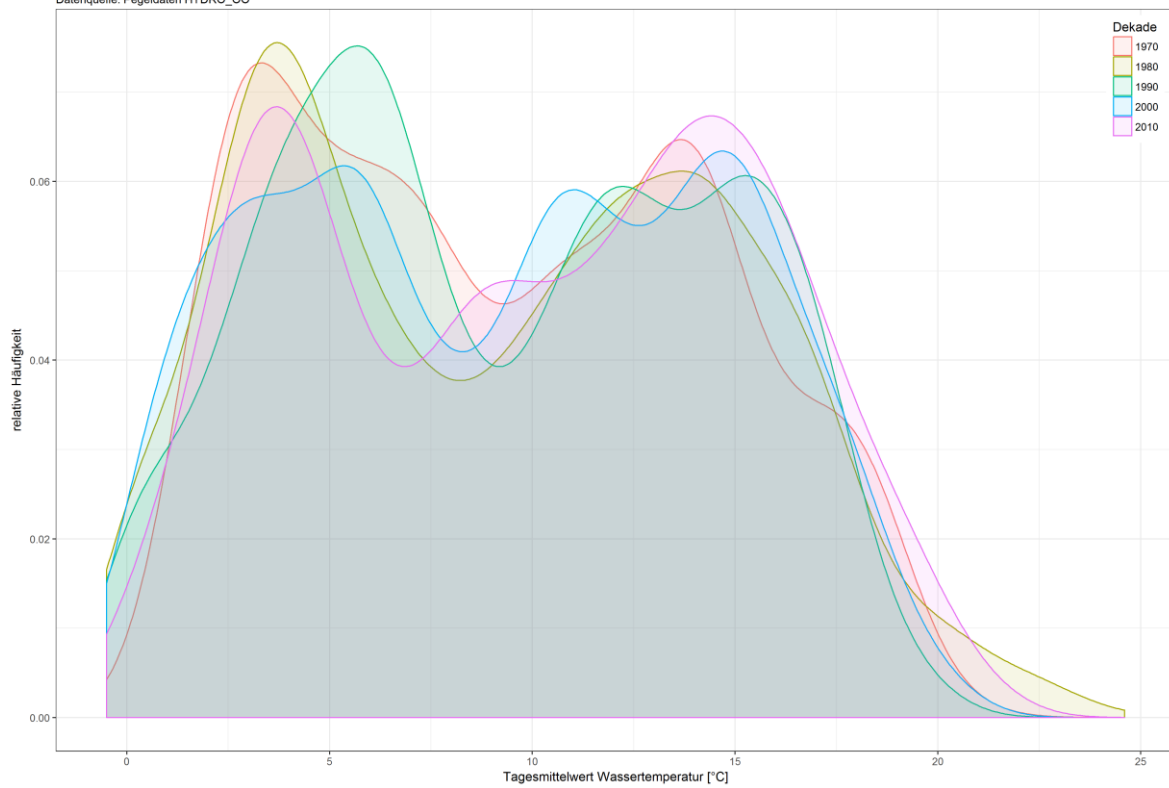
Schwemmbach - Furth (Bundesstraße)



Häufigkeitsverteilung der Wassertemperaturen

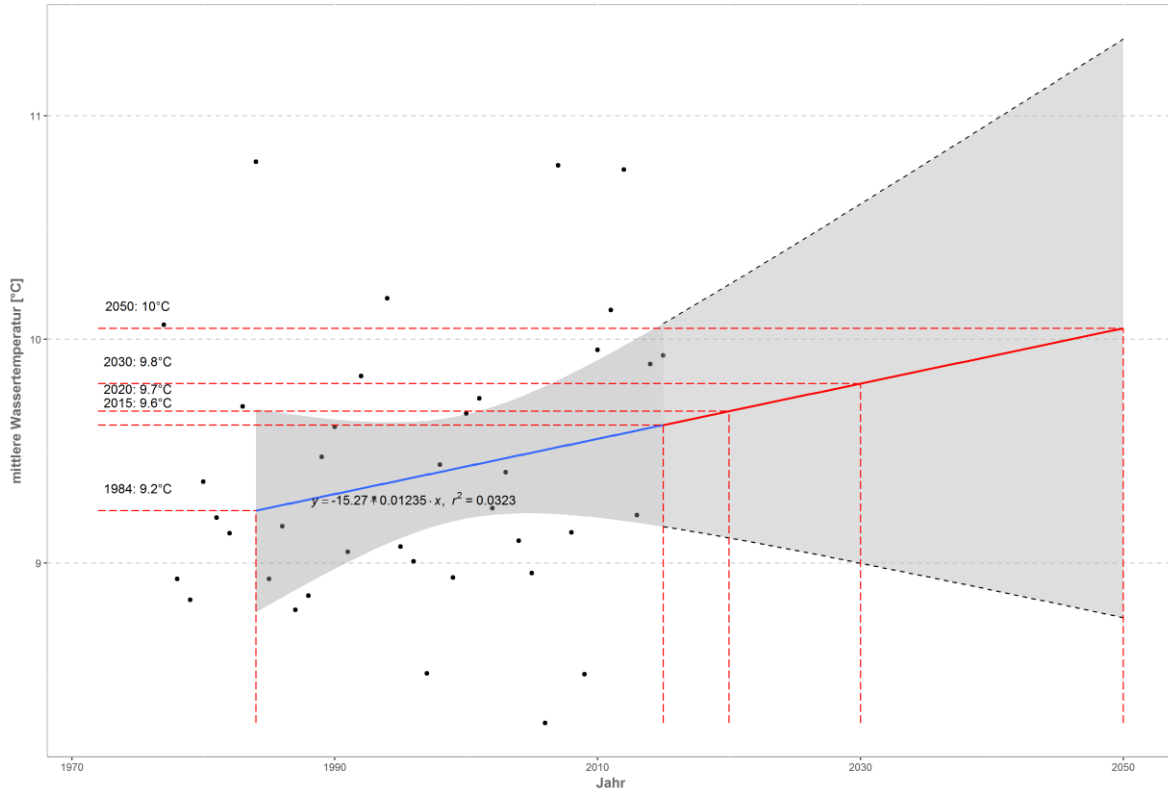
Schwemmbach - Furth (Bundesstraße)

Datenquelle: Pegeldaten HYDRO_OO



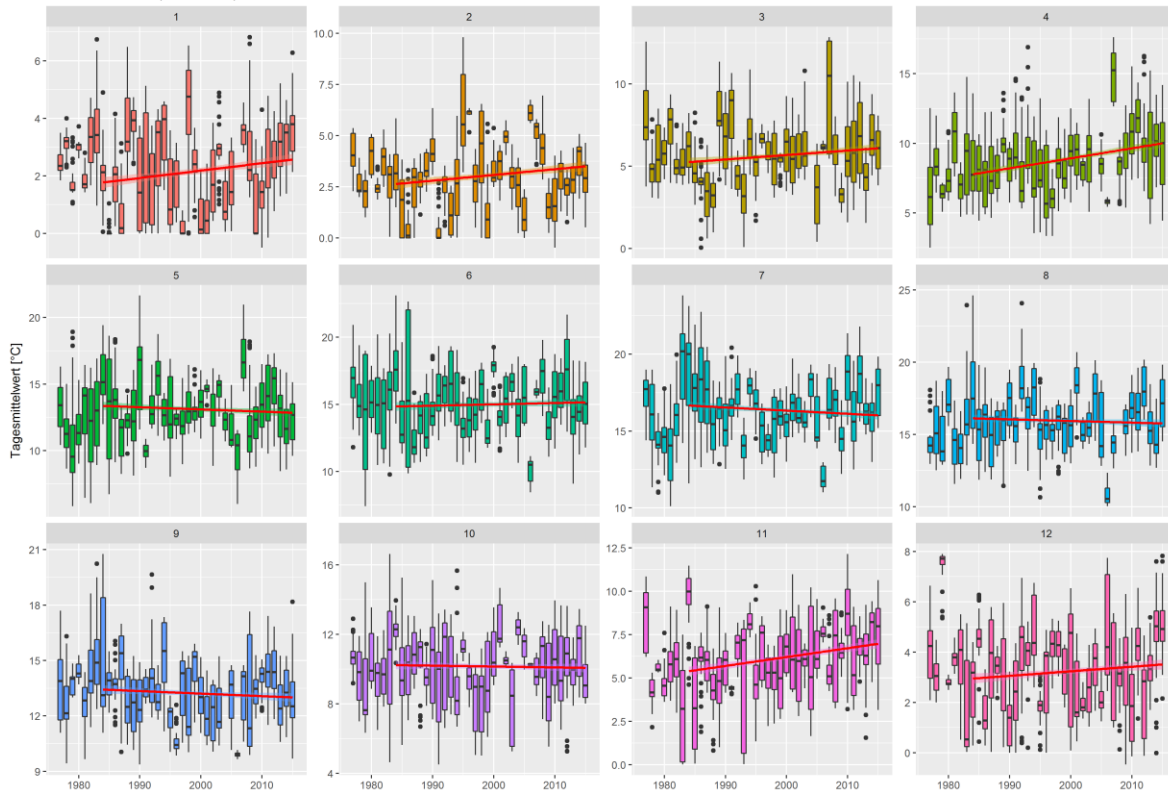
Prognose Wassertemperatur

Schwemmbach - Furth (Bundesstraße)

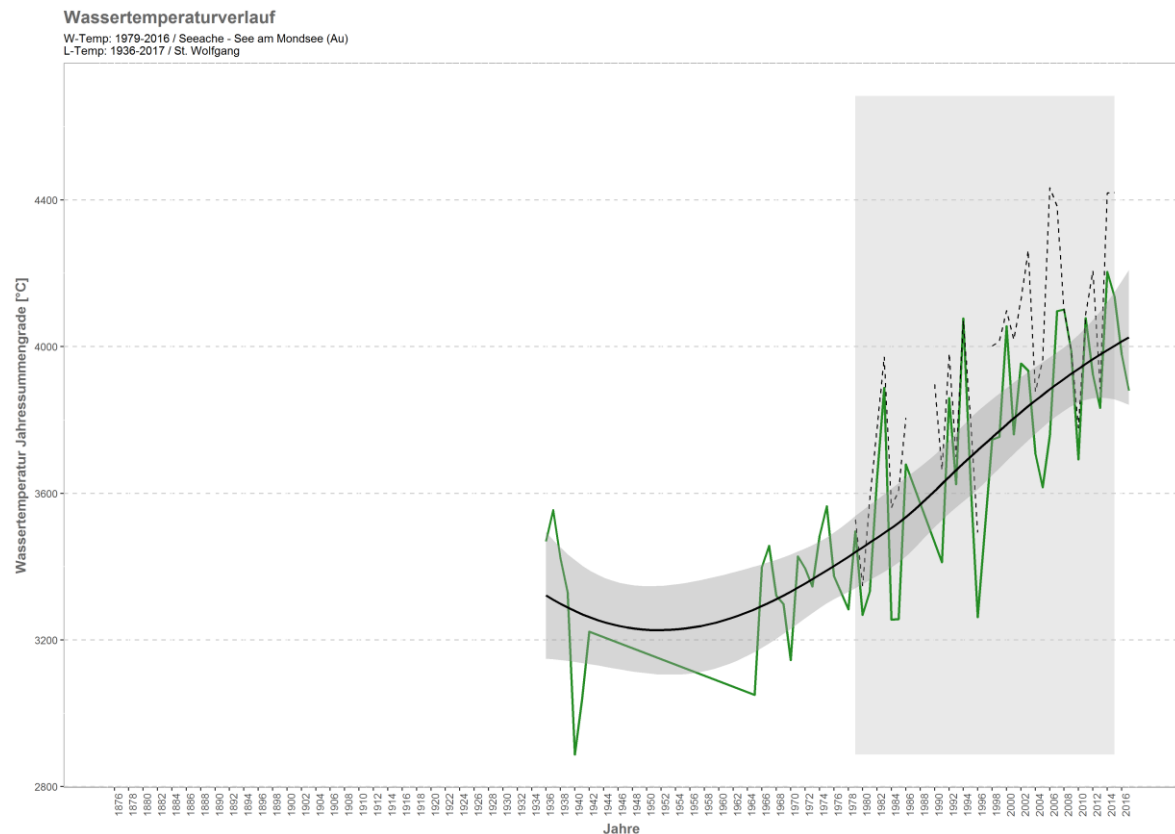
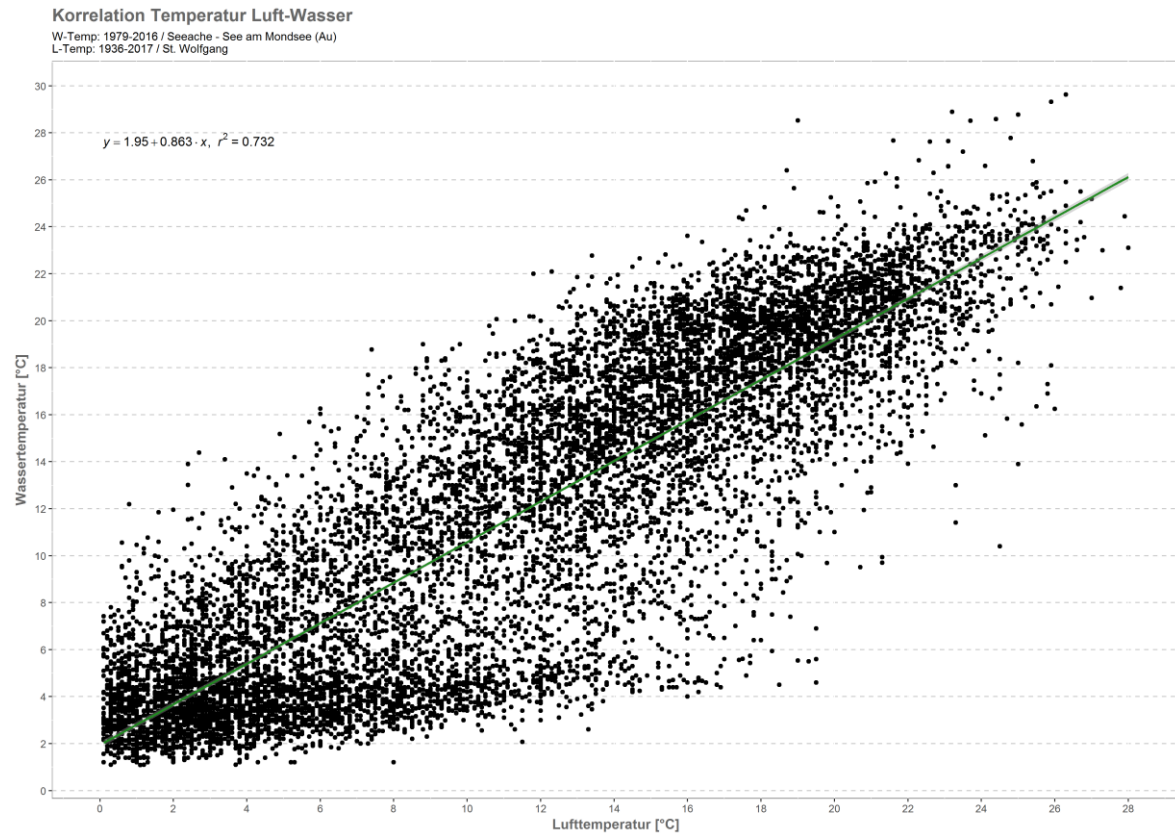


Monatsansicht der Tagesmittelwerte im Jahresverlauf

Schwemmbach Furth (Bundesstraße)

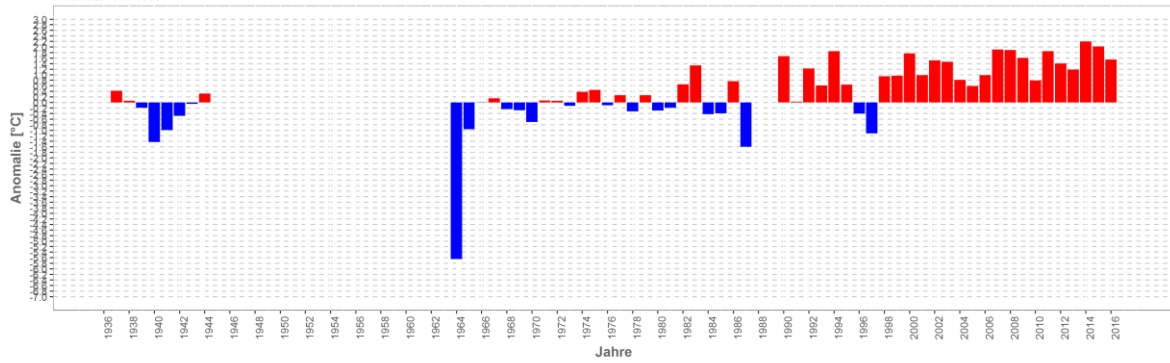


Seeache – See am Mondsee (Au)

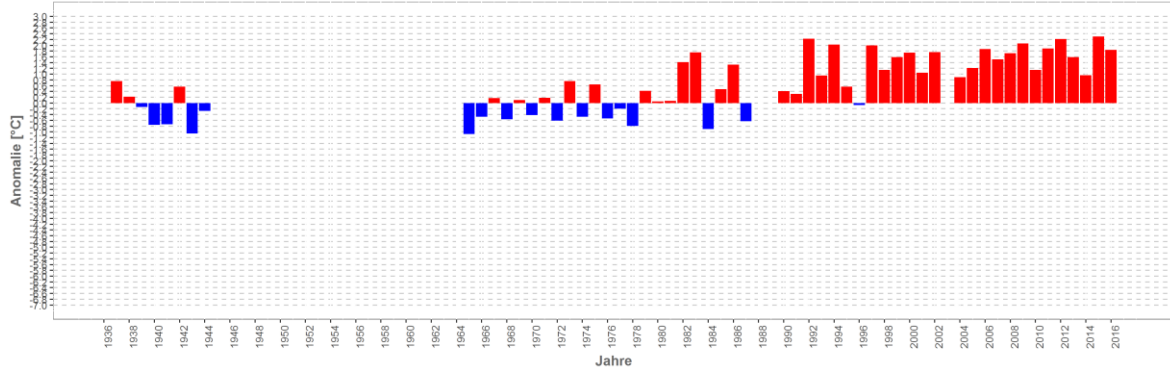


Wassertemperatur-Anomalie

Seeache - See am Mondsee (Au) (1936-2017)
 Referenz: 1961-1990

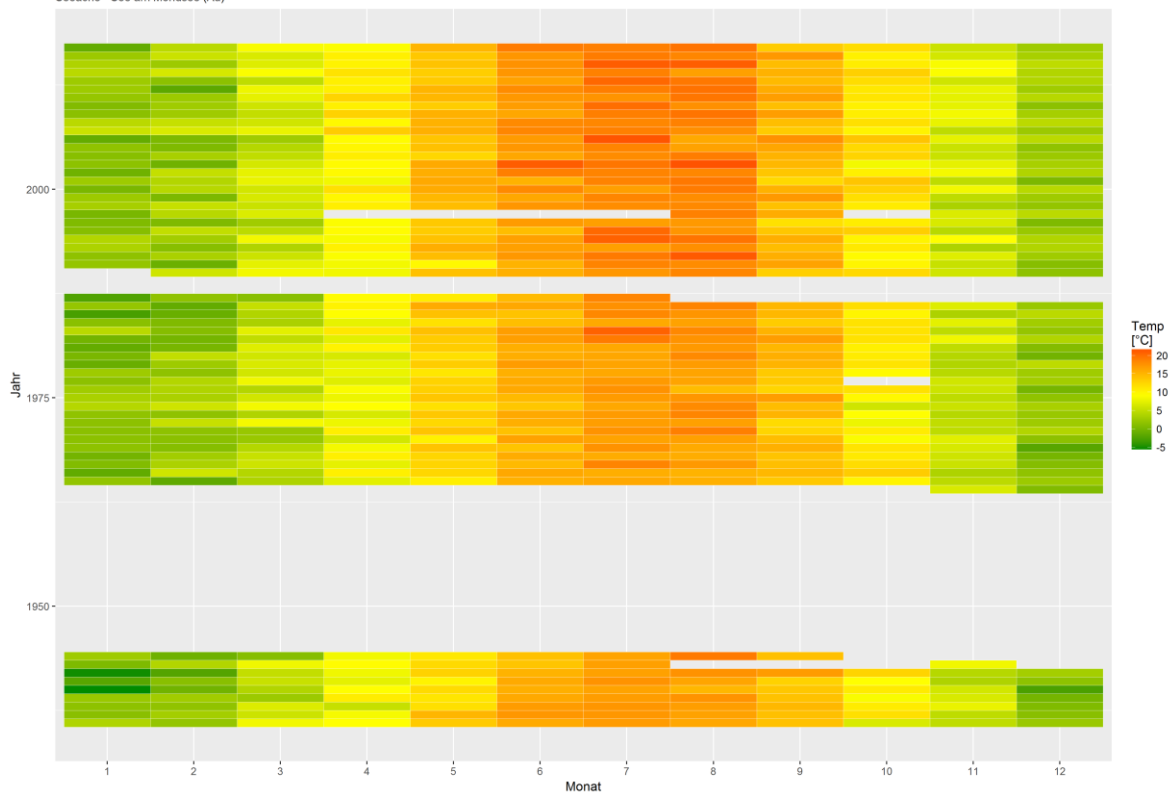


Sommermonate (Mai-Sept)



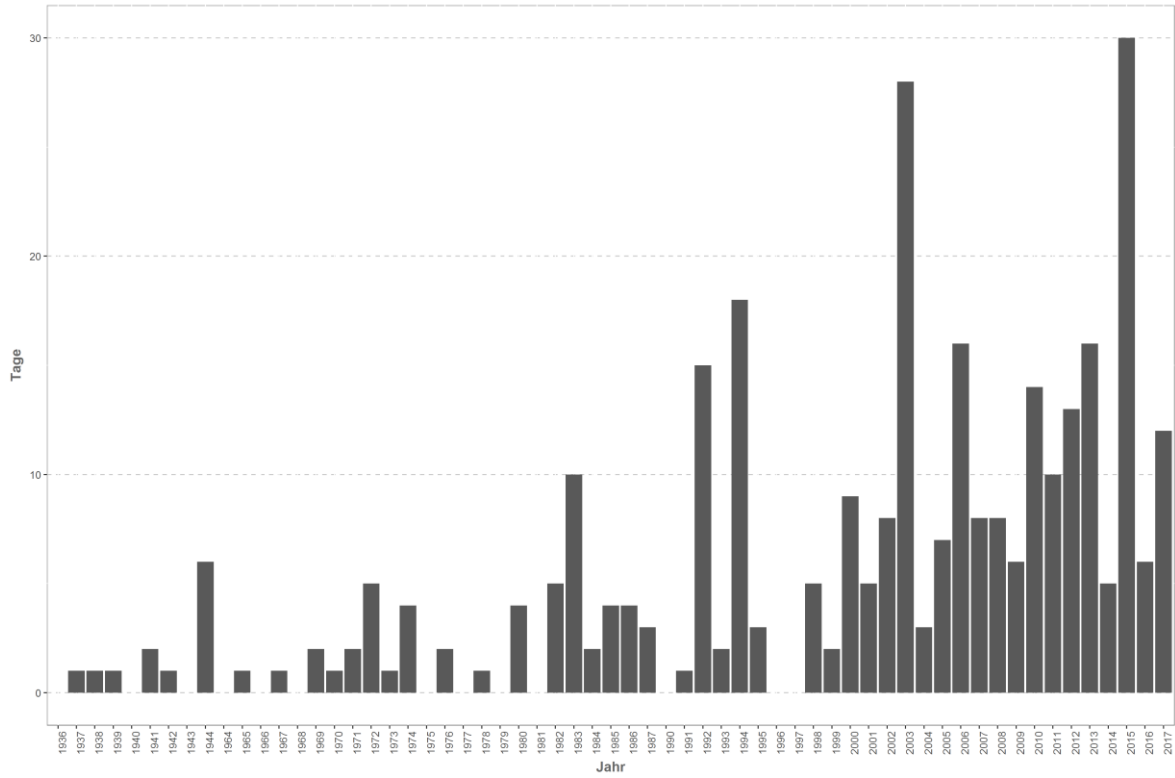
Monatsmittelwert

Seeache - See am Mondsee (Au)



Temperaturüberschreitungen

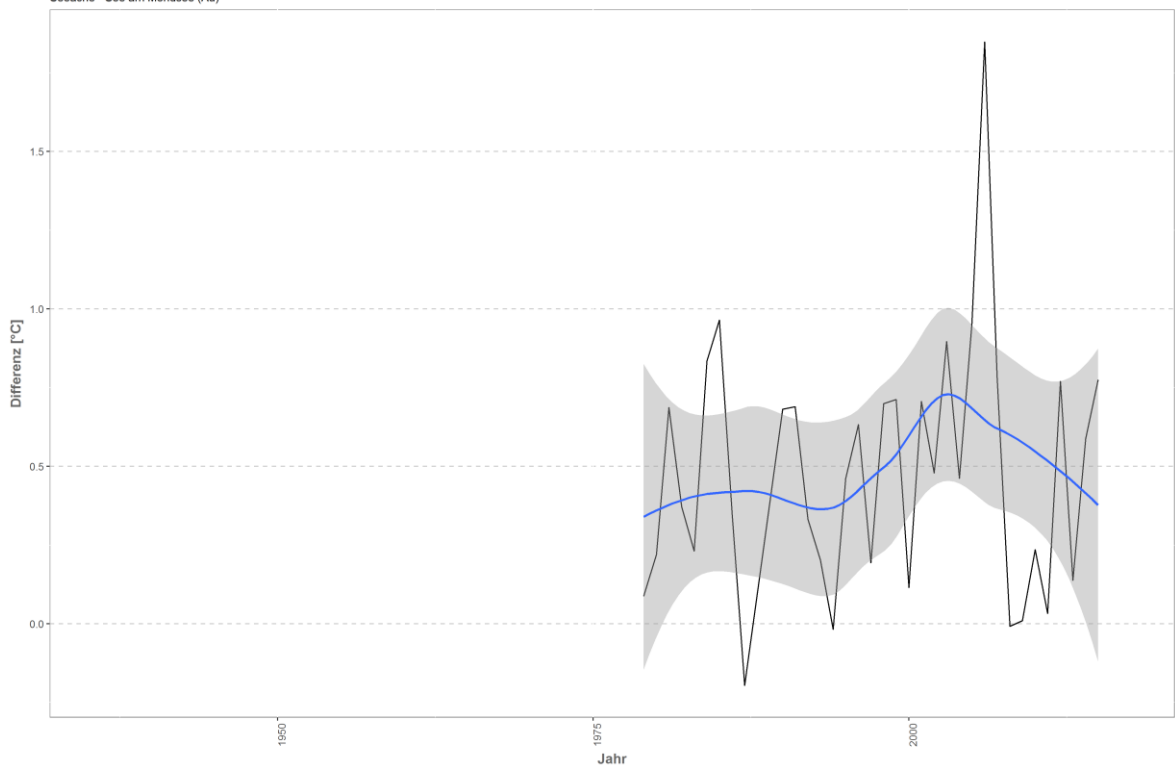
der Grenze sehr gut - gut
Seeache - See am Mondsee (Au)

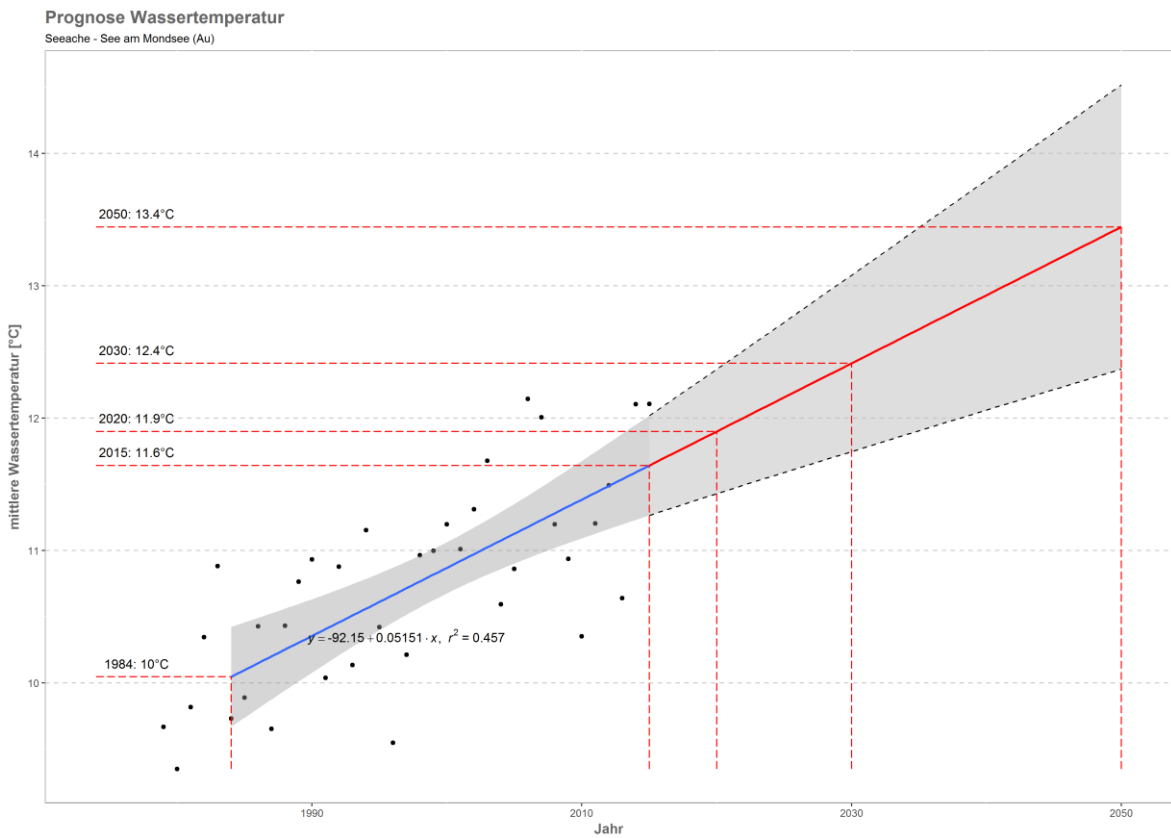
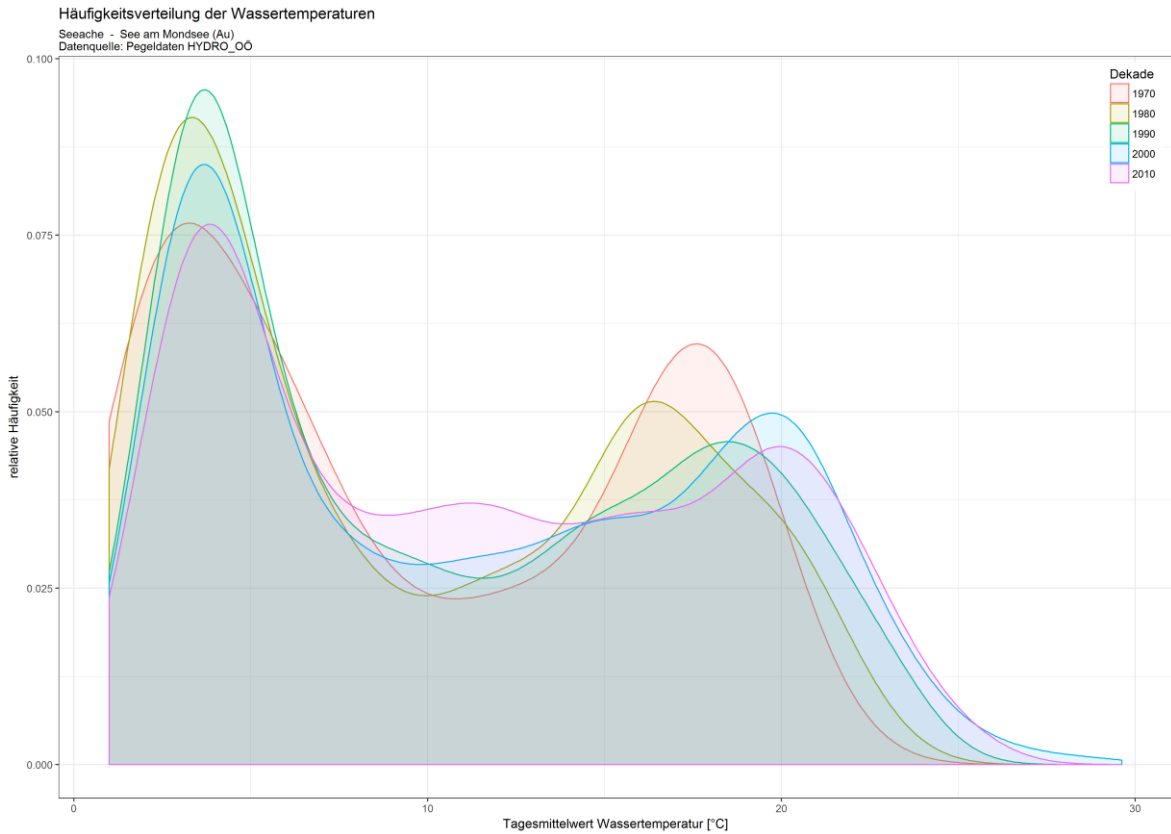


Differenzplot

tatsächlich gemessene Wassertemperatur zu Schätzwert der linearen Regression

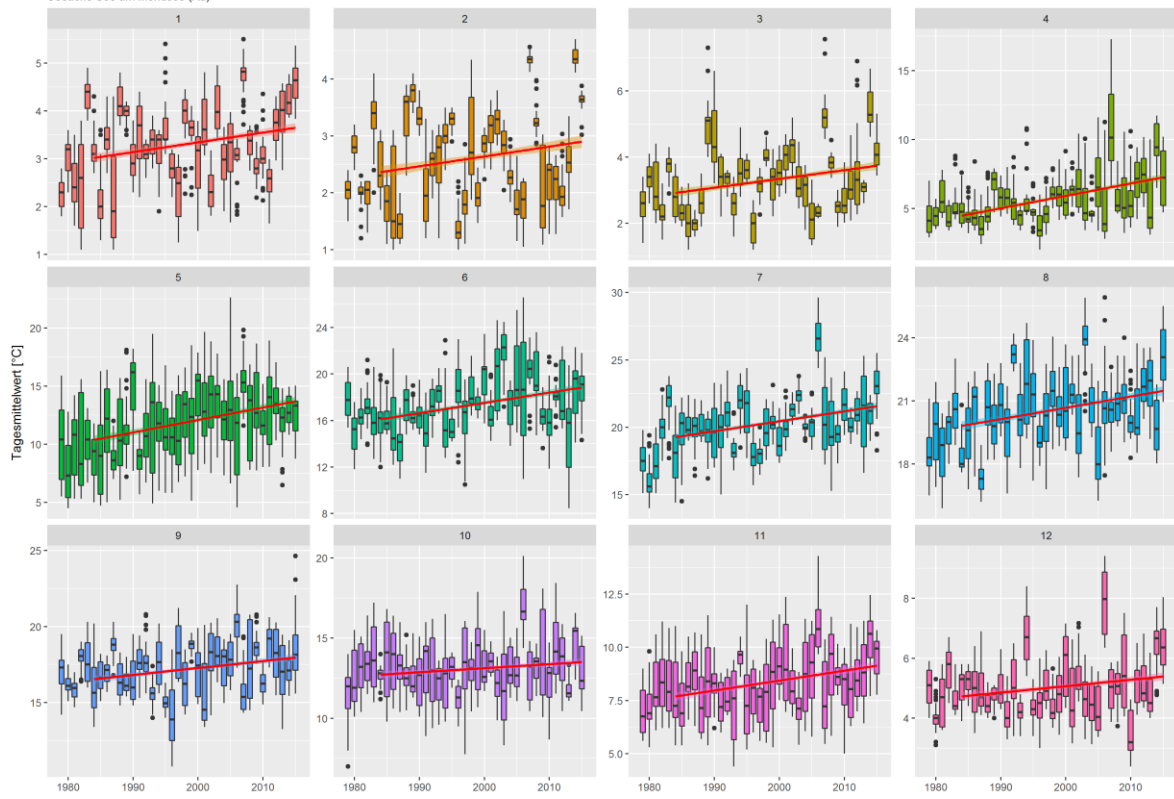
Seeache - See am Mondsee (Au)





Monatsansicht der Tagesmittelwerte im Jahresverlauf

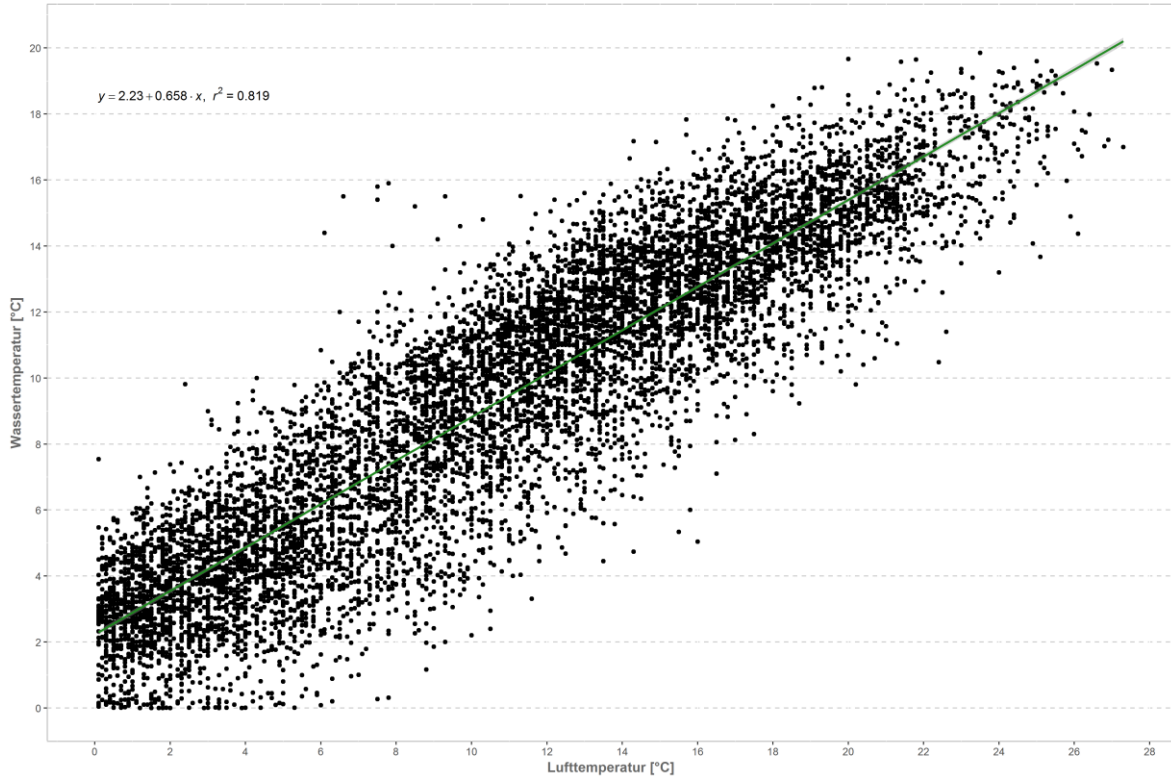
Seeache See am Mondsee (Au)



Steinerne Mühl – Hartmannsdorf

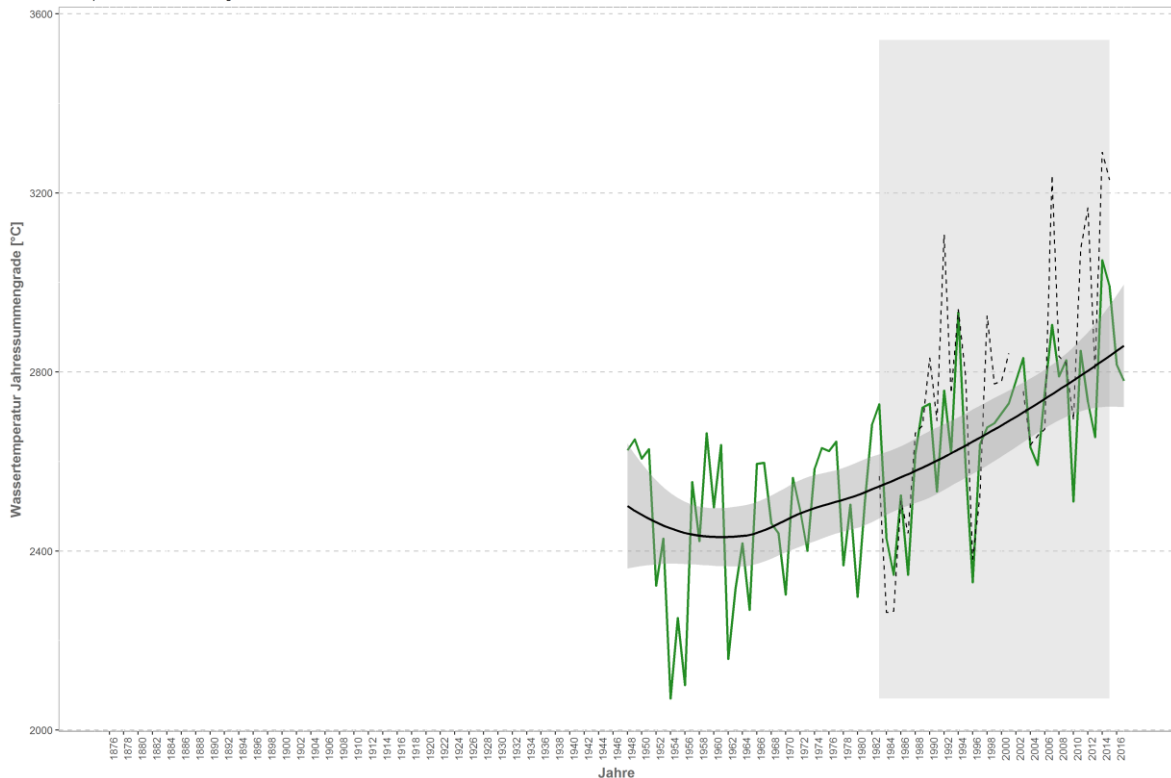
Korrelation Temperatur Luft-Wasser

W-Temp: 1983-2016 / Steinerne Mühl - Hartmannsdorf
L-Temp: 1947-2017 / Kollerschlag



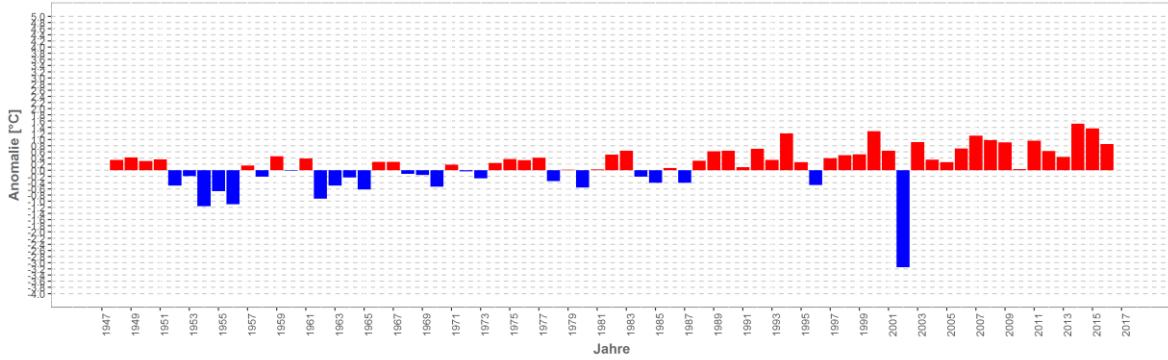
Wassertemperaturverlauf

W-Temp: 1983-2016 / Steinerne Mühl - Hartmannsdorf
L-Temp: 1947-2017 / Kollerschlag

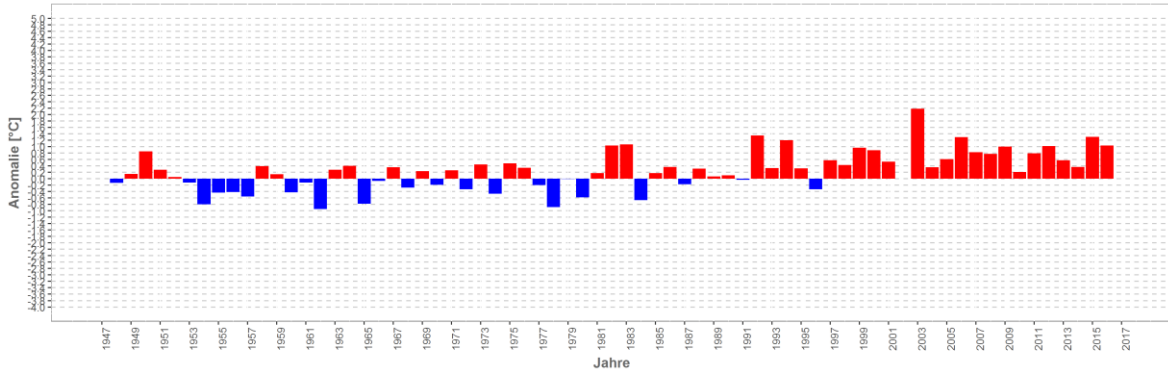


Wassertemperatur-Anomalie

Steinerne Mühl - Hartmannsdorf (1947-2017)
 Referenz: 1961-1990

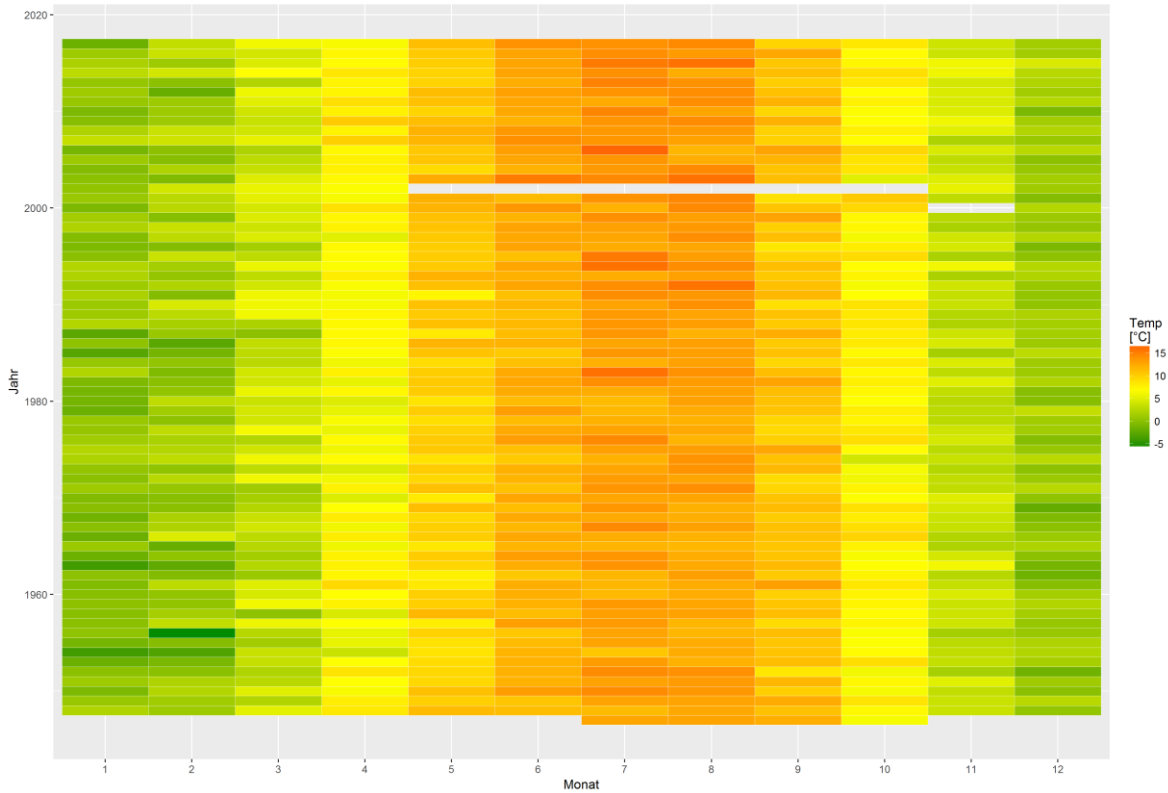


Sommermonate (Mai-Sept)



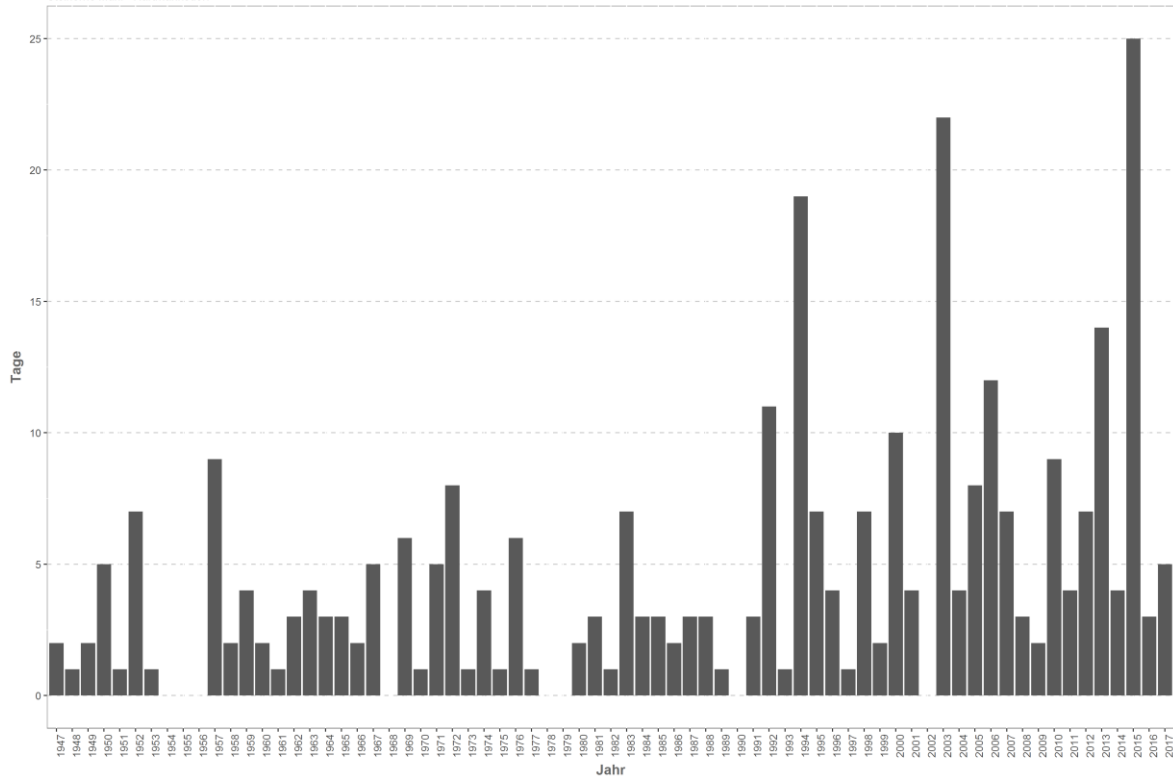
Monatsmittelwert

Steinerne Mühl - Hartmannsdorf



Temperaturüberschreitungen

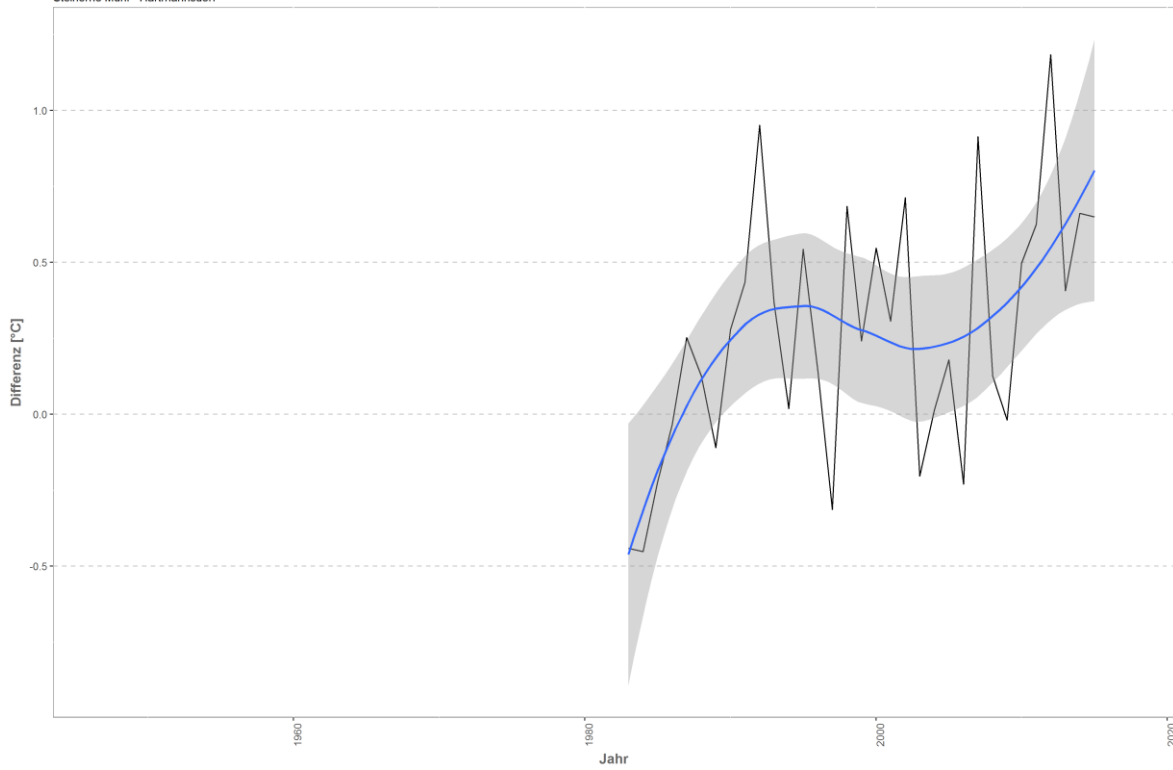
der Grenze sehr gut - gut
Steinerne Mühl - Hartmannsdorf



Differenzplot

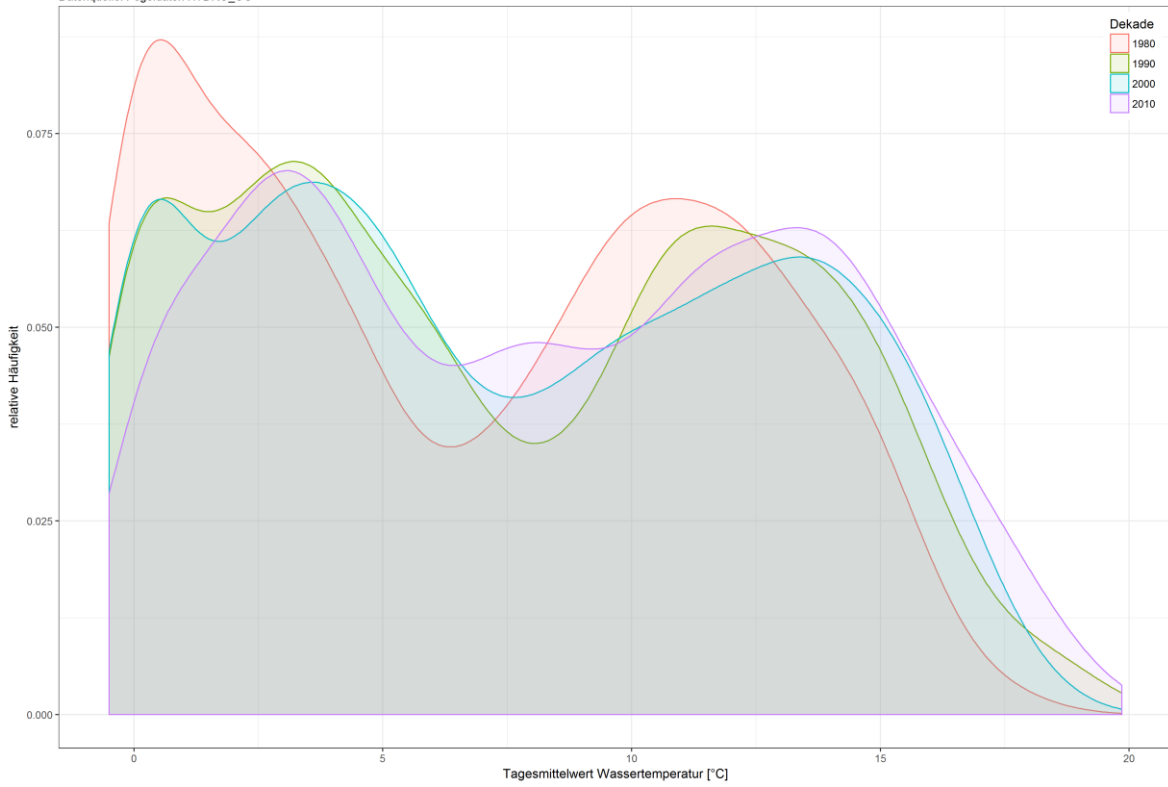
tatsächlich gemessene Wassertemperatur zu Schätzwert der linearen Regression

Steinerne Mühl - Hartmannsdorf



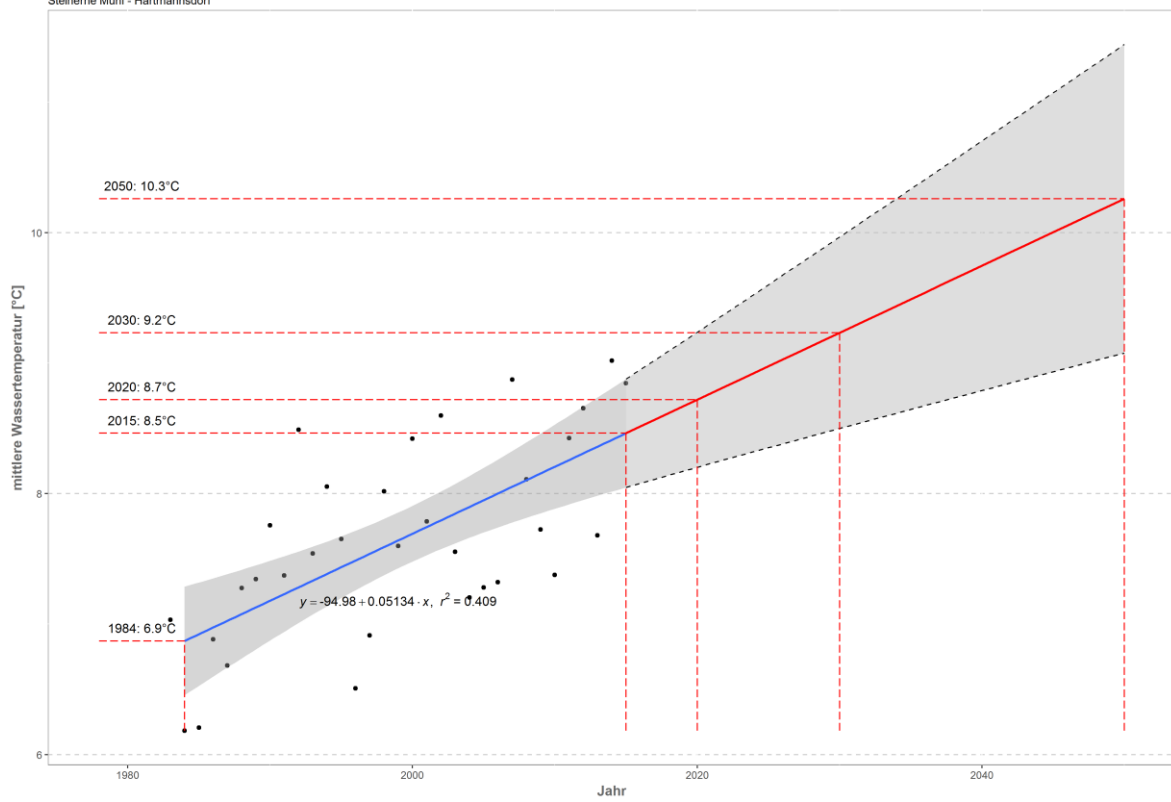
Häufigkeitsverteilung der Wassertemperaturen

Steinerne Mühl - Hartmannsdorf
 Datenquelle: Pegeldaten HYDRO_OO

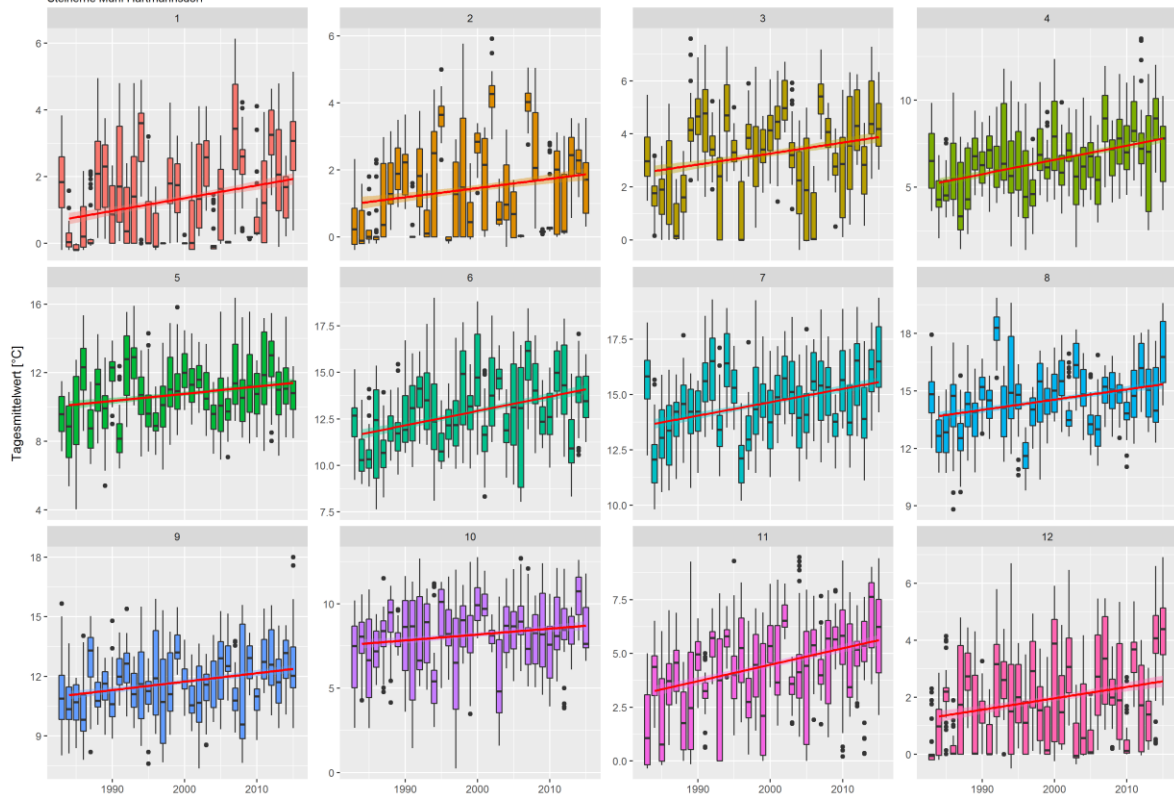


Prognose Wassertemperatur

Steinerne Mühl - Hartmannsdorf



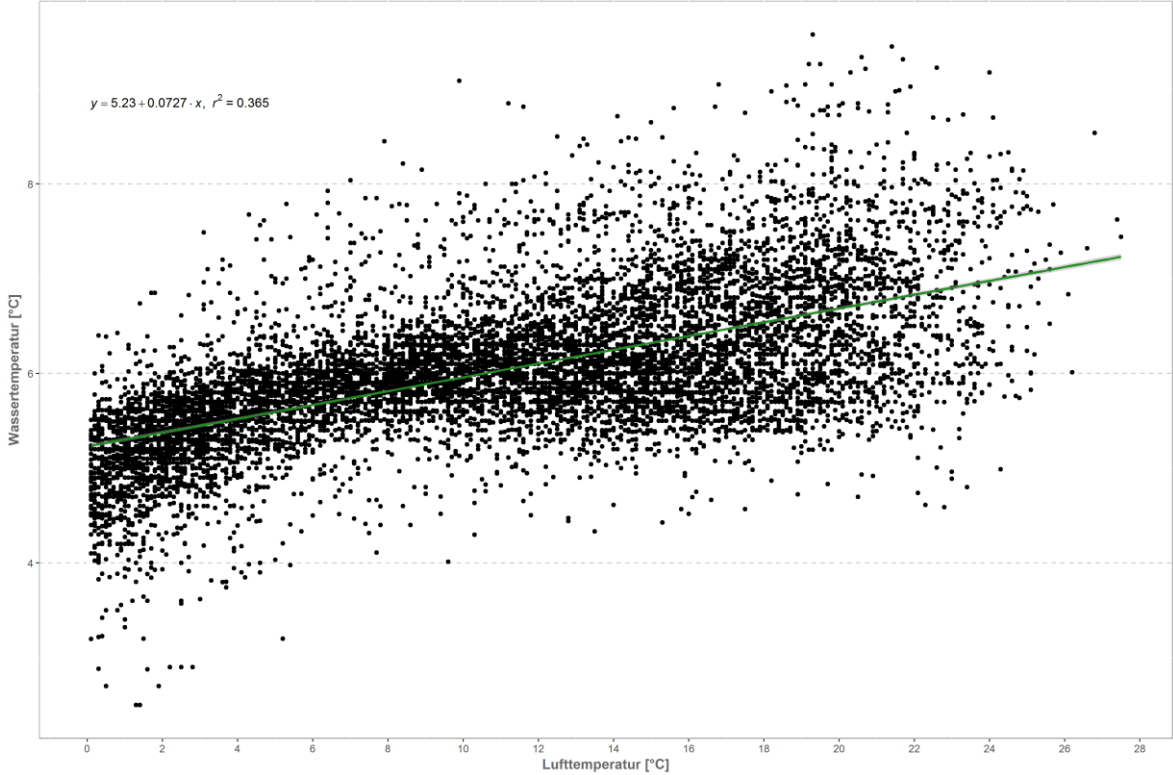
Monatsansicht der Tagesmittelwerte im Jahresverlauf
Steinerne Mühl Hartmannsdorf



Steyr – Dietlgut

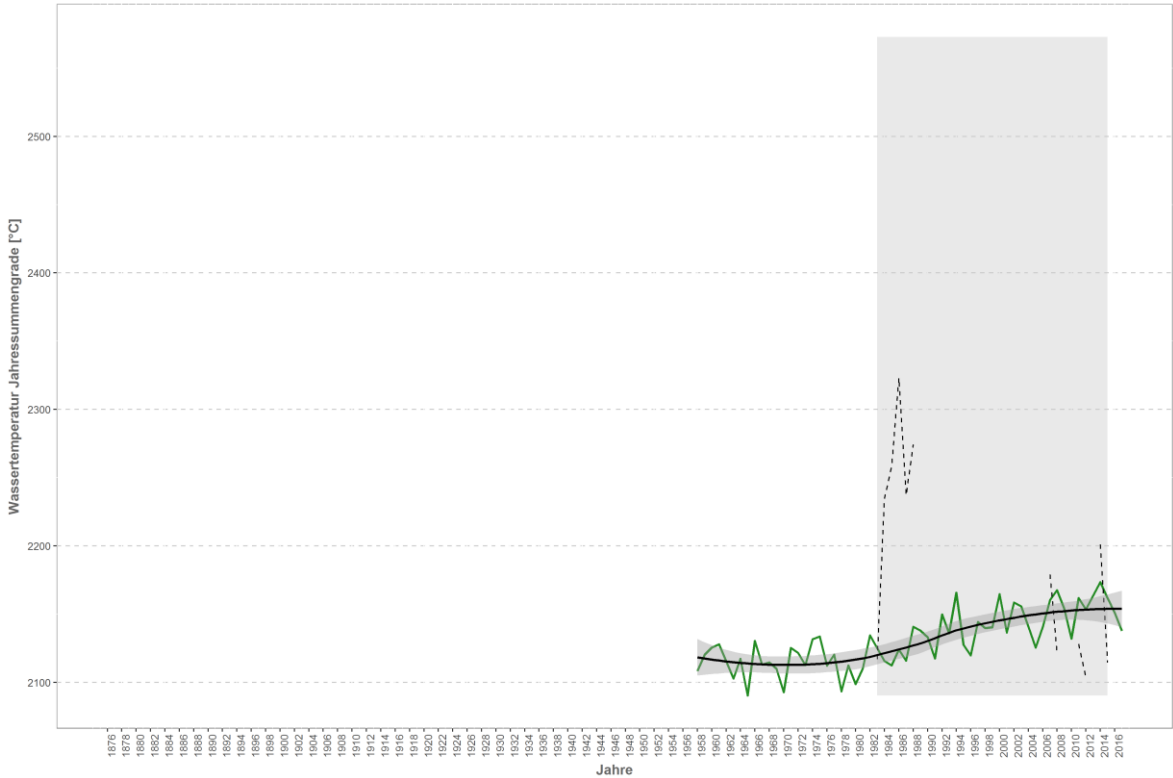
Korrelation Temperatur Luft-Wasser

W-Temp: 1983-2016 / Steyr - Dietlgut
L-Temp: 1957-2017 / Bad Aussee



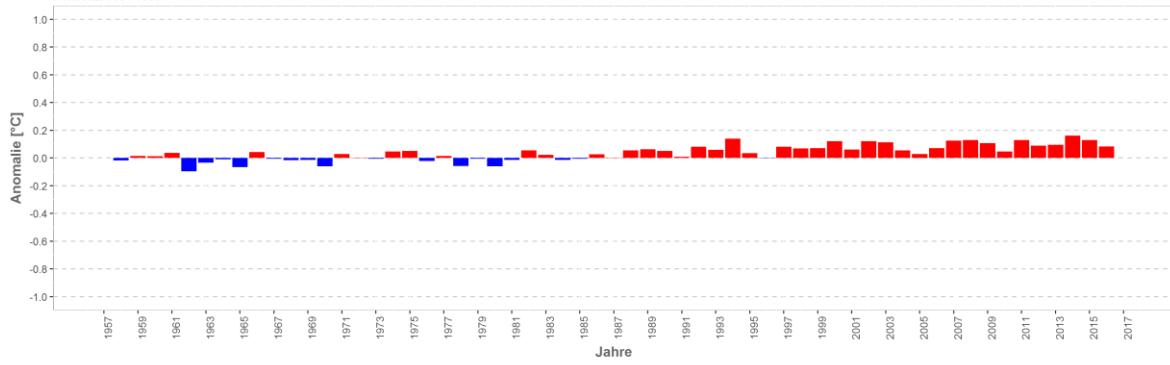
Wassertemperaturverlauf

W-Temp: 1983-2016 / Steyr - Dietlgut
L-Temp: 1957-2017 / Bad Aussee

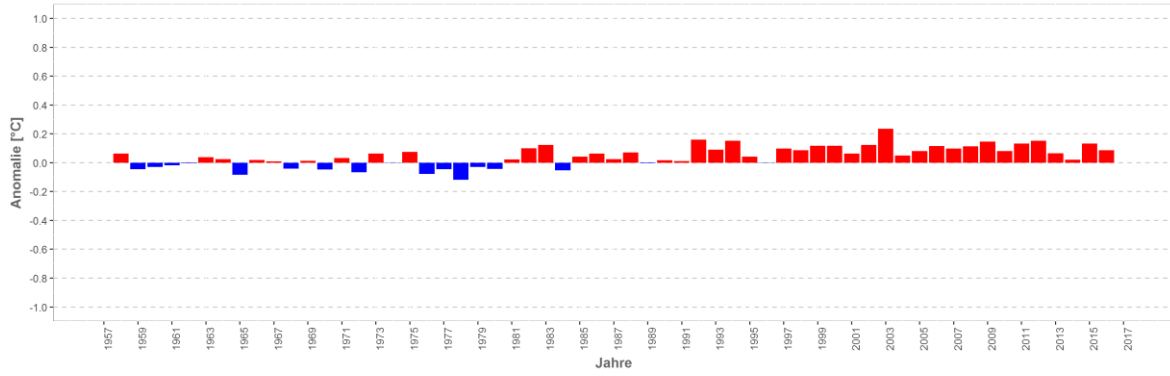


Wassertemperatur-Anomalie

Steyr - Dietligut (1957-2017)
Referenz: 1961-1990

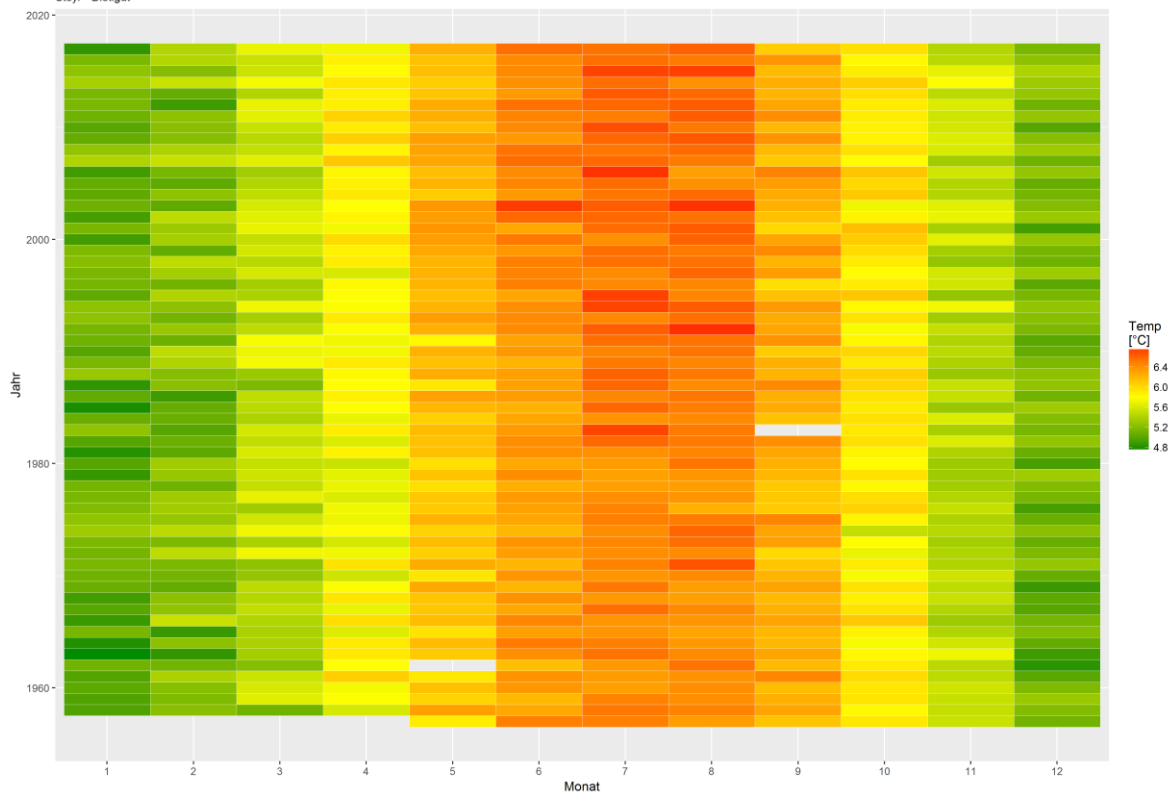


Sommermonate (Mai-Sept)



Monatsmittelwert

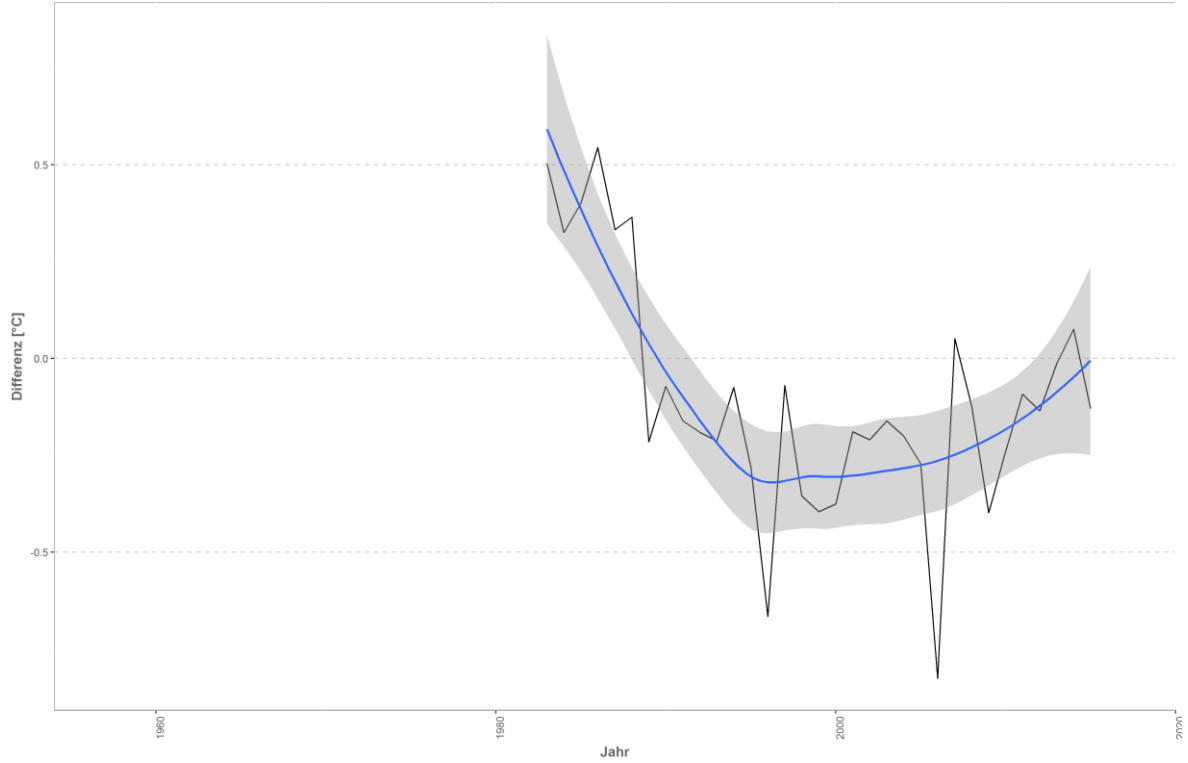
Steyr - Dietligut



Differenzplot

tatsächlich gemessene Wassertemperatur zu Schätzwert der linearen Regression

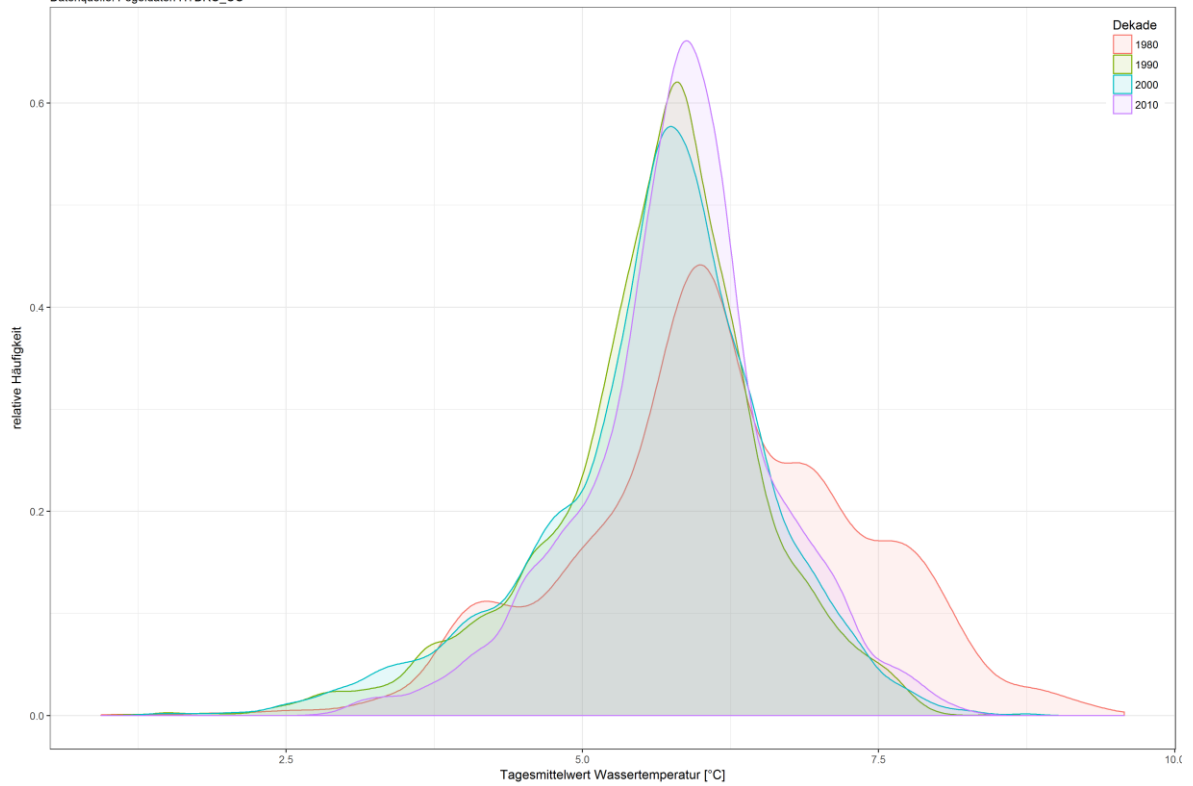
Steyr - Dietlgut



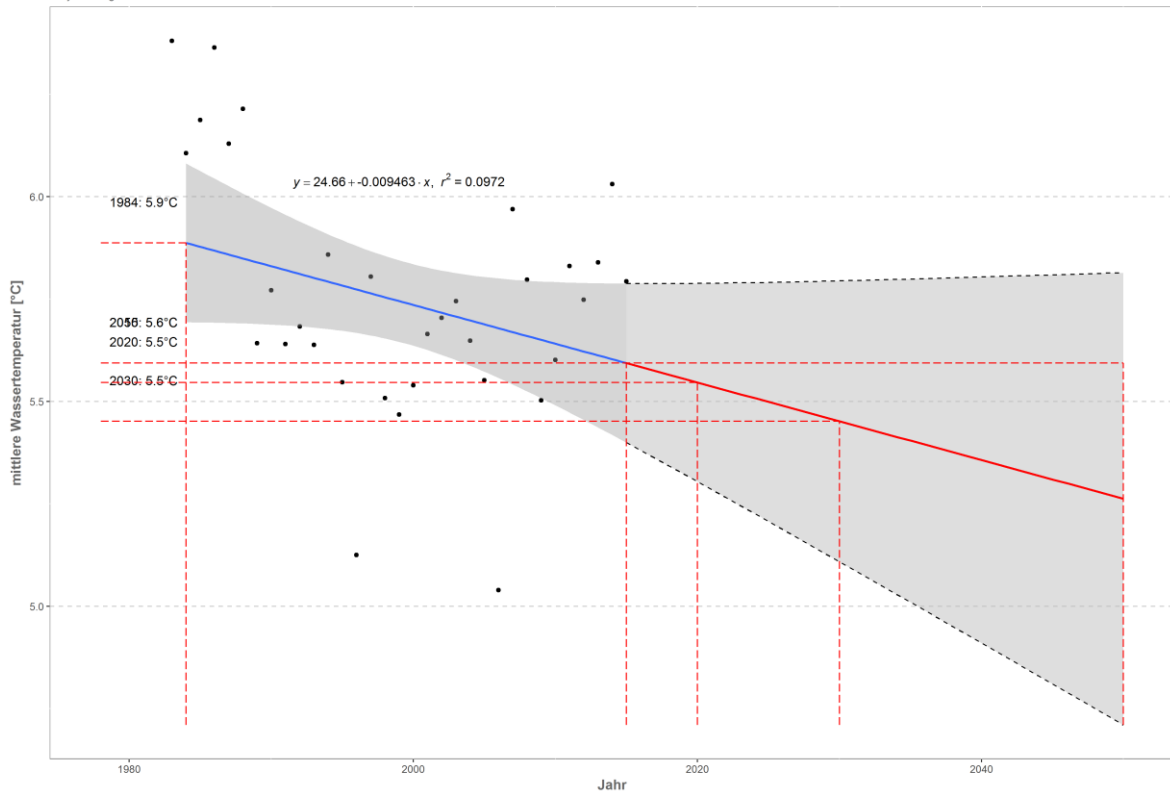
Häufigkeitsverteilung der Wassertemperaturen

Steyr - Dietlgut

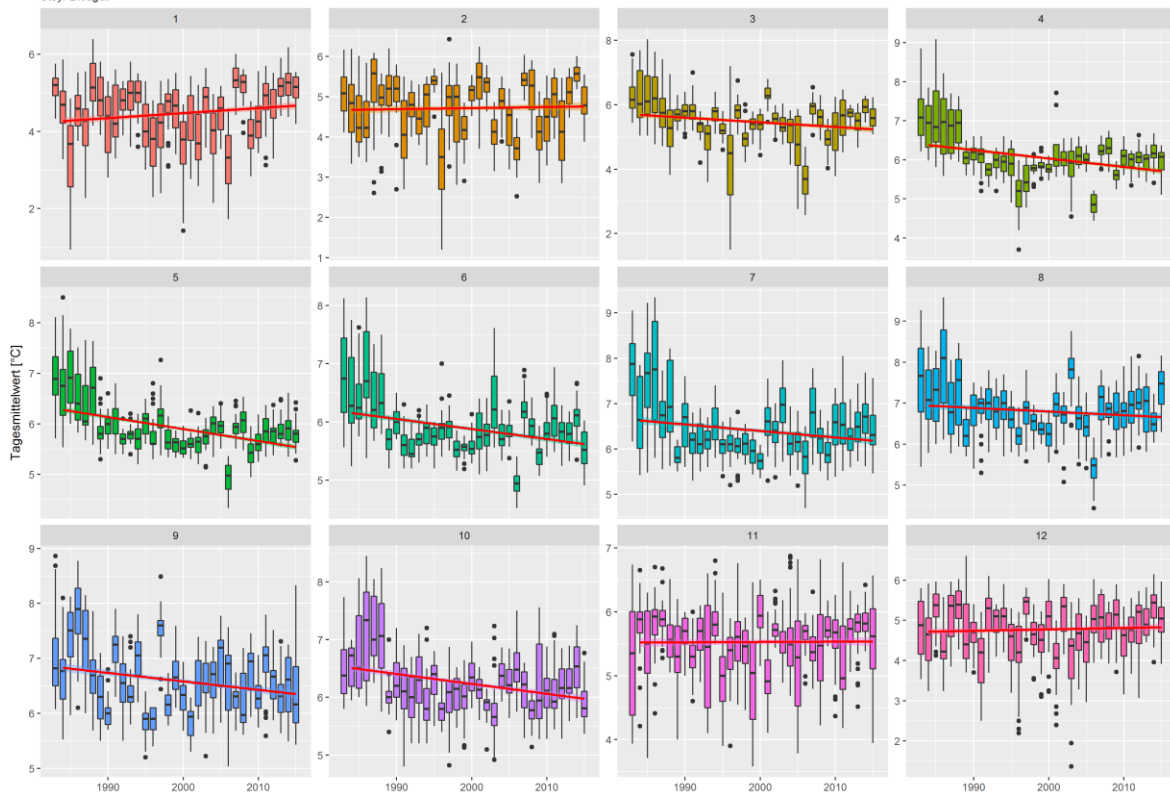
Datenquelle: Pegeldaten HYDRO_OO



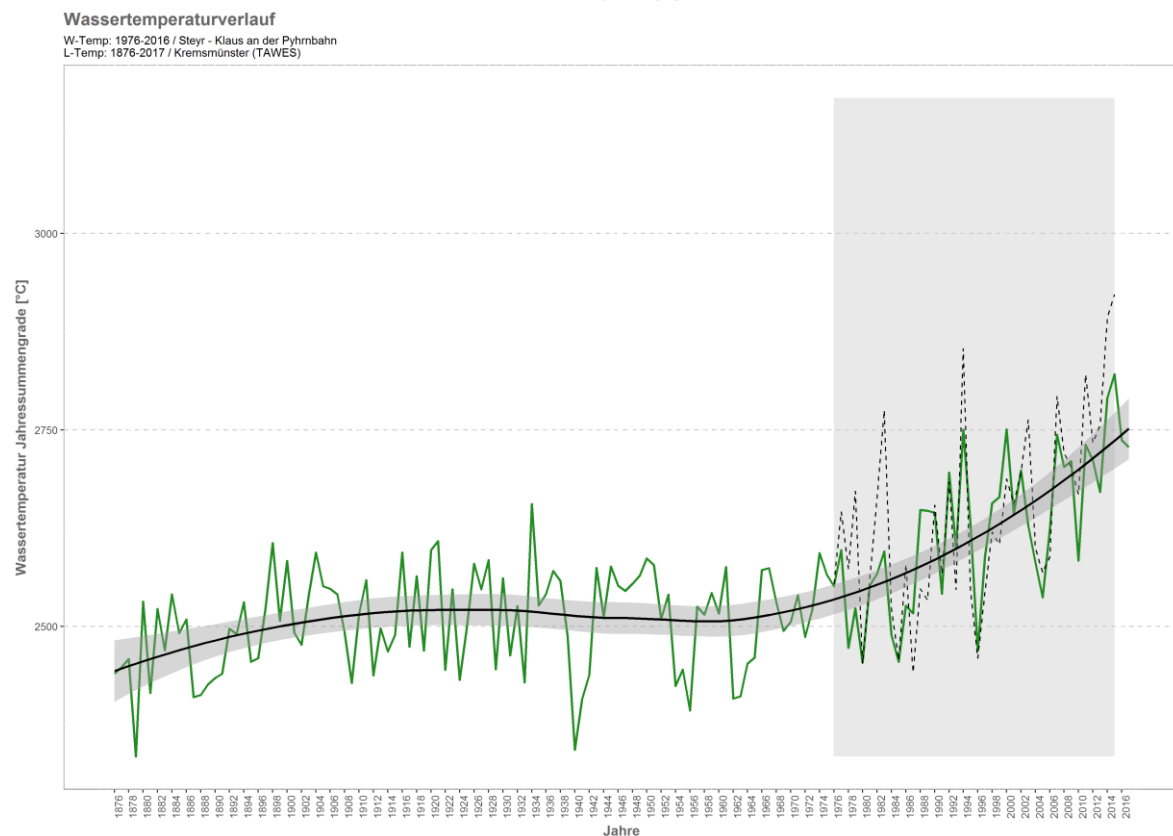
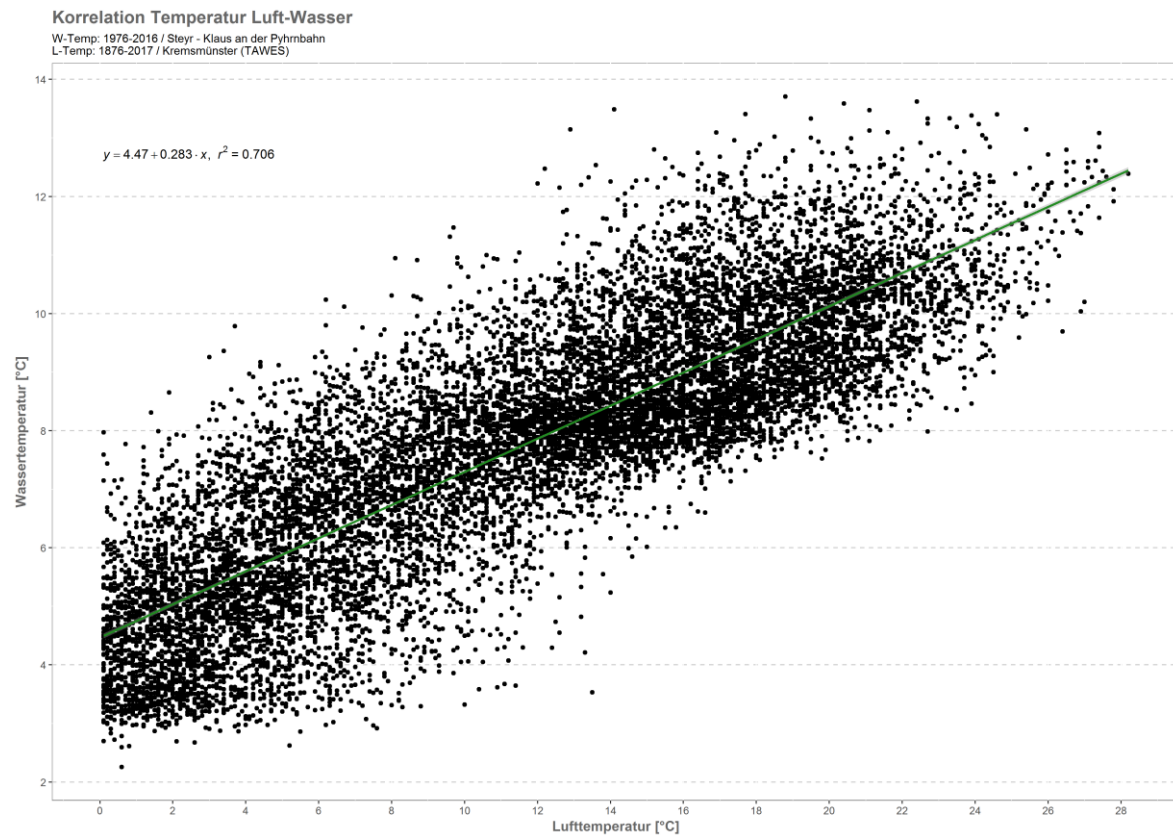
Prognose Wassertemperatur
Steyr - Dietlgut



Monatsansicht der Tagesmittelwerte im Jahresverlauf
Steyr Dietlgut

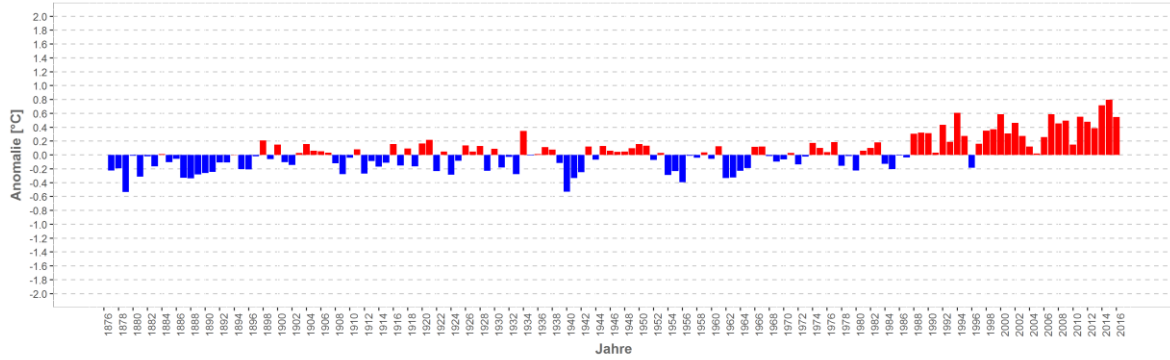


Steyr – Klaus an der Pyhrnbahn

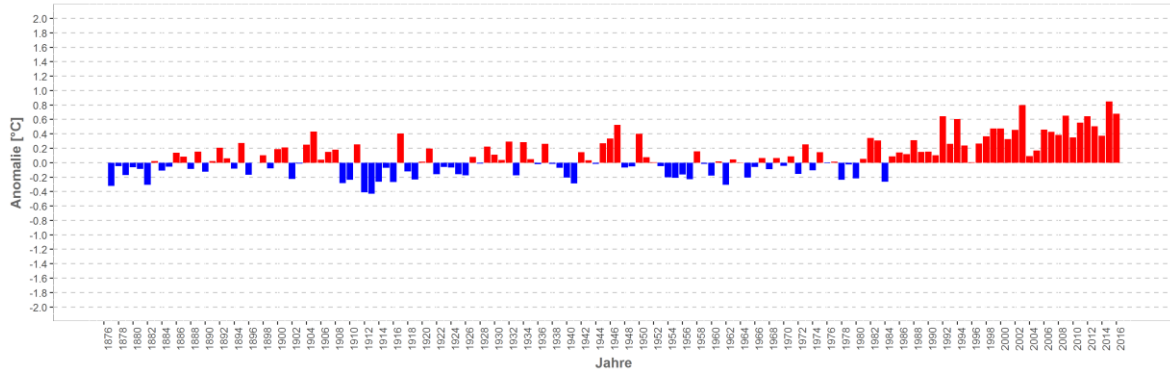


Wassertemperatur-Anomalie

Steyr - Klaus an der Pyhrnbahn (1876-2017)
 Referenz: 1961-1990

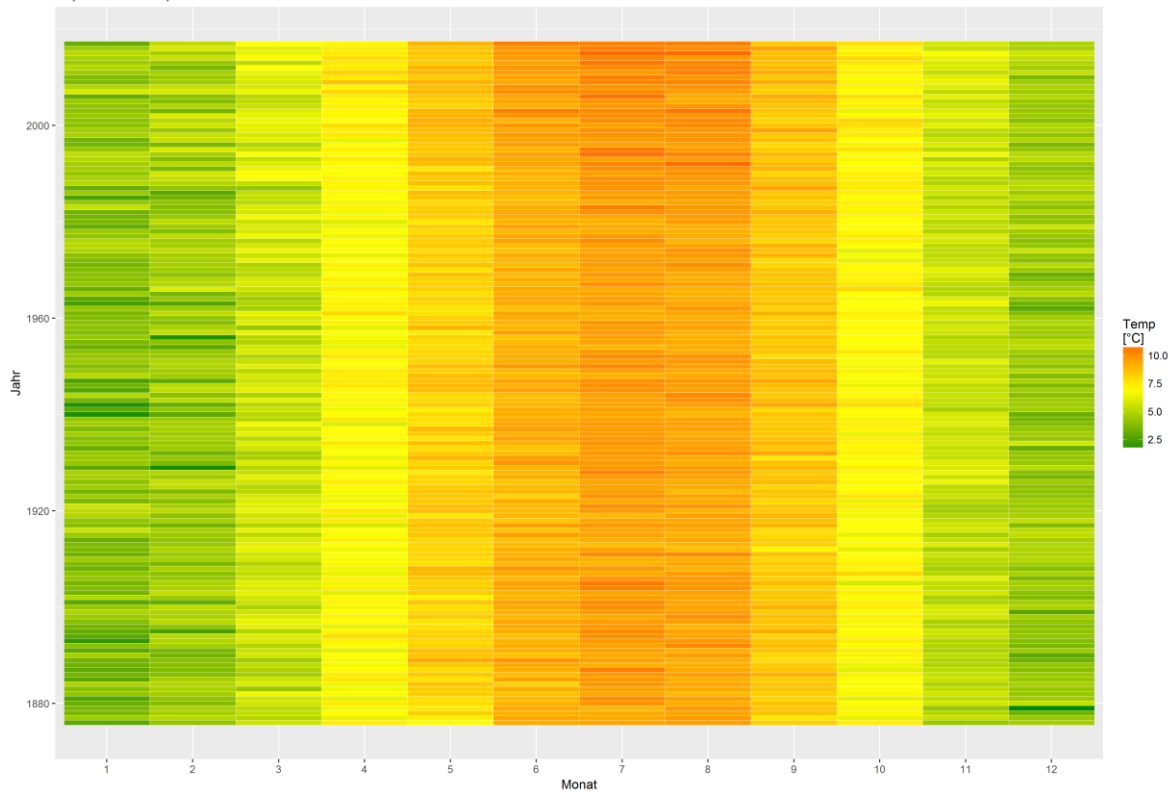


Sommermonate (Mai-Sept)



Monatsmittelwert

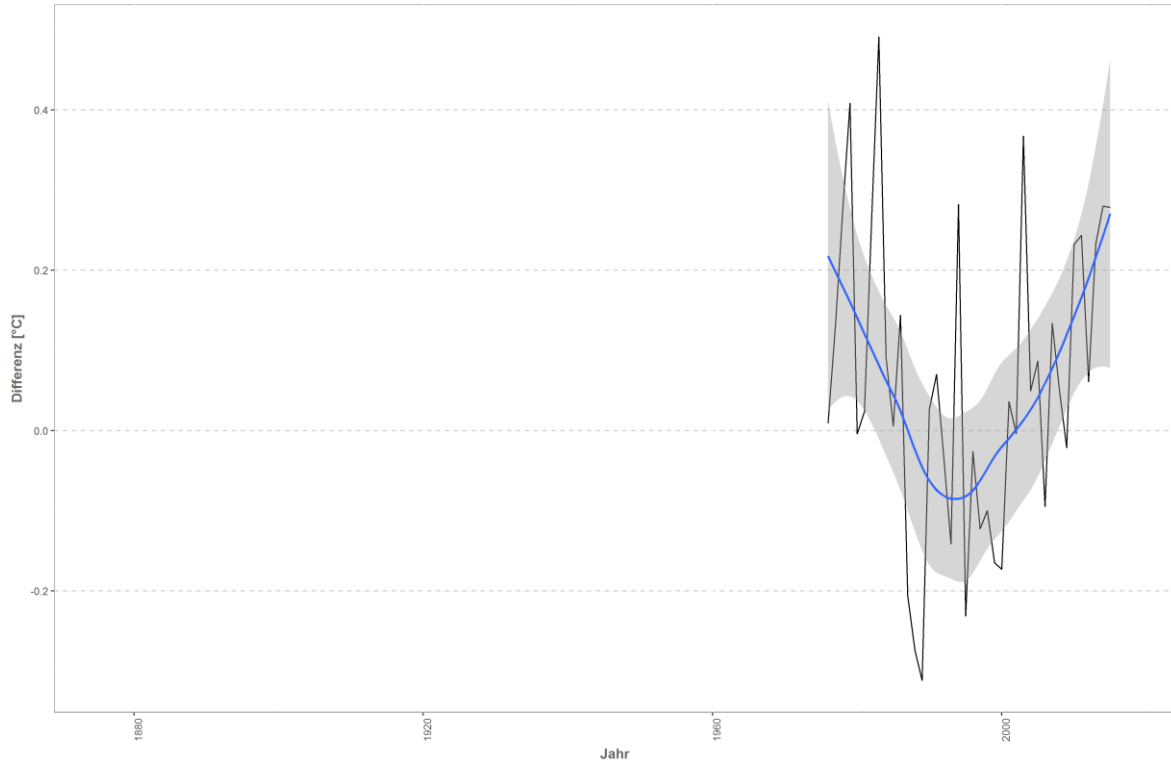
Steyr - Klaus an der Pyhrnbahn



Differenzplot

tatsächlich gemessene Wassertemperatur zu Schätzwert der linearen Regression

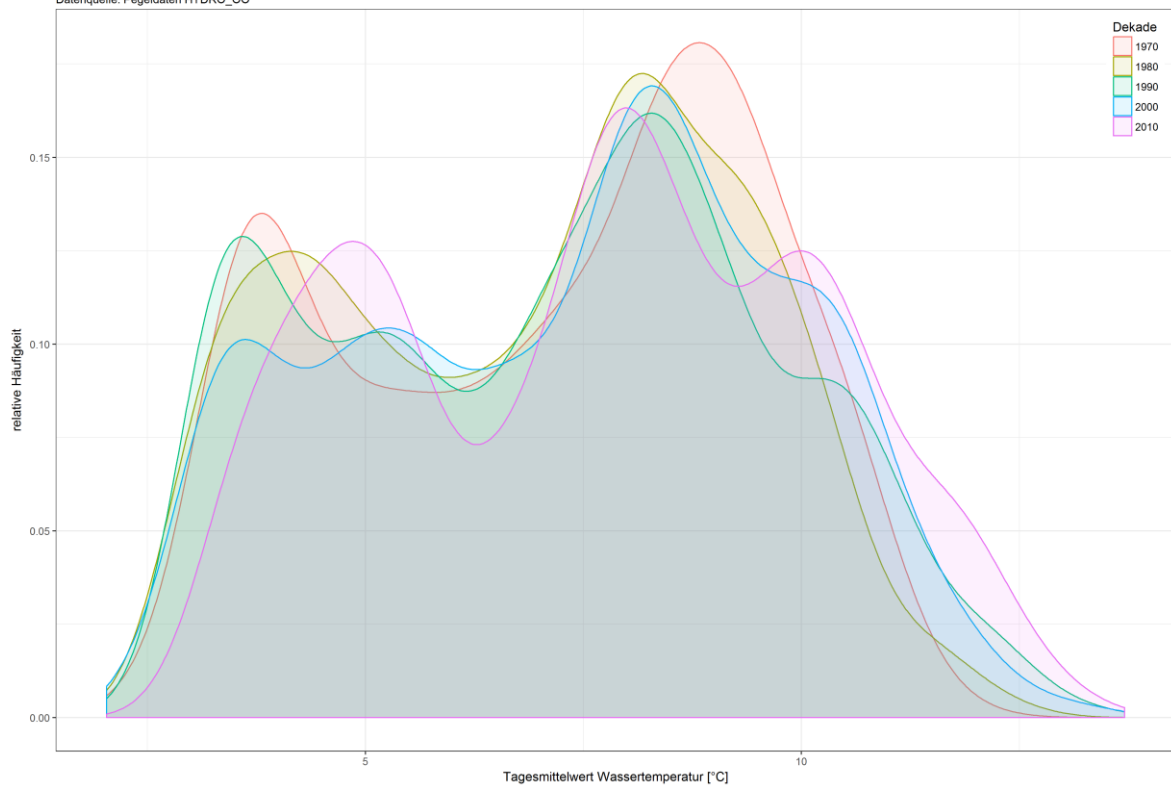
Steyr - Klaus an der Pyhrnbahn



Häufigkeitsverteilung der Wassertemperaturen

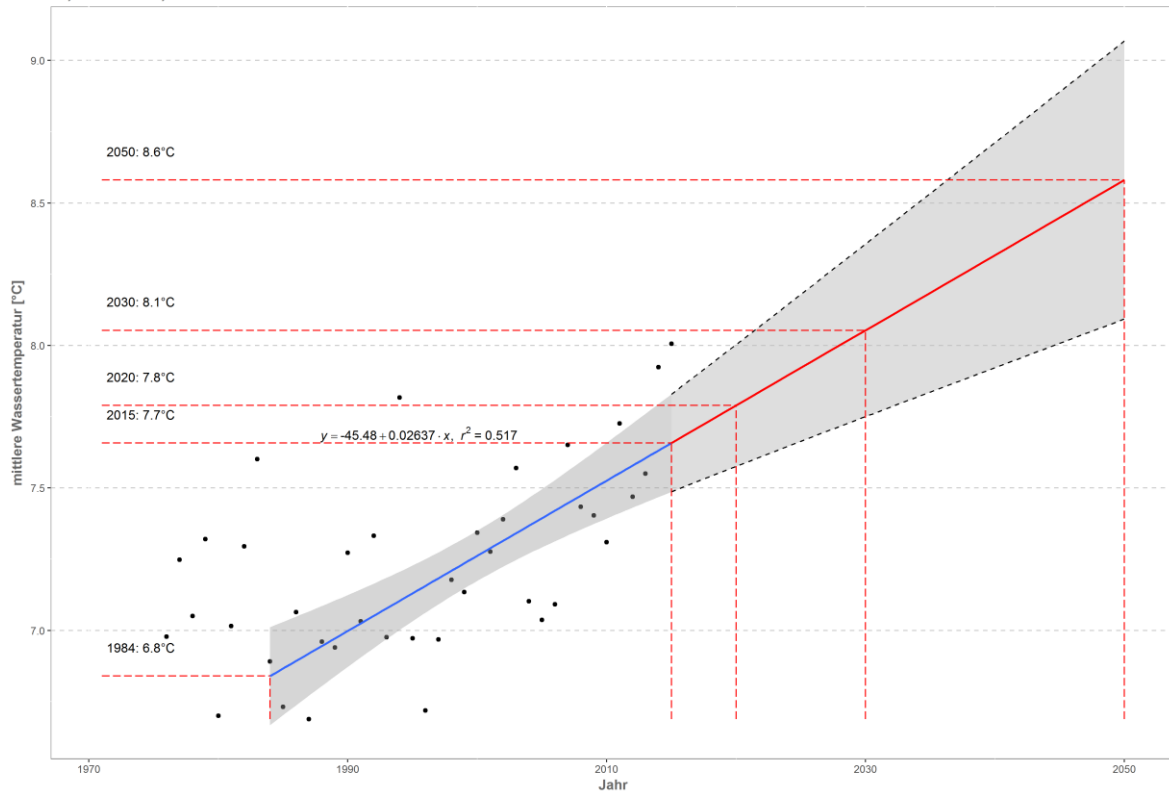
Steyr - Klaus an der Pyhrnbahn

Datenquelle: Pegeldaten HYDRO_OO



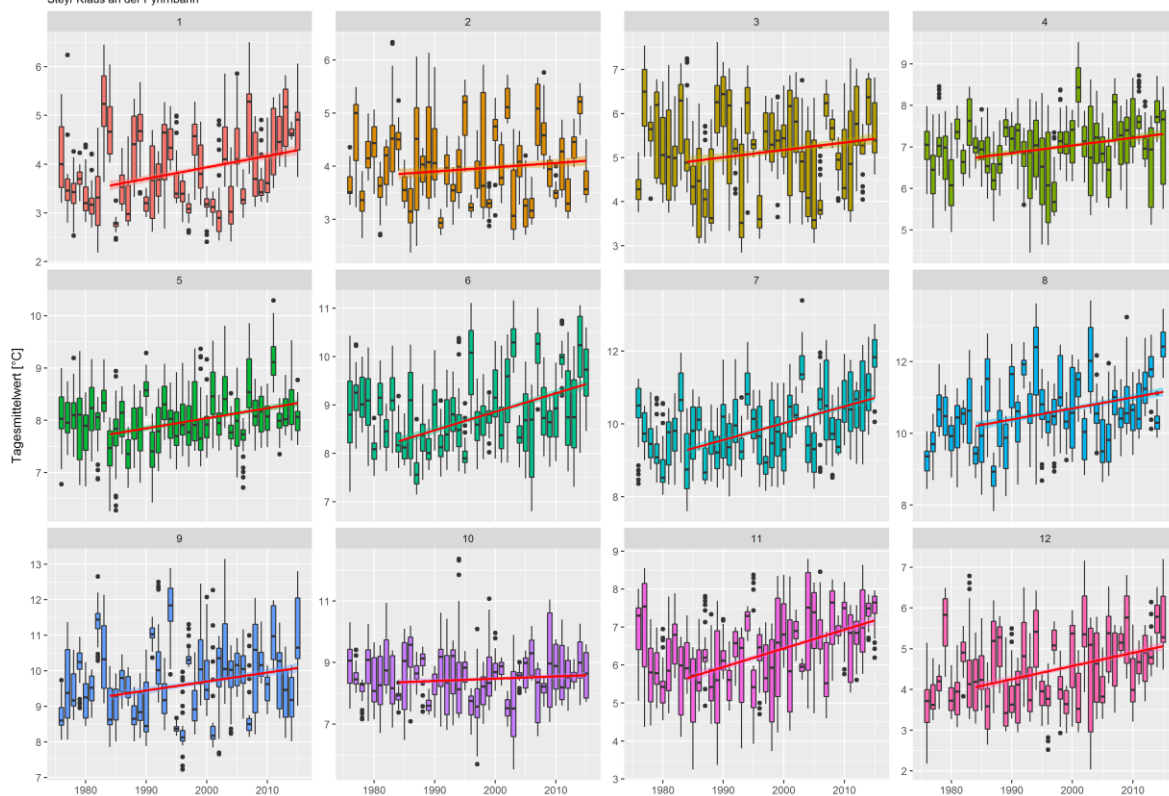
Prognose Wassertemperatur

Steyr - Klaus an der Pyhrnbahn

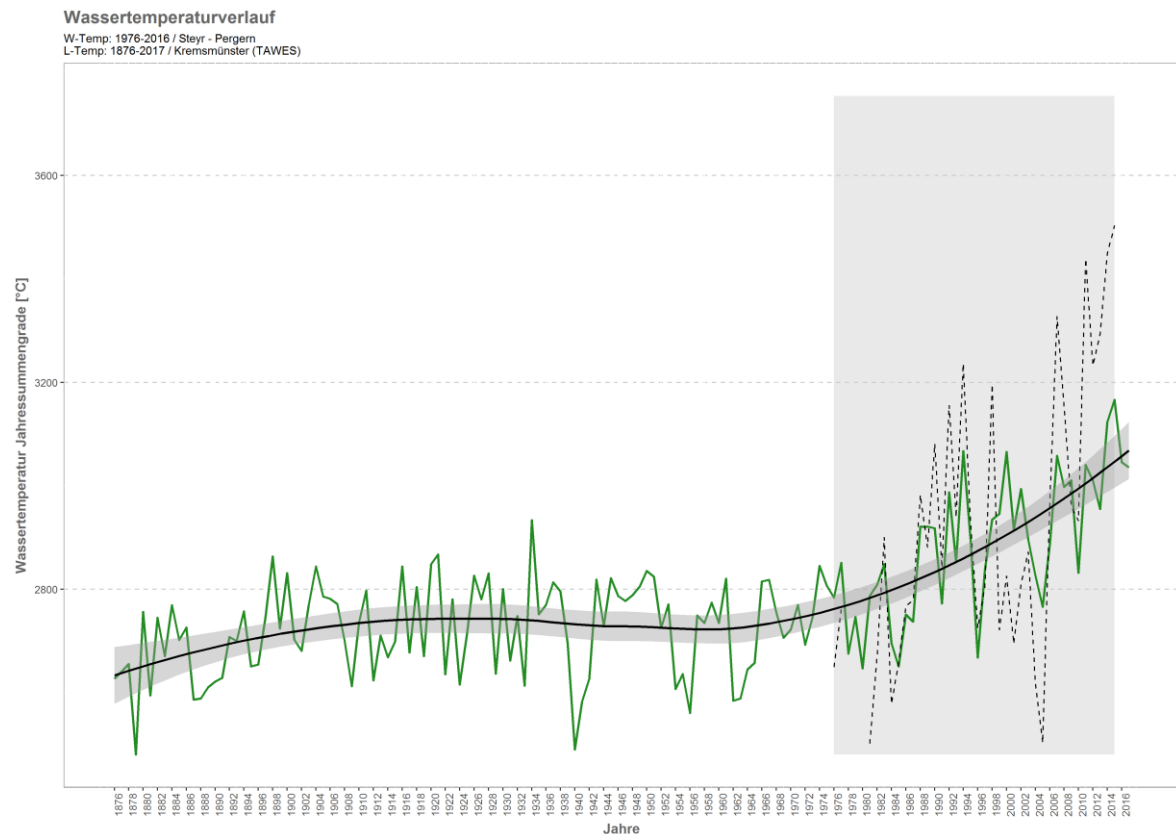
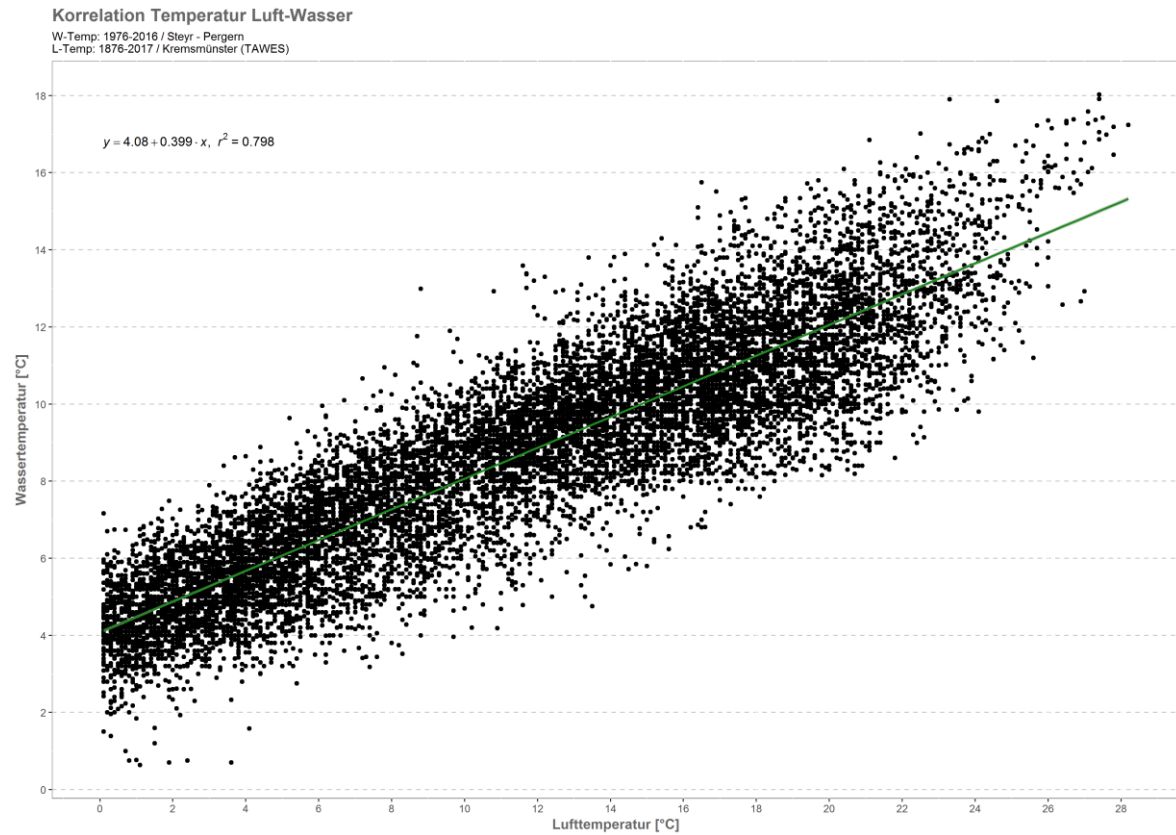


Monatsansicht der Tagesmittelwerte im Jahresverlauf

Steyr Klaus an der Pyhrnbahn

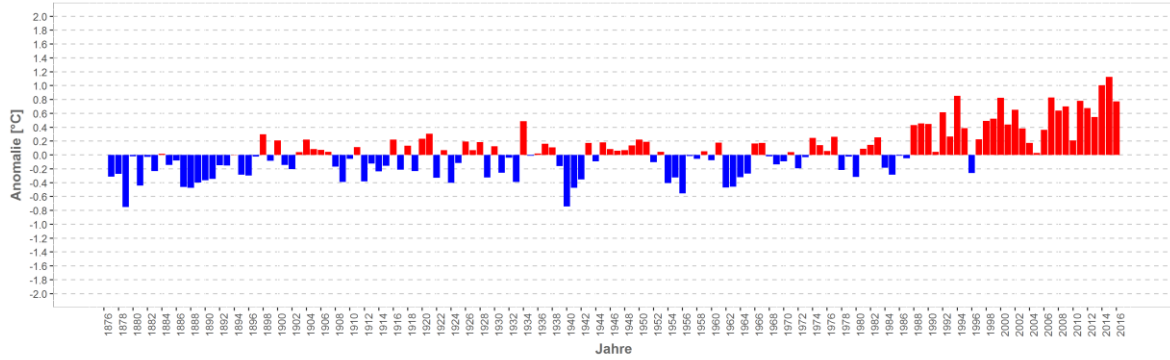


Steyr – Pergern

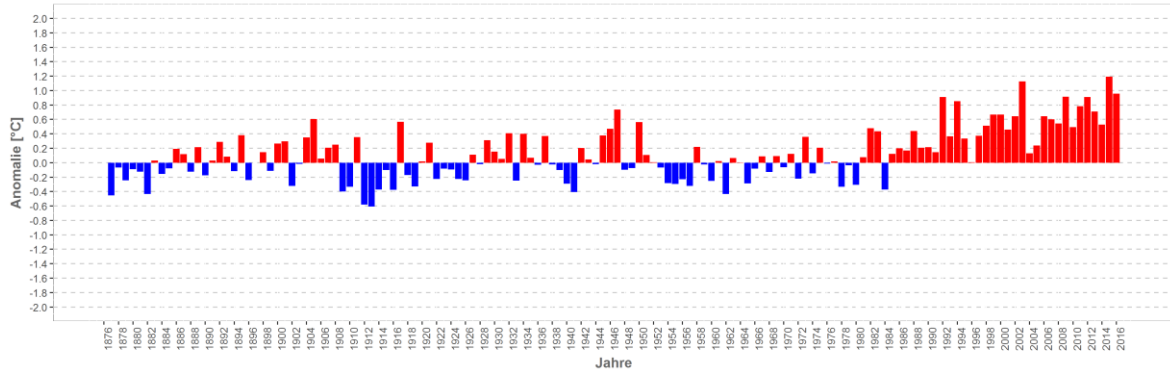


Wassertemperatur-Anomalie

Steyr - Pergern (1876-2017)
Referenz: 1961-1990

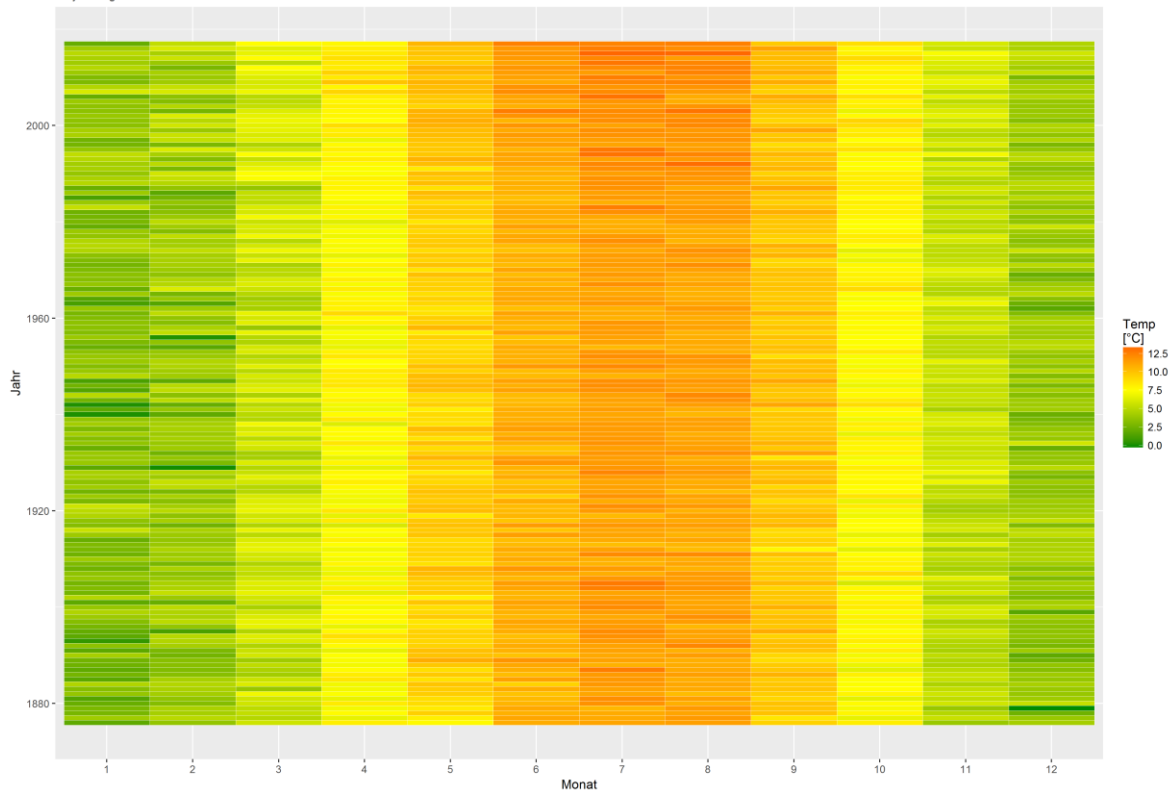


Sommermonate (Mai-Sept)



Monatsmittelwert

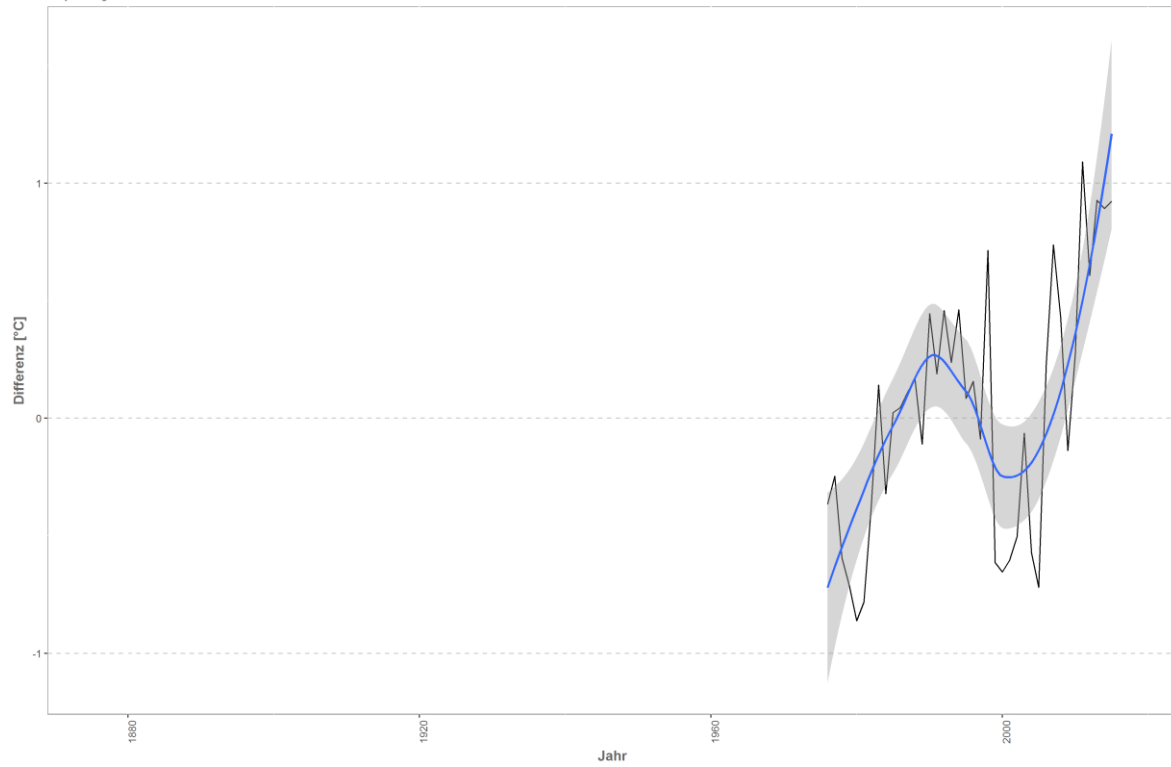
Steyr - Pergern



Differenzplot

tatsächlich gemessene Wassertemperatur zu Schätzwert der linearen Regression

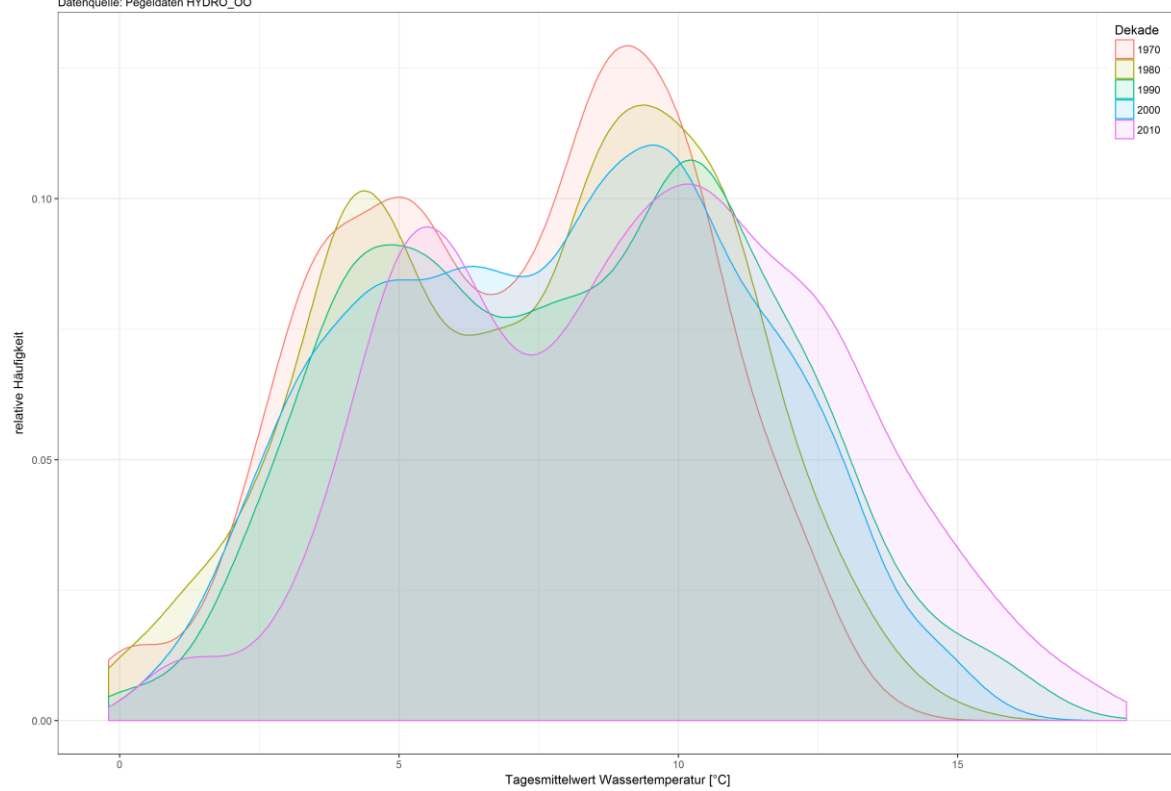
Steyr - Pergern



Häufigkeitsverteilung der Wassertemperaturen

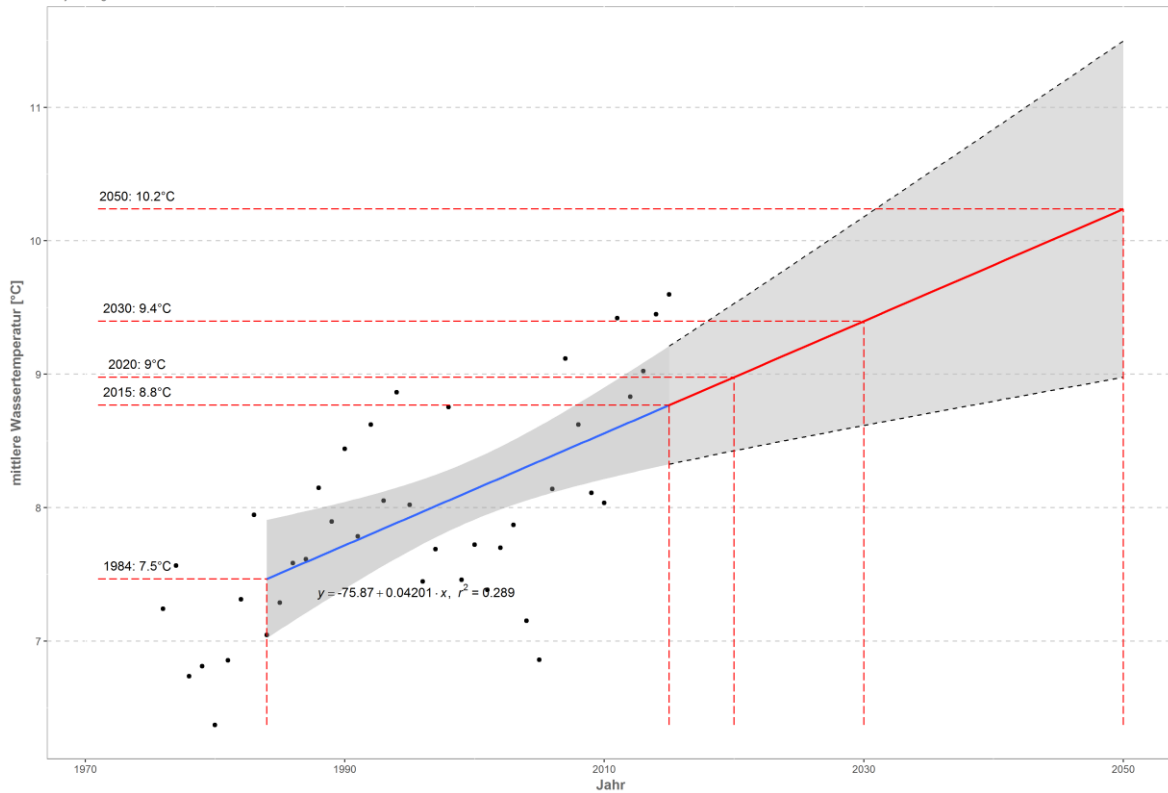
Steyr - Pergern

Datenquelle: Pegeldata HYDRO_OO



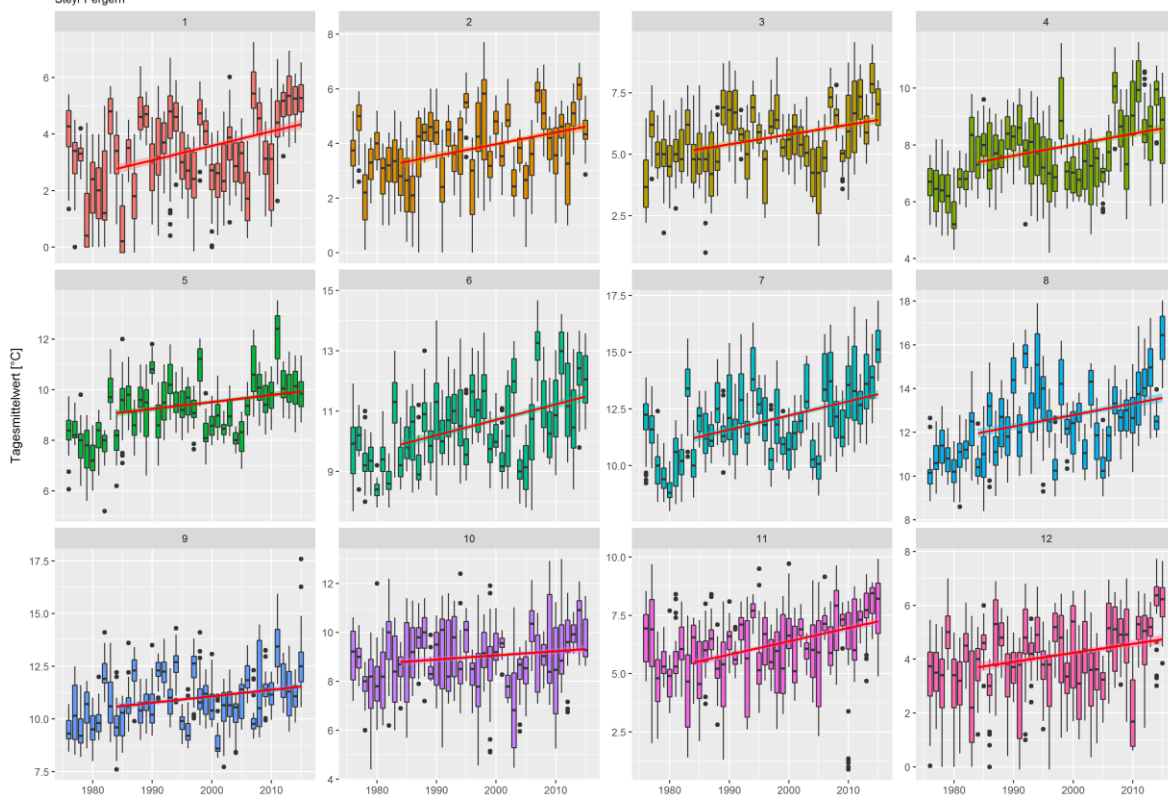
Prognose Wassertemperatur

Steyr - Pergern



Monatsansicht der Tagesmittelwerte im Jahresverlauf

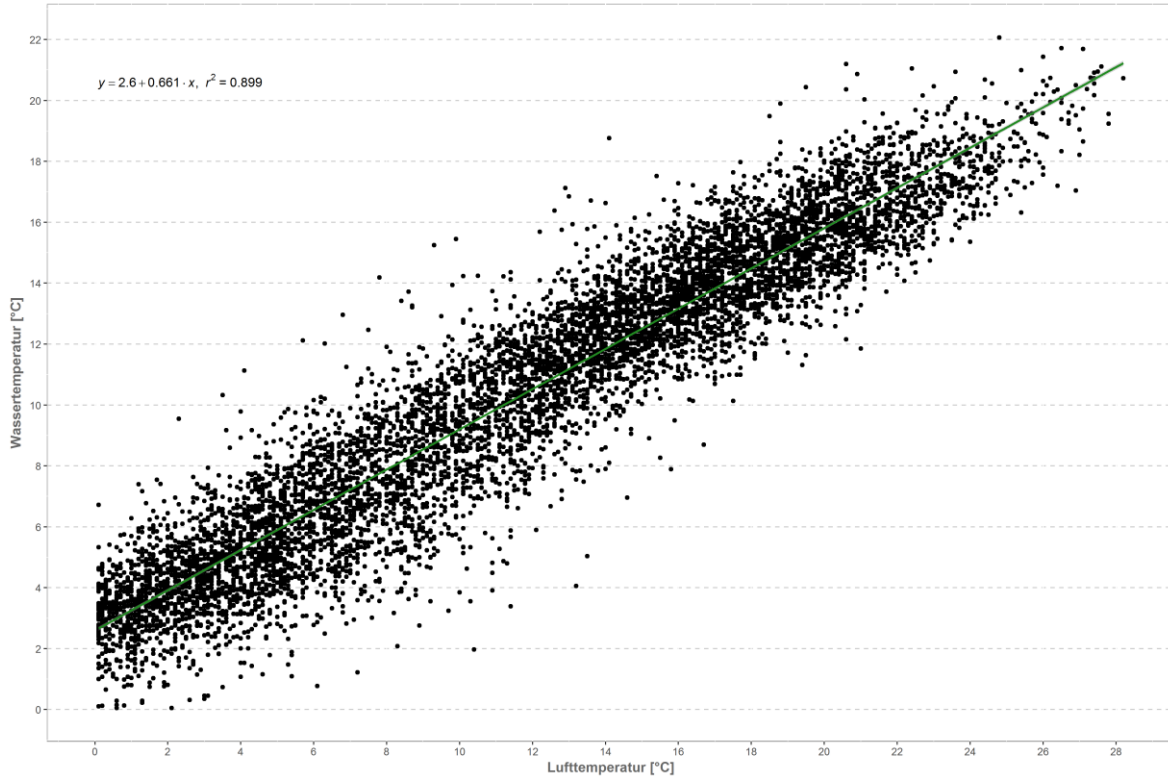
Steyr Pergern



Sulzbach – Unterrohr

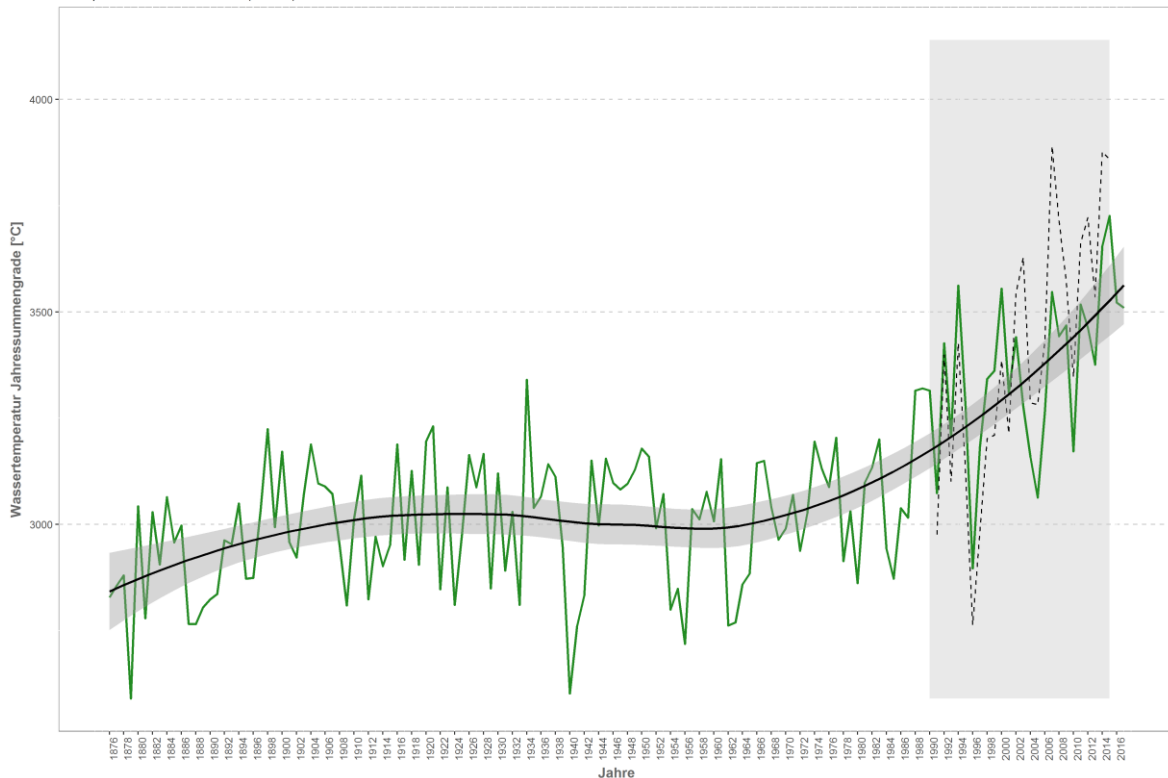
Korrelation Temperatur Luft-Wasser

W-Temp: 1990-2016 / Sulzbach - Unterrohr
L-Temp: 1876-2017 / Kremsmünster (TAWES)



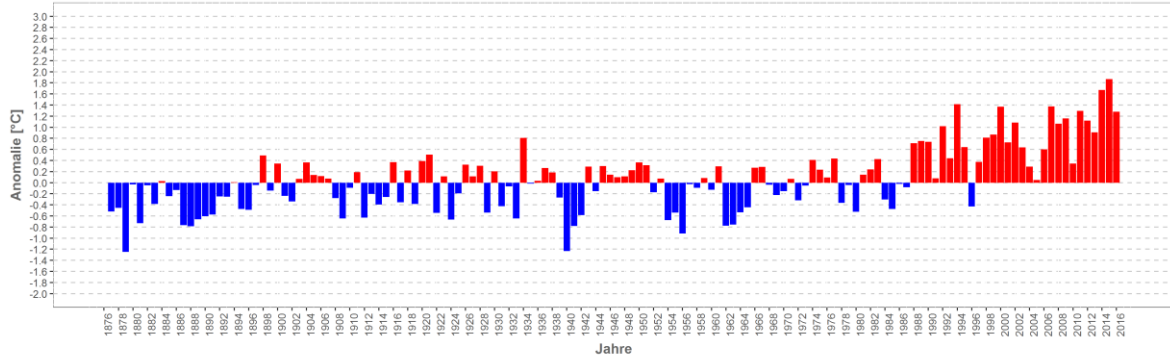
Wassertemperaturverlauf

W-Temp: 1990-2016 / Sulzbach - Unterrohr
L-Temp: 1876-2017 / Kremsmünster (TAWES)

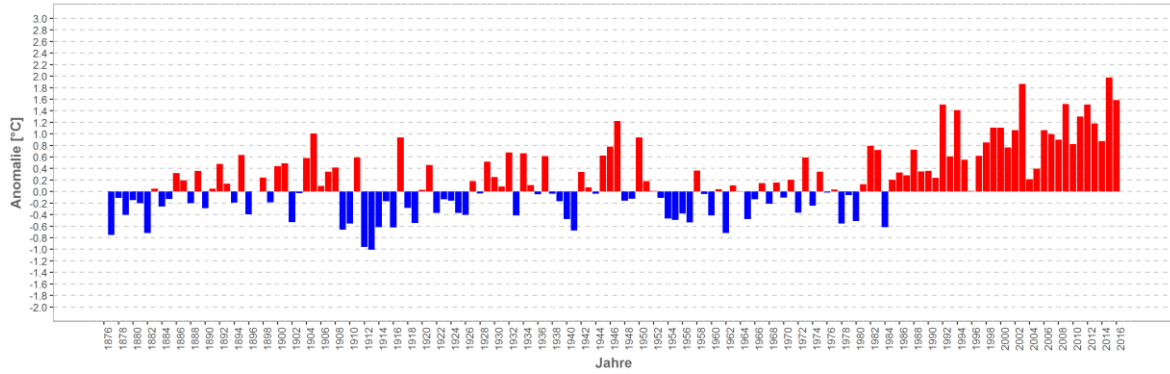


Wassertemperatur-Anomalie

Sulzbach - Unterrohr (1876-2017)
 Referenz: 1961-1990

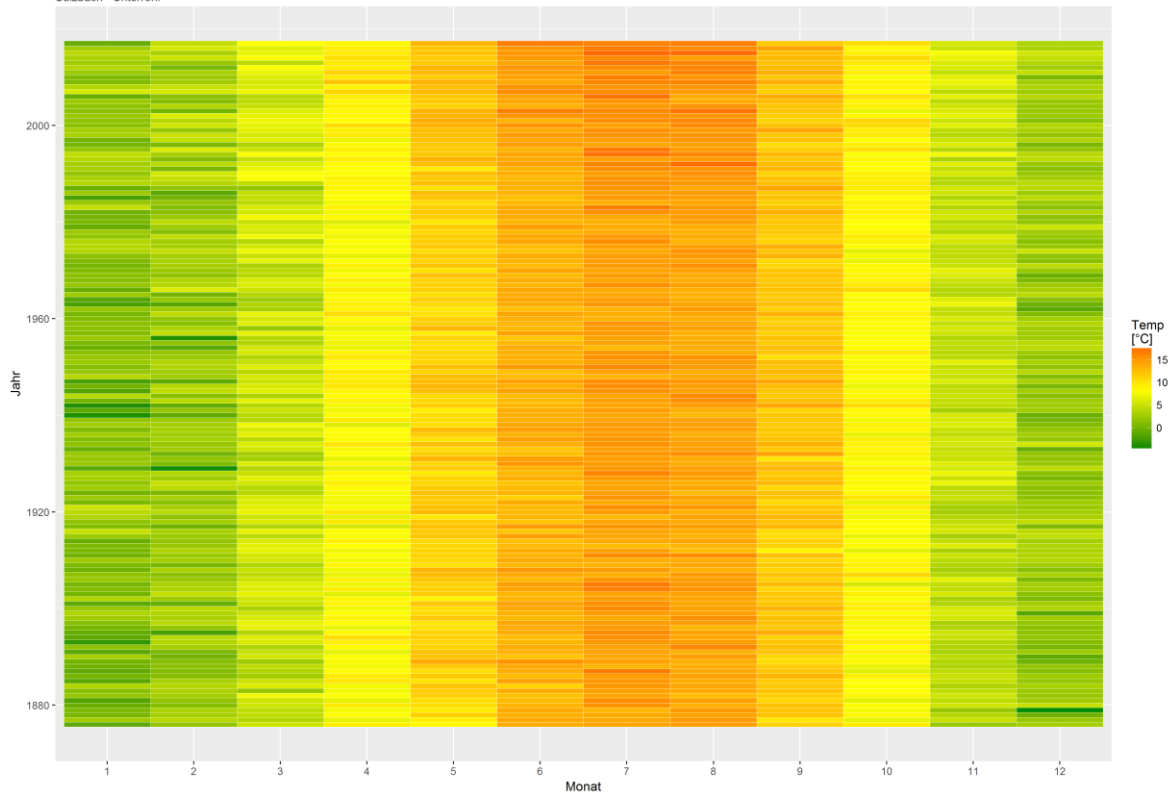


Sommermonate (Mai-Sept)



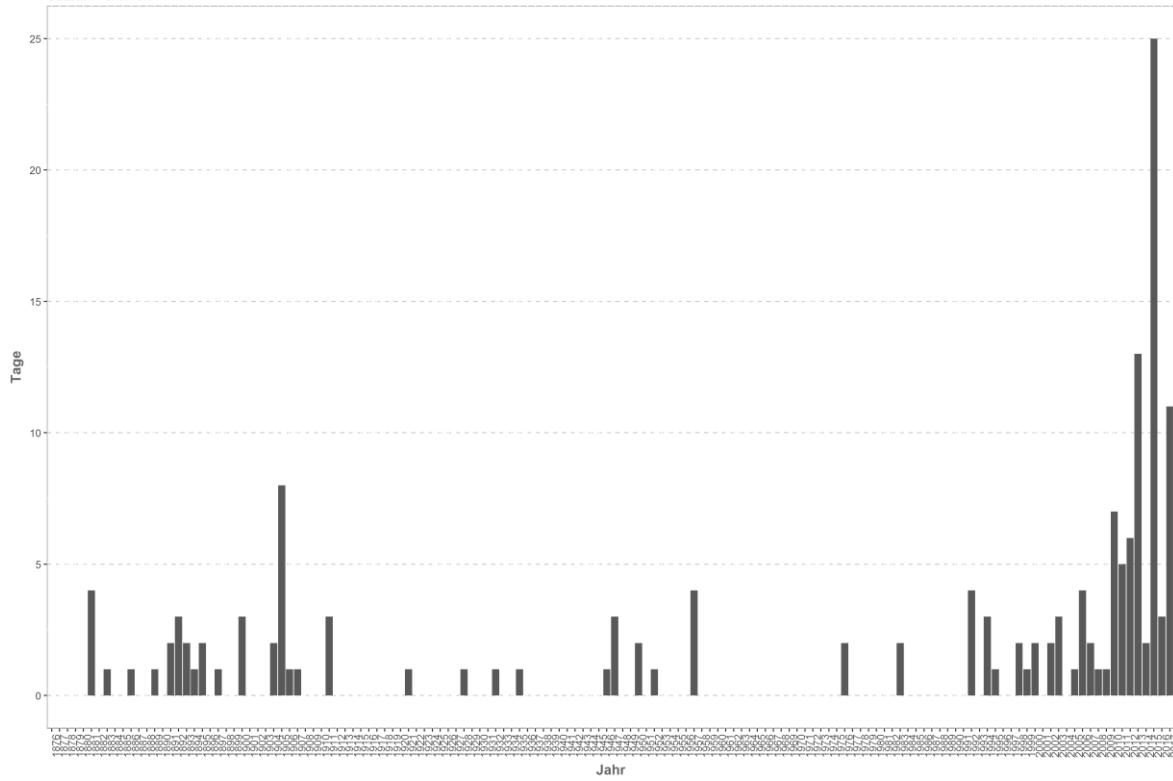
Monatsmittelwert

Sulzbach - Unterrohr



Temperaturüberschreitungen

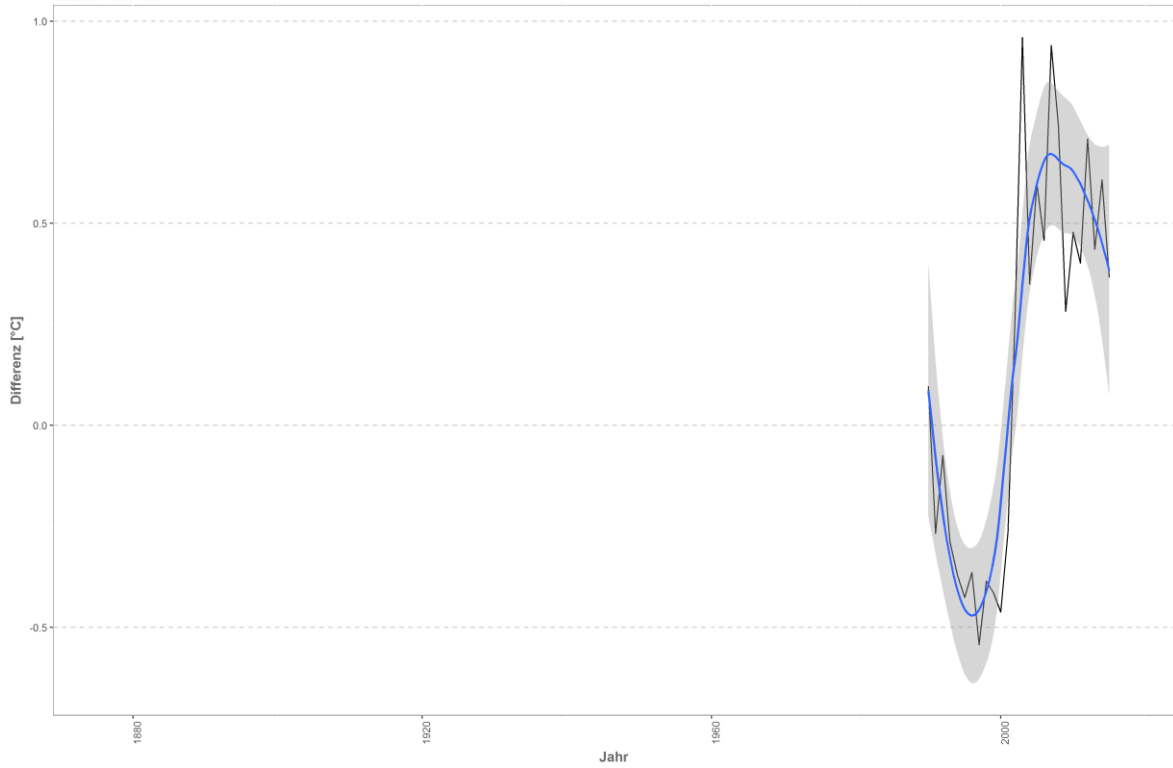
der Grenze sehr gut - gut
Sulzbach - Unterrohr



Differenzplot

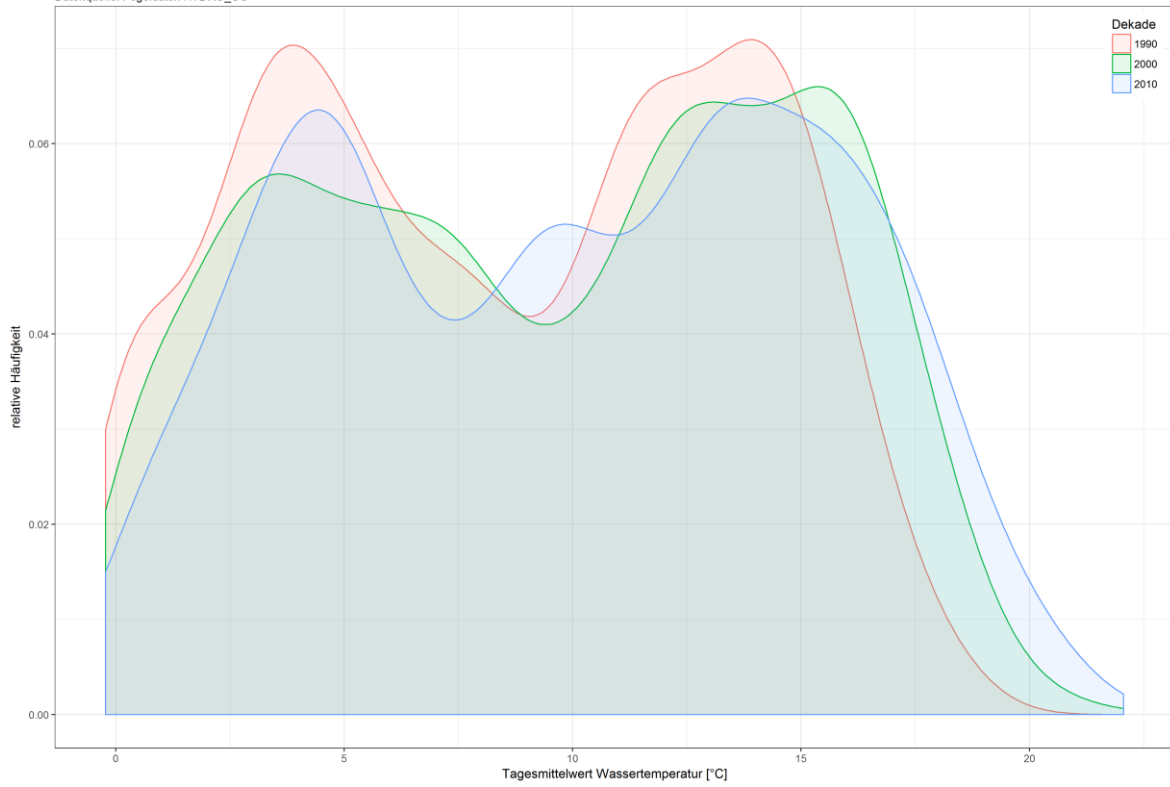
tatsächlich gemessene Wassertemperatur zu Schätzwert der linearen Regression

Sulzbach - Unterrohr



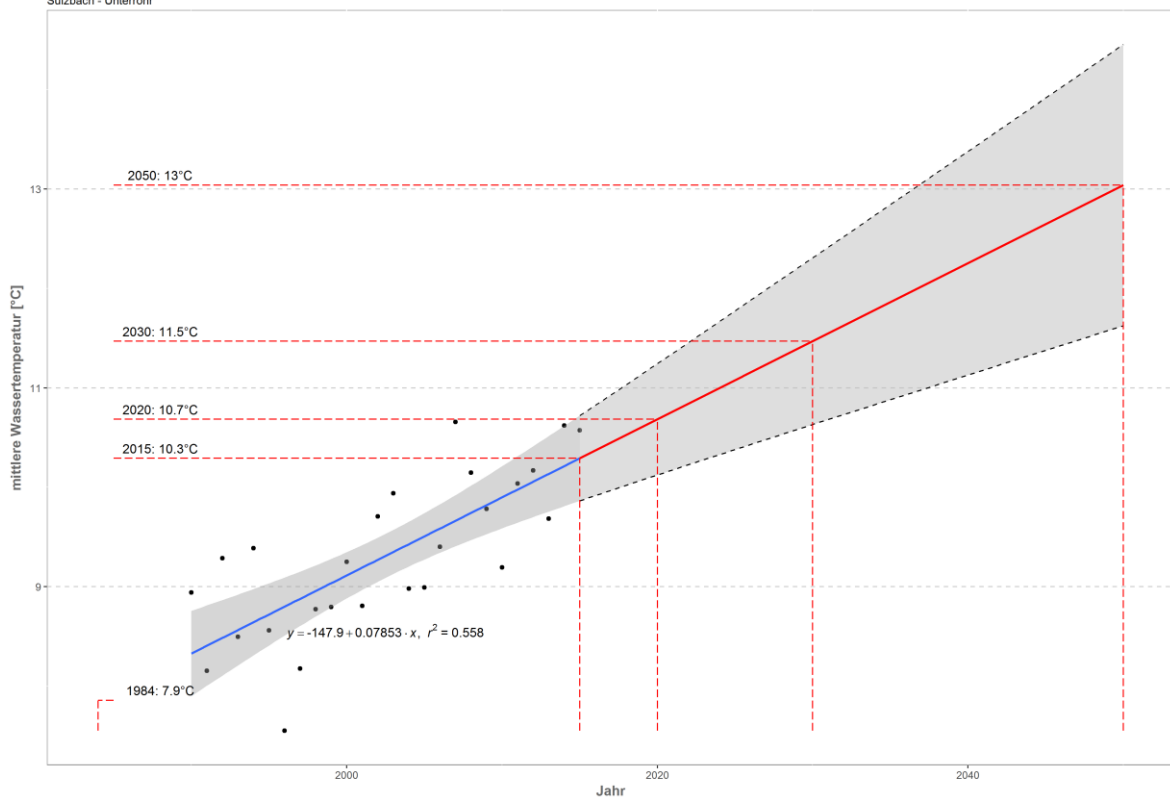
Häufigkeitsverteilung der Wassertemperaturen

Sulzbach - Unterrohr
Datenquelle: Pegeldaten HYDRO_OO



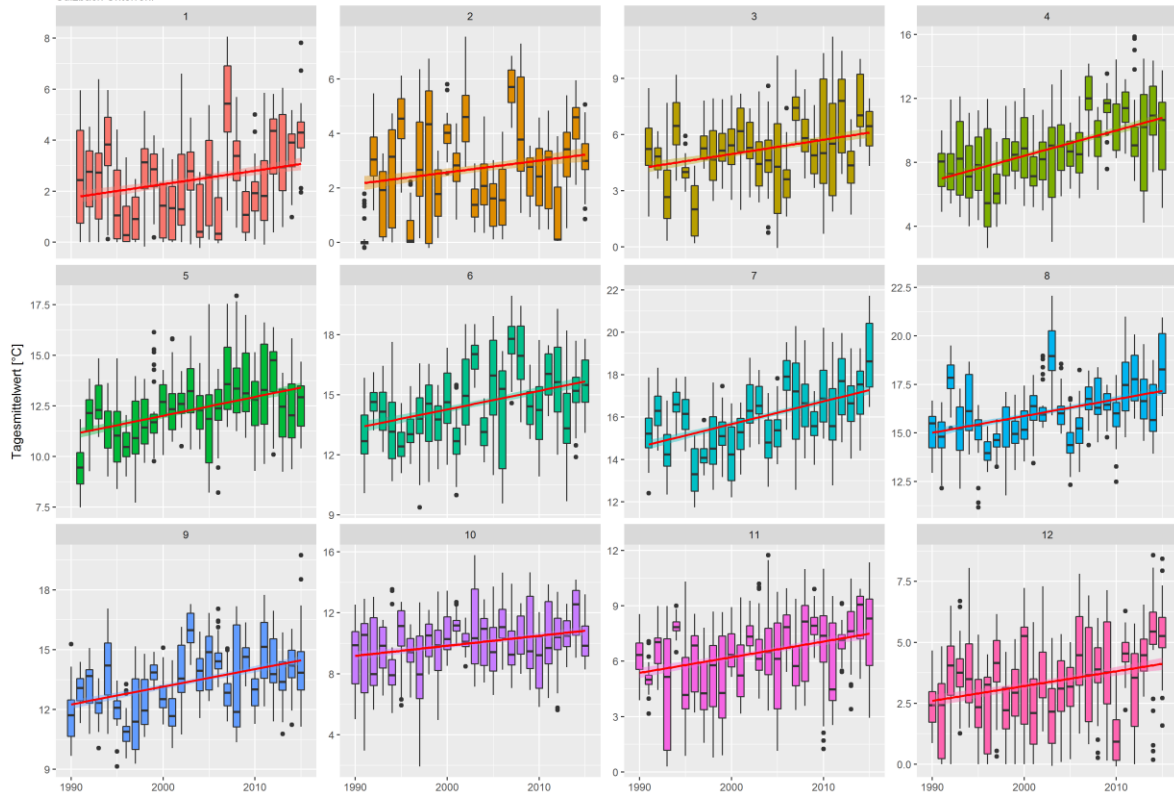
Prognose Wassertemperatur

Sulzbach - Unterrohr



Monatsansicht der Tagesmittelwerte im Jahresverlauf

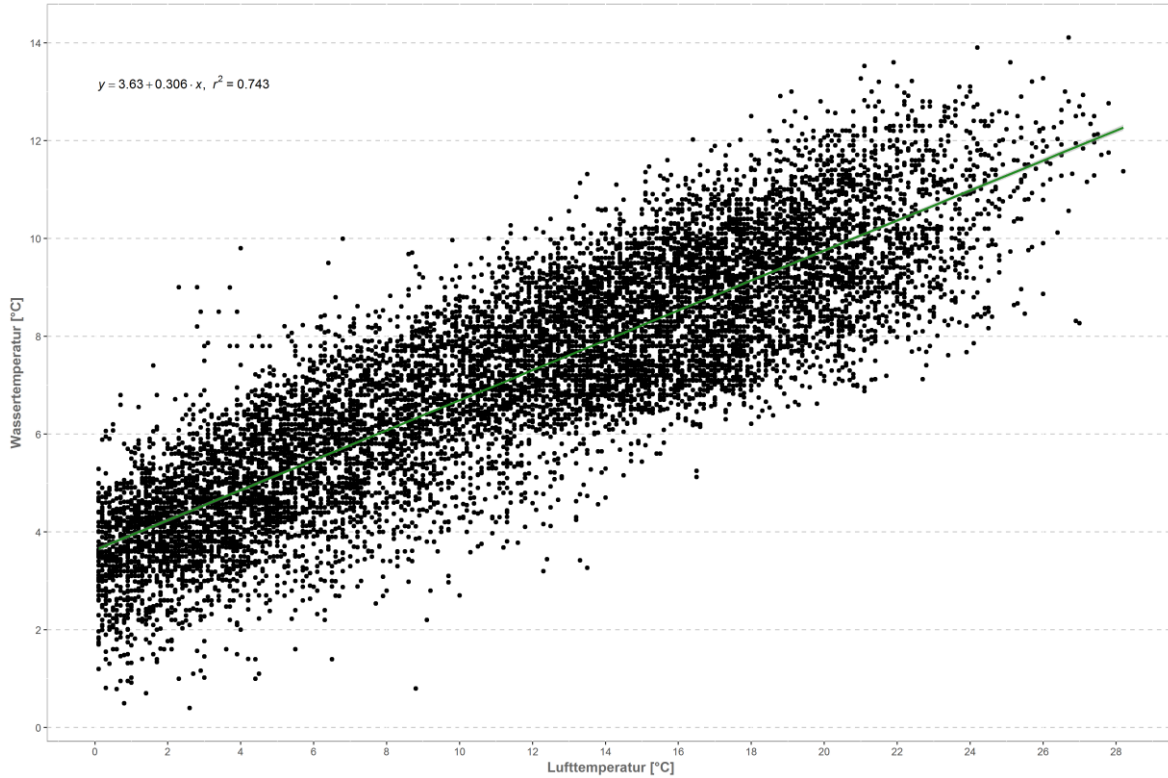
Sulzbach Unterrohr



Teichl – Teichlbrücke<

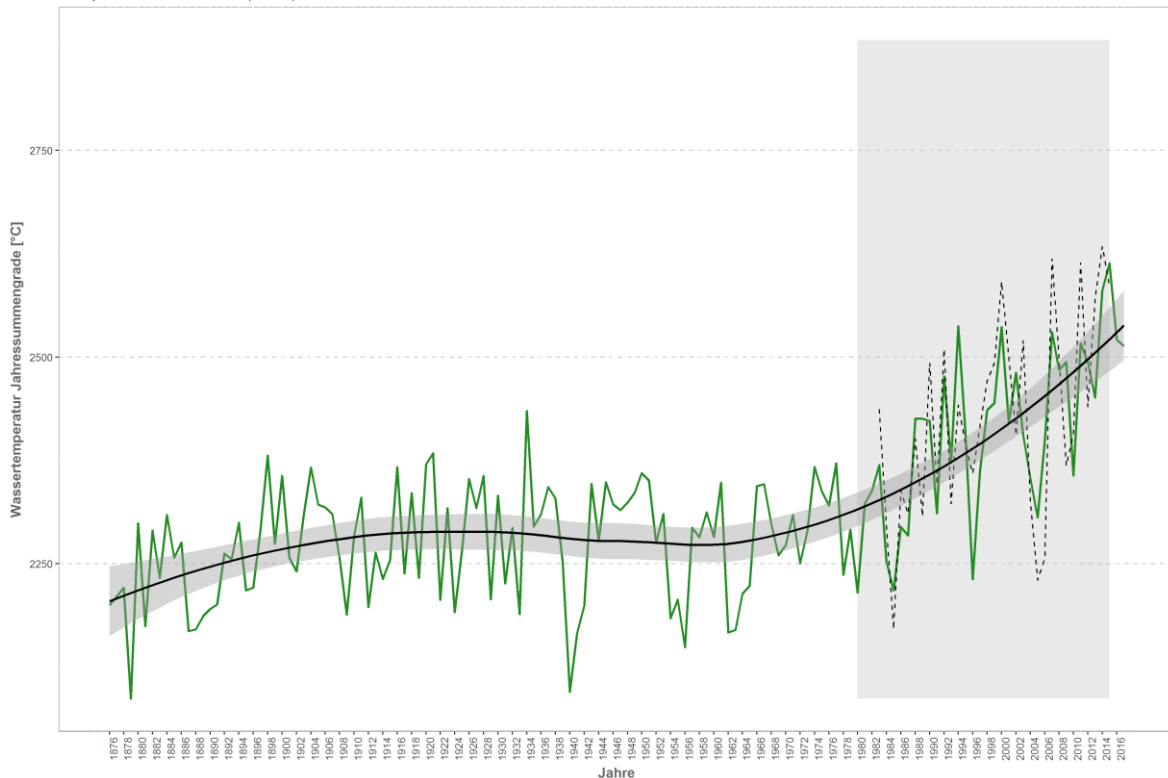
Korrelation Temperatur Luft-Wasser

W-Temp: 1980-2016 / Teichl - Teichlbrücke
L-Temp: 1876-2017 / Kremsmünster (TAWES)



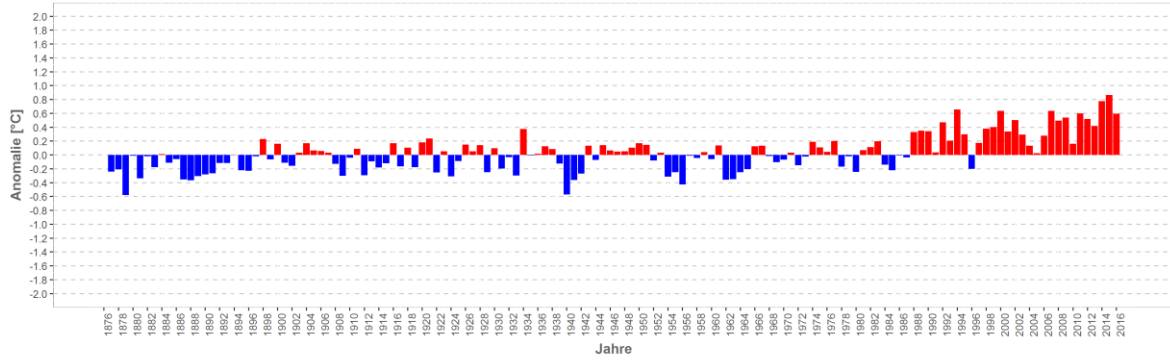
Wassertemperaturverlauf

W-Temp: 1980-2016 / Teichl - Teichlbrücke
L-Temp: 1876-2017 / Kremsmünster (TAWES)

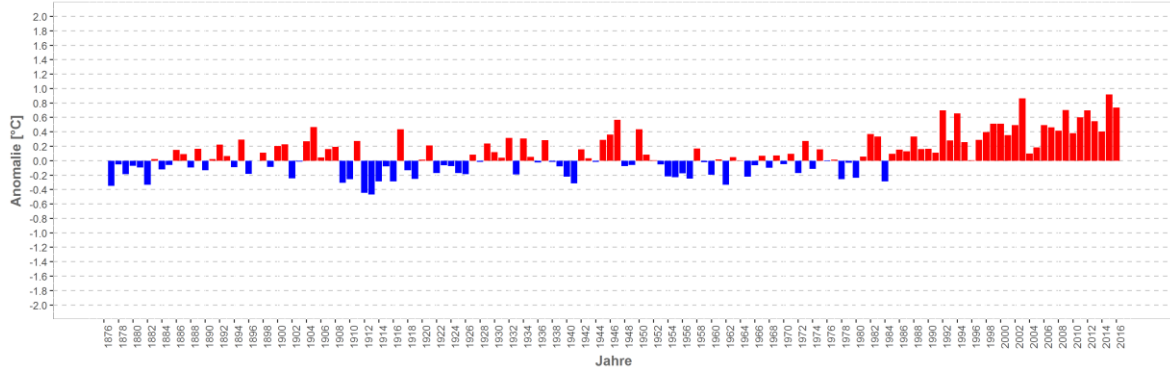


Wassertemperatur-Anomalie

Teichl - Teichbrücke (1876-2017)
Referenz: 1961-1990

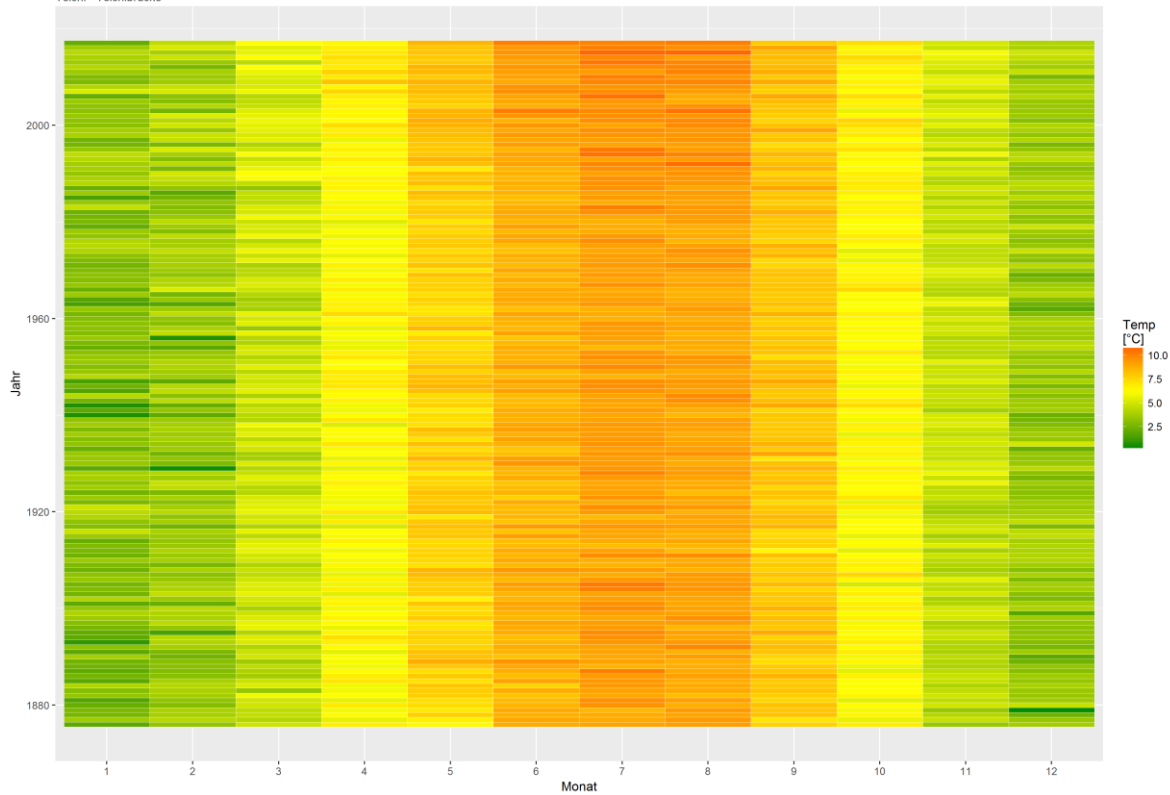


Sommermonate (Mai-Sept)



Monatsmittelwert

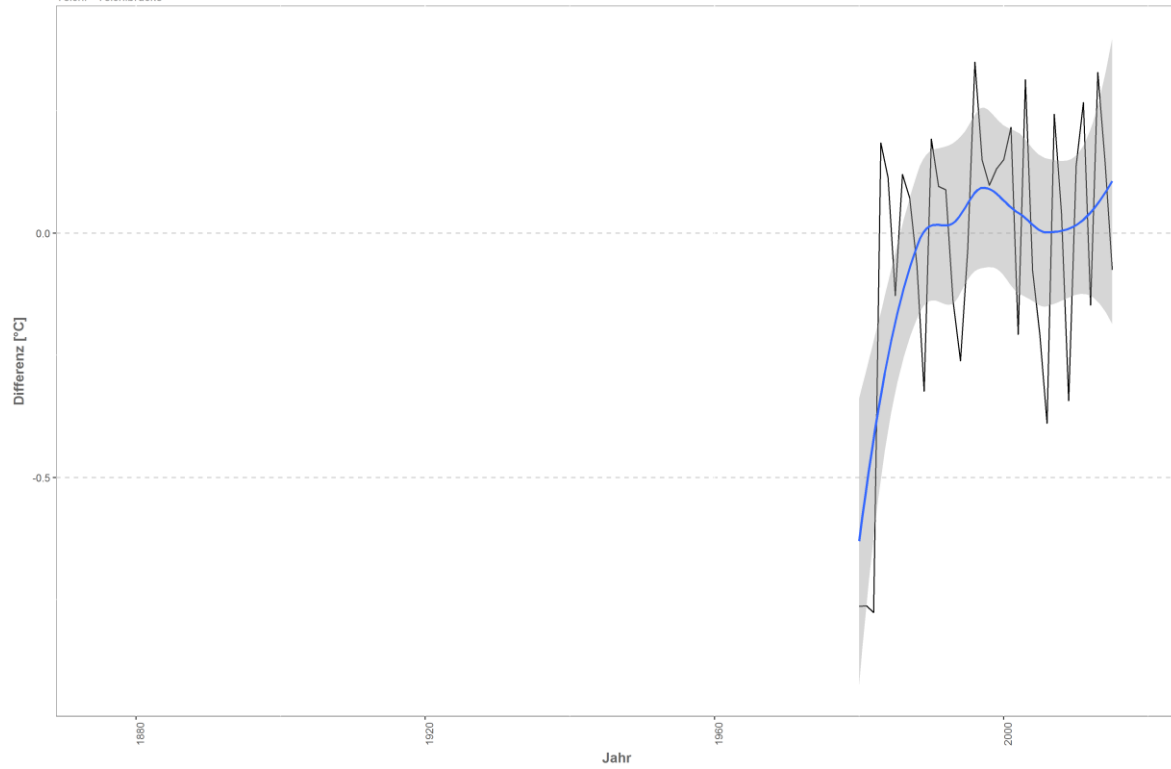
Teichl - Teichbrücke



Differenzplot

tatsächlich gemessene Wassertemperatur zu Schätzwert der linearen Regression

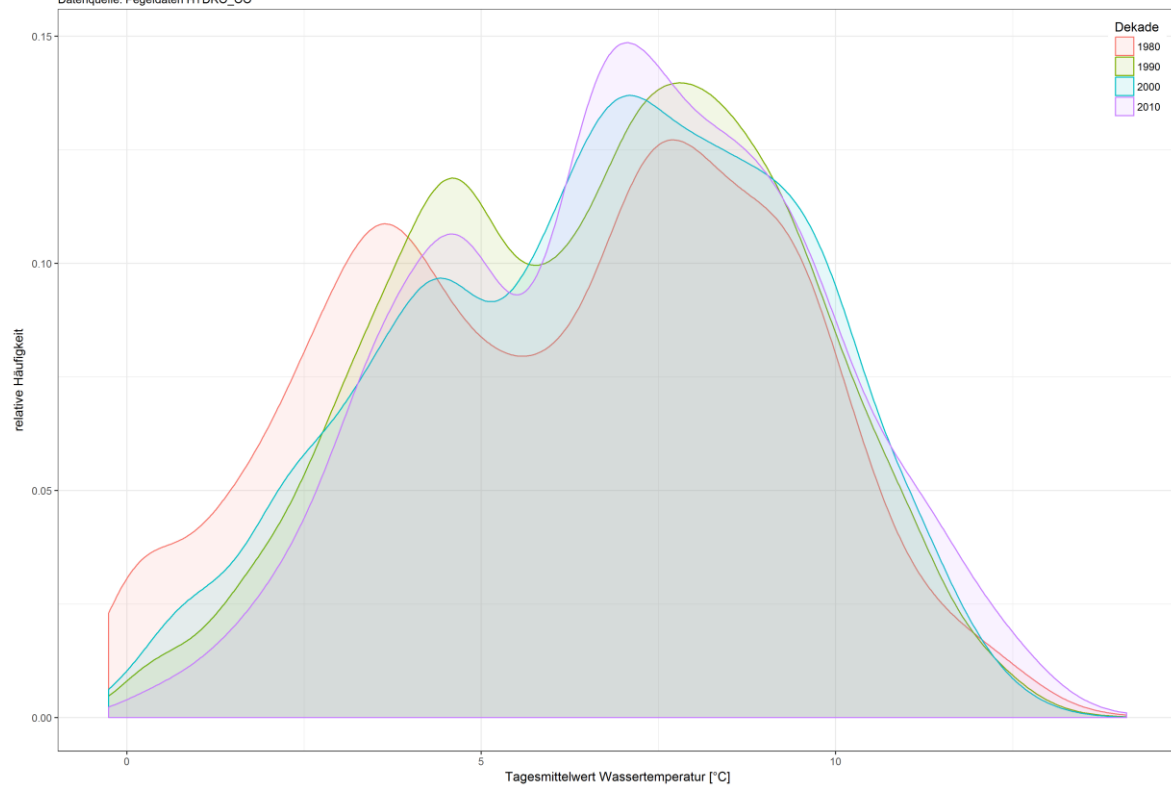
Teichl - Teichbrücke



Häufigkeitsverteilung der Wassertemperaturen

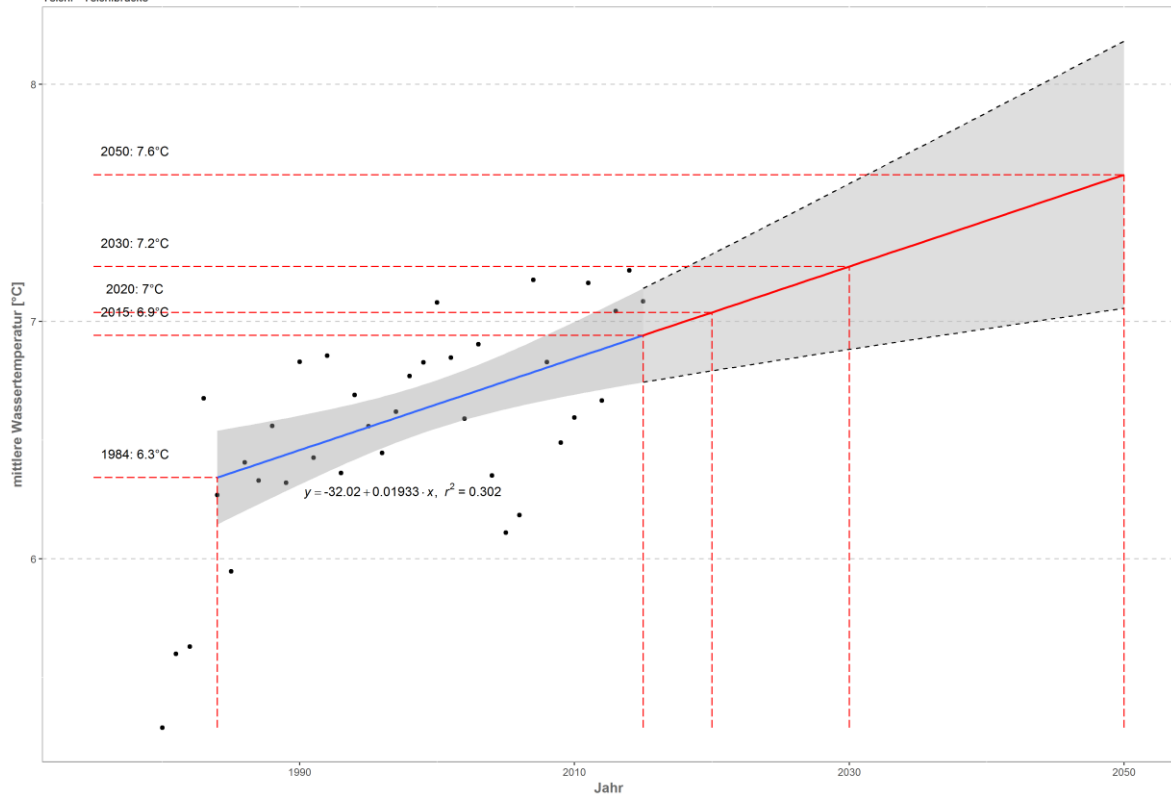
Teichl - Teichbrücke

Datenquelle: Pegeldaten HYDRO_OO



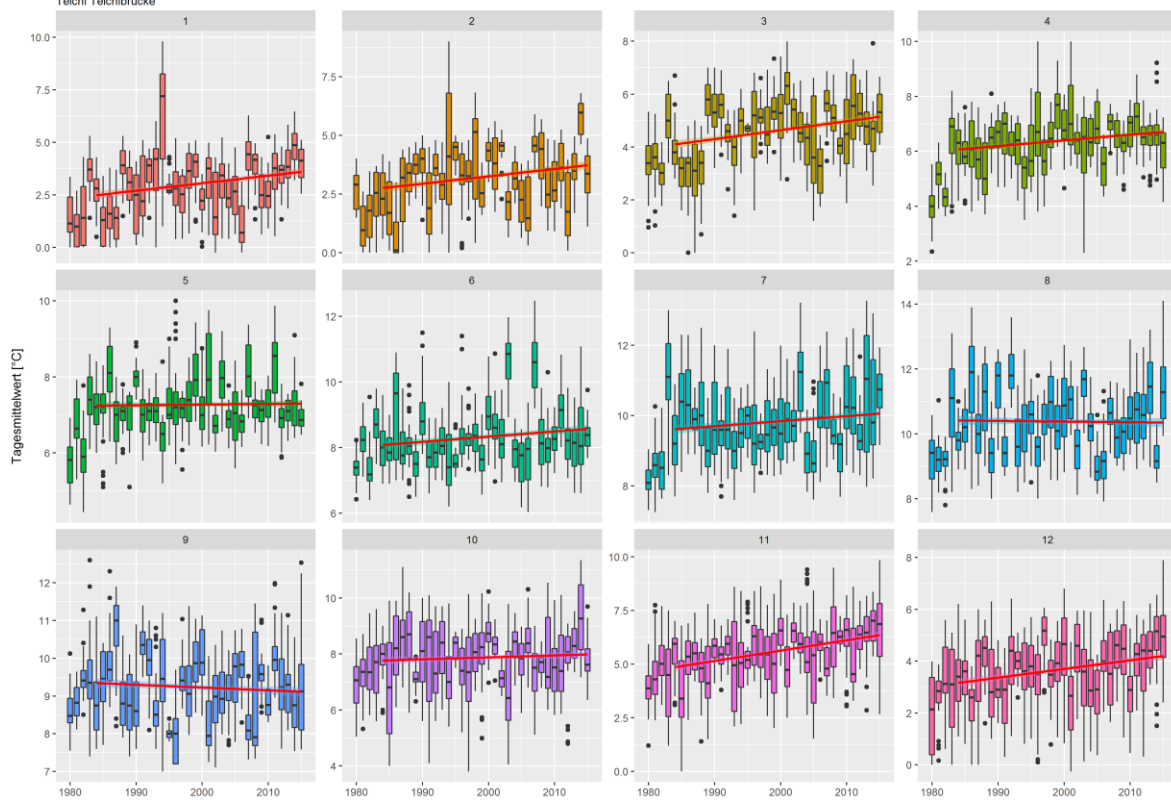
Prognose Wassertemperatur

Teichl - Teichbrücke

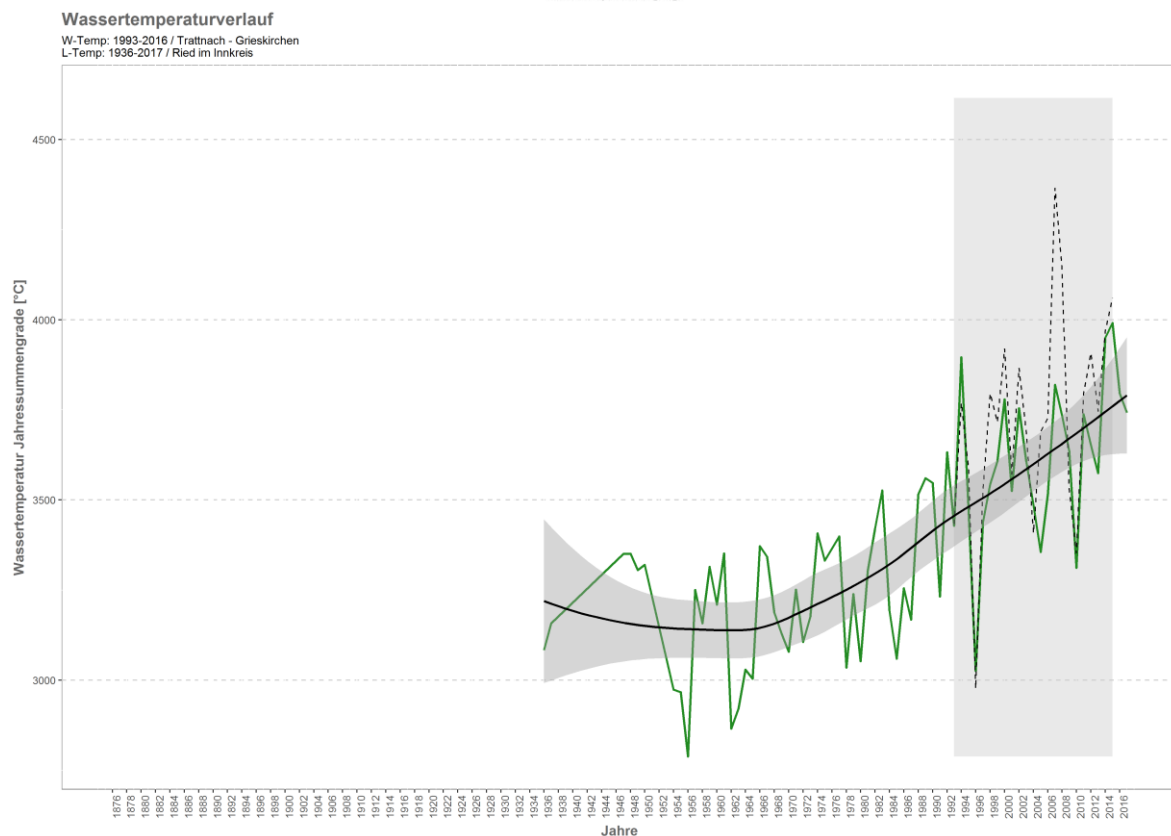
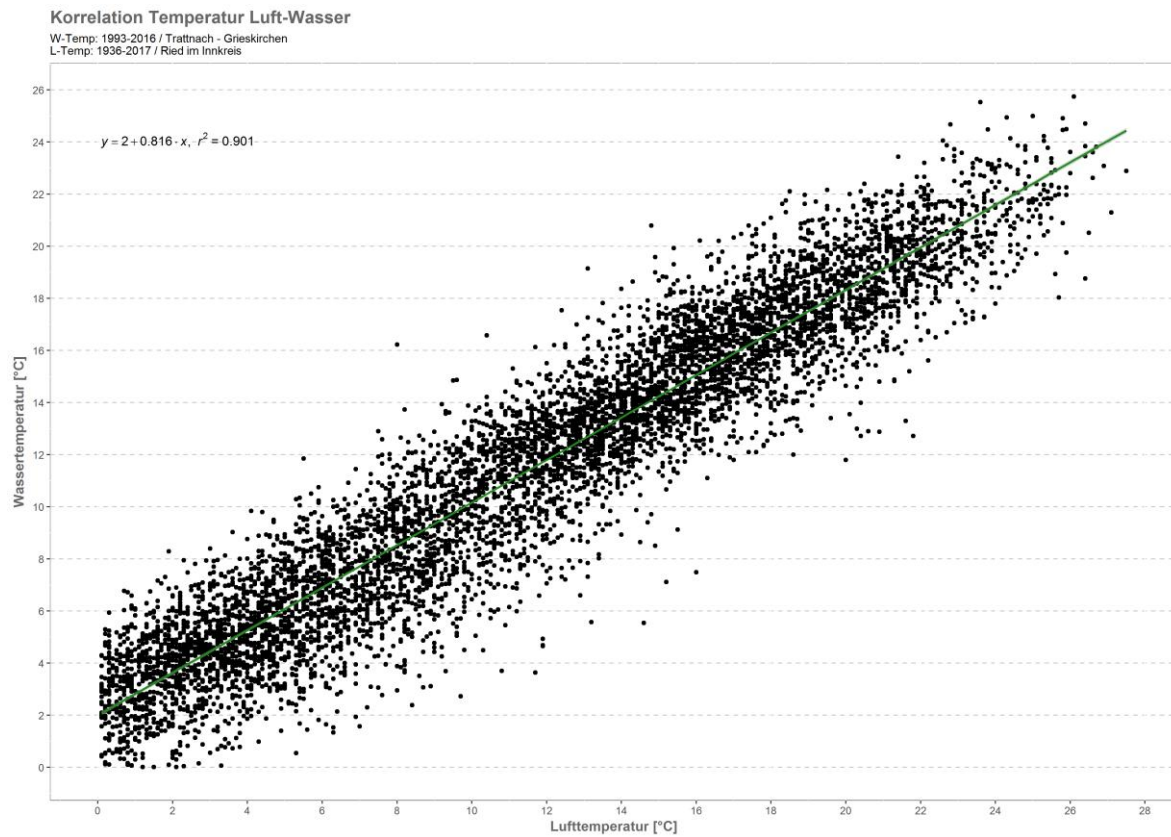


Monatsansicht der Tagesmittelwerte im Jahresverlauf

Teichl Teichbrücke

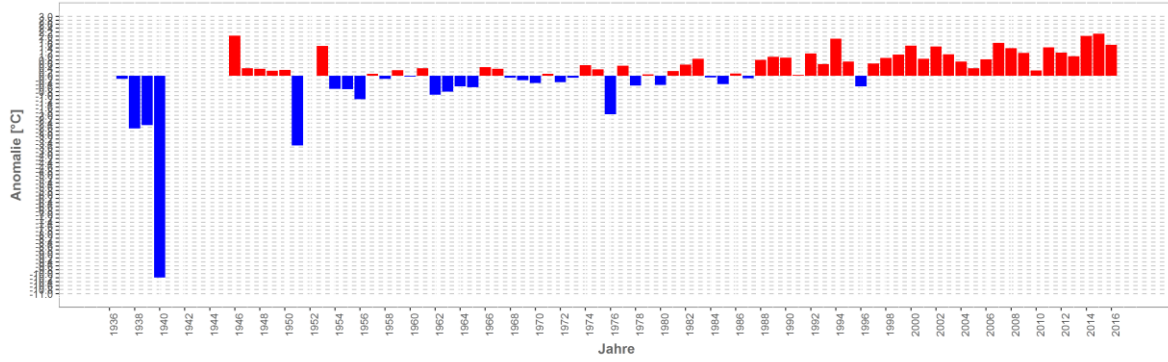


Trattnach – Grieskirchen

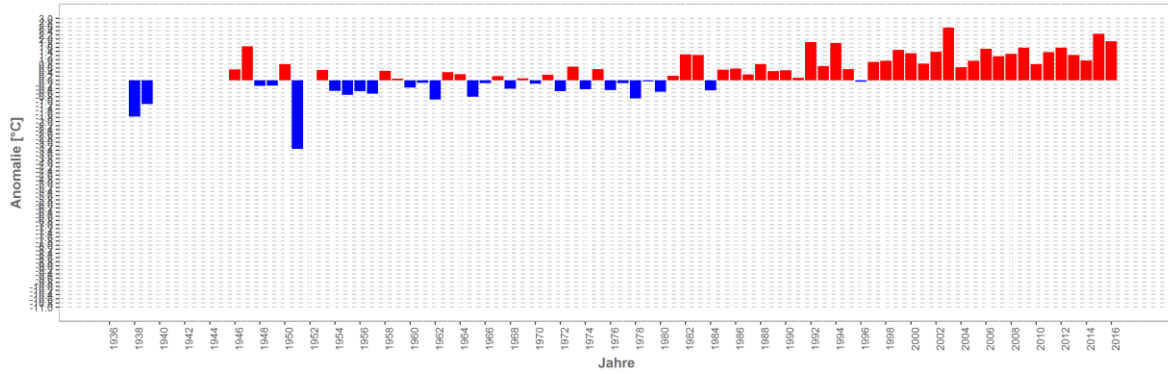


Wassertemperatur-Anomalie

Trattnach - Grieskirchen (1936-2017)
Referenz: 1961-1990

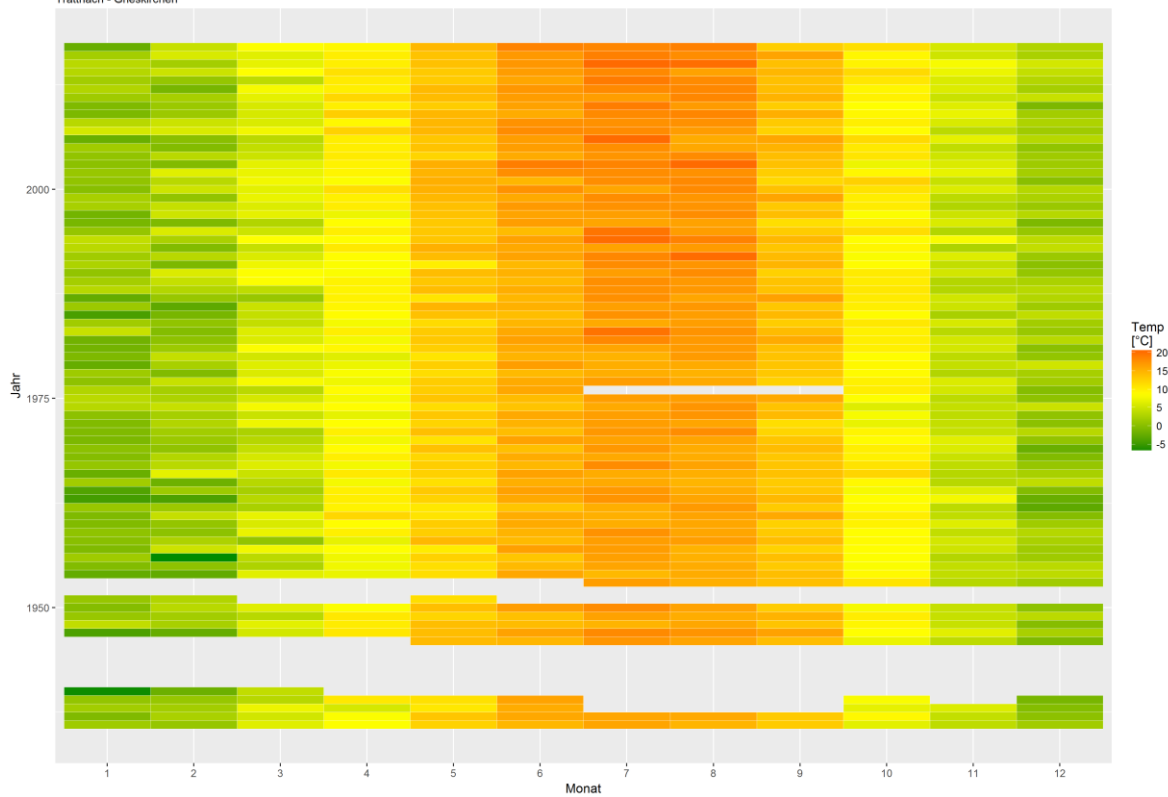


Sommermonate (Mai-Sept)



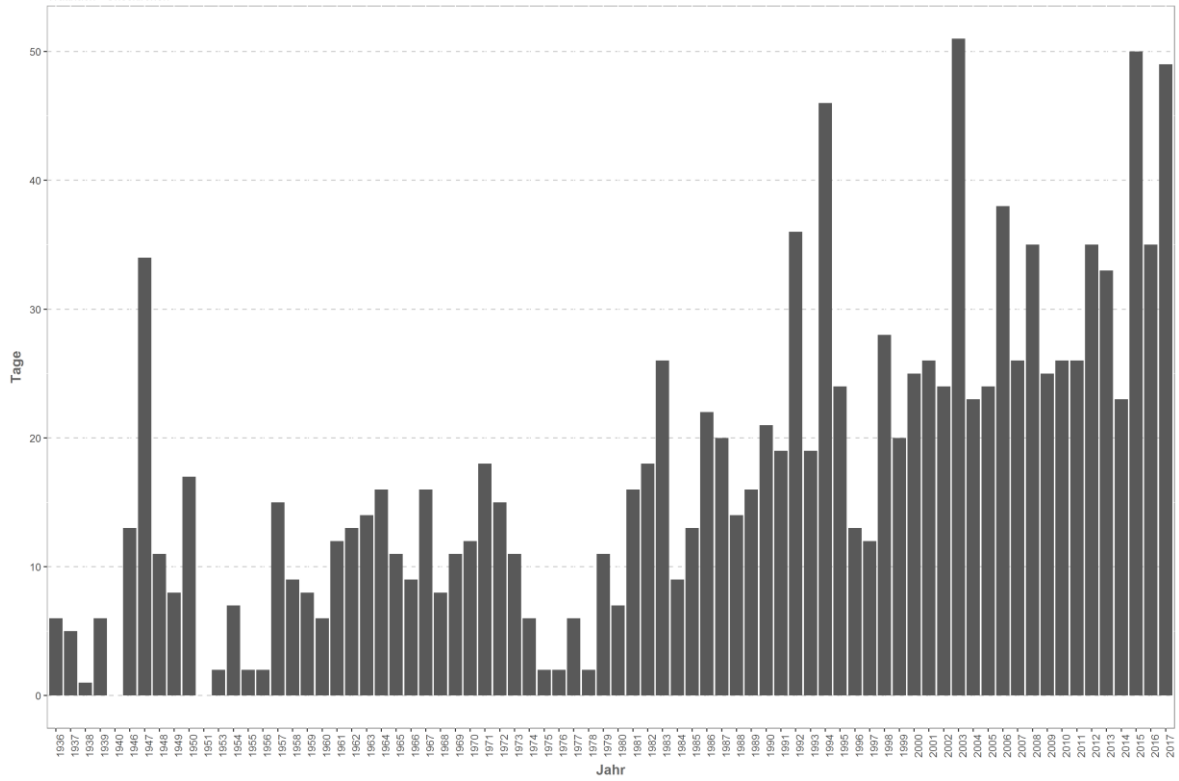
Monatsmittelwert

Trattnach - Grieskirchen



Temperaturüberschreitungen

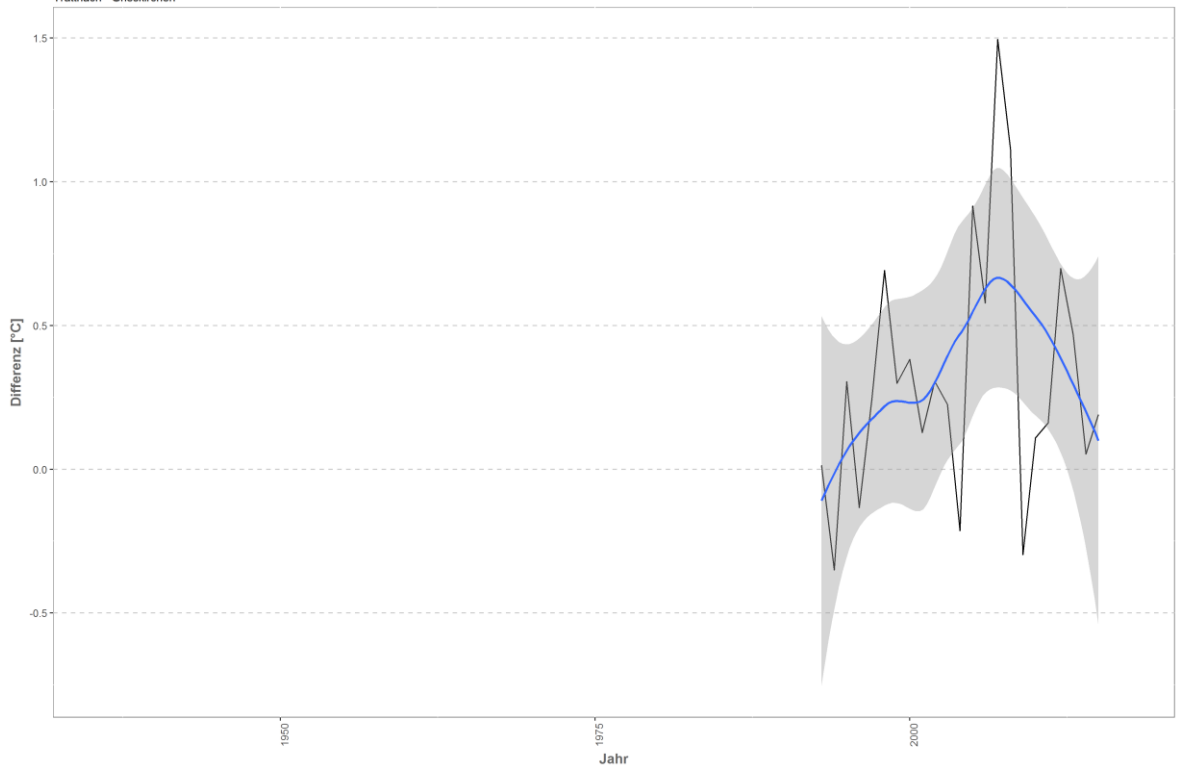
der Grenze sehr gut - gut
Trattnach - Grieskirchen



Differenzplot

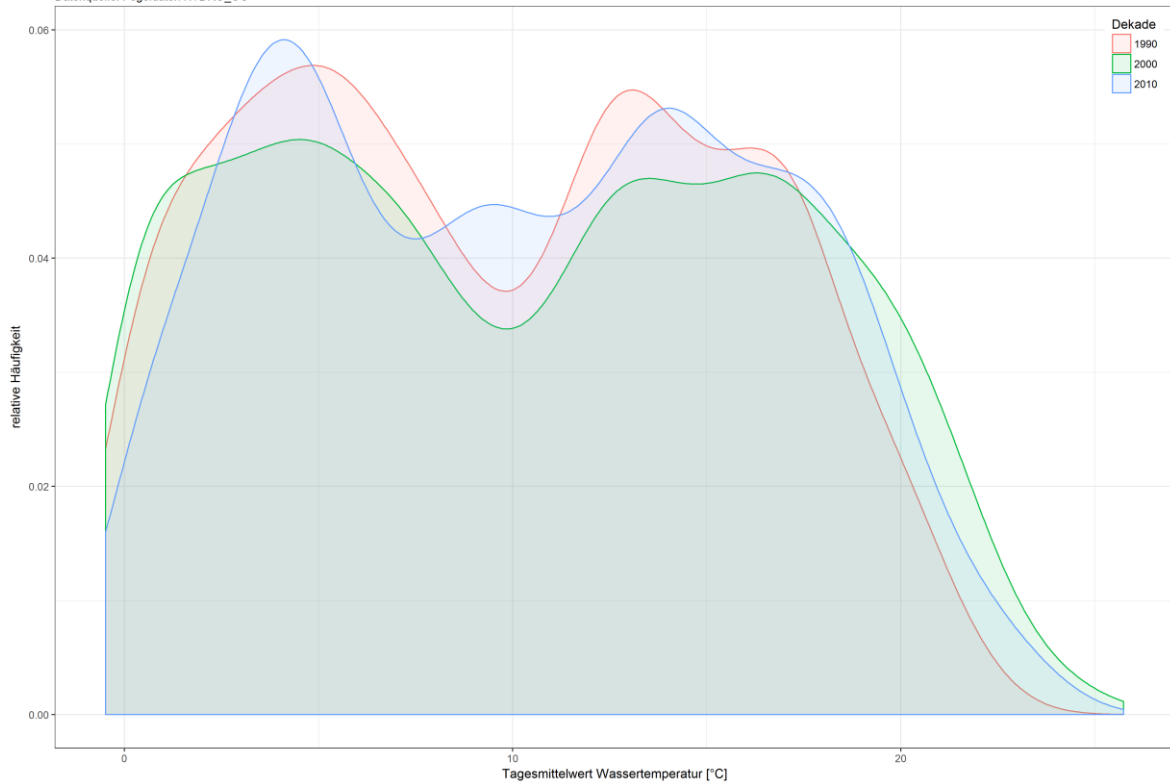
tatsächlich gemessene Wassertemperatur zu Schätzwert der linearen Regression

Trattnach - Grieskirchen



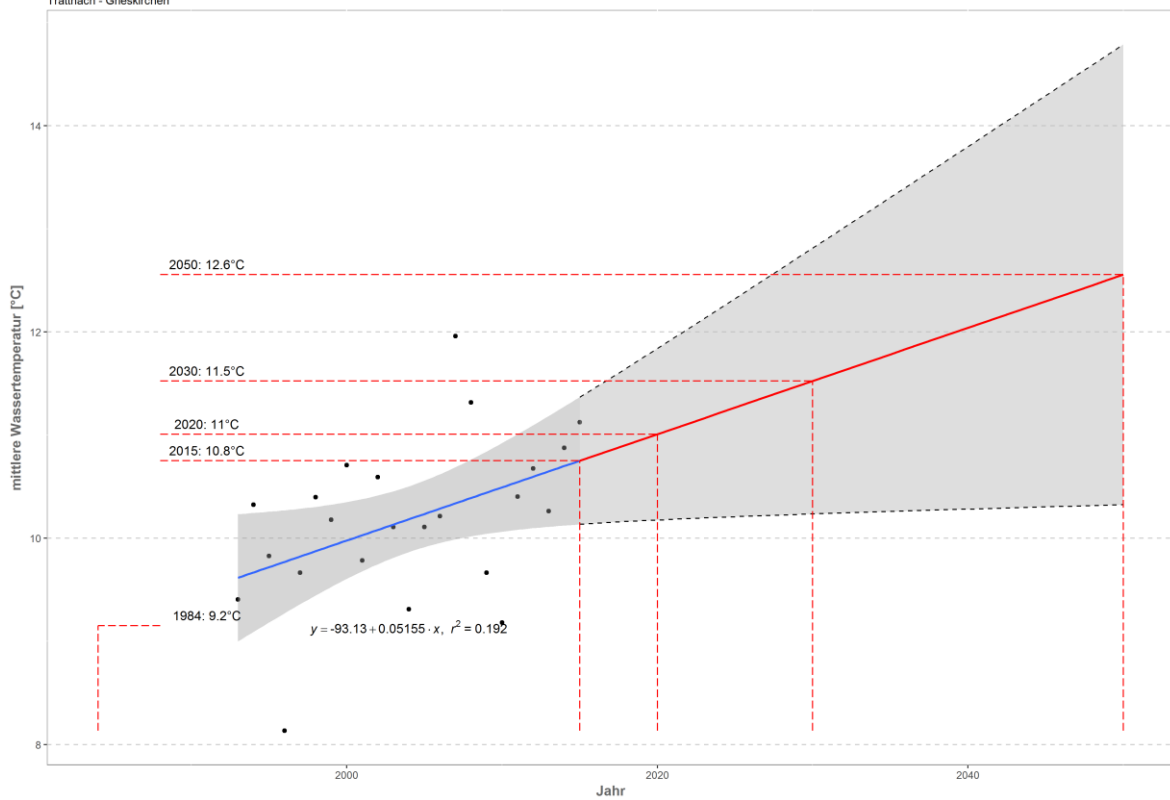
Häufigkeitsverteilung der Wassertemperaturen

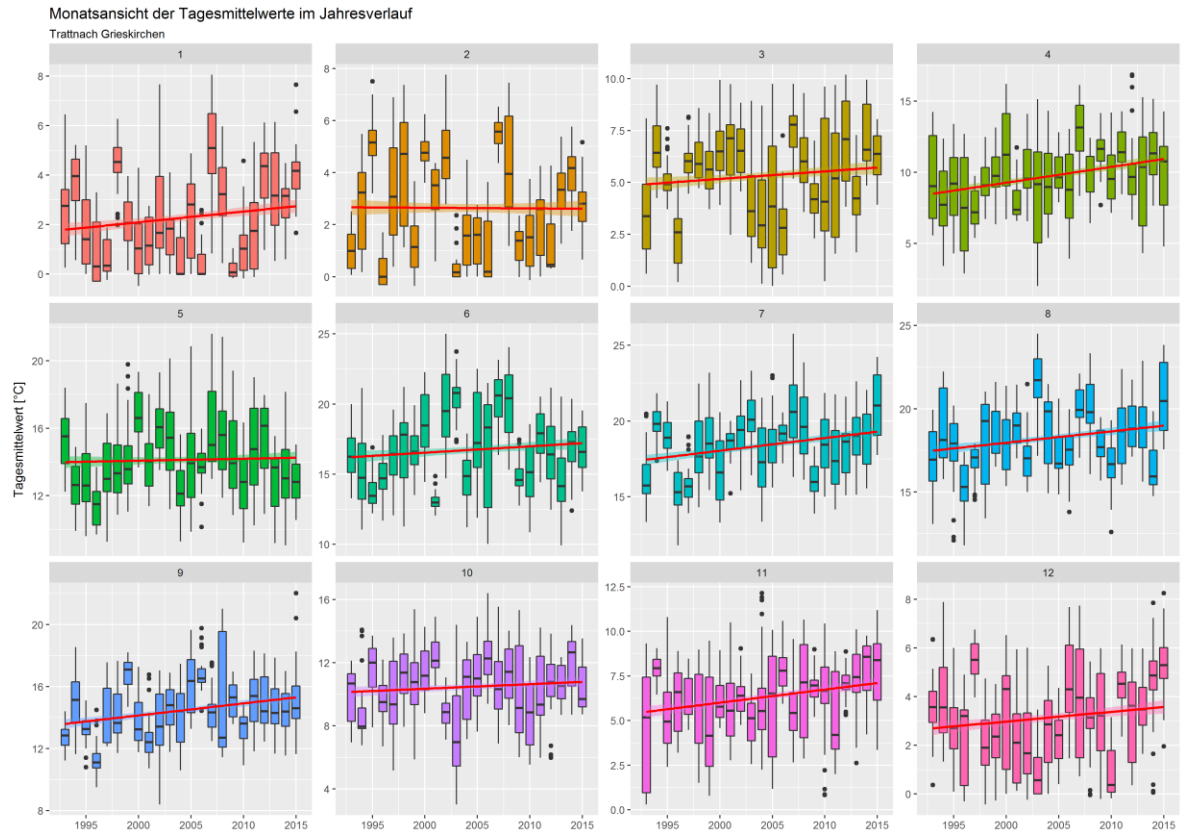
Trattnach - Grieskirchen
Datenquelle: Pegeldaten HYDRO_OO



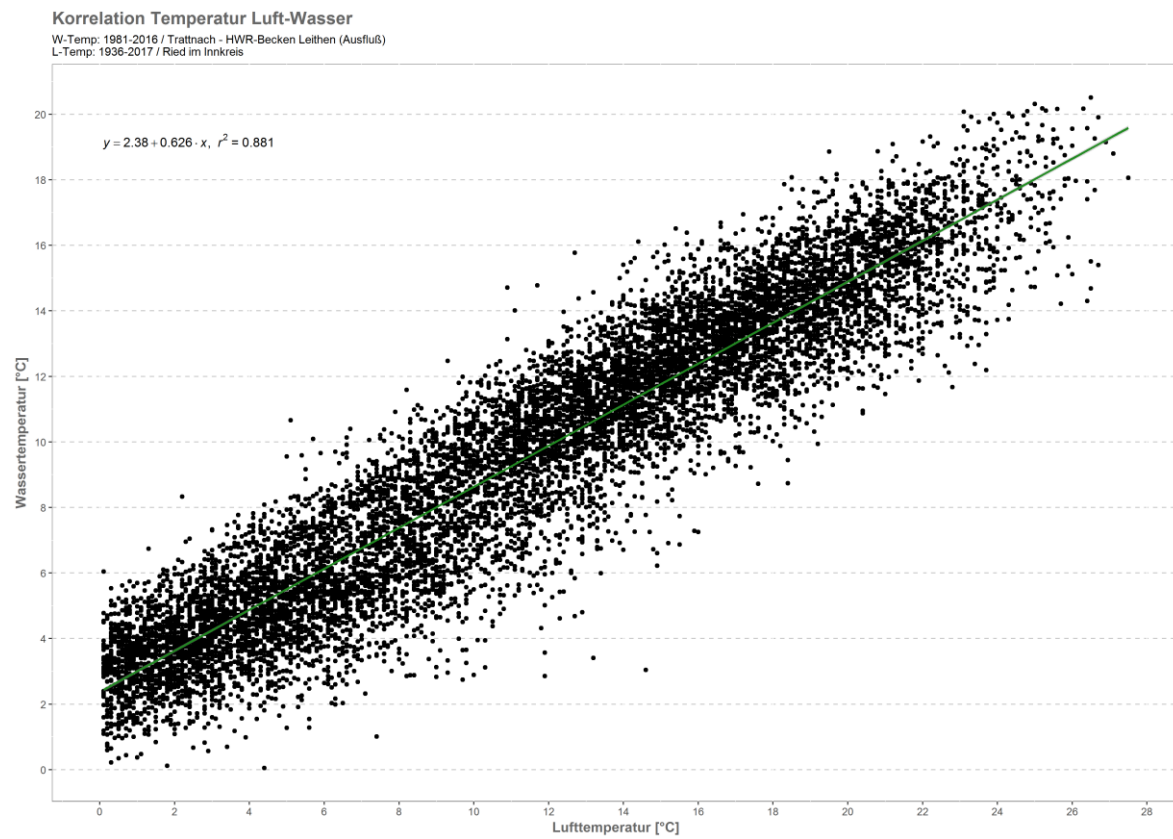
Prognose Wassertemperatur

Trattnach - Grieskirchen

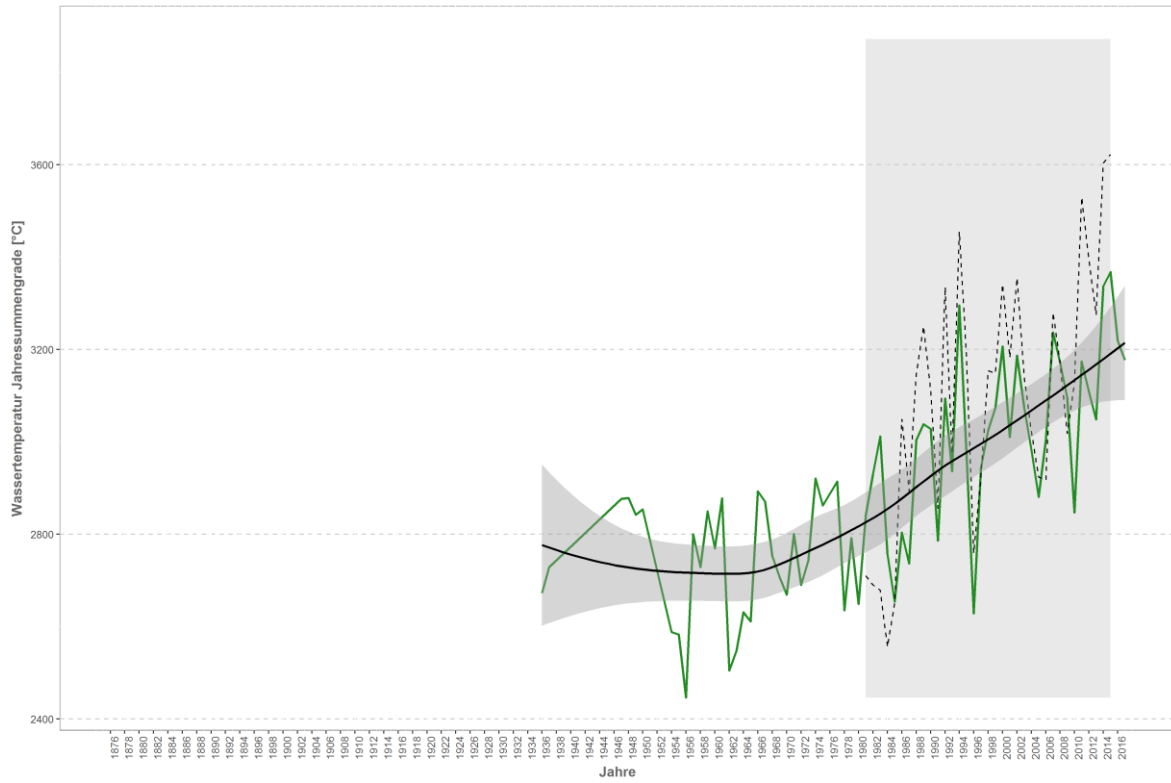




Trattnach – HWR-Becken Leithen (Ausfluß)

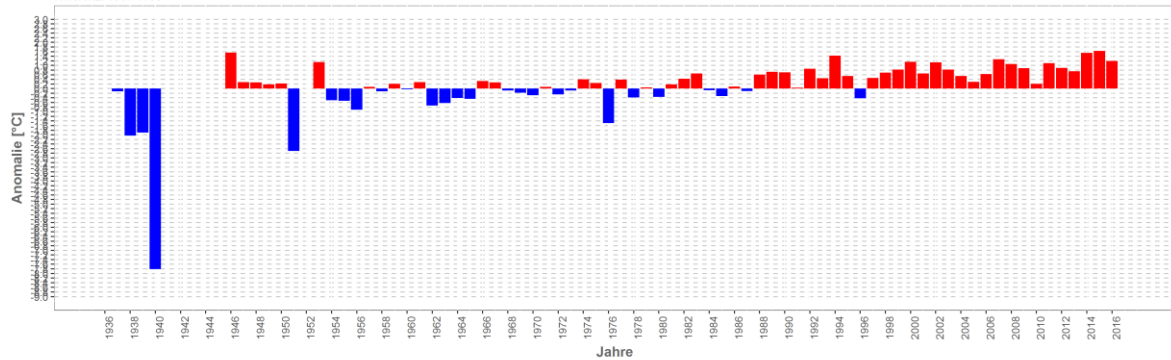


Wassertemperaturverlauf
 W-Temp: 1981-2016 / Trattnach - HWR-Becken Leithen (Ausfluß)
 L-Temp: 1936-2017 / Ried im Innkreis

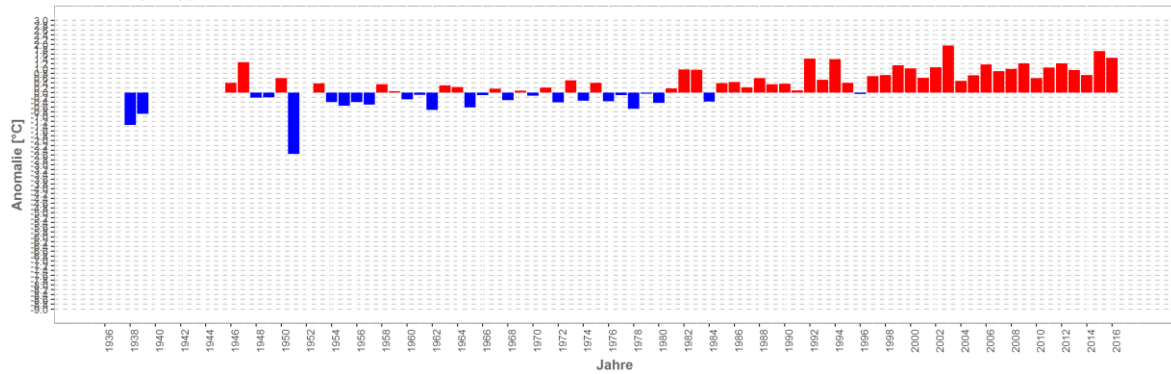


Wassertemperatur-Anomalie

Trattnach - HWR-Becken Leithen (Ausfluß) (1936-2017)
 Referenz: 1961-1990

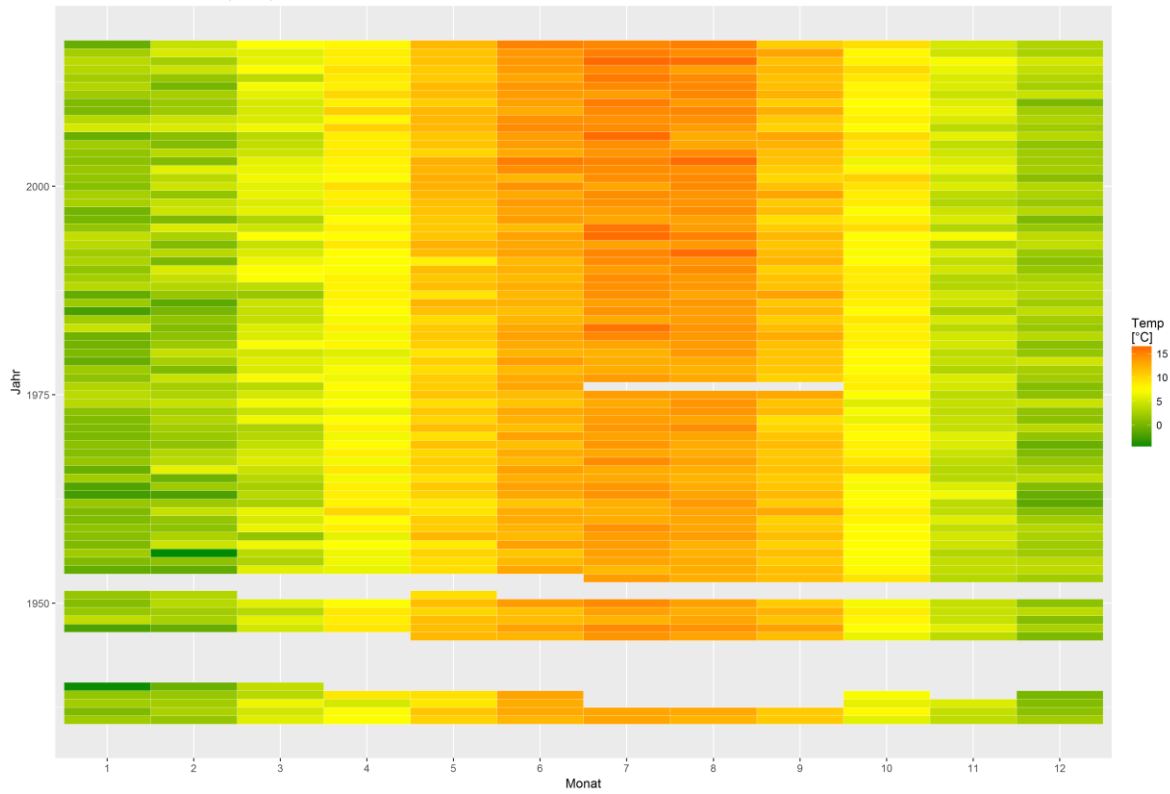


Sommermonate (Mai-Sept)



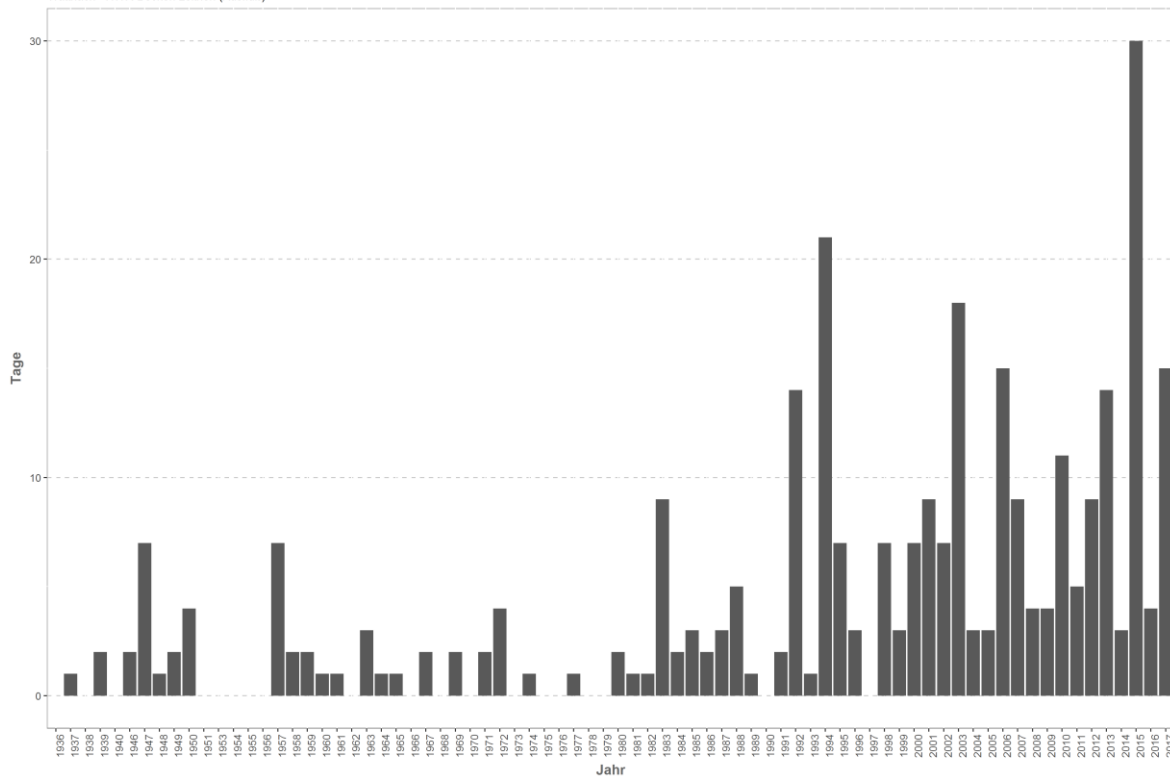
Monatsmittelwert

Trattnach - HWR-Becken Leithen (Ausfluß)



Temperaturüberschreitungen

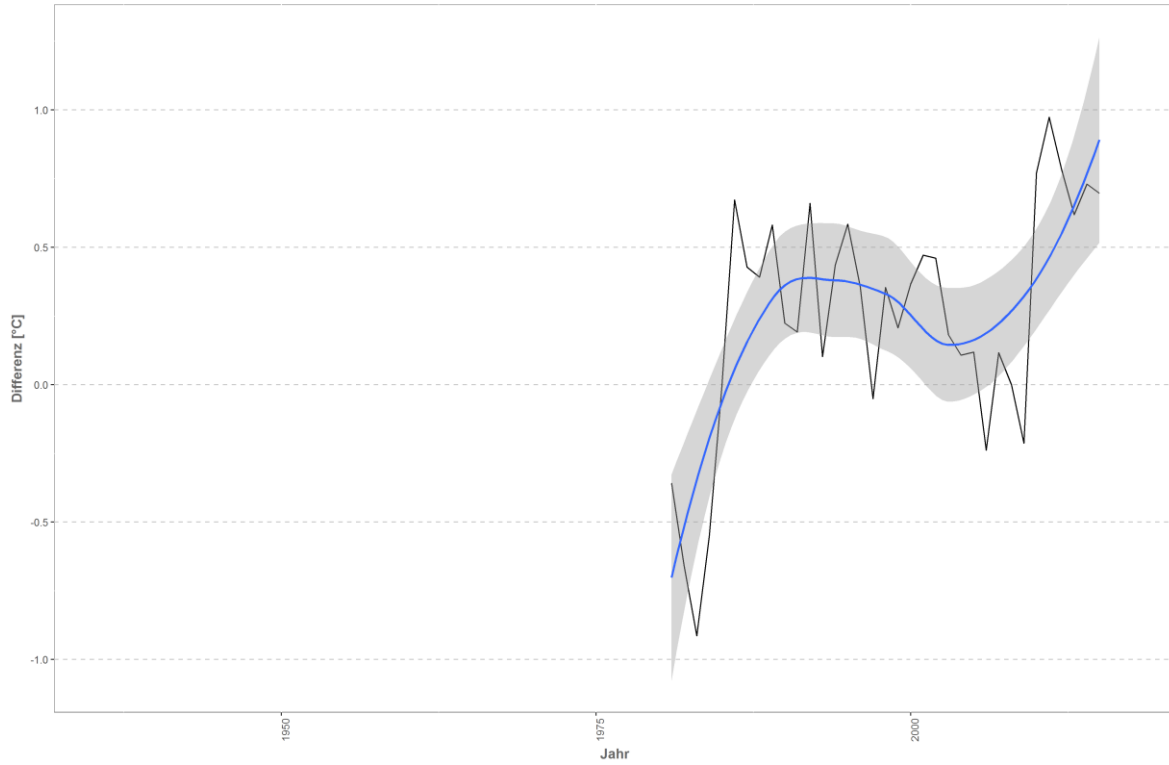
der Grenze sehr gut - gut
Trattnach - HWR-Becken Leithen (Ausfluß)



Differenzplot

tatsächlich gemessene Wassertemperatur zu Schätzwert der linearen Regression

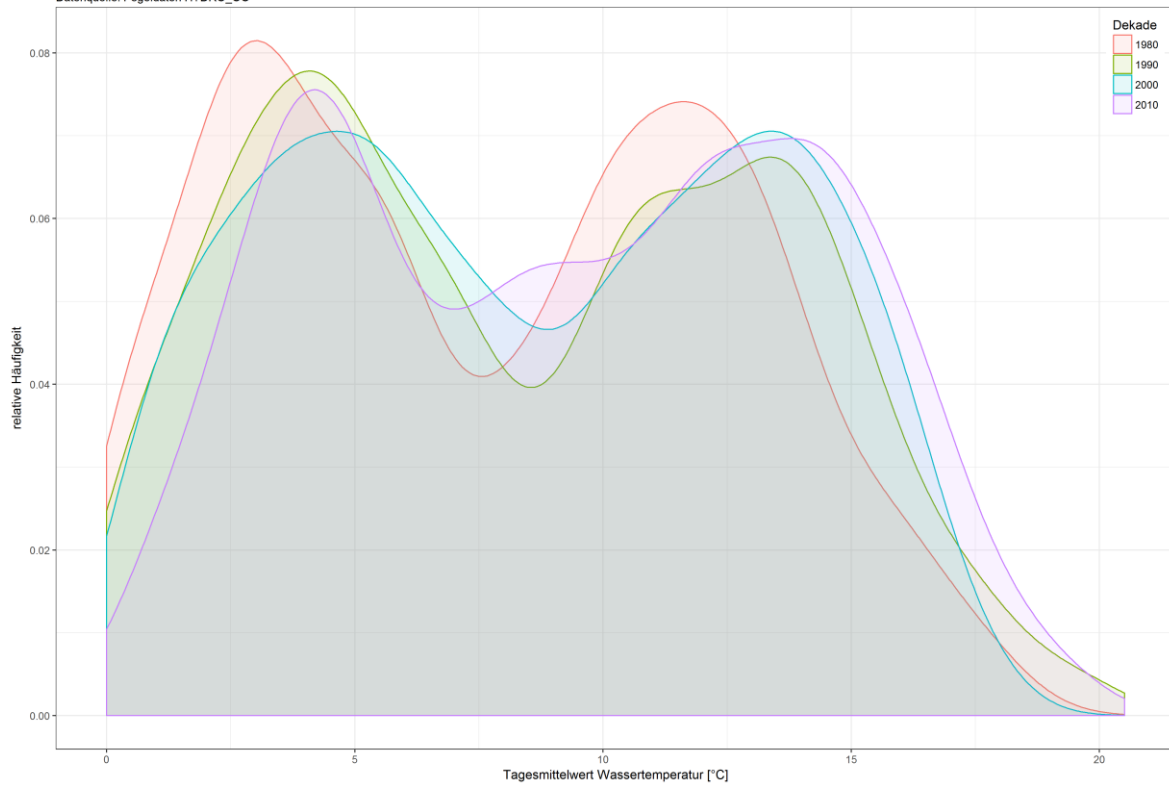
Trattnach - HWR-Becken Leithen (Ausfluß)



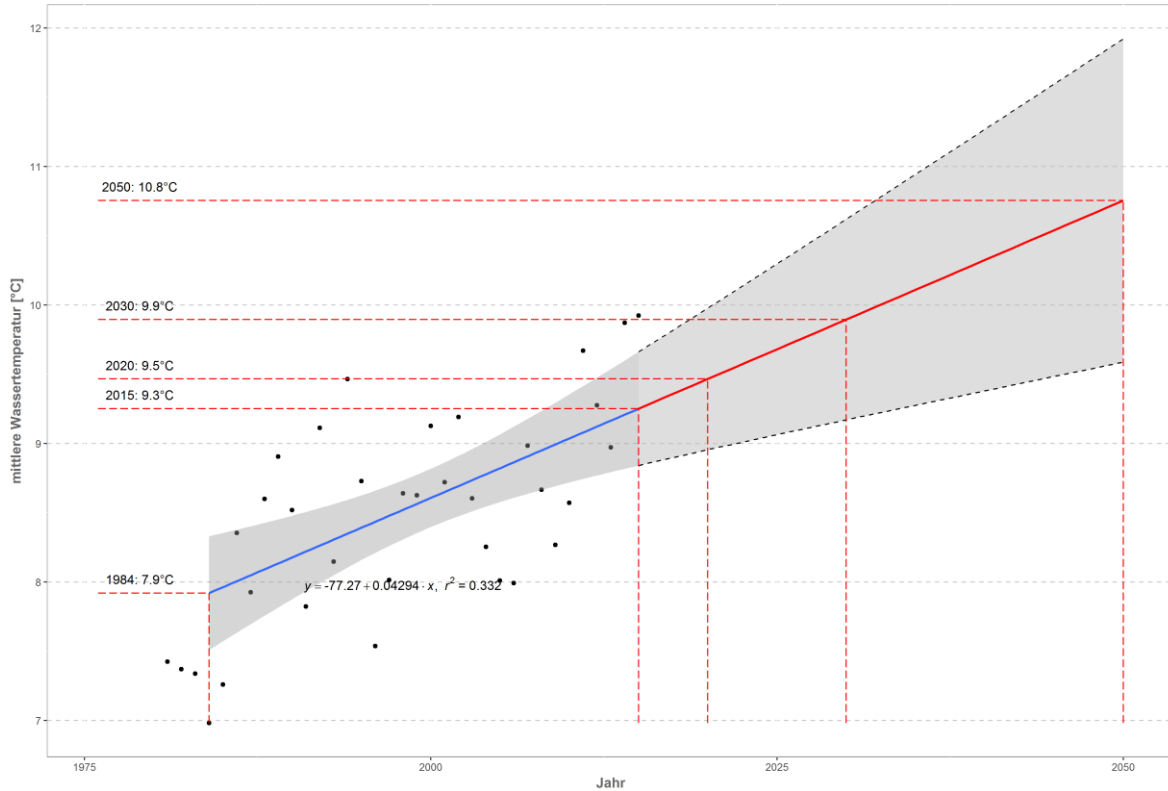
Häufigkeitsverteilung der Wassertemperaturen

Trattnach - HWR-Becken Leithen (Ausfluß)

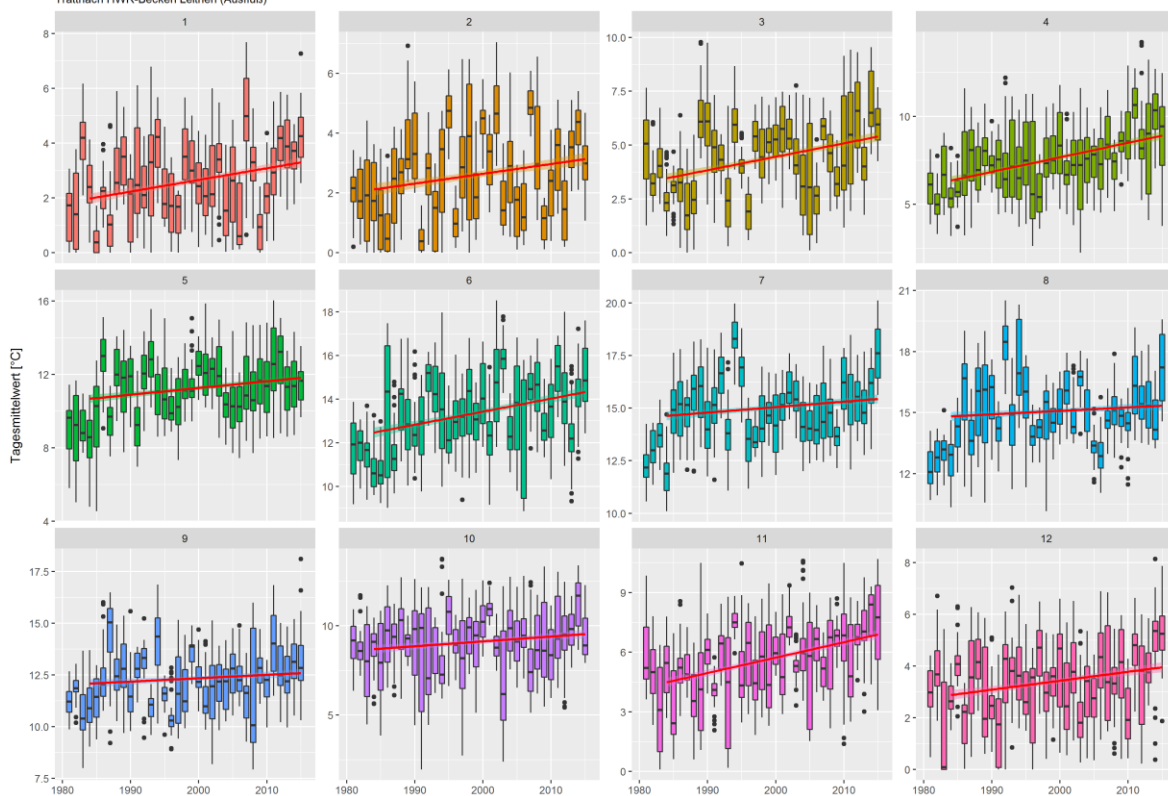
Datenquelle: Pegeldata HYDRO_OO



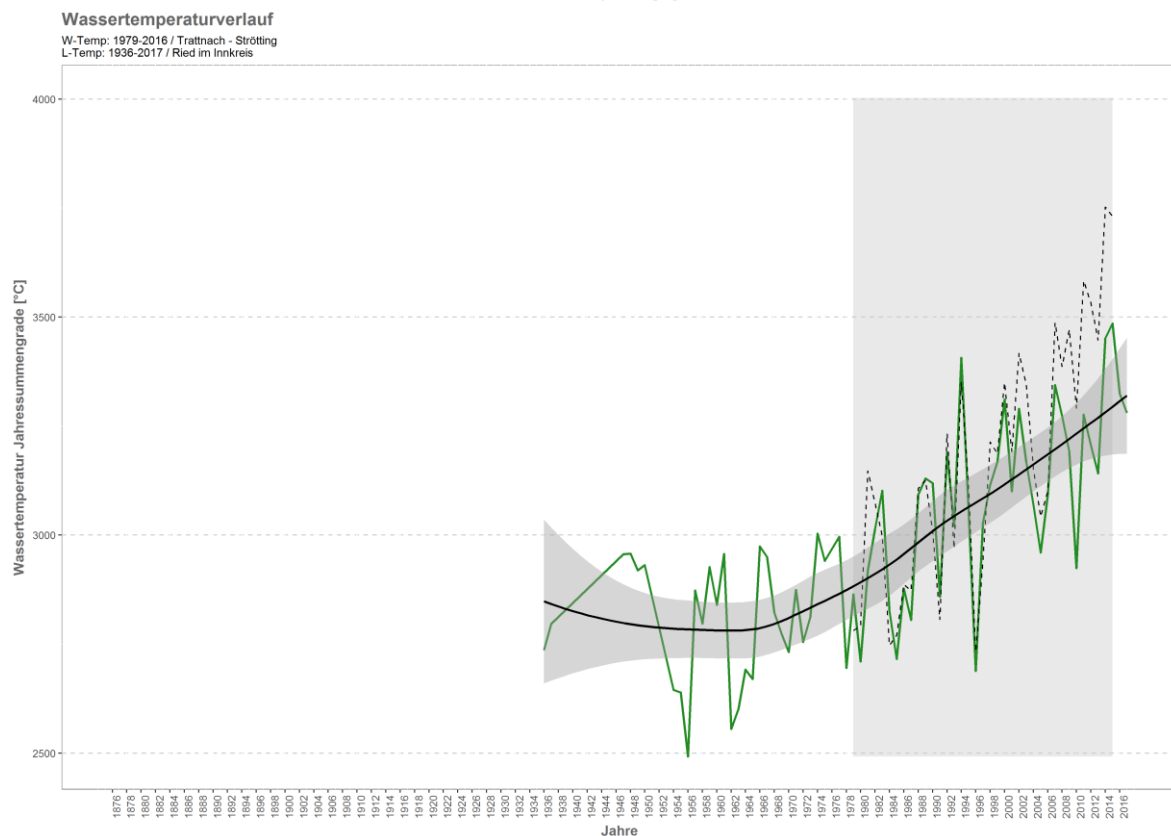
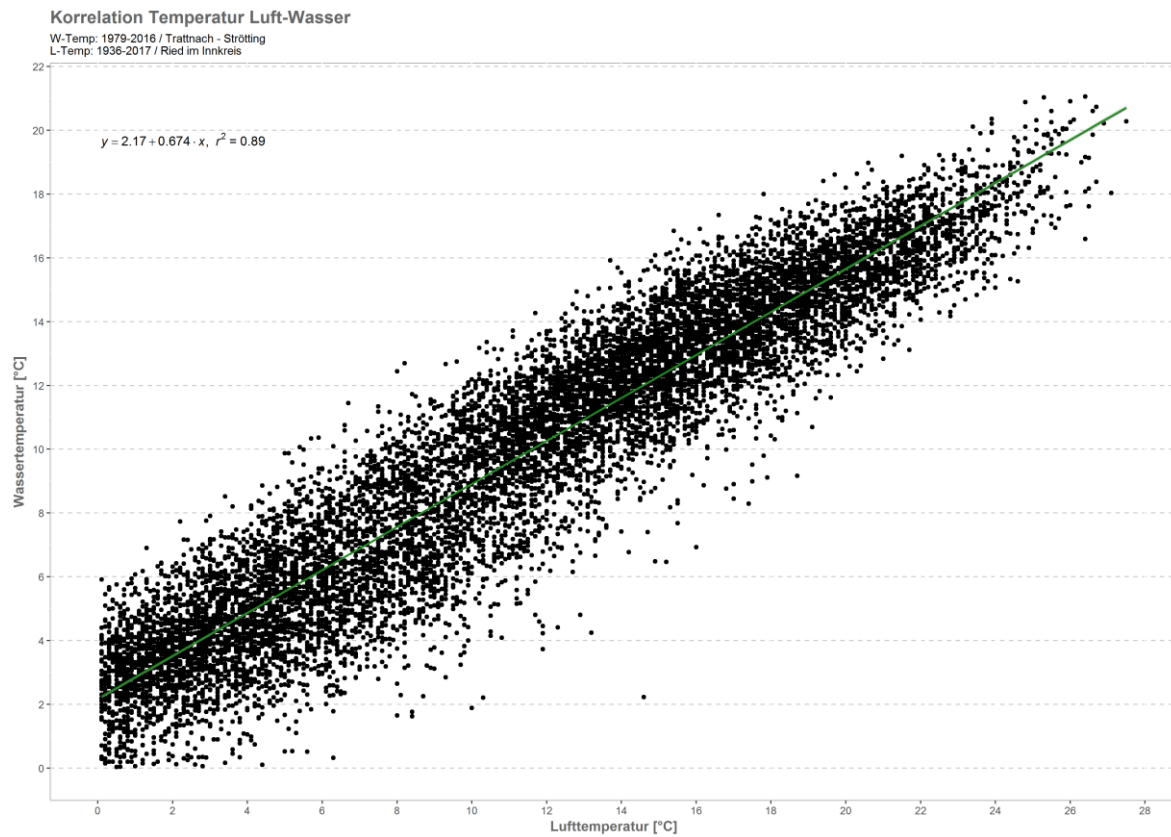
Prognose Wassertemperatur
 Trattnach - HWR-Becken Leithen (Ausfluß)



Monatsansicht der Tagesmittelwerte im Jahresverlauf
 Trattnach HWR-Becken Leithen (Ausfluß)

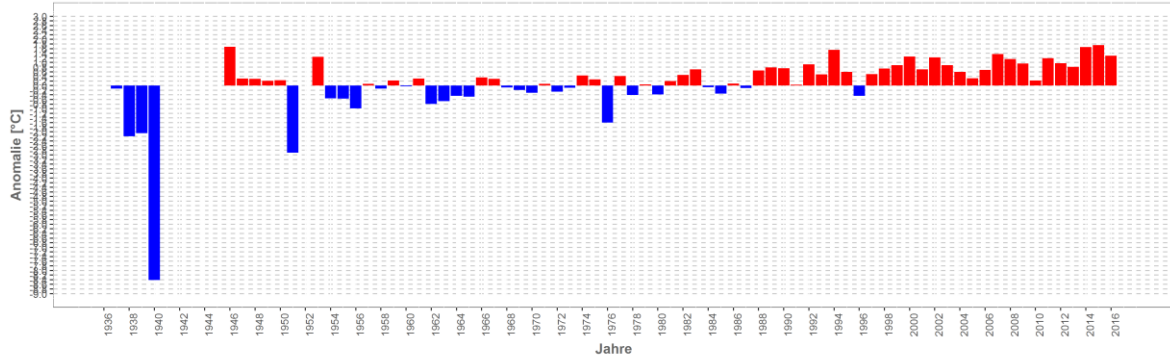


Trattnach – Strötting

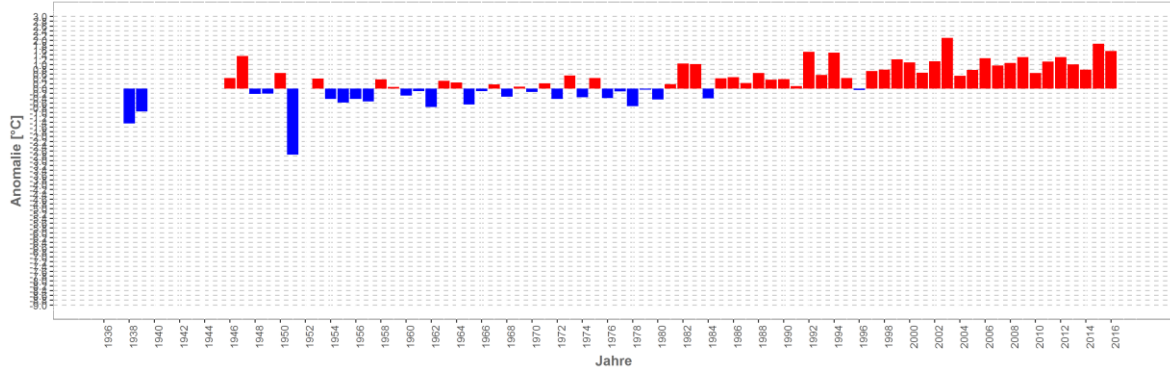


Wassertemperatur-Anomalie

Trattnach - Strötting (1936-2017)
Referenz: 1961-1990

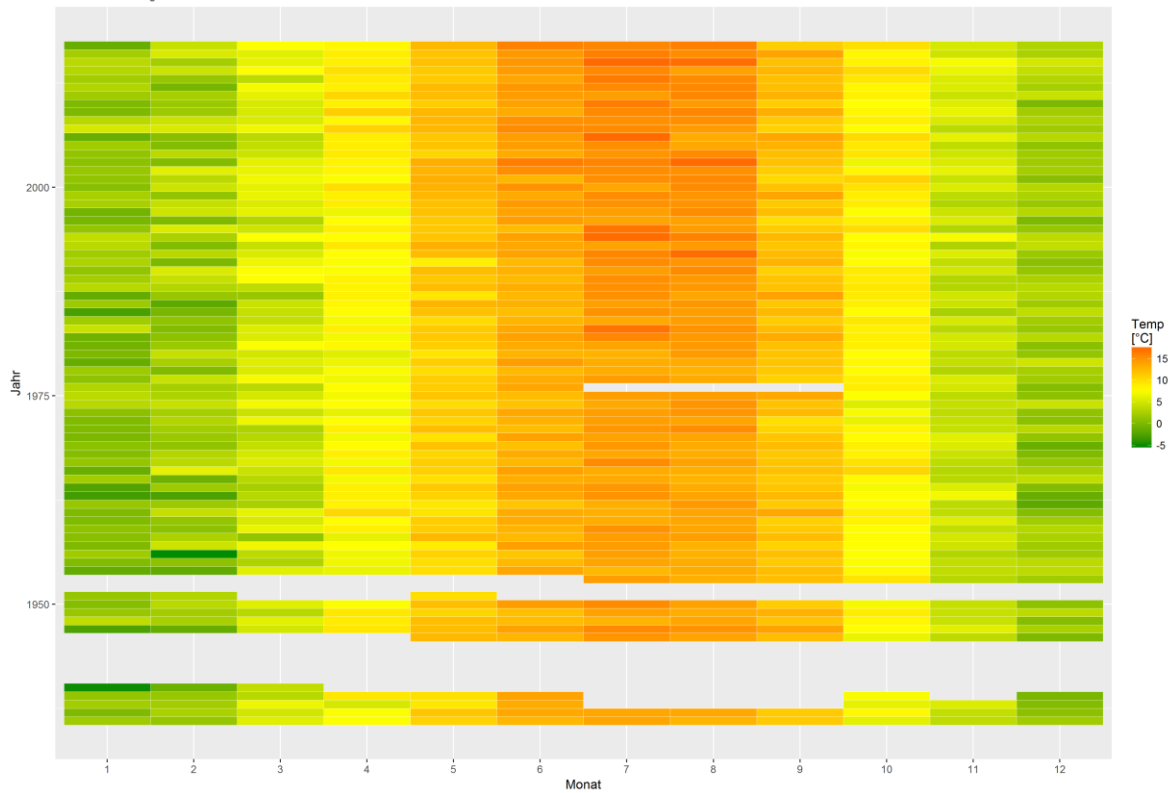


Sommermonate (Mai-Sept)



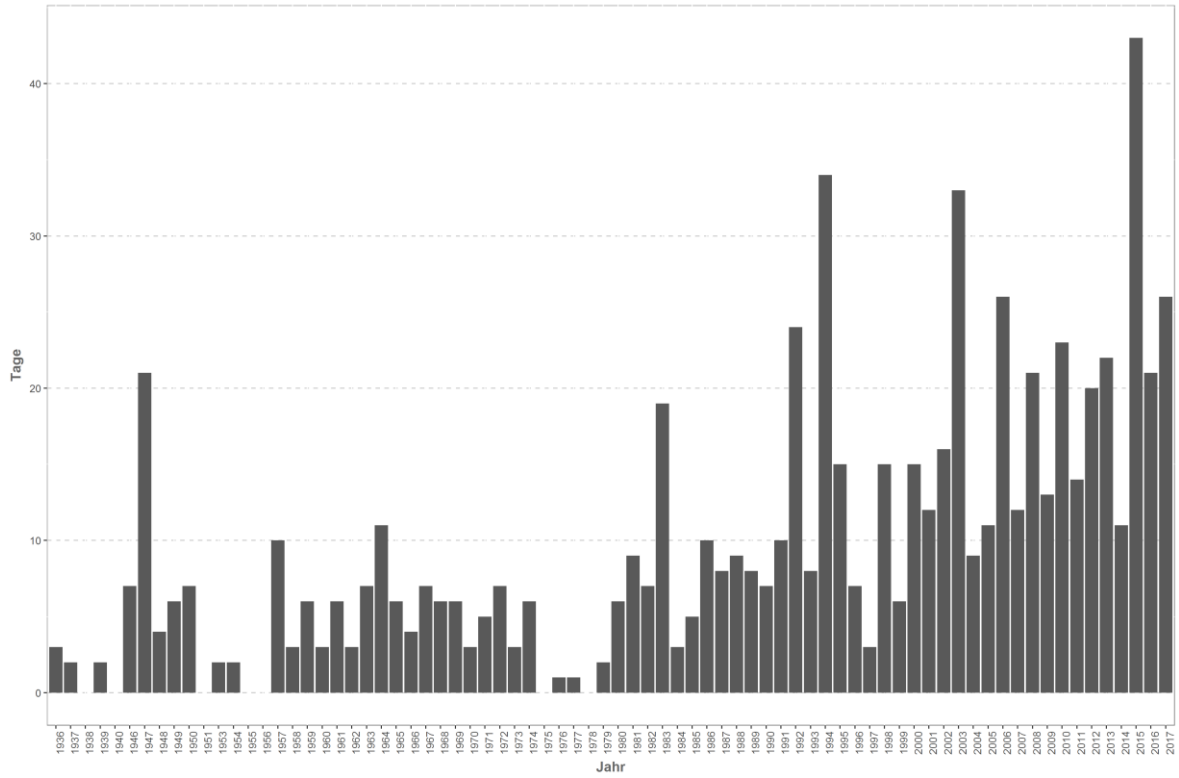
Monatsmittelwert

Trattnach - Strötting



Temperaturüberschreitungen

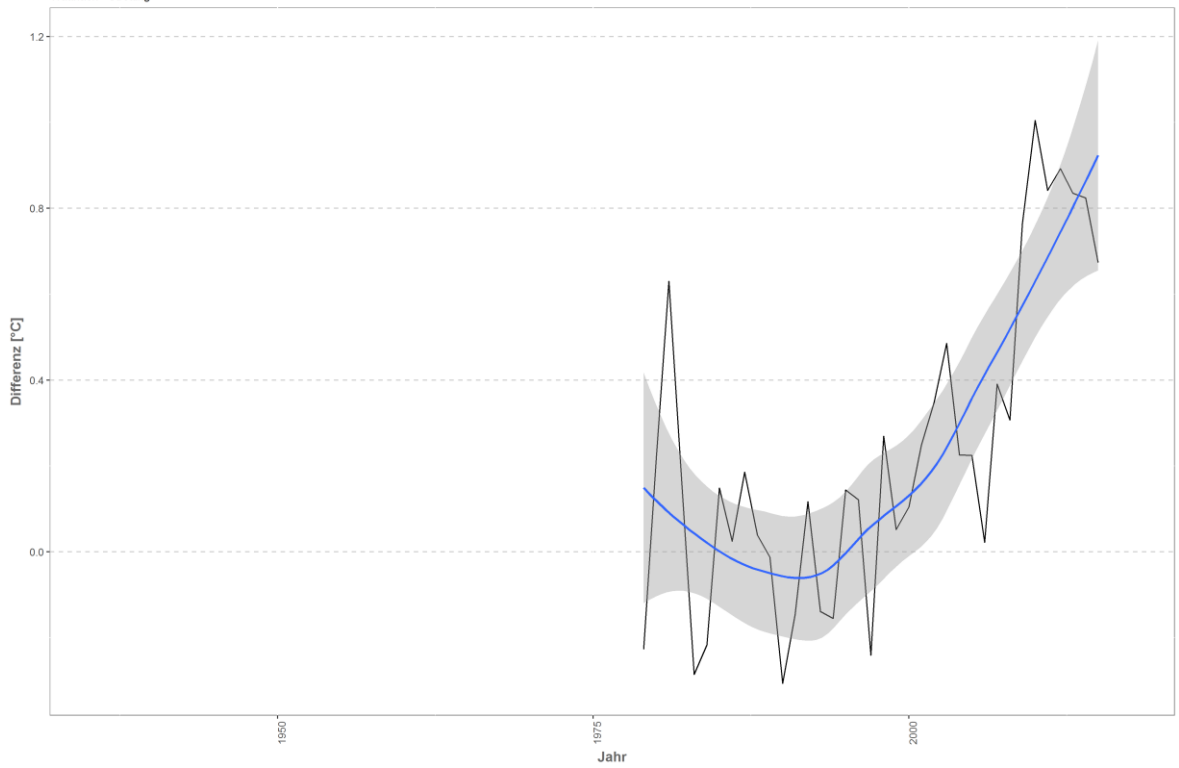
der Grenze sehr gut - gut
Trattnach - Strötting



Differenzplot

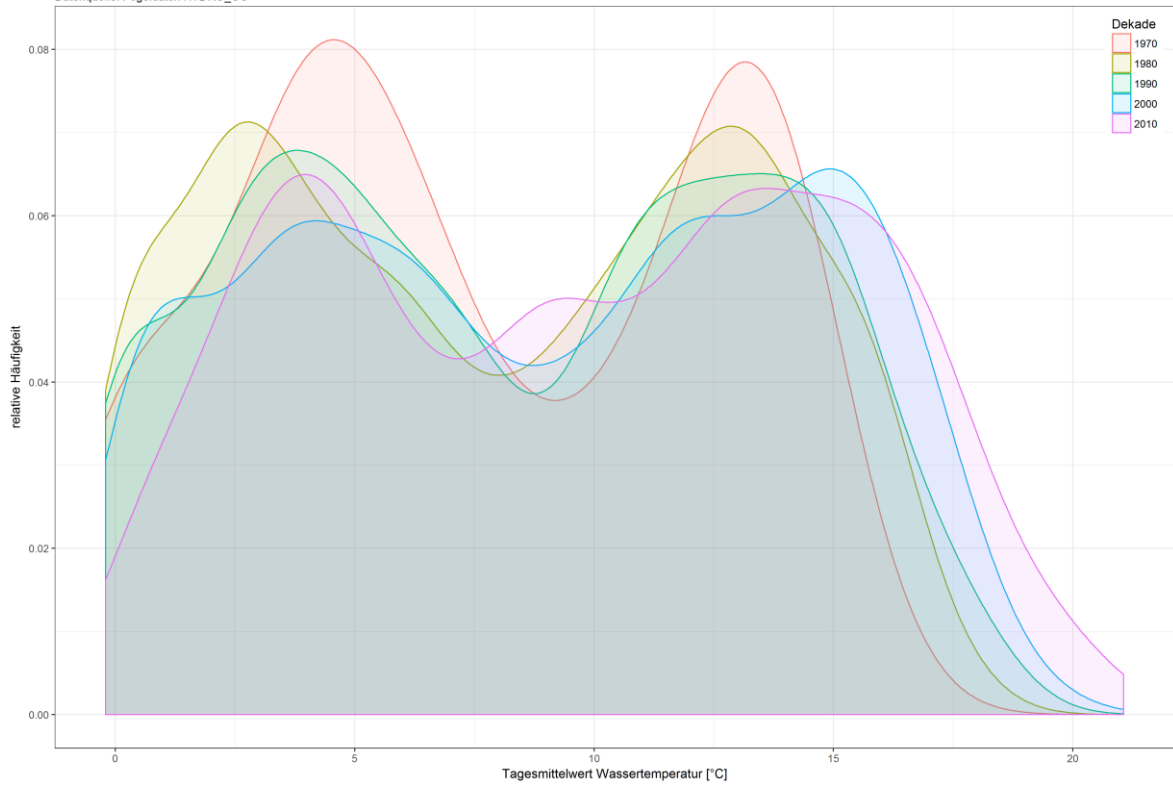
tatsächlich gemessene Wassertemperatur zu Schätzwert der linearen Regression

Trattnach - Strötting



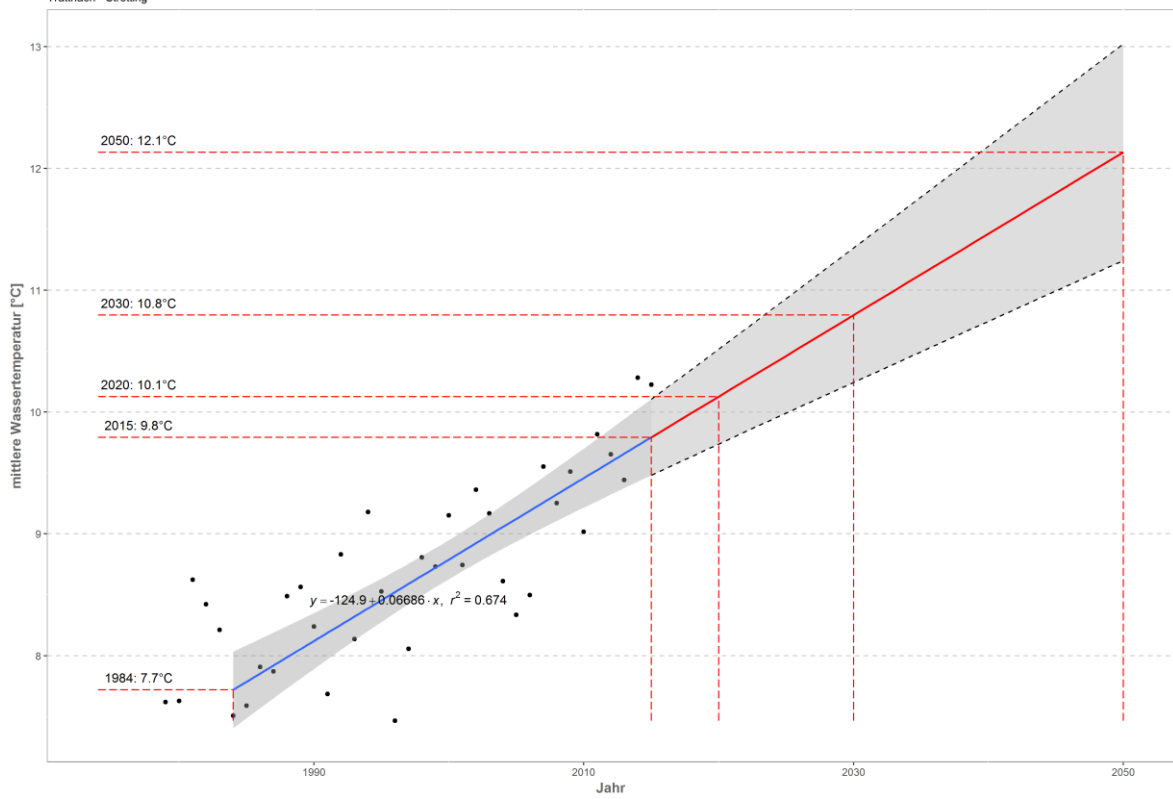
Häufigkeitsverteilung der Wassertemperaturen

Trattnach - Strötting
Datenquelle: Pegeldaten HYDRO_OO

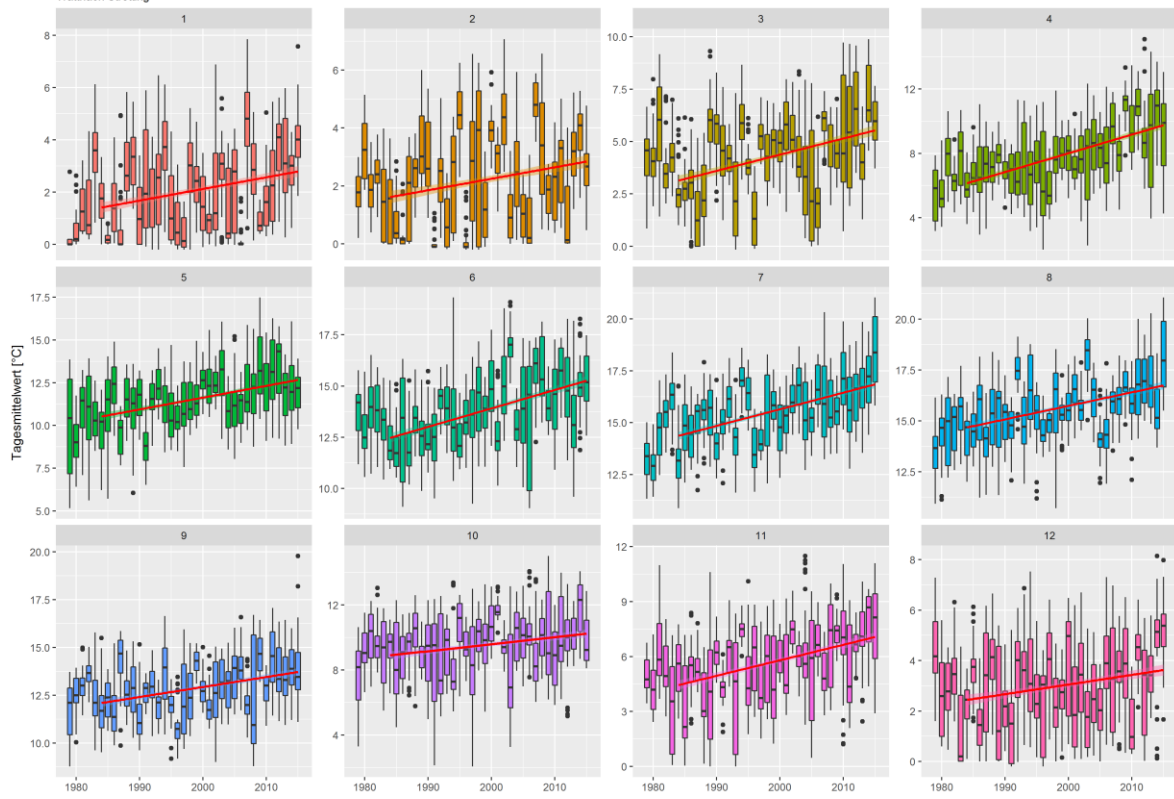


Prognose Wassertemperatur

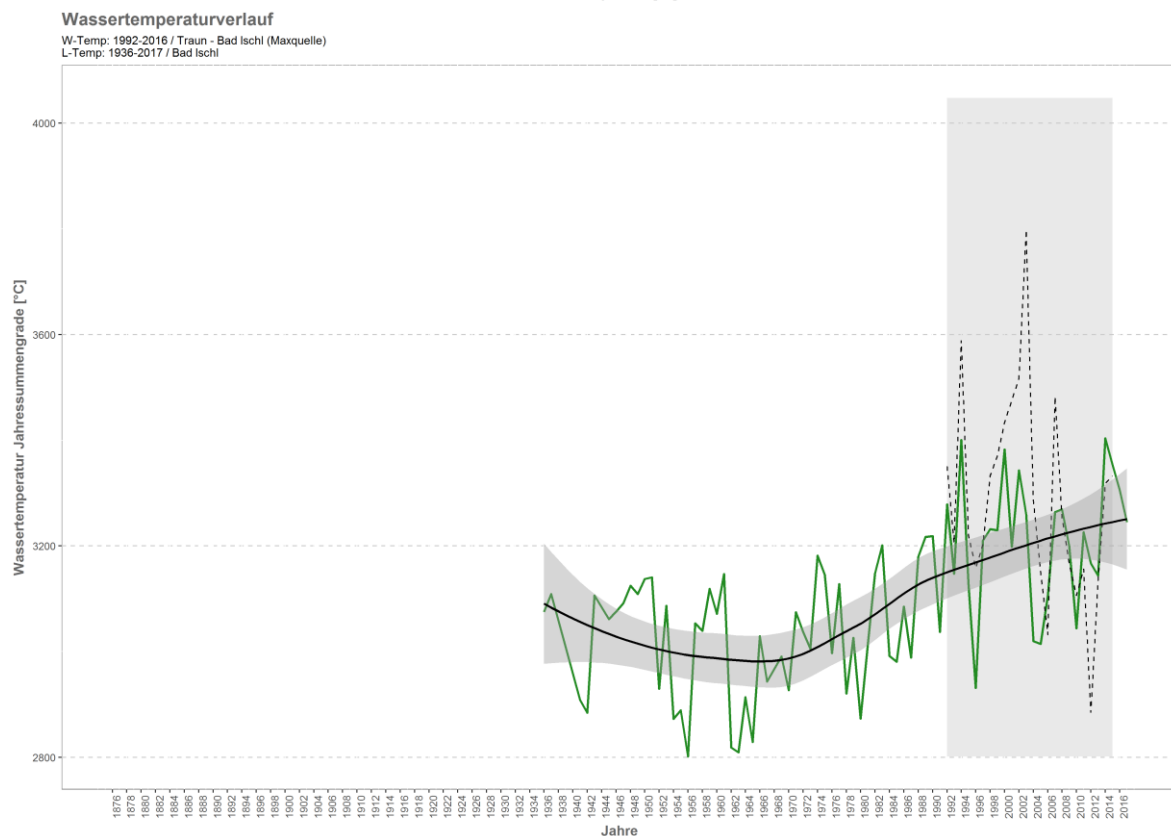
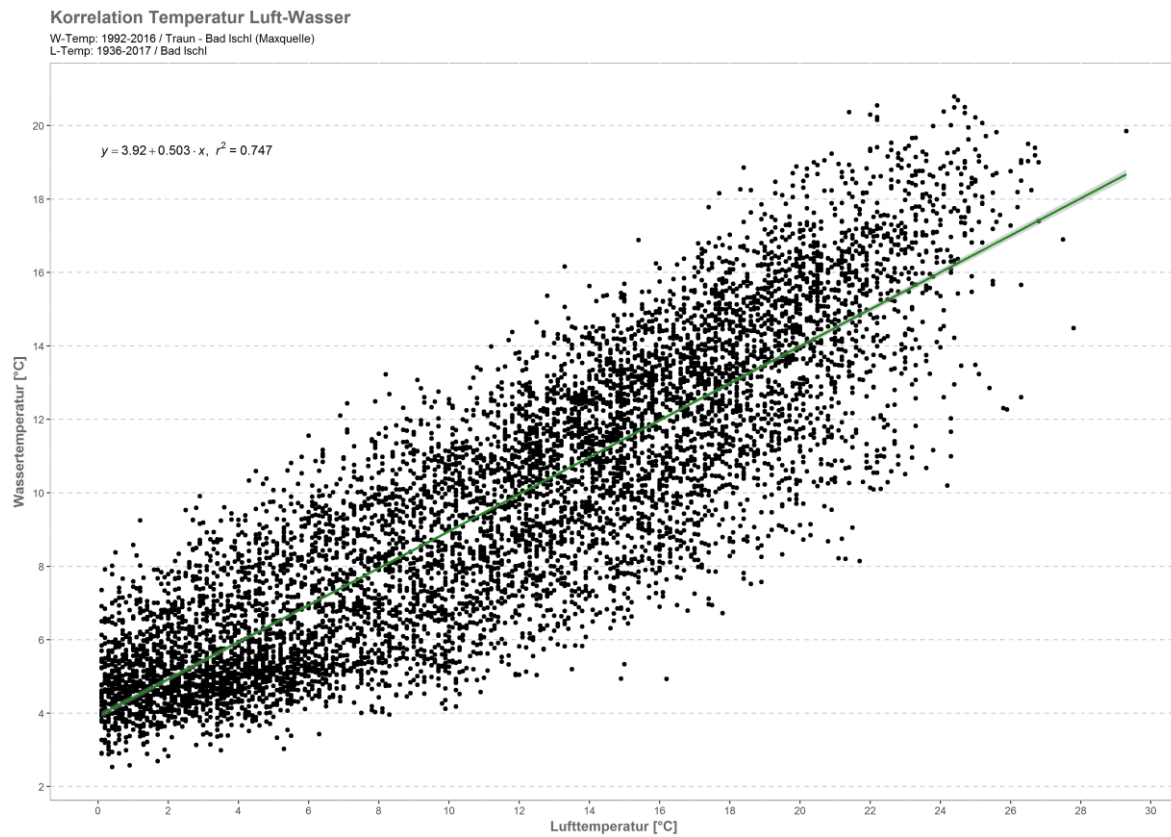
Trattnach - Strötting



Monatsansicht der Tagesmittelwerte im Jahresverlauf
Trattnach Strötting

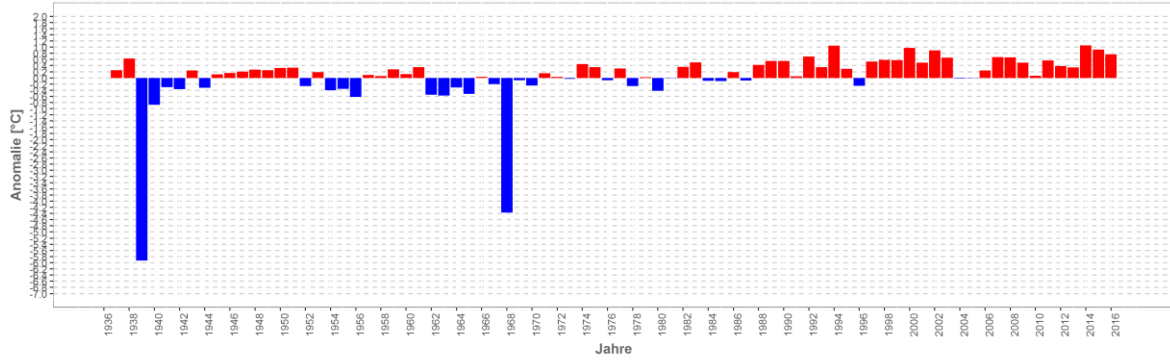


Traun – Bad Ischl (Maxquelle)

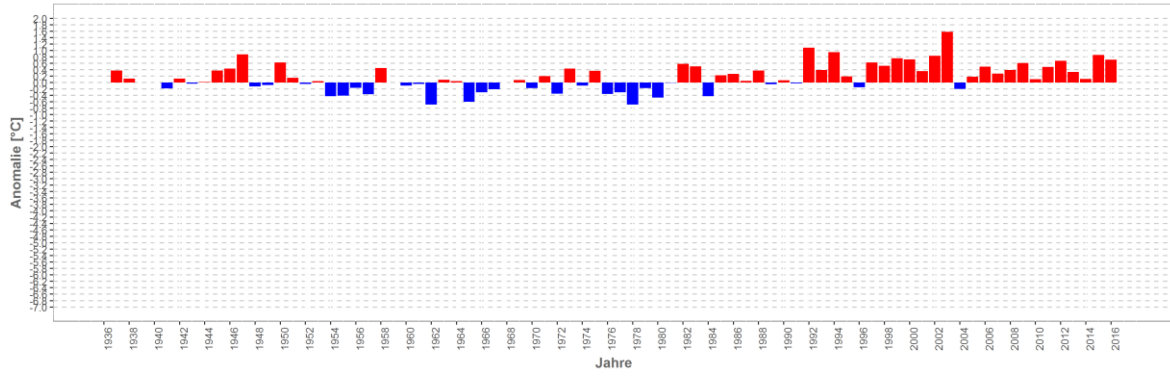


Wassertemperatur-Anomalie

Traun - Bad Ischl (Maxquelle) (1936-2017)
Referenz: 1961-1990

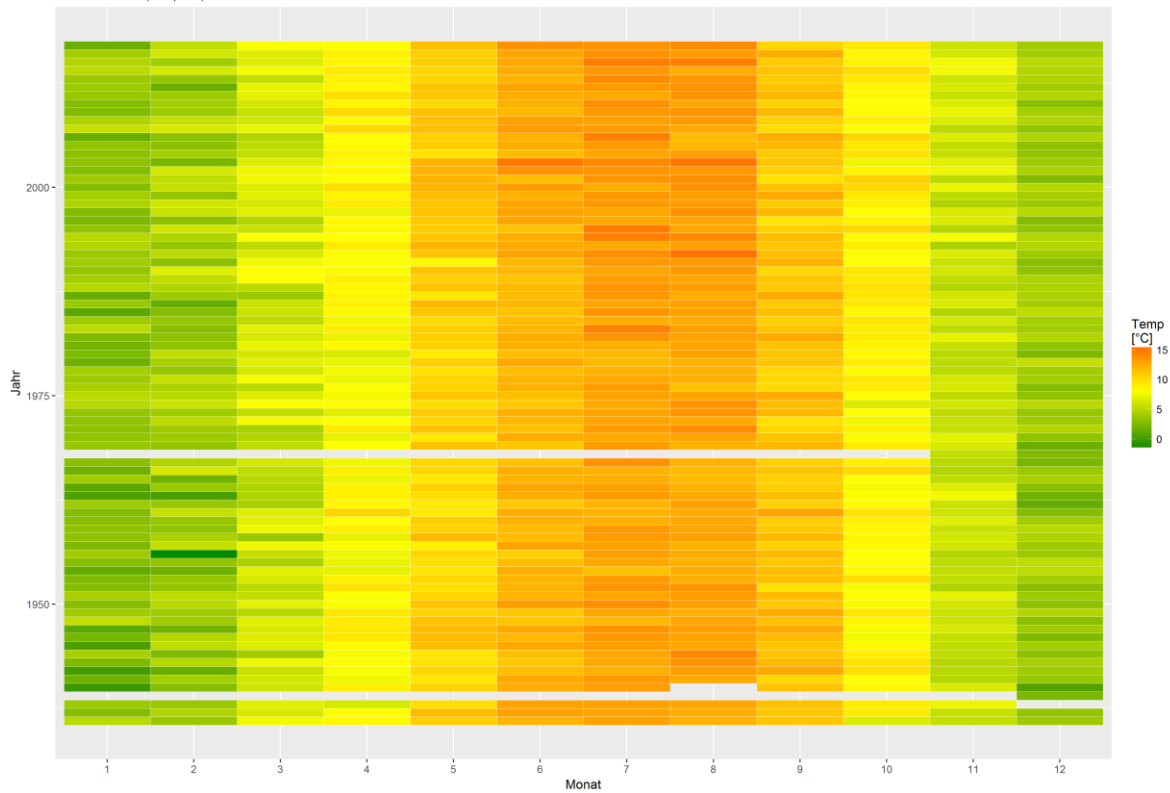


Sommermonate (Mai-Sept)



Monatsmittelwert

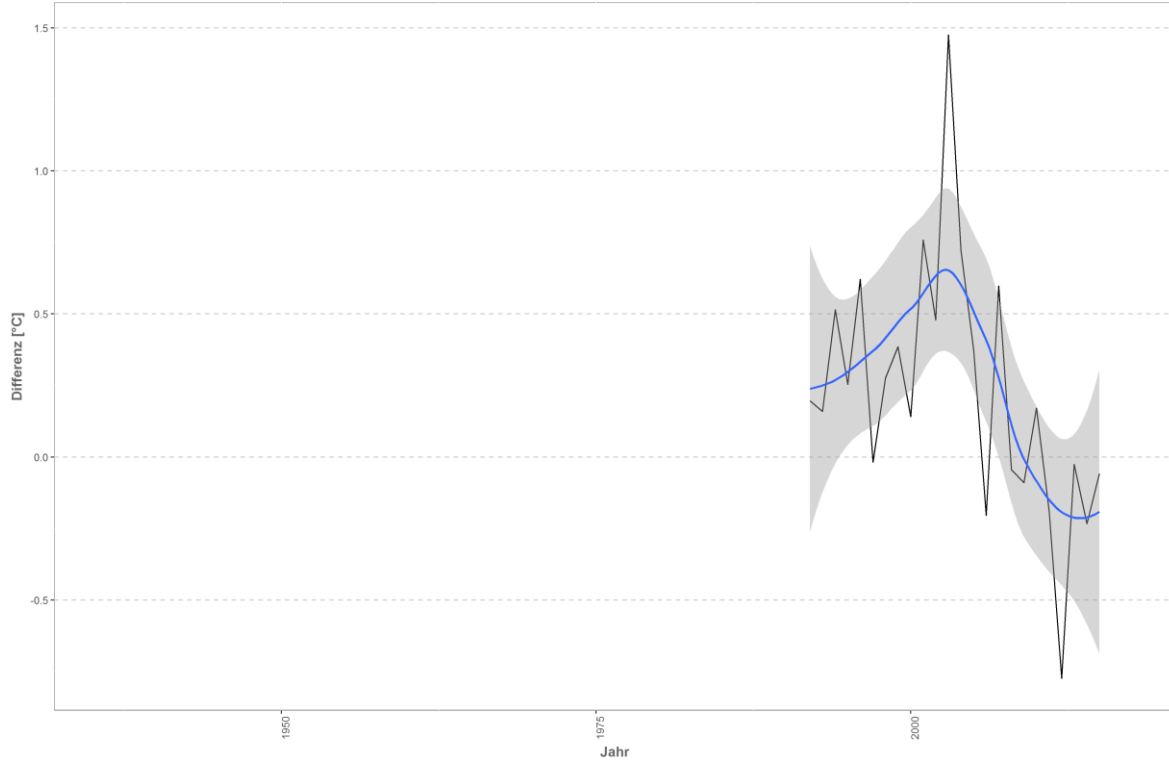
Traun - Bad Ischl (Maxquelle)



Differenzplot

tatsächlich gemessene Wassertemperatur zu Schätzwert der linearen Regression

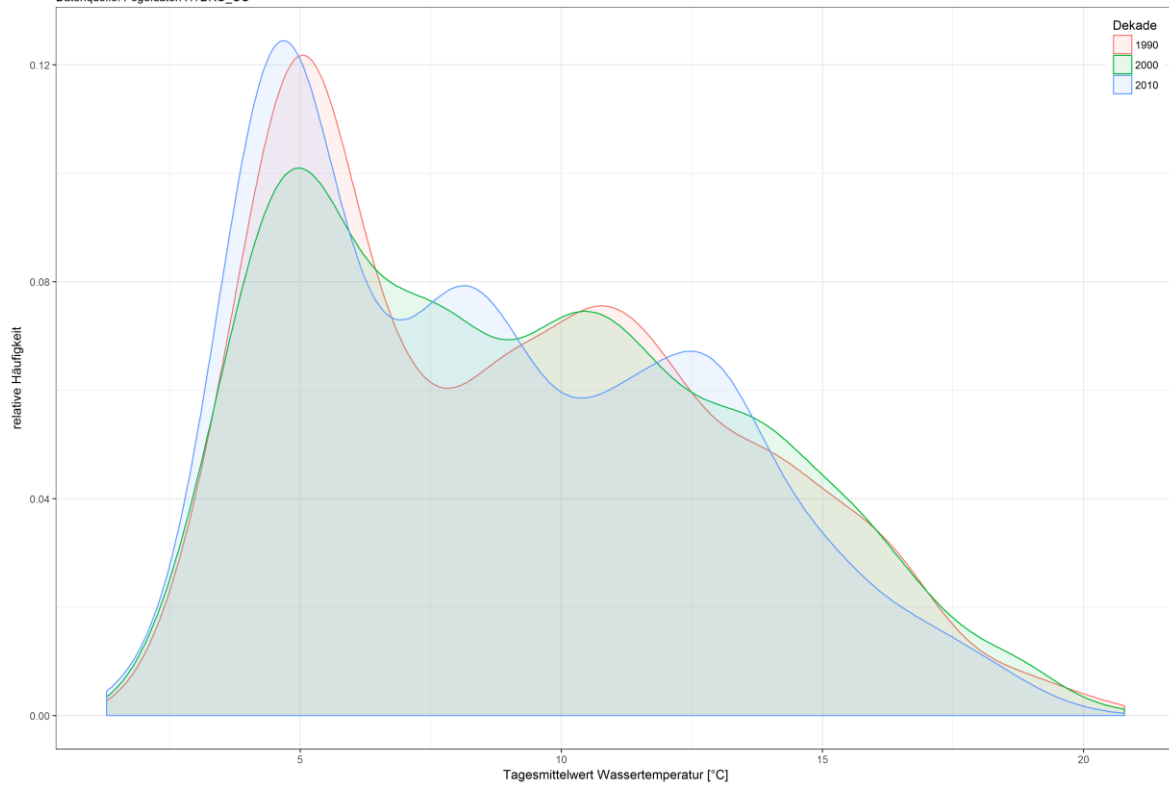
Traun - Bad Ischl (Maxquelle)



Häufigkeitsverteilung der Wassertemperaturen

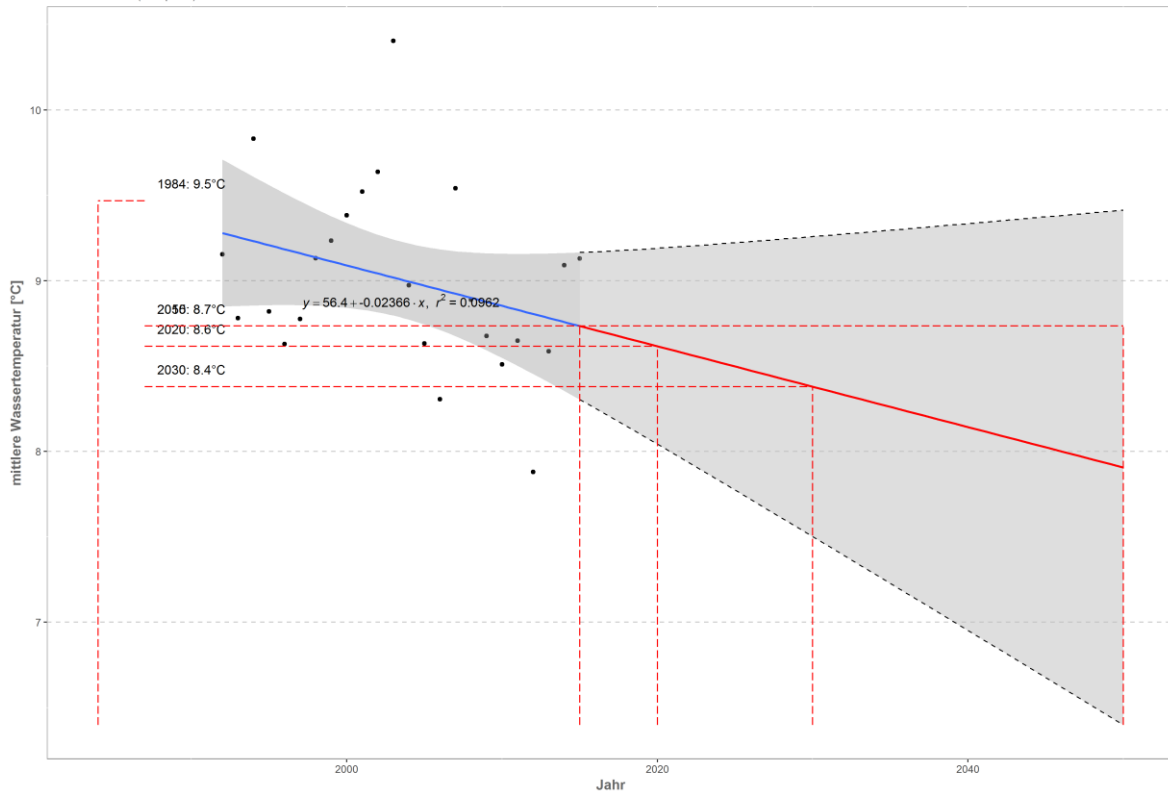
Traun - Bad Ischl (Maxquelle)

Datenquelle: Pegeldaten HYDRO_OO



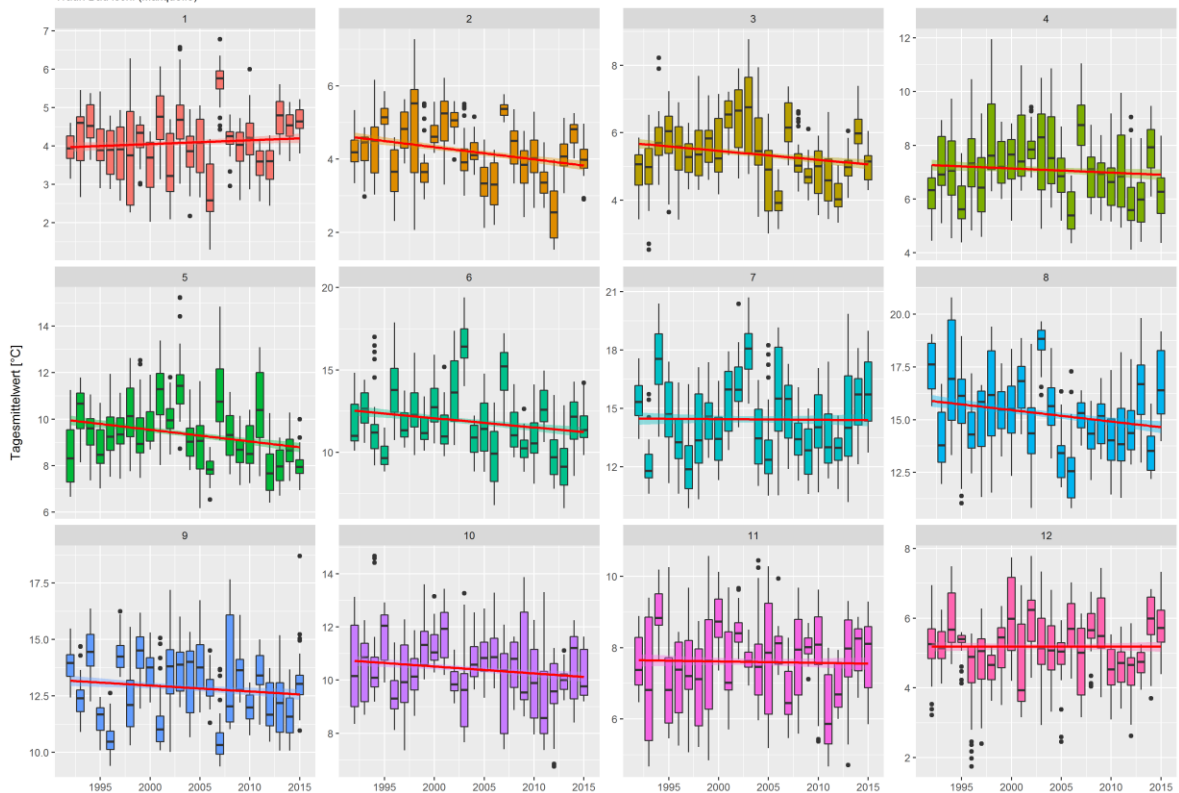
Prognose Wassertemperatur

Traun - Bad Ischl (Maxquelle)



Monatsansicht der Tagesmittelwerte im Jahresverlauf

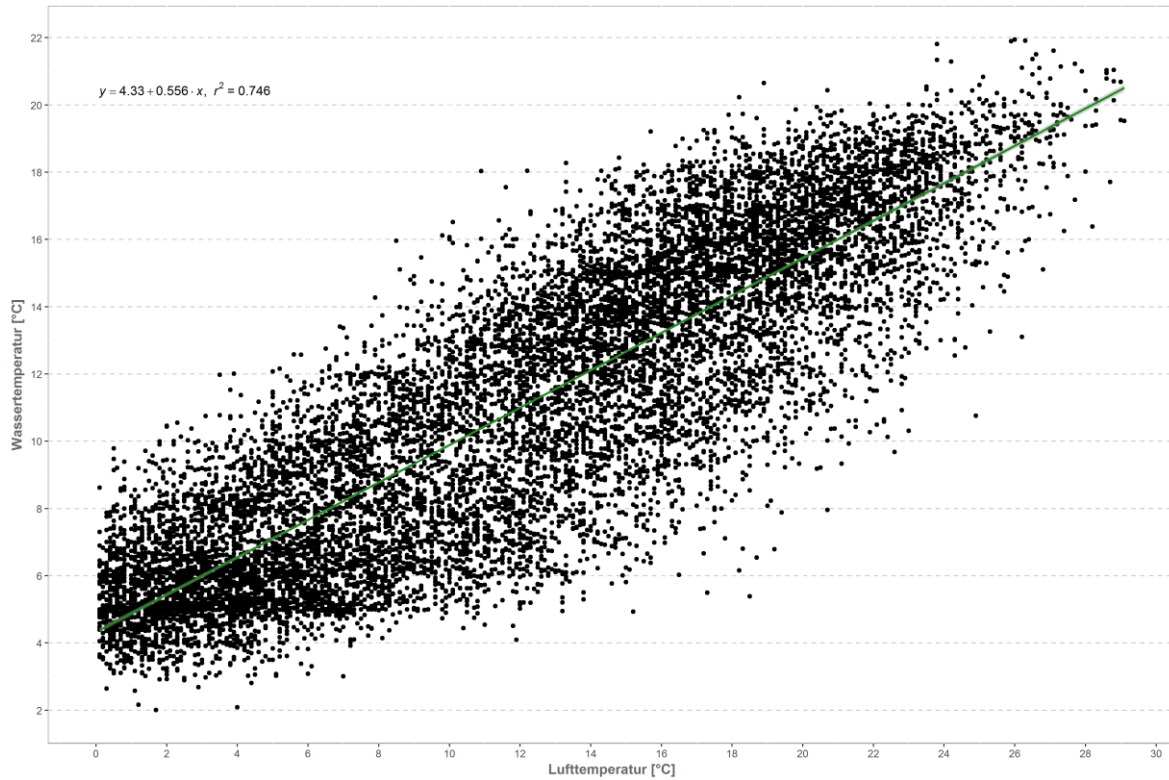
Traun Bad Ischl (Maxquelle)



Traun – Ebelsberg

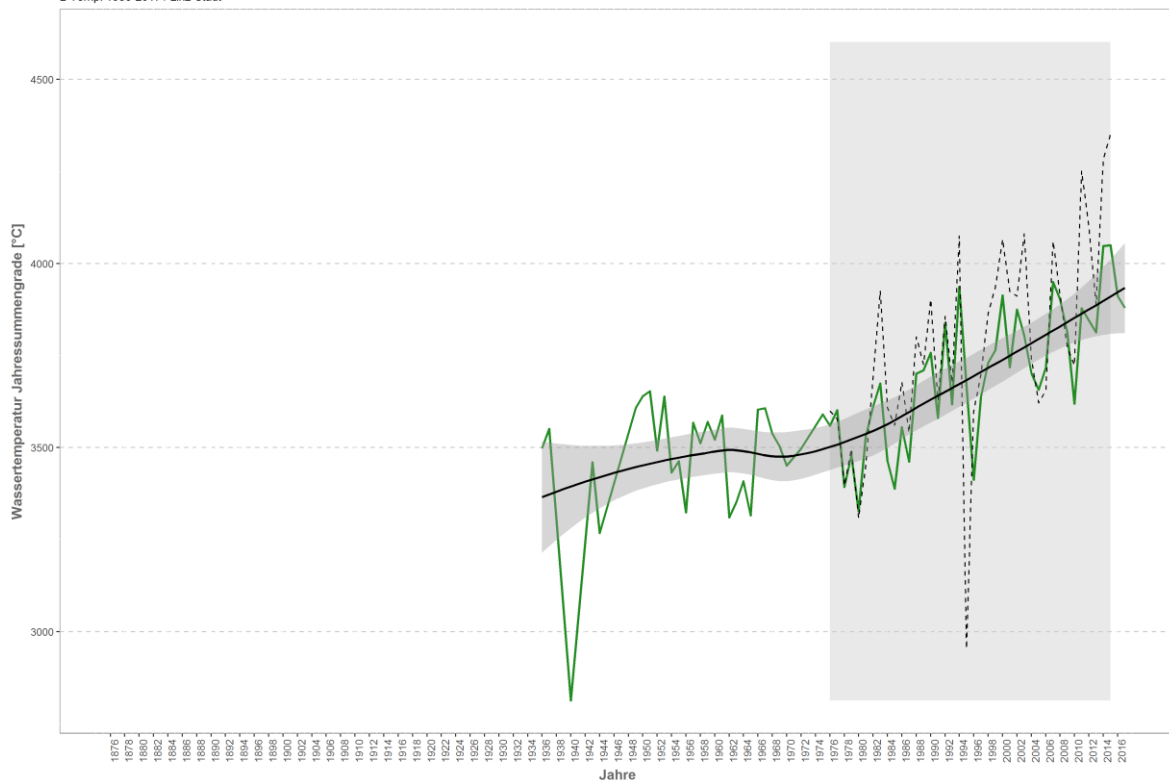
Korrelation Temperatur Luft-Wasser

W-Temp: 1976-2016 / Traun - Ebelsberg
L-Temp: 1936-2017 / Linz-Stadt



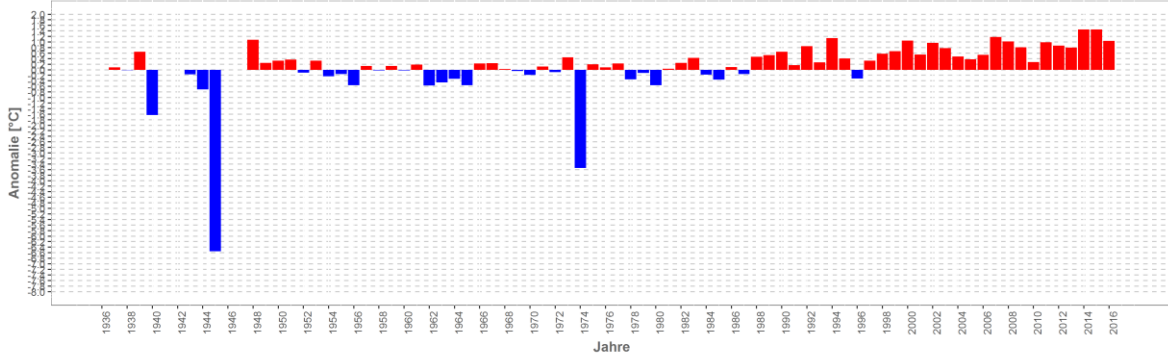
Wassertemperaturverlauf

W-Temp: 1976-2016 / Traun - Ebelsberg
L-Temp: 1936-2017 / Linz-Stadt

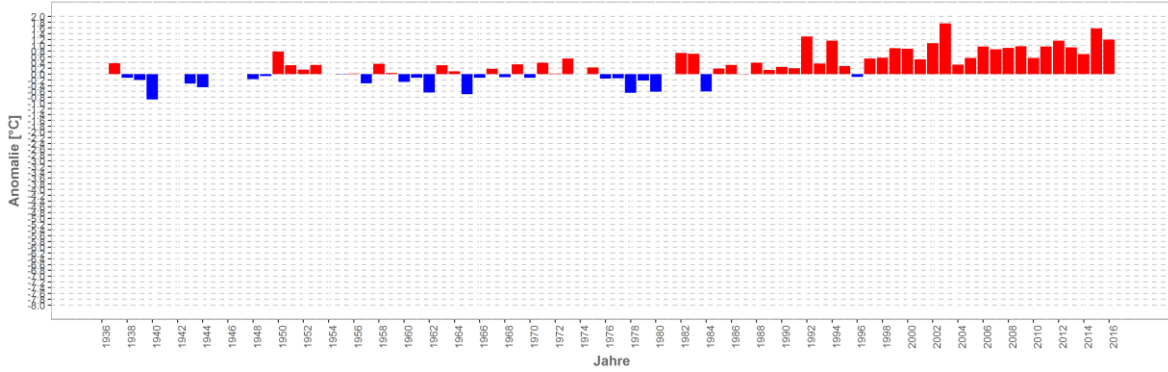


Wassertemperatur-Anomalie

Traun - Ebelsberg (1936-2017)
Referenz: 1961-1990

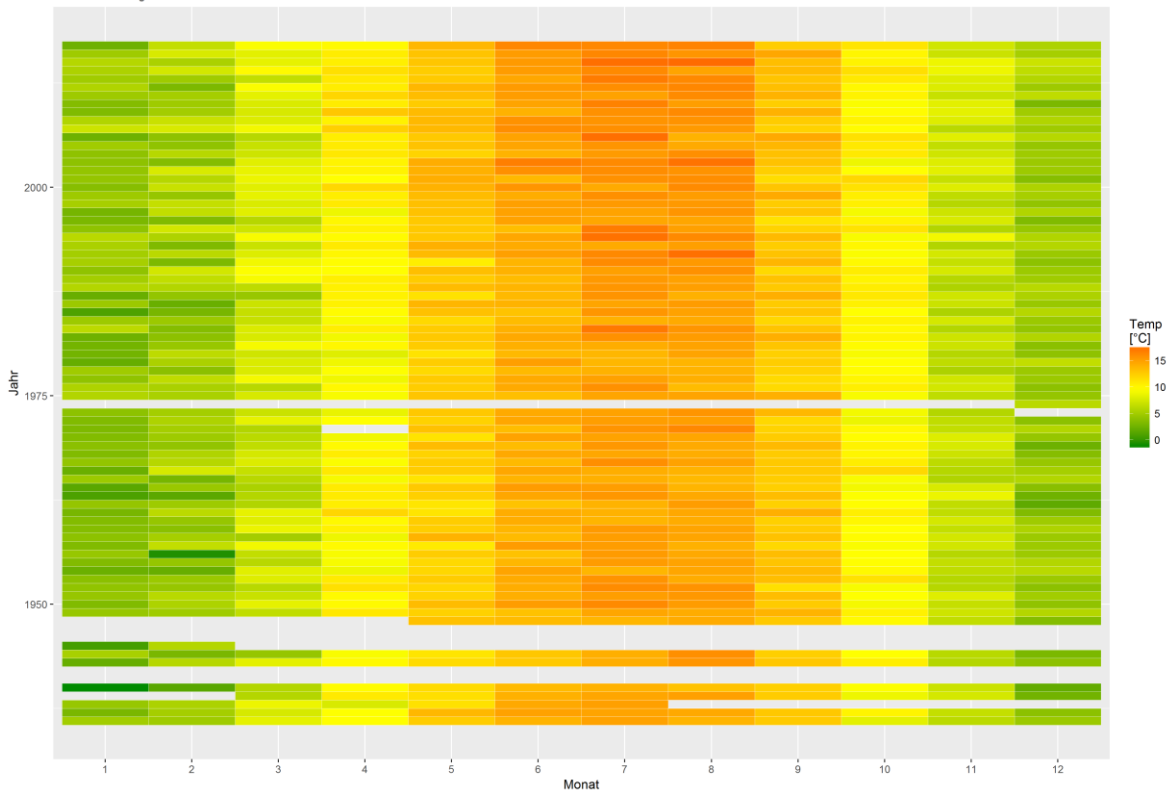


Sommermonate (Mai-Sept)



Monatsmittelwert

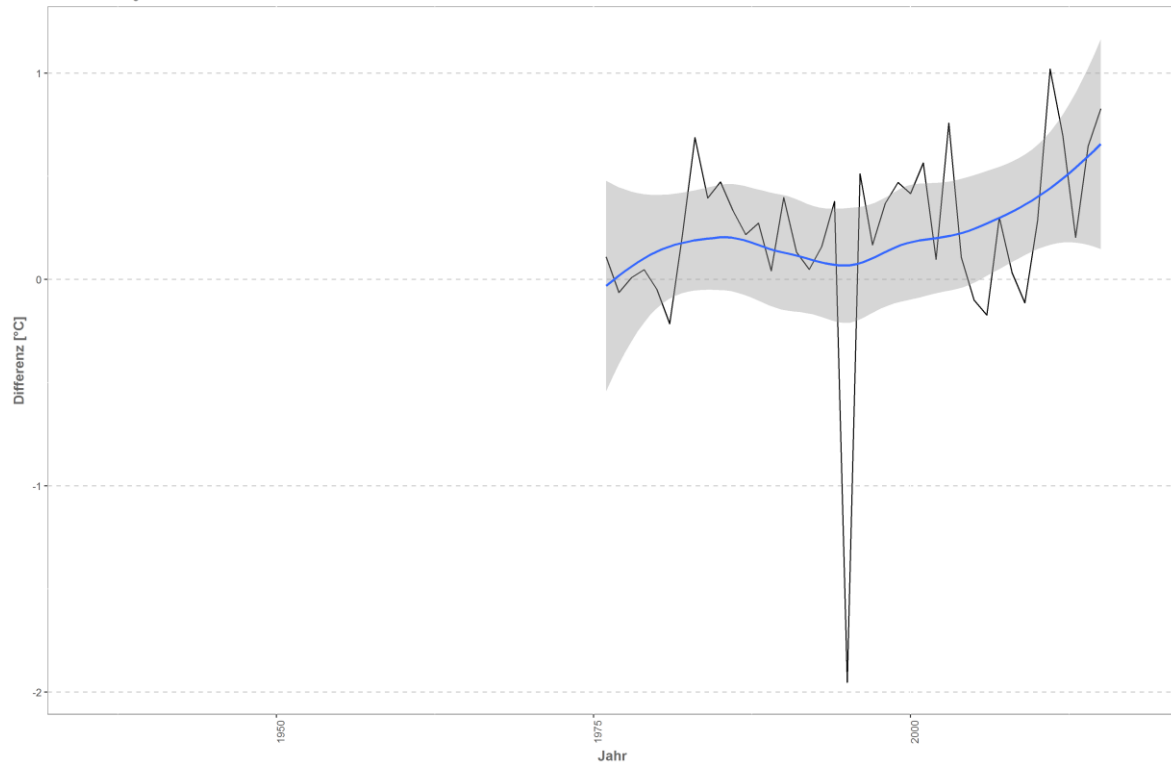
Traun - Ebelsberg



Differenzplot

tatsächlich gemessene Wassertemperatur zu Schätzwert der linearen Regression

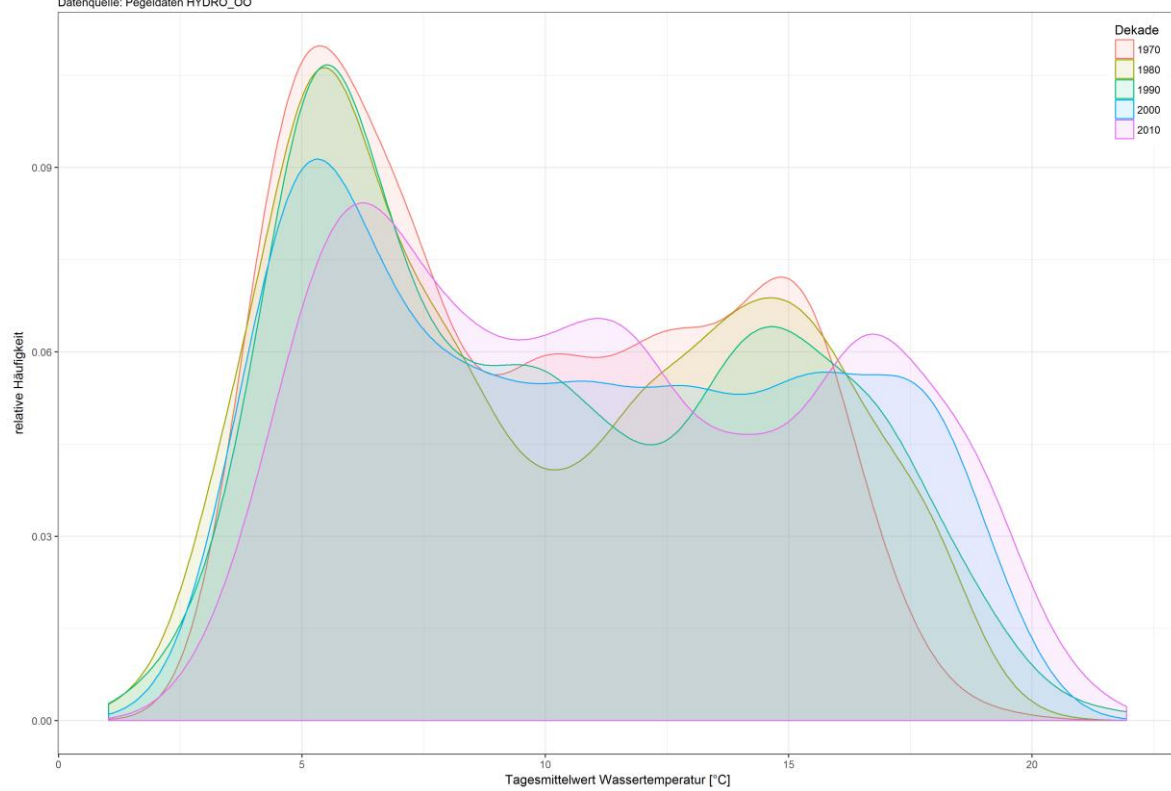
Traun - Ebelsberg



Häufigkeitsverteilung der Wassertemperaturen

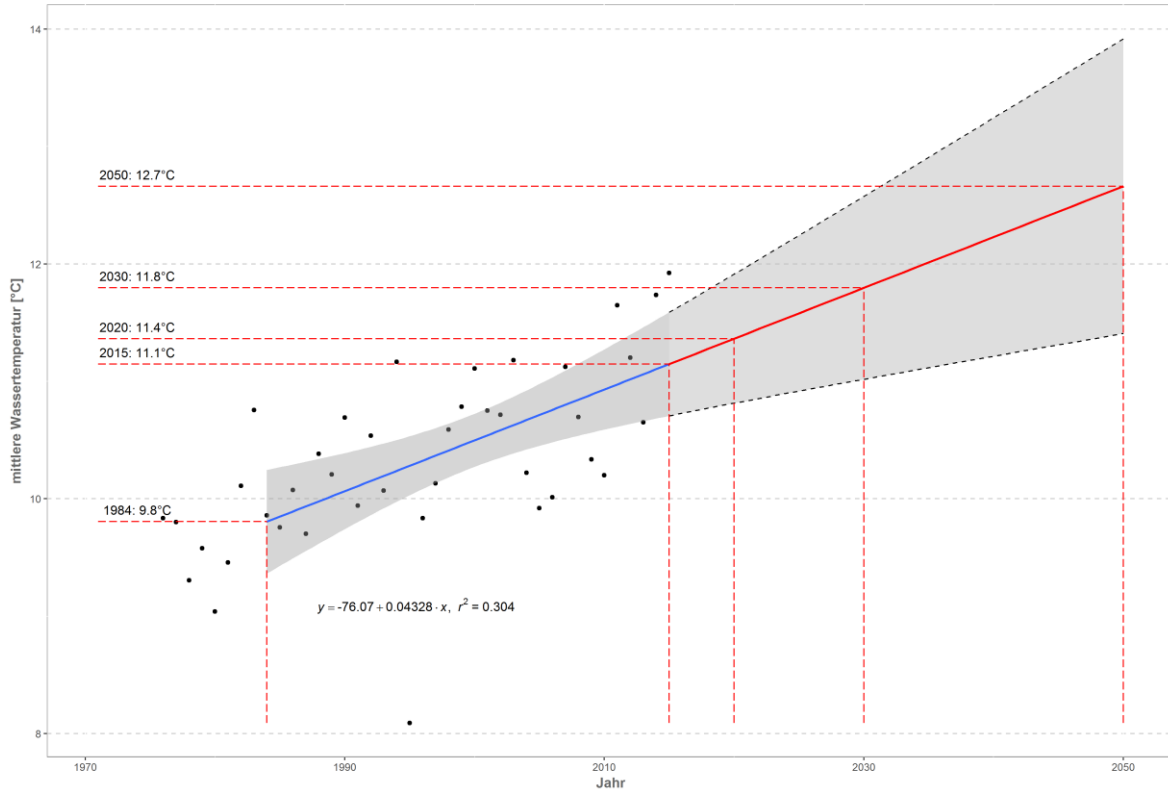
Traun - Ebelsberg

Datenquelle: Pegeldata HYDRO_OO



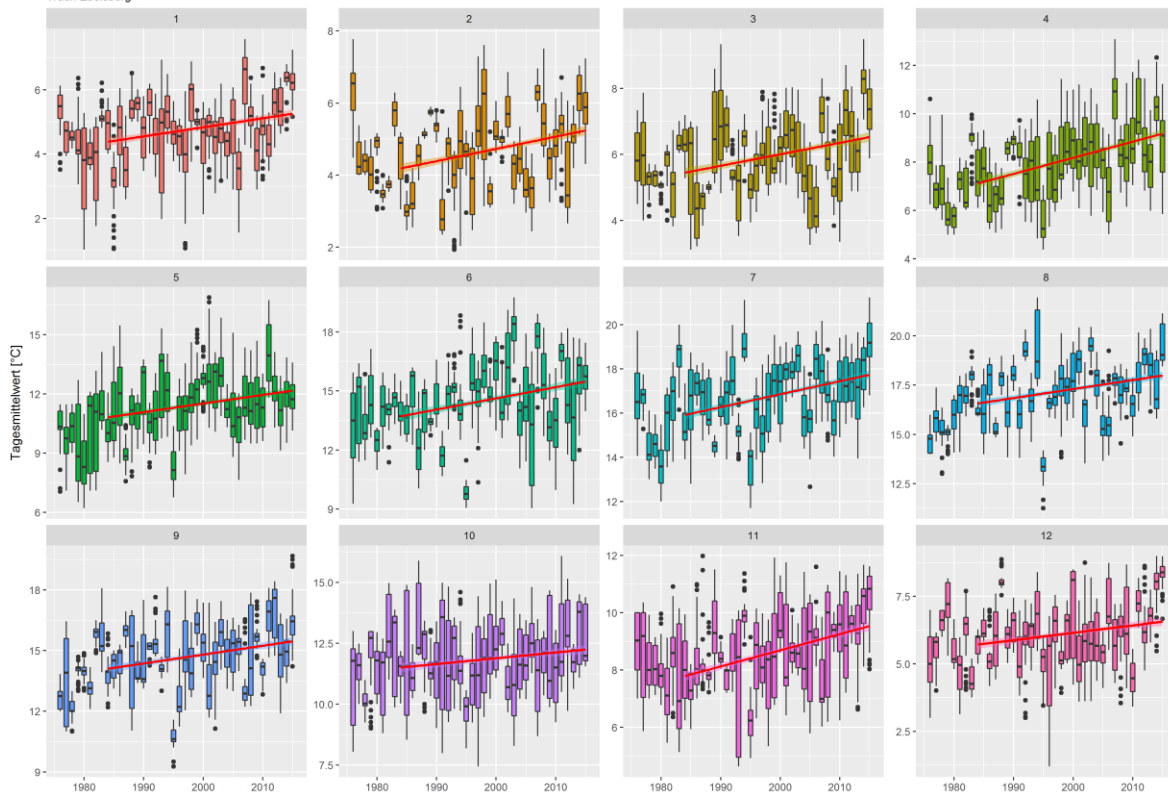
Prognose Wassertemperatur

Traun - Ebelsberg

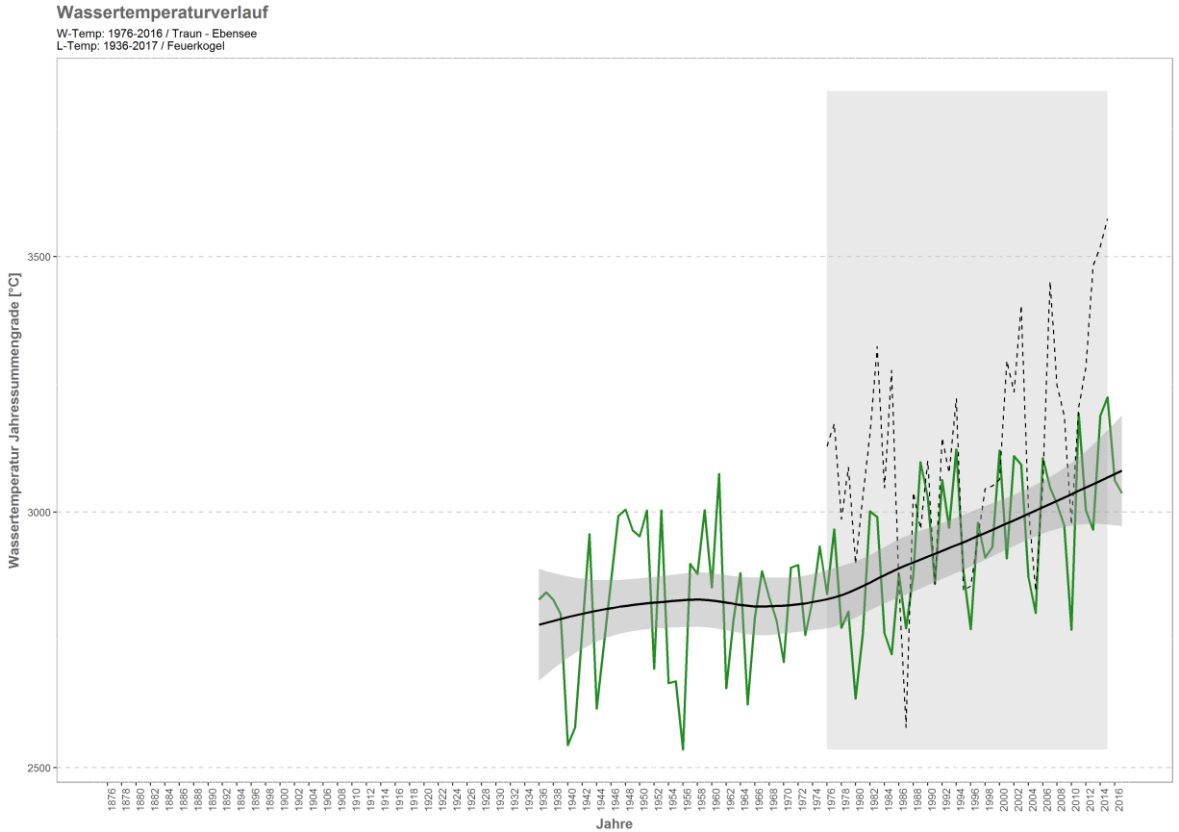
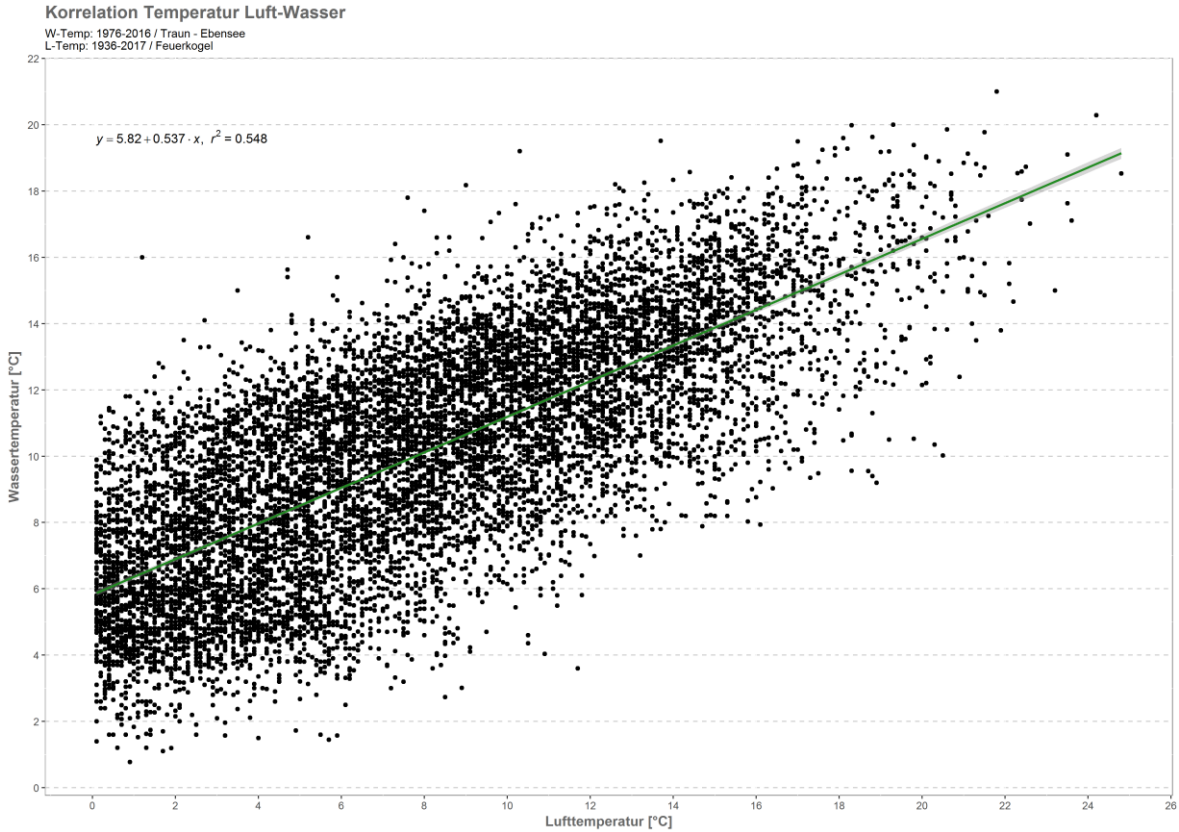


Monatsansicht der Tagesmittelwerte im Jahresverlauf

Traun Ebelsberg

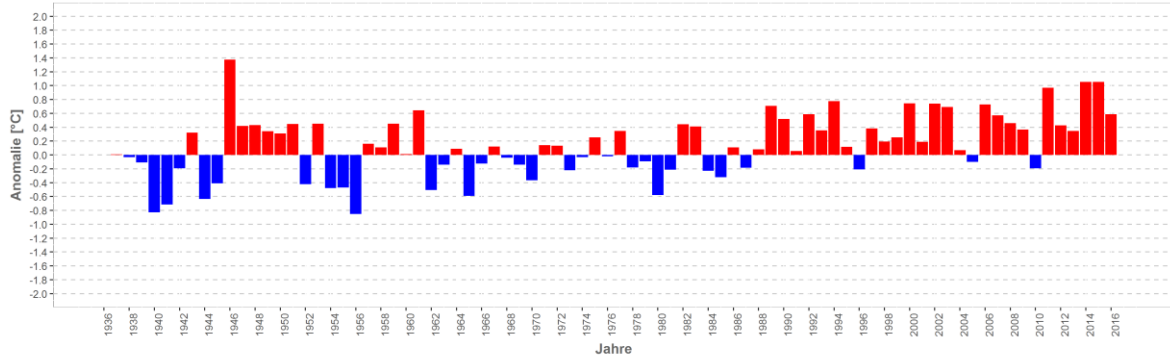


Traun – Ebensee

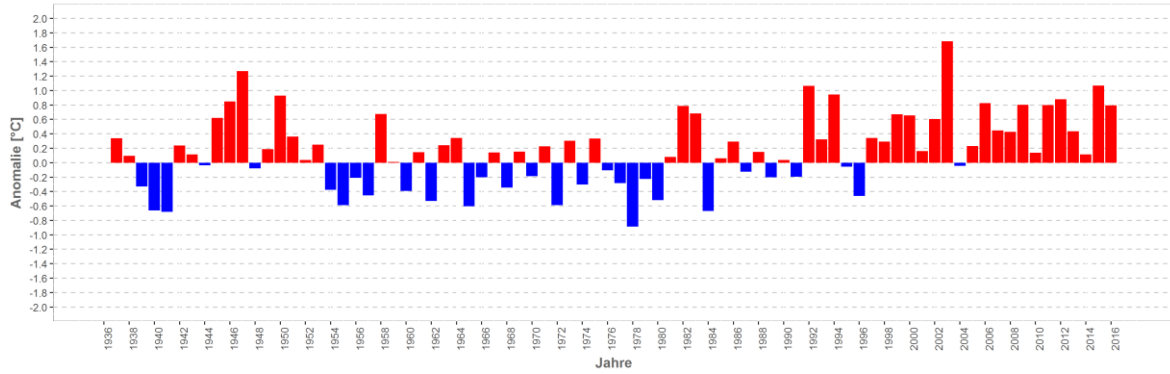


Wassertemperatur-Anomalie

Traun - Ebensee (1936-2017)
Referenz: 1961-1990

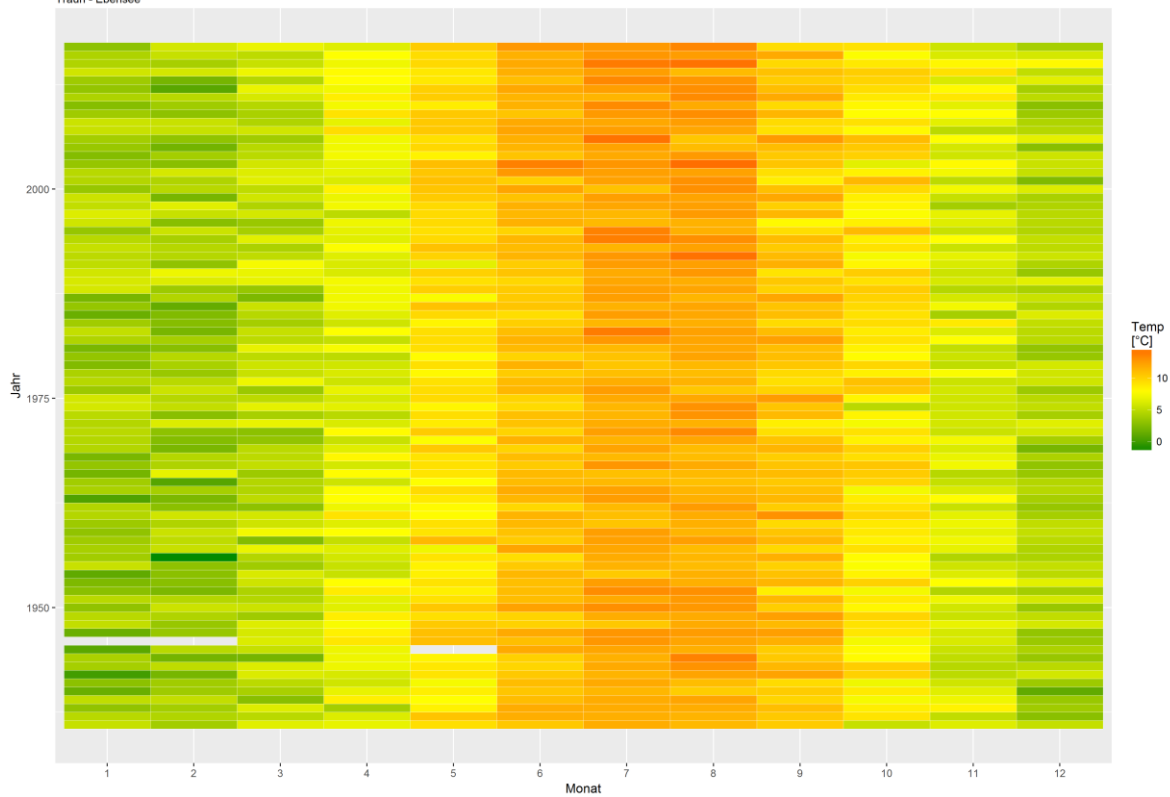


Sommermonate (Mai-Sept)



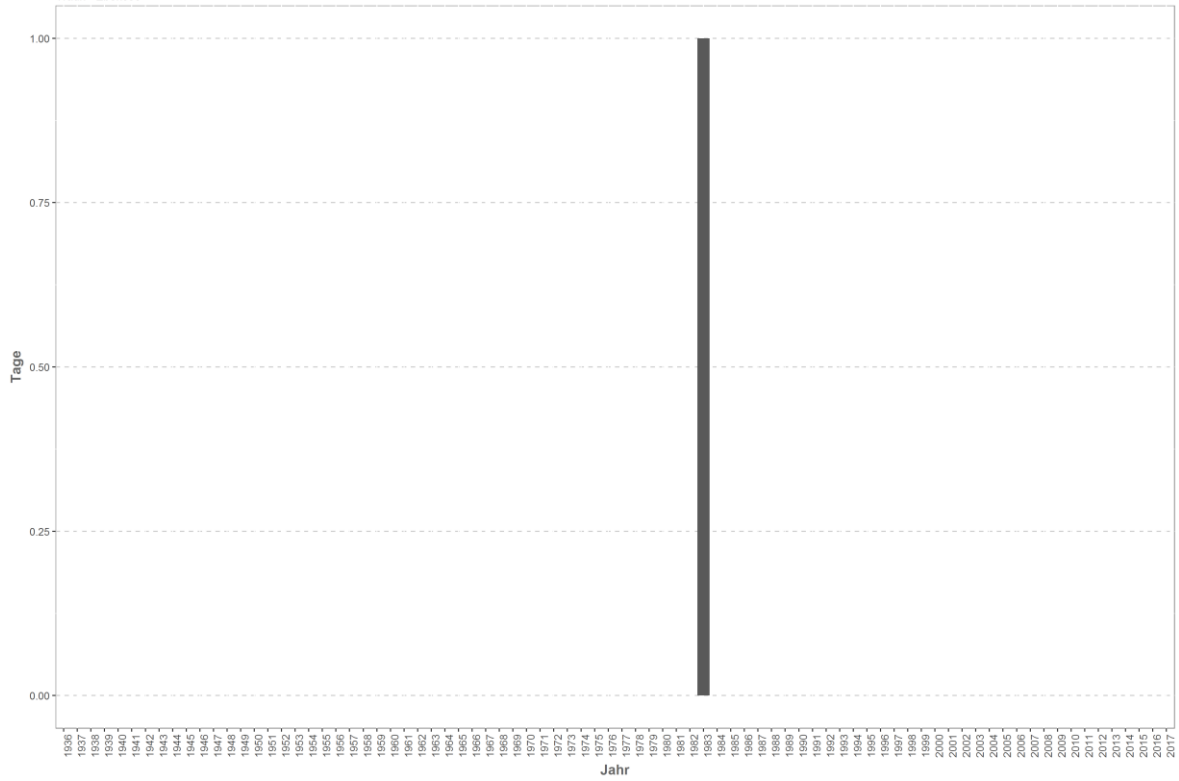
Monatsmittelwert

Traun - Ebensee



Temperaturüberschreitungen

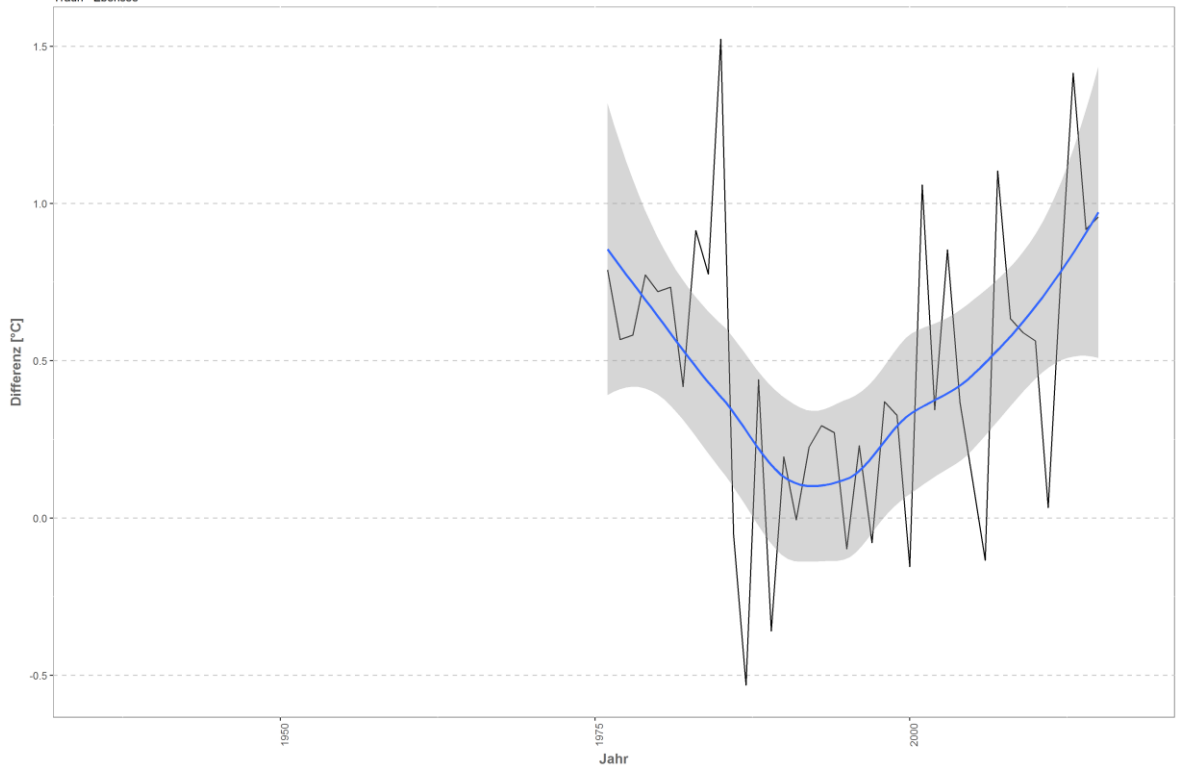
der Grenze sehr gut - gut
Traun - Ebensee



Differenzplot

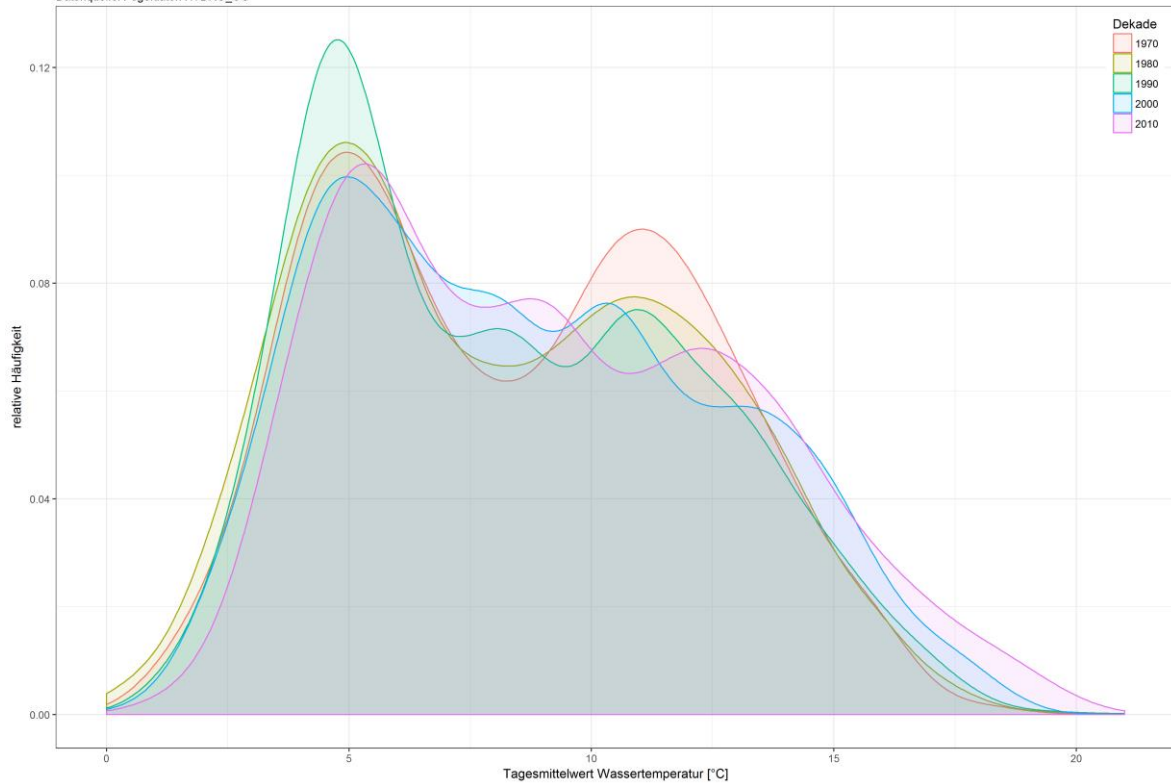
tatsächlich gemessene Wassertemperatur zu Schätzwert der linearen Regression

Traun - Ebensee



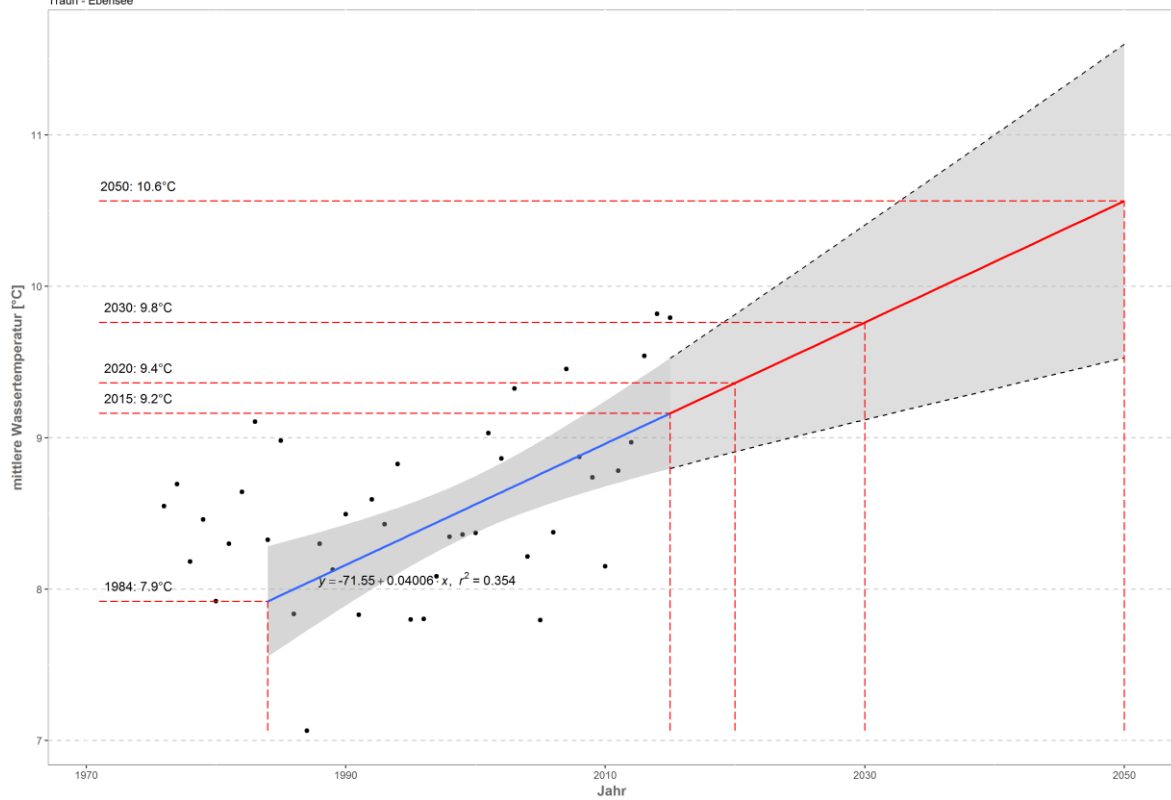
Häufigkeitsverteilung der Wassertemperaturen

Traun - Ebensee
Datenquelle: Pegeldata HYDRO_OO

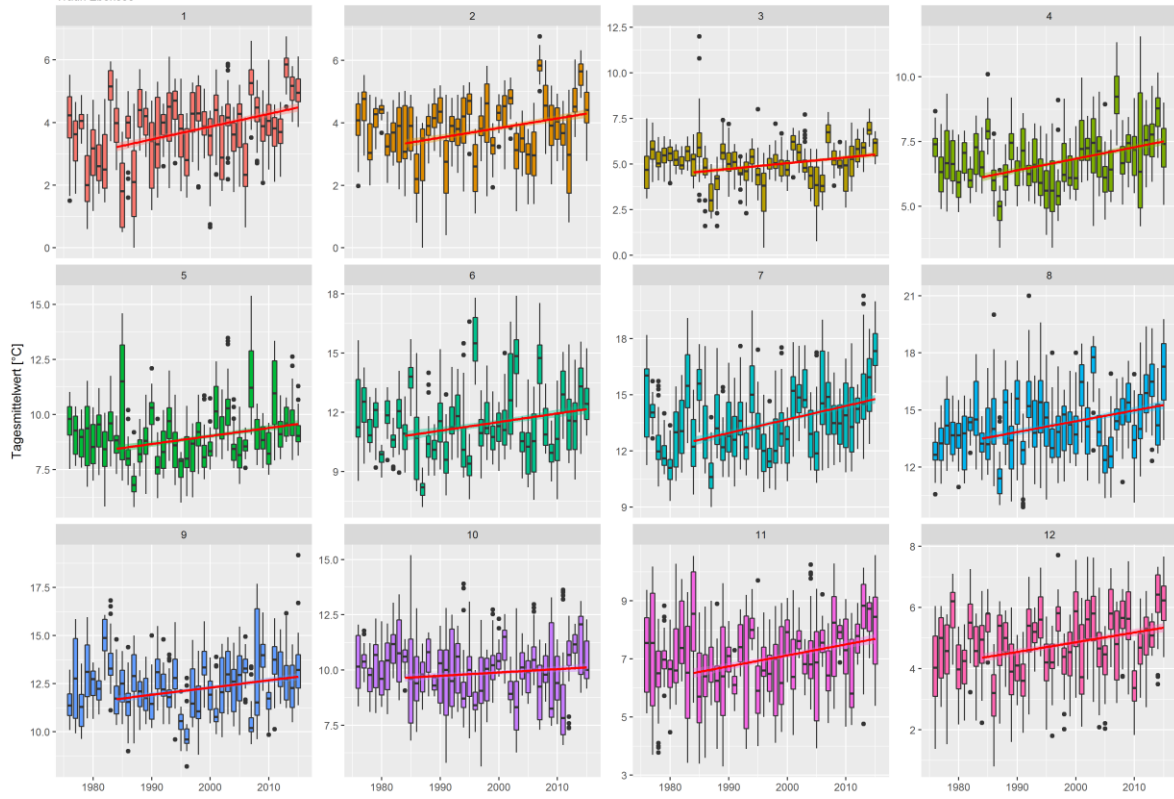


Prognose Wassertemperatur

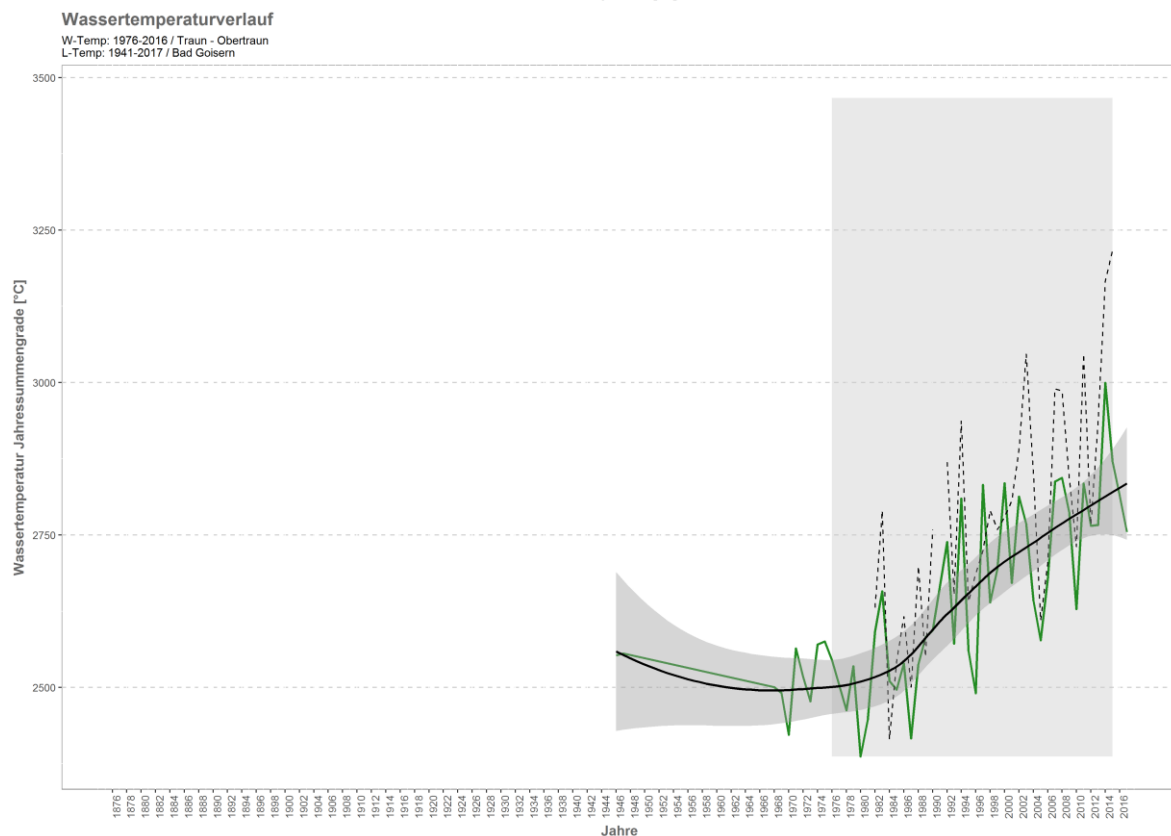
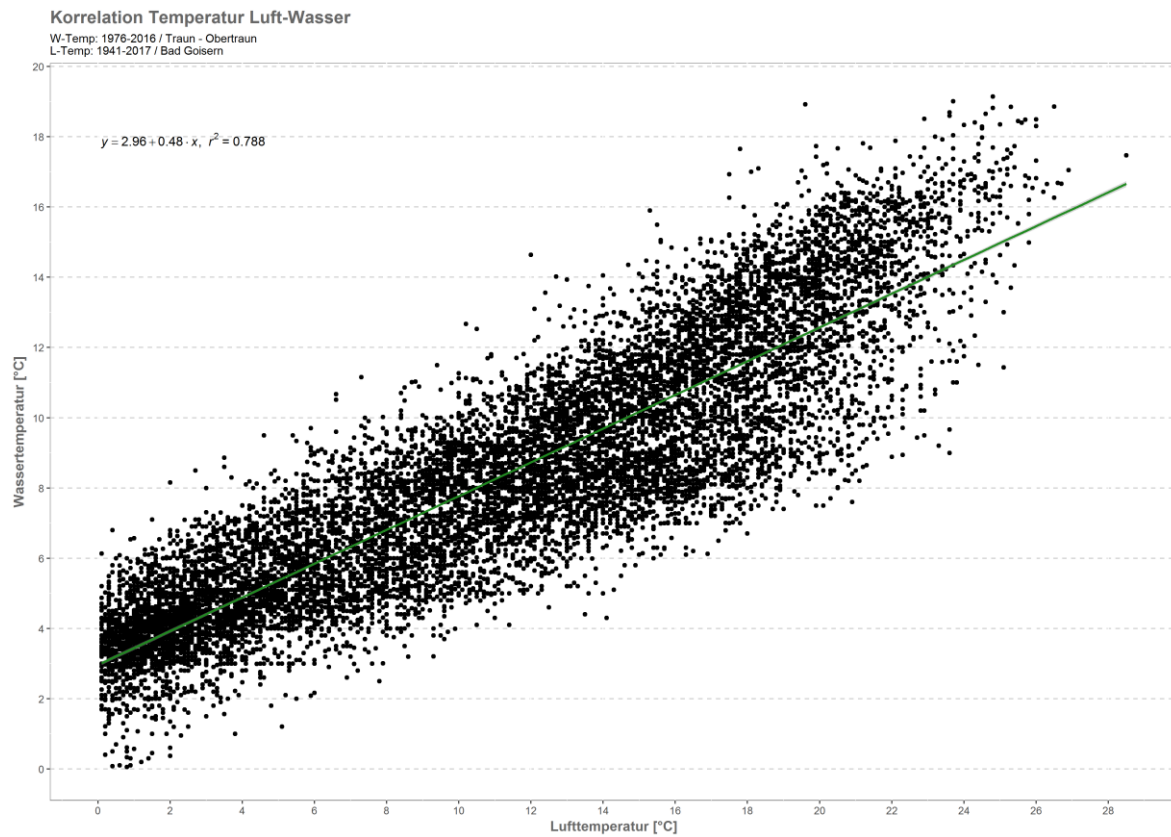
Traun - Ebensee



Monatsansicht der Tagesmittelwerte im Jahresverlauf
Traun Ebensee

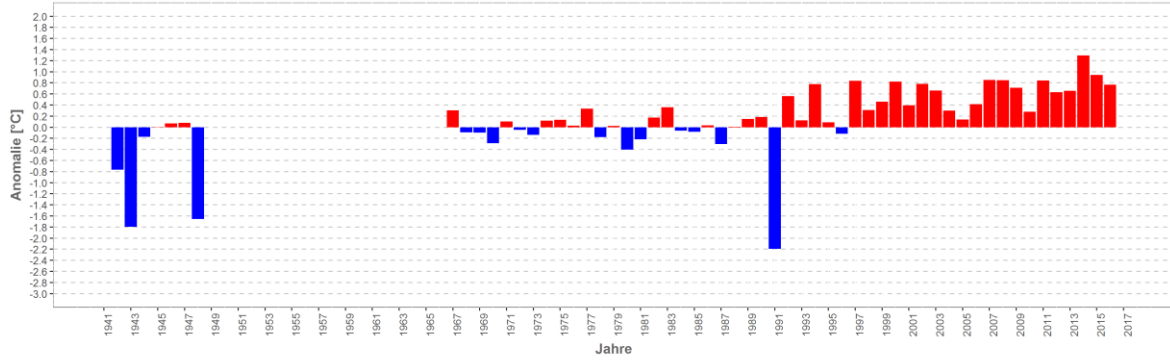


Traun – Obertraun

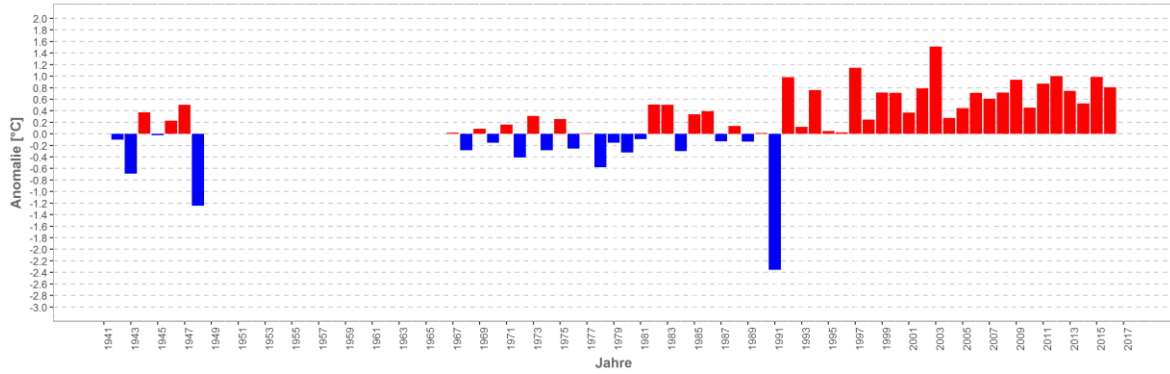


Wassertemperatur-Anomalie

Traun - Obertraun (1941-2017)
Referenz: 1961-1990

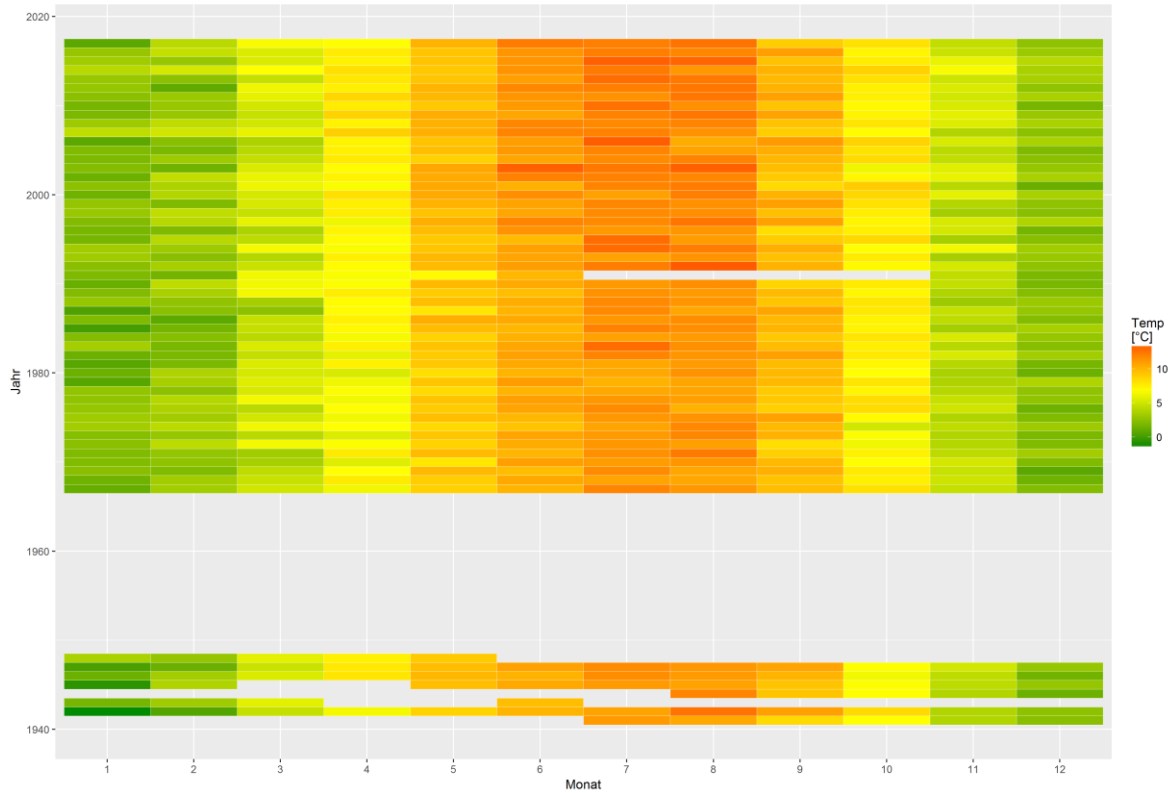


Sommermonate (Mai-Sept)



Monatsmittelwert

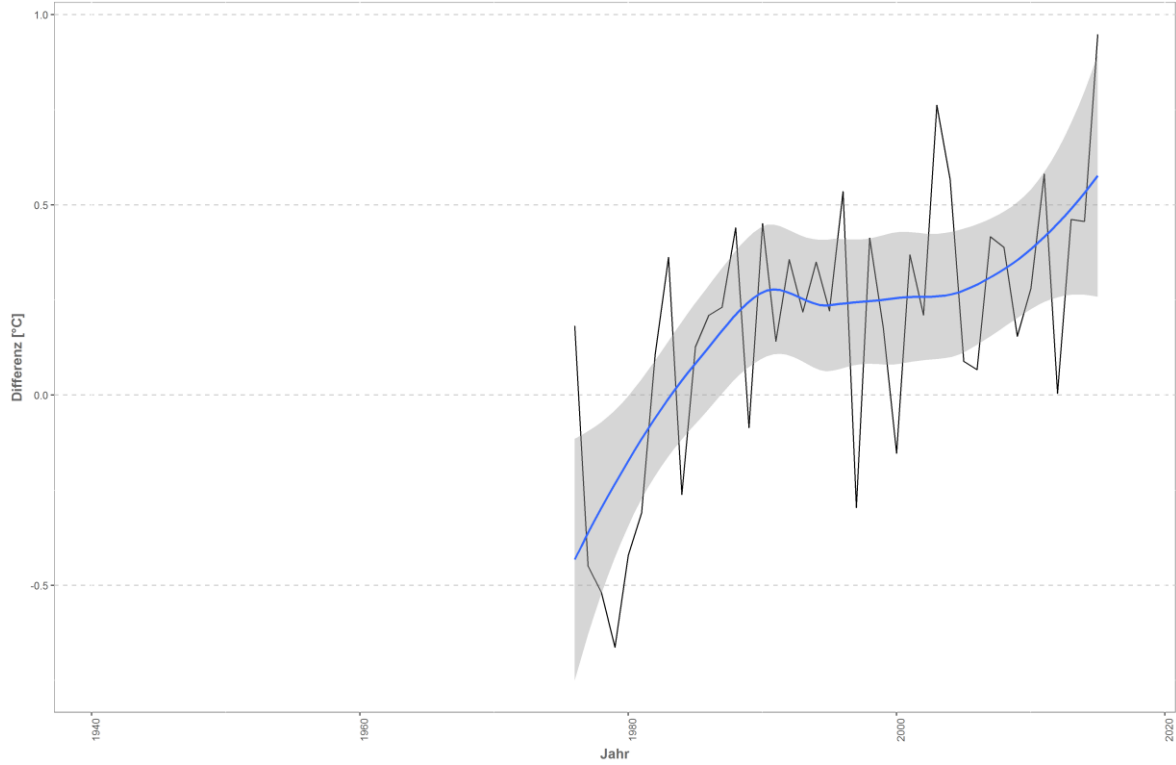
Traun - Obertraun



Differenzplot

tatsächlich gemessene Wassertemperatur zu Schätzwert der linearen Regression

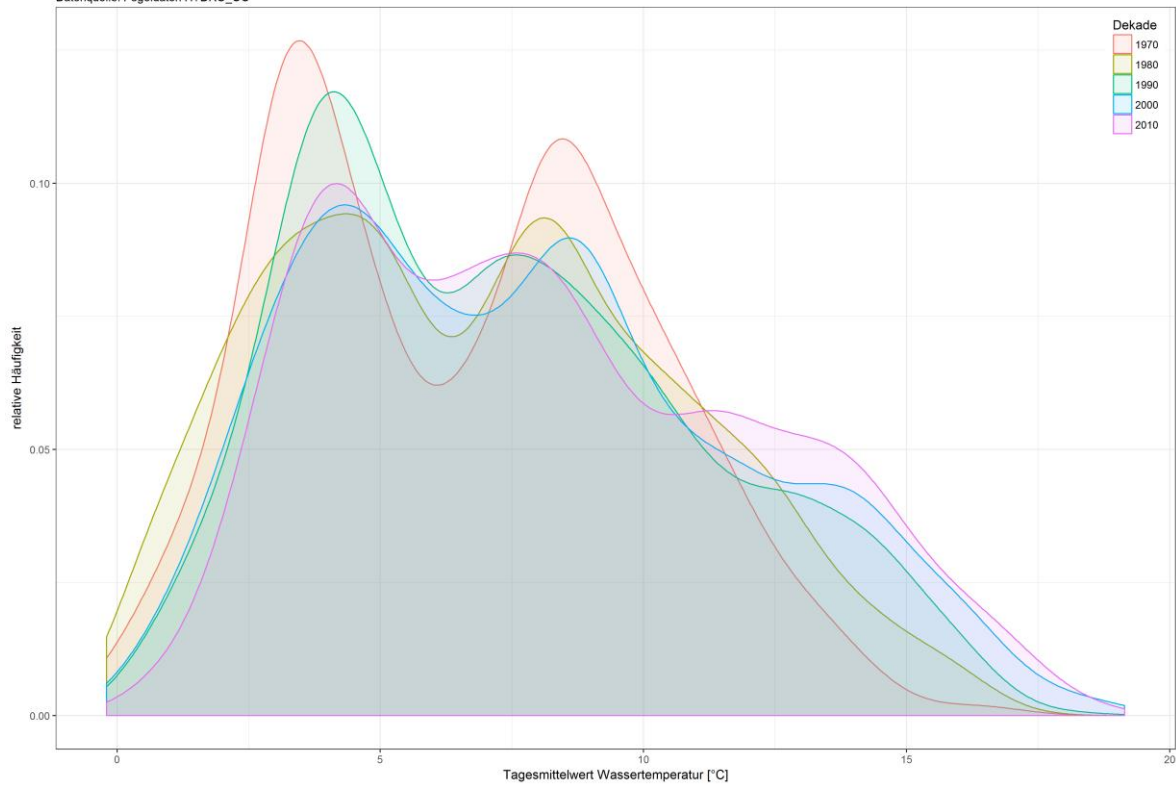
Traun - Obertraun



Häufigkeitsverteilung der Wassertemperaturen

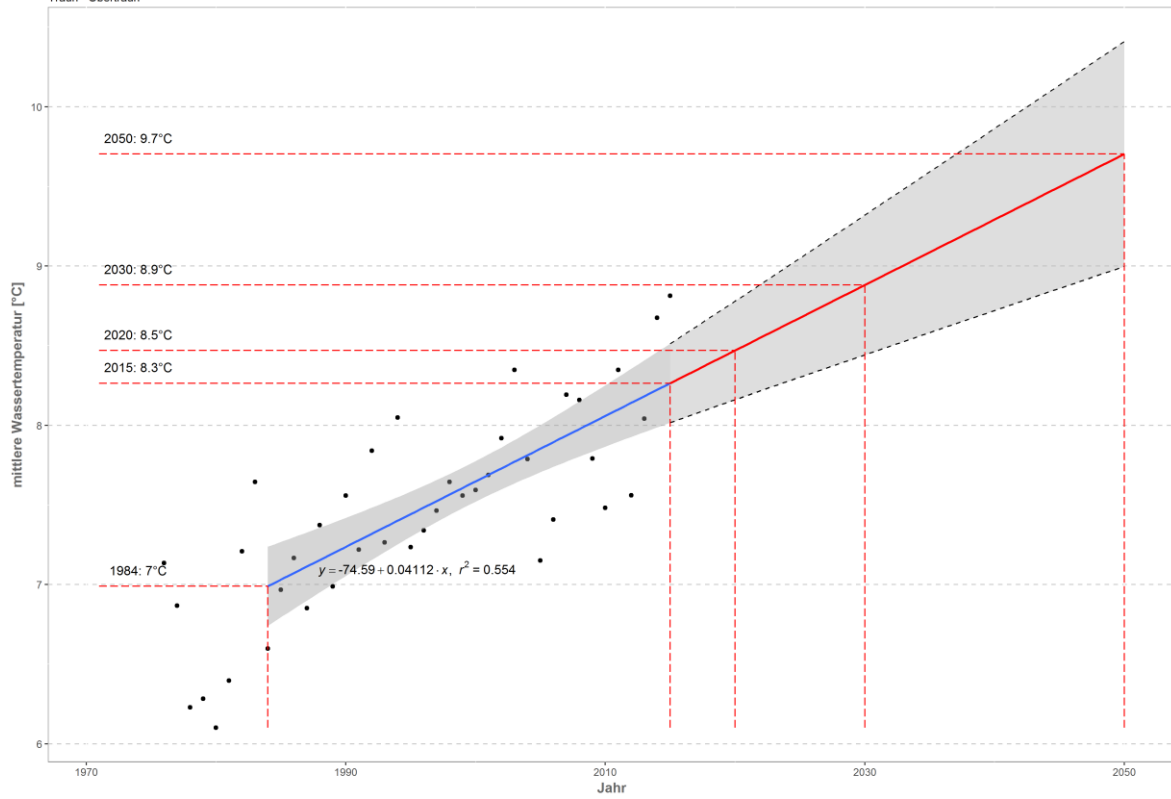
Traun - Obertraun

Datenquelle: Pegeldata HYDRO_OO



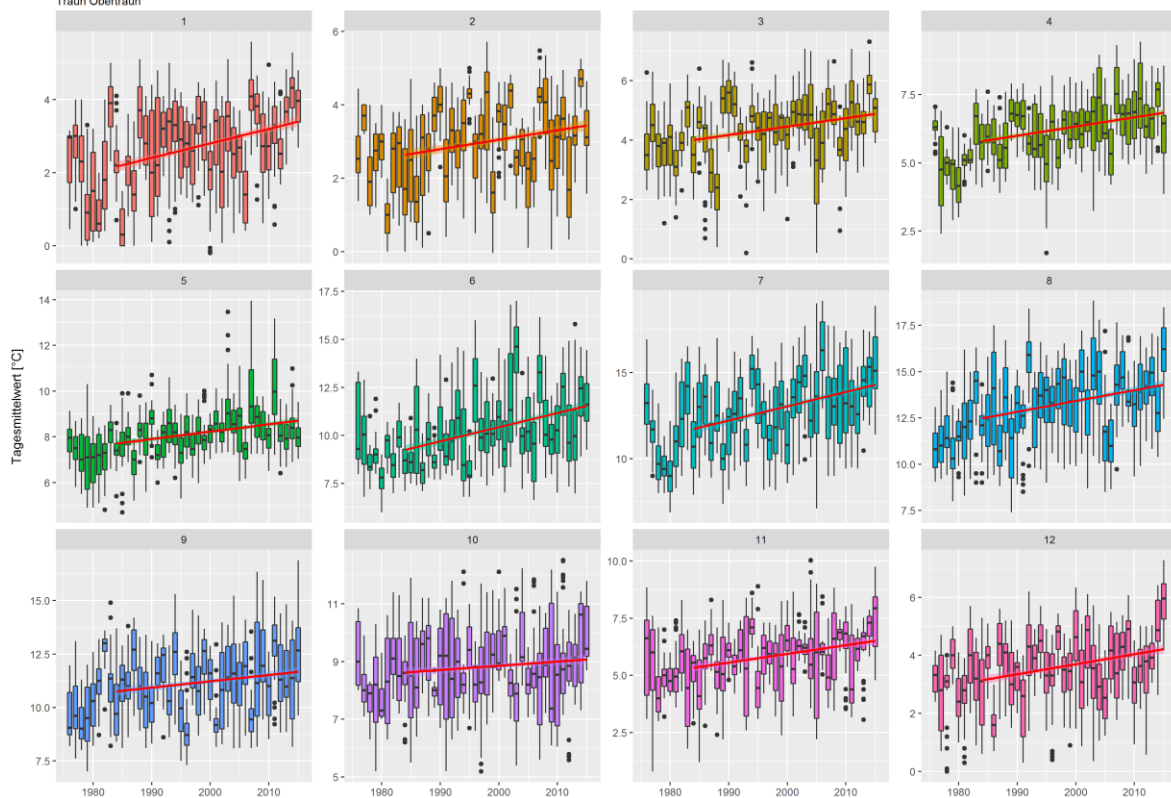
Prognose Wassertemperatur

Traun - Obertraun

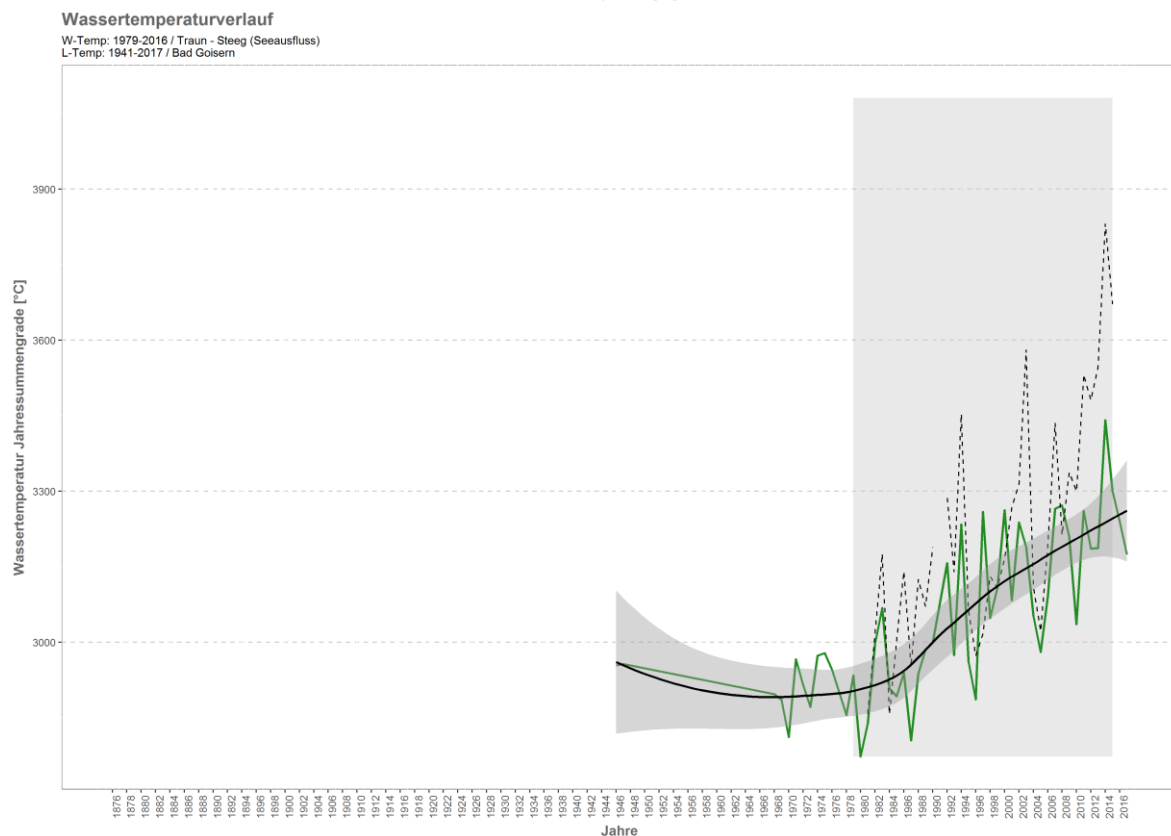
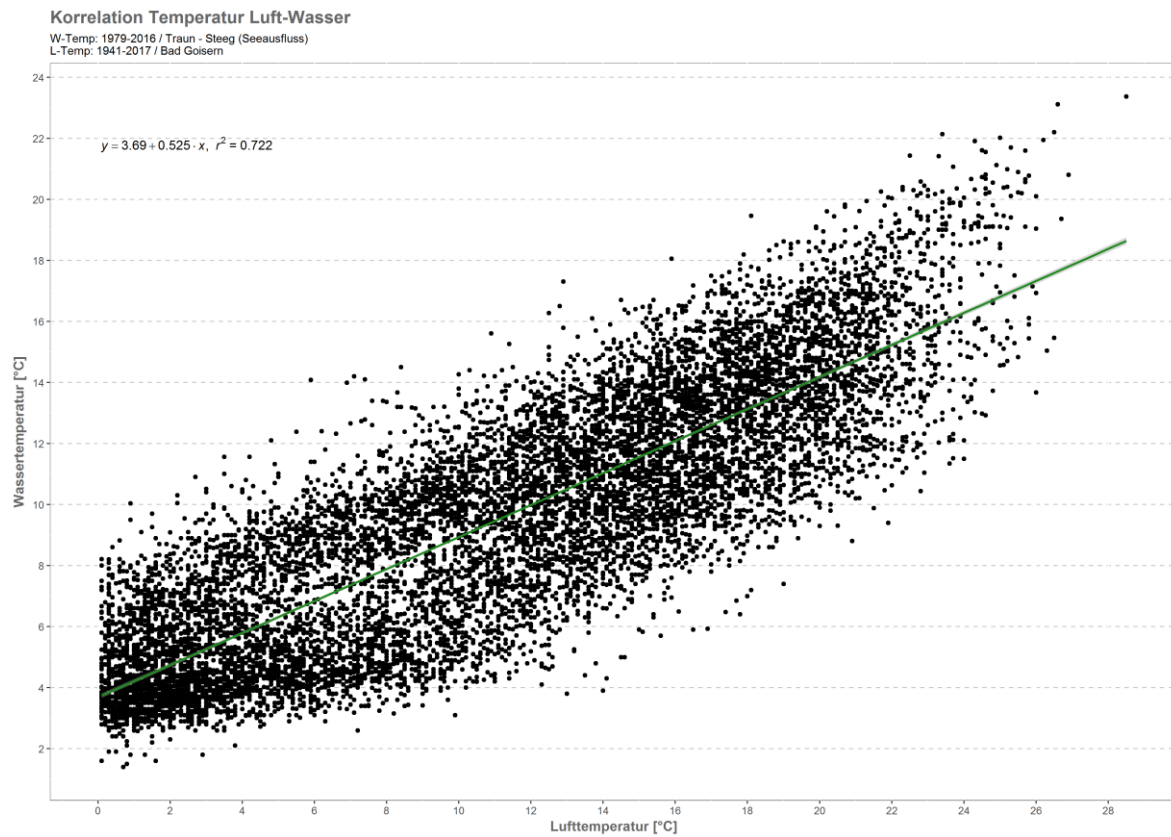


Monatsansicht der Tagesmittelwerte im Jahresverlauf

Traun Obertraun

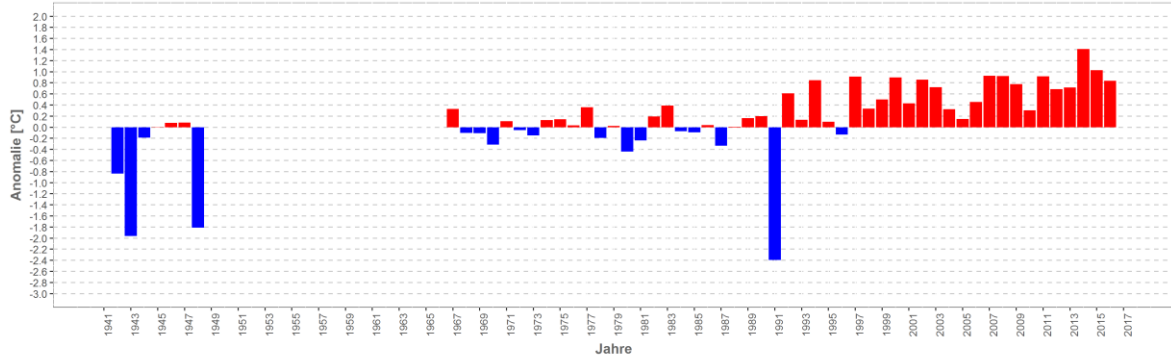


Traun – Steeg (Seeausfluss)

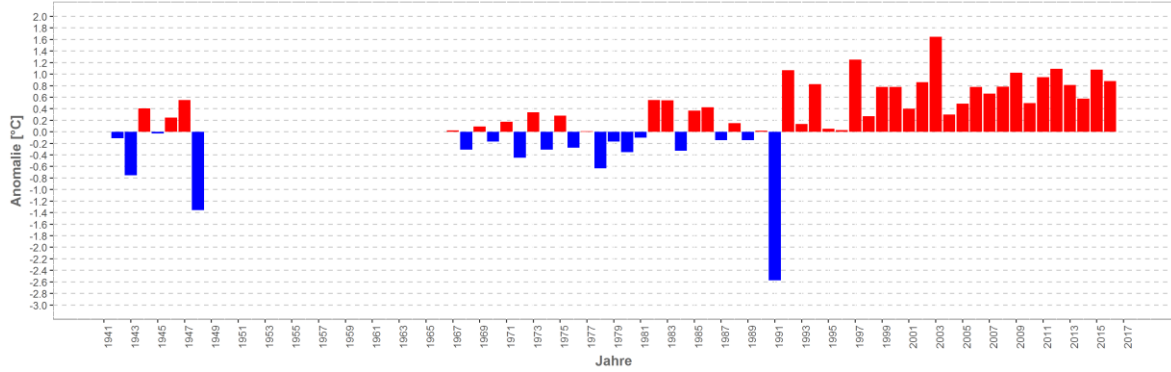


Wassertemperatur-Anomalie

Traun - Steeg (Seeausfluss) (1941-2017)
Referenz: 1961-1990

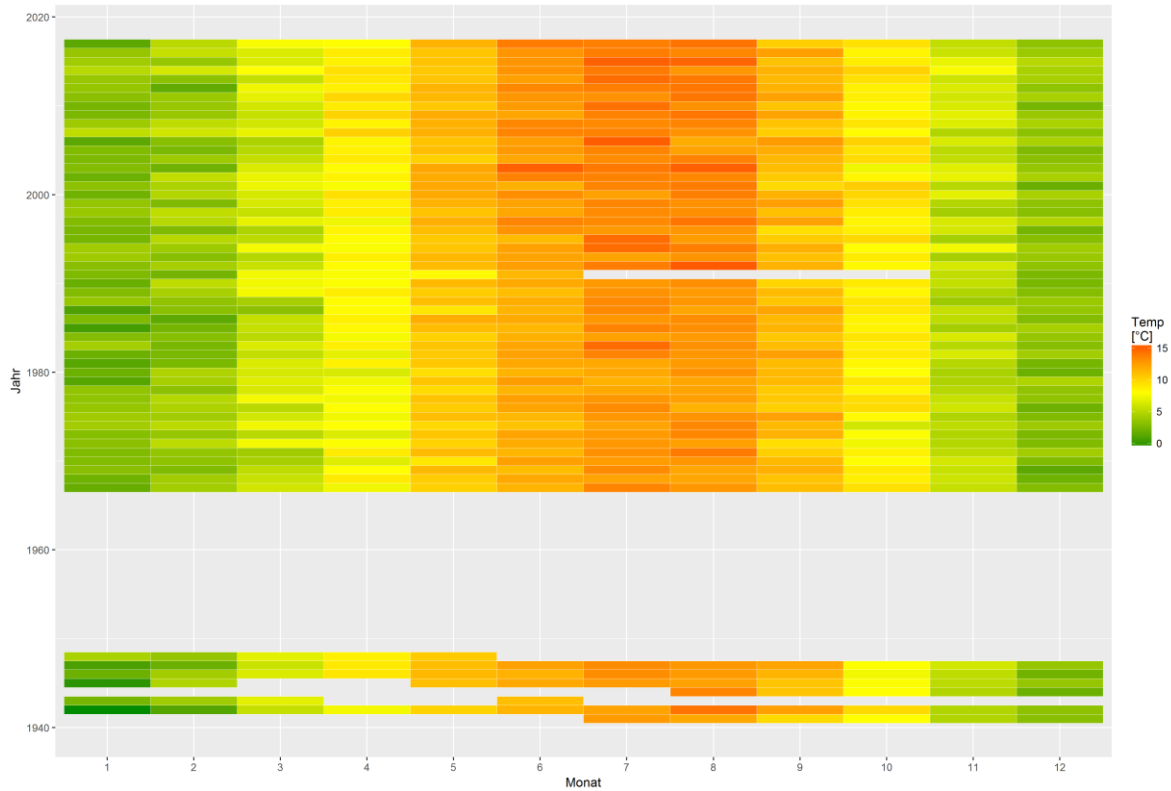


Sommermonate (Mai-Sept)



Monatsmittelwert

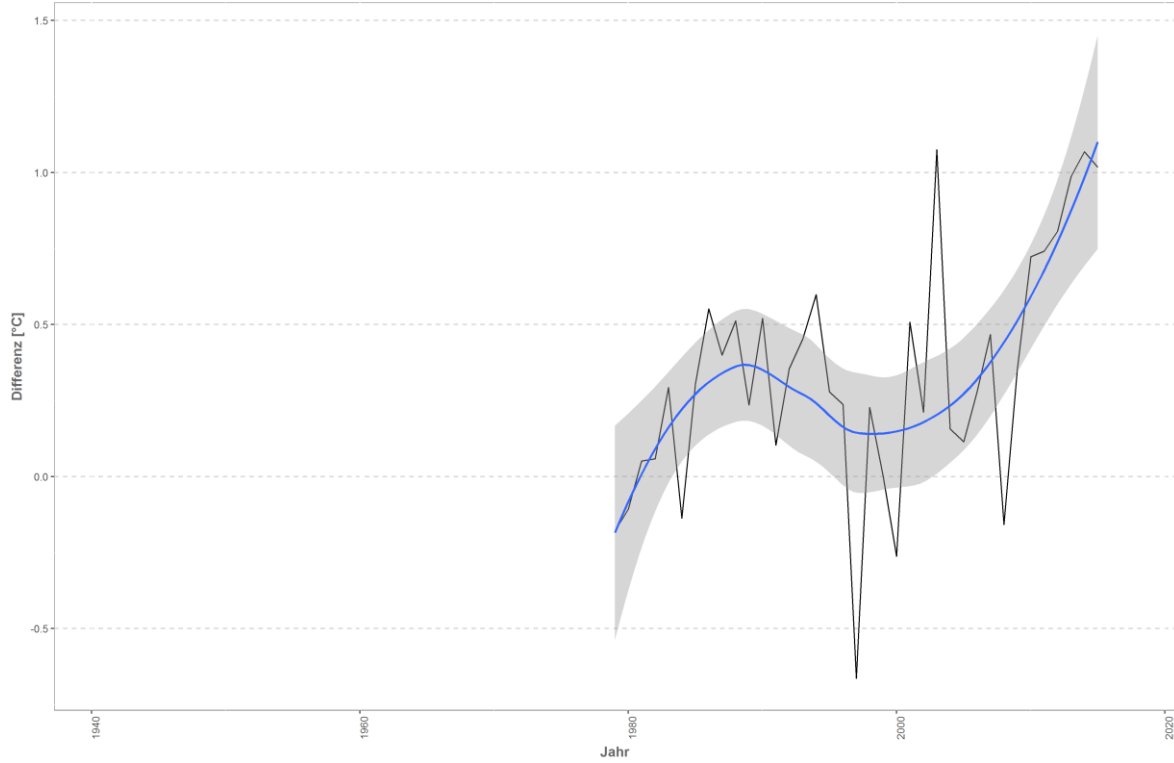
Traun - Steeg (Seeausfluss)



Differenzplot

tatsächlich gemessene Wassertemperatur zu Schätzwert der linearen Regression

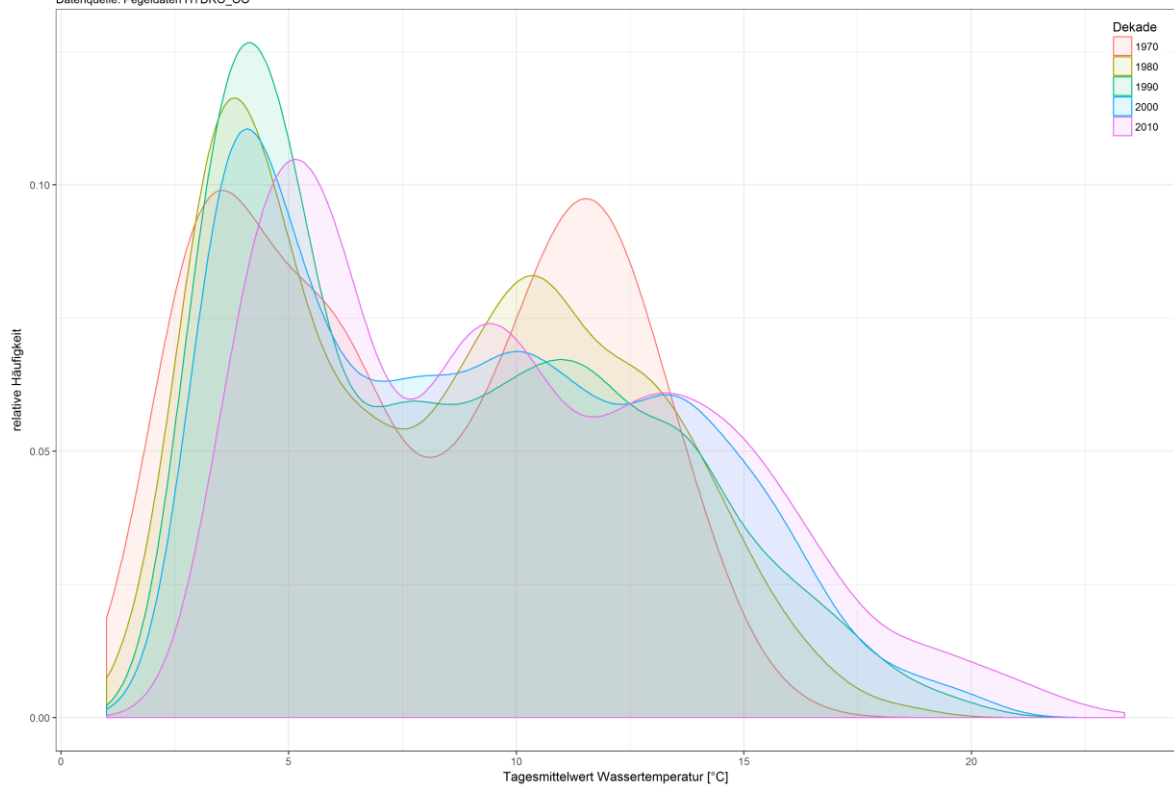
Traun - Steeg (Seeausfluss)



Häufigkeitsverteilung der Wassertemperaturen

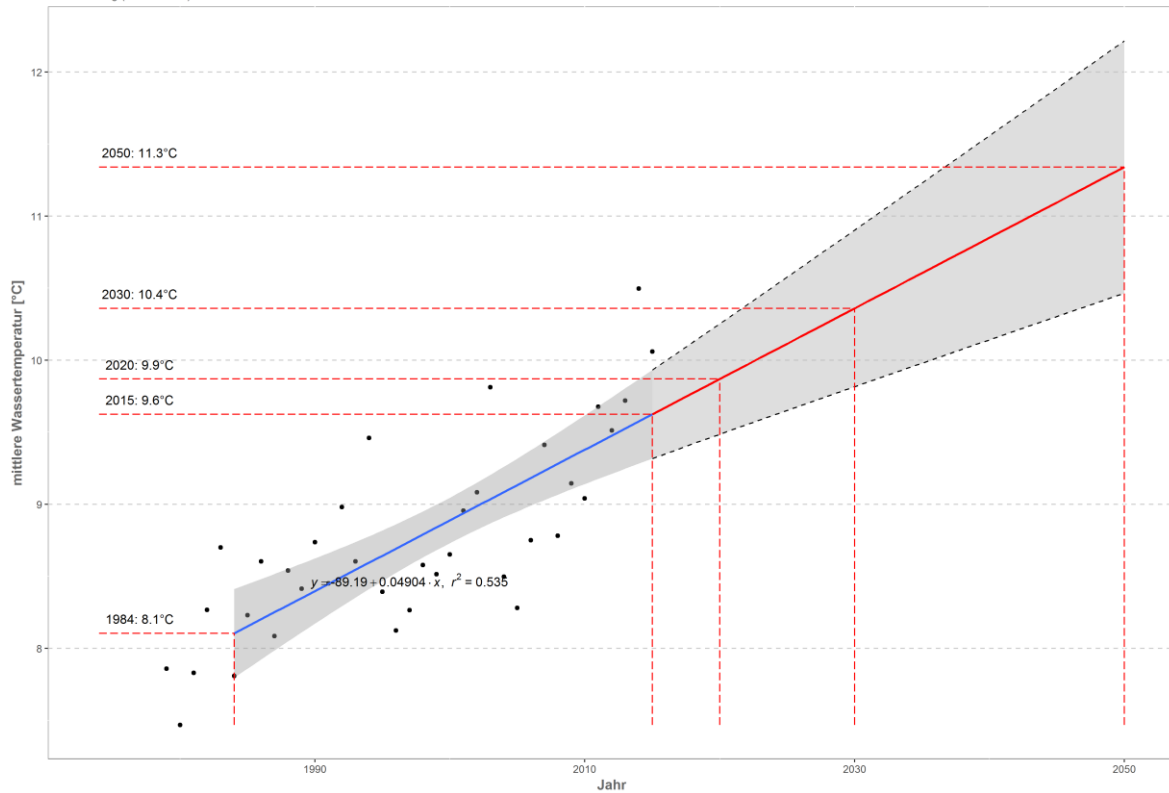
Traun - Steeg (Seeausfluss)

Datenquelle: Pegeldata HYDRO_OO



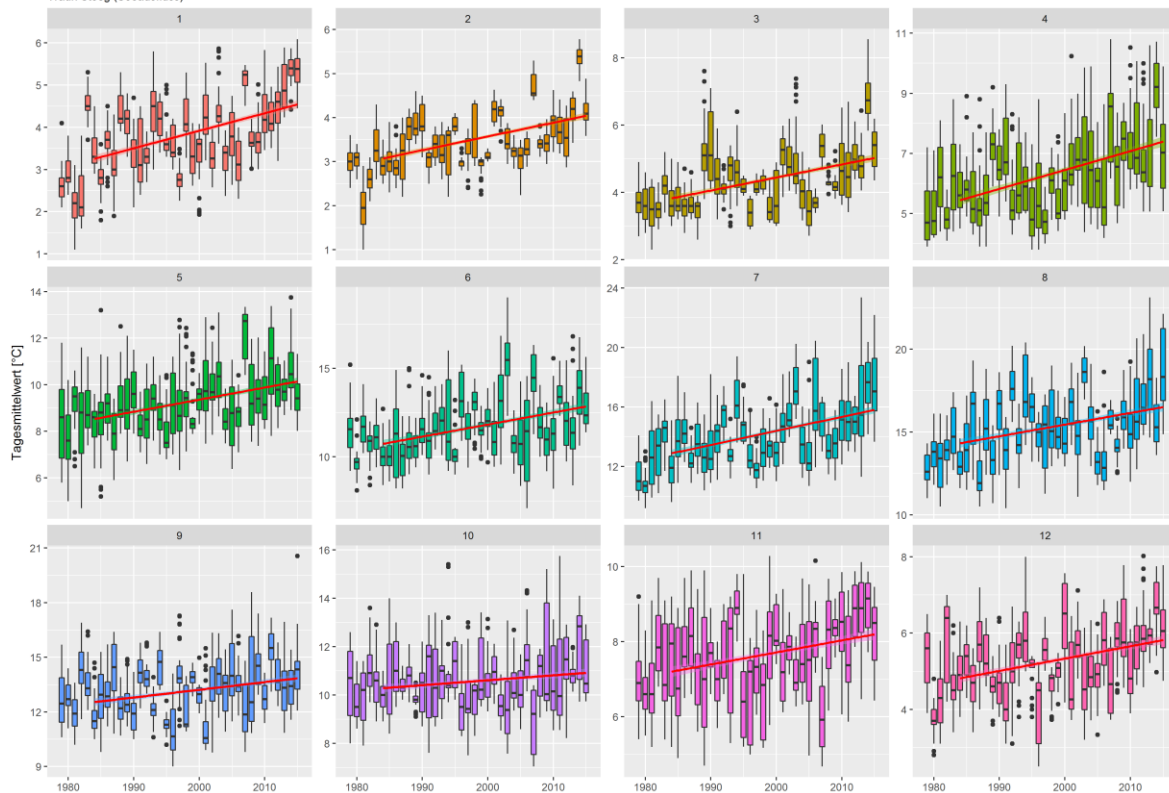
Prognose Wassertemperatur

Traun - Steeg (Seeausfluss)



Monatsansicht der Tagesmittelwerte im Jahresverlauf

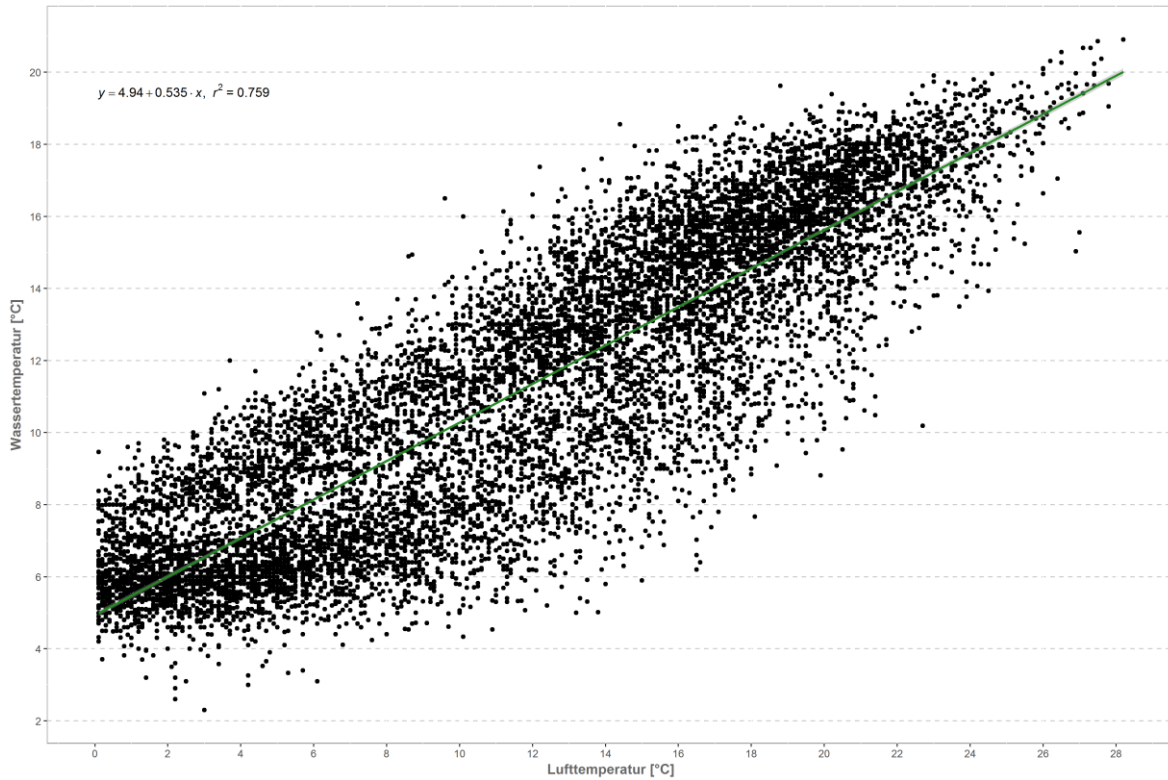
Traun Steeg (Seeausfluss)



Traun – Wels-Lichtenegg

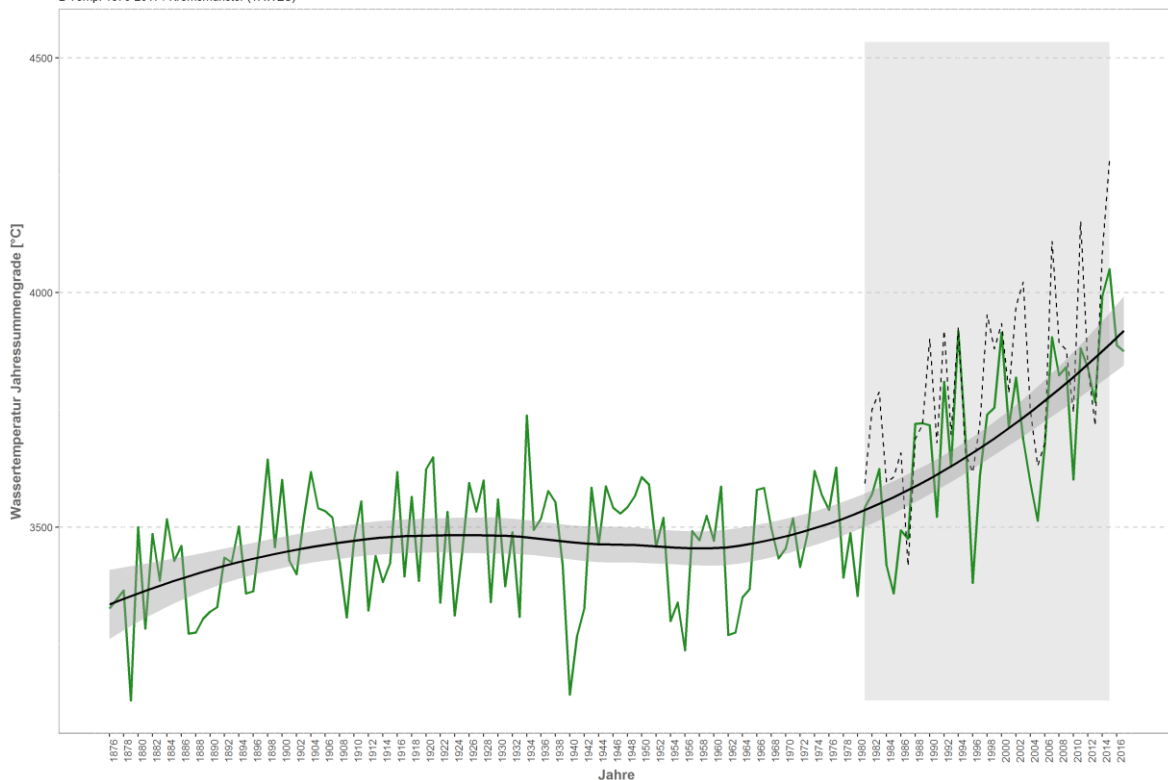
Korrelation Temperatur Luft-Wasser

W-Temp: 1981-2016 / Traun - Wels-Lichtenegg
L-Temp: 1876-2017 / Kremsmünster (TAWES)



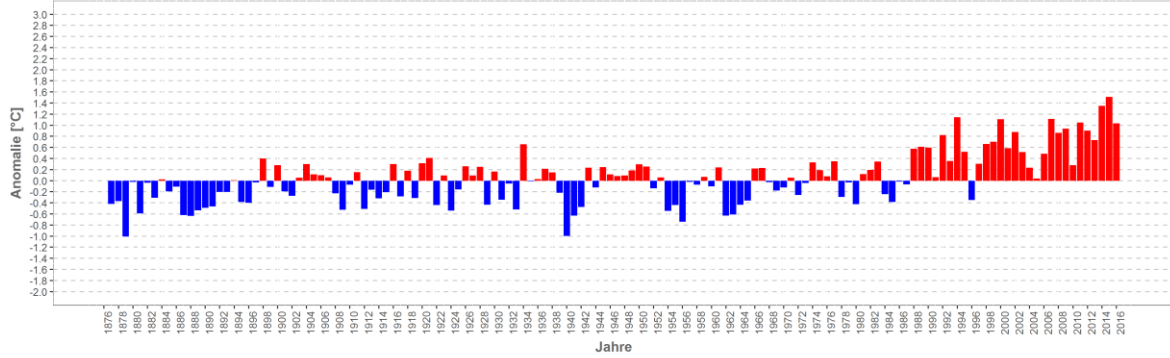
Wassertemperaturverlauf

W-Temp: 1981-2016 / Traun - Wels-Lichtenegg
L-Temp: 1876-2017 / Kremsmünster (TAWES)

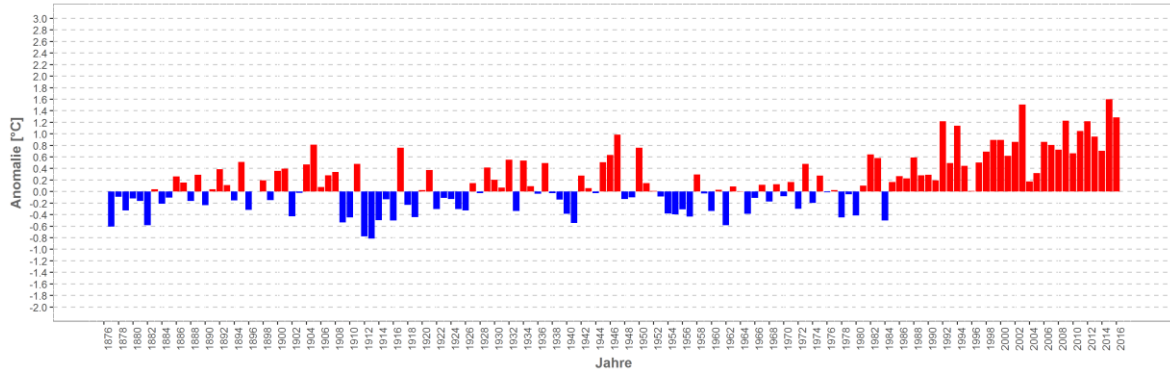


Wassertemperatur-Anomalie

Traun - Wels-Lichtenegg (1876-2017)
 Referenz: 1961-1990

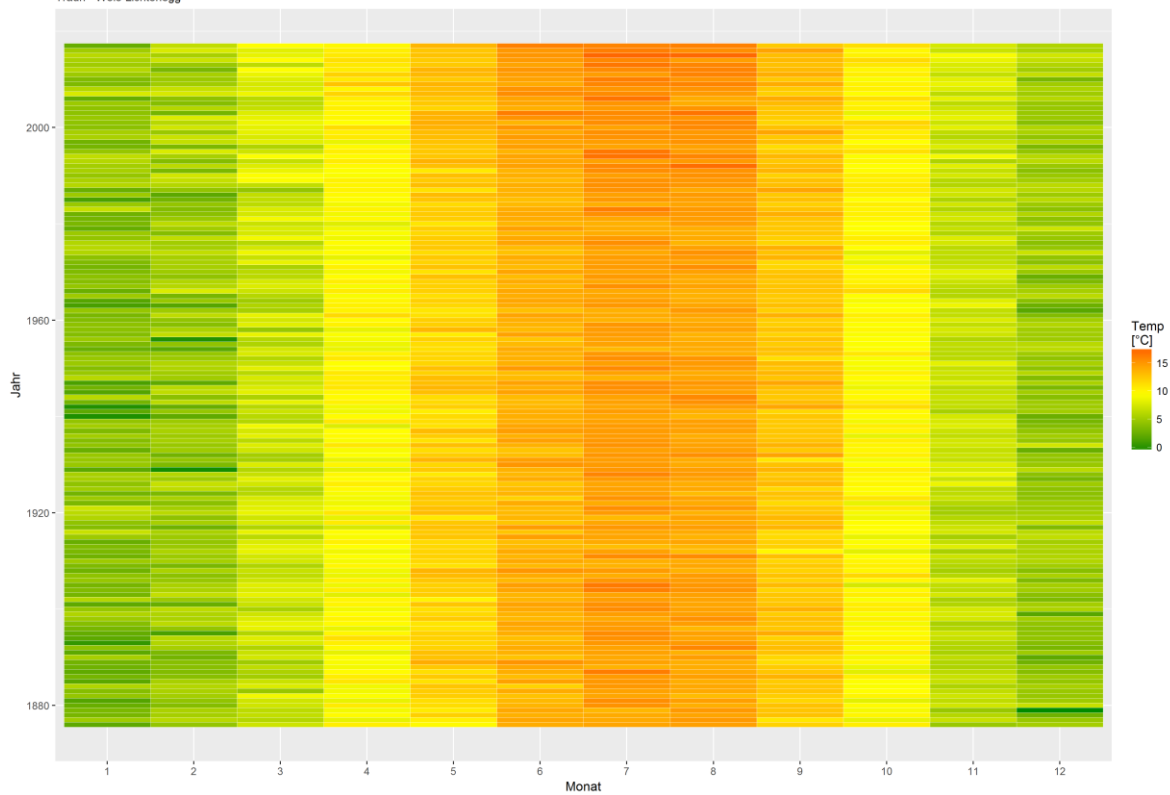


Sommermonate (Mai-Sept)



Monatsmittelwert

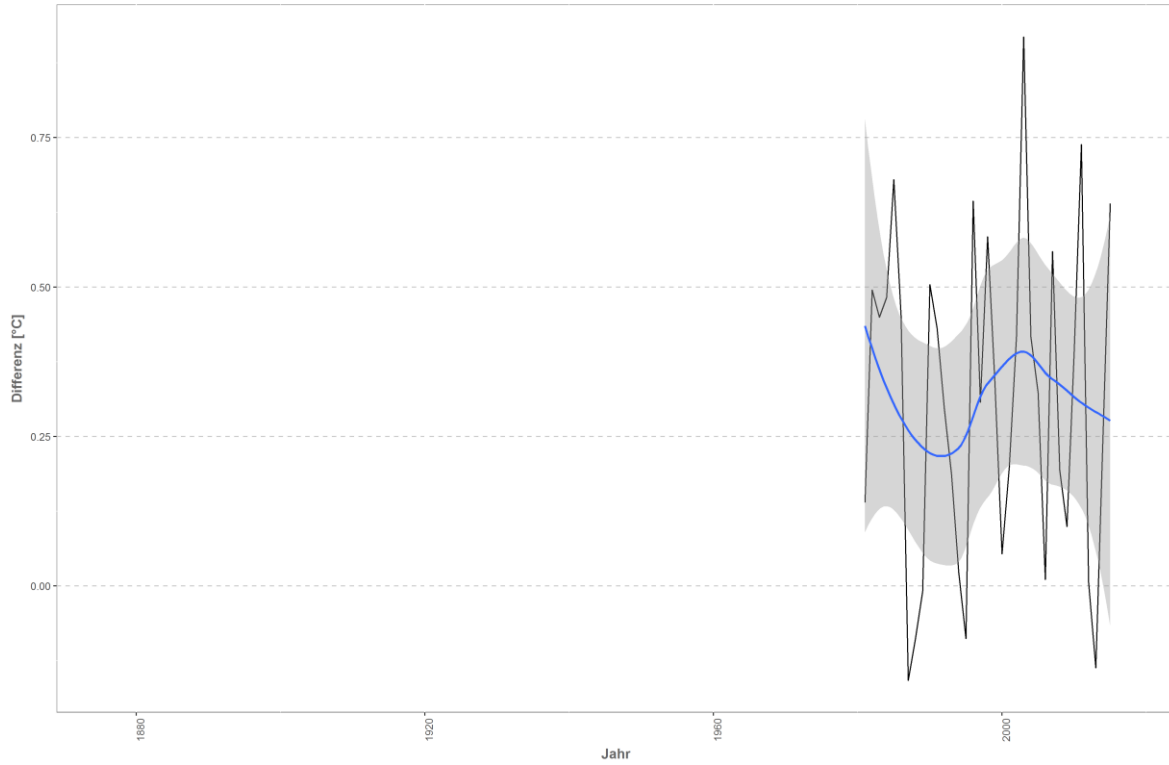
Traun - Wels-Lichtenegg



Differenzplot

tatsächlich gemessene Wassertemperatur zu Schätzwert der linearen Regression

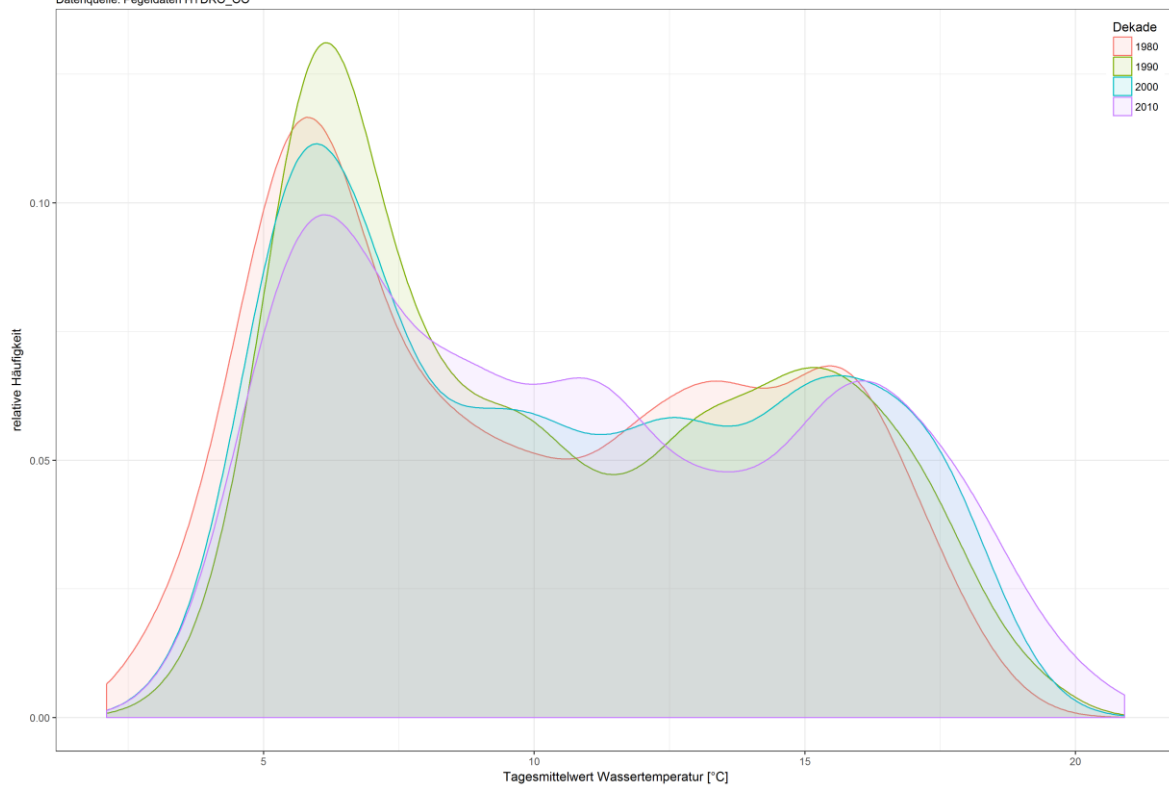
Traun - Wels-Lichtenegg



Häufigkeitsverteilung der Wassertemperaturen

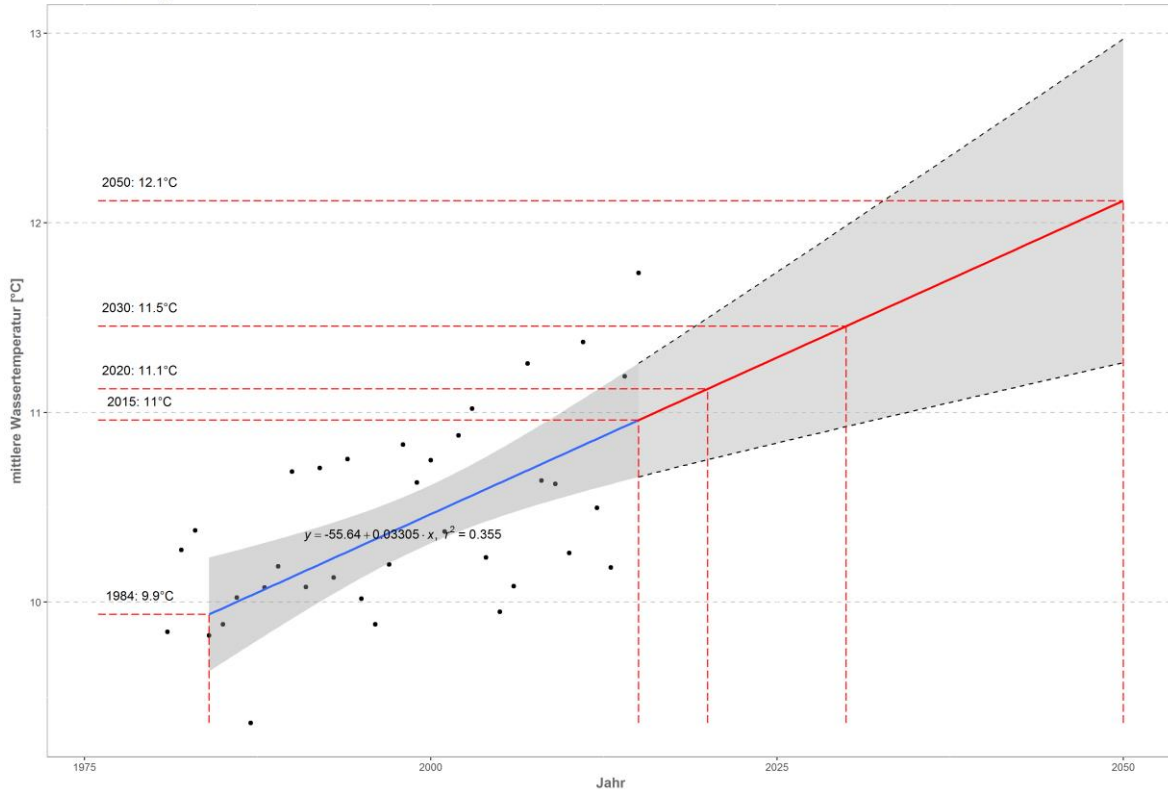
Traun - Wels-Lichtenegg

Datenquelle: Pegeldaten HYDRO_OO



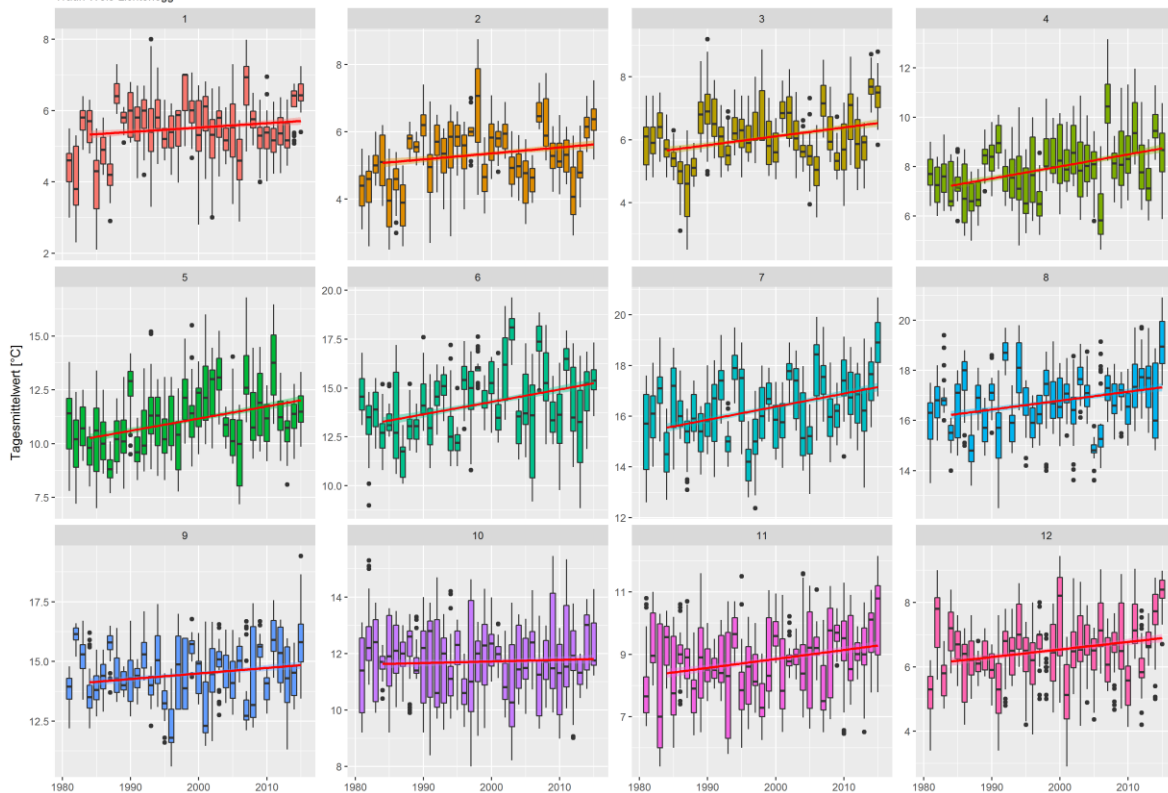
Prognose Wassertemperatur

Traun - Wels-Lichtenegg

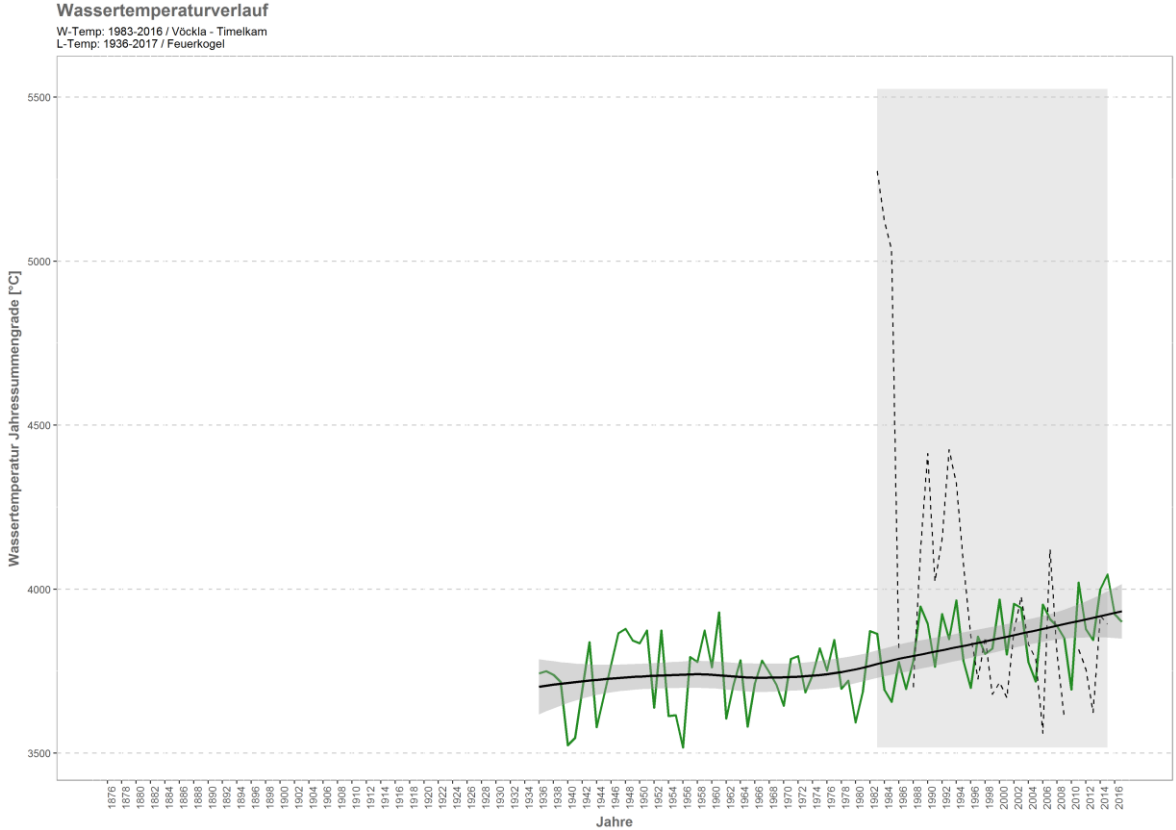
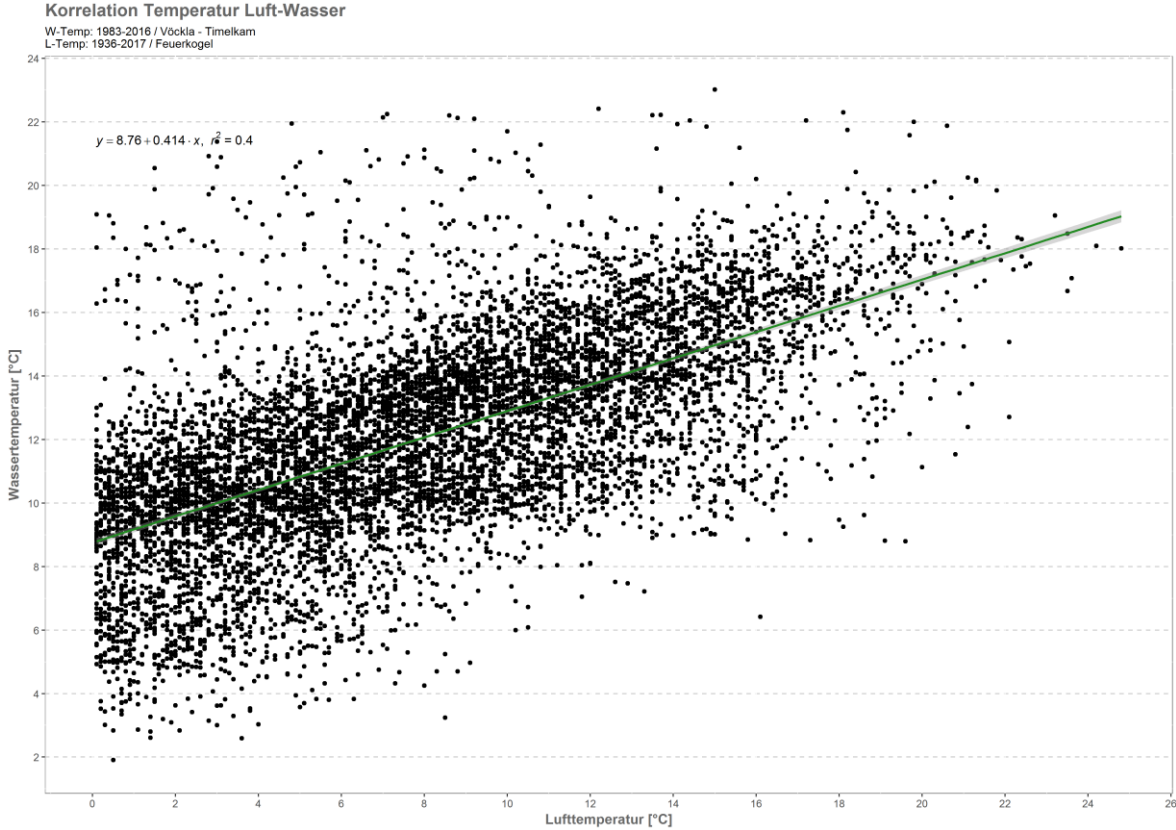


Monatsansicht der Tagesmittelwerte im Jahresverlauf

Traun Wels-Lichtenegg

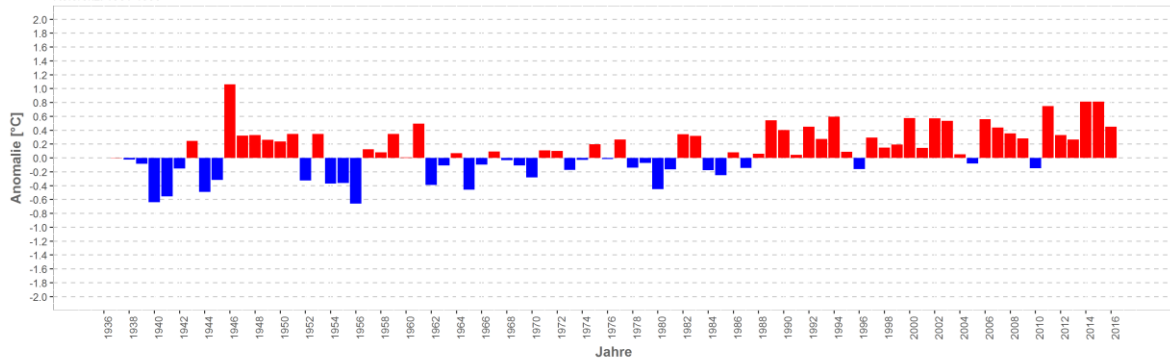


Vöckla – Timelkam

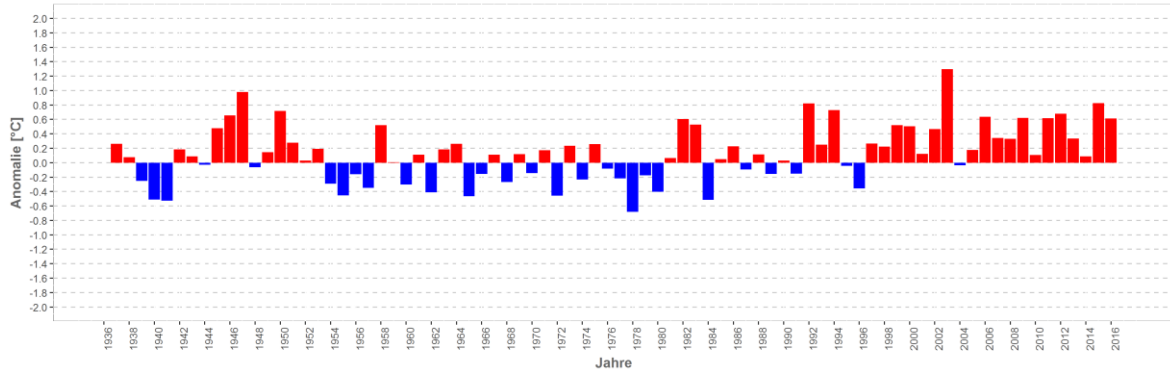


Wassertemperatur-Anomalie

Vöckla - Timeikam (1936-2017)
Referenz: 1961-1990

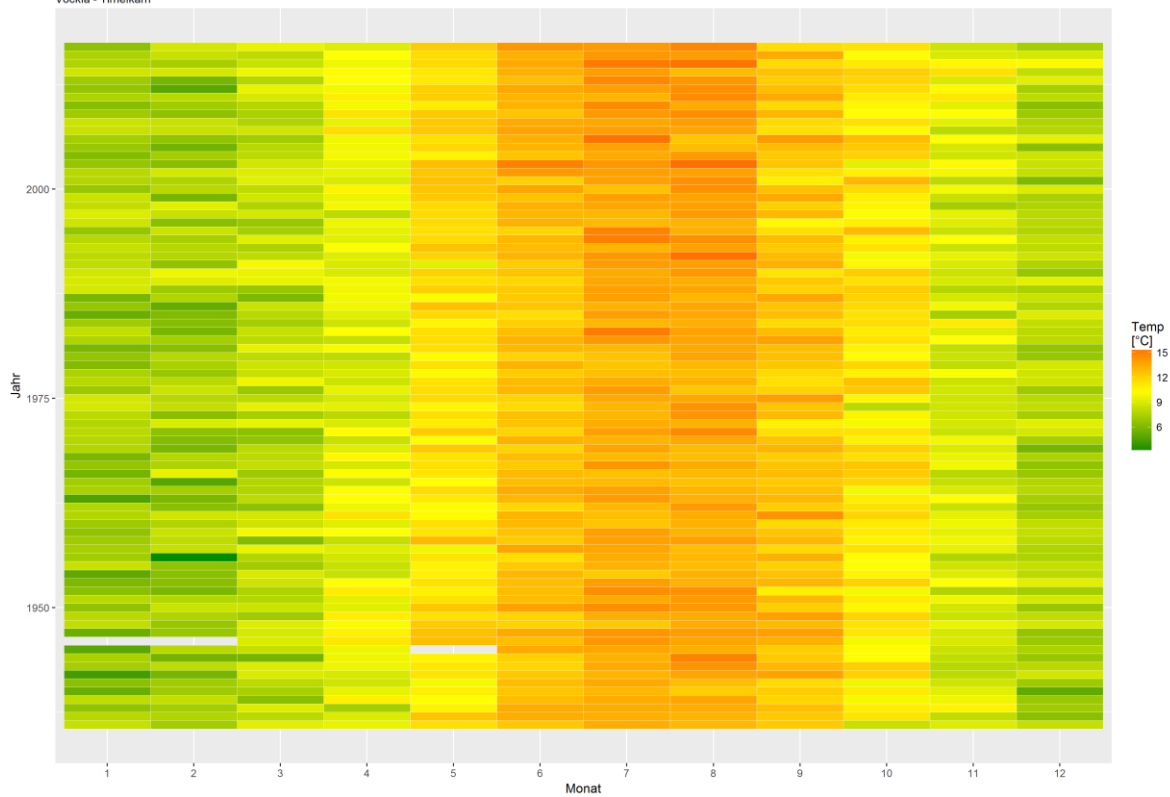


Sommermonate (Mai-Sept)



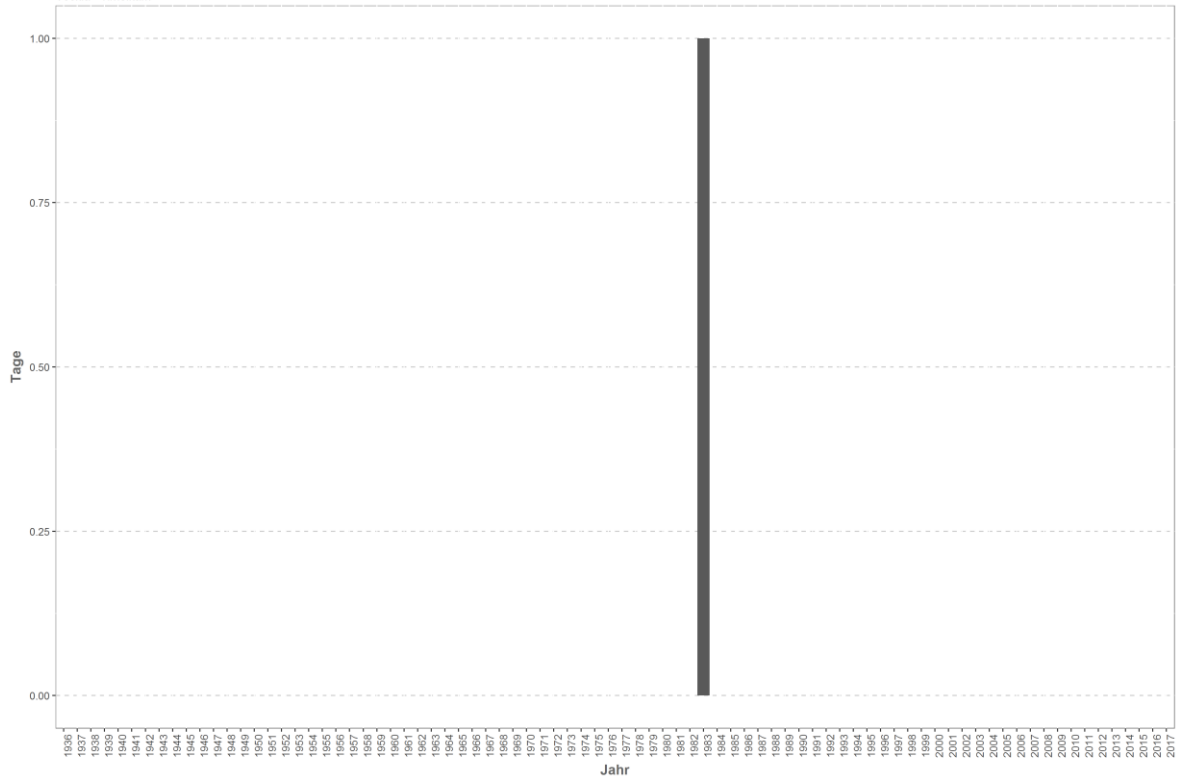
Monatsmittelwert

Vöckla - Timeikam



Temperaturüberschreitungen

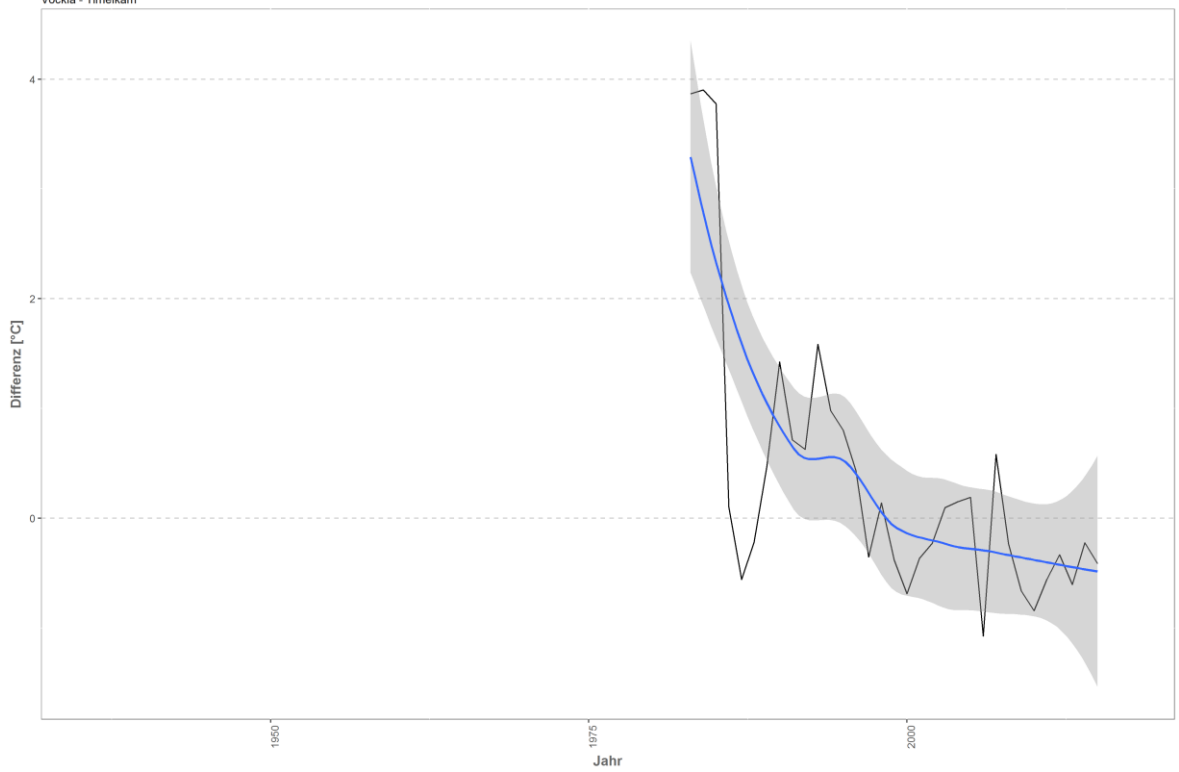
der Grenze sehr gut - gut
Vöckla - Timekarn



Differenzplot

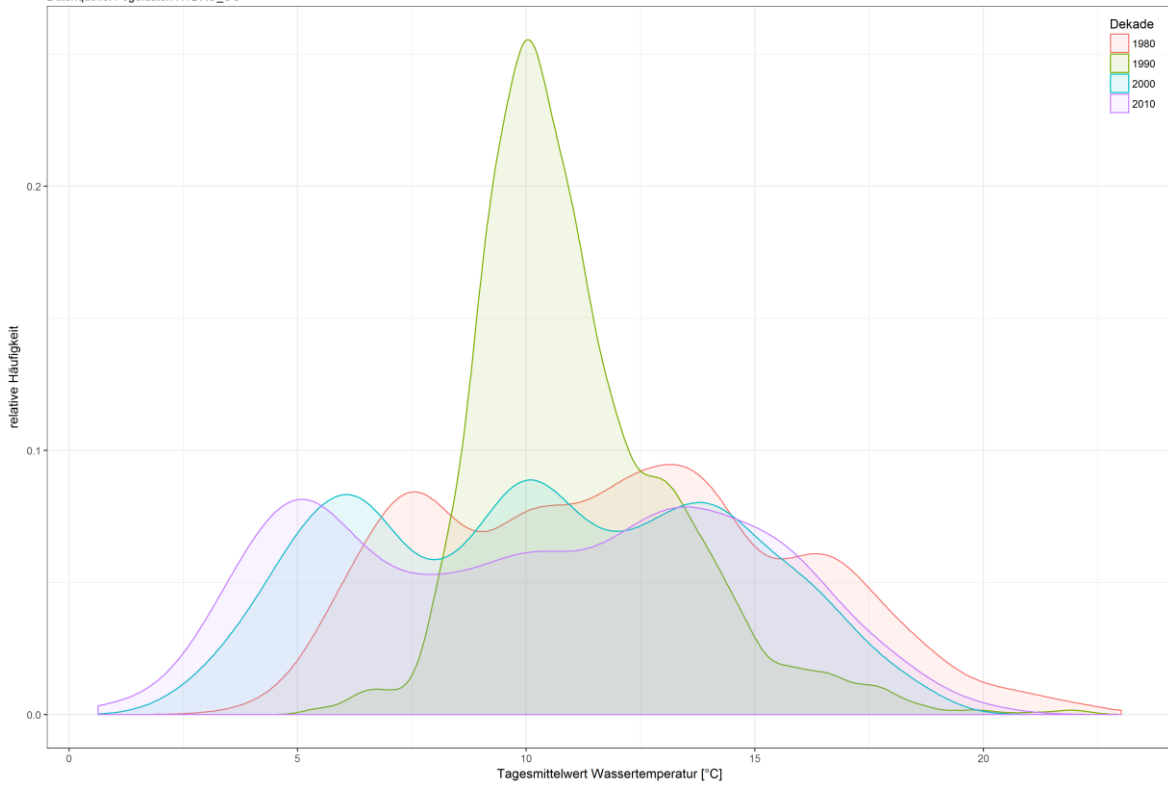
tatsächlich gemessene Wassertemperatur zu Schätzwert der linearen Regression

Vöckla - Timekarn



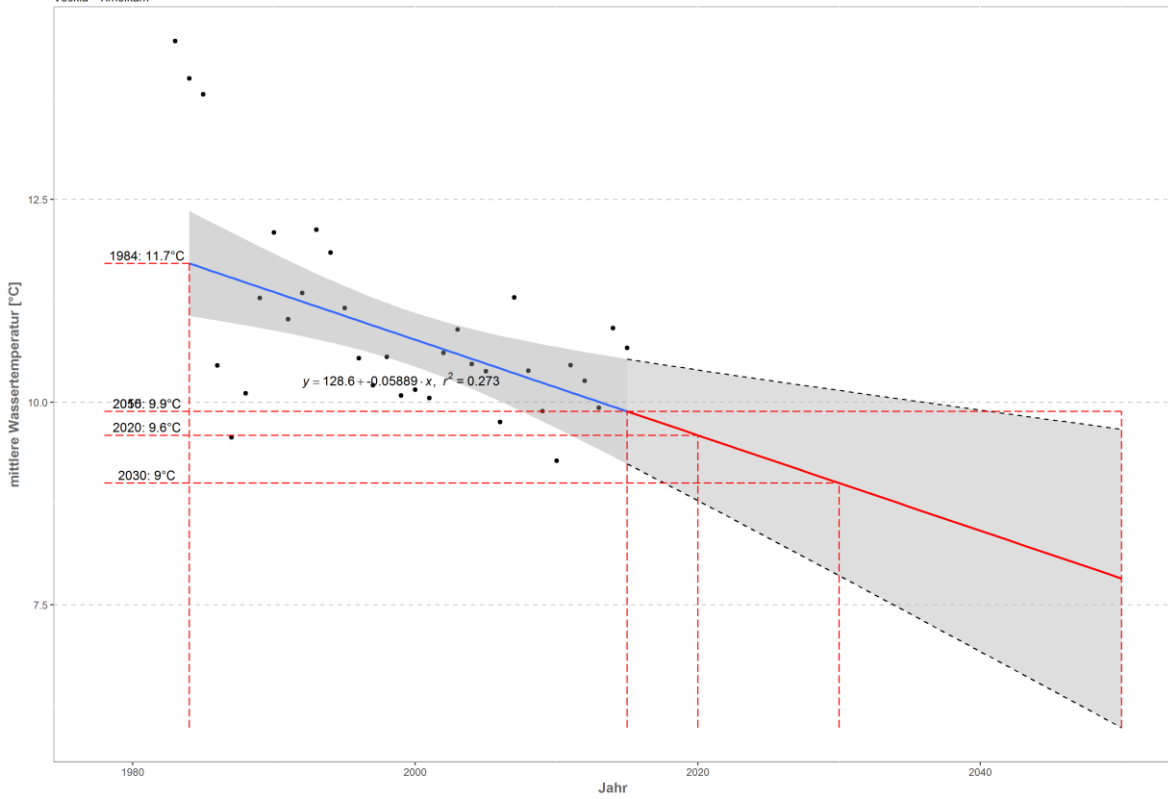
Häufigkeitsverteilung der Wassertemperaturen

Vöckla - Tiselkam
 Datenquelle: Pegeldaten HYDRO_OO



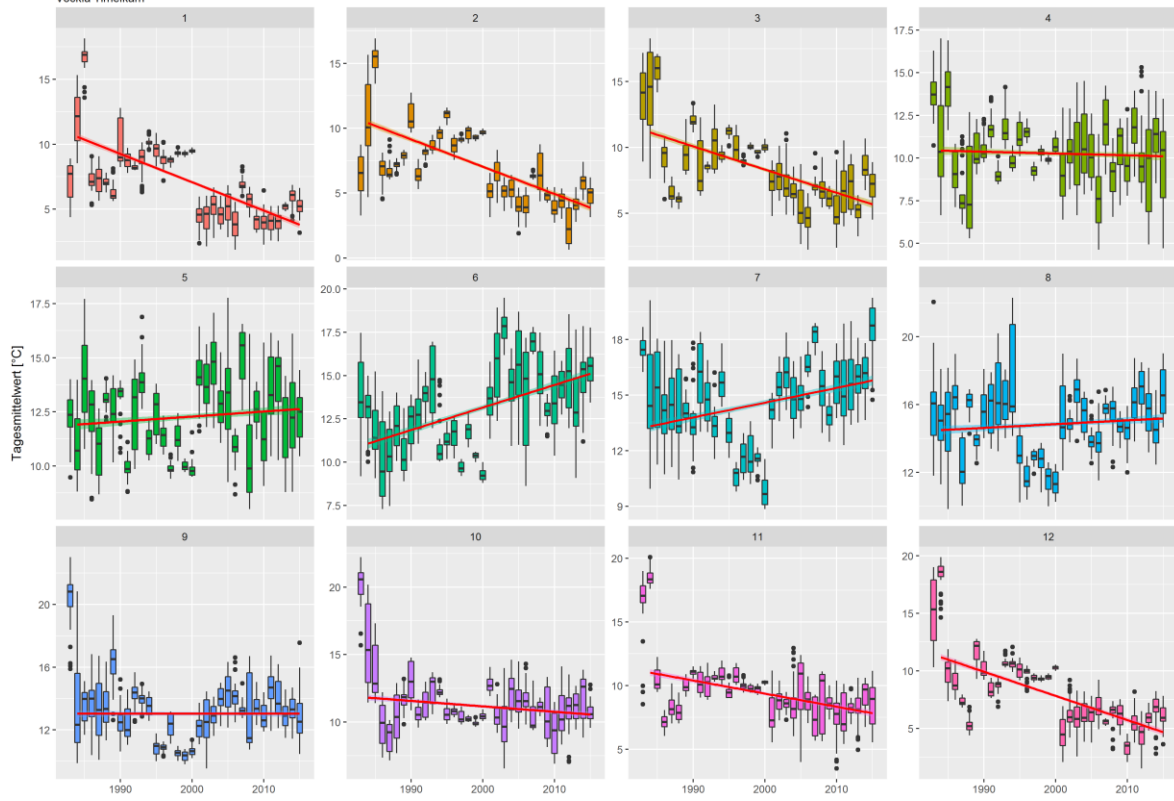
Prognose Wassertemperatur

Vöckla - Tiselkam

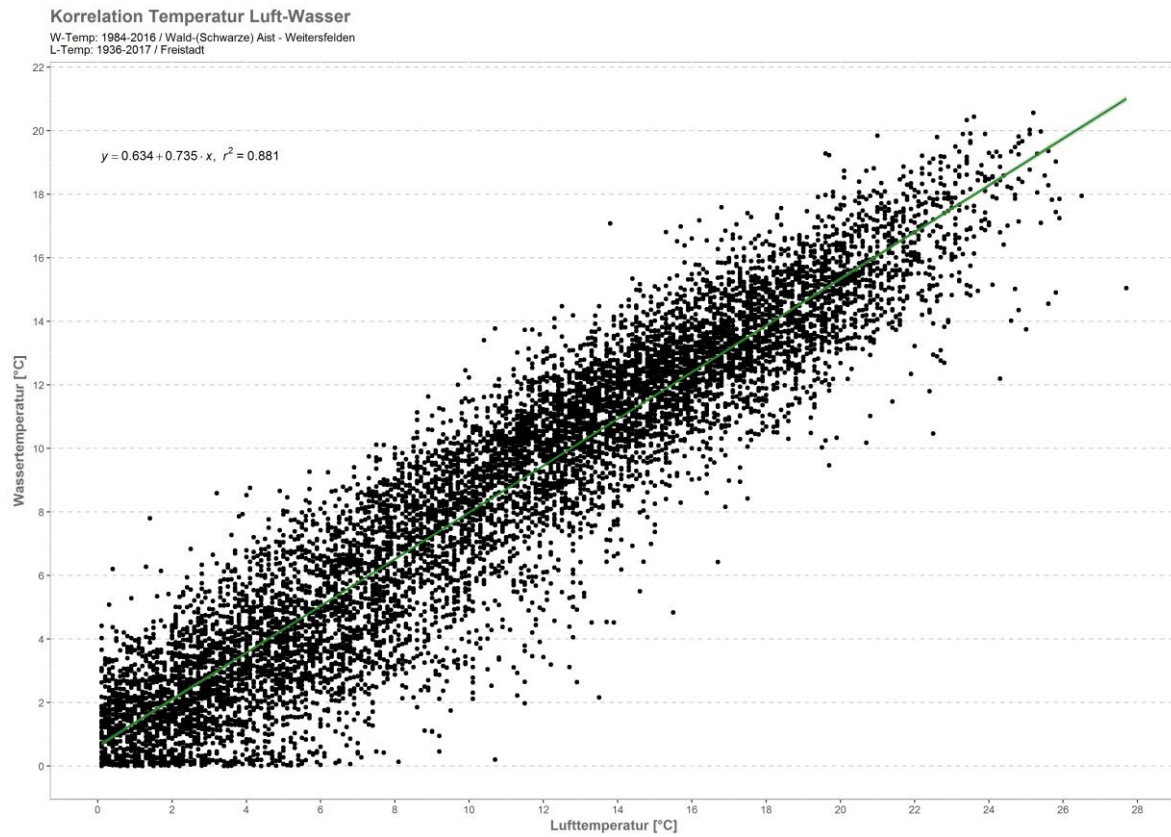


Monatsansicht der Tagesmittelwerte im Jahresverlauf

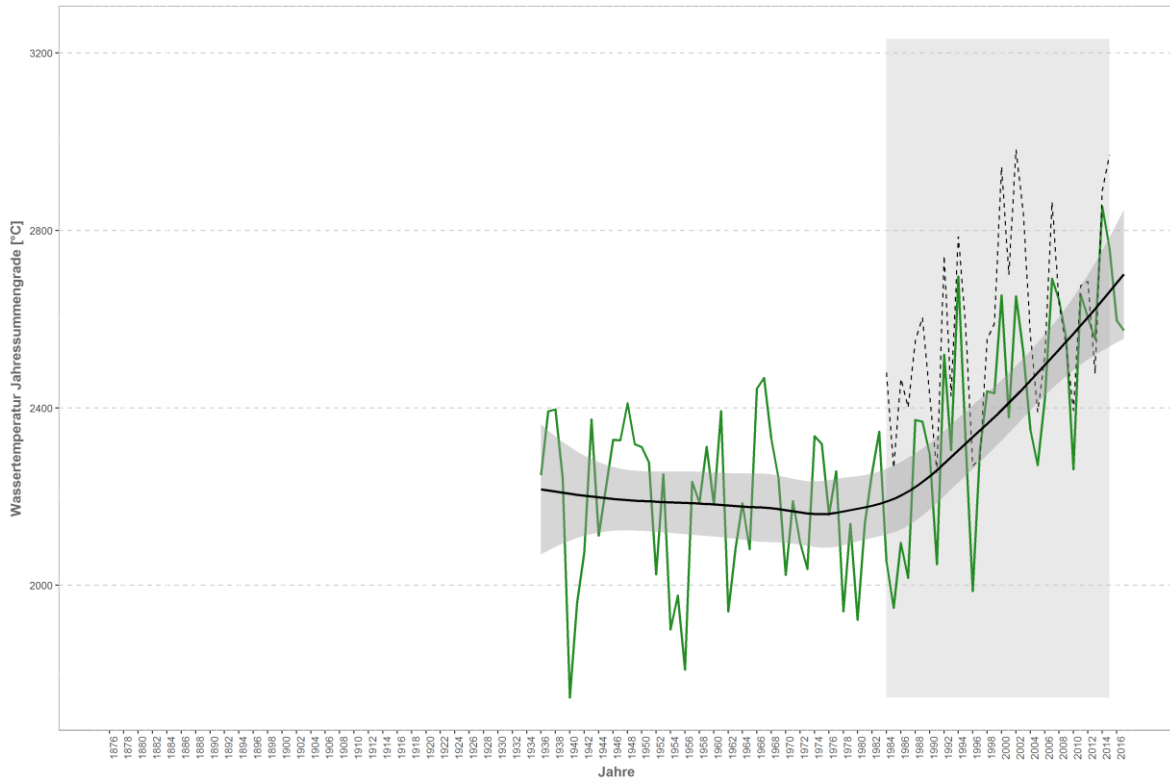
Vöckla Timelkam



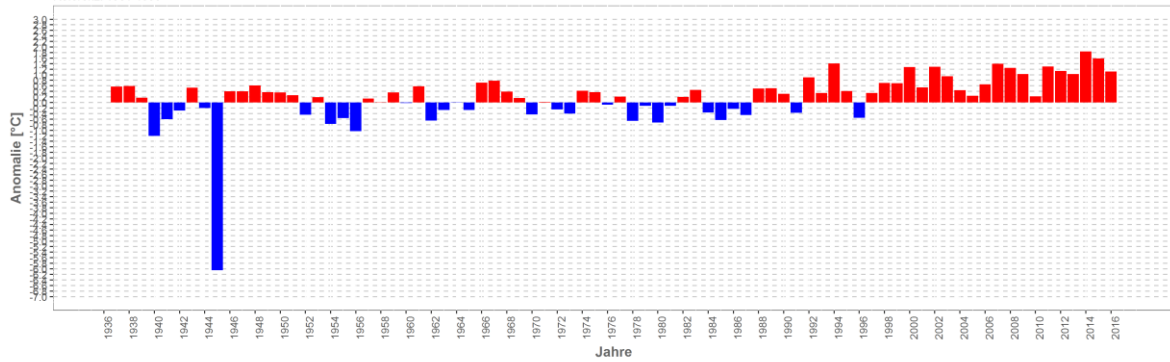
Wald-(Schwarze) Aist – Weitersfelden



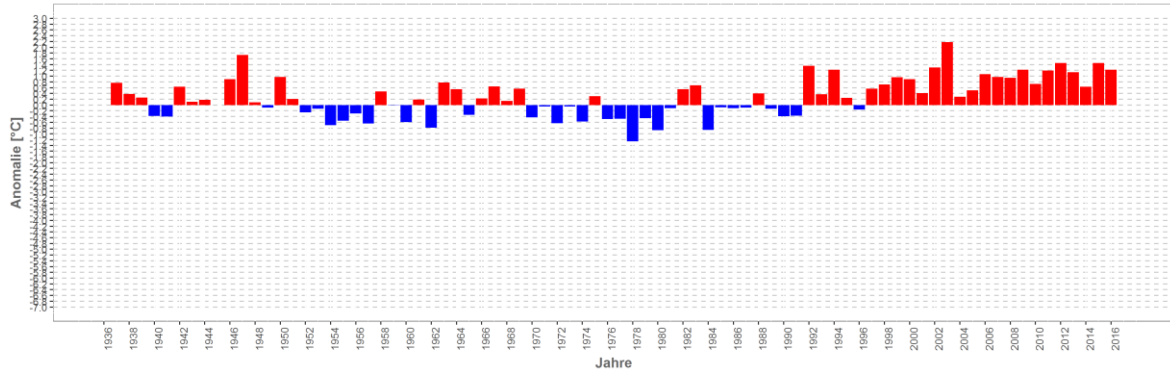
Wassertemperaturverlauf
 W-Temp: 1984-2016 / Wald-(Schwarze) Aist - Weitersfelden
 L-Temp: 1936-2017 / Freistadt



Wassertemperatur-Anomalie
 Wald-(Schwarze) Aist - Weitersfelden (1936-2017)
 Referenz: 1961-1990

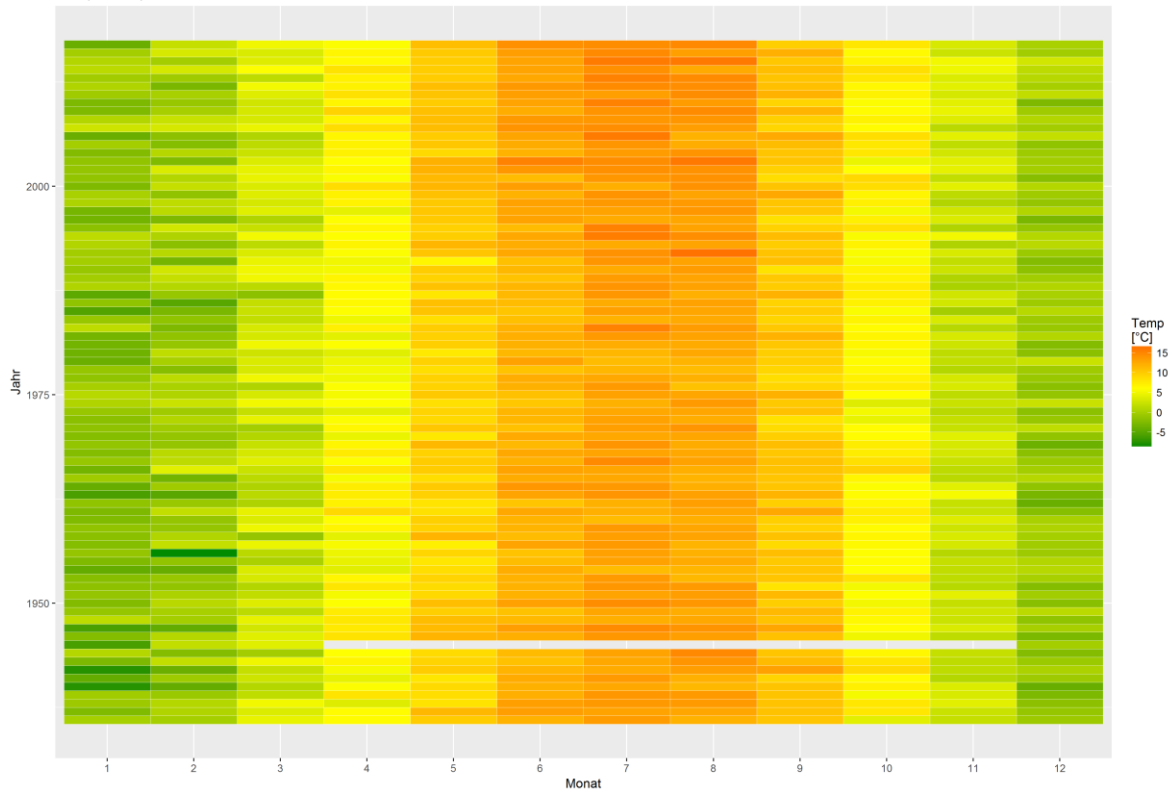


Sommermonate (Mai-Sept)



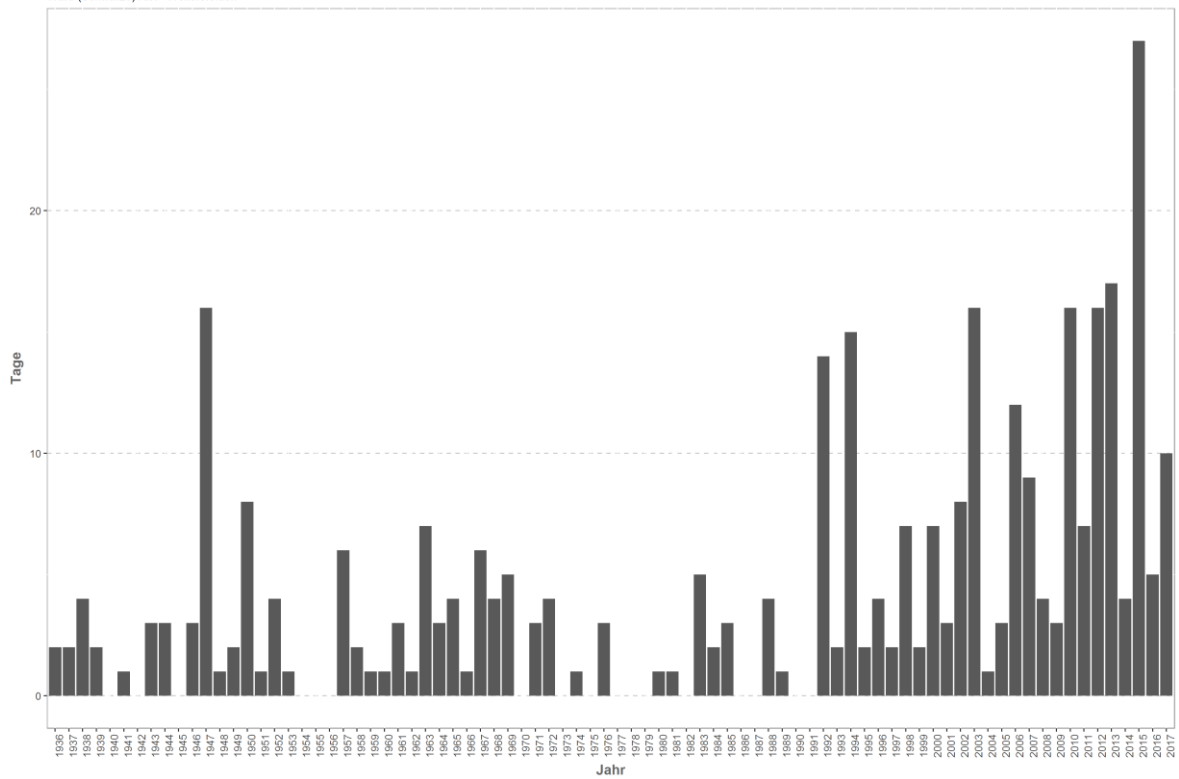
Monatsmittelwert

Wald-(Schwarze) Aist - Weitersfelden



Temperaturüberschreitungen

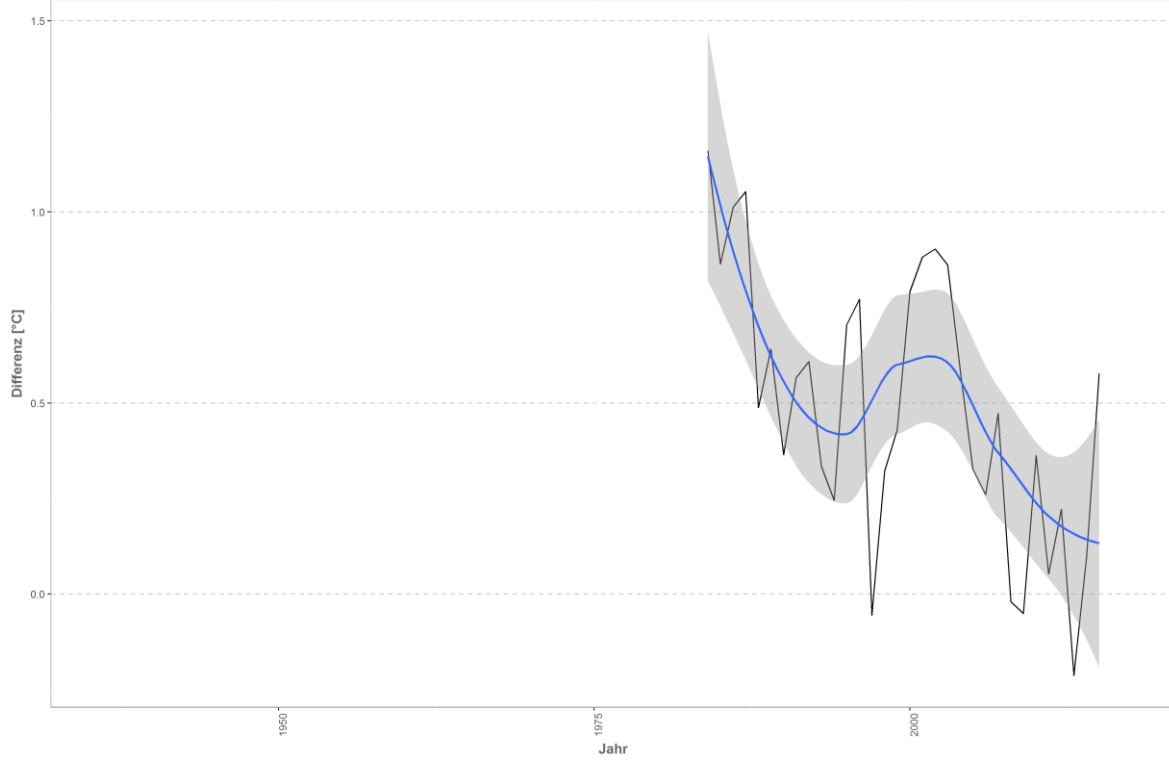
der Grenze sehr gut - gut
Wald-(Schwarze) Aist - Weitersfelden



Differenzplot

tatsächlich gemessene Wassertemperatur zu Schätzwert der linearen Regression

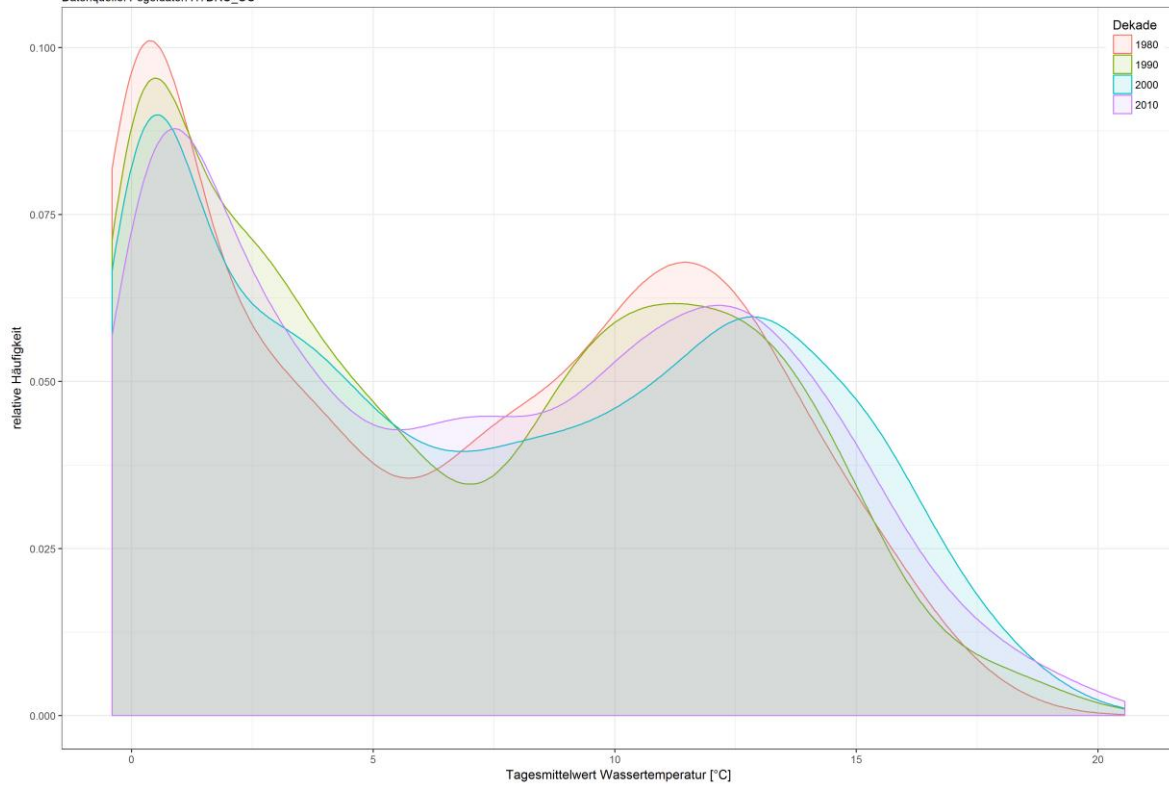
Wald-(Schwarze) Aist - Weitersfelden



Häufigkeitsverteilung der Wassertemperaturen

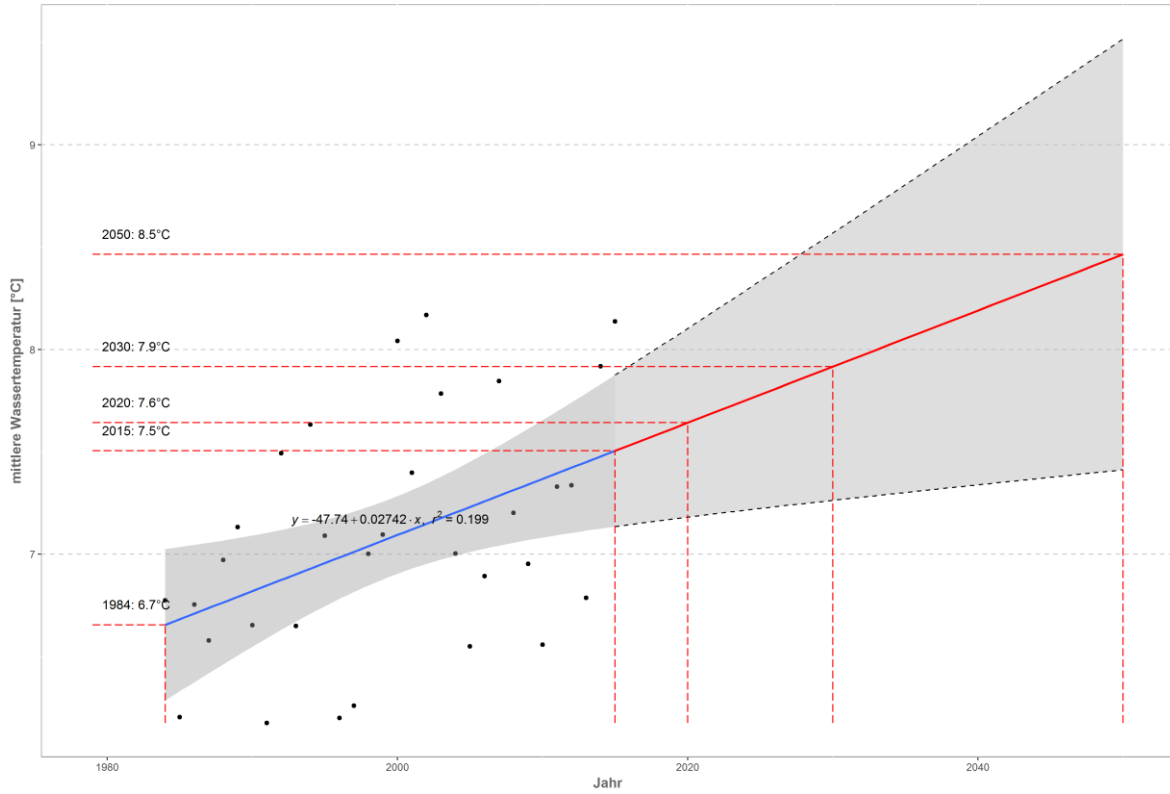
Wald-(Schwarze) Aist - Weitersfelden

Datenquelle: Pegeldaten HYDRO_OO



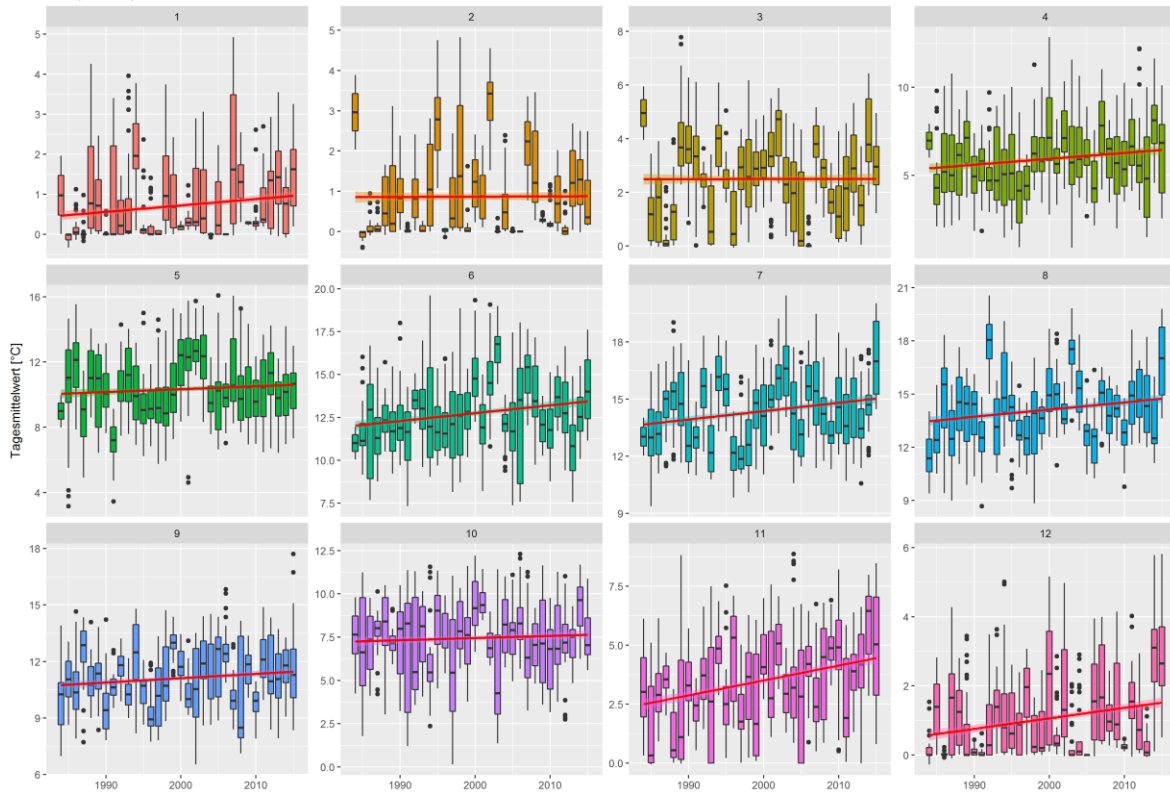
Prognose Wassertemperatur

Wald-(Schwarze) Aist - Weitersfelden

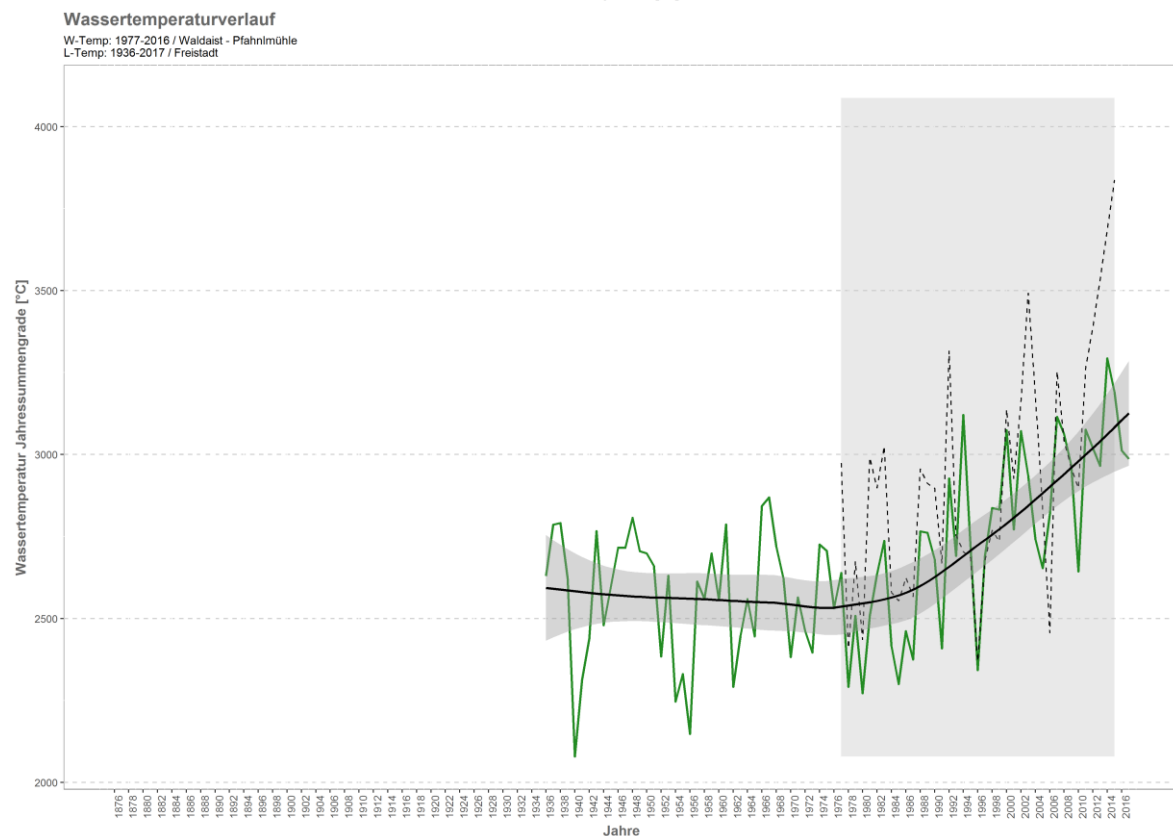
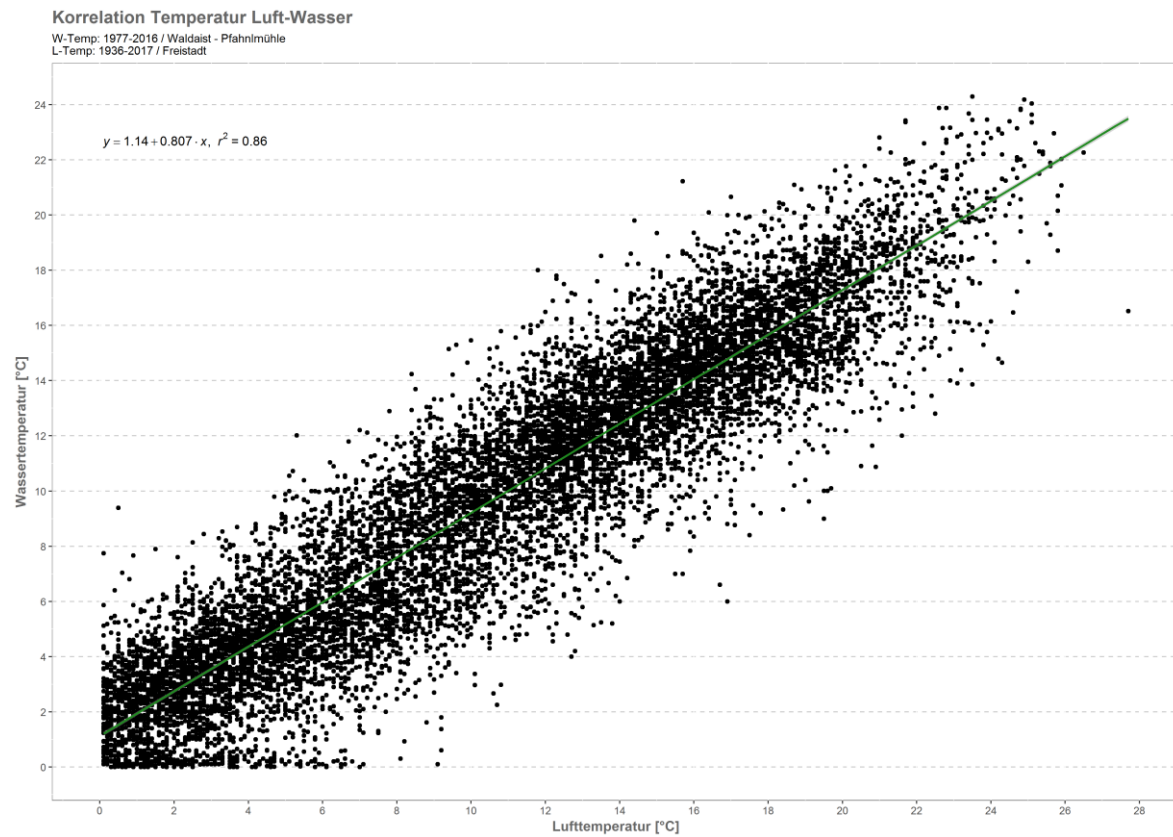


Monatsansicht der Tagesmittelwerte im Jahresverlauf

Wald-(Schwarze) Aist Weitersfelden

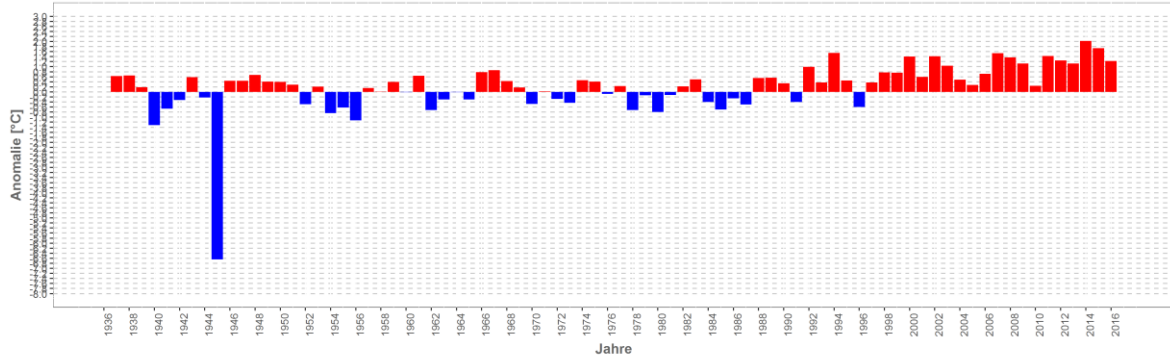


Waldaist – Pfahlmühle

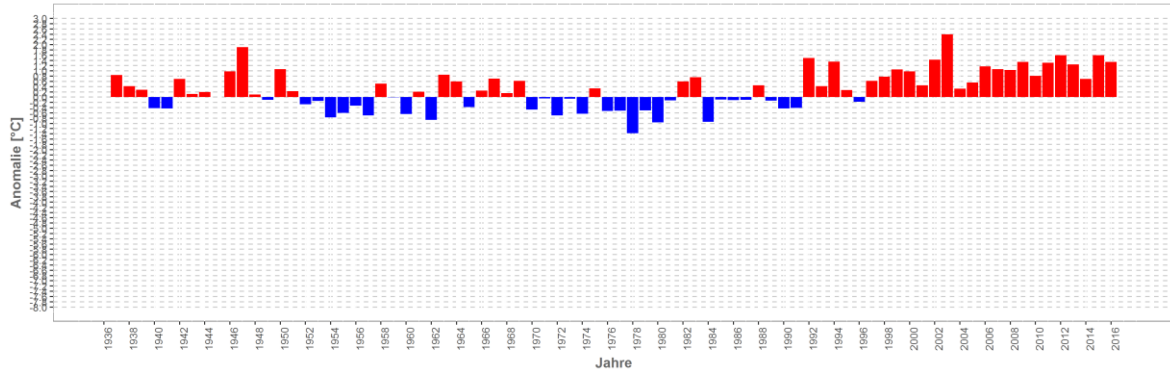


Wassertemperatur-Anomalie

Waldaist - Pfahnmühle (1936-2017)
Referenz: 1961-1990

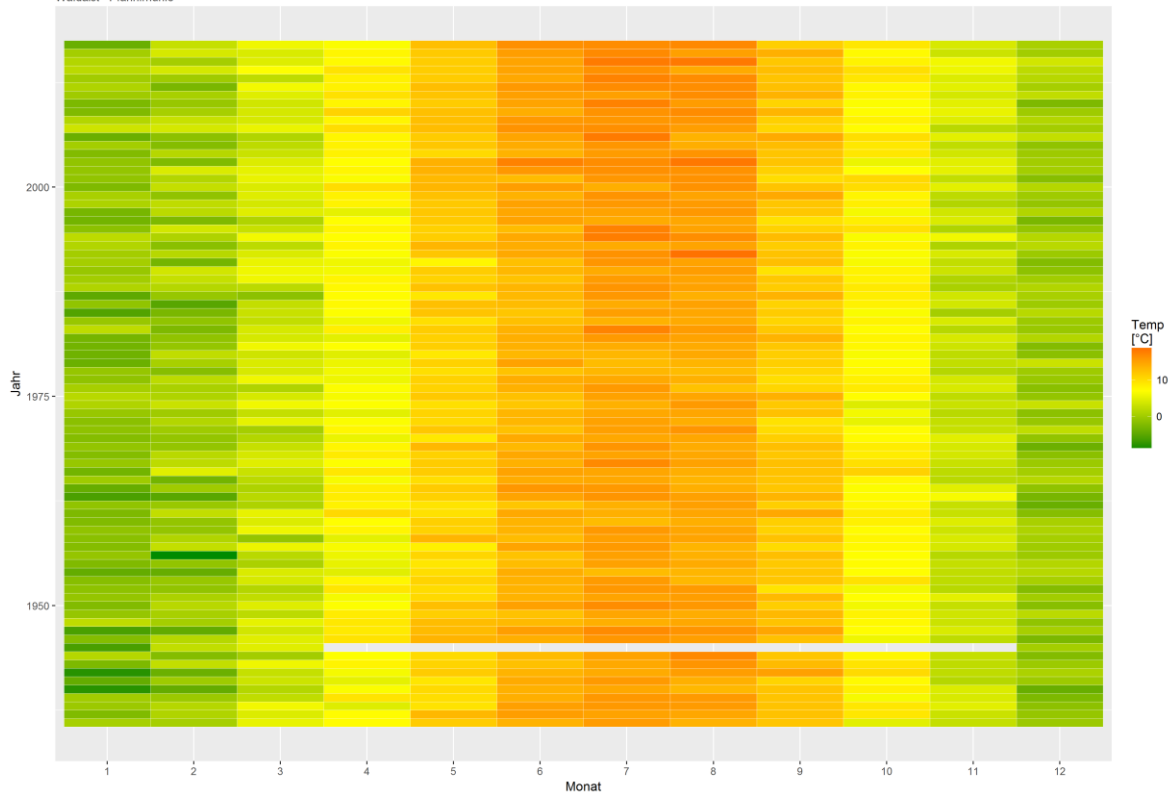


Sommermonate (Mai-Sept)



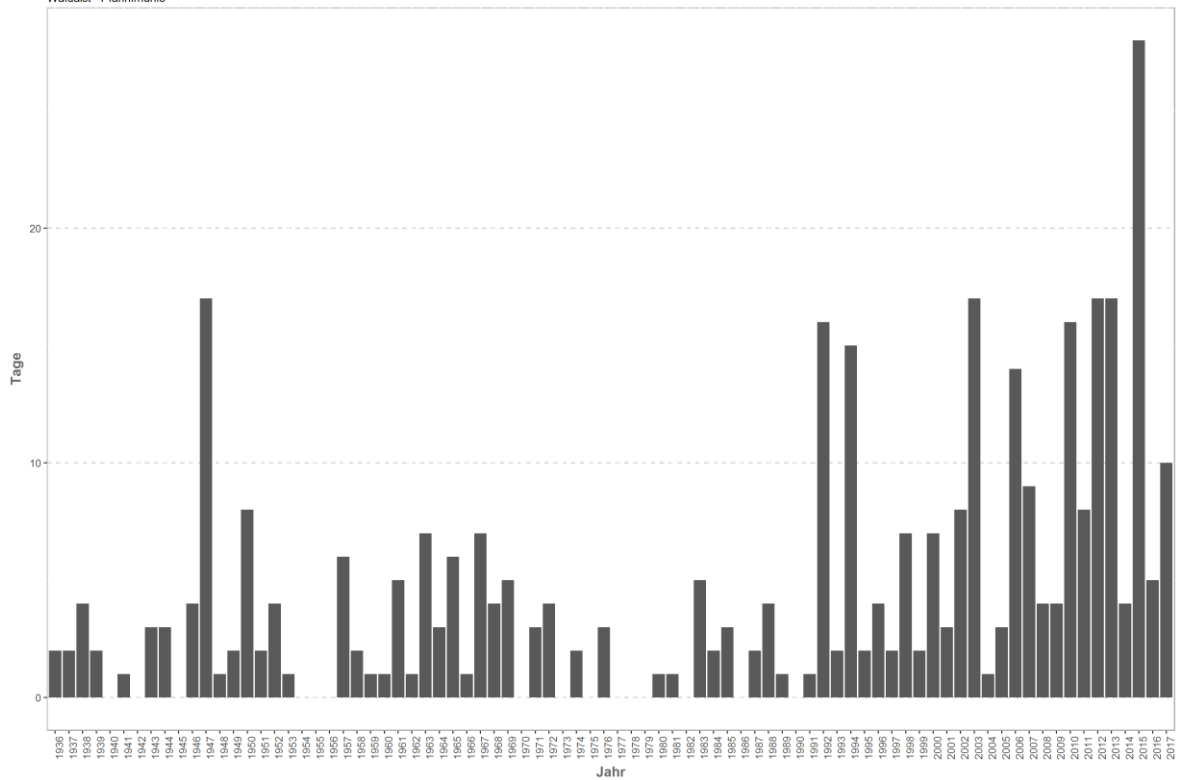
Monatsmittelwert

Waldaist - Pfahnmühle



Temperaturüberschreitungen

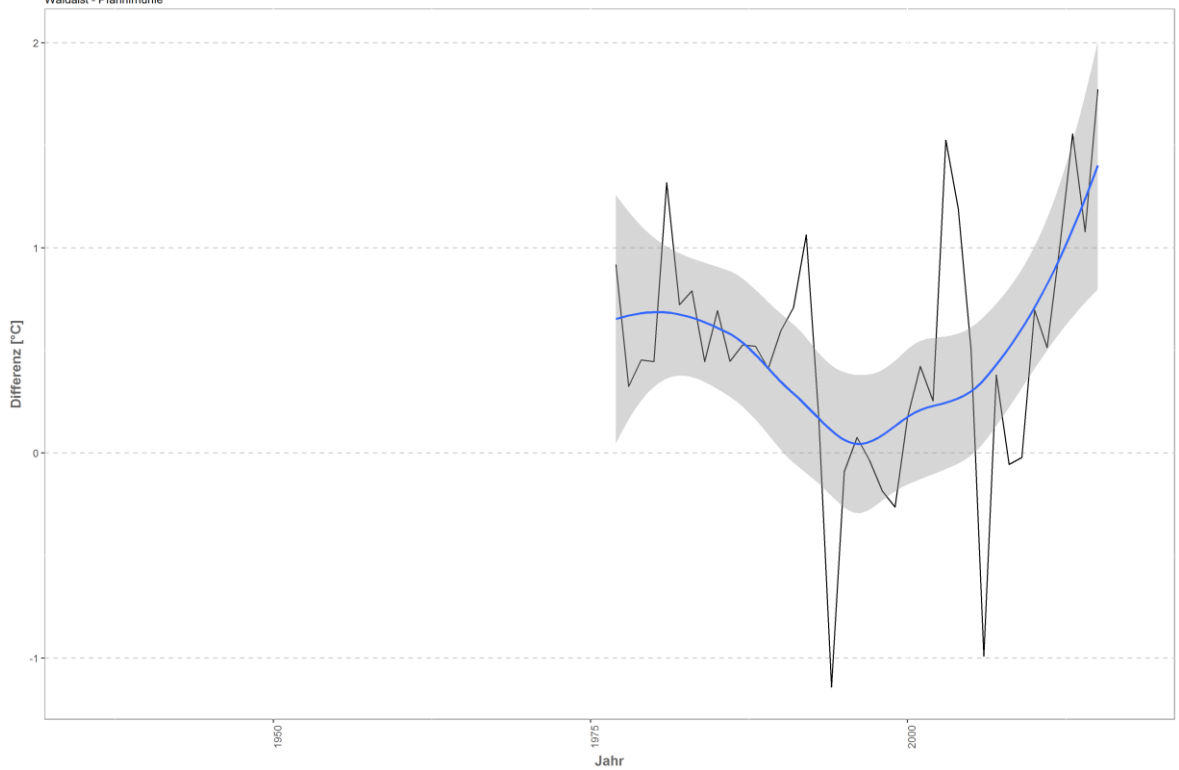
der Grenze sehr gut - gut
Waldaist - Pfahnmühle



Differenzplot

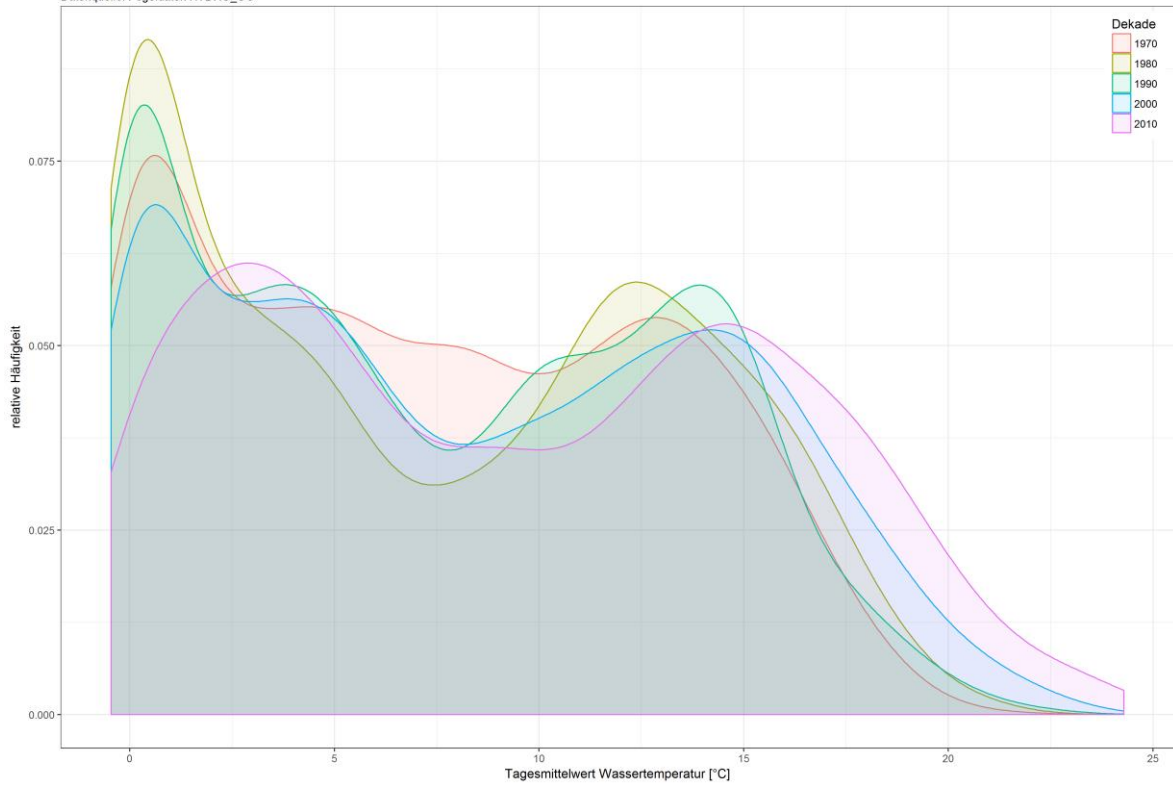
tatsächlich gemessene Wassertemperatur zu Schätzwert der linearen Regression

Waldaist - Pfahnmühle



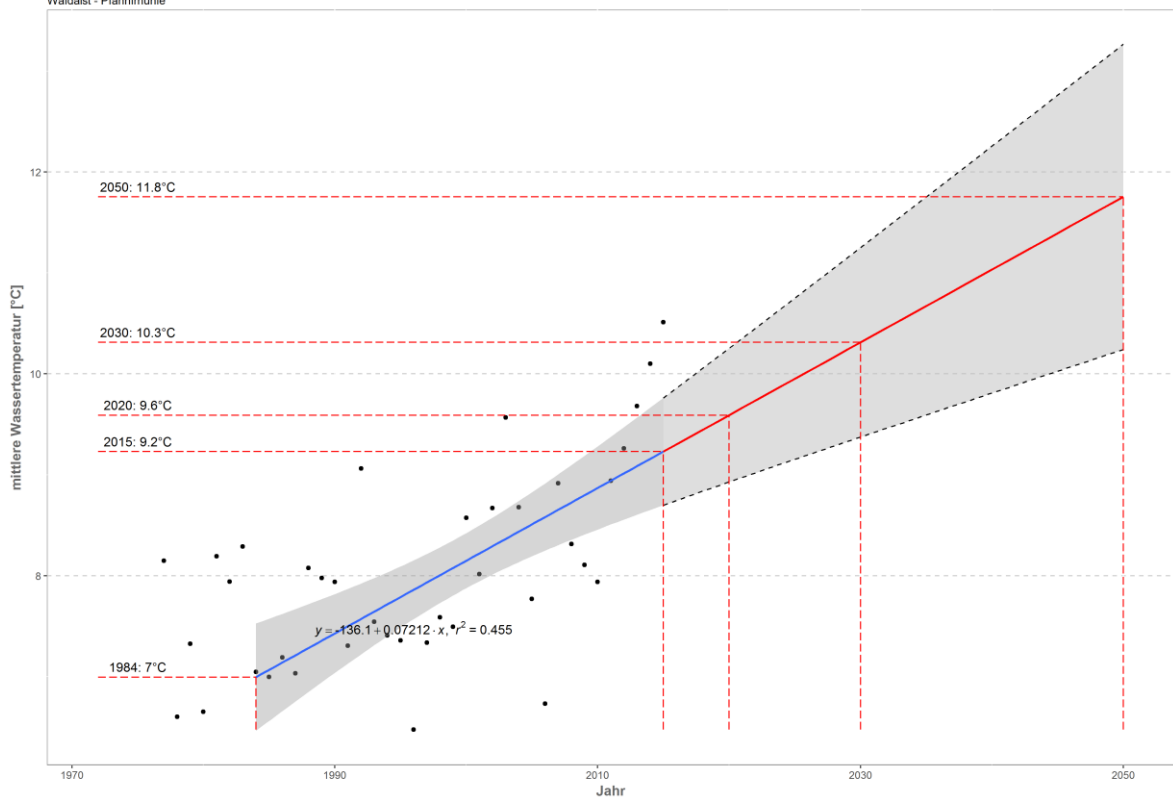
Häufigkeitsverteilung der Wassertemperaturen

Waldaist - Pfahlmühle
Datenquelle: Pegeldaten HYDRO_OO



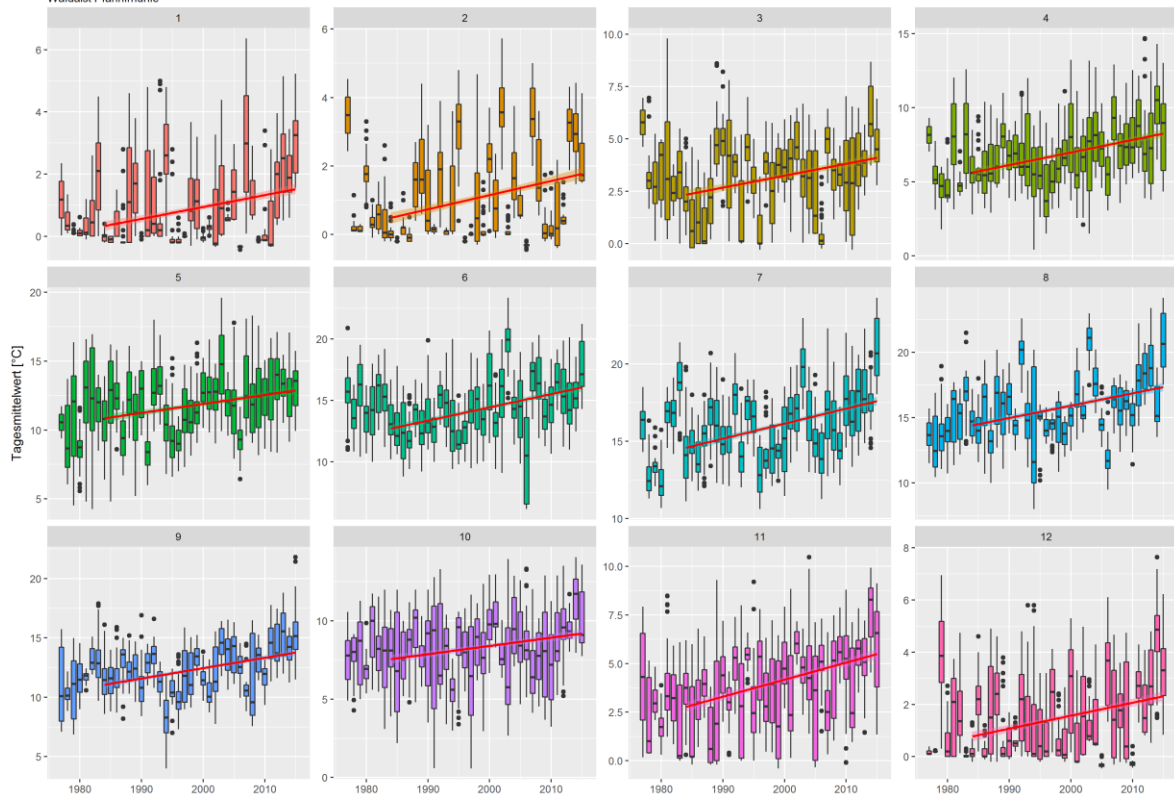
Prognose Wassertemperatur


Waldaist - Pfahlmühle



Monatsansicht der Tagesmittelwerte im Jahresverlauf

Waldaist Pfahnmühle





Bundesamt für Wasserwirtschaft
Institut für Gewässerökologie und Fischereiwirtschaft
Scharfling 18, 5310 Mondsee
+43 6232 3847 - 0
office.igf@baw.at
baw.at